

Н. Е. ПУТОВ

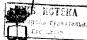
**ПРОЕКТИРОВАНИЕ  
КОНСТРУКЦИЙ  
КОРПУСА  
МОРСКИХ  
СУДОВ**

Часть 2

**НАГРУЗКИ НА КОРПУС СУДНА  
НА НЕРЕГУЛЯРНОМ ВОЛНЕНИИ.  
ОБЕСПЕЧЕНИЕ ОБЩЕЙ ПРОЧНОСТИ  
КОРПУСА**

Рекомендовано Министерством высшего и среднего  
специального образования СССР для использования  
в учебном процессе в кораблестроительных вузах

У 5119/53



ИЗДАТЕЛЬСТВО  
«СУДОСТРОЕНИЕ»  
ЛЕНИНГРАД  
1977

В книге рассмотрены волновые нагрузки, действующие на корпус морского судна на нерегулярном волнении и их влияние его общей гибки и кручения, нагрузки от slamming и от теплового излучения окружающей среды. Обсуждаются волновые нагрузки обеспокоенной обшивки прочностно и жесткости суднового корпуса. Учебное пособие, первая часть которого издана в 1974 г., написано в соответствии с программой курса «Общая теория корпуса морских судов». Книга предназначена для студентов кораблестроительных вузов и факультетов, инженеров, сотрудников научно-исследовательских институтов и конструкторского бюро.

**Рецензенты:**

д-р техн. наук, проф. Г. В. БОНЦОВ,  
 д-р техн. наук, проф. В. В. КОЗЛЯКОВ

**Научный редактор**

канд. техн. наук Ф. Г. КАНДЕЛЬ

**ОГЛАВЛЕНИЕ**

<b>Введение</b> .....	<b>6</b>
<b>Глава 1. Волновые нагрузки на корпус судна, действующие на нерегулярном морском волнении</b>	
<b>Глава 1. Основные понятия нерегулярных волнений</b> .....	<b>12</b>
§ 1. Случайные волнения, случайные процессы и их характеристики	—
§ 2. Преобразование случайного процесса двичленивой системы	19
<b>Глава 2. Вероятностные характеристики нерегулярного волнения</b> ..	<b>21</b>
§ 3. Общие свойства нерегулярного морского волнения	—
§ 4. Статистические характеристики аддитивных волнений	27
§ 5. Спектр стационарного волнения	41
§ 6. Периодичность волнения. Экстремальные высоты волн	53
<b>Глава 3. Общая характеристика волновых нагрузок</b> .....	<b>59</b>
§ 7. Нагрузки на стационарном волнении	—
§ 8. Долговременное распределение волновых нагрузок	70
§ 9. Суммарное волновое воздействие	72
<b>Глава 4. Вертикальный изгибающий момент</b> .....	<b>76</b>
§ 10. Статистические характеристики по стационарному волнению	—
§ 11. Экспериментальное определение стандарта волнового вертикального изгибающего момента	81
§ 12. Долговременное распределение волнового вертикального изгибающего момента в заданном сечении судна	86
<b>Глава 5. Результаты замеров волновых нагрузок на судах в различных условиях</b> .....	<b>95</b>
§ 13. Равные замеры	99
§ 14. Испытания на судне «Бушан Велле»	110

§ 15.	Дополнительные замеры на опытных судах . . . . .	114
§ 16.	Результаты измерений на заводских судах . . . . .	124
§ 17.	Замеры на заводских судах . . . . .	130
§ 18.	Практические оценки возможных нагрузок . . . . .	139
<b>Глава 6. Кручение корпуса судна . . . . .</b>		
§ 19.	Кручение корпуса судна на тихой воде и на волнении . . . . .	—
§ 20.	Способы кручения корпусов судов с большими пазубными шпирками . . . . .	164
§ 21.	Приближенные формулы для определения крутящих моментов на перегородках валовых . . . . .	172
<b>Раздел 2. Силы и волновые нагрузки</b>		
<b>Глава 7. Силы . . . . .</b>		
§ 22.	Общие характеристики движимого и берового элементов . . . . .	—
§ 23.	Исчисление сил на волнении . . . . .	188
§ 24.	Определение статистических характеристик движимого элемента . . . . .	195
§ 25.	Формы движимых . . . . .	203
§ 26.	Ударные изгибающие моменты . . . . .	204
§ 27.	Расчетные оценки ударных изгибовых моментов . . . . .	240
<b>Глава 8. Волновые нагрузки . . . . .</b>		
§ 28.	Напряжения волновой нагрузки . . . . .	—
§ 29.	Оценки нагрузок, вызываемой волновой нагрузкой . . . . .	259
<b>Раздел 3. ТЕПЛОВОЕ ВОЗДЕЙСТВИЕ ОКРУЖАЮЩЕЙ СРЕДЫ НА НАПРЯЖЕННОЕ СОСТОЯНИЕ КОРПУСА СУДА</b>		
<b>Глава 9. Температурные напряжения . . . . .</b>		
§ 30.	Общие характеристики температурных условий . . . . .	—
§ 31.	Аналитическое определение температурных напряжений в продольных сечениях корпуса судна . . . . .	262
§ 32.	Данные измерений и расчеты температурных напряжений . . . . .	265
<b>Раздел 4. ПРАКТИЧЕСКОЕ ОБЪЯСНЕНИЕ ОБЩИХ ПРИЧИН И НАДЕЖНОСТИ КОРПУСА СУДА</b>		
<b>Глава 10. Корпус судна как изгибаемая балка . . . . .</b>		
§ 33.	Общие характеристики конструкции корпуса . . . . .	—
§ 34.	Определение нормальных напряжений при общем изгибе корпуса судна . . . . .	274
§ 35.	Экспериментальная проверка распределения напряжений в корпусе судна при его изгибе . . . . .	279
§ 36.	Приближенные оценки корпусов двенадцатитонных брус . . . . .	286
§ 37.	Метод сопоставления осевых балок составного профиля . . . . .	288

§ 38.	Метод сопоставления осевых двенадцатитонных брус . . . . .	293
§ 39.	Влияние деревянного пазубного шпирка на общую прочность корпуса . . . . .	311
§ 40.	Вертикальный изгиб корпуса напряженного судна . . . . .	314
<b>V Глава 11. Обеспечение общей прочности корпуса судна . . . . .</b>		
§ 41.	Общие вопросы проектирования корпусов конструкций судовых корпусов . . . . .	—
§ 42.	Роль Провода построения судов и обеспечения надежности конструкций корпусов . . . . .	342
§ 43.	Смещения общей прочности судна . . . . .	353
§ 44.	Обеспечение общей прочности корпуса по критерию прочности . . . . .	364
<b>Указатель литературы . . . . .</b>		<b>413</b>

При проектировании конструкций морских транспортных судов одной из острых задач является определение размеров продольных связей корпуса, обеспечивающих надежность и экономичность его эксплуатации в течение всего срока службы. Обозначенный выбор этих размеров зависит от правильности учета волнения, характера напряженного состояния, непосредственно связанного с качеством проектирования и изготовления конструкций, проектирования механического и коррозионного износа, выбора допустимых напряжений и пр.

Еще 20 лет назад задача об определении продольных связей корпуса в практике морского транспортного судостроения решалась эмпирически, без полного учета вероятностных закономерностей морского нерегулярного волнения, а значительной степени определяющих силовые воздействия на судно. При этом необходимей наименьший момент сопротивления эквивалентного бруса вычисляли только в зависимости от наибольшего значения вертикальногогибающего момента при статической постановке судна на расчетную волну, пользуясь значениями допустимых напряжений, которые признавались безопасными. Причислявшаяся в расчетах водная нагрузка не соответствовала реальной картине нагружения корпуса судна, так как не учитывала ее динамики движения судна на волнении, ее гидродинамического характера волновых силовых воздействий, их особенностей нерегулярного волнения. В расчетах в данном виде не учитывались также напряжения от горизонтального изгиба и кручения корпуса, от ударных импульсов при сдвиге и от судовой вибрации, от местных нагрузок и температурных градиентов, а также неизбежная в корабельных конструкциях концентрация напряжений.

Усложность расчета обуславливалась еще и тем, что в корпусе судна напряжения от внешних нагрузок накладываются на весьма сложную и в значительной степени неопределенную картину остаточных напряжений, возникающих при технологиче-

ских процессах обработки материала, сборки и сварки конструкций. Тем не менее такой расчет в прошлом широко применялся для сопоставительной оценки прочности судов, мало отличаясь по общему устройству, конструктивному типу и размерам. По-видимому, в известной мере было справедливым предположение о том, что не учитываемые в таком расчете силовые воздействия либо компенсируются пропорционально расчетному избыточному моменту, либо, в отдельных случаях, взаимно уравновешиваются.

Однако для судов новых конструктивных типов (контрейзеров, судов с горизонтальной загрузкой накатом и др.), а также крупных судов (судов для навалочных грузов и особенно танкеров) при нескольких повышающей скорости, при проектировании конструкций корпусов которых требовалась значительная экстраполяция за пределы накопленного опыта, прежняя условная методика уже не могла успешно применяться.

В связи с этим с начала 60-х годов стали разрабатываться новые методы расчета прочности, более полно учитывающие многообразие особенностей судов и условий их эксплуатации. Внедрению новых методов способствовало то обстоятельство, что к этому времени в океанографии были разработаны способы описания нерегулярного волнения как случайного процесса, и его статистические характеристики начали интенсивно накапливать и систематизировать.

При допущении, что корпус судна является линейной динамической системой, на которую действует морское нерегулярное волнение — стационарный случайный процесс, реакция корпуса на волнение будет представлять собой тоже стационарные случайные процессы. К таким реакциям относятся качка судна, силы инерции его масс, возможные изгибающие и крутящие моменты, термезирующие силы, давление воды на корпус судна, напряжения и деформации от всех этих силовых воздействий. Для каждой такой реакции при известном законе распределения ее амплитуд можно установить связь между значением амплитуды и вероятностью ее появления или превышения.

Таким образом, представляется возможным определить величину, характеризующие воздействие нерегулярного морского волнения на конструкции судового корпуса, с любой заданной степенью риска их превышения при фиксированной интенсивности волнения, соответствующей участку моря. Получаемый кратковременный промах относится только к одной интенсивности волнения на конкретной акватории. Законы математической статистики позволяют устанавливать и долговременные промахи, относящиеся ко всему сроку службы судна, если известно, какую часть этого срока судно находится на том или ином участке моря при той или иной интенсивности волнения. Это, однако, требует знания повторяемости морского волнения на различных участках моря в различные периоды года.

В настоящей книге рассматриваются современные статистические методы определения силковых воздействий морского волнения на корпус судна. При этом главное внимание уделяется наиболее расчетного вертикального изгибающего момента со степенью риска его превышения, приемлемой для настоящего времени. Такая направленность изложения обусловлена тем, что в практических расчетах общей прочности корпуса таких же морских судов еще ограничиваются учетом в явном виде лишь наибольших усилий от вертикального изгиба на волнении и на тихой воде, считая эти условия главными и наиболее надежно определяемыми современными статистическими методами. Условность такого расчета существенно меньше условности расчета, основанного на статической постановке судна на регулярную волну. Но получение наибольших напряжений оказываются лишь номинальными, их соотношение с уровнем действительных физических напряжений остается неизвестным. Уже одно это обстоятельство приводит к необходимости вводить некоторый коэффициент запаса, большой единицы. Уменьшением коэффициента запаса на номинальные напряжения учитывают сложность и недостаточную распределенность напряженного состояния корпусных конструкций.

Напомним, что сам по себе уровень напряжений не характеризует полностью надежность корпусных конструкций, которая в значительной степени зависит также от свойств материала и качества их проектирования и изготовления. Так, основной материал корпуса (листовая, профилированная и сортовая сталь) должен удовлетворять требованиям Правил постройки судов классификационных обществ как в общем методам производства стали, так и к ее химическому составу, механическим, пластическим, вязкостным свойствам и термической обработке. Отметим, что при одних и тех же значениях предела текучести и временного сопротивления судостроительные стали различаются по вязкости (чувствительности к надрезам). Продольные связи корпуса, в которых действуют наибольшие растягивающие напряжения на морском волнении, должны изготавливаться из стали, имеющей необходимую вязкость и обладающей свойством задерживать распространение трещин, возникающих при низкой температуре. Сварки на этой стали могут считаться барьерами для распространения трещин.

Требования к вязкости в надрезе для судостроительной стали были введены в начале 60-х годов после печального опыта постройки во время второй мировой войны сварных судов из сталей с низкой вязкостью, на которых возникло много хрупких трещин, приводивших в отдельных случаях к хрупким разрывам продольных связей корпуса и к гибели судна. Однако не только вязкость сталей, но и качество проектирования и изготовления конструкций этих судов, особенно сварки, было ниже обычного (большое количество дефектов сварных швов, в том числе непро-

варов, подрезов, грубых неровностей поверхности швов, незамкнутых кратеров, остаточная гофрировка дна и высокие остаточные напряжения).

Наиболее распространенным видом повреждения корпусных конструкций является установившееся трещины, возникающая в местах концентрации напряжений — либо конструктивной, связанной с нарушением непрерывности продольных связей, либо технологической, обусловленной дефектами сборки и сварки. Особенно опасны места близкого расположения конструктивных и технологических концентраторов напряжений. Количество и размеры сварочных дефектов зависят от вида сварки (ручной, полуавтоматическая, автоматическая), от доступности стыков для сварки и от расположения шва в пространстве (нижний, горизонтальный, вертикальный, потолочный). Наименьшее количество дефектов обычно имеют швы при автоматической сварке, наибольшее — при ручной, качество лицевых швов выше, а потолочных ниже. Следовательно, для повышения надежности конструкции при ее проектировании необходимо заботиться о снижении значений коэффициентов технологической концентрации напряжений, предусматривая более широкое применение автоматической сварки, сварки швов в нижнем положении и в наиболее доступных местах. Швы должны быть достаточно удалены друг от друга и от возможных конструктивных концентраторов напряжений.

Так как в сварных швах всегда могут оказаться дефекты, способные вызвать остаточные сварочные напряжения и деформации конструкций, то в целом качество сварной конструкции тем лучше, чем меньше протяженность швов. Следовательно, целесообразно выбирать возможно большие габариты (особенно ширины) листов судового обшивки и расстояния между балками набора перекрытий корпуса.

При проектировании судовых конструкций необходимо обеспечивать также достаточную вибрационную стойкость листовых панелей судовых переборок, поэтому нельзя допускать повышения на перекрытиях жестких опорных точек и следует так выбирать жесткость панелей, чтобы они не подвергались резонансной вибрации.

Перечень требований к качеству изготовления конструкций далеко не полный и может быть продолжен. В частности, очень многое определяется качеством судостроительных работ. Сталь не должна подвергаться перегреву; изгиб ее может происходить только при надлежащих условиях нагрева, до ее при температуре 165—370°C, так как в этом интервале деформированная сталь производит неблагоприятное воздействие на ее хрупкую прочность (вязкость). Прожженный материал необходимо браковать.

При сборке элементов конструкций не должна допускаться сколько-нибудь значительная раковинность, выходящая за допустимый местный изгиб, а при подгонке деталей нельзя

использовать методы, приводящие к значительным остаточным напряжениям. Отказав и механическая обработка кромок листов вызывает охрупчивание материала в районе обреза, вследствие чего при сравнительно низких температурах значительно уменьшаются размеры усадки и энергия разрушения материала. Поэтому все свободные кромок листов требуется тщательно сглаживать, а в случае ручной огневой резки перед сглаживанием надо спалить первый слой охрупченной крошки. Это относится к свободным крокам вырезов в палубных листах и в стенках балок, к крокам полок и фланцев составных балок, к крокам книц и бракет; особенно тщательно должна быть сглажена верхняя кромка шпартрека.

Во избежание трещин в ранее наплавленном материале заделываемости сварки должна быть такой, чтобы свариваемые части могли свободно сжиматься. Временные крепежные детали при сборке должны применяться в минимальном количестве, а их прихватку и приварку надо выполнять таким образом, чтобы в материале элементов конструкции не образовались подрезы, трещины и другие недопустимые пороки. Качество сварных швов зависит, конечно, и от квалификации сварщиков. Наконец, необходим постоянный тщательный контроль за качеством сварочных работ непосредственно в процессе их выполнения.

На прочность стальных конструкций может оказывать также существенное влияние механический и коррозионный износ. В японских Правилах требуется учитывать запас на износ в толщинах продольных связей корпуса судна, равный 2 и 3 мм соответственно для судовозных судов и танкера, что составляет около 25% номинальной толщины — для сравнительно небольших судов и около 10% — для больших. В других Правилах запас на износ предусматривается лишь в косвенном виде: путем соответствующего изменения допускаемых напряжений. Поскольку фактический износ зависит от средств противокоррозионной защиты, то контроль за его состоянием во время эксплуатации судна является важным фактором обеспечения надежности судовых конструкций.

Из сказанного можно видеть, от какого большого числа разнообразных факторов зависит надежность корпуса и как трудно ее практически обеспечить. Учет этих факторов позволяет более правильно оценивать действительную роль расчетных и допускаемых напряжений в условиях расчетов прочностных корпусов морских судов. В допускаемые напряжения вводятся эмпирические коэффициенты запаса по отношению к опасным значениям напряжений. Значения коэффициентов тесно связаны с требованиями Правил классификационных обществ и конструктивному оформлению основных связей и узлов и к технологии постройки судна. Необходимо подчеркнуть, что изменения в значениях коэффициентов запаса вносят с большой осторожностью,

в область применимости выбранных коэффициентов запаса (з вместе с ними — допускаемых напряжений), а также методики расчета действующих напряжений), как правило, ограничивается судами традиционных архитектурно-конструктивных типов и размерений с подобными условиями плавания. Экстраполяция за границы этой области возможна лишь в сравнительно небольших пределах.

Равенство расчетных напряжений допускаемым как условие обеспечения прочности корпуса принимается в настоящее время всеми классификационными обществами. При рассмотрении вопроса о критериях безопасности работы корпуса при эксплуатации судов в Десятком комитете Третьего Международного конгресса по конструкции судов (1967) была признана правильной практика классификационных учреждений, которые принимают в качестве критерия надежности уровень допускаемых напряжений при расчете эквивалентного бруса в упругой области.

Из сказанного явдно и ограниченность критерия допускаемых напряжений. Чтобы преодолеть ее, необходимо расширить осязательность, заключенную в оценке прочности и надежности судового корпуса. Это прежде всего вопрос о том, относительно какого опасного состояния следует определять коэффициент запаса прочности судовых конструкций: относительно некоторого предельного состояния общего упругого деформирования при односторонней наиболее неблагоприятной совокупности силовых воздействий либо относительно состояния, соответствующего хрупкому разрыву, либо, наконец, относительно некоторого состояния, обусловленного усталостным повреждением конструкции за какое-то время ее эксплуатации. Решению этих и других вопросов способствуют достижения в области механики разрушения, экспериментальные исследования работоспособности корпусных конструкций, анализа повреждений и разрушений корпусов судов в эксплуатационных условиях.

Возрастающее претиссленных опасных состояний в значительной степени зависит от тех факторов, которые были названы выше (конструктивное оформление связей корпуса и качество материала, технология постройки корпуса и т. д.). Изучение этих факторов и исследование закономерностей, их определяющих, — также необходимое условие для перехода от условного критерия допускаемых напряжений к физическому обоснованному критерию. Уже сегодня есть (я отчасти реализованы) возможности для выполнения сравнительного анализа, результаты которого позволят найти закономерности использования опыта судостроения и эксплуатации при проектировании судов новых типов и размерений, при создании которых нельзя использовать оправданные практикой условные критерии и эмпирические коэффициенты. Обсуждая эти возможности и перспективы их реализации завершил книгу.

Параграфы 1, 2, 26—29, 44 написаны Ф. Г. Канделем.

## ВОЛНОВЫЕ НАГРУЗКИ НА КОРПУС СУДНА, ДЕЙСТВУЮЩИЕ НА НЕРЕГУЛЯРНОМ МОРСКОМ ВОЛНЕНИИ

### Глава I. ОСНОВНЫЕ ПОНЯТИЯ ВЕРОЯТНОСТНЫХ МЕТОДОВ

При плавании судна на волнении, которое, как правило, носит нерегулярный характер, все процессы, определяющие движение судна и напряжения в его корпусе, являются случайными процессами. Для их описания, изучения и расчета в судостроительной науке уже в течение 15—20 лет применяется совокупность методов и приемов, заимствованных из теории вероятностей, математической статистики, теории случайных процессов, статистической динамики и развитых применительно к задачам о качке судна, внешних силах и напряжениях на волнении и т. п. Эту совокупность называют вероятностными методами. Их теоретические основы вылагаются в курсах по перечисленным математическим дисциплинам, а наиболее полное описание прикладных методов содержится в монографии В. В. Екимова [19].

Ниже приводится описание основных понятий, использованных в последующем изложении.

#### § 1. Случайные величины, случайные процессы и их характеристики

**Случайные величины и их характеристики.** Будем многократно воспроизводить некоторый фиксированный комплекс условий и регистрировать интересующие нас события (или величину), порождаемое этим комплексом. Если при этом событие может осуществиться, а может и не осуществиться, то оно называется случайным. Если величина может принять какое-либо не известное заранее значение, то она называется случайной.

Пусть, например, судно идет с постоянной скоростью и курсом на волнении постоянной высоты. Это фиксированный комплекс условий. нас интересует следующее событие: появление в течение каждой минуты движения в некоторой точке палубы в районе мидель-шпангоута, где установлен специальный датчик, записывающий значения которых надлежит, например, в материале 0,5—0,6 предела текучести материала  $\sigma$ . При просмотре последовательных длительностью в 1 мин. участков непрерывной записи напряжений (осциллограммы) обнаруживается, что далеко не на каждом из них зарегистрированы интересующие нас значения. Следовательно, появление также напряжений — случайное событие. Легко убедиться в том, что такое утверждение справедливо и для напряжений любого другого уровня.

Отношение числа осуществившихся событий к общему числу воспроизведенных опытов называется частотой появления события. Увеличивая число опытов и наблюдая за изменениями частоты, обычно можно констатировать, что она стабилизируется около некоторого значения.

**Частотность  $P(X)$  события  $X$**  при данных условиях опыта называется теоретической его частотой, около которой имеют тенденцию стабилизироваться действительная частота события при многократном повторении опыта.

Необходимо подчеркнуть два обстоятельства, важных для правильного понимания и использования понятия вероятности и построенных на нем вероятностных методов.

Вероятность — объективная характеристика случайных величин, позволяющая лучше познать и использовать закономерности сложных явлений, ибо, по словам Ф. Энгельса, где на поверхности происходит игра случая, там сама эта случайность всегда оказывается подчиненной внутренним, скрытым законам. Все дело лишь в том, чтобы отыскать эти законы.

Понятие вероятности имеет смысл лишь при массовом воспроизведении однородных условий. «Закономерности, проявляющиеся в этой массе, оказываются практически независимыми от индивидуальных особенностей отдельных случайных явлений, входящих в массу. Эти отдельные особенности в массе как бы взаимно погашаются, нивелируются, и средний результат массы случайных явлений оказывается практически уже не случайным. Именно эта многократно подтвержденная опытом устойчивость массы случайных явлений и служит базой для применения вероятностных методов исследования. Метод теории вероятностей приспособлен только для исследования массовых случайных явлений; он не дает возможности предсказывать исход отдельного случайного явления, но позволяют предсказать средний результат массы аналогичных опытов.

Чем больше количество однородных случайных явлений участвует в задаче, тем определеннее и отчетливее проявляются

применяя им статистические законы, тем с большей уверенностью и полностью можно осуществить научный прогноз.

Во всех случаях, когда применяются вероятностные методы исследования, цель их в том, чтобы, минуя слишком сложное (и зачастую практически невозможное) изучение отдельного явления, обусловленного слишком большим количеством факторов, обратиться непосредственно к законам, управляющим массами случайных явлений [1].

Рассмотренный выше пример позволяет говорить о вероятности появления аварийной определенной úrovни, поскольку минутных промежуточных движений судна при фиксированном количестве условий может быть достаточно много. Если же обратиться к явлению разрушения корпуса, то, очевидно, говорить о его вероятности нельзя, поскольку невозможно воспроизвести это явление многократно. В то же время существует вероятность гибели какой-то части мирового флота в течение года.

Зависимость, связывающая значение  $x$  случайной величины  $X$  с вероятностью  $P(x)$  появления этого значения, называется законом распределения случайной величины. В дальнейшем мы ограничимся рассмотрением положительных случайных величин  $x \geq 0$ .

Интегральный закон  $F(x)$ , или функция распределения, выражает вероятность того, что случайная величина  $X$  имеет значение, равное или меньшее  $x$ :

$$F(x) = P\{X \leq x\}.$$

С этой функцией тесно связана функция обеспеченности, которая выражает вероятность того, что случайная величина  $X$  имеет значение, большее  $x$ :  $Q(x) = P\{X > x\}$ .

Значения случайной величины, вероятности которых фигурируют в правых частях этих формул, в сумме составляют все возможные ее значения. Как известно, сумма вероятностей всех значений случайной величины равна единице, поэтому

$$Q(x) + 1 - F(x). \quad (1.3)$$

Дифференциальный закон  $p(x)$ , или плотность вероятности, является производной от функции распределения:

$$p(x) = \frac{dF(x)}{dx}.$$

Очевидно, что

$$F(x) = \int_0^x p(x) dx, \quad (1.2)$$

$$Q(x) = \int_x^{\infty} p(x) dx. \quad (1.3)$$

Закон распределения служит исчерпывающей характеристикой случайной величины. В частности, с его помощью определяются числовые статистические характеристики случайной величины.

Математическим ожиданием называется случайная величина, определяемая выражением

$$\bar{x} = \int_0^{\infty} x p(x) dx. \quad (1.4)$$

Оценкой математического ожидания для совокупности  $N$  случайных величин  $x_i$  служит их среднееарифметическое

$$\bar{x} = \frac{1}{N} \sum_{i=1}^N x_i.$$

Дисперсией называется случайная величина, определяемая выражением

$$D_x = \int_0^{\infty} (x - \bar{x})^2 p(x) dx \quad (1.5)$$

и характеризующая разброс случайных величин относительно их среднего значения.

Осевой дисперсией для совокупности  $N$  случайных величин  $x_i$  служит величина

$$D_x = \frac{1}{N-1} \sum_{i=1}^N (x_i - \bar{x})^2,$$

которая при большом  $N$  приближенно равна среднееарифметическому квадрату центрированных случайных величин  $(x_i - \bar{x})$ .

Стандартом называется случайная величина, равная корню квадратному из дисперсии:

$$\sigma_x = \sqrt{D_x} \quad (1.6)$$

и служащая мерой разброса.

Характерным значением случайной величины называется такое ее значение, которому соответствует некоторое характерное значение закона распределения. Чаще всего принимается характерное значение функции обеспеченности:  $Q^* = 3\%$ ,  $Q^* = 10^{-6}$  и т. д.; ему соответствует характерное значение случайной величины этой обеспеченности:  $x_{0.3}$ ,  $x_{10^{-6}}$  и т. д. Поскольку и случайные характерные значения, и неслучайные статистические характеристики связаны с законами распределения, они могут быть выражены также друг через друга. Конкретный вид этих выражений зависит, естественно, от вида закона распределения.

Рассмотрим законы распределения, которые будут использоваться в дальнейшем.

Нормальный закон (закон Гаусса):

$$F(x) = \frac{1}{\sigma \sqrt{2\pi}} \int_{-\infty}^x \exp\left[-\frac{(x-\bar{x})^2}{2\sigma^2}\right] dx; \quad (1.7)$$

$$Q(x) = \frac{1}{\sigma \sqrt{2\pi}} \int_x^{\infty} \exp\left[-\frac{(x-\bar{x})^2}{2\sigma^2}\right] dx; \quad (1.8)$$

$$p(x) = \frac{1}{\sigma \sqrt{2\pi}} \exp\left[-\frac{(x-\bar{x})^2}{2\sigma^2}\right]; \quad (1.9)$$

где  $\bar{x}$  и  $\sigma$  — математическое ожидание и стандарт случайной величины, для которой справедлив этот закон распределения;  $\exp U = e^U$  ( $e$  — основание натуральных логарифмов).

Нормальный закон наиболее часто встречается в практических приложениях. В частности, он описывает распределение случайных ординат волнового профиля, волновых нагрузок и т. д.

Закон Релея:

$$F(x) = 1 - \exp\left(-\frac{x^2}{E_x}\right); \quad (1.10)$$

$$Q(x) = \exp\left(-\frac{x^2}{E_x}\right); \quad (1.11)$$

$$p(x) = \frac{2x}{E_x} \exp\left(-\frac{x^2}{E_x}\right); \quad (1.12)$$

где  $E_x$  — параметр закона, случайная величина, равная среднему квадрату случайной величины:

$$E_x = \int_0^{\infty} x^2 p(x) dx; \quad (1.13)$$

Математическое ожидание и дисперсия случайной величины, распределенной по закону Релея, легко получить подстановкой выражения (1.12) в зависимости (1.4) и (1.5):

$$\bar{x} = \frac{1}{2} \sqrt{\pi E_x} = 0,885 \sqrt{E_x}; \quad (1.14)$$

$$D_x = \frac{4-\pi}{4} E_x = 0,215 E_x; \quad (1.15)$$

Формулы (1.11) позволяют установить связь между характеристиками обеспеченности  $Q^*$  и соответствующими характеристиками значениями случайной величины:

$$\frac{x_{Q^*}}{\sqrt{E_x}} = \sqrt{-\ln Q^*}. \quad (1.16)$$

Численные значения приведены ниже:

$Q^*$	1	$10^{-1}$	$10^{-2}$	$10^{-3}$	$10^{-4}$	$10^{-5}$	$10^{-6}$	$10^{-7}$	$10^{-8}$	$10^{-9}$	$10^{-10}$
$\frac{x_{Q^*}}{\sqrt{E_x}}$	0	1,52	2,15	2,63	3,02	3,40	3,70	4,06	4,30	4,55	4,80

Закон Релея описывает распределение случайных высот волн, амплитуд волновых нагрузок на стационарном волнении и т. д.

Закон Вейбулла:

$$F(x) = 1 - \exp\left[-\left(\frac{x}{a}\right)^k\right]; \quad (1.17)$$

$$Q(x) = \exp\left[-\left(\frac{x}{a}\right)^k\right]; \quad (1.18)$$

$$p(x) = \frac{kx^{k-1}}{a^k} \exp\left[1 - \left(\frac{x}{a}\right)^k\right]; \quad (1.19)$$

где  $k$  и  $a$  — параметры закона, через которые математическое ожидание и дисперсия выражаются соотношениями

$$\bar{x} = a \Gamma\left(\frac{1}{k} + 1\right); \quad (1.20)$$

$$D_x = a^2 \left[ \Gamma\left(1 + \frac{2}{k}\right) - \Gamma^2\left(\frac{1}{k} + 1\right) \right]; \quad (1.21)$$

здесь  $\Gamma$  — гамма-функция. При  $k=2$  и  $a = \sqrt{E_x}$  закон Вейбулла переходит в закон Релея.

Двукратным логарифмированием (1.18) получим соотношение между характеристиками обеспеченности и случайной величины:

$$k (\ln x_{Q^*} - \ln a) = \ln(-\ln Q^*). \quad (1.22)$$

Численные значения приведены ниже:

$Q^*$	$10^{-1}$	$10^{-2}$	$10^{-3}$	$10^{-4}$	$10^{-5}$	$10^{-6}$	$10^{-7}$	$10^{-8}$	$10^{-9}$	$10^{-10}$
$k (\ln x_{Q^*} - \ln a)$	0,832	1,53	1,93	2,22	2,44	2,63	2,77	2,91	3,02	3,12

Случайные процессы и их характеристики. Функция, значение которой при каждом значении аргумента является случайной величиной, называется случайной функцией. Если аргументом служит время, случайная функция называется случайным процессом. Поскольку ординаты  $x(t)$  процесса являются случайными величинами, для них существуют законы распределения и статистические характеристики. Из рассмотренных выше неслучайных характеристик нам понадобится математическое

амплитуды и дисперсия, значения которых при определенных условиях служат выражения:

$$\bar{x}(t) = \frac{1}{T} \int_0^T x(t) dt, \quad (1.23)$$

$$D_x(t) = \frac{1}{T} \int_0^T [x(t) - \bar{x}(t)]^2 dt, \quad (1.24)$$

Если эти величины не изменяются во времени, т. е.  $\bar{x} = \text{const}$  и  $D_x = \text{const}$ , случайный процесс называется стационарным<sup>1</sup>.

Важной характеристикой случайного процесса, которой нет у случайной величины, служит функция дисперсионной плотности, или просто спектр.

Известно, что регулярный колебательный процесс можно разложить на гармонические колебания различных частот (эта операция называется гармоническим анализом). Распределение амплитуд таких колебаний по частотам называется спектром процесса. Поскольку энергия колебаний каждой гармоники пропорциональна квадрату амплитуд, спектр характеризует также распределение по частотам энергии колебаний и потому называется энергетическим спектром. Аналогичное спектральное описание можно дать и стационарному случайному процессу, если разложить его на составляющие различных частот. Так как амплитуды случайного процесса — случайные величины, то и амплитуды каждой составляющей и разложения случайны и имеют свою дисперсию. Распределение этих дисперсий по частотам и есть спектр случайного процесса. Он также является энергетическим спектром, поскольку энергия случайной составляющей пропорциональна ее дисперсии.

Сказанное поясняет рис. 1, где приведено построение приближенного ступенчатого спектра случайного процесса, разложенного на конечное число составляющих. Площадь каждого прямоугольника  $S(\omega) \delta(\omega)$  численно равна энергии соответствующей составляющей или дисперсии ее амплитуд. При бесконечно малой ширине частотной полосы  $\delta\omega$  число прямоугольников бесконечно увеличивается, и ступенчатая диаграмма переходит в плавную кривую  $S(\omega)$ . Площадь под кривой, выражаемая определенным интегралом, численно равна дисперсии случайного процесса:

$$D_x = \int_{-\infty}^{\infty} S(\omega) d\omega, \quad (1.25)$$

Формула (1.25) является одним из основных соотношений между спектральными и статистическими характеристиками случайного процесса.

<sup>1</sup> Условие стационарности является также эквивалентно от времени корреляционной функции процесса, которая не зависит от времени.

Статистические характеристики ординат и амплитуд случайных процессов, которые представляют для нас интерес (морские вышлепы, водонапорные нагрузки, напряжения в корпусе и т. п.), также связаны между собой определенными соотношениями. В частности, амплитуды этих процессов распределены по закону Рэлея [см. формулы (1.10) — (1.12)], в котором параметр  $E_x$  выражается через дисперсию ординат  $D_x$ :

$$E_x = 2D_x = 2\sigma_x^2. \quad (1.26)$$

Использование (1.25) и (1.16) позволяет по известной дисперсии процесса ( $D_x$  следовательно, по известному его стандарту)

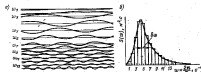


Рис. 1. Разложение случайного процесса на конечное число составляющих и его энергетический спектр:  $x$  — составляющие процесс;  $0$  — спектр.

найти характерные значения амплитуд  $A$  случайного процесса, например,

$$\left. \begin{aligned} \bar{A} &= 1,35\sigma_x; \\ A_{0,9} &= 2,65\sigma_x; \\ A_{0,99} &= 3,72\sigma_x. \end{aligned} \right\} \quad (1.27)$$

Таким образом, зная дисперсию случайного процесса обеспечивается получение всех его статистических характеристик. Поэтому формула (1.25), позволяющая найти дисперсию стационарного процесса во его спектре, имеет огромное практическое значение. Следовательно, задача сводится к нахождению спектра интересующего нас процесса.

## § 2. Преобразование случайного процесса динамической системой

Во многих отраслях техники и в соответствующих разделах наук, в том числе и судостроительной науке, используются идеи и аппарат статистической динамики. Объектом ее изучения является динамическая система, преобразующая поданный на ее

ход сигнала и некоторый сигнал на выходе. При этом свойства последнего полностью определяются свойствами сигнала на входе и характеристиками динамической системы. Корпус судна также может рассматриваться как динамическая система, на вход которой воздействует «входной» случайный процесс морского волнения, а «выходными» процессами являются процессы изменения нагрузок, напряжений в конструкциях, параметров качки и т. п.

По способу преобразования сигнала динамические системы делятся на линейные и нелинейные. Обычно корпус судна считают линейной динамической системой относительно волновых нагрузок, которая так преобразует случайный процесс в соответствующий выходной, что амплитуды выходного прямо пропорциональны амплитудам входного процесса. Линейность корпуса судна как динамической системы связана с предположением о прормосенности корпуса в районе высоты его бортов, омываемой волнами. В работе [50] были приведены средние данные о сравнительно небольшой негнотности, обусловленной предположением о прормосенности корпуса судна при определенном вертикальном изгибающемся моменте в мидельном сечении корпуса на регулярной волне. Имеющиеся данные в основном относятся только к амплитудам вертикальных изгибающих моментов в районе мидели и свидетельствуют лишь о небольшом влиянии непрормосенности бортов корпуса судна на амплитуды этих моментов. Можно предположить, что еще меньшее влияние может оказывать возможная нелинейность корпуса судна как динамической системы на статистические характеристики выходных случайных процессов.

Основной характеристикой линейной динамической системы является ее передаточная функция (или амплитудно-частотная и фазово-частотная характеристики). Подробно вопрос об определении частотных характеристик был рассмотрен нами ранее [50]. Напомним лишь, что для их построения определяется реакция системы на гармоническое воздействие частоты  $\omega$  и фиксируется отношение  $a(\omega)$  амплитуды на выходе к амплитуде на входе, а также сдвиг фаз между выходом и входом. Кривые зависимости указанного отношения и сдвига фаз от частоты  $\omega$  и называются соответственно амплитудно-частотной и фазово-частотной характеристиками динамической системы относительно данного выходного процесса.

Амплитудно-частотная характеристика используется при описании так называемого спектрального преобразования, осуществляемого линейной динамической системой: спектральная плотность выходного процесса  $S_{\text{вых}}(\omega)$  равна произведению спектральной плотности входного процесса  $S_{\text{вх}}(\omega)$  на квадрат амплитудно-частотной характеристики системы, т. е.

$$S_{\text{вых}}(\omega) = a^2(\omega) S_{\text{вх}}(\omega). \quad (1.23)$$

Именно для получения спектра выходного процесса и последующего его интегрирования с целью определить дисперсию процесса [см. формулу (1.25)] и используется спектральное преобразование (1.23).

Другое важное свойство линейной динамической системы заключается в том, что она преобразует случайный процесс, амплитуды которого подчиняются закону Релея, в другой случайный процесс с таким же законом распределения амплитуд.

В заключение отметим, что корпус судна не может быть признан линейной динамической системой относительно некоторых видов нагрузок (например, относительно ударной нагрузки). Это делает неприемлемыми в данном случае понятие частотной характеристики системы и спектральное преобразование и заставляет искать другие методы для нахождения статистических характеристик таких нагрузок.

## Глава 2. ВЕРОЯТНОСТНЫЕ ХАРАКТЕРИСТИКИ МОРСКОГО ВОЛНЕНИЯ

### § 3. Общее описание нерегулярного морского волнения

Волны на поверхности морей и океанов порождаются разными причинами: они могут быть, например, сейсмическими, приливно-отливными и т. д. Однако наиболее интересными для кораблестроителей являются, конечно, ветровые волны.

Создавая ветер потока воздуха имеют сложный турбулентный характер, т. е. в каждой точке потока вектор скорости отклоняется по направлению и по величине от некоторого господствующего направления и некоторой средней величины, причем эти отклонения изменяются во времени. Создаваемое вду воздухом море турбулентным ветром поле давлений оказывается по своей интенсивности неравномерным и пульсирующим. В тех местах, где интенсивность давлений меньше некоторой средней величины, уровень воды поднимается и образуются холмы, а там, где она больше средней величины, уровень воды понижается и образуются впадины. Силы тяжести воды стремятся восстановить нарушенное ветром равновесие в поверхностном слое воды; т. е. заставляют опускаться холмы и подниматься впадины. Так под влиянием поля давлений, создаваемого ветром и силами тяжести воды, происходят вертикальные перемещения частиц воды в верхнем слое поверхности моря, причем на большой глубине частицы совершают движение по круговым орбитам, радиус которых определяется амплитудой их вертикального перемещения. По толщине слоя воды эти движения затухают, подчиняясь экспоненциальному закону.

Вертикальные перемещения поверхностных частиц воды, возникающие от действия ветра и образующие волновую поверхность, и называют морским ветровым волнением. Поскольку для ветра характерна нерегулярность действия, естественно, и генерируемое им волнение тоже оказывается нерегулярным.

По описанию В. Баскова [1], развитие морского волнения происходит следующим образом. По мере роста волн их извершинный склос становится все выше и круче, процесс образования волн начинается идти ускоренным темпом, но до определенного момента, поскольку отношение высоты волны к ее длине (крутизна) имеет предел 1:7. Как только мелкие крутые волны переходят эту грань, их гребни опрокидываются — волны разбиваются и на их вершинах образуется белая пена — «барашки». О море, покрытом барашками, говорят, что оно «неспокойно». Когда ветер срывает гребни волн и заставляет волну разбиваться в открытом море, часть энергии волн расходуется вследствие турбулентности, но огромная ее доля переходит к более длинным и более устойчивым волнам. Следовательно, длинная волна может получить больше энергии и достигнуть большей высоты, чем короткая, возмущая при том же ветре. Поэтому мелкие волны уступают место крупным, которые лучше сохраняют энергию. Но на склонах крупных волн образуется новая рябь и новые мелкие волны. Таким образом, в области, где скорость ветра превышает скорость волн, имеется целый ассортимент волн, различающихся по длине. Одновременно более длинные волны продолжают аккумулировать энергию малых волн. И хотя ветер по-прежнему возбуждает волны разной длины, самые короткие быстро достигают предельной крутизны и разрушаются, между тем как длинные волны продолжают расти.

В книге В. В. Корняк-Круковского «Теория морозности» [2] как бы продолжается описание развития морского волнения. Когда ветер еще более усиливается, длина и высота волн быстро растут. Всем морякам известно, что при внезапно поднявшемся ветре волны оказываются круче, чем на развитом волнении при том же ветре. При установившейся средней скорости ветра и волнах, достигших волносо развития, сохраняется некоторая максимальная волна, соответствующая этой скорости. Ее моряки называют «за». Такую волну можно видеть более или менее ясно в волновом беспорядке бурного моря. Чем более развито волнение, тем заметнее появление таких волн. Дальнейшии возмущателем полностью развитого волнения при штормовом ветре является увеличение длин волновых гребней.

<sup>1</sup> Здесь английское слово *swell* не относится к особому приращиваемой волне, которую будем называть дальнейшей волной. Именно по порядку моряки замечают в штормовом журнале, характерную для шторма или нерегулярное волнение. Обозначение длины и периода этой волны обычно ставят под выделом  $\sigma = N, T$ , чтобы отметить, что это относится к волне наблюдаемой волне.

Характерная волна оказывается полностью покрытой более короткими волнами вплоть до ряби. Стереофотограммы показывают, что волнообразно колеблющаяся поверхность моря состоит из наложенных поверх больших волн меньших и наименьших. В частности, для штормовых волн это особенно характерно. Длинная «втянутая» волна почти всегда хорошо видна, и ее поверхность оказывается очень неровной. Короткие волны меристрануются, поглощая энергию ветра, достигают максимальной крутизны и распадаются; они являются важным фактором в процессе переноса энергии от ветра воде.

Дальнейшии признаком развития морского волнения служит появление нерегулярности в той последовательности, с которой характерные волны моря следуют одна за другой, а также появление групповых волн. Если попытаться следить некоторое время за изолированным гребнем волн, то можно заметить, что этот гребень не существует долгого времени, а постепенно теряет свою высоту, исчезая в волновом беспорядке, а в время как другой гребень растет и впоследствии тоже исчезает. С судна, движущегося с попутной волной, можно заметить увеличение и уменьшение высот волн, когда скорость их примерно равна скорости судна. Для волновых гребней по борту судна часто меняют высоты так, что задний увеличивается, а передний постепенно исчезает. В дальнейшем задний тоже кажется исчезающим, а в другом месте по борту судна начинает расти новый гребень.

Морское волнение в полностью для в почти полностью развитом состоянии нельзя описать одной характерной волной, хотя она оказывается наиболее заметной почти при всех скоростях ветра. По мере развития волнения в его составе ясно образуются совокупности более длинных и существенно более пологих волн. Взаимодействие этих главных волн, покрытых волнами более мелких, дает наблюдателю картину нерегулярности волновой поверхности и делает понятным наблюдаемое в море явление волновых групп.

Приведенное описание развития морского волнения сделал Г. Нейманом на основании собственных наблюдений, а также данных Саераруна и Мука (1946), Пальмева (1932—1936), Релла (1951). Подходящее разнообразие информации о морском волнении была получена специалистами и комплексными океанологическими исследованиями, кораблями погоды, при отдельных мореходных исследованиях судов. Такие исследования выполнялись и выполняются как в нашей стране, так и за рубежом [13]. Наиболее ценным источником информации о волнении служат инструментальные измерения, результаты которых имеют вид либо волнограммы — запись во времени колебаний уровня моря в фиксированной точке (рис. 2), либо планшета — совокупности изометий, соединяющих точки равных уровней в фиксированный момент времени (рис. 3).

Картина нерегулярного волнения зависит от условий волнообразования. Накладываясь друг на друга, волновые системы создают «слома» — волны с короткими гребнями. Такое волнение называется трехмерным (рис. 3) и является типичной формой реального ветрового волнения. Если представить себе, что ветер постоянного направления достаточно долго действует по

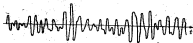


Рис. 2. Волнограмма.

широкому фронту, то вызванные им волны будут перемещаться в одном направлении, причем длинные гребни их будут примерно параллельны друг другу. Такое волнение называется двумерным и иногда может звать место в действительности. Однако чаще всего рассматривают двумерное волнение как упрощенную модель реального трехмерного волнения.



Рис. 3. Планшет волнения.

Нерегулярность процесса морского волнения является его фундаментальным свойством. Установление этого факта способствовало значительному прогрессу в изучении как самого волнения, так и процессов, порождаемых им в корпусе судна (качка, напряжения и т. д.).

Случайный процесс морского нерегулярного волнения после его возникновения проходит стадию развития, в которой энергии

волн и их размеры возрастают, но одновременно увеличивается и диссипация энергии (рассеивание энергии на преодоление внутренних сопротивлений воды). После того как в течение какого-то времени действовал ветер со средней постоянной скоростью, наступает момент, когда приток энергии от ветра к волнам становится равным диссипации энергии. Рост волн прекращается, они лишь сохраняют те свои наибольшие размеры, которых достигли в самом конце стадии развития. Волнение при этом достигает своего полного развития, соответствующего данной скорости ветра и его разгогу (расстоянию от подветренного берега, со стороны которого дует ветер). Сама продолжительность действия ветра данной силы для создания полностью развитого нерегулярного волнения зависит от скорости ветра и от его разгона. Из табл. 1 видно, например, что при скорости ветра 56 уз (28,8 м/с) разгон его должен быть не менее 2100 миль (3850 км), а продолжительность его непрерывного действия будет не менее 88 ч (3,7 сут). Очевидно, что такое сочетание скорости ветра с разгоном, в основном — с непрерывной его продолжительностью, является событием чрезвычайно редким даже для океана.

Таблица 1

Условия полного развития морского волнения

Скорость ветра, уз	10	20	30	40	50
Разгон в милях, морские мили	10	75	280	710	1420
Продолжительность непрерывного, ч	2,4	10	23	42	69

Когда волнение стало полностью развитым и волны приобретут предельные при данной скорости ветра размеры, их энергия достигнет тоже наибольшего значения, так что ветер будет лишь покрывать расход энергии волн на диссипацию, и в это время вся энергия волновой системы будет оставаться постоянной. При этом остаются неизменными во времени и статистические характеристики полностью развитого нерегулярного морского волнения, что позволяет считать его в статистическом смысле установившимся, стационарным (или квазистационарным).

Полностью развитое волнение обычно сохраняется в течение лишь нескольких часов. Если средняя скорость ветра, соответствующая данному волнению, начнет уменьшаться, то будет затухать и волнение. При этом в первую очередь и быстрее затухают волны малых периодов (малых длин), обладающих относительно малой энергией. Длинные волны, обладающие большой энергией, затухают медленно и могут долго еще сохраняться и после прекращения ветра.

Совокупность длинных волн, сохранившихся после прекращения ветра или вышедших из района действия шторма, называется морской зыбью. Зыбь состоит из длинных, гладких, пологих волн, периоды которыхпадают в пределах сравнительно небольшого диапазона. Волны зыби во своем периоде и высоте существенно менее нерегулярны, чем ветровые волны.

При действии ветра, направление которого противоположно направлению распространения волн зыби, последние будут гаситься и скоро затухнут, а ветер будет создавать новое волнение. Если же направление скорости ветра окажется близким к направлению распространения волн зыби, то последние будут воз-

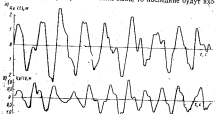


Рис. 4. Зыбь волнении а — ветрового (6 баллов); б — смешанного (4 балла).

расти в ту совокупность волн, которая образуется в результате действия ветра. В связи с этим различают чисто ветровое волнение, в составе которого нет волн зыби (рис. 4, а), и смешанное волнение, в котором имеются и волны зыби (рис. 4, б).

Наибольший интерес обычно представляет морское нерегулярное волнение как основной источник силовых воздействий на корпус судна и на судно в целом, от которых зависит мореходные качества судна, его прочность и надежность. В первую очередь важно знать наибольшие силовые воздействия на судно в условиях полностью развитого ветрового волнения, при котором волновая система состоит из волн наибольших размеров, обладающих наибольшей возможной для данной скорости ветра энергией. В стадии же развития и затухания волнения силовые воздействия на судно будут, очевидно, меньше. Поэтому основной интерес представляет изучение стационарного волнения, которое ведется в двух направлениях: путем статистического анализа совокупности видимых волн и спектрального анализа случайного процесса волнения.

#### § 4. Статистические характеристики элементов видимых волн стационарного волнения

Трехмерная волна характеризуется рядом элементов: высотой, периодом, длиной волны и длиной гребня. Эти элементы — случайные величины, имеющие свои законы распределения и статистические характеристики (см. § 1). Экспериментальные данные о элементах трехмерных волн получают обычно с помощью эростереофотограммы (см. рис. 3), выполнение которой сопря-

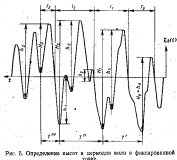


Рис. 5. Определение высот и периодов волн в фиксированной точке.

жено с большими трудностями. Массовые же измерения волнения производится более простыми приборами — волнографами, которые регистрируют не элементы трехмерных волн, а колебания поверхности моря в точке, где расположено поплавков с датчиком (см. рис. 2 и 3). Поэтому вводится понятие об элементах волн в фиксированной точке моря, для которых тоже существуют законы распределения и статистические характеристики. На основе экспериментальных данных, а также теоретического изучения распределения элементов волн трехмерных и в фиксированной точке установлена связь между ними, которая позволяет широко использовать данные волнографных наблюдений для характеристики трехмерных волн.

Высоты волн. На рис. 5 показан фрагмент волнографной записи, на которой проведена средняя линия. Ю. М. Крылов понимает под высотой волны  $H_g$  в точке  $x$ , расстояние по

вертикали от максимума, лежащего выше средней линии, до ближайшего минимума ниже этой линии» (высоты  $h_0, h_1, \dots, h_n$  на рис. 5). По мнению А. И. Вознесенского, это определение недостаточно последовательно. Действительно, если подходить к записи рис. 5 с таких позиций, окажется, что высоты  $h_2$  и  $h_4$  являются действительной высотой видимой волны  $H_2$ , регистрируемую наблюдателем, на две высоты только потому, что вторичные максимумы этой волны случайно оказались на уровне нулевой линии. В то же время отчасти выраженные, с точки зрения наблюдателя, индивидуальные волны высотой  $H_1$  вообще не должны приниматься за волну и оказываются исключенной из статистического ряда. Еще менее оправданным представляется искусственное занижение действительных высот волн, имеющих ниже нулевого уровня даже самые незначительные вторичные пики. Например, вместо высоты  $H_1$  в статистический ряд высот будет зачислена высота  $h_1$ . А. И. Вознесенский считает, что под высотой волны следует понимать расстояние по вертикали между наибольшим максимумом и наименьшим минимумом ординат случайного волнового процесса в промежутке между смежными переходами процесса через нуль в одну сторону (высоты  $H_0, H_1, H_2, H_3$  на рис. 5). Такое же определение (с отсчетом от минимума к максимуму) принято авторами работы [12] и также рекомендовано Вторым Международным конгрессом по конструкции судов.

Обобщением экспериментальных данных и теоретическим путем установлено, что высоты волн в точке моря распределены по закону Релея [см. формулы (1.10)–(1.12)], причем его параметр  $E_0$  равен среднему квадрату всех высот волн и связан с дисперсией ординат волнения  $D_0$  отношением

$$E_0 = 8D_0. \quad (1.29)$$

Это соотношение легко получить из формул (1.13) и (1.25), если учесть связь между высотами волн  $h$  и их амплитудами  $\xi_0$  ( $h = 2\xi_0$ ).

На рис. 6 показана типичная гистограмма распределения высот волн в сопоставлении с кривой закона Релея, построенной при опытном значении  $E_0$ ; видно хорошее их согласование.

Средняя высота волны, в соответствии с формулами (1.11) и (1.29), равна

$$\bar{h} = 2,5 \sqrt{D_0}. \quad (1.30)$$

Если рассмотреть значение высоты волны, численно равное случайной средней величине, можно по формуле (1.11) найти соответствующую ей обеспеченность  $Q(\bar{h}) = 0,46$ . Это означает, что 46% всех волн имеют высоту, равную и большую средней, а остальные 54% — меньше средней.

В океанографии принято строить функции распределения элементов волн, в том числе высот, для их значений, отнесен-

ных к среднему. Так, функции обеспеченности высот волн представляется в виде

$$Q(h) = \exp \left[ -\frac{\pi}{4} \left( \frac{h}{\bar{h}} \right)^2 \right]. \quad (1.31)$$

Соответствующая кривая обеспеченности высот волн показана на рис. 7.

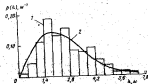


Рис. 6. Типичное распределение высот волн в точке моря.  
1 — гистограмма (наблюдения); 2 — закон Релея.

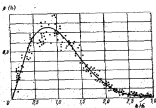


Рис. 7. Плотность вероятности отнесенных значений высот волн.  
1 — теоретическая кривая; 2 — наблюдения.

Важной статистической характеристикой является высота волны 3%-ной обеспеченности; именно по ней, как мы увидим ниже, классифицируется у нас в стране стационарное волнение. Для установления связи между высотой волны произвольной

$n\%$ -ной обеспеченности  $h_{n\%}$  и дисперсия волнения  $D_C$  воспользуемся формулами (1.16) и (1.29). Получим

$$h_{n\%} = \sqrt{-8D_C \ln \frac{n}{100}}. \quad (1.32)$$

В частности,

$$h_{5\%} = \sqrt{-8D_C \ln \frac{5}{100}} = 5,27 \sqrt{D_C}. \quad (1.33)$$

Отсюда вытекает также соотношение, позволяющее определить дисперсию волнения по известной статистической характеристике высот волн:

$$D_C = 0,143 \left( \frac{h_{5\%}}{5} \right)^2. \quad (1.34)$$

В иностранной практике стационарное морское волнение принято характеризовать так называемой *значительной высотой волны* (significant height)<sup>1</sup>, которая равна средней высоте  $1/3$  общего количества самых высоких волн и обозначается через  $h_{1/3}$ .

Значительная высота волны, выраженных через дисперсию волновых ординат, определяется следующей формулой:

$$h_{1/3} = 4,0 \sqrt{D_C}. \quad (1.35)$$

По уравнению (1.11) с учетом (1.29) и (1.35) обеспеченность значительной высоты волны оказывается равной

$$Q(h_{1/3}) = e^{-2} = 0,135 = 13,5\%. \quad (1.36)$$

Кроме значительной высоты волны в иностранной практике пользуются также высотой волны, которая равна средней величине  $1/10$  наиболее высоких волн; ее обозначают через  $h_{1/10}$  и часто условно называют максимальной, для нее

$$h_{1/10} = 5,1 \sqrt{D_C}. \quad (1.37)$$

$$Q(h_{1/10}) = e^{-2,5} = 3,9\%. \quad (1.38)$$

В табл. 2 приведены высоты волн различной обеспеченности, которые могут представлять практический интерес. Обратим внимание на то, что отношения высот волн разной обеспеченности суть постоянные, так что высота волны одной обеспеченности однократно выражается через высоты других обеспеченностей. Например, высота волны 3%-ной обеспеченности оказывается равной  $0,87h_{1\%}$ , или  $1,08h_{5\%}$ , или  $1,25h_{10\%}$ , или  $1,47h_{20\%}$ .

<sup>1</sup> Английское слово significant обозначает переводить применительно к высоте волны как «значительная». Такой перевод, однако, не является для удачным. В данном случае речь идет о высоте волн, которая в волновом беспорядке регулярного волнения наиболее ясно выделяется и которую морские визуальное наблюдение и записывают как — характерной волны.

и т. д. Другими словами, зная только одной высоты волны конкретной обеспеченности полностью определяет стационарный режим волнения. Следовательно, выбор высоты волны, например  $h_{5\%}$ , не имеет принципиального значения, но делает единичными соответствующие расчеты и сопоставимыми их результаты. Важно отметить, что при линейной зависимости определенных случайных величин от высоты волны сами величины будут иметь ту же обеспеченность, что и принята высота волны.

Таблица 2

Статистические характеристики высот волн

$h_Q$	$h_{1\%}$	$h_{5\%}$	$h_{10\%}$	$h_{20\%}$	$h_{30\%}$	$h_{40\%}$	$h_{50\%}$	$h_{60\%}$	$h_{70\%}$	$h_{80\%}$	$h_{90\%}$
$h_Q / \sqrt{D_C}$	6,1	5,3	4,9	4,3	3,6	2,35	2,5	4,0	5,1		
$h_Q / h_{1/3}$	2,44	2,12	1,96	1,72	1,44	0,94	1,0	1,50	2,04		
$h_Q / h_{1/10}$	1,15	1,0	0,92	0,81	0,68	0,44	0,47	0,75	0,96		
$h_Q / h_{1\%}$	1,52	1,33	1,23	1,08	0,90	0,59	0,635	1,0	1,27		

Волнение, рассматриваемое в течение определенного времени, содержит совокупность высот волн, представляющую собой выборку конечного объема. Из формулы (1.32) можно получить соотношения, определяющие максимальную высоту волны в выборке. Например, в выборке из 100 волн наибольшая высота имеет обеспеченность, равную, очевидно,  $Q^* = 1\%$ , и составляет  $h_{max} = h_{1\%} = 6,1 \sqrt{D_C}$ . Аналогично для выборки в 1000 волн  $h_{max} = 7,5 \sqrt{D_C}$ , для выборки в 10 000 волн  $h_{max} = 8,6 \sqrt{D_C}$  и т. д.

Сказанное выше относится к высотам волн в точке. Высота трехмерных волн  $h_{3D}$ , проходящих через фиксированную точку, равна для больших высот волн  $h$  и точки; их средние значения связаны соотношением

$$\frac{h_{3D}}{h} = \frac{4}{\pi} \approx 1,27, \quad (1.39)$$

а отношения более редких величин  $h_{max}/h$  уменьшаются и стремятся к единице, когда обеспеченность значений стремится к нулю. Это значит, что наиболее точны гидрографические измерения максимальных волн (в составе данного стационарного волнения).

Инструментальное измерение статистических характеристик волнения далеко не всегда возможно, поэтому наиболее массовые данные о высотах волн являются результатом полученных

наблюдений с судов. Как уже отмечалось выше, мерки выделяют характерную волну (sea) и визуально определяют ее высоту  $A_v$ . Представляет большой практический интерес соотношение между визуально наблюдаемой высотой волны  $A_v$  и высотами волны различной обеспеченности, например, высотой волны 3%-й обеспеченности  $A_{0,97}$  или средней высотой трети самых высоких волн  $A_{1/3}$ .

Раньше считалось, что визуально определяемая высота волны  $A_v$  приблизительно равна  $A_{1/3}$ . Так, на Втором Международном конгрессе по конструкции судов (1964) при установлении типового спектра морского волнения было принято возможным считать  $A_v = A_{1/3}$ . Однако в дальнейшем по данным визуальных и инструментальных определений высот волн одного и того же волнения с десята метеорологических судов в северной части Атлантического океана было установлено, что в общем случае такое равенство не имеет места и пользование им может приводить к существенным погрешностям. В связи с этим уже на Третьем Международном конгрессе в 1967 г. было рекомендовано пользоваться при переходе от  $A_v$  к  $A_{1/3}$  следующей линейной зависимостью (в метрах):

$$A_{1/3} = (2,55 + 0,66A_v) \quad (1.40)$$

или, учитывая, что  $A_{2\%} = 1,33A_{1/3}$  (см. табл. 2),

$$A_{2\%} = (3,38 + 0,86A_v) \quad (1.41)$$

В этих формулах обращать на себя внимание то обстоятельство, что при  $A_v = 0$  имеют место значительный подъем поверхности моря вследствие наличия длинной волны зыби, отмеченный, по-видимому, только инструментально (в Атлантическом океане зыбь имеется почти постоянно).

На том же конгрессе норвежская делегация предлагала пользоваться следующими нелинейными зависимостями:

$$\left. \begin{aligned} A_{1/3} &= 1,75A_v^{0,73}, \\ A_{2\%} &= 0,45A_v^{1,06}. \end{aligned} \right\} \quad (1.42)$$

Из доклада Е. Абрахамсена [90] известно, что эта зависимость используется в Правилах Норвежского Верфакса.

На рис. 8 представлены результаты обработки большого числа измерений высот волн; показаны границы  $m \pm z$ , определяемые для значений  $A_{1/3}$  стандартом отклонений  $z$  от среднего  $m$ , а также пределы изменения величин  $A_{1/3}$ . Такой разброс вызван субъективным характером захождения  $A_v$ . Различия носят случайный характер и могут как уменьшать, так и увеличивать высоты волн. При массовом характере наблюдения эти различия взаимно погашаются, и средние данные по высотам волн имеют большую практическую ценность. Из рисунка также

видно, что формулы (1.40) и (1.42) дают практически близкие результаты, хорошо согласующиеся с экспериментальными данными (во всяком случае, для высот волн, больших  $A_{2\%} = 3$  м).

В работе [13] на основе обработки большого числа отечественных и зарубежных данных получена зависимость между  $A_v$  и  $A_{0,97}$ , приведенная в табл. 3.

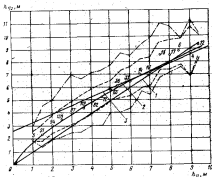


Рис. 8. Соотношения между высотами волн, определяемыми визуально и инструментальными измерениями. Кружками обозначены средние значения, цифрами — число наблюдений.

--- границы  $m \pm z$ ; — — — кривые зависимости от максимума и минимума; — — — — — эмпирические зависимости;  $f = A_{0,97} - a_{1/3} A_v$ ;  $g =$  по формуле (1.40);  $h =$  по формуле (1.42).

Периоды волн. Периодом волновых колебаний в точке, по Ю. М. Крылову, является промежуток времени между двумя последовательными пересечениями плоскости в одном и том же направлении возмущенной поверхности. С учетом замечаний, сделанных выше относительно определения высот волн, на рис. 9 показаны периоды волн  $T_0$ ,  $T_1$ ,  $T_2$ . Авторы работы [12] под периодом понимают промежуток времени между прохождением через точку соседних минимумов, соответствующих принятому определению высот волн (периоды  $T'$ ,  $T''$ ,  $T'''$  на рис. 9).

Таблица 3

Зависимость между визуальными периодом волн и высотой волны 3%-ой обеспеченности

$\lambda_{0,3}^*$	0,5	1	2	3	4	5	6	7	8
$\lambda_{0,3}/\lambda_p$	1,50	1,45	1,30	1,27	1,25	1,23	1,20	1,17	1,15
$\lambda_{0,3}^*$	9	10	11	12	13	14	15	16	17
$\lambda_{0,3}/\lambda_p$	1,15	1,13	1,10	1,08	1,07	1,07	1,05	1,05	1,04

Несмотря на различие в способах нахождения периодов, их функции распределения и статистические характеристики тождественны при любом способе определения.

Теоретически путем установления вида функции обеспеченности относительных значений периодов волн в точке моря:

$$Q(T) = \exp \left[ -\Gamma^4 \left( \frac{5}{4} \right) \left( \frac{T}{\bar{T}} \right)^4 \right]. \quad (1.43)$$

где  $\Gamma$  — гамма-функция [числовая величина  $\Gamma(5/4) = 0,9064$ ];  $\bar{T}$  — средний период (математическое ожидание). Заметим, что формула (1.43) является другой формой записи закона Вейбулла (1.18), параметры которого равны  $k=4$ ,  $n=\bar{T}/0,9064=1,103\bar{T}$ .

Анализ многочисленных волнографов записей показал [12], что распределение (1.43) справедливо для ветрового волнения и дыбы; для смешанного волнения аналитическое выражение отсутствует, ординаты графической аппроксимации функции обеспеченности даны ниже:

$T/\bar{T}$	0,25	0,50	0,75	1,00	1,25	1,50	1,75	2,00	2,25	2,50
$Q(T)$	0,99	0,94	0,75	0,50	0,37	0,11	0,11	0,05	0,02	0,01

Визуальную оценку можно дать не только высотам волн, но и периодам. Для этого с помощью синусоидера определяют интервалы времени  $T$  между последовательными проходами через наблюдаемую точку гребней волн и, имея достаточно большой статистический ряд замеров для данного стационарного волнения, строят гистограмму<sup>1</sup> распределения периодов волн

<sup>1</sup> Гистограммой называется ступенчатая диаграмма, построенная на статистической выборке случайных величин и являющаяся приближением вероятности.

(рис. 9), по которой и находят значение среднего визуально оцененного «периода»  $T_v$  [он определяется как математическое ожидание по формуле (1.7) и, следовательно, соответствует среднему числовой оси вертикально, проходящей через центр тяжести площади гистограммы].

Средние периоды волн находят в качестве аргументов в энергетический спектр морского волнения. Базой для их определения являются данные массовых попутных наблюдений и визуальные оценки средних периодов  $T_v$ . Однако не существует единого мнения относительно того, что же собственно представ-

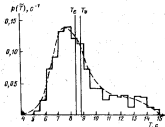


Рис. 9. Гистограмма визуально оцененных периодов волн.

ляют собой визуально оцениваемые периоды. Также весьма авторитетные ученые, как Х. Свирдруп и В. Муш, утверждают, что величина  $T_v$  является средней для наиболее отчетливо выраженных волн. С этим согласуется рекомендация Первого комитета Второго Международного конгресса по конструкции судов (1964) рассматривать каждый из визуально оцененных периодов  $T_v$  как «период» наибольших присутствующих волн, высота которых больше, чем средняя высота  $(2,5 \sqrt{D})$  или  $0,63 h_{1/3}$ . В. Парсонс высказывает несколько иной взгляд на визуально оцениваемый период. Он считает, что период  $T_v$  близок к так называемому эффективному периоду  $T_e$ , определенному по формулам спектральной теории волн (см. ниже). А. И. Вознесенский, анализируя эти разногласия, делает вывод о том, что если только спектр Неймана правильно отражает свойства полевого развитого волнения, то отмеченное выше противоречие разрешается в пользу мнения В. Парсонса.

На Втором и Третьем конгрессах по конструированию судов обсуждался вопрос о соотношении между визуальным оценочным периодом и средним периодом  $\bar{T}$ , причем если на Втором конгрессе предлагалось считать  $T_0 = \bar{T}$ , то на Третьем конгрессе такое равенство было признано неправильным и была рекомендована следующая линейная зависимость:

$$\bar{T} = 4,7 + 0,32T_0 \quad (1.44)$$

Норвежская делегация предложила другие, нелинейные зависимости:

$$\left. \begin{aligned} T_0 &= 0,052\bar{T}^{2,42} \\ \bar{T} &= 3,47T_0^{0,64} \end{aligned} \right\} \quad (1.45)$$

На рис. 10 представлены данные метеорологических судов, плавающих в Северной Атлантике. На них при стационарных

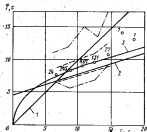


Рис. 10. Соотношения между периодами волн, определяются визуально и путем инструментальным измерений. Кривыми обозначены средние значения, цифрами — число наблюдений. — — — линия по формуле (1.44); — — — формула нелинейная от величины инструментально сопоставлена.

режимах волнения определялись величины  $T_0$ . Статистической обработкой многочисленных наблюдений получены средние значения  $\bar{T}$  и их стандарты  $\sigma$ . Видно, что различия аналитических выражений лежат в пределах разброса экспериментальных данных.

Даны волн. Функцию распределения для волн можно получить, используя аналогичную функцию для периодов волн (1.43) и зависимость между периодом и длиной, известную на гидродинамике регулярных волн:

$$\lambda = \frac{gT^2}{2\pi} = 1,56T^2 \quad (1.46)$$

Измерения элементов трехмерных волн показывают, что это соотношение имеет не функциональный, а статистический характер: для каждой отдельной трехмерной волны возможны значительные отклонения от (1.46), а то же время для средних значений  $\lambda$  и  $T$  оно справедливо [32].

Функция обеспеченности для волн аналогична такой же функции для высот волн [см. Формулу (1.31)]:

$$Q(h) = \exp\left[-\frac{\pi}{4}\left(\frac{h}{\lambda}\right)^2\right] \quad (1.47)$$

**Шкалы волнения.** Статистические характеристики видимых волн используются в качестве измерителей интенсивности стационарного волнения. В СССР действует установленная в 1963 г. шкала ГУГМС (Главное управление гидрометеослужбы при Совете Министров СССР), приведенная в табл. 4. Основной количественной характеристикой волнения здесь является высота волн 3%-ной обеспеченности, интервалом значений которой соответствуют стеньги волнения в баллах и словесная его характеристика. Кроме того, приводятся значения дисперсии волновых ординат, вычисленные по формуле (1.34). Наиболее точное описание конкретного волнения по этой шкале может быть составлено по инструментальной записи, хотя можно воспользоваться также визуально определяемой высотой характерной волны  $h_c$  и формулой (1.41) либо табл. 3.

Таблица 4

Шкала морского волнения ГУГМС

Степень волнения, баллы	Характеристика волнения	Высота волны $H_{3\%}$ , м	Дисперсия волновых ординат, $\sigma^2$
0	Отсутствует	0	0
I	Слабое	0—0,24	0—0,002
II	Умеренное	0,25—0,74	0,002—0,020
III	Значительное	0,75—1,24	0,020—0,056
IV	"	1,25—1,9	0,056—0,143
V	Сильное	2,0—3,4	0,143—0,449
VI	"	3,5—5,9	0,449—1,285
VII	Очень сильное	6,0—8,4	1,285—2,580
VIII	То же	8,5—10,9	2,580—4,320
IX	Исключительно	11,0 и более	4,320 и более

Однако инструментальные записи морского волнения и их статистическая обработка сложны, дороги, часто трудны, а в условиях сильных штормов оказываются физически невозможными. Хотя за последние годы и произведено много инструментальных записей морского волнения, главным образом

<sup>1</sup> В. Пирсон предлагает другое соотношение:  $\bar{H} = 1,04T^2$ . Отличие обусловлено, по-видимому, учетом большого количества коротких волн.



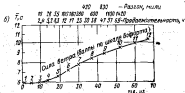
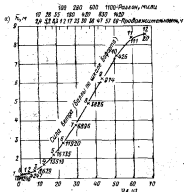


Рис. 11. Зависимость энергетических характеристик стационарного волнения от скорости ветра: а — средняя высота; б — средний период волн.

λ — среднее значение по числу измерений, усредненное значение.

с метеорологических судов и в специальных волновых экспедициях, все же число их далеко не достаточно для полной статистической оценки волнения на многочисленных маршрутах морских судов. Визуальные же наблюдения за волнением делаются систематически со всех судов на всех морских путях и во все время их плавания. Систематические записи данных этих визуальных наблюдений в вахтенных журналах судов представляют богатейший статистический материал, по которому можно определить для того или иного географического участка моря частоту повторности по времени (вероятность) волнения различной интенсивности или господствующего направления. Поэтому очень важно выработать эти наблюдения по одним и тем же визуальным признакам, достаточно определенно сформулированным, чтобы оценка волнения оказалась близкой у разных наблюдателей.

Этим требованиям отвечает шкала Всемирной метеорологической организации (табл. 5). В основе ее лежат скорость ветра, измерение которой не составляет труда, и подробное описание вида поверхности моря. Этим характеристикам поставлены в соответствие «значительная высота волн»  $H_0$  и оценка ветра и волнения в баллах Бофорта. Основой для установления такого соответствия послужили многочисленные натурные измерения (рис. 11) [123]. В верхней части рисунка даны сочетания минимальных значений разгона ( $\mu$  морских миль) и продолжительности действия ветра ( $\nu$  в часах), при которых волнение достигает полного развития.

Считается, что шкала Бофорта дает наилучшее описание морского волнения при визуальном его наблюдении опытными моряками. Хотя при этом и могут быть расхождения на один балл, однако при многочисленных оценках одного и того же волнения разными наблюдателями средняя оценка близка к действительности.

### § 3. Спектр стационарного волнения

Для морского нерегулярного волнения, как и для любого случайного процесса, можно построить энергетический спектр, обладающий всеми общими свойствами спектров, описанных выше (см. § 1). Конкретные свойства и особенности спектра волнения определяются физической природой волнения, а применительно к энергетическим спектрам, построенным по экспериментальным данным, — еще и способом получения, обработки данных в их аппроксимации.

В соответствии с двумя основными моделями волнения — трехмерной и двумерной — различают спектры двухмерный (или двухмерный) и одномерный (или одномерный). Пространственный спектр  $S_3(\omega, \varphi)$  отражает существование в составе

треугольного волнения систем волн с различным направлением распространения, характеризуемым углом  $\varphi_0$  относительно господствующего направления. Эмпирические пространственные спектры строятся по планшетам волнения; объем данных такого рода сравнительно невелик. Частотный спектр  $S_{\Sigma}(\omega)$  предполагает, что вся энергия волнения сосредоточена в системе волн господствующего направления, и потому такой спектр является интегральным по отношению к направлению распространения волн. Эмпирические частотные спектры строятся по волнограммам<sup>1</sup>.

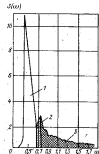


Рис. 12. Типичный экспериментальный частотный спектр морского волнения.

1 — область максимума спектральной плотности; 2 — энергетическая область; 3 — рассеиваемая область.

порциональную ей дисперсию линейных различной частоты (размерность частоты —  $c^{-1}$ , размерность ординат спектра —  $m^2 \cdot c$ ).

Для области относительно высоких частот (для малых длин волн) характерно динамическое равновесие между поступлением энергии к волнам от воздушного потока и диссипацией энергии при частичном обрушении гребней; эта область порождается волновым взаимодействием спектральных составляющих. Границей этой области можно считать вторичный максим.

В связи с ограниченностью экспериментальных данных пространственный спектр приближенно представляется в виде

$$S_{\Sigma}(\omega, \varphi_0) = S_{\Sigma}(\omega) \varphi(\varphi_0), \quad (1.48)$$

где  $\varphi(\varphi_0)$  — функция углового распределения волновой энергии, задаваемая для углов  $\varphi_0 = \pm \pi/2$ .

Такой образом, задача состоит в изучении частотного спектра и функции углового распределения.

Частотный спектр волнения. На рис. 12 показан типичный вид эмпирического частотного спектра волнения, на котором отмечены основные области спектра, имеющие физические отличия [12]. Напомним, что спектр характеризует энергию (или проамплитуд) спектральных составляющих различной частоты (размерность частоты —  $c^{-1}$ , размерность ординат спектра —  $m^2 \cdot c$ ).

<sup>1</sup> Методические вопросы интерпретации анализа записей волнения и построения дисперсных кривых спектров (как частотных, так и пространственных) подробно рассмотрены в работе [12].

мум, ярко выраженный на исходной ветви спектра<sup>1</sup>. Область максимума спектральной плотности соответствует относительно низким частотам (большим длинам волн); она образована длинным турбулентным воздушным потоком, в ней процесс нелинейного взаимодействия спектральных составляющих незначителен.

С некоторыми общими свойствами спектров можно ознакомиться по рис. 13, на котором показаны спектры Персона для волнения развитого ветрового волнения различной интенсивности (табл. 6). При небольших скоростях ветра спектр волнения располагается на больших частотах, соответствующих малым периодам и длинам волн, и с ростом скорости ветра перемещается в область малых частот (больших периодов и длин волн).

Так, круговая частота, соответствующая максимуму спектра, при скорости ветра 18 уз равна около  $1 c^{-1}$  (период 6 с), при скорости 30 уз — около  $0,6 c^{-1}$  (период 10,5 с), при 40 и 50 уз — соответственно 0,5 и  $0,45 c^{-1}$  (периоды 12,5 и 14 с). Частота, соответствующая максимуму спектра, является

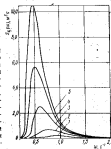


Рис. 13. Спектры полностью развитого ветрового волнения различной интенсивности.

Характеристики волнения, соответствующие кривым 1, 2, 4, 5, приведены в табл. 6.

Характеристики волнения

Таблица 6

Обозначения по рис. 13	Скорость ветра, уз	Неизомность волнения	
		$\lambda_{\Sigma}, м$	Валы поклм ГУ/МС
1	18	2,0	5
2	24	3,5	6
3	30	6,0	7
4	40	8,5	8
5	50	11,0	9

<sup>1</sup> На всех спектрах, рассмотренных в дальнейшем, вторичный пик отсутствует. При практическом исследовании спектров это не имеет значения.

его важной характеристикой, так как воле этой частоты концентрируется энергия спектра. Чем больше скорость ветра и интенсивность волнения, тем более островершинным и узким становится его спектр и тем относительно меньше энергия приходится на асимптотически убывающую часть спектра.

Хотя в основном для расчетов представляет интерес спектр полностью развитого морского волнения, тем не менее может оказаться полезным и представление о кардинальных моментах спектра во времени от его зарождения и до полного развития.

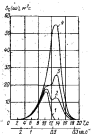


Рис. 14. Нарастание во времени энергии спектра при скорости ветра 40 уз.

1 — время 1 ч; 2 — время 4 ч; 3 — время 8 ч; 4 — время 12 ч; 5 — время 16 ч.

Такое нарастание энергии спектра при ветре 40 уз за время 1, 4, 8 и 16 ч показано на рис. 14 [99].

На рис. 15 показаны некоторые последовательные этапы роста и затухания волнения, соответствующего скорости ветра 30 уз [94, 123]. Из рис. 14 и 15 следует, что волны больших периодов возникают лишь по истечении некоторого времени после начала действия ветра, и это время тем продолжительнее, чем больше период волн, а также то, что большее значение имеет длительность действия ветра для развития волнения и, следовательно, для его спектра. Принимая во внимание сказанное выше о влиянии на волнообразование района волнения и особенностей береговой линии, расположенной со стороны действия ветра, следует признать, что при скорости ветра 40 уз и более полностью развитое волнение существует редко.

На рассмотренных спектрах различия ширины диапазона частот, в котором энергия спектра более или менее значительна. Эта характеристика, изменяемая шириной спектра, определяется с помощью так называемых моментов спектра. Моментом  $k$ -го порядка энергетического спектра называется величина, определяемая по формуле

$$m_k = \int_0^{\infty} \omega^k S_{\epsilon}(\omega) d\omega. \quad (1.48)$$

Очевидно, что момент нулевого порядка ( $k=0$ ) равен

$$m_0 = \int_0^{\infty} S_{\epsilon}(\omega) d\omega. \quad (1.50)$$

Из сравнения с формулой (1.25) следует, что момент спектра нулевого порядка равен дисперсии волновых ординат. Момент первого порядка (первый момент)

$$m_1 = \int_0^{\infty} \omega S_{\epsilon}(\omega) d\omega \quad (1.51)$$

определяет статистический момент площади спектра и абсциссу ее центра тяжести

$$\omega_{cp} = \frac{m_1}{m_0}, \quad (1.52)$$

которая характеризует среднюю спектральную частоту волн. Ей соответствует средний период волн

$$T_{cp} = 2\pi \frac{m_0}{m_1}, \quad (1.53)$$

близкий к статистическому  $\bar{T}$ , определяемому интервалом времени между соседними минимумами видимых волн.

Момент второго порядка (второй момент)

$$m_2 = \int_0^{\infty} \omega^2 S_{\epsilon}(\omega) d\omega \quad (1.54)$$

вместе с моментом нулевого порядка определяет эффективный период процесса, соответствующий среднему интервалу времени перепада волновых ординат через нуль:

$$T_e = 2\pi \sqrt{\frac{m_0}{m_2}}. \quad (1.55)$$

Момент четвертого порядка

$$m_4 = \int_0^{\infty} \omega^4 S_{\epsilon}(\omega) d\omega \quad (1.56)$$

используется при нахождении ширины спектра по формуле

$$\Delta \omega = \sqrt{1 - \frac{\sigma^2}{\sigma_{\text{max}}^2}} \quad (1.57)$$

Чем меньше ширина спектра, тем больше концентрируется энергия волнения в узком диапазоне частот. При значениях  $\sigma \leq 0,4$  спектр можно считать дельта, для него справедливо соотношение (1.29) между дисперсией волнения и параметром закона Релея, а также все зависимости, вытекающие из закона Релея, в частности (1.34). Нередко встречается волнение с широким спектром ( $\sigma > 0,4$ ). Например, в работе [62] для десяти режимов волнения в Атлантике приведены значения  $\sigma = 0,70 + 0,83$ ; в работе [14] приведены данные 23 режимов волнения, для которых  $\sigma$  находилось в пределах от 0,46 до 0,76. Отметим, что экспериментами установлено незначительное влияние ширины спектра волнения на волновые нагрузки, действующие на судно.

Рассмотренные выше физические и статистические закономерности образования волнения и формирования его спектра изучены пока лишь в общих чертах. Многие вопросы еще ждут своего разрешения. Немаловажны, например, остаются вопросы о волнообразовании разности температур воздуха и поверхности моря (холодный ветер, дующий над теплой поверхностью воды, более порывист, чем теплый ветер над холодной водой). Изменения глубины воды и праливные течения оказывают значительное влияние на ветровое волнение. Известно, что почти всегда генерируемые ветром волны накладываются на волны зыби, оставшиеся в данном районе моря от предыдущего волнения или пришедшие из других районов. Однако весьма трудно учесть взаимодействие ветровых волн с волнами зыби, так как последние могут находиться в разных фазах затухания и перемещаться в направлениях, которые самым различным образом сочетаются с господствующим направлением ветра, создающего данное ветровое волнение. Не существует каких-либо общих оценок влияния на спектр морского волнения географических особенностей акватории Мирового океана. Все это в совокупности привело к тому, что в настоящее время нет теоретических формул для определения спектра морского волнения, которые могли бы быть достаточно надежно рекомендованы для практических расчетов волновых нагрузок, действующих на судно.

Многие исследователи начиная с 1940 г. предлагали пользоваться эмпирическим методом определения спектров волнения, когда замеру волн и результаты их спектральной обработки сопоставляются с характеристиками ветра. В связи с этим на Втором Международном конгрессе по судовым конструкциям отмечалось, что результаты, получаемые по многочисленным формулам эмпирических спектров, опубликованным авторами в разных странах, различаются весьма значительно. Нет ни одной формулы,

которую можно было бы уверенно рекомендовать для общего применения, хотя можно отметить, что любая формула, полученная по измерениям в каком-то отдельном морском районе, обычно дает приемлемые результаты при применении к предельно волн для того же района. Имеется много соображений относительно причин противоречий различных формул, по главным из них заключается в том, что учитываются слишком мало метеорологические факторы. Практически все эмпирические формулы выражают волновой спектр (или средние высоты волн и периоды) в простой зависимости от скорости ветра, продолжительности его действия и размера, а некоторые только от скорости ветра. Действительные метеорологические условия оказывают обычно много сложное.

Перед Вторым конгрессом стояла задача проанализировать имеющиеся формулы для определения спектра морского волнения и рекомендовать наиболее подходящую из них для практических расчетов действующих на судно волновых нагрузок. Необходимость подобной рекомендации вытекала из указанных выше обстоятельств и из практической целесообразности единообразия таких расчетов для накопления и сопоставления их результатов. Предложение было отдано спектру, предложенному в 1963 г. В. Пирсоном и Л. Московицем [121, 123]. Этот спектр разработан на базе теории подобия С. А. Катабородского и обширного экспериментальной материала, полученного опытным персоналом десяти метеорологических судов с помощью волнографа Такера<sup>1</sup> в различных районах Северной Атлантики выше 30° северной широты. Записи волнения и полученные по ним спектры соответствовали некоторым «идеальным» условиям волнообразования: ветер был достаточной продолжительности, скорость его была в начале и в конце записи волнения меньше, чем средняя, а направление ветра во время всей записи совпадало в пределах  $\pm 45^\circ$  от среднего. Отобранные спектры были сгруппированы по пяти скоростям ветра: 20, 25, 30, 35 и 40 уз.

Предложенный В. Пирсоном и Л. Московицем спектр относится к полностью развитому ветровому волнению и имеет следующие аналитическое выражение спектральной плотности (в  $\text{м}^2 \cdot \text{с}^{-4}$ ):

$$S(\omega) = 0,75 \omega^{-2} \exp \left[ -0,74 \left( \frac{\omega}{v} \right) \omega^4 \right] \quad (1.58)$$

где  $g$  — ускорение силы тяжести,  $\text{м}/\text{с}^2$ ;  $v$  — скорость ветра,  $\text{м}/\text{с}$ .

Удобнее представить ординаты спектра в нормированном виде, т. е. заменить абсолютную круговую частоту  $\omega$  относительной:

$$\bar{\omega} = \frac{\omega}{\omega_{\text{cp}}} \quad (1.59)$$

<sup>1</sup> Волнограф Такера — устройство для измерения волн, изобретенное в корпусе судна [12, 13].

где  $\omega_{cp}$  — средняя спектральная частота [см. формулу (1.52)]. Тогда выражение (1.58) принимает вид

$$S(\omega) = 0,78 \omega_{cp}^{-2} \left(\frac{\omega}{\omega_{cp}}\right)^{-4} \exp\left[-0,74 \left(\frac{\omega}{\omega_{cp}}\right)^{-2} - \left(\frac{\omega}{\omega_{cp}}\right)^{-4}\right]. \quad (1.60)$$

Спектр Пирсона—Московца, являясь спектром чистого ветрового волнения развитого волнения, или, как иногда говорят, «идеальным» спектром, не учитывает существования в составе волнения волн зыби, возможности непоголого развития волнения и т. п. Поэтому он не подходит для практических расчетов волновых нагрузок, действующих на суда во время службы. Кораблестроителям нужен такой типовой спектр, который по возможности учитывал бы разбросание «реального» морского волнения, с которым встречаются суда при их эксплуатации в море. Поэтому Второй конгресс считал целесообразным рекомендовать кораблестроителям типовой спектр, являющийся некоторым средним спектра Пирсона—Московца. Единственным неизвестным параметром в спектре Пирсона—Московца является скорость ветра, что неудобно для использования спектра в кораблестроительных расчетах. Спектр, предназначенный для таких расчетов, в качестве параметров должен содержать те элементы волнения, которые непосредственно могут использоваться в расчетах и придают им наглядность, например статистические характеристики высот и периодов волн. Приводимое ниже аналитическое выражение спектра не включает скорость ветра, однако можно получить разумное приближение к любому реальному спектру путем надлежащего выбора в уравнениях (1.58) и (1.60) численных коэффициентов при частоте, соответствующих парам значений  $h_{2\%}$  и  $T_{cp}$ . При этом рекомендуется исходить из условия равенства дисперсии волнения площади спектра и из соотношения (1.35), в котором приближенно полагать  $h_{2\%} = h_{1/3}$ . Сложнее обстоит дело с периодом  $T_{cp}$ , поскольку его значения имеют большую изменчивость. Однако есть основание предполагать, что и в качестве оценки для  $T_{cp}$  можно принять величину  $T_{cp}$ , определенную по первому моменту спектра [см. формулу (1.53)]. В результате спектр определяется следующим выражением (в  $m^2 \cdot c$ ):

$$S(\omega) = 0,0175 h_{2\%}^2 T_{cp}^{-2} \omega^{-4} \exp\left[-0,44 \omega^{-2}\right] \quad (1.61)$$

или в безразмерной форме

$$\bar{S}(\omega) = \frac{S(\omega)}{h_{2\%}^2 T_{cp}^{-2}} = 0,0175 \bar{\omega}^{-4} \exp\left[-0,44 \bar{\omega}^{-2}\right]. \quad (1.62)$$

Этот спектр и получил название спектра Второго конгресса по конструкции судов.

Как уже отмечалось, первоначально были рекомендованы соотношения  $h_{2\%} = h_{1/3}$ , и  $T_{cp} = T_{cp} = \bar{T}$ . На Третьем конгрессе была

подтверждена целесообразность практического применения спектра (1.61), но было указано на предпочтительность использования формул (1.40) или (1.42) для установления зависимости между  $h_{2\%}$  и  $h_{1/3}$ , а также формула (1.44) или (1.45) для определения связи между  $T_{cp}$  и  $\bar{T}$ .

Стоящая в правых частях уравнений (1.61) и (1.62) функции

$$f(\omega) = \bar{\omega}^{-4} \exp\left[-0,44 \bar{\omega}^{-2}\right] \quad (1.63)$$

зависят только от относительной круговой частоты  $\bar{\omega} = \omega/\omega_{cp}$ . Кривая, изображающая эту функцию, называется формой спектра волнения Второго конгресса.

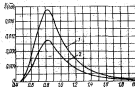


Рис. 16. Безразмерные кривые спектра морского волнения Второго Международного конгресса по конструкции судов.

1 — по формуле (1.61); 2 — по формуле (1.62).

Переходя с помощью соотношений табл. 3 от  $h_{2\%}$  к высоте волны  $h_{1/3}$ , которой по шкале ГУГИМС характеризуется интенсивность волнения, получаем другое выражение для спектра Второго конгресса, используемое в отечественной практике:

$$S(\omega) = 0,018 h_{1/3}^2 T_{cp}^{-2} \omega^{-4} \exp\left[-0,44 \omega^{-2}\right] \quad (1.64)$$

или в безразмерной форме

$$\bar{S}(\omega) = \frac{S(\omega)}{h_{1/3}^2 T_{cp}^{-2}} = 0,018 \bar{\omega}^{-4} \exp\left[-0,44 \bar{\omega}^{-2}\right]. \quad (1.65)$$

Легко видеть, что безразмерные спектры по формулам (1.62) и (1.65) лишь численными коэффициентами отличаются от формы спектра (1.63). Их графики приведены на рис. 16.

Как рассмотренный спектр, так и другие эмпирические частотные спектры являются частными случаями следующего общего выражения:

$$S(\omega) = A \omega^{-4} \exp(-B \omega^{-2}), \quad (1.66)$$

где  $A, B, k, n$  — параметры спектра, зависящие от условий волнообразования. Первые два четких момента спектра связаны с этими параметрами [12]:

$$m_0 = AB \frac{1-k}{n} \frac{1}{n} \Gamma\left(\frac{k-1}{n}\right); \quad (1.67)$$

$$m_2 = AB \frac{1-k}{n} \frac{1}{n} \Gamma\left(\frac{k-3}{n}\right). \quad (1.68)$$

В частности, для спектра Второго конгресса в форме (1.64)

$$\left. \begin{aligned} A &= 0,01k_0^2 \gamma_0^2; \\ B &= 0,44\omega_p^4; \\ k &= 5; \quad n = 4, \end{aligned} \right\} \quad (1.69)$$

а моменты спектра равны

$$m_0 = 0,143 \left(\frac{A_0 k_0}{\gamma_0}\right)^2; \quad (1.70)$$

$$m_2 = 1,17 \pi_0 \omega_p^2. \quad (1.71)$$

Из сравнения (1.50) с (1.25) видно, что нулевой момент спектра равен дисперсии волнения; это условие для рассматриваемого спектра выполняется, о чем свидетельствует сравнение зависимостей (1.34) и (1.70).

По формуле (1.55) находится значение эффективного периода

$$T_e = 0,92 T_p. \quad (1.72)$$

Частота максимума спектра, определяемая из условия  $\frac{dS}{d\omega} = 0$ , равна

$$\omega_{max} = 0,77 \omega_p. \quad (1.73)$$

Иногда спектр Второго конгресса (1.61) называют спектром Парсона—Московца, как бы отождествляя его с выражением (1.59). Уже из сказанного выше видно, что для этого нет оснований. На рис. 17 показаны спектр Парсона—Московца (1.59) и спектр Второго конгресса (1.61) для скорости ветра 30 уз [при вычислении ординат спектра (1.61) значения  $k_0$  и  $T_p$  спланились с графиком рис. 11, соответствующих скорости ветра 30 уз, и оказались равными 5,6 м и 7,6 с]. Видно существенное различие между этими спектрами. При сопоставлении надо иметь в виду, что спектр Парсона—Московца однозначно определяется скоростью ветра. Поскольку не существует однозначной связи между скоростью ветра и значениями  $k_0$  и  $T_p$ , то спектр Конгресса на рис. 17 изображен некоторой средней кривой, для вычисления ординат которой условно приняты указан-

ные значения  $k_0$  и  $T_p$ . При скорости ветра 30 уз высота волны, например, может измениться на  $\pm 10\%$ , а это приведет к изменению ординат спектра на  $\pm 20\%$ . При уменьшении высоты волны спектр Конгресса приближается к спектру Парсона—Московца, его максимум смещается даже несколько ниже максимума второго спектра. При увеличении высоты волны спектр Конгресса значительно увеличивается по своей площади и будет еще больше отличаться от спектра Парсона—Московца.

Второй Международный конгресс по конструкции судов, пользуясь спектром Парсона—Московца (1.59) как основой, внес в него достаточное существенное изменение, позволяющее считать спектр Конгресса или самостоятельным, или модифицированным спектром Парсона—Московца.

Работа по совершенствованию типовых спектров волнения продолжается. Примером могут служить спектры Москвина, которые на рис. 18 [10] сравниваются со спектром Парсона—Московца (1.58) для волнения, соответствующего разным скоростям ветра. Видно, что спектры Москвина, относящиеся к большим скоростям ветра, располагаются выше спектра (1.58) на-на наличием волн зыби, характерных для Северной Атлантики.

В то же время типовые спектры Москвина размещаются ниже идеальных спектров Парсона—Московца при больших скоростях ветра, указывая на то, что штормовое волнение в среднем не является полностью развитым, как это предусматривается идеальным спектром. Сравнение диаграммы на рис. 18, а с диаграммой рис. 17 (обе относятся к скорости ветра, равной 30 уз) показывает существенное различие соотношения спектра Конгресса с типовым спектром Москвина и с идеальным спектром Парсона (1.58).

Угловое распределение волновой энергии. Поскольку, как отмечалось выше, частотный спектр является интегральным по отношению к направлению распространения волн, он связан с пространственным спектром зависимостью

$$S_c(\omega) = \int_{-\pi/2}^{+\pi/2} S_c(\omega, \varphi) d\varphi = \int_{-\pi/2}^{+\pi/2} S_c(\omega) \psi(\varphi) d\varphi. \quad (1.74)$$

Отсюда следует, что функция углового распределения энергии  $\psi(\varphi)$  должна удовлетворять условию

$$\int_{-\pi/2}^{+\pi/2} \psi(\varphi) d\varphi = 1. \quad (1.75)$$

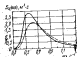


Рис. 17. Сравнение спектров волнения при скорости ветра 30 уз.

— спектр Парсона—Московца; — спектр Второго международного конгресса по конструкции судов.

К настоящему времени предложено различные аппроксимации функции  $\psi(\varphi_0)$ , построенные по экспериментальным данным. Например, В. Парсоном, Г. Нейманом, Р. Джеймсом для раз-

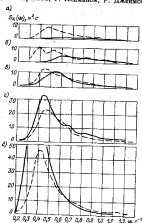


Рис. 18. Сравнение спектров при разных скоростях ветра: а — скорость ветра 20 уз; б — то же 30 уз; в — то же 40 уз; г — то же 50 уз. — — — — — расчетный спектр (по [1,82]); — — — — — теоретический спектр Джеймсона.

работан спектрального метода предсказания волн была использована функция

$$\psi(\varphi_0) = \frac{2}{\pi} \cos^2 \varphi_0 \quad (1.76)$$

Такую же рекомендацию дает Е. Льюис [101]. Е. Абрахамсен [80] принимает

$$\psi(\varphi_0) = 0.75 \cos^2 \varphi_0 \quad (1.77)$$

Обработки записей волнения на мелководье (Г. В. Матушевский и С. С. Стрекалов) и на глубокой воде (Г. Барнетт и Дж. Валькерсон) свидетельствуют о пропорциональности углового распределения  $\cos^2 \varphi_0$ . Четвертый Международный конгресс по конструкции судов (1970) рекомендовал функцию

$$\psi(\varphi_0) = \frac{8}{3\pi} \cos^2 \varphi_0 \quad (1.78)$$

Численные значения функций, определяемых формулами (1.76) — (1.78):

$\varphi_0, ^\circ$	0	$\pm 30$	$\pm 45$	$\pm 60$	$\pm 80$	$\pm 90$
$\frac{2}{\pi} \cos^2 \varphi_0$	0,636	0,562	0,373	0,159	0,009	0
$0,75 \cos^2 \varphi_0$	0,750	0,622	0,337	0,096	0,004	0
$\frac{8}{3\pi} \cos^2 \varphi_0$	0,850	0,646	0,292	0,053	0,001	0

Как видно, перечисленные функции существенно различаются между собой. Основной их недостаток состоит в том, что они базируются на небольшом экспериментальном материале, относящемся частично к смешанному океанскому волнению, частично к приближенному волнению. Недостаточно последована достоверность спектральных функций, по которым получены эти аппроксимации.

В работе [12] на основе анализа обширного материала, охватывающего широкий диапазон условий волнообразования, дана более достоверная оценка функции углового распределения. Не приводя здесь самого выражения из-за его сложности, отметим лишь, что согласно этому распределению основная часть энергии (от 50 до 70%) сосредоточена в относительно узкой области  $\pm 35^\circ$ , расположенной симметрично относительно господствующего направления распространения волны. Кроме того, характер углового распределения энергии зависит от интенсивности волнения, а сама функция зависит не только от угла  $\varphi_0$ , но и от частоты  $\omega$ , т. е. имеет вид  $\psi(\omega, \varphi_0)$ . Дальнейшее исследование по уточнению и упрощению пространственных спектров позволит перейти к широкому их использованию.

## § 6. Повторяемость волнения. Экстремальные высоты волн

Таблицы повторяемости волнения. Спектр стационарного нередуцированного волнения (1.51) характеризуется значениями высоты волны и периода волннца. Основным источником информации

об этих волнках служат многочисленные визуальные наблюдения, записываемые в вахтенных журналах судоводителями за каждую вахту в виде пары  $h_w - T_w$ . Каждой такой паре на данном участке моря соответствует определенная вероятность ее появления. Если полное время существования волненик, характеризуемого всеми возможными парами, включая и штиль, обозначить через 100%, то процент времени, приходящийся на каждую пару (частота появления пары), будет оценкой ее вероятности. В настоящее время океаны и моря разбиты на такие отдельные участки, для которых частота появления различных пар  $h_w - T_w$  примерно постоянны. Таблицы, в которых приводятся эти сочетания и их частота для различных участков моря, называются таблицами логотарности волненик. Они бывают двух видов. В одних указываются только частоты появления пар  $h_w - T_w$ , без учета господствующего направления волнения. Таковой является табл. 7, содержащая данные для участка моря

Таблица 7

Вероятность сочетаний визуальных определений характерных высот и периодов волн в районе Исландии (Гренландское море)

$T_w, c$	$h_w, м$						Всего
	$<1,5$	1,5-2,0	2,0-4,0	4,0-6,0	6,0-10	$\geq 10$	
$<7,0$	22,9	25,8	5,5	1,1	0,5	0,1	55,9
7,1-9,0	1,5	11,8	6,9	2,0	0,9	0,4	23,5
9,1-11,0	0,5	4,0	4,5	1,8	1,0	0,3	12,1
11,1-13,0	0,2	1,1	2,0	0,9	0,6	0,4	6,2
13,1-15,0	0,1	0,3	0,6	0,3	0,3	0,2	1,8
15,0	0,4	0,2	0,2	0,2	0,1	0,2	1,3
Всего	25,6	48,2	19,7	6,3	3,4	1,8	100

около Исландии (по номенклатуре Международного конгресса по конструкции судов это участок 2, он считается одним из самых тяжелых для судоводства). Таблица получена по 67 019 визуальным наблюдениям, произведенным плавостояком на попутных рейсах нормально эксплуатируемых судов. Такие таблицы составлены уже более чем для 50 различных участков моря. В них высоты и периоды волн разбиты на шесть разрядов, так что в каждой таблице приводится частота появления 36 пар  $h_w - T_w$ . В таблицах другого вида приводятся частоты появления различных высот  $h_w$  и периодов волн  $T_w$  в сочетании с восьми направлениями волненик. Примером может служить табл. 8, составленная для того же участка моря. Частота появления какой-либо пары  $h_w - T_w$  при фиксированном направлении волненик может быть найдена по теореме умножения вероятностей как

Таблица 8

Вероятность произведений направлений и характерных элементов волнения в районе Исландии

Направление	Высоты волн $h_w, м$						Периоды волн $T_w, c$						
	$<1,5$	1,5-2,0	2,0-4,0	4,0-6,0	6,0-10	$\geq 10$	$<7$	7,1-9,0	9,1-11,0	11,1-13,0	13,1-15,0	$\geq 15$	
N	4,1	6,0	2,3	0,7	0,3	0,2	15,7	7,3	2,2	1,0	0,4	0,1	11,1
NE	2,0	2,6	0,8	0,2	0,1	—	5,7	3,8	1,2	0,6	0,3	0,1	6,1
E	3,2	2,4	0,7	0,2	0,1	—	5,6	4,0	1,1	0,5	0,2	—	5,9
SE	2,2	3,8	1,0	0,3	0,1	—	6,3	4,2	1,3	0,6	0,2	0,1	6,5
S	3,8	5,8	2,5	0,7	0,3	0,1	13,2	8,1	3,0	1,3	0,5	0,2	13,3
SW	3,7	7,2	3,5	1,2	0,6	0,4	18,6	9,5	4,4	2,2	0,9	0,3	17,5
W	4,7	10,6	6,0	2,2	1,4	0,7	25,6	12,2	6,8	4,1	1,6	0,6	25,8
NW	2,9	5,8	2,9	0,9	0,5	0,3	13,3	6,8	3,5	2,0	0,9	0,4	13,8
Всего	25,6	43,2	19,7	6,3	3,4	1,8	100,0	55,9	29,5	12,3	5,2	1,8	100,0

произведение частот на строю, соответствующей данному направлению (значения частот должны быть выражены в долях единицы). Следовательно, таблица определяет всего  $6 \times 6 \times 8 = 288$  сочетаний элементов волны и направлений, которые образуют полную группу событий. Переход от визуальных значений  $A_z$  и  $T_z$  к статистическим характеристикам производится в соответствии с формулами (1.40), (1.41) и (1.45). Обратим внимание на то, что во всех таблицах повторяемости волнения в последнюю группу высот волн входят все волны высотой больше  $A_z \geq 8$  м, что соответствует  $A_{0.95} \geq 10,4$  м. Наиболее сильные волны по шкале ГУТМС включает все волны, для которых  $A_{0.9} > 11$  м, а по шкале Всемирной метеорологической организации — все волны  $A_{0.9} > 15,5$  м ( $A_{0.9} > 13,7$  м).

**Экстремальные высоты волн.** Кораблестроители, естественно, должны интересоваться наибольшими значениями высот волн, которые могут встретиться при эксплуатации судна. Очевидно, что такие волны могут возникнуть при очень сильном шторме, а визуально определить их высоты в этих условиях крайне трудно.

В. Баском [1] полагает, что если бы ветер дул со скоростью 50 уз в течение 3 суток при расстоянии 1500 миль (2750 км), то средняя высота наиболее высоких волн была бы равна примерно 30,5 м. К счастью, шторм такой интенсивности и продолжительности является редким явлением. Однако и при шторме с меньшей чем 50 уз скоростью ветра всегда имеется возможность появления очень высоких волн. Трудно предсказать, когда и где они возникнут и какова будет их высота, но «сверхволны», безусловно, имеют шанс на существование. Например, если наблюдать тысячу волн в 20 различных условиях, то в одном случае самая высокая волна из тысячи будет в 2,2 раза больше средней высоты  $1/3$  наиболее высоких волн. Таким образом, если эта последняя ( $A_{0.9}$ ) составит 14,6 м (как будет при полностью развитом стационарном волнении, соответствующем скорости ветра 40 уз), то самая высокая волна может достигнуть 29,5 м. Подобная волна возникает лишь в какие-то типичные мгновения; она будет очень неустойчивой. Волна поднимается в воздухе, попадая в воздушный поток, движущийся со скоростью 40 уз, и оказывается почти вдвое выше остальных волн. Ветер не замедляет сорвать ее гребень, и волна разобьется на глубокой воде. Именно такого рода развивающиеся штормовые волны (не обязательно «сверхволны») причиняют наибольший ущерб судам. Тысячи тонн волн — руинный гребень океанских волн даже средних размеров — моментально сплоск с палубы все надстройки. Огромная разница в разрушительной силе развивающихся и неразвивающихся волн на глубокой воде заслуживает рассмотрения, поскольку с ней связано одно из главных свойств волн. Находясь в воде предметы, в том числе и суда, стремятся совершать те же движения, что и вытесняемая ими вода. Судно при сильном волнении описывает

крути в вертикальной плоскости, приближающейся по диаметру и орбитам частицы воды в воде. Корпус лишь немного смешается относительно окружающей воды, но в таком положении он находится в безопасности. Если же с волны сорвется гребень, он будет двигаться с большой скоростью, обогнав перемещение профиля волны, и притом независимо от движущихся по орбитам частиц воды (а также и от вашего судна). И если их пути пересекутся, то столкновение может иметь катастрофические последствия.

В. Баском [1] пишет: «Если вы попросите моряков указать конкретные размеры, которые могли бы пригодиться при проверке теории волн, они дадут цифры, казавшиеся бы вам. А поскольку малейшие амплитуды размеров часто всплывают в противоречие с теорией, ставя вопрос, а чем же причина, в обмене зрелища или в несостоятельности теории. Кроме того, при статистическом подходе к разнообразию волн трудно опровергнуть какое бы то ни было конкретное наблюдение. . . Газетные сообщения о встречах судов с особенно крупными волнами во время шторма чаще всего имеют в виду те картины волнов, которых возникает, если судно с ходу зарывалось носом в волну. Например, если вода пережидается через штурманский мостик, расположенный на 30,5 м выше ватерлинии, то в официальном рапорте фигурирует 30-метровая волна. Разумеется, внезапно обрушившаяся на такую высокую точку корабля тонна «белой» воды производит устрашающее впечатление. Но само по себе это стечение обстоятельств никак не свидетельствует о высоте волн. . .»

В. Корниш, английский ученый, который почти полвека пролежал в кругосветных плаваньях, собрав данные об океанских волнах, пришел к выводу, что в Северной Атлантике штормовые волны высотой 13—14 м — довольно обычное явление; он сообщил о нескольких встречах с еще гораздо большими волнами. Подытоживая результаты своих исследований длины волн, он приводит расстояния от гребня до гребня ветровых волн, равные 184—245 м, и описывает волны замби алдокс или атрос более длинные. В южной части Тихого океана, в районе острова Маккуори (57° ю. ш., 150° в. д.) в 1956 г. с дизель-электрохода «Обя» была замерена высота волн, равная 24,9 м, при скорости ветра 30—36 м/с. Это почти в 1,5 раза больше, чем соответствующая той же скорости ветра высота с обеспеченностью 3%.

В докладе Первого комитета Третьего Международного конгресса по конструкции судов приведены следующие данные об особенно высоких волнах, наблюдавшихся зимой 1963 г. в северной части Тихого океана:

В двух случаях при скорости ветра 42 уз  $A_{0.9} = 12$  м ( $A_{0.95} = 15$  м)

То же 32 уз  $A_{0.9} = 15$  м ( $A_{0.95} = 20$  м)

« 36 уз  $A_{0.9} = 15$  м ( $A_{0.95} = 20$  м)

Там же приведены следующие наибольшие высоты волн, замеренные в течение 1960—1969 гг. с метеорологических судов в Атлантическом океане:

Судно	а	в	с	д	е	г	з	и
$A_{20}$ , м	20	20	16,5	20	14,5	30	20	26
$A_{10}$ , м	45	15	12,5	15	10,5	15	15	18
Число пиков за 1 ч	7	11	1	2	10	2	1	1

Повторяемость высоких и очень высоких волн по наблюдениям за 10 лет (в процентах) на всех указанных метеорологических судах следующая:

Высоты волн

$A_{10} < 6,5-12,8$  м . . . . . 0,9

$A_{10} > 12,8$  м . . . . . 0,2

Средние периоды волн

13,1—17 с . . . . . 0,5

$> 17$  с . . . . . 0,4

Г. Ларсен сообщил, что на бельгийском судне в районе Исландии в феврале 1962 г. инструментально были замерены необычайно высокие волны:

При скорости ветра 59 уз  $H_{10} = 14,9$  м ( $H_{20} = 19,8$  м)

То же 54 уз  $H_{10} = 15,7$  м ( $H_{20} = 21$  м)

— — 57 уз  $H_{10} = 16,7$  м ( $H_{20} = 22,2$  м)

В книге [13, табл. 10.1] приведены данные о предельно возможных высотах волн один раз за 30 лет и больше (табл. 9).

Таблица 9

Предельные высоты волн

Зоны океана	$H_{30}$ , м	$H_{100}$ , м
Узкие проливы Северной Атлантики (40—50° с. ш.)	20	26
Узкие проливы Южной Атлантики (40—60° ю. ш.) и Индийский океан	23	32,5
Северная (25—30° с. ш.) и южная (42—55° ю. ш.) части Тихого океана	21	29,5

## § 7. Нагрузки на стационарном волнении

Под воздействием волнения судно как твердое тело совершает те или другие неравномерные перемещения (например, вертикальную, килевую, бортовую качку) и одновременно в нем, как в упругом теле, возникают деформации и напряжения, создаваемые появлением сил при качке дугабазиса и крутильных моментах, дисбалансах кинематических, гидродинамических и инерционных сил. Эти силы и моменты, возмущаемые волнением и изменяющиеся с кажущимися периодами волн, называются волновыми нагрузками. Волновые нагрузки действуют на корпус судна вместе с нагрузками на тихой воде. Соотношение значений нагрузок на тихой воде и волновых во многом определяется изменчивостью их во времени. Верховая нагрузка на тихой воде может колебаться в широких пределах от рейса к рейсу, хотя для наиболее интересных расчетных случаев плавание судна с полным грузом изменение этой нагрузки оказывается небольшим и обусловлено лишь расходящимися переменными грузами (топлива, воды, балласта). Изменения весовой нагрузки происходят, во всяком случае, гораздо медленнее, чем волновых нагрузок под действием регулярного морского волнения. При этом разброс значений относительно среднего выше у волновых нагрузок, во среднем значении нагрузок на тихой воде, как правило, выше, чем среднее значение волновых. Поэтому суммарные нагрузки, не исключившие наибольшие (экстремальные) волновые нагрузки, более чем наполовину состоят из медленно меняющихся (квазистатических) нагрузок на тихой воде, и только те суммарные нагрузки, в которые попадают наибольшие волновые, определяются преимущественно этими волновыми нагрузками. Несмотря на указанные различия в соотношении значений нагрузок на тихой воде и волновых, роль последних в обеспечении прочности и надежности корпуса судна всегда велика. Это связано прежде всего с малыми периодами наименьших волновых нагрузок и, как следствие, с большим числом циклов их воздействия на морские конструкции.

Корпус судна как линейная динамическая система преобразует случайный процесс морского волнения в случайный процесс изменения волновых нагрузок, статистические закономерности которого те же, что и у входного процесса волнения. Так как морское стационарное волнение является нормальным случайным процессом, суммарным которого подчиняются нормальному закону распределения (1.7)—(1.9) со средним, равным нулю, а амплитуды — закону Релея (3.10)—(3.12), то и суммарные волновые нагрузки тоже распределяются по нормальному закону со средним, равным нулю, а амплитуды — по закону Релея,

Следовательно, амплитуды этих нагрузок той же кривой обеспеченности полностью определяются параметром  $E$  или связанным с ним стандартом процесса [см. формулу (1.26)]. По таблице на с. 17, например, видно, что для случайных величин, распределенных по закону Релея, следовательно, и для амплитуд волновых нагрузок, случайная величина, равная  $3\sqrt{E}$ , имеет обеспеченность  $10^{-4}$ , а величина, равная  $4,3\sqrt{E}$  — обеспеченность  $10^{-6}$ . (При среднем периоде волнения 6 с судно в течение часа испытывает 600 волновых нагрузок, а за сутки, год и 20 лет нахождения в море число циклов нагрузок будет составлять соответственно около  $1,5 \cdot 10^4$ ,  $5 \cdot 10^6$  и  $10^8$ ). Следовательно, значения случайной волновой нагрузки, соответствующие однократно ее превышению за эти сроки, равны  $3,1\sqrt{E}$ ,  $3,85\sqrt{E}$ ,  $4,3\sqrt{E}$ .)

Сказанное относится ко всем низкочастотным волновым нагрузкам. Поскольку значение параметра  $E$  (или связанного с ним стандарта) той же кривой волновой нагрузки дает возможность определить эту нагрузку с любой требуемой обеспеченностью, то нахождение стандартов различных волновых нагрузок является основной задачей вероятностного расчета этих нагрузок.

Стандарт волновой нагрузки. Поскольку дисперсия стационарного случайного процесса определяется площадью спектра этого процесса, то вычисление дисперсии нагрузки и, следовательно, ее стандарта сводится к нахождению спектра этой нагрузки. Как было сказано в § 2, корпус судна можно рассматривать как линейную динамическую систему, преобразующую случайный стационарный процесс морского волнения на выходе в стационарный случайный процесс на ее «выходе», т. е. корпус судна преобразует спектр входного процесса — морского волнения в спектр выходного процесса — волновой нагрузки в соответствии с формулой (1.28). Входящую в эту формулу амплитудно-частотную характеристику системы — корпуса судна относительно рассматриваемой волновой нагрузки удобно представлять в двойке возмужированной форме выражением

$$a_n(\omega) = a_n^{\max} \bar{a}_n \left( \frac{\omega}{\omega_{\max}} \right) = a_n^{\max} \bar{a}_n(\bar{\omega}), \quad (1.79)$$

где  $a_n^{\max}$  — наибольшая ордината амплитудно-частотной характеристики;  $\bar{a}_n = a_n/a_n^{\max}$  — ордината форм этой характеристики;  $\omega_{\max}$  — частота, соответствующая максимальной ординате этой же характеристики;

$$\frac{\omega}{\omega_{\max}} = \frac{\omega}{\omega_{cp}} \frac{\omega_{cp}}{\omega_{\max}} = \bar{\omega}, \quad (1.80)$$

здесь  $\bar{\omega} = \omega/\omega_{cp}$  — относительная частота;

$$\bar{\omega} = \frac{\omega_{cp}}{\omega_{\max}} = \frac{T_{cp}}{T_{\max}}. \quad (1.81)$$

Безразмерная величина  $\bar{\omega}$ , показывающая, насколько близки  $T_{\max}$  и  $T_{cp}$ , называется коэффициентом настройки.

Подставляя в формулу (1.28) выражения для спектра морского волнения (1.64) и для амплитудно-частотной характеристики (1.79), получаем спектр волновой нагрузки. Интегрируя этот спектр по относительной частоте и учитывая, что  $\bar{\omega} = \omega/\omega_{cp}$  и  $d\omega = \omega_{cp} d\bar{\omega} = \frac{2\pi}{T_{cp}} d\bar{\omega}$ , находим, в соответствии с формулой (1.25), дисперсию волновой нагрузки. Корень квадратный из этой дисперсии равен, как известно, стандарту рассматриваемой волновой нагрузки. Не выписывая здесь полное аналитическое выражение для дисперсии волновой нагрузки, приведем лишь окончательное выражение для стандарта этой нагрузки и предположим плавание судна на двумерном волнении с курсовым углом  $\varphi = 0^\circ$ :

$$\sigma_n = k_{\text{нв}} a_n U_n(\varphi), \quad (1.82)$$

где

$$U_n^2 = 2\pi \int_0^{\bar{\omega}_{\max}} \bar{z}_n(\bar{\omega}) \bar{a}_n^2(\bar{\omega}, \varphi) d\bar{\omega}. \quad (1.83)$$

В выражении (1.82) для безразмерной функции  $U_n$  под интегралом находится произведение ординат формы спектра морского волнения [см. формулу (1.65) и рис. 16] и квадратов ординат формы амплитудно-частотной характеристики волновой нагрузки.

Исследование большого количества передаточных функций различных волновых нагрузок показало [25], что, судя по экспериментальным данным и по расчетным определениям этой функции, параметры, оказывающие на нее существенное влияние (форма обводов корпуса, соотношения главных размеров, распределение весовой нагрузки по длине судна, скорость судна, курсовые углы), почти не изменяют двойки нормированной функции амплитудно-частотной характеристики, а связываются главным образом со значениями параметров  $a_n^{\max}$  и  $\omega_{\max}$ . Форма частотных характеристик для каждой отдельной волновой нагрузки может считаться достаточно стабильной, а небольшие ее изменения мало влияют на стандарт нагрузки. Что же касается  $a_n^{\max}$  и  $\omega_{\max}$ , то они зависят от перечисленных выше параметров судна и режима его движения на волнении.

Формула (1.82) из-за учета трехмерности волнения и различных курсовых углов увеличивает нагрузку при ходе судна вразрез основному направлению волн ( $\varphi = 0^\circ$ ) и резко снижает волновые нагрузки при косых курсах (особенно при  $\varphi = 90^\circ$ ). Поэтому для более правильной оценки волновых нагрузок необходимо учитывать трехмерность волнения. Переход к трехмерному

волнению, будем полагать, что по отношению к основной (преобладающей) системе волн курсовой угол равен  $\varphi$ , а по отношению к другим системам того же волнения, составляющим углы  $\varphi_1$  с основной системой, курсовые углы судна равны  $\varphi - \varphi_1$ . В этом случае формула спектрального преобразования (1.26) должна применяться к каждой системе волн, спектр которой определяется формулами (1.48) и (1.74), а амплитудно-частотная характеристика должна соответствовать курсовому углу  $\varphi - \varphi_1$ . Найденные для каждой системы волн диверсии должны быть просуммированы по всем направлениям  $\varphi_1$ , в результате чего будет получено выражение (1.82) для стандарта волновой нагрузки в случае плавания судна на трехмерном волнении; в этом выражении функция  $U_s$  имеет следующий вид:

$$U_s^2 = 2\pi \int_{-\pi/2}^{\pi/2} \psi(\varphi_1) \int_0^{\infty} \bar{S}_c(\omega) \bar{\omega}_c^2(\omega, \varphi_1) d\omega d\varphi_1 \quad (1.84)$$

Полученный при этом стандарт волновой нагрузки соответствует курсовому углу судна, намеренному по отношению к основной системе волн.

Изложенная выше схема определения и представления стандарта любой волновой нагрузки предложена В. В. Колядиным [25].

При заданной функции углового распределения энергии спектра безразмерная функция  $U_s$  для каждого курсового угла зависит только от коэффициента настроя  $\epsilon$ , так что для разных курсовых углов может быть получено семейство графиков  $U_s(\epsilon, \varphi)$ . При наличии таких графиков для той или иной волновой нагрузки определение стандарта этой нагрузки по формуле (1.82) является простой задачей. На рис. 19 показаны нормированные формы амплитудно-частотных характеристик для некоторых волновых нагрузок, полученные по сканиции и разложениям данным теоретических и экспериментальных работ [26]. Наиболее удовлетворительно изучена частотная характеристика для волнового вертикального изгибающего момента в мидельном сечении. Вычисленные [26] для этого момента графики безразмерной функции  $U_{M_z}(\epsilon, \varphi)$  приведены на рис. 20, а, на котором видно следующее.

1. Функция  $U_{M_z}$  имеет максимум при разных значениях коэффициента застройки в зависимости от курсовых углов  $\varphi$  и от того, учитывается ли трехмерность волнения.

2. На трехмерном волнении и при  $\varphi \leq 60^\circ$  максимум функции  $U_{M_z}$  имеет место при  $\epsilon = 1,1 \div 1,3$ ; меньшие углы соответствуют меньшим  $\epsilon$ .

3. Максимальные значения  $U_{M_z}$  при учете трехмерности волнения меньше максимальных значений этой функции без учета трехмерности примерно на 15%. Следовательно, волновые на-

грузки на трехмерном волнении меньше, чем на двумерном. Однако при  $\epsilon > 1,8$  и при  $\varphi < 35^\circ$  учет трехмерности приводит к увеличению волновой нагрузки.

Выводы, сделанные применительно к волновому вертикальному изгибающему моменту в мидельном сечении, имеют более общий характер и могут быть отнесены к некоторым другим волновым нагрузкам, которые, как и вертикальный момент, связаны с продольной килевой судна (гидродинамические давления, инерционные силы). Другие нагрузки (горизонтальный изгибающий момент, крутящий момент) иначе зависят от относитель-

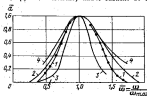


Рис. 19. Формы амплитудно-частотных характеристик волновых нагрузок.

1 — вертикальный изгибающий момент ( $\varphi = 0^\circ$ ); 2 — продольный изгибающий момент ( $\varphi = 60^\circ$ ); 3 — вертикальный изгибающий момент ( $\varphi = 60^\circ$ ); 4 — продольный изгибающий момент ( $\varphi = 60^\circ$ ).

ных для волн и курсового угла, что отражается в соответствующих им функциях  $U_s(\epsilon, \varphi)$ . На рис. 20, б приведены графики функции  $U_{M_T}(\epsilon, \varphi)$ .

В формулу (1.82), определяющую стандарт волновой нагрузки, входит наибольшая ордината амплитудно-частотной характеристики волновой нагрузки  $\sigma_{max}^{(M)}$ , которая должна определяться для регулярной волны, имеющей амплитуду (полувысоту), равную  $l$  м, и длину, соответствующую частоте максимальна амплитудно-частотной характеристики  $\omega_{max}$ . В общем случае для любой волновой нагрузки можно записать

$$\sigma_{max}^{(M)} = \gamma \sigma_{max}^{(M)} / (L, B, H, T), \quad (1.85)$$

где  $\gamma$  — удельный вес морской воды;  $\sigma_{max}^{(M)}$  — безразмерный коэффициент, зависящий от коэффициентов формы корпуса, соответствующих главным размерениям, распределениям весовой нагрузки судна, скорости судна и курсового угла;  $f(L, B, H, T)$  — степенная функция главных размерений судна (например, для

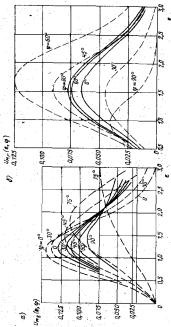


Рис. 20. Графики функций  $M(A, \varphi)$ :  $\sigma$  — для вертикального изгибающего момента;  $\delta$  — для горизонтального изгибающего момента. — — — — — продольные волны; — — — — — поперечные волны.

загибающих моментов  $BL^3$ , для крутящего момента  $LB^3$ ). Очевидно, что коэффициент  $\sigma_{\text{max}}^{\text{eff}}$  равен отношению наибольшей волновой нагрузки на регулярной волне при амплитуде (полувысоте) волны, равной 1 м, к величине  $\gamma f(L, B, H, T)$ . Этот коэффициент должен определяться с учетом всех гидродинамических и инерционных сил, действующих на корпус судна на волнении. Он может быть найден расчетом или по модельным испытаниям в открытом бассейне на регулярном волнении (см. [50]). Подставляя значение  $\sigma_{\text{max}}^{\text{eff}}$  в (1.82), получаем

$$\sigma_{\text{max}} = \sigma_{\text{max}}^{\text{eff}} \sigma_{\text{max}}^{\text{reg}} f(L, B, H, T), \quad (1.86)$$

где

$$\sigma_{\text{max}}^{\text{reg}} = k_{23} U(a), \quad (1.87)$$

Пользуясь терминологией Г. В. Бойцова [4], величину  $\sigma_{\text{max}}^{\text{reg}}$  по (1.87) можно назвать стандартом «эквивалентных волн». Из сравнения (1.87) с (1.83) видно, что стандарт волновой нагрузки численно равен амплитуде такой же нагрузки при действии на судно регулярных волн, имеющих амплитуду (полувысоту)  $\sigma_{\text{max}}^{\text{reg}}$  и длину, соответствующую частоте  $\omega_{\text{max}}^{\text{reg}}$ . Такую регулярную волну можно считать эквивалентной в отношении создаваемой волновой нагрузки, соответствующей нерегулярной волнению. Амплитуды «эквивалентных волн» распределяются по закону Релея, параметр которого связан со стандартом  $\sigma_{\text{max}}^{\text{reg}}$  соотношением (1.26). Поскольку значения стандартов  $\sigma_{\text{max}}^{\text{reg}}$  и  $\sigma_{\text{max}}^{\text{eff}}$  связаны между собой линейной зависимостью (1.86), то статистические характеристики волновой нагрузки пропорциональны соответствующим характеристикам «эквивалентных волн».

Часто стандарт волновой нагрузки выражают формулой

$$\sigma_{\text{max}}^{\text{reg}} = \sigma_{\text{max}}^{\text{eff}} f(L, B, T, H), \quad (1.88)$$

где

$$\sigma_{\text{max}}^{\text{eff}} = k_{23} u(a) \sigma_{\text{max}}^{\text{reg}}, \quad (1.89)$$

по аналогии с (1.87) называется стандартом «эффективных волн».

Из сравнения формул (1.89) и (1.87) видно, что стандарты «эффективных» и «эквивалентных волн» (а следовательно, и пропорциональные этим стандартам амплитуды «эффективных» и «эквивалентных волн») различаются коэффициентом  $\sigma_{\text{max}}^{\text{eff}}$ .

Для волнового вертикального загибающего момента в среднем сечении удобно считать коэффициент  $\sigma_{\text{max}}^{\text{eff}}$  равным произведению двух безразмерных множителей:

$$\sigma_{\text{max}}^{\text{eff}} = \sigma_{\text{max}}^{\text{reg}} K_{\text{eff}}, \quad (1.90)$$

Первый множитель  $\chi_{M_{CT}}^{max} = c_{M_{CT}}^{max}/K_{CT, \sigma}$  — коэффициент, показывающий, во сколько раз момент на регулярном волнении меньше момента при статической постановке судна на волну;  $\chi_{M_{CT}}^{max} = 0,40 \div 0,80$ .

Второй множитель  $K_{CT, \sigma}$  — средний для вершины и подошвы волны коэффициент волнового вертикального изгибающего момента в идеальном сечении при статической постановке судна на регулярную волну длиной, равной длине судна (без учета эффекта Смита);  $K_{CT, \sigma} = 0,067 (\delta = 0,13)$ .

Значения коэффициентов  $c_{M_{CT}}^{max}$  и  $\chi_{M_{CT}}^{max}$  могут быть найдены экспериментально при модельных испытаниях в опытовом бассейне или из расчета продольной качки судна. Они могут быть определены также по эмпирическим формулам Мура (см. [50]) или по формулам Е. А. Павловой, А. И. Максимаджи, Ю. А. Ненадова. Пользуясь значениями этих коэффициентов и прямыми измерениями, что для изгибающего момента  $I(L, B, H, T) = BL^2$ , можно для максимума амплитудно-частотной характеристики вертикального изгибающего момента в соответствии с (1.85) написать

$$\sigma_{M_{CT}}^{max} = \chi_{M_{CT}}^{max} \gamma K_{CT, \sigma} BL^2. \quad (1.91)$$

Подставив (1.91) в (1.82), получаем, следуя А. А. Курдюмову,

$$\sigma_M = \gamma_{M_{CT}} M_{CT}, \quad (1.92)$$

где

$$M_{CT} = \gamma K_{CT, \sigma} BL^2; \quad (1.93)$$

$$\gamma_{M_{CT}} = k_{1, \chi_{M_{CT}}^{max}} U(\epsilon). \quad (1.94)$$

В формуле (1.92) стандарт вертикального изгибающего момента выражен через изгибающий момент  $M_{CT}$ , соответствующий статической постановке на волну с единичной амплитудой  $\gamma = 1$  м и длиной, равной длине судна, и через амплитуду  $\gamma_{\sigma}$  волны такой же длины.

Вертикальный изгибающий момент  $M_{CT}$ , пропорциональный стандарту момента  $\sigma_M$ , может быть выражен аналогично (1.92), если вместо величины  $\gamma_{\sigma}$  подставить пропорциональную ей величину

$$\gamma_{\sigma} = \frac{M_{CT}}{M_{CT, \sigma}}, \quad (1.95)$$

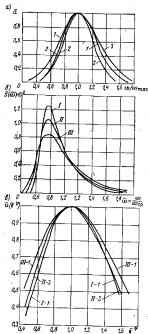
называемую эффективной амплитудой (полувысотой) волны.<sup>1</sup>

<sup>1</sup> Следует обратить внимание на различие величин по значению термина: амплитуда эффективной волны (пропорциональный стандарту эффективной волны [формула (1.86)], а эффективная амплитуда (полувысота) волны пропорциональная амплитуде  $\gamma_{\sigma}$  [формула (1.94)].

Формулы (1.86), (1.88), (1.92) определяют стандарт волнового вертикального момента через разные статистические характеристики: стандарт «эквивалентных волн»  $\sigma_{M_{CT}}$ ; стандарт «эффективных волн»  $\sigma_M$ ; амплитуду  $\gamma_{\sigma}$  волны длиной  $l = L$ , при статической постановке на которую изгибающий момент равен  $M_{CT}$ . Амплитуда вертикального изгибающего момента также выражается через разные статистические характеристики, которые пропорциональны только что перечисленным: через амплитуду «эквивалентных волн», амплитуду «эффективных волн», эффективную амплитуду волны. Использование всех этих констант для определения изгибающего момента на стационарном нерегулярном волнении приводит, естественно, к идентичным результатам. Вопрос о выборе наиболее рационального из этих вариантов возникает в дальнейшем, при рассмотрении долговременных распределений волновых нагрузок. Целесообразность использования для этих целей «эквивалентных волн» обосновывается в работах [4, 5] в других работах [22, 35, 38, 109] предпочтение отдается эффективным амплитудам волн. Обращаем внимание на то, что ни «эквивалентные волны», ни «эффективные волны», ни волны с эффективной полувысотой не являются физическими компонентами морского волнения. Например, из (1.94) видно, что амплитуда  $\gamma_{\sigma}$  и пропорциональная ей эффективная высота волны  $h_{\sigma} = 2\gamma_{\sigma}$  представляет собой произведение трех множителей, из которых только один —  $k_{1, \chi_{M_{CT}}^{max}}$  — связан непосредственно с морским волнением, два же других —  $\chi_{M_{CT}}^{max}$  и  $U(\epsilon)$  — отражают взаимодействие судна и волнения. Естественно, что при одном и том же стационарном волнении результаты взаимодействия его с разными судами могут оказаться различными. Следовательно, при одном и том же волнении эффективная высота волны может оказаться разной для разных судов. Поскольку функция  $U(\epsilon)$ , как видно из графиков рис. 20, связана с курсовым углом и видом волнения (двумерное, трехмерное), то в зависимости от этих факторов изменяется и эффективная высота волны для одного и того же судна при неизменном нерегулярном волнении.

Некоторые замечания о погрешностях определения стандартных волновых нагрузок по формулам (1.86), (1.88) и (1.92).

1. В основе этих формул лежит предположение о линейной зависимости между амплитудами волн и амплитудами вызываемых ими волновых нагрузок. Это связано с допущением о линейности курса судна в работе, омываемом волнами. В действительности такая прямолинейность существует лишь частично, а на судах с острыми обводами может отсутствовать вообще. К тому же при интенсивной качке судна в некоторых случаях может происходить оголение днища и заливание палубы. Неучет нелинейности в формулах определения стандартов волновых нагрузок, конечно, вносит какую-то погрешность в расчет.



Однако в настоящее время нет данных для количественной оценки этой погрешности.

2. Для нахождения стандартов волновых нагрузок использован спектр регулярного стационарного волнения Второго Международного конгресса по конструкции судов. Известно, что этот спектр лишь приблизительно отображает морское волнение, и само это обстоятельство говорит о наличии погрешностей при использовании данного спектра. Имеется и более точный четырехпараметрический спектр Вознесенского—Нецветова, но его практическое применение более громоздко, поэтому нет достаточных данных о его использовании для определения стандартов волновых нагрузок.

3. Стандарт волновой нагрузки существенно зависит от значения максимума амплитудно-частотной характеристики  $\sigma_{\text{max}}$ . Наиболее точно эта величина определяется экспериментально при модельных испытаниях и опытных бассейнах на регулярном волнении, погрешность которых не меньше 5—10%, а часто значительно больше.

4. Входящая в стандарт волновой нагрузки безразмерная функция  $U(\epsilon, \varphi_0)$  зависит от формы энергетического спектра волнения и амплитудно-частотной характеристики рассматриваемой волновой нагрузки и от вида функции углового распределения энергии спектра  $\psi(\varphi_0)$ . Частотные характеристики и их нормированные формы изучены недостаточно (кроме вертикального изгибающего момента в модельном сечении), а имеющиеся скудные данные свидетельствуют о некоторой их изменчивости. Вид функции  $\psi(\varphi_0)$  тоже может меняться. Влияние этих изменений на значения функции  $U(\epsilon, \varphi_0)$  исследовалось [4] при почти предельно возможных изменениях форм спектра, амплитудно-частотных характеристик и функции  $\psi(\varphi_0)$ . В качестве примера на рис. 21 приведены исследованные вариации форм амплитудно-частотной характеристики и спектра, а также соответствующие им нормированные функции  $\bar{U}(\epsilon, \varphi_0)$ . Из их рассмотрения сделаны следующие выводы:

вид функции  $\psi(\varphi_0)$  углового распределения энергии спектра практически мало влияет на волновую нагрузку;

при практически возможных изменениях частотных характеристик и спектра различия в величинах  $U_{\text{max}}$  и  $\sigma_{\text{max}}(0)$  сравнительно невелики;

расчеты волновых нагрузок могут производиться без существенных погрешностей с использованием осредненных форм спектра и частотной характеристики.

Рис. 21. Вариации формы амплитудно-частотной характеристики (а), спектра волнения (б) и функции  $\psi(\epsilon, \varphi)$  (в).

Цифры обозначают различные формы кривых и их составы.

## § 8. Долговременное распределение волновых нагрузок

Выше были рассмотрены зависимости, устанавливающие закон распределения амплитуд волновой нагрузки на стационарном волнении, характеризуемом своими статистическими величинами  $A_{\text{вн}}$  и  $T_{\text{вн}}$ , при фиксированных значениях курсового угла, скорости судна, его весовой нагрузки. Такое сочетание параметров сохраняется довольно, во всяком случае только в течение времени существования самого стационарного волнения, если за это время не изменится курс или скорость судна. Эти параметры являются случайными величинами и имеют свои законы распределения за весь срок службы судна. Поэтому и волновые нагрузки, зависящие от этих параметров, должны иметь свое долговременное распределение.

Обозначим случайные события — появления морского волнения разной интенсивности — через  $H_1, H_2, H_3, \dots, H_n, \dots, H_m$ , а через  $P(H_i)$  — вероятность каждого из них. Все эти события составляют полную группу попарно несовместимых событий. Если другое случайное событие  $B$  — волновая нагрузка — может сочетаться с каждым событием  $H_i$  с условной вероятностью  $P(B|H_i)$ , то полная вероятность события определяется формулой полной вероятности:

$$P(B) = \sum_{i=1}^m P(B|H_i) P(H_i) \quad (1.96)$$

Аналогично обеспеченность события  $B$  равна

$$Q(B) = \sum_{i=1}^m Q(B|H_i) P(H_i) \quad (1.97)$$

В нашем случае под событием  $B$  надо понимать появление некоторой амплитуды  $x$  той или иной волновой нагрузки при  $i$ -й интенсивности стационарного морского волнения ( $H_i$ ) при определенной весовой нагрузке судна, имеющего заданный режим движения (скорость и курсовой угол). Под вероятностью события  $P(H_i)$ , вообще говоря, надо понимать вероятность встречи судном волнения  $i$ -й интенсивности, однако обычно она принимается равной вероятности появления самого волнения. Поскольку амплитуды волновой нагрузки  $x$  на стационарном волнении, как известно, распределяются по закону Релея, то обеспеченность той или иной амплитуды волновой нагрузки выражается формулой (1.11), где параметр  $E_x$  при неизменной весовой нагрузке судна и постоянном режиме его движения зависит только от интенсивности волнения. Если плотность распределения (дифференциальную функцию долговременного распределения) самого параметра  $E_x$  обозначать через  $g(\sqrt{E_x})$  и заместить в выражении (1.97) суммирование интегрированием по

параметру  $\sqrt{E_x}$ , то получим формулу для обеспеченности волновой нагрузки:

$$Q(x) = \int_0^{\infty} \exp\left[-\left(\frac{x}{\sqrt{E_x}}\right)^2\right] g(\sqrt{E_x}) d\sqrt{E_x} \quad (1.98)$$

Практическое использование простых по своему виду долговременных распределений волновых нагрузок (1.97) и (1.98) связано с трудоемкой работой, требующей применения вычислительной техники (ЭВМ). Действительно, для каждого отдельного участка моря полной статистической группой интенсивностей морского волнения надо считать количество сочетаний характерных высот волн в их периодах, приведенных в таблицах повторяемости морского волнения (см. табл. 8). В этих таблицах для участка моря число сочетаний составляет 288. Для каждого из них надо определять краткосрочную обеспеченность, которую затем с множителем, соответствующим повторяемости данного сочетания, вводить в сумму (1.97). Таким образом, в общем случае эта сумма только для одного участка моря должна содержать 288 слагаемых. А так как судно даже за один рейс может находиться примерно на десяти разных участках моря, а за весь срок своей службы — на нескольких десятках участков, то число слагаемых суммы (1.97) при построении долговременного распределения волновой нагрузки за весь срок эксплуатации судна может достигать десятков тысяч. Поэтому даже при использовании ЭВМ обычно считается возможным и практических расчетах долговременных распределений значительно сокращать число кратковременных распределений волновой нагрузки. Это достигается или за счет рассмотрения только одного направления хода судна — встречную волну, или за счет нахождения осредненной по всем направлениям функции  $U_x$  [см. формулу (1.83)] в предположении равной вероятности всех направлений, хотя оба эти случая и не соответствуют имеющимся данным. При этом функцию  $U_x$  вычисляют от скорости судна, равной наибольшей возможной при данной интенсивности волнения. Помимо этого сокращают и число сочетаний высота волн — период, оставляя все разряды высот волн, указанные в таблицах повторяемости, и периоды, близкие к периоду собственных колебаний судна при продольной качке. Таким сокращением доводят число кратковременных распределений для одного участка до 10—12<sup>1</sup>.

Обратим внимание на то, что в существующих таблицах повторяемости волнения разряды амплитудно определяемых высот

<sup>1</sup> Как показано в работах [4, 5], такое грубое расчленение схемы волнения и существенно различающиеся по величине вероятности в системе нормальных нагрузок для судов разных классов. В связи с этим приходится нагрузкам не только волноустойчивым, но и достаточно «наклонным» при сопоставлении запаса прочности таких судов.

были доведены только до  $A_2 = 8$  м (что соответствует  $A_{2\lambda} = 10,4$  м) и в последний (шестой) разряд включены все волны высотой  $A_{2\lambda} > 10,4$  м. В действительности же, как указывалось выше, интенсивность морского волнения достигает значений  $A_{2\lambda}$  разных 20 м и больше. Поскольку в таблицах такие высокие волны входят в один разряд с волнами  $A_{2\lambda} > 10,4$  м, то влияние самых высоких волн на обеспеченность волновых нагрузок остается неясным. В связи с этим В. В. Колянов считал целесообразным путем соответствующей экстраполяции расширить таблицу конгреста, введя 12 разрядов по высоте волн (вместо шести) и 8 разрядов по периодам волнения (вместо 6), причем наибольший разряд по высоте волн соответствует  $A_{2\lambda} = 18,4$  м. Такие расширенные таблицы повторяемости без учета направления движения здания для 96 сочетаний высоты волны—период были составлены В. В. Коляновым для 33 важнейших участков моря. Составление таких таблиц представляло лишь уточнения долговременных распределений волновых нагрузок. Отметим, что не всегда есть возможность и необходимость в подобных уточнениях. Например, при натуральных замерах адювковых нагрузок в море на семи шведских судах было признано достаточным производить эти замеры в соответствии только со следующими группами интенсивностей волнения, оценяемого судовыми составом по шкале Бофорта: 0—3, 4—5, 6—7, 8—9, 10—12, поскольку нельзя считать оправданным более точное различие между группами из-за неточности в оценках различных факторов. В связи с этим напомним, что при определении краткосрочных распределений волновых нагрузок приходится пользоваться лишь приближенным выражением спектра волнения и что нет однозначных переходов от визуально наблюдаемых высот и периодов волн к соответствующим статистическим величинам. Кроме того, передаточная функция волновой нагрузки обычно известна лишь приближенно, и не существует достаточной определенности в значениях скорости судна на волнении. В силу этих причин параметр распределения Релея определяется лишь приближенно. Учитывая, что упомянутые испытания здания нельзя построить долговременного распределения волновых нагрузок для конкретного судна с использованием экспериментальных данных, следует признать целесообразным в данном случае сокращение числа рассматриваемых групп волнения.

### § 9. Суммирование волновых напряжений

Волновые нагрузки создают в конструкциях корпуса судна соответствующие волновые напряжения. Такие нагрузки, как вертикальные и горизонтальные изгибающие моменты, крутящий момент, гидродинамические и инерционные давления, вызываемые

одним и тем же волнением, действуют в корпусе судна одновременно, и вызываемые ими напряжения суммируются.

Суммарные напряжения в любом  $n$ -м узле корпуса могут быть представлены в виде линейной функции нескольких случайных волновых нагрузок  $y_i$ :

$$x_n = \sum C_{in} y_i \quad (1.99)$$

где  $C_{in}$  —случайные коэффициенты пропорциональности между напряжением в узле  $n$  и волновой нагрузкой  $y_i$ , определяемые по обычным зависимостям стропильной механики корабля.

Вызываемые случайным процессом морского волнения волновые нагрузки и соответствующие им напряжения являются статистически зависимыми случайными величинами.

Суммарные напряжения на стационарном волнении как линейная функция зависимых случайных величин имеют следующие статистические характеристики:

дисперсии (квадрат стандарта) суммарных волновых напряжений

$$\sigma_x^2 = \sum \sum C_{in} C_{in'} K_{y_i y_{i'}} \sigma_{y_i} \sigma_{y_{i'}} \quad (1.100)$$

где  $K_{y_i y_{i'}}$  — коэффициент корреляции между волновыми нагрузками  $y_i$  и  $y_{i'}$ ;  $\sigma_{y_i}$ ,  $\sigma_{y_{i'}}$  — стандарты волновых нагрузок  $y_i$  и  $y_{i'}$ ;

дисперсии скоростей процесса изменения суммарных напряжений

$$\sigma_{\dot{x}}^2 = \sum \sum C_{in} C_{in'} K_{\dot{y}_i \dot{y}_{i'}} \sigma_{\dot{y}_i} \sigma_{\dot{y}_{i'}} \quad (1.101)$$

где  $\sigma_{\dot{y}_i}$ ,  $\sigma_{\dot{y}_{i'}}$ ,  $K_{\dot{y}_i \dot{y}_{i'}}$  — стандарты скоростей изменения нагрузок  $y_i$  и  $y_{i'}$  и коэффициент корреляции между ними;

эффективный период изменения суммарных напряжений

$$T_e(\dot{x}) = 2\pi \frac{\sigma_x}{\sigma_{\dot{x}}} \quad (1.102)$$

Заметим, что приближенно можно считать эффективный период изменения напряжений равным собственному периоду продольной качки судна.

Для каждой пары волновых нагрузок  $y_i$  и  $y_{i'}$  коэффициент корреляции

$$K_{y_i y_{i'}} = \frac{\int_b^a \sigma_{y_i}^2(\omega) S(\omega) d\omega}{\sigma_{y_i}^2 \sigma_{y_{i'}}} \quad (1.103)$$

где  $S(\omega)$  — спектральная плотность морского волнения;  $\sigma_{y_i}$

$\sigma_{y_1}$  — стандарты волновых нагрузок  $y_1$  и  $y_2$ , определяемые по формуле (1.82);  $\alpha_{y_1 y_2}$  — так называемая «взаимная» частотная характеристика волновых нагрузок  $y_1$  и  $y_2$ ; она зависит от амплитудной и фазовой частотных характеристик этих нагрузок и находится по следующей формуле:

$$\alpha_{y_1 y_2}^2 = \alpha_{y_1} \alpha_{y_2} \cos \delta_{y_1 y_2} \quad (1.104)$$

здесь  $\alpha_{y_1}$  и  $\alpha_{y_2}$  — амплитудно-частотные характеристики нагрузок  $y_1$  и  $y_2$  соответственно;  $\delta_{y_1 y_2}$  — сдвиг фаз между процессами  $y_1$  и  $y_2$  (разность их фазово-частотных характеристик).

На рис. 22 представлены в двойном нормированном виде «взаимные» частотные характеристики некоторых пар волновых нагрузок.

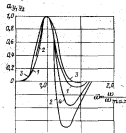


Рис. 22. Формы «взаимных» частотных характеристик волновых нагрузок (для  $\psi=0^\circ$ ).

1 — для пары вертикальных изгибающих моментов — габаритные скорости движения; 2 — для пары вертикальных угловых скоростей — горизонтальная сила; 3 — для пары вертикальных изгибающих моментов — горизонтальная сила; 4 — для пары вертикальных изгибающих моментов — вертикальная сила.

Если в выражении для коэффициента корреляции (1.103) спектр морского волнения  $S(\omega)$  заменить его выражением по формуле (1.64) и представить «взаимную» частотную характеристику  $\alpha_{y_1 y_2}$  в двойном нормированном виде, то получим следующую зависимость для коэффициента корреляции пары волновых нагрузок  $y_1$  и  $y_2$  на двумерном волнении:

$$K_{y_1 y_2} = \frac{U_{y_1 y_2}^2(\omega_1, \omega_2)}{U_{y_1}(\omega_1) U_{y_2}(\omega_2)} \quad (1.105)$$

где

$$U_{y_1 y_2}^2(\omega_1, \omega_2) = 2 \int_0^{\pi} S(\omega) \alpha_{y_1 y_2}^2(\omega_1, \omega_2) d\omega; \quad (1.106)$$

$U_{y_1}(\omega_1)$  и  $U_{y_2}(\omega_2)$  определяются по формуле (1.83).

Безразмерные функции  $U(\omega_i)$  при постоянной нормированной форме спектра морского волнения Второго Международного конгресса по конструкциям судов зависят только от соответствующих коэффициентов настройки  $\alpha_i$ , и их графики могут быть построены, если известны формы амплитудно-частотной характеристики для каждой волновой нагрузки и «взаимной» частотной характеристики для каждой пары этих нагрузок. Как уже говорилось выше, формы частотных характеристик, особенно «взаимных», изучены недостаточно. Тем не менее для некоторых основных волновых нагрузок получены графики функций  $U_{y_i}(\omega_i)$  и  $U_{y_1 y_2}$ ; примеры можно видеть по рис. 20 и в работах [5, 22, 28 и др.]. С их использованием вычислены значения коэффициентов корреляции между основными нагрузками. Эти результаты, дополненные экспериментальными данными, могут быть использованы в практических расчетах суммарных напряжений. При движении судна во встречном и попутном волнении напряжения от общего изгиба в вертикальной плоскости можно считать практически ненормализованными с напряжениями от горизонтальных и крутящих моментов. ( $K_{M_y M_x} = K_{M_y M_z} = 0$ ). На косых курсовых углах эти коэффициенты увеличиваются, достигая при  $\psi = 90^\circ$  ориентированных значений  $K \approx 0,5$ .

При необходимости суммирования напряжений в точке соединения ширстрена и валубонного стрингера от совместного действия вертикального и горизонтального моментов можно определить не стандарт этого суммарного напряжения, а стандарт такого эквивалентного вертикального изгибающего момента, напряжению от которого были бы равны суммарным напряжениям от совместного действия обоих моментов  $M_y$  и  $M_x$ . Если  $M_y$  и  $M_x$  — моменты сопротивления эквивалентного бруса относительно рассматриваемой точки, то стандарт эквивалентного вертикального изгибающего момента  $M_{y_x}$  определяется по формуле

$$M_{y_x} = \sqrt{\sigma_{M_y}^2 + \sigma_{M_x}^2 \left(\frac{W_y}{W_x}\right)^2 + 2K_{M_y M_x} \sigma_{M_y} \sigma_{M_x} \frac{W_y}{W_x}} = \\ = \sigma_{M_y} \sqrt{1 + \left(\frac{\sigma_{M_x}}{\sigma_{M_y}}\right)^2 \left(\frac{W_y}{W_x}\right)^2 + 2K_{M_y M_x} \sigma_{M_x} \frac{W_y}{\sigma_{M_y} W_x}} \quad (1.107)$$

где  $\sigma_{M_y}$  и  $\sigma_{M_x}$  — стандарты соответственно вертикального и горизонтального изгибающих моментов;  $K_{M_y M_x}$  — коэффициент корреляции для волновых нагрузок  $M_y$  и  $M_x$ .

Суммарное напряжение определяется по обычной формуле сопротивления материала:

$$\sigma_{\Sigma} = \frac{K \sigma_{\Sigma}}{B} \quad (1.108)$$

где  $B$  принимается в зависимости от выбранной обеспеченности для напряжения (см. с. 19).

Расчеты, выполненные по формулам (1.107) и (1.108) при указанных выше значениях коэффициента корреляции, показали, что учет горизонтального изгиба приводит к увеличению суммарных напряжений по сравнению с напряжениями только от общего изгиба на 5—10% [36]. С учетом еще и напряжений от кручения это увеличение достигнет 10—15% [5, 47]. Эти оценки относятся к напряженности конструкций палубы, в которых суммируются напряжения от действия указанных нагрузок. В конструкциях днища, где складываются напряжения от общего изгиба и напряжениями от изгиба переключений под действием поперечной распределенной нагрузки (гидродинамические давление и инерционные силы груза), увеличение суммарных напряжений составляет 10—20% [47].

Отметим, что традиционное простое суммирование напряжений от различных нагрузок эквивалентно принятию значения коэффициента корреляции  $K=1$ , что, как видно из формулы (1.107), приводит к завышению оценок суммарных напряжений.

#### Глава 4. ВЕРТИКАЛЬНЫЙ ИЗГИБАЮЩИЙ МОМЕНТ

##### § 10. Статистические характеристики на стационарном волнении

Наибольший расчетный волновой вертикальный изгибающий момент в мидельном сечении корпуса судна суммируется в том же сечении с наибольшим расчетным вертикальным изгибающим моментом на такой воде. Суммарный вертикальный изгибающий момент является главной вертикальной нагрузкой, которая в явном виде учитывается (и часто только она одна) в расчетах общей прочности судна. Волновой вертикальный момент в мидельном сечении является наибольшей по величине и значимости волновой нагрузкой по сравнению с другими волновыми нагрузками. Его статистические характеристики в настоящее время наиболее изучены. Как известно из предыдущего, среднее значение ординат вертикального волнового изгибающего момента равно нулю, а его амплитуды распределяются по закону Релея, единственным параметром которого является стандарт этого момента. Зна-

ние стандарта позволяет определять амплитуду момента с любой выбранной обеспеченностью, пользуясь соотношениями (1.15) и (1.16), вытекающими из закона Релея. В связи с этим изучение волнового вертикального изгибающего момента как случайной величины сводится к изучению его стандарта.

Стандарт волнового вертикального изгибающего момента может быть определен по формуле (1.32) с использованием графиков функций  $U(\epsilon)$  (см. рис. 20). Поскольку этот стандарт пропорционален амплитуде  $\sigma_{\Sigma}$ , его изучение сводится к изучению величины  $\sigma_{\Sigma}$ .

Введем безразмерные величины  $\bar{\sigma}_{\Sigma}$  и  $\bar{\sigma}_{\Sigma}^2$ :

$$\bar{\sigma}_{\Sigma} = \frac{\sigma_{\Sigma}}{k_{\Sigma} \sqrt{K_{\Sigma} K_{\Sigma} \Delta L^2}} = U_{\Sigma}(\epsilon), \quad (1.109)$$

$$\bar{\sigma}_{\Sigma}^2 = \frac{\sigma_{\Sigma}^2}{k_{\Sigma}^2 K_{\Sigma}^2 \Delta L^2} = U_{\Sigma}(\epsilon). \quad (1.110)$$

Видно, что обе они включают одну и ту же безразмерную функцию  $U_{\Sigma}(\epsilon)$  коэффициента застройки  $\epsilon$ , в выражение которого (1.81) входит период  $T_{\Sigma}^2$ , соответствующий максимуму амплитудно-частотной характеристики, зависящей от длины судна. Если с достаточной для практических расчетов точностью принять, что

$$T_{\Sigma}^2 = 0,8 \sqrt{L}, \quad (1.111)$$

то коэффициент застройки  $\epsilon = 0,8 \sqrt{L} / T_{\Sigma}$  при постоянной длине судна определится только значением среднего периода волнения  $T_{\Sigma}$ . Графики безразмерных стандартов в зависимости от  $T_{\Sigma}$  для судов различных длин (30, 100, 200, 300 и 400 м) приведены на рис. 23 [25], где сплошные линии относятся к трехмерному, а штриховые и штрихпунктирные — к двумерному волнению. На рис. 24 показана зависимость эффективной амплитуды волны от длины судна для случая хода вразрез волнам ( $\varphi = 0^\circ$ ) на волнении различной интенсивности, характеризующей средним периодом. Влияние курсового угла на стандарт «эквивалентной» волны [см. формулу (1.87)] для судов разных длин иллюстрируется рис. 25.

На графиках рис. 23—25 можно сделать следующие общие выводы.

1. Наибольшее значение безразмерного стандарта волнового вертикального изгибающего момента как за двумерным, так и за трехмерным волнением имеет место для судов всех длин от 50 до 400 м при ходе их встречным курсом (вразрез волне) и достигается при  $\varphi = 0^\circ$  0,147 — для двумерного волнения и 0,126 — для трехмерного. Следовательно, учет трехмерности волнения увеличивает наибольшее значение стандарта примерно на 15%.

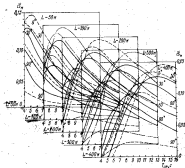


Рис. 23. Зависимость безразмерных стандартных вертикальных колебаний днища для судов разных длин.

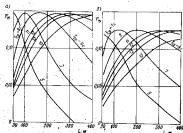


Рис. 24. Значения безразмерных эффективных амплитуд волн при входе судна врасей волнение различной интенсивности: а — для расей волнения; б — для трюмной волнения.

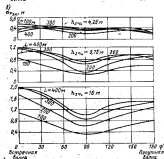
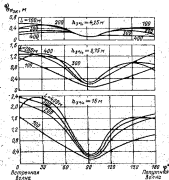


Рис. 25. Стандарты колеблательности волн для судов различных длин при движении с разными курсовыми углами: а — без учета трюмности волнения; б — с учетом трюмности волнения.

2. Если при  $\varphi = 180^\circ$  и  $\varphi = 0^\circ$  неучет трехмерности волнения завышает значение стандарта, то при ходе с курсовым углом  $\varphi = 90^\circ$  он приводит к значительному (в 3—4 раза) его уменьшению и дает ложное представление о пренебрежимой малости волновых вертикальных изгибающих моментов. Учет трехмерности волнения вносит в это представление существенную поправку, показывая, что наименьшее значение такого момента при  $\varphi = 90^\circ$  равно примерно 50% наибольшего момента при ходе вразрез волна.

3. Значения среднего периода волнения, при которых реализуются максимумы стандартов момента для судов разных длин, на трехмерной волнении несколько меньше, чем на двумерном, и увеличиваются с ростом длины судна. Например, для  $L = 100$  м средний период волнения, соответствующий максимуму стандарта, при  $\varphi = 0^\circ$  равен 6,5 с с учетом и 7 с без учета трехмерности волнения; при  $L = 400$  м соответствующие периоды равны 13 и 14 с. На южных курсах максимум стандарта реализуется при меньших значениях  $T_{ср}$ , чем на прочих курсах. Например, при  $\varphi = 90^\circ$  и  $L = 100$  м средний период равен 4 с при учете и 5 с без учета трехмерности волнения, а при  $L = 400$  м эти периоды соответственно равны 8 и 9 с.

4. Увеличение стандарта момента с ростом  $A_{вк}$  не соответствует закону прямой пропорциональности.

Достоверность расчетных данных, полученных с помощью описанных зависимостей, проверяется путем сопоставления с ре-

зультатами расчетов, выполненных по тем же зависимостям применительно к условиям эксперимента. Сопоставление такого рода выполнялось многократно и показало хорошее согласование расчетов с экспериментами (табл. 10) [122].

## § 11. Экспериментальное определение стандарта волнового вертикального изгибающего момента

В предыдущем параграфе рассматривался стандарт волнового вертикального изгибающего момента в мидельном сечении судна, находящегося на волнении определенной интенсивности, при фиксированной весовой нагрузке и заданном режиме его движения (скорость и курсовой угол). Это рассмотрение базировалось на теоретическом спектральном преобразовании линейной системы (корпусом судна) случайного входного процесса (морского волнения) в случайный выходной процесс (вертикальный изгибающий момент в мидельном сечении судна). При этом использовались некоторый «представительный» спектр морского волнения, задаваемый его статистическими характеристиками (высотой волны и средним периодом), максимальная ордината амплитудно-частотной характеристики и ее форма. Возникает вопрос, в какой мере вычисленный таким образом стандарт соответствует реальной действительности. Ответ на этот вопрос дают непосредственные измерения изгибающего момента на судах в море, определяющие основные статистические характеристики момента, которые соответствуют условиям эксперимента на стационарном волнении, в частности, стандарт этого момента и параметр распределения  $E_{вк}$  закона Релея.

При испытании судов в море регистрируются непосредственно не изгибающие моменты, а нормальные напряжения изгиба  $\sigma$  в какой-либо продольной связи корпуса (обычно в стрингере верхней палубы симметрично у обода бортов в районе мидельного сечения судна). Эти напряжения, как известно, однозначно связаны зависимостью  $M = \sigma F^2$  с изгибающим моментом  $M$  и моментом сопротивления  $F$  эквивалентного бруса относительно места установки датчиков напряжений. Следовательно, при известном значении момента сопротивления измеренные напряжения служат измерителями изгибающих моментов. Длительность записи напряжений должна быть достаточной для реализации случайного процесса, позволяющей вычислить его статистические характеристики. Этому условию удовлетворяет запись, содержащая по крайней мере 150—200 значений измеренной величины, чему соответствует продолжительность записи 20—30 мин. Длительность испытательного режима, при которой

<sup>1</sup> Справедливость этого утверждения всегда предварительно проверяют на специальных статистических испытаниях корпусов судов (см. § 13).

Таблица 10

Результаты расчетов и экспериментов, выполненных применительно к французским танкерам [122]

Имя судна	Измерения в различных условиях	Условия измерения		Спектр рессоры	
		$\sigma_{1/2}$ , кг	Направление волнения	Расчет	Замер
«Эмрод»	Изгибающий момент $M$ 10 <sup>6</sup> - <sup>8</sup> , тс-м	1,6	Встречное	3,30	2,88
			Попутное	3,75	3,64
«Жид»	Нормальные напряжения в связи, расположен на 42 м в корму от миделя, $\sigma$ , кгс/см <sup>2</sup>	3,8	Встречное	0,587	0,50
			Попутное	0,635	0,65
«Жид»	Касательные напряжения в бортовой обшивке в том же сечении $\tau$ , кгс/см <sup>2</sup>	3,8	Встречное	0,231	0,20
			Попутное	0,215	0,13

должны сохраняться неизменными факторы, характеризующие условия эксперимента (интенсивность стационарного волнения, весовая нагрузка судна, его скорость и курсовой угол), должна быть несколько больше продолжительности записи напряжений.

Одновременно с записью напряжений регистрируются статистические характеристики стационарного волнения и режимы движения судна. Это дает возможность сопоставить значения стандартов, получаемые по записям в море, со значениями, вычисленными по теоретическим формулам предыдущего параграфа.

На многих судах разного типа, плавающих на разных маршрутах, уже делались записи напряжений в море и по ним определялись стандарты волновых вертикальных изгибающих моментов в мидельном сечении судна. В настоящее время десятки эксплуатирующихся судов снабжены автоматической аппаратурой для регистрации напряжений в течение 20—30 мин в каждую вахту. На некоторых судах такая регистрация напряжений производится в течение пяти лет и более. Все получаемые данные подвергаются статистической обработке: строятся гистограммы, определяются стандарты и параметры закона Релея для вертикального изгибающего момента в мидельном сечении судна. Хотя этот большой материал еще не полностью обработан и недостаточно полно изучен, тем не менее имеющиеся данные позволяют утверждать, что распределение амплитуд волнового вертикального изгибающего момента в каждом отдельном испытательном режиме подчиняется закону Релея в достаточно широких пределах безопасности, а значения стандарта этого момента, определенные теоретическим путем по формуле (1.82), удовлетворительно согласуются со значениями, получаемыми по данным обработки записей напряжений в море.

Многими исследователями экспериментально установлено, что параметр закона Релея  $E_M$  зависит от интенсивности волнения, весовой нагрузки судна, его скорости и курсового угла по отношению к господствующему направлению волн. Однако вид зависимости от каждого из перечисленных факторов различен. Н. Норденстром [110] на основании 1577 замеров изгибных напряжений в мидельном сечении семи шведских судов (их размеры приведены в табл. 19) при волнении различной интенсивности (10—1 баллов по шкале Бофорта для рефеса в Северной Атлантике и 9—7 баллов для рефеса Персидский залив—Барова) пришел к следующим заключениям.

Влияние курсового угла и весовой нагрузки судна на параметр закона Релея сравнительно мало по сравнению с влиянием интенсивности волнения и скорости судна. Можно отметить, что курсовой угол влияет на этот параметр несколько сильнее, чем нагрузка судна. Воздействие нагрузки определяется в зависимости от безразмерного отношения действа при испытаниях к номинальному действу, которое приблизительно линейно связано с осадкой судна и изгибающим моментом на тихой воде. При

каждом стационарном нерегулярном волнении и при определенной скорости судна значения стандарта волнового вертикального изгибающего момента и параметра закона Релея оказываются наибольшими при волной нагрузке судна и движении его араараз господствующему направлению волнения (при курсовом угле  $\varphi = 0^\circ$ ). При средней эксплуатационной нагрузке параметр закона Релея уменьшается примерно на 5%. При изменении курсового угла параметр закона Релея уменьшается до некоторого максимального значения при траверсом направлении волн ( $\varphi = 90^\circ$ ) и затем опять увеличивается по мере приближения к попутному направлению до значения меньшего чем при  $\varphi = 0^\circ$ . Изменения этих параметров в значительной мере зависят от длины судна. Эти качественные выводы согласуются с теоретическими оценками, рассмотренными выше.

Значение параметра распределения Релея в основном определяется интенсивностью волнения и скоростью судна на волнении. Но в то время как интенсивность волнения, курсовой угол и весовая нагрузка судна являются величинами статистически независимыми, скорость судна связана с интенсивностью волнения, курсовым углом и весовой нагрузкой судна. В общем случае чем интенсивнее волнение, тем меньше скорость судна. При постоянной интенсивности волнения заметная скорость соответствует курсовому углу  $\varphi = 0^\circ$  в наибольшей осадке судна (наибольшей весовой нагрузке судна). Скорость судна при попутном волнении обычно больше, чем на тихой воде. При прочих равных условиях скорость судна с балластом должна быть больше, чем судна с полным грузом. Однако при плавании на волнении с балластом часто приходится снижать скорость из-за сильных ударов волн по корпусу и оголения антов. Поэтому и несмотря на различия скоростей судна в пределах практически возможных изменений весовой нагрузки судна, что приводит к малому изменению этих изменений на значение параметра распределения Релея.

Следует отметить, что скорость судна зависит главным образом от интенсивности волнения. Снижение скорости с увеличением интенсивности происходит тем реже, чем больше интенсивность. В настоящее время эта зависимость еще не установлена достаточно определенно. Известно лишь на многочисленных наблюдениях, что при прочих равных условиях это сплочение у малых судов больше, чем у больших, и зависит от мощности судовой энергетической установки и геометрических характеристик корпуса. При одинаковых условиях волнение у относительно тихоходных судов снижает скорости больше, чем у быстроходных тех же размеров; судя, близкие по главным размерениям, но отличающиеся формой обводов и нагрузкой (при разных осадках), могут иметь различия в скорости вследствие отличий в параметрах продольной килки, разной степени и частоты оголения пилотов, заложения галубы, ударов волн

о восковой оловечность судна. От этих отличий зависят сопротивление воды движению судна. Нужно отметить, что судоводители по-разному реагируют на изменения выше явления, сопровождающие качку. Эта реакция судоводителей выражается или снижением скорости судна, или изменением курсового угла, или тем и другим одновременно.

Отсутствие достаточно достоверной аналитической связи между скоростью судна на волнении, геометрическими характеристиками корпуса и интенсивностью волнения заставляет пользоваться приближенными оценками. Ориентировочные данные для грузовых судов длиной 100 и 300 м об отношении числа Фруда  $F_f$  на нерегулярном волнении к числу Фруда  $F_{f0}$  соответствующей скорости на тихой воде, приведены в табл. 11.

Отношение  $F_f/F_{f0}$  для грузовых судов

Таблица 11

Длина судна, м	Интенсивность волнения, баллы по шкале Бофорта						
	3-4	4	5	6	7	8	9
100	1,0	0,98	0,82	0,70	0,55	0,30	0,05
300	1,0	0,99	0,94	0,80	0,75	0,55	0,15

Для характеристики этого же отношения предложена [4] следующая приближенная формула, полученная усреднением данных по запасам в вахтенных журналах большого числа судов длиной 100—200 м:

$$\frac{F_f}{F_{f0}} = \exp \left[ -1,8 \left( \frac{10^4 H_s}{L} \right)^2 \right]. \quad (1.112)$$

Определив по этой формуле значение для судов длиной 100 м удельновероятно согласуются с приведенными в табл. 11. Для более длинных судов формула дает большие  $F_f/F_{f0}$ , что соответствует меньшей потере скорости.

Необходимые при проектировании корпуса данные о снижении скорости судна на волнении различной интенсивности могут быть получены или по соответствующему протоколу, или путем статистической обработки записей в вахтенных журналах большого числа плавающих судов, близких к проектируемому по главным размерениям, форме обводов корпуса, роду перевозимого груза и условиям эксплуатации.

Наибольшее влияние на параметр распределения Релея оказывает интенсивность волнения. Общей тенденцией является увеличение этого параметра с ростом интенсивности волнения. Однако Н. Норденстром отмечает, что для пяти шведских судов за семь максимумов параметра закона Релея имеет место при вол-

нении 2—4 балла по шкале Бофорта. Это объясняется тем, что в описанном волнении такой интенсивности доминируют волны мизб, средний период которых ближе к периоду, соответствующему максимуму амплитудно-частотной характеристики, чем период более коротких ветровых волн, соответствующих волнению 2—4 балла. Для сухогрузного судна длиной 97,8 м (шведские испытания) кривая зависимости параметра от интенсивности волнения достигла максимума при волнении 8—9 баллов, так как средний период доминирующих этого волнения оказался близок к периоду собственных колебаний судна при продольной качке. Следовательно, максимальный волновой вертикальный изгибающий момент соответствует такой интенсивности волнения, при которой наиболее близка максимуму спектра и амплитудно-частотной характеристике корпуса судна относительно этого момента. После достижения наибольшего значения при дальнейшем увеличении интенсивности волнения волновая нагрузка существенно уменьшается. Для судов длиной 140 м и более волновая нагрузка не достигает максимума при увеличении интенсивности волнения вплоть до 10—12 баллов, а то время как для судов длиной до 100 м максимум имеет место при 8—9 баллах. Следовательно, наибольшие волновые нагрузки не всегда соответствуют наибольшей интенсивности волнения, с которой можно встретиться при эксплуатации судна.

## § 12. Долговременное распределение волнового вертикального изгибающего момента в мидельном сечении судна

Метод Норденстрома. Для определения долговременной обеспеченности рассматриваемогогибающего момента (а также и других волновых нагрузок) по формуле (1.98) необходимо знать долговременное распределение параметра  $\sqrt{E_M}$ , входящего в эту формулу. Н. Джансер в 1966 г. [95] предложил считать, что долговременное распределение параметра  $\sqrt{E_M}$  подчиняется логарифмически нормальному закону, т. е. десятичные логарифмы случайных величин  $\sqrt{E_M}$  распределяются по нормальному закону (1.8). В этом случае долговременная обеспеченность амплитудыгибающего момента  $M$  определяется выражением

$$Q(M) = \frac{1}{\sqrt{V E_M}} \int_0^{\frac{M}{\sqrt{E_M}}} \frac{1}{\sqrt{E_M}} \exp \left[ - \left( \frac{1}{\sqrt{E_M}} \frac{M}{\sqrt{E_M}} \right)^2 - \left( \frac{M}{\sqrt{E_M}} \right)^2 \right] d \sqrt{E_M}. \quad (1.113)$$

где  $\bar{y}$  и  $\sigma$  — среднее значение и стандарт величины  $\lg \sqrt{E_M}$ . Расчет по этому распределению, применительно к испытаниям введших судов, дал результаты, существенно отличающиеся от экспериментальных. В связи с этим логарифмически нормальное распределение параметра  $\sqrt{E_M}$  не используется для построения долговременного распределения волновых нагрузок.

Р. Веннетом [71] было предложено применять логарифмически нормальное распределение величины  $(V\bar{E}+c)$ , что приводит к следующей формуле для определения долговременной обеспеченности волновой нагрузкой:

$$Q(x) = \frac{1}{\sqrt{2\pi}} \int_0^{\frac{x}{V\bar{E}+c}} \frac{1}{V\bar{E}+c} \times \exp \left[ -\frac{\lg(V\bar{E}+c) \ln^2}{2\sigma^2} - \left(\frac{x}{V\bar{E}+c}\right)^2 \right] dV\bar{E}, \quad (1.114)$$

где  $\bar{y}$  и  $\sigma$  — среднее значение и стандарт величины  $\lg(\sqrt{E}+c)$ ;  $c$  — постоянная, которую можно рассматривать как дополнительный параметр, зависящий от распределения интенсивностей волнения и от величины волнения на судно.

Сравнение результатов вычислений по (1.114) при  $c = 2$  кгс/мм<sup>2</sup> с данными натурных замеров напряжений на шкаторных судах показало удовлетворительную согласованность. Тем не менее продолжалась дальнейшая поиски более простых и лучше согласующихся с экспериментом функций распределения  $g(\sqrt{E})$ . Таких функций в настоящее время считаются нормальное распределение, для которого плотность вероятности

$$g(\sqrt{E}) = \frac{1}{\sigma\sqrt{2\pi}} \exp \left[ -\frac{(\sqrt{E}-\bar{m})^2}{2\sigma^2} \right], \quad (1.115)$$

где  $\bar{m}$  и  $\sigma$  — среднее и стандарт величины  $\sqrt{E}$ ; распределение Вейбулла, для которого плотность вероятности

$$g(\sqrt{E}) = \frac{k}{\sigma^k} (\sqrt{E})^{k-1} \exp \left[ -\left(\frac{\sqrt{E}}{\sigma}\right)^k \right], \quad (1.116)$$

здесь  $\sigma$  и  $k$  — параметры распределения.

В докладе Третьего комитета Четвертого Международного конгресса по конструкции судов (1970) отмечено, что как нормальное распределение, так и распределение Вейбулла хорошо соответствуют измеряемым данным и дают сходные результаты, а то время как часто применявшееся недавно логарифмически нормальное распределение должно быть забраковано.

При использовании формулы (1.116) выражение для долговременной обеспеченности амплитуды изгибающего момента принимает вид

$$Q(M) = \frac{k}{\sigma^k} \int_0^{\frac{M}{\sigma}} (\sqrt{E})^{k-1} \exp \left[ -\left(\frac{\sqrt{E}}{\sigma}\right)^k - \left(\frac{M}{\sqrt{E}}\right)^2 \right] d\sqrt{E}. \quad (1.117)$$

Н. Норденстром [111] исследовал также функцию обеспеченности

$$Q(M) = \frac{k}{\sigma^k} \int_0^{\frac{M}{\sigma}} (\sqrt{E})^{k-1} \exp \left[ -\left(\frac{\sqrt{E}}{\sigma}\right)^k - \left(\frac{M}{\sqrt{E}}\right)^2 \right] d\sqrt{E}, \quad (1.118)$$

которая отличается от выражения (1.117) только тем, что в формуле краткосрочной обеспеченности волновой нагрузки показателю степени равен не двум, как это соответствует распределению Релея, а некоторой произвольной величине  $l$ . В результате анализа функции (1.118) Н. Норденстром пришел к выводу, что с приемлемой точностью можно определять долговременную обеспеченность по следующему выражению:

$$Q(M) = \exp \left[ -\frac{\gamma(M/a)^l}{\beta} \right], \quad (1.119)$$

где параметры  $\beta$  и  $\gamma$  должны приниматься по табл. 12 в зависимости от отношения  $l/k$ .

Таблица 12

Коэффициенты  $\beta$  и  $\gamma$  формулы (1.119)

$l/k$	$\beta$	$\gamma$	$l/k$	$\beta$	$\gamma$
0	1,000	1,000	1,5	0,472	0,433
1,5	0,491	0,709	1,4	0,452	0,421
1,4	0,456	0,740	1,5	0,434	0,411
1,3	0,407	0,796	1,6	0,417	0,402
0,5	0,722	0,214	1,7	0,401	0,394
0,6	0,677	0,254	1,8	0,387	0,386
0,7	0,638	0,293	1,9	0,373	0,379
0,8	0,604	0,337	2,0	0,361	0,373
0,9	0,572	0,386	3,0	0,359	0,336
1,0	0,543	0,436	4,0	0,214	0,314
1,1	0,517	0,480	5,0	0,178	0,304
1,2	0,494	0,498			

При практическом использовании (1.117) необходимо знать величины  $k$  и  $\sigma$  долговременного распределения параметра  $\sqrt{E}$ , соответствующего закону Вейбулла. Для их нахождения используют, как правило, данные натурных замеров за длительным

срок, по которымпадают значения величин  $\sqrt{E}$  и соответствующая им обеспеченность  $Q$ . Эти значения связаны соотношением (1.22), которое можно представить в виде

$$y = k(\ln \sqrt{E} - \ln a), \quad (1.20)$$

где

$$y = \ln(-\ln Q). \quad (1.21)$$

Следовательно, на специальной вероятностной бумаге с логарифмической шкалой  $\ln \sqrt{E}$  по оси абсцисс и с блוגарифмической шкалой  $\ln(-\ln Q)$  по оси ординат закон Вейбулла изображается прямой линией. Угловой коэффициент этой прямой  $k$  равен тангенсу ее угла наклона к оси абсцисс. При  $y = 0$  из формулы (1.21) следует  $\ln \sqrt{E} = \ln a$ , т. е.  $\ln a$  измеряется отрезком оси абсцисс от начала координат до точки пересечения этой оси наклонной прямой закона Вейбулла. При известных по натурным замерам значениях  $\sqrt{E}$  и соответствующих им  $Q$  по нанесенным на вероятностную бумагу точкам проводят наклонную прямую закона Вейбулла и по ней определяют параметры  $k$  и  $a$ .

Прямой метод построения долговременного распределения (схема Козлякова—Плеханова). Для определения долговременной обеспеченности волновой нагрузки на судно, плавующее в некотором районе моря, можно воспользоваться формулой (1.97). Поскольку на  $i$ -м стационарном волнении при фиксированном режиме движения судна волновые нагрузки распределяются по закону Релея, то долговременная обеспеченность амплитуд волнового вертикального изгибающего момента на  $j$ -м участке моря определяется выражением

$$Q_j(M) = \sum_{i=1}^n p_i^* e^{\exp\left[-\left(\frac{M}{\sqrt{E}_i}\right)^2\right]}, \quad (1.22)$$

где  $n$  — число разрядов интенсивности волнения;  $p_i^*$  — вероятность встречи волнения, входящего в  $i$ -й разряд;  $\sqrt{E}_i$  — параметр распределения Релея.

В. В. Козляков предложил определять долговременную обеспеченность по этому выражению, используя стандарт изгибающего момента по формуле (1.82), в которой функцию  $U(\sigma)$  следует вычислять как средненную по всем курсовым углам (считая все направления равновероятными). Результаты такого расчета, занесенные на вероятностную бумагу со шкалами  $\ln M$  и  $\ln(-\ln Q)$ , аппроксимируются почти прямой линией, что свидетельствует о близости распределения (1.22) закону Вейбулла

$$Q_j(M) \approx \exp\left[-\left(\frac{M}{a_j}\right)^{k_j}\right], \quad (1.23)$$

параметры которого  $k_j$  и  $a_j$  находятся на вероятностной бумаге, как это показано выше.

Долговременная обеспеченность амплитуды изгибающего момента при плавании судна по тому или иному маршруту (рейсу), проходящему через ряд участков моря при относительном времени пребывания на них (частоте)  $p_i$  выражается следующей формулой:

$$Q_n(M) = \sum_{i=1}^n p_i Q_i(M) \approx \exp\left[-\left(\frac{M}{a_n}\right)^{k_n}\right]. \quad (1.24)$$

Если весь срок службы судна может быть представлен определенным числом  $N$  различных рейсов, относительная длительность которых  $p_i$  известна, то долговременная обеспеченность амплитуды момента за срок службы судна будет

$$Q_c(M) = \sum_{n=1}^N p_n Q_n(M) \approx \exp\left[-\left(\frac{M}{a_c}\right)^{k_c}\right]. \quad (1.25)$$

Параметры  $k_n$  и  $a_n$  для каждого маршрута,  $k_c$  и  $a_c$  для всего срока службы вычисляются так же, как и параметры  $k_j$  и  $a_j$  для участков моря. Определение значений этих параметров рассмотренным способом трудоемко и требует применения ЭВМ. Такие расчеты программизированы [27] при следующих исходных данных:

таблица вероятностей сочетаний  $\lambda_{ij}$  и  $T_{cr}$ ;

график относительной скорости  $Fv/Fv_0 = f(\lambda_{ij}, L)$ ;

график максимума амплитудно-частотной характеристики и периода, соответствующего максимуму, при ходе вперед волны:  $a_{ij}^{max}(0) = f_1(Fv)$ ,  $T_{ij}^{max} = f_2(Fv)$ ;

график функций  $\bar{U}(\sigma)$  и  $\bar{V}(\sigma)$ , входящих в формулы для определения средних стандартов момента:

$$\left. \begin{aligned} \bar{\sigma}_M &= \lambda_{ij} a_{ij}^{max}(0) \bar{U}(\sigma); \\ \bar{\sigma}_M &= \lambda_{ij} a_{ij}^{max}(0) \bar{V}(\sigma). \end{aligned} \right\} \quad (1.26)$$

Функция  $\bar{U}$  получена в предположении, что при  $\lambda_{ij} < 8$  и все курсовые углы возможны и равновероятны; функция  $\bar{V}$  — для случая  $\lambda_{ij} > 8$  и, когда считаются возможными только равновероятные курсовые углы  $\varphi = 0^\circ$  и  $\varphi = 180^\circ$ :

$$\left. \begin{aligned} \bar{U}(\sigma) &= \frac{6SU_{0\varphi} + U_{0\varphi} + U_{90} + U_{90} + U_{180} + U_{180} + 6SU_{180}}{8}; \\ \bar{V}(\sigma) &= \frac{U_{0\varphi} + U_{180}}{2}. \end{aligned} \right\} \quad (1.27)$$

По программе вышешел [22] большой объем расчетов и найдены значения параметров распределения Веббулла для 33 различных и весьма важных для морского судоходства морских участков (рис. 26). Из них 23 участка относятся к наиболее важным для судоходства районам океанов (Атлантического, Тихого и Индийского), остальные 10 — это участки морей, омывающих границы СССР. Были также получены параметры распределения Веббулла для 14 различных основных районов (маршрутов) морских судов из наших морских портов (Ленин-

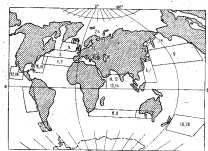


Рис. 26. Участки Мирового океана, для которых определены параметры долговременных распределений вертикальных изгибающих моментов.

град, Одесса, Мурманск, Владивосток). Кроме того, получены параметры распределения Веббулла для всего срока службы судна, соответствующего четырем разным комбинациям различных рейсов.

Из этого большого количества данных в первую очередь заслуживают внимания приведенные в табл. 13 значения параметров долговременного распределения и эффективных полумоментов волн с обеспеченностью  $10^{-6}$ , характеризующие волновые вертикальные изгибающие моменты в мидельсвом сечении танкеров и сухогрузных судов при плавании их на тех участках Мирового океана, где встречается наиболее сильное ветровое волнение. Кроме того, на рис. 27 приведены кривые изменения в зависимости от длины судна значений эффективных полумоментов волн для

Параметры долговременных распределений [формула (4.116)] и эффективных полумоментов волн с обеспеченностью  $10^{-6}$

Номер участка по рис. 26	L, м	Танкеры			Сухогрузные суда		
		а, м	к	$\Gamma_{\text{эфф}}$ , М	а, м	к	$\Gamma_{\text{эфф}}$ , М
4	50	0,26	1,19	3,2	0,23	1,17	2,8
5		0,15	0,92	3,6	0,16	0,96	3,2
6		0,13	0,99	3,4	0,12	0,88	2,9
4	100	0,34	1,18	3,9	0,28	1,16	3,4
5		0,19	0,98	4,1	0,22	1,04	3,5
6		0,20	1,00	3,7	0,18	1,02	3,7
4	100	0,33	1,09	4,8	0,26	1,10	4,1
5		0,22	0,95	4,6	0,27	1,09	3,9
6		0,24	1,03	4,1	0,21	1,05	3,4
4	200	0,35	1,09	5,1	0,29	1,07	4,5
5		0,22	0,95	4,8	0,28	1,06	4,2
6		0,26	1,01	4,5	0,23	1,03	3,9
4	250	0,30	1,02	5,3	0,26	1,04	4,6
5		0,23	0,95	4,9	0,26	1,07	4,4
6		0,25	0,95	4,7	0,23	1,01	4,1
4	300	0,29	1,02	5,8	0,28	1,04	4,7
5		0,21	0,92	4,9	0,29	1,09	4,8
6		0,24	0,97	4,9	0,23	1,00	4,2
4	400	0,23	0,94	5,2	0,24	0,99	4,6
5		0,15	0,86	4,7	0,26	1,06	4,1
6		0,19	0,91	4,8	0,20	0,95	4,1

указанных и некоторых других участков Мирового океана в соответствии с их нумерацией по рис. 26. Эти и подобные данные для других участков океанов и морей показали, что для судов длиной 150 м и более самые тяжелые условия плавания (наибольшие эффективные полумоменты волн или пропорциональные им волновые изгибающие моменты) встречаются в Северной Атлантике (участок 4 на рис. 26). Применительно к волновым условиям этого района и вычисляются обычно долговременные распределения волновых нагрузок, которые используются для сопоставительных оценок прочности судов неограниченного плавания. Наименьшие волновые нагрузки действуют на суда в южной части Тихого океана (Австралия—Южная Америка, участок 19 на рис. 26). Самые значительные нагрузки относятся к Охотскому морю (участок 27), но они все же меньше, чем на самом легком океанском участке.

В табл. 14 приведены значения параметров  $\alpha$  и  $\beta$  и эффективных полувысот волн для нескольких рейсов (маршрутов), включающих ряд районов Мирового океана при определенной

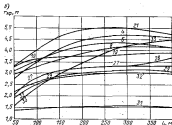
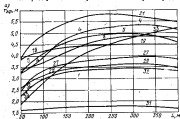


Рис. 37. Эффективные полувысоты волн с обсекаемостью  $10^4$  для волнового вертикального изгибающего момента и изгибающего момента судна разрезными для на ветровых участках Мирового океана: а — для танкеров; б — для сухогрузных судов.

относительной длительности пребывания судна в каждом из них. Таблица 15 содержит аналогичные данные для различных сочетаний рейсов, указанных в табл. 14, составляющих срок эксплуатации судна.

Таблица 14

Параметры алгоритмического распределения и эффективные полувысоты волн с обсекаемостью  $10^4$  для ветровых рейсов

Порядковый номер рейса	Наименование рейсов и шифры районов (см рис. 21)	Длина судна, м											
		150		200		250		300		350		400	
		Танкеры	Сухогрузные суда										
1	Донецк—Куба (32, 33, 31, 2, 7, 15, 16)	0,17 0,65 3,7	0,15 0,94 3,2	0,18 0,91 4,0	0,19 0,96 3,9	0,17 0,88 4,8	0,17 0,86 4,2	0,14 0,80 4,2	0,14 0,85 4,7	0,14 0,85 4,7	0,14 0,85 4,7	0,15 0,89 4,1	0,15 0,89 4,1
2	Оманс—Куба (28, 32, 1, 2, 15, 16)	0,16 0,92 3,7	0,13 0,91 3,3	0,17 0,90 4,4	0,16 0,87 3,9	0,16 0,85 4,8	0,16 0,85 4,8	0,14 0,80 4,2	0,14 0,85 4,7	0,14 0,85 4,7	0,12 0,82 4,1	0,12 0,82 4,0	0,12 0,82 4,0
11	Мурманск—Мариань (29, 4, 21)	0,37 1,03 3,9	0,33 1,00 3,3	0,37 1,01 5,0	0,36 1,00 4,4	0,36 1,00 5,0	0,36 1,00 5,0	0,32 0,97 4,6	0,32 0,97 4,6	0,32 0,97 4,6	0,30 0,95 5,0	0,30 0,95 5,0	0,30 0,95 4,4
12	Донецк—Морозов (32, 33, 31, 2)	0,15 0,94 3,6	0,14 0,93 3,1	0,17 0,90 4,5	0,18 0,95 3,9	0,17 0,89 4,5	0,17 0,89 4,5	0,15 0,87 4,2	0,15 0,86 4,5	0,15 0,86 4,5	0,14 0,85 4,5	0,14 0,87 4,0	0,14 0,87 4,0
13	Оманс—Алгаралас (23, 1, 4)	0,34 1,04 3,9	0,30 1,02 3,3	0,34 0,97 4,8	0,31 0,96 4,3	0,32 0,94 5,0	0,32 0,94 5,0	0,27 0,92 4,6	0,27 0,92 4,6	0,27 0,92 4,6	0,20 0,89 5,0	0,20 0,89 5,0	0,17 0,80 4,4
14	Донецк—Кейптанг—Ван-авестос (7, 3, 1, 6, 13, 6)	0,16 1,03 3,8	0,15 1,02 3,2	0,18 0,99 4,5	0,18 0,99 4,5	0,17 0,97 4,5	0,17 0,97 4,5	0,15 0,92 4,2	0,15 0,92 4,2	0,15 0,92 4,2	0,14 0,90 4,6	0,14 0,90 4,6	0,13 0,85 4,1

Параметры долговременного распределения в эффективных полуволнах волн с обеспеченностью 10% для некоторых параметров времени службы судна

Классификация района (показатель надежности судна и его эксплуатационные характеристики)	Параметры	Длина судов, м														
		100		200		300		400		500		600				
		Температура	Средняя скорость (км/ч)	Температура	Средняя скорость (км/ч)	Температура	Средняя скорость (км/ч)	Температура	Средняя скорость (км/ч)	Температура	Средняя скорость (км/ч)	Температура	Средняя скорость (км/ч)			
I (0,5) + II (0,5)	$\sigma$ , м $\lambda$ $\sigma_{\text{эф}}$ , м	0,22	0,22	0,22	0,20	0,20	0,20	0,18	0,18	0,18	0,16	0,16	0,17	0,17	0,16	0,15
		1,02	0,96	0,96	0,90	0,90	0,86	0,86	0,82	0,82	0,82	0,78	0,78	0,78	0,76	0,76
I (0,5) + II (0,5) + III (0,5) + IV (0,5)	$\sigma$ , м $\lambda$ $\sigma_{\text{эф}}$ , м	3,8	4,8	4,8	3,0	3,0	3,0	4,3	4,3	4,3	4,3	4,3	4,3	4,3	4,3	4,2
		0,19	0,19	0,19	0,17	0,17	0,17	0,15	0,15	0,15	0,14	0,14	0,14	0,14	0,14	0,14
I (0,5) + II (0,5) + III (0,5) + IV (0,5) + V (0,5) + VI (0,5) + VII (0,5) + VIII (0,5) + IX (0,5) + X (0,5)	$\sigma$ , м $\lambda$ $\sigma_{\text{эф}}$ , м	4,1	4,1	4,1	3,2	3,2	3,2	4,1	4,1	4,1	4,1	4,1	4,1	4,1	4,1	4,1
		0,19	0,19	0,19	0,17	0,17	0,17	0,15	0,15	0,15	0,14	0,14	0,14	0,14	0,14	0,14

Из рассмотренных представленных данных можно сделать следующие выводы.

1. Эффективные полуволны волн для сухогрузных судов на 10—15% меньше, чем для танкеров. В то же время параметры долговременного распределения волнового изгибающего момента  $\sigma$  и  $\lambda$  практически одинаковы для судов разных типов.

2. С ростом длины судов параметры  $\sigma$  и  $\lambda$  имеют тенденцию уменьшаться, а эффективные полуволны волн — увеличиваться.

3. Максимальные волновые нагрузки за рейс или за срок эксплуатации судна распределяются главным образом «назад» к наиболее тяжелому участку океана, на котором приходится плавать судну.

4. Наибольшие значения волновой нагрузки для различных маршрутов или их составных отличаются друг от друга гораздо меньше, чем для отдельных участков моря. Этим, по-видимому, и объясняется единообразная практика классификационных обществ, требующая обеспечения почти одинакового стандарта прочности для судов неограниченного плавания и допускающая сравнительно малое снижение этого стандарта для судов ограниченного плавания, если они могут хоть бы на время выходить в открытой океан.

Результаты расчетов долговременных распределений существенно зависят от ряда расчетных предположений, которые используются при их определении. Примером может служить приведенная на рис. 27 кривая, соответствующая участку 33. Для ее расчета были использованы спектры волнения, полученные по записям волнографов Такера, а то время как для всех остальных участков спектры строились на основе визуально определенных характеристик видимых волн. Это отличие в исходных данных привело к значительному различию между зависимостями эффективных полуволн от длины судна для участка 33 и аналогичными кривыми для других участков. Как абсолютные значения эффективных полуволн волн, так и закономерности их относительного изменения в функции от длины судна определяются также прямыми и расчетами параметрами амплитудно-частотных характеристик, долговременных распределений интенсивности волнения и т. д. Учетная «чувствительность» результатов расчета долговременных распределений, особенно абсолютных значений наибольших эффективных полуволн волн, к компоновке исходных данных, В. В. Корольков оценивает приведенные выше общирные данные как ориентировочные<sup>1</sup>, предельно высокие скорее для качественных оценок, чем для количественных. По этой же причине, результаты расчетов долговременных распределений волновых изгибающих моментов используются в первую очередь для исследования закономерностей

<sup>1</sup> См.: Бронский А. Н., Глазков М. К., Козляков В. В. Основы выбора конструкций корпуса судна. Л., «Строиздат», 1974, с. 88.

относительного изменения наибольших значений эффективных полуволн волн с изменением длины судна. Эти закономерности играют важную роль при проектировании прочности, позволяя экстраполировать данные существующей практики на суда боль-

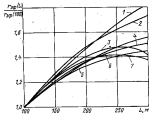


Рис. 28. Относительное изменение наибольших значений эффективных полуволн волн ( $\lambda_{\text{эф}}$ ) от относительной длины судна.

1 — данные В. В. Колосова [26]; 2 — данные Г. В. Войнова [27]; данные В. И. Кирюшина [24]; 3 — данные А. И. Малева [28]; 4 — данные Дж. Вулфа [198]; 5 — данные Д. Фурлоу [84]; 6 — данные Э. Нордстрёма [111].

шой длины. На рис. 28 приведены графики указанной зависимости (здесь  $\lambda_{\text{эф}}(100)$  — эффективная полуволна для судна длиной 100 м), принадлежащие разным авторам (для построения графиков использованы данные [38, с. 142, табл. 2.7]). Видно, что и для этой закономерности имеет место разброс результатов.

#### Глава 5. РЕЗУЛЬТАТЫ ЗАМЕРОВ ВОЛНОВЫХ НАГРУЗОК НА СУДАХ В НАТУРНЫХ УСЛОВИЯХ

Понимая условность волновых нагрузок, получаемых с помощью детерминистического стандартного расчета статической постановки судна на регулярную волну длиной  $\lambda=L$  и высотой  $h=L/20$ , судоспроектиры давно осознали необходимость выяснения наибольших действительных значений этих нагрузок, действующих на корпус судов в реальных условиях их эксплуатации. Такая необходимость сохраняется и становится еще более

острой и при новом, статистическом методе определения расчетных значений нерегулярных волновых нагрузок, поскольку имеющиеся в этом методе допущения нуждаются в объективной оценке.

Так как непосредственно определить волновые нагрузки на судно практически невозможно, то обычно измеряют деформации (напряжения), возникающие в конструкции от этих нагрузок (см. § 11).

Натурные испытания корпусов судов могут быть статическими или динамическими. Статические испытания производятся в сухом доке или на тихой воде. Требующийся продольный вертикальный изгибающий момент возникает благодаря соответствующему распределению балласта и груза вдоль судна. При испытаниях в доке перегибающие моменты создаются установкой опор под килем судна в районе середины его длины, а прогибающие моменты — размещением опор в оконечностях судна. При статических испытаниях на тихой воде значения и распределение по длине судна сил поддержания могут быть легко определены для любой посадки судна. Перегибающий и прогибающий моменты в этом случае также создаются размещением груза и балласта по длине судна.

В тех поперечных сечениях корпуса судна, где необходимо определить напряжения, располагают тензометры (датчики деформаций) на разных расстояниях от нейтральной оси сечения корпуса-балки (положение этой оси по высоте корпуса при известной конструкции продольных связей данного судна легко подсчитывается, см. § 37). Тензометры устанавливаются на жестких связях симметрично на правом и левом бортах, попеременно на верхней и нижней поверхности листов продольной связи. Полуусумма показаний таких парных тензометров определяет деформацию (напряжение) средней плоскости листа, вызываемую общим продольным изгибом корпуса, а полуразность показаний — деформацию поверхностных фибр тех же листов от их местного изгиба.

Если на корпус судна действует только продольный вертикальный изгибающий момент в диаметральной плоскости, то при симметричной конструкции правого и левого бортов относительные деформации и напряжения по показаниям симметрично расположенных по бортам тензометров должны быть одинаковыми. Если же показания оказываются разными и разность выходит за пределы погрешностей техники замеров, то это свидетельствует о наличии кроме вертикального также и общего изгибающего момента, действующего в продольной горизонтальной плоскости. В этом случае полуусумма напряжений, определенных по средним показаниям тензометров правого и левого бортов, соответствует значению нормальных напряжений от вертикального изгиба, а полуразность дает напряжения от горизонтального изгиба. Такая расшивка показаний

тензометры допустима только в тех случаях, когда нормальные напряжения в конструкции от сжатия кручения можно считать пренебрежимо малыми. В противном случае требуется более точная схема разделения измеренных нормальных напряжений (см., например, [47]).

Так как для поперечных сечений корпуса относительно мест установки тензометров известны значения моментов сопротивления, то для каждой продольной связи, на которой установлен тензометр, можно определить значение расчетных напряжений по формуле изгиба простой однородной балки  $\sigma = M/W$ . Близость экспериментально замеренных по тензометрам и найденных расчетом по известному моменту значений напряжений определяет степень оправданности допущения о возможности считать корпус судна при изгибе простой однородной балкой.

Другим способом проверки правильности этого предположения является экспериментальное определение стрелки прогиба корпуса при известных значениях действующего вертикального изгибающего момента, вычерчивание соответствующих упругих линий при изгибе и сравнение их с упругими линиями, полученными расчетом по теории изгиба балки с переменной по длине жесткостью и с учетом того, что общий прогиб равен сумме прогиба от изгиба и прогиба от сдвига. Близость замеренных и расчетных упругих линий также определяет степень оправданности допущения о возможности считать корпус судна при изгибе простой однородной балкой.

Для объективной оценки соответствия расчетных и замеренных величин необходимо, очевидно, быть уверенным в точности замеров. Для этого надо детально разработать методику эксперимента, применять достаточно точные измерительные инструменты и приспособления и тщательно производить сами замеры. Ошибки измерений не должны быть направлены систематически в одну сторону. Для уменьшения влияния случайных ошибок измерений необходимо одну и ту же величину измерять несколько раз, находя ее среднее значение и среднеквадратичное отклонение из ряда независимых опытов. В тех случаях, когда можно ожидать существенное влияние на деформацию температурных градиентов, замеры предпочтительно делать ночью. При сравнении экспериментов, выполненных в разных местах, разными лицами и в разное время, часто неизвестно, в какой мере выполнялись отмеченные выше общие условия, что затрудняет критическую оценку результатов.

Замеренные при известных изгибающих моментах напряжения являются тарировочными и, следовательно, позволяют правильно определить заранее неизвестное в каком-либо эксперименте значение изгибающего момента. В динамических опытах при нахождении изгибающих моментов, вызываемых нерегулярным волнением, пользуются результатами замерений напряжений в различных продольных связях корпуса-балки,

учитывая тарировочные напряжения. Обычно в правильно выполненных опытах считается необходимой предварительная тарировка корпуса судна. Конечно, можно, как было сказано выше, найти значение изгибающего момента по замеренному напряжению, не прибегая к тарировочным напряжениям. Однако такое определение будет неточным, так как соответствующий момент сопротивления, подсчитанный по геометрическим размерам поперечного сечения корпуса, оказывается приближенным по следующим причинам:

учет в моменте сопротивления отдельных надстроек, а также связей, терпящих устойчивость, является приближенным; возможна неравномерность распределения напряжений по ширине палуб, а особенно для судов с большими вырезами; не учитываются изначальные неровности в виде местных выемки и гофрировки, так как при расчете условно считается, что линии продольных связей имеют ровную, гладкую поверхность; не принимается во внимание наличие в связях остаточных технологических (сварочных, сборочных) напряжений, приводящее к тому, что в некоторых продольных связях напряжения достигают предела текучести уже при умеренных изгибающих напряжениях, вследствие чего эти связи при дальнейшем увеличении нагрузок перестают полноценно воспринимать внешнюю нагрузку;

расчет моментов сопротивления обычно производится по размерам связей, данным с чертежей рассматриваемого судна. Эти размеры при постройке судна, а также при его эксплуатации могут измениться.

### § 13. Равно замеры

**Испытания миноносца «Вулф».** Первые в истории кораблестроения наиболее тщательно натурные измерения волновых нагрузок были произведены в 1903—1904 гг. на английском миноносце «Вулф» ( $L=68,5$  м,  $D=400$  т) [43, 72]. Эти испытания были решено провести непосредственно после гибели в 1901 г. разломившегося на две части в море миноносца «Кобра», отпущенного с миноносцем «Вулф». Миноносец «Вулф» считался был подвергнут статическим испытаниям в доке, а затем был направлен в море для определения вертикальных изгибающих моментов на нерегулярном волнении. Замеры деформаций производились индикатором Стромейера с базой 500 мм. При испытаниях в доке индикатор устанавливался в котельном отделении между 83-м и 84-м шпангоутами (район миделя) и в машинном отделении. Первые индикаторы были размещены в ДП на палубе и на вертикальном киле у днища. Кроме того, симметрично с каждого борта было устанавливаемо по 5 пар индикаторов (3 пары на борту и 2 пары на продольной буксерной

пероборке). По результатам статистических экспериментов в доке была сделана следующие выводы:

балочная теория изгиба является надежным практическим руководством для получения напряжений при известном действующем моменте;

продольные связи корпуса безопасно выдерживали напряжения несколько больше, чем рассчитанные методом статической постановки на вершину или подошву стандартной волны.

В море было проведено три серии испытаний. В наиболее тяжелых условиях алаванга максимальная скорость судна была равна 13,2 уз ( $Ft=0,26$ ). Наибольший эффект, наблюдаемый по индикаторам деформаций, был тогда, когда корабль шел с наибольшей скоростью прямо против волны и ветра, при этом нос корабля поднимался и затем погружался в ближайшую забегавшую волну, которая ударяла о корабль с такой силой, что вызывала ощущение сотрясения корпуса, и корабль подвергался деформациям прогиба. При движении с малой скоростью кажущийся период (интервал времени между максимумом растяжения и максимумом сжатия) изменялся от 10 до 14 с, при наибольшей скорости арарея волнам этот интервал лежал в пределах от 6 до 8 с. Наибольшие значения измеренных на нерегулярном волнении напряжений были равны  $820 \text{ кгс/см}^2$  на вертикальном киле,  $460 \text{ кгс/см}^2$  на палубе по левому борту и  $340 \text{ кгс/см}^2$  на палубе по правому борту. По сравнению с напряжениями, определенными при статической постановке на регулярную стандартную волну, наибольшие измеренные напряжения оказались меньше на 25% для кила и на 45—60% — для палубы.

Заметим, что при статической постановке на волну средняя нагрузка только от волнового вертикального изгибающего момента, действие которого эквивалент одинаковым напряжениям за обоих бортов. В описываемом эксперименте на волнении напряжения на правом и левом бортах оказывались разными, что свидетельствует о наличии креня и в горизонтальной плоскости. В настоящее время установлено, что при тоде судна арарея нерегулярному трехмерному волнению кроме вертикального изгибающего момента действует также и горизонтальный момент. Однако в начале нашего века, когда проводились эксперименты на миноносце «Вулф», о горизонтальном изгибающем моменте ничего не было известно и даже не подозревалась возможность его существования. Кроме того, надо еще учитывать, что при огнестрельных выстрелах корпуса могли возникать довольно значительные вибрационные напряжения от ударов волн, которые входили сложным в измеряемые значения. Следовательно, измеренные при эксперименте наибольшие напряжения не являются напряжениями только от волнового изгибающего момента, а представляют собой полную сумму нормальных продольных напряжений от всех усилий, на-

зывающих продольный изгиб корпуса судна. Учитывая это, можно оценить степень важности сделанного по результатам испытаний заключения: «Судно выдерживало в доке напряжения много более высокие, чем имели место на волнении. Игнорируемые моменты, которые возникают в судне на волнении, оказываются меньше тех, что предполагаются при стандартных условиях расчета». Этот вывод качественно согласуется с рассмотренными теоретическими и экспериментальными данными, однако нет оснований утверждать, что наибольшие измеренные напряжения могут считаться действительно максимальными для судов данного типа и условий их плавания. Испытание миноносца «Вулф» в море продолжалось лишь две недели, и нельзя было утверждать, что встреченное за это время волнение было тем наилучшим волнением, которое корабль мог бы испытывать в течение всего срока своей службы. И если оговорить мнение о «Кобра» разломился в море, значит, он встретил волнение, на котором напряжения были больше измеренных на «Вулфе».

В экспериментах в море на миноносце «Вулф» не было получено данных, позволяющих определить обеспеченность надежных наибольших напряжений. Их и не могло быть, так как самое понятие о статистическом характере напряжений стало применяться лишь спустя много лет после проведения рассмотренных опытов. Не было также зафиксировано каких-либо численных характеристик волнения, на котором были измерены наибольшие напряжения.

Несмотря на отмеченные недостатки опытного определения волновых нагрузок в рассмотренном эксперименте, он имел важное значение для кораблестроения своим определенным указанием на завышение вертикального изгибающего момента при статической постановке судна на стандартную волну по Риду. Этот результат находился в противоречии с установившимся тогда взглядом, что метод Рида, не учитывающий динамических факторов, является действительный момент, на что указывал и сам автор метода.

Соответствие измеренных в доке напряжений и прогибов корпуса выводам теории изгиба балок было установлено в предположении, что модуль нормальной упругости конструктора меньше его значение для материала пребывания на 25%, а площади поперечных сечений листовых настелов редуцируются только при условии учета заделочных отверстий (система набора поперечная). Предполагалось, что уменьшение модуля упругости при растяжении обусловлено скоплением в заделочных соединениях. В дальнейшем, при обследовании многими авторитетными специалистами возможности увеличения модуля упругости, было признано, что при замеренных в доке на «Вулфе» значениях напряжений скопления заделочных соединений не могло быть и что нет никаких других физических

причин для уменьшения модуля упругости конструкции. С другой стороны, при определении момента инерции поперечного сечения корпуса судна была вынуждена необходимость зачислять площадь сжатых связей при расчете или устойчивости с соответствующими redukционными коэффициентами. Для минносеца «Вульф» это приводит к значительному уменьшению момента инерции, так как при поперечной системе набора со шпальной 510 мм толщина листов на 60% ширины палубы равна только 3 мм, толщина листов остальной части палубы и шпротена равна 6 мм, толщина листов днищевой обшивки 5 мм. Кроме того, указывалось, что рустинные листы надо учитывать с их эффективной шириной, меньшей фактической величины. В итоге эти поправки привели к уменьшению момента инерции тоже почти на 25%. Следовательно, установленное в эксперименте согласование замеренных и расчетных значений напряжений и прогибов получается и без предположения об изменении модуля упругости конструкции, но при более правильном определении момента инерции сечения эквивалентного бруса.

Испытания минносеца «Престон», «Брос» и «Албура». Естественно, что после испытаний на «Вульф» статические и динамические испытания проводились и на других судах (подробно они описаны П. Ф. Палкомцевым [43]), вплоть до начала второй мировой войны. Однако они не привели к каким-либо новым существенным выводам. Отметим лишь ставшие классическими испытания в дозе двух одитиных американских минносеца «Престон» и «Брос» ( $L=85$  м;  $B=9,45$  м;  $H=6,3$  м;  $D=1200$  т), 1930—1931 гг., и английского минносеца «Албура» ( $L=108$  м;  $B=12,2$  м;  $H=6,4$  м), 1950 г. Все они имели; американские имели поперечную систему набора, а английский — продольную. Поперечный набор американских минносец по палубе и днину был усилен продольными составными листовыми балками, расстояние между которыми на днище не превышало 1,3 м, на палубе балки были составлены от борта на расстоянии 0,9, 1,8 и 3,3 м. Толщина листов днища 12,5 мм, палубы на ширине 2 м от борта 12,5 мм и на остальной ширине 6,0 мм. Поперечные шпальи 880 мм. Предел текучести стали 3300 кгс/см<sup>2</sup>. На английском минносеце при продольной системе набора расстояние между продольными балками 720—750 мм, толщина листов днища 15 и палубы 17 мм, предел текучести стали 3670 кгс/см<sup>2</sup>.

При испытаниях в дозе в корпус размещалось достаточное количество тензодатчиков для определения напряжений в разных сеченьях и точках но высоте корпуса. В каждой точке тензодатчики устанавливались розетками, измеряющими напряжения (только деформации) в двух взаимно перпендикулярных направлениях (вдоль и поперек судна) и под углом 45° к ним. Это давало возможность определять значения и направление глав-

ных нормальных и касательных напряжений. Для исключения влияния температурных градиентов все замеры напряжений и прогибов производились ночью или рано утром. Испытания не ограничивались областью упругих деформаций элементов конструкции. Корпуса были доведены до разрушения, которое во всех случаях происходило от потери устойчивости сжатых перекрытий: корпус «Престона» был разрушен прогибающим моментом; выделанным потерю устойчивости палубы, а корпуса «Брос» и «Албура» — перегибающим моментом, обусловившим потерю устойчивости днищевых перекрытий.

Результаты этих испытаний по замерам прогибов и напряжений в пределах упругих деформаций полностью подтвердили вывод о том, что замеренные величины хорошо согласуются с расчетными по теории балок. Лучшую согласованность с расчетными напряжениями имеют главные нормальные напряжения; однако для наиболее удаленных от нейтральной оси продольных связей (для палубы и днища) значения главных нормальных напряжений практически можно считать одинаковыми с продольными напряжениями при изгибе корпуса судна в ДП. Отметим, что вполне удовлетворительное согласование замеренных и расчетных значений напряжений при изгибе корпусов судов было подтверждено и статическими испытаниями морских транспортных судов (грузовых и пассажирских, клеевых и сварных, при поперечной и продольной системах набора).

Предельную пластическую прочность испытанных минносецов можно наглядно охарактеризовать отношением разрушающего изгибающего момента  $M_p$  к расчетному моменту при статической постановке на стандартную волну  $M_{ст}$ , а также отношением критического сжимающего напряжения  $\sigma_k$  соответствующего  $M_p$  к пределу текучести материала  $\sigma_t$ . Из табл. 16 видно, что на американских минносецах при поперечной системе набора критические сжимающие напряжения оказались довольно высокими из-за установки достаточно прочных и жестких продольных листовых балок. Это критическое напряжение было лишь немногим меньше предела пропорциональности мягкой углеродистой стали с пределом текучести 2400 кгс/см<sup>2</sup>.

Таблица 16

Характеристики предельной пластической прочности минносецов

Имя судна	Сист. и способ закрепления тензодатчиков	$M_p/M_{ст}$	$\sigma_k/\sigma_t$
«Престон»	Палуба	3,58	0,99
«Брос»	Днище	1,88	0,66
«Албура»	—	3,90	0,71

Надо отметить то обстоятельство, что для создания перегибающего момента «Брос» и «Албура» устанавливались на две

опоры, расположенные в нос и в корму от мидели на расстоянии 12 и одна от другой. На «Брюсе» потеря устойчивости днища произошла вале одной из этих опор. В сечении у опор изгибающий момент был на 15% больше, чем в миделевом сечении. Следовательно, в одном сечении действовали одновременно и наибольший изгибающий момент, и наибольший порезывающий сила. Касательные напряжения от порезывающей силы на опоре в обшивке борта у нейтральной оси были равны 630 кгс/см<sup>2</sup>, что много меньше касательного напряжения, вызывающего текучесть при сдвиге и равного  $\sigma_s/13 = 1900$  кгс/см<sup>2</sup>, а также и касательное напряжение, вызывающего потерю устойчивости и равного приблизительно 1600 кгс/см<sup>2</sup>. При удалении от нейтральной оси касательные напряжения быстро уменьшались: на скуле они были равны 280 кгс/см<sup>2</sup>, на киле — нулю. Наибольший угол, образованный главными сжимающими напряжениями днища и продольной осью судна, на половине ширины судна вдоль ДП не превышает 13°, следовательно, главные сжимающие напряжения в днище практически равно нормальному. А это значит, что касательные напряжения в днище играли лишь ничтожную роль в потере устойчивости днища.

На миноносце «Албура» потеря устойчивости днища произошла тоже вблизи одной из доковых опор. Однако в этом случае порезывающая сила вызвала очень большие касательные напряжения в листах борта: на нейтральной оси они были равны 1870 кгс/см<sup>2</sup>, на скуле — 1200 кгс/см<sup>2</sup>. Поскольку касательное напряжение у нейтральной оси было несколько больше значения, соответствующего потере устойчивости вале борта, то такую потерю следовало ожидать, и она действительно наблюдалась при испытании<sup>1</sup>.

В обшивке днища на половине ширины судна вдоль ДП направление главных сжимающих напряжений составляло с продольной осью судна угол от 12 до 20°. Следовательно, практически для этой части днища можно пренебрегать влиянием касательных напряжений и считать, что главные сжимающие напряжения равны нормальному. В остальной части наружной обшивки до переосечения борта с нейтральной осью все более преобладающими оказываются касательные напряжения.

Особенностью испытаний на «Албура» по сравнению с испытаниями на «Брюсе» является то, что при разрушающем изгибающем моменте почти одновременно достигалась потеря устойчивости днища от сжатия борта при сдвиге. Однако в действительных условиях плавания невероятно, чтобы волновая нагрузка могла создавать в каких-либо поперечных сечениях корпуса большие изгибающие моменты с одновременным дей-

ствием значительных порезывающих сил. Поэтому на судах продольный изгибающий момент обычно может достигать своего критического значения раньше, чем касательные напряжения станут опасными с точки зрения потери устойчивости бортов судна.

Испытания на разрушение миноносцев показали, что если исключена возможность крупного разрыва судового корпуса, то его разрушение от потери устойчивости сжатых перекрытий происходит значительно раньше, чем растягивающие напряжения в продольных связях станут равными пределу текучести материала. Это вывод справедлив применительно к таким корпусам, у которых потеря устойчивости сжатых перекрытий происходит при напряжениях, меньших предела текучести материала. Однако вполне возможно конструктивно уменьшить значение критических сжимающих напряжений до предела текучести стали. Например, если бы на миноносцах «Престо» и «Брюс» вместо стали повышенной сопротивляемости с  $\sigma_s = 3300$  кгс/см<sup>2</sup> применить обычную малоуглеродистую сталь с  $\sigma_s = 2400$  кгс/см<sup>2</sup>, то толщину настила палубы и наружной обшивки пришлось бы увеличить примерно в  $3300 : 2400 = 1,4$  раза, что значительно увеличело бы эйлеровы сжимающие напряжения, доведя их почти до предела текучести малоуглеродистой стали при той же системе набора этих миноносцев (поверхней, усиленной мидельными на этих миноносцах продольными составными листовыми балками). На миноносце «Албура» с продольной системой набора для доведения эйлеровых сжимающих напряжений до предела текучести стали 3670 кгс/см<sup>2</sup> было бы достаточно уменьшить расстояние  $\delta$  между продольными балками, не меняя толщины листов  $t$ , так чтобы  $\delta/l = 45$  (в действительной конструкции это отношение равно 62). При переходе на малоуглеродистую сталь на этом миноносце соответствующее утолщение листов продольных связей увеличилось бы эйлерово напряжение до предела текучести этой стали без изменения продольной шпации. Заметим, что на современных нефтяных судах при продольной системе набора значения эйлеровых сжимающих напряжений в палубе и днище, как правило, превышают предел текучести материала конструкции. (Надо иметь в виду, что действительное критическое напряжение сжатия равно эйлерово только тогда, когда последнее не превышает половины предела текучести стали). Для судов, у которых устойчивость сжатых связей доведена до предела текучести материала, более опасными оказываются максимальные растягивающие напряжения при продольном изгибе. Поэтому к ним не относится вывод, сделанный выше на основании испытаний миноносцев.

Испытания судна «Сан-Франциско». Динамические испытания судов в море имеют целью определение действительных волновых нагрузок, возникающих в корпусе судна на волнении. Однако осуществить нужные измерения очень сложно. Долго

<sup>1</sup> На разрушение корпуса могли также оказать влияние опоры реостата, выходя предостереженное повреждение продольных листовых связей.

время отсутствовали достаточно надежные и удобные измерители деформаций. А таких измерителей требуется большое количество для замеров в различных поперечных сечениях судна и в достаточном числе точек по высоте каждого сечения. При визуальном наблюдении за показаниями тензодатчиков трудно обеспечить simultaneity записей этих показаний. Долгое время открытым оставался вопрос о соответствии измеренных напряжений конкретным условиям волнения, поскольку не было приборов, измеряющих волнение, а визуальных определений «характерной» высоты волны для этих целей недостаточно. Поэтому многократные наблюдения за судами в море, которые проводились до 50-х гг. в нашей стране и за рубежом, не могли дать ответа на вопросы о повторяемости различных значений волновой нагрузки и о наибольшем значении этой нагрузки. Более того, такие вопросы даже не ставились, поскольку сами волновые нагрузки не изучались с верооятностных позиций (современные взгляды на природу и исследование волновых нагрузок начали формироваться в 50-х гг.). Тем не менее проведенные в то время натурные испытания обогатили кораблестроителей многими качественными данными о поведении судов в море и, несомненно, способствовали разработке статистического метода определения параметров качки и волновых нагрузок. Остановился на характеристике одного из лучших натуральных испытаний того времени — испытании немецкого шельтердецкого судна «Сан-Франциско» ( $L=131$  м;  $B=18$  м;  $T_{\text{в}}=6,9$  м;  $T_{\text{п}}=7,6$  м), организованного Г. Шнаделем в 1934 г. во время регулярных рейсов Гамбург—Панамский канал—Бангкок. Судно было хорошо оснащено аппаратурой: гироскопическими приборами для измерения килевой и бортовой качки, акселерометрами для замера ускорений, тензотранши в нескольких сечениях для измерения напряжений, датчиками давления на днище. По обоим бортам определялся профиль волны посредством электрических контактов, установленных в шести поперечных сечениях по длине судна. В каждом сечении устанавливалось 17 контактов: один на киле и по восемь контактов на каждом борту на разных расстояниях по вертикали. Волна при подъеме замыкала контакты и зажигала сигнальные лампы, оставившие след на пленке специального регистрирующего аппарата.

Большая часть плавания проходила при легком волнении, но на пути в Гамбург в восточной части Северной Атлантики было встречено два особенно сильных шторма, последованных непосредственно один за другим через 33 ч. Сила ветра доходила до 12 баллов по Бофору. Наибольшие волны достигали высоты 16—18 м, как было определено по данным регистрации профилей волн у бортов судна и по стереофотографическим измерениям; по визуальным наблюдениям в южной высоте волны была равна, по крайней мере, 15 м. Во время шторма судно дрейфовало, располагаясь носом к ветру и волнам. Разрывы

(двойные амплитуды) килевой качки достигали 22°. Результаты испытаний показали [99], что измеренные напряжения были значительно меньшими, чем получаются по обычному расчету при измерении на судне профиле волны. В связи с этим Г. Шнадель впервые ввел понятие «эффективной» высоты волны, имеющей длину, равную длине судна, при статистическом постановке на которую получаются такие же напряжения и прогибы, какие замеряются на действительном нерегулярном волнении. Тогда метод статической постановки на волну для расчета изгибающих моментов, изгибных напряжений и прогибов оказался удовлетворительным для практических целей при эффективной высоте волны и при ее длине, равной длине судна. Например, эффективная высота волны  $\sim 4,2$  м (при длине 130 м) соответствовала действительным волнам высотой 9—10 м.

Было установлено, что напряжения на вершине волны меньше, чем на подошве (наибольшие напряжения при растяжении палубы 600 кгс/см<sup>2</sup>, при сжатии — 695 кгс/см<sup>2</sup>). Такое различие могло быть связано с нарушением корпуса судна орбитальными скоростями частиц воды. Здесь впервые при натурных замерах напряжений косвенным путем было обнаружено существенное влияние корпуса судна на структуру волны и, таким образом, опровергалась гипотеза Фруда—Крылова, по которой считалось возможным пренебречь наличием корпуса в волне судна при определении волновых нагрузок и параметров качки.

Были отмечены значительные напряжения в палубе при прогибе от сдвига (наибольшие значения до 220 кгс/см<sup>2</sup>).

Комментируя результаты испытаний, Г. Шнадель отмечал, что расчеты продольной прочности должны быть изменены, а для определения действительных напряжений на волнении расчетная высота волны должна приниматься большей при прогибе, чем при перегибе. Интересен также его анализ результатов измерения давления воды на корпус плавачего судна, в котором учтено, что при вертикальной и килевой качке инерционные силы присоединенных масс воды входят составной частью в показания датчиков давления воды, установленных на судне. Простое исследование показывает, что давление воды увеличивается за счет сил инерции присоединенных масс на вершине волны и уменьшается на подошве волны. Поэтому на замеров датчиков давления надо вычитать эти инерционные силы при расположении судна на вершине волны и прибавлять их при прохождении судна на подошве волны.

Гидродинамические давления, найденные после такого вычитания или сложения, отражают эффект Смита и влияние корпуса судна на структуру волны. Если подсчитать эффект Смита, то может быть установлено и влияние корпуса. При длине и высоте волны, равных 186 и 14 м, эффект Смита снижает давление воды на 25%, а замеры показали уменьшение давления на

40%. Исследования, проведенные Геретнером и Хагеном, показали, что давление воды в неколеблющейся волне не согласуется с соответствующей высотой столба воды. Смет пришлось к выводу, что расчетная высота волны должна приниматься значительно меньшей, чем предполагал. При этом не учитывается нарушение структуры волны корпусом судна и влияние присоединенных масс воды при вертикальной и килевой качке судна.

Измерение давлений воды и ускорений вертикальной и килевой качки дают необходимые данные для построения кривой распределения нагрузки и для определения изгибающих моментов.

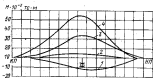


Рис. 28. Изгибающие моменты на вершине волны для судна «Сен-Франциско».

1 — от инерционных масс судна; 2 — от инерционных масс воды; 3 — на такой воде; 4 — суммарный момент с учетом всех динамических сил в волне на такой воде.

тов при испытаниях на волнении. Динамические силы вызываются ускорениями масс самого судна и ускорениями присоединенных масс воды. Кривая нагрузки от первой части является разностью инерционных сил масс судна и измерения сил плавучести при вертикальных колебаниях. На вершине волны изгибающий момент уменьшается от действия этих динамических сил. Силы присоединенных масс воды поддерживают часть веса судна вместо соответствующей силы плавучести. Поэтому эпюра нагрузки от них является разностью между силами присоединенных масс воды и плавучести корпуса судна. В общем случае эта нагрузка вызывает изгибающий момент, который превышает статический изгибающий момент.

На рис. 29 показаны кривые динамических и статических изгибающих моментов при положении судна на вершине волны. Значения вертикальных изгибающих моментов в среднем отсеке, определенные Г. Шнаделем для самого тяжелого волнения, встреченного судном, оказались следующие (в тс·м):

Статический изгибающий момент с учетом эффекта Смита	30 000
Изгибающий момент от инерционных сил массы судна ( $\Gamma=0$ )	12 000
Изгибающий момент от присоединенных масс воды ( $\Gamma=0$ )	4 500
Суммарный изгибающий момент	22 500
Изгибающий момент на такой воде	23 000
Сумма моментов волнового и на такой воде	45 500

Статический момент, составляющий 30 000 тс·м, превышает наибольший волновой момент, равный 22 500 тс·м. Он соответствует высоте эффективной волны, равной 5,5 м или  $L/24$ , а при учете динамических сил эффективная высота волны равна 4,2 м<sup>1</sup> для судна без хода.

Сравнение этих изгибающих моментов с соответствующими замерами показало вполне удовлетворительно согласование.

Б. Корвин-Круковский так оценивает результаты исследования: «Работы Г. Шнаделя на «Сен-Франциско» являются важными, поскольку описывают, как изгибающий момент возникает из плавучести и ускорений масс судна и окружающей воды. Они выявили значимость взаимодействия судна с волной. Приведенные данные впервые были получены на судне в море, впоследствии они были подтверждены модельными испытаниями и теоретическими расчетами. Слово «подтверждены» здесь употреблено в качественном смысле. Полученные на «Сен-Франциско» данные не могут считаться достаточно точными для детального сравнения с расчетами и модельными испытаниями. Главными источниками неточности являются следующие: анализировалась только одна волна, поскольку наилучшие профили волны во нескольких последовательных записях были неопределенны;

общее число датчиков давлений было слишком мало для достаточно правильного нахождения волнового давления воды;

установленный порядок синхронизации записей давлений не давал достаточной точности;

использованные расчеты соотношения основывались на свойствах регулярных волн;

применялись тензометры механического типа, что не позволяло централизованно наблюдать. Однако они давали возможность устанавливать нулевую точку отсчета и ясно разделять напряжения от перегиба и прогиба. У более совершенных электрических тензометров, применявшихся в дальнейшем другими исследователями, нулевая калибровка оказывается неопределенной, и поэтому они показывали только полный размах (абсолютную сумму амплитуд) напряжений от вершины до подошвы волны» [88].

<sup>1</sup> Это соответствует только — 62% высоты эффективной волны для Северного Атлантики (см. табл. 13 и рис. 27).

В 1946—1947 гг. на английском суднозном судне «Оушен Вэлкен» ( $L=127$  м;  $B=17,37$  м;  $T=8,2$  м;  $b=0,775$ ; корпус сварной, система набора поперечная) производились замеры напряжений во время 17-месячного его плавания в Атлантическом океане из английских портов к восточным берегам Северной Америки [64]. Судно совершало 8 рейсов за 321 день, из них находилось в море 290 дней, в том числе 203 дня — в открытом океане. Для измерения напряжений, профиля волны и давления воды на корпус судно было оборудовано аппаратурой, более совершенной, чем судно «Сам-Франсиско». В 12 точках по длине судна симметрично с каждого борта было установлено 700 индикаторов профиля волны и 63 датчика давления воды на давление: на 77<sup>1/2</sup> шагах симметрично с каждого борта было размещено 20 пар эластостронометров, определяющих напряжения в широтреке и в кастле изурожаемого днища; 4 акселерометра могли измерять ускорения в трех взаимно перпендикулярных направлениях; гироскопические приборы регистрировали углы килевой и бортовой качки; имелись две камеры для стереофотографирования волнения. Показания всех приборов передавались на центральной пост. Важно отметить, что на судне были установлены автоматические статистические счетчики числа размахов напряжений, заходящих в пределы определенных значений; например, от 158 до 316 кгс/см<sup>2</sup>, от 316 до 474 кгс/см<sup>2</sup> и т. д., непрерывно увеличивающимися равными ступенями. Число размахов напряжений, меньших 158 кгс/см<sup>2</sup>, не измерялось, что не давало возможности получить полный статистический ряд и строить гистограмму распределения значений напряжений.

Несмотря на то что время испытаний включало два зимних периода, общие условия плавания оказались «мягкими», и только в шестом рейсе было встречено более сильное волнение. Но даже в этом рейсе наибольшая сила ветра (8—9 баллов по шкале Бофорта) наблюдалась только в течение одного дня. Наибольшие углы килевой качки были равны 7°, бортовой качки — 10°. Наибольшая высота волны составляла 10,7 м и соответствовала длине волн от 180 до 210 м. Максимальное значение размаха волнового вертикального изгибающего момента равно 46500 тс·м, соответствующий размах напряжений 975 кгс/см<sup>2</sup>. Наибольший размах горизонтального изгибающего момента, действующего одновременно с указанным вертикальным моментом, составил 15350 тс·м. По результатам измерений был построен график отношений горизонтального и вертикального моментов при различных курсовых углах (см. [50, рис. 129]). Эффективная высота волны, соответствующая наибольшему вертикальному моменту, равна 4,65 м, что составляет 67% расчетной высоты волны, указываемой в английских Правилах и

равной  $0,606 \sqrt{L}$ , и 63% эффективной высоты волны для участка 4 по табл. 13 и рис. 27. Отмеченные выше наибольшие величины относятся, разумеется, только к условиям волнения, имевшим место при испытании. При более тяжелых условиях волнения можно ожидать существенного увеличения и изгибающих моментов, и параметров качки.

При обработке полученных на испытаниях данных вычислялись волновые вертикальные и горизонтальные изгибающие моменты как по замеренным напряжениям, так и по показаниям датчиков давлений и акселерометров. Результаты таких вычислений давали значения моментов, практически хорошо согласующиеся между собой.

В отношении горизонтального изгибающего момента в отчете по данному испытанию указывается, что его наибольшие значения может иметь один порядок с наибольшим значением вертикального момента. Однако, когда вертикальным момент достигал максимума, горизонтальный имел минимум. Заметно, что минимальный момент сопротивления корпуса судна при изгибе его в горизонтальной плоскости обычно существенно больше, чем при вертикальном изгибе. Поэтому даже при одинаковых значениях горизонтального и вертикального моментов продольные нормальные напряжения от горизонтального момента существенно меньше, чем от вертикального.

Крутящие моменты, измеренные на «Оушен Вэлкен», обуславливали увеличение продольных нормальных напряжений не более чем на 80 кгс/см<sup>2</sup>. При волнении, вызывающем наибольшие вертикальные изгибающие моменты, крутящие моменты малы, и можно пренебречь связанным с ними увеличением продольных напряжений.

Важно также определить, что по всей высоте поперечных сечений на волнении действуют продольные сжимающие напряжения не менее 80 кгс/см<sup>2</sup> при той же скорости (10 уз), которую имело судно. Для более быстрого судна той же размерности можно ожидать увеличения этих сжимающих напряжений, обусловленных упором ванта и сопротивлением воды.

Исследование вертикальной и килевой качки показало, что их влияние на напряжения относительно невелико даже при наиболее суровых условиях волнения, если только не происходит сдвига, который может увеличивать продольные напряжения в валуе в 2-3 раза примерно на 240 кгс/см<sup>2</sup>.

В результате этих испытаний были получены также другие ценные сведения [50, рис. 90 и 91]. В табл. 17 приведены впервые полученные на этих испытаниях данные о количестве размахов напряжений, отнесенные к одному году эксплуатации судна. Поразительной особенностью этих данных является то, что за время плавания судна очень редко напряжения достигали своего наибольшего значения.

Таблица 17

Среднегодовое количество размахов нормальных напряжений разного уровня от волнового вертикального изгибающего момента (по замерам в море на судне «Оушен Валкен»)

Размах нормальных напряжений, кг/см <sup>2</sup>	Среднее количество размахов за 1 год
От 158 до 306	206 301
— 306 — 474	9 280
— 474 — 632	526
— 632 — 790	37
— 790 — 848	2
— 848 — 1106	1
Более 1106	0

При эксперименте не были получены данные о распределении размахов напряжений между их составляющими при перегибе и при прогибе. Однако исследователь, анализируя данные результаты замеров, считал, что напряжения от прогиба несколько больше, чем от перегиба.

При суждении о влиянии замерших волновых напряжений на общую прочность корпуса судна надо иметь в виду, что они складываются и алгебраически суммируются с напряжениями, которые существуют в корпусе судна, но не учитываются статистическими счетчиками напряжений. К их числу принадлежат те напряжения от волнения напряжения от изгиба и кручения на тихой воде, которые на рассматриваемом судне были равны 490 кг/см<sup>2</sup>, температурные напряжения, остаточные технологические напряжения. Высокочастотные напряжения от ударных и вибрационных нагрузок также не регистрировались счетчиками. Кроме того, в отдельных конструкциях возможна концентрация напряжений.

Отметим, что исследователи, анализирувшие результаты испытаний «Оушен Валкен», подчеркивали необходимость при определении расчетного вертикального изгибающего момента учитывать влияние эффекта Смита, но предполагали несущественным взаимодействие между волной и корпусом судна. С таким предположением нельзя согласиться, поскольку оно находится в противоречии, как указывают и Б. Корвин-Круковский [99], с приведенными выше результатами натурных испытаний «Сен-Франциско», а также с данными модельных испытаний и гидродинамической теории качки судов.

В детерминистическом расчете общей прочности корпуса судна в качестве единственной расчетной нагрузки принимается вертикальный волновой изгибающий момент, значения которого определяются статической постановкой судна на стандартную

волну. Это значение, как видно из предыдущего, больше действительного значения вертикального момента. Для получения действительного волнового момента надо в статический волновой момент вводить поправки, учитывающие эффект Смита, влияние корпуса судна на структуру волны, силы инерции массы судна и присоединенных масс воды. Эти поправки и общей сложности значительно уменьшают статический волновой вертикальный изгибающий момент и, следовательно, волновые напряжения от вертикального изгиба. Однако, как указывалось выше, наибольшие действующие нормальные напряжения в продольных связях корпуса судна являются не только результатом вертикального изгиба на тихой воде и на волнении, но включает в себя напряжения от горизонтального изгиба, кручения корпуса, сдвига, осевого продольного сжатия, температурные и остаточные технологические напряжения. В связи с этим возникает вопрос, в какой мере напряжения, соответствующие изгибающему моменту, полученному статической постановкой на волну с эффективной высотой и длиной, равной длине судна, соответствуют действительным нормальным напряжениям от совокупности всех вышеназванных их факторов. Заметим, что в начале 30-х гг., когда обсуждались результаты испытаний судна «Оушен Валкен», эффективная высота волны считалась равной  $\frac{1}{2}$  длины судна, если последняя была равна 120—130 м; для судов меньшей или большей длины эффективная высота принималась соответственно большей или меньшей.

Главный инженер Английского Ллойд Дж. Тэрбалл в своем докладе [140], посвященном рассмотрению результатов испытаний «Оушен Валкен», дает следующий ответ на поставленный выше вопрос: «Можно заключить, что, применяя волну высотой L/20 и пренебрегая поправкой Смита, получаем теоретический изгибающий момент в среднем сечении судна, равный действительному изгибающему моменту, испытываемому судном длиной 120 м в жесткой штурм. Для более длинных судов напряжения, получаемые по классическому теоретическому расчету (при высоте волны L/20), будут, конечно, больше, а для более коротких — меньше, чем возникающие в действительности». Здесь, по-видимому, Дж. Тэрбалл не имел в виду те дополнительные напряжения, которые отмечались выше, а только отказывался от динамических поправок к статическому волновому изгибающему моменту, интуитивно учитывая возможность увеличения напряжений в случае слабого штурма.

Дж. Маррей, выступая в дискуссии по этому докладу, следующим образом уточнил его заключение: «Данные доклада показывают, что классический метод производства расчетов прочности, предложенный Джемом в 1874 г., дает не только сравнительные, но и достаточные реальные значения напряжений для данного типа судна (длиной около 120 м)... Однако было бы опасным считать, что это носит универсальный характер».

## § 15. Долговременные замеры на английских судах

Данные испытаний на судне «Оушен Валкер» нельзя распространять на суда других размеров и типов, плавающие за других рейсах и в течение более продолжительного времени. Для накопления сведений о волновых нагрузках, испытываемых различными судами при их обычной эксплуатации на различных морских маршрутах, Британская судовая исследовательская ассоциация (BSRA) с 1955 г. на ряде нормально эксплуатирующихся судов установила постоянно действующие автоматические статистические счетчики размахов напряжений (типа примененных на «Оушен Валкер»). Датчики напряжений для счетчиков размещались на листах верхней палубы у шпрестрека в районе мидельового сечения, там, где можно было считать исключенным местный изгиб листа и где не могло происходить алиевне концентрации напряжений. Запись показаний в конце каждой вояты производилась на особых бланках с одновременной записью в них даты, месяца, числа и часа, температуры воды и воздуха, курса судна и его местоположения, скорости и пройденного за вояту пути, силм ветра в баллах Бофорта, направления ветра, краткой характеристики силм и направления волнения и змбо, характеристик килевой и бортовой качки и слеминга. По окончании каждого рейса заполненные бланки отсылались для обработки и исследования. В докладе А. Джонсона и Б. Ларкина [96] были опубликованы первые предварительные данные замеров размахов напряжений на 22 судах (10 сухогрузных, 3 навалочных, 7 танкеров и 2 пассажирских) за время с 1955 по 1962 г. включительно. Счетчики устанавливались не на всех судах одновременно, и продолжительность их действия на разных судах была различной; с некоторых судов счетчики снимались до 1962 г. и переставлялись на другие суда, но на ивотных судах они продолжали действовать и после 1962 г.

В табл. 18 приведены характеристики судов и условия их эксплуатации, а также число замеренных размахов напряжений разных уровней, относимые для всех судов к одной и той же условной продолжительности пребывания их в море, равной 5000 ч. (Поскольку в году 8750 ч, то 5000 ч в море соответствуют 1 году плавания, если судно находится в море 57% всего времени. Обычно грузовые суда в море находятся только 35—40% общего времени эксплуатации, т. е. примерно 3300 ч в год. В этом случае 5000 ч в море соответствуют примерно 1,5 года эксплуатации судна.) Следует иметь в виду, что значения напряжений, приведенные в таблице, обусловлены не только волновыми вертикальными изгибающими моментами, но и горизонтальными изгибом, кручением корпуса судна, слемингом и другими вибрационными факторами, температурными gradientsми, изменении загрузки судна во время рейса вследствие расхода запасов или по условиям балластеронки. Следовательно, показания

статистических счетчиков отражают сумму всех воздействий во время рейса, которые могут оказывать влияние на продолжение нормальные напряжения.

Поскольку счетчики могли регистрировать только напряжения, равные или большие 156 кгс/см<sup>2</sup>, то число размахов напряжений, меньших этой величины, осталось неизвестным. В докладе [96] высказано предположение, что число неучитываемых размахов составляет около 50% их общего количества.

Значения размахов, которые являются арифметической суммой напряжений от перегиба и прогиба, трудно поддаются раз-

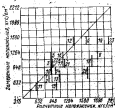


Рис. 28. Сравнение расчетных напряжений с измеренными напряжениями на английских судах. Центр концентрации диаграмм смещен по табл. 18.

и наименее показаний счетчиков можно приписывать только примерно наименьшей температуре. Наибольшие размахи напряжений были замерены в интервале 316—474 кгс/см<sup>2</sup>, но в основном размахи температурных напряжений относились к интервалу 156—316 кгс/см<sup>2</sup>.

Результаты испытаний анализировались с разных точек зрения, и были обнаружены некоторые интересные тенденции. Однако количество полученных данных является недостаточным для окончательных заключений [96], требуются замеры за более продолжительное время и на большем числе различных судов. В соответствии с этим в докладе приведены лишь следующие основные результаты.

1. Наибольшие напряжения соответствуют наиболее тяжелым погодным условиям, когда скорость судна значительно уменьшается.

2. Наибольшие замеренные размахи напряжений в среднем соответствуют напряжениям, полученным расчетом при

Характеристики судов и условий их эксплуатации, количество

Вид, класс по рег. судам	Тип судна	LxВxГ, м	d	Длина, м	Сред. скорость в морс. ч	Регион плавания (проц. от общего, %)	
							Сред. скорость в морс. ч
7 4	Сухогрузные суда	148x19,7x8,4	0,674	16	7 200	США—Канада	
		120x19,2x8,3	0,667	16	4 057	США—Канада	
		126,5x19,6x7,8	0,626	16	27 152	США—Канада	
		124x17,4x7,6	0,785	12	8 011	Гибралтар—Ирландское море—41% Гибралтар—Западная Африка—37% Вост.-Индия—Мексика—16%	
5	Сухогрузные суда	136,5x18,7x8,0	0,760	15	5 519	Средиземное море—Индия—Китай	
143,5x19,5x9,2		0,670	17	12 825	Тихий океан—23% Южный Ледовитый океан—37% Северная Атлантика—26%		
137,1x18,8x8,8		0,710	15	4 450	Западная и Южная Африка—60% Гибралтар—Средиземное море—35%		
146,5x20,4x8,6		0,645	17	3 437	Средиземное море—46% Южная Африка—Австралия—34%		
13	Сухогрузные суда	148x19,1x8,1	0,738	14,25	1 388	Северное море—Гибралтар—44% Северное море—Западная Африка—55%	
21		Пассажирские суда	226x29,6x—	0,630	27	6 685	Тихий океан—Южная Африка—70% Средиземное море—Китай—25%
22			183x28,9x—	0,630	21	3 149	Канада—США—89% Мексика—Вост.-Индия—9%
12 16		Навигационные суда	146x19,5x9,2	0,750	13,5	8 028	Англия—Канада—52% Тихий океан—39% Северная Атлантика—43% Средиземное море—Персидский залив—11% Индийский океан—Тихий океан—47%
17	140x19,8x8,3		0,750	14,5	7 358	Северная Атлантика—86% Северное море—Балтийское море—15%	

запасных районов плавания (по испытаниям английских судов)

1-3-10	Количество районов плавания, морс. ч. по испытаниям								
	31-41	41-51	51-76	76-98	98-126	126-156	156-182	182-200	
108 500	4 560	376	4,8	—	—	—	—	—	
172 000	4 550	264	12,3	—	—	—	—	—	
129 000	8 750	750	34,7	0,9	0,3	—	—	—	
161 000	14 100	1530	224	22,4	0,6	—	—	—	
65 000	2 735	161	10,3	1,8	0,9	0,9	—	—	
128 000	5 640	252	31,6	0,8	—	—	—	—	
36 300	287	5,75	—	—	—	—	—	—	
84 000	2 350	65,2	3,37	—	—	—	—	—	
16 500	2 745	387	13,1	4,4	—	—	—	—	
122 000	725	22,2	—	—	—	—	—	—	
58 000	13 620	745	46,5	3,8	1,5	—	—	—	
70 000	3 500	236	4,2	—	—	—	—	—	
650 000	109 000	11 590	2 100	280	74,2	16,2	8,1	2,5	
222 000	40 700	5535	430	79,2	15,6	3,4	—	—	
272 000	8 150	1780	86,2	10,3	1,5	—	—	—	

Наименование судна по рис. №	Тип судна	L x B x T, м	$\delta$	Волнонапряженность, $\text{г}$	Время продолжительности в сутках, ч	Работа экипажа (среднее значение, %)
6	Тендер	161 x 21,1 x 9,0	0,776	14,5	10 282	Атлантический океан — 55% Северное море—Балтийское море — 5% Средиземное море—Тирасский залив — 29% Индийский океан—Тихий океан — 12%
7		85,5 x 12,6 x 6,3	0,770	10,5	2 226	Каботаж (Северное море—Балтийское море)
8		206 x 27,1 x 11,0	0,780	16	25 969	Средиземное море—Персидский залив — 75% Иранское море—Габриэль — 15%
22		226 x 34,4 x 13,0	0,800	16,5	4 111	Средиземное море—Персидский залив—Китай
18		206 x 28,9 x 11,8	0,762	16,25	13 457	Англия—Персидский залив
19	221 x 30,6 x 12,5	0,792	16	15 007	Англия—Персидский залив	
20	188 x 24,5 x 10,5	0,786	15	1 011	Англия—Персидский залив	

статической постановки на волну длиной, равной длине судна, и высотой 0,606*h* (рис. 30). [При этом расчетные напряжения не включают поправку на эффект Смита, поскольку при расчете высота волны уже учитывает его.] Из рисунка видно, что для семи судов (11, 10, 3, 5, 22, 16 и 12), которые плавали в Северной Атлантике, наибольшие измеренные размахи напряжений лежат выше или пересекают наклонную под углом 45° линию, соответствующую равенству расчетных и измеренных напряжений. Верхний предел наибольших измеренных размахов для других семи судов (1, 2, 14, 4, 17, 21 и 6) лишь немного ниже, чем у расчетных напряжений. Эти суда плавали в менее тяжелых условиях или продолжительность их плавания была

Количество размахов напряжений, $\text{кг/см}^2$ , по измерениям									
10—128	128—474	474—632	632—790	790—948	948—1106	1106—1264	1264—1422	1422—1580	1580—1738
117 000	17 600	2200	410	76	12,5	8,9	0,5	0,5	—
216 000	1 965	1 800	32,2	—	—	—	—	—	—
95 000	9 660	3 600	340	41,4	1,0	0,2	—	—	—
20 870	5 280	2 480	900	390	70,5	12,2	6,3	3,6	—
Количество размахов напряжений, $\text{кг/см}^2$ , по расчетам									
128—474	474—718	718—962	962—1206	1206—1450	1450—1694	—	—	—	—
30 000	635	27,4	1,9	—	—	—	—	—	—
56 000	2500	292	28	6,7	0,35	—	—	—	—
5 750	900	45	—	—	—	—	—	—	—

сравнительно мала. Например, суда 1, 2 и 3 плавали на одинаковых линиях в Северной Атлантике, но данные замеров по суду 3 относятся к 17152 ч в море, а для судов 1 и 2 соответственно к 7300 и 4057 ч. Естественно, что при большей продолжительности плавания судно 3 могло встретить более сильные волнения, чем суда 1 и 2. Кроме того, длина судна 3 меньше, чем судов 1 и 2, а волны меньшей длины встречаются чаще, чем более длинные. В результате этого наибольшие измеренные размахи напряжений для судна 3 превышают расчетные напряжения, а для судов 1 и 2 немного меньше их. Для остальных судов наибольшие измеренные размахи напряжений значительно меньше расчетных напряжений, что объясняется

главным образом менее суровыми условиями их плавания и сравнительно большой длиной судна, например, для танкеров 8, 18, 19, 20 и 23, плававших на линии Англия—Средиземное море—Персидский залив. Влияние района плавания хорошо видно по замерам на пассажирских судах 21 и 22. Наибольшие измеренные размахи напряжений для судна 22, плававшего преимущественно в Северной Атлантике, оказались больше расчетных, а для судна 21 по маршруту Средиземное море—Персидский залив—Индия—Китай в Австралию—Южная Африка—

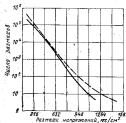


Рис. 31. Влияние состояния нагрузки судна на зависимость от величины нормализованной нагрузки.

— с полным грузом; - - - с балластом.

меньше расчетных, хотя замеры на судне 21 производились более чем вдвое дольше.

3. При плавании с балластом число размахов и значительных напряжений больше, чем при плавании с грузом (рис. 31 для судна 12). Это различие не только является следствием изменения условий загрузки судна, но также может объясняться и тем, что судно плавало с балластом восточном направлении по своему маршруту в западном направлении, когда преобладающее направление волнения было встречным, а с грузом — в восточном направлении, преимущественно при попутном направлении волнения. Кроме того, при плавании с балластом высота надводного борта существенно больше, и высокие волны, не вклиниваясь на палубу, могут создавать более значительные изгибающие моменты, чем при низком надводном борте судна с полным грузом<sup>1</sup>. Заметим еще, что при плавании с балластом влияние сдвига на продольные напряжения всегда оказывается значительно сильнее, чем при полной нагрузке судна.

4. При переходе от встречного волнения к бортовому и от бортового к кормовому уменьшаются как количество размахов, так и значения напряжений. Для иллюстрации влияния курсового угла на зависимость волновых нагрузок от скорости приведем рис. 32, на котором показаны значения и число размахов напря-

жений для случаев: встречное волнение носового сектора от 22,5° слева до 22,5° справа от ДП, транзитное волнение в секторе от 45° в нос до 45° в корму от миделя, попутное волнение кормового сектора от 22,5° слева до 22,5° справа от ДП. (Заметим, что рис. 32 и 25 дают разные зависимости интенсивности волновых нагрузок от курсового угла. Однако нужно помнить, что зависимость, показанная на рис. 25, относится

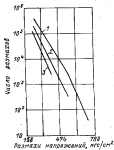


Рис. 32. Влияние курсового угла на зависимость напряжений.

1 — встречное волнение; 2 — транзитное волнение; 3 — попутное волнение.

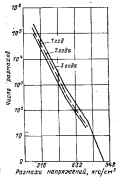


Рис. 33. Влияние продолжительности плавания на зависимость от величины нормализованной нагрузки.

только к волновой нагрузке, от вертикального изгиба, а на рис. 32 учтено влияние всех нагрузок, вызывающих нормальные напряжения при плавании судна в море.

5. С увеличением продолжительности плавания не только растет число размахов, но и увеличиваются наибольшие измеренные напряжения. Влияние продолжительности замеров волновых нагрузок показано на рис. 33, где для судна 3 приведены данные замеров за один, два и три года (см. также табл. 16). Авторы доклада считают, что представительное количество размахов напряжений, меньших 630—790 кг/см², с достаточной практической точностью устанавливается уже после года плавания. Что же касается определения продолжительности

<sup>1</sup> С другой стороны, при заливании палубы на судно действуют дополнительные динамические нагрузки.

испытаний для экспериментального установления наибольших напряжений, то полученных при испытаниях данных для решения этого вопроса оказалось недостаточным. Ежегодно в том или ином районе Мирового океана возникают жестокие штормы, однако сила и направление этих штормов меняются из года в год, и периодичность их появления все еще не установлена. Кроме того, наиболее сильный шторм какого-либо года встречаются только единичные суда. Для судна *З*, например, наибольший размах напряжений за год алавания достиг  $710 \text{ кгс/см}^2$ , за три года плавания —  $780 \text{ кгс/см}^2$ , а за шесть лет (17132 ч в море) —  $1030 \text{ кгс/см}^2$  (см. табл. 18). Не исключено, что при еще большей продолжительности плавания со счетчиками были бы замерены размахи большей интенсивности.

Остановимся подробнее на определении ожидаемого за срок службы судна значения наибольшего размаха напряжений. Его можно определить по распределению всех размахов по двум причинам: во-первых, наибольшие штормовые волны и волны на них судна не имеют тех же характеристик, что и в условиях умеренного волнения; во-вторых, параметры статистического распределения, найденные по всей совокупности замеренных случайных величин, незначительно зависят от замеренных наибольших величин.

Если произведено  $N$  однородных опытов, в каждом из которых средн большого числа значений случайной величины есть одно наибольшее, называемое экстремальным, или экстремумом, то, следовательно, получено  $N$  экстремумов, составляющих статистический ряд. Е. Гумбель [89] показал, что если начальное распределение относится к типу, у которого скорость увеличения характеристик наибольшей величины прямо пропорциональна логарифму размера выборки  $n$  (а большинство обычных распределений относится к этому типу), то вероятность того, что экстремальная величина будет равна или меньше  $x$ , определяется выражением

$$P(x) = \exp(-e^{-x}), \quad (1.128)$$

где

$$y = a(x - a) \quad (1.129)$$

называется приведенной случайной величиной. Здесь  $a$  — мера дисперсии;  $a$  — наиболее вероятная экстремальная случайная величина (мода). По  $N$  замеренным экстремальным величинам, составляющим данный статистический ряд, могут быть найдены среднее значение  $\bar{x}$  и среднеквадратическое отклонение  $\sigma_x$  этого ряда. Параметры  $a$  и  $\sigma_x$  определяются равенствами:

$$\frac{1}{\sigma_x} = \frac{y_N}{\sigma_x}, \quad (1.130)$$

$$a = \bar{x} - \frac{y_N}{\sigma_x} = \bar{x} - \sigma_x \frac{y_N}{\sigma_x}, \quad (1.131)$$

где величины  $y_N$  и  $\sigma_x$ , зависящие только от числа замеренных экстремумов, определяются по таблицам, составленным Е. Гумбелем.

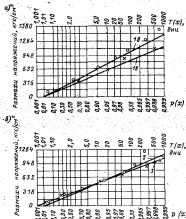


Рис. 36. Статистическое распределение экстремумов по Гумбелю: а — ташеры; б — сузурные суда. Цифры соответствуют номерам строк во табл. 18.

Из уравнения (1.128) видно, что

$$y = -\ln(-\ln P), \quad (1.132)$$

т. е. полностью определяется заданной вероятностью  $P(x)$ . Подставляя (1.130), (1.131) и (1.132) в (1.129), получаем

$$x = -\ln(-\ln P) - \frac{y_N}{\sigma_x} + \bar{x} - \frac{y_N}{\sigma_x}. \quad (1.133)$$

Следовательно, значение экстремальной случайной волниты связано линейной зависимостью с двойным логарифмом (билогарифмом) ее вероятности.

В докладе [96] для ряда судов были определены по теории Гумбеля статистические распределения экстремумов размахов волновых напряжений. Типичный вид этих распределений представлен на рис. 34 (показаны вычисленные точки в соответствующем им прямые). По оси абсцисс на нижней шкале отложены вероятности  $P(x)$ , на верхней шкале — периоды повторности данной экстремальной величины  $T(x) = \frac{1}{1-P(x)}$ , измеренные в единицах времени соответствующего интервала, в течение которого наблюдался каждый экстремум. В рассматриваемом случае эти экстремумы записывались, очевидно,

Поэтому периоды повторности на рис. 34 показывают число дней, через которое можно ожидать повторения размаха той же интенсивности. Следовательно, шкала периодов повторности позволяет судить о том, сколько раз размахи той или иной интенсивности могут повториться за данное время нахождения судна в море. Например, на рис. 34 видно, что размахи в пределах 1100—1260 кгс/см<sup>2</sup> могут повторяться на сухогрузных судах длиной 130 м, эксплуатируемых в Северной Атлантике, через каждые 1000 дней плавания в море, размахи интенсивностью от 1420 до 1580 кгс/см<sup>2</sup> на танкерах длиной ~220 м в условиях эксплуатации судна 19 (см. табл. 18) — через каждые 1000 дней плавания в море.

### § 16. Результаты замеров на шведских судах

Выше (см. § 11) в связи с рассмотрением влияния различных факторов на параметр краткосрочного распределения Релея для волновых нагрузок приводились некоторые данные, полученные при испытании в море семи шведских судов за время их плавания в 1969—1981 гг. (табл. 19). Все замеры были сгруппированы в зависимости от погодных условий, при которых они были получены (табл. 20). Подробный анализ данных замеров выполнялся как внутри каждой группы погодных условий, так и в зависимости от характеристик волнения, собственного группам [71, 110].

В табл. 21 приведены результаты обработки значений параметра Релея  $\bar{U}E$  для краткосрочных распределений волновых напряжений от вертикального нагиба. Эти значения относятся к каждому судну с полным грузом и к наибольшей скорости, с которой судно двигалось на волнении, соответствующем данной группе погодных условий. При анализе было установлено, что внутри каждой группы параметр  $\bar{U}E$  распределяется по логарифмическому закону, что подтверждается и другими измерениями.

Таблица 17

Характеристики шведских судов и данных замеров с собственностью  $Q=10^{-4}$

Группа условий	Судно	Тип судна	L, м	A, м	B, м	C, м	D, м	E, м	F, м	G, м	I	K	W, м	Уклон $\alpha$ , град	$\frac{\log Q}{\log P}$	$\frac{1}{1-P(x)}$
Среднее Атлантика	A	Сухогрузное	57,8	14,5	9,2	6,9	6,68	0,81	2,66	4,0	9,25	4,6	6,1			
	B	"	126,1	23,2	11,7	7,8	6,86	0,79	5,67	5,7	7,90	4,0	5,2			
	C	"	141,7	19,5	12,1	8,1	6,65	0,80	6,62	6,0	7,70	3,6	5,1			
	D	Рулочное — танкер	170,7	22,7	13,5	9,4	6,79	0,84	11,6	9,6	11,90	5,1	4,6			
	E	Танкер	198,1	26,8	14,3	10,7	6,77	0,86	18,7	9,3	9,30	4,2	4,3			
Восточное Балтийское море	F	Танкер	214,9	21,1	15,2	11,5	6,90	0,86	25,0	10,4	9,45	4,4	4,1			
	G	"	226,4	22,4	17,1	13,1	6,80	0,8	43,9	7,9	6,25	3,9	3,9			

Таблица 20

Характеристики «группы погоды»		
Группы погоды*	Состояние моря, баллы по шкале Бофорта	Скорость ветра, уз
1	0—3	1—10
2	4—5	11—21
3	6—7	22—33
4	8—9	34—47
5	10—12	48—71

Таблица 21

Средние значения и стандарты параметра распределения Релея (уз/ми<sup>2</sup>)

Судно	«Группы погоды»									
	1		2		3		4		5	
	m	s	m	s	m	s	m	s	m	s
A	0,25	0,14	0,37	0,22	0,69	0,15	0,59	0,17	0,59	0,20
B	0,52	0,24	0,71	0,25	0,81	0,29	1,08	0,25	1,16	0,21
В	0,44	0,19	0,60	0,18	0,63	0,12	0,95	0,18	0,96	0,17
С	0,53	0,10	0,74	0,19	1,12	0,29	1,97	0,25	0,94	0,16
D	0,37	0,17	0,43	0,24	0,90	0,43	1,04	0,26	2,25	0,43
E	0,38	0,25	0,61	0,34	0,88	0,32	1,58	0,45	2,13	0,39
F	0,40	0,20	0,67	0,26	1,43	0,28	1,76	0,14	2,37	0,30
G	0,40	0,20	0,45	0,25	0,92	0,30	1,40*	0,20	2,00*	0,20

\* По малому числу измерений.

В дополнение к сказанному ранее (см. § 11) о факторах, влияющих на параметр  $\sqrt{E}$ , можно отметить, что значения этого параметра при одной и той же группе погодных условий имеют тенденцию к увеличению при росте длины судов. Можно отметить также, что зависимость стандарта  $s$  параметра  $\sqrt{E}$  от «группы погоды» проявляется слабо, что объясняется, по-видимому, малым разбросом значений скорости ветра внутри группы погодных условий. В то же время среднее значение  $m$  существенно увеличивается с ростом интенсивности волнения. Поэтому изменчивость параметра  $\sqrt{E}$  (отношение  $s/m$ ) уменьшается по мере увеличения волнения.

Долговременные распределения волновых нагрузок (изгибющих моментов, изгибных напряжений) определялись как сумма произведений краткосрочных распределений для всех групп погодных условий на соответствующие вероятности встреч с волнением каждой группы. Эти вероятности для Северной Атлантики приближались следующим:

Группы погоды	1	2	3	4	5
Вероятность встречи, %	52	29,5	14,3	3,7	9,5

Оценки погоды в баллах шкалы Бофорта производилась с мостика испытываемого судна. Хотя такая оценка содержит некоторые элементы субъективности и основывается на недостаточно четких качественных определениях (см. табл. 5), все же считалось, что она в среднем правдива и позволяет лучше классифицировать волнение, чем визуальные наблюдения высот волн. После определения баллов по шкале Бофорта в соответствии с везением видом волнения каждому баллу присваивался тот или иной диапазон измеряемых скоростей ветра, который может быть достаточно широким, особенно для самых низких и самых высоких баллов.

Заметим, что отнесение данного волнения к тому или иному баллу шкалы Бофорта возможно и на основании измерения скорости ветра, однако результат может часто оказаться различным в зависимости от того, что принимается в качестве основного признака классификации — скорость ветра или внешний вид волнения. Например, в Северной Атлантике на первую группу погодных условий, соответствующую 0—3 баллам, по данным замеров скоростей ветра с метеорологических судов приходится только 21% времени, тогда как по записям в судовых дневных журналах (определение по внешнему виду волнения) на эту группу погодных условий приходится гораздо больше времени. Как отмечается в работе [71], это не обязательно объясняется неправильным определением состояния моря с мостика судна, но может быть связано со временем, необходимым для полного развития волнения, соответствующего измеряемой скорости ветра. В течение значительного времени развивающееся волнение должно по внешнему виду оцениваться низким баллом по Бофурту, хотя скорость ветра соответствует более высокому баллу, но продолжительность его действия недостаточна для полного развития волнения. Волновая же нагрузка создается интенсивностью волнения, а не скоростью ветра, поэтому привычный способ оценки волнения предпочтительнее.

С учетом сказанного определялась долговременная обеспеченность волновыми нагрузками (вертикальных изгибющих моментов, соответствующих им изгибных напряжений и эффективных высот волн) для всех приведенных в табл. 19 судов. Результаты

этих расчетов, заимствованные из работы [71], приведенные на рис. 35 в виде функций обеспеченности безразмерного коэффициента и волнового вертикального изгибающего момента в индексном сечении судна. Если обозначить через  $\sigma_0$  размах из-

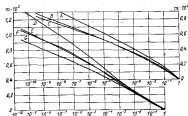


Рис. 35. Функция долговременной обеспеченности вертикального изгибающего момента для килевых судов.  
 $\alpha$  — коэффициент сечения поперечное табл. 19.

гибающего напряжения с обеспеченностью  $Q$ , то размах изгибающего момента  $M_0$  с той же обеспеченностью, очевидно, равен

$$M_0 = W \sigma_0, \quad (1.134)$$

где  $W$  — момент сопротивления сечения корпуса судна относительно той продольной связи эквивалентного бруса, для которой определено напряжение  $\sigma_0$  (см. табл. 19).

Тот же момент  $M_0$  может быть представлен в виде

$$M_0 = \pi_0 \gamma B L^3, \quad (1.135)$$

здесь

$$\pi_0 = \frac{M_0}{\gamma B D^3} = \frac{W \sigma_0}{\gamma B D^3} \quad (1.136)$$

— коэффициент момента;  $\gamma$  — удельный вес морской воды;  $\alpha$  — коэффициент полноты грузовой ватерлинии.

Из выражения (1.136) видно, что  $\pi_0$  и  $\sigma_0$  связаны между собой постоянным для каждого судна коэффициентом пропорциональности.

Поскольку  $M_0$  можно выразить через эффективную высоту волн той же обеспеченности  $Q$

$$M_0 = \gamma h_w k_{\pi_0} B L^3, \quad (1.137)$$

то

$$k_{\pi_0} = \frac{M_0}{\gamma h_w B L^3} = \frac{\pi_0 L^3}{h_w}. \quad (1.138)$$

откуда получим выражение для относительной эффективной высоты волн:

$$\frac{h_w}{L} = \frac{\pi_0 L^2}{k_{\pi_0}}. \quad (1.139)$$

Напомним, что  $k_{\pi_0}$  — безразмерный коэффициент момента при статической (без учета эффекта Смита) постановке судна на волну, имеющую высоту  $h_w$  и длину, равную длине судна.

Значения  $\alpha$ ,  $\pi_0$  и  $k_{\pi_0}$  соответствующие обеспеченности  $Q = 10^{-4}$ , приведены в табл. 19, где в последнем столбце даны также относительные расчетные высоты волн по Правилам 60-х гг. Английского Lloyd's, равные  $0,605 L/L$ . Как видно из этой таблицы, английские расчетные высоты волн почти совпадают с эффективными высотами с обеспеченностью  $10^{-4}$  для шведских танкеров длиной  $\sim 200$ — $240$  м. Для сужающихся судов длиной от 100 до 140 м расчетные высоты волн больше  $h_w$ . Эти данные относятся к волновым нагрузкам в индексном сечении судна только от погиба его в вертикальной плоскости. Хотя напряжения от погиба в горизонтальной плоскости тоже измерялись, но в дальнейшем детально не анализировались. В работе [71] лишь отмечается, что продольные напряжения, производимые горизонтальными изгибом, обычно меньше 40% вертикальных напряжений. Они только немного влияют на напряжения в корме палубы, так как разность между показаниями тензомера одного борта и полусуммой показаний соответствующих тензомеров обоих бортов не превышала 10%.

На судне  $D$  измерялись продольные напряжения не только в индексном сечении, но также и в сечениях, отстоящих на расстоянии  $0,25 L$  от носового и кормового перпендикуляров. Из долговременных распределений вертикальных волновых изгибающих моментов в этих сечениях было найдено, что в носовом и кормовом сечениях моменты с обеспеченностью  $10^{-4}$  равны соответственно 80 и 70%, а моменты с обеспеченностью  $10^{-4}$ —50 и 80% соответствующих моментов в индексном сечении. Это показывает, что максимальный вертикальный волновой изгибающий момент в действительности несколько смещен в нос от индекса, что согласуется и с результатами модельных испытаний [50, рис. 111—115 и табл. 74]. Эффективные высоты волн с обеспеченностью  $10^{-4}$ , полученные Р. Беннетом [71] по

результатам шведских испытаний, в сравнении с величинами, определенными для тех же судов и районов плавания по расчетным данным В. В. Коллякина (табл. 13 и рис. 27), представлена в табл. 22. Видно, что для судов, плавающих в Северной Атлантике, расчетные эффективные высоты волн существенно больше, чем полученные по данным натурных замеров напряжений на судах.

Таблица 22  
Эффективные высоты волн для отдельных судов

Суд	L, м	Типы плавания	Эффективные высоты волн, м		10-10
			по данным В. В. Коллякина	по данным Р. Лангеса	
1	2	3	4	5	6
A	97,5	Северная Атлантика	6,5	4,45	0,655
B	128,1	То же	7,7	5,55	0,72
C	161,7	"	7,75	5,30	0,685
D	170,7	"	9,74	8,8	0,985
E	198,1	Персидский залив—Бароца	10,1	8,35	0,825
F	214,9	То же	9,1	9,3	1,02
G	228,4	"	9,3	9,3	1,01

### § 17. Замеры на американских судах

В миделевом сечении однотонных грузовых судов «Волверин стейт» и «Хуинер стейт» (L=161 м, B=23,2 м, H=13,6 м) по правому и левому бортам верхней палубы была установлена аппаратура для записи деформаций на магнитную ленту, автоматически включаемая на 30 мин каждые 4 ч. Эти записи анализировались на аналоговом компьютере, который отображал все высокочастотные напряжения, вызванные ударами, и выдавал гистограммы размахов напряжений от вертикального наклона в миделевом сечении, соответствующих полусумме показаний датчиков правого и левого бортов.

К концу 1963 г., после того как суда проплавали с аппаратурой около 12 000 ч (на «Хуинер стейт» 4964 ч и на «Волверин стейт» 6828 ч), записи напряжений были обработаны совместно с данными об интенсивности волнения, определяемой скоростью ветра и баллах по Бофорту [101]. Каждые 30-минутная запись напряжений относилась к внешним условиям опыта и содержала размахи напряжений, которые, как известно из предыдущего и как было подтверждено данными этих испытаний, рас-

пределены по закону Релея. Параметр этого распределения (имеющей размерность напряжений) может быть установлен для всех записей. Его значения для судна «Волверин стейт», записывавшиеся из доклада Е. Лангеса [101], представлены на рис. 35, где отдельные точки соответствуют значениям параметра каждой 30-минутной записи. Для каждой интенсивности волнения средние значения  $m$  параметра  $\sqrt{E}$  на рисунке отмечены крести-

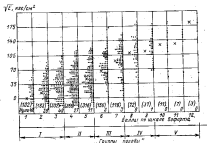


Рис. 35. Зависимость параметра закона Релея для размахов волновых напряжений от интенсивности волнения (по измерениям на судне «Волверин стейт» при плавании в Северной Атлантике).

нами, среднеквадратичное отклонение  $\sigma$  (стандарт) параметра  $\sqrt{E}$  равно

$$\sigma = \sqrt{\frac{\sum_{i=1}^n (\sqrt{E_i} - m)^2}{n-1}} \quad (1.140)$$

где  $n$  — число членов данного статистического ряда, указанное в скобках на рисунке. Видно, что средние значения параметра  $\sqrt{E}$  монотонно возрастают с увеличением волнения до 9 баллов по Бофорту. При большей интенсивности волнения эта монотонность нарушается, по-видимому, из-за очень малого числа данных, при котором их статистическая обработка является уже незначимой. Поэтому было признано необходимым для дальнейшей статистической обработки данных рис. 35 отдельные баллы скорости ветра по Бофорту объединить в «группы погоды»

(см. рис. 36) почти так же, как это делалось при рассмотренной выше статистической обработке данных натуральных испытаний шведских судов. Кроме того, по предложению Е. Вейда [69] для обеспечения удовлетворительной точности окончательных результатов статистической обработки вводилось предположение о существовании еще двух «математических» групп погоды VI и VII, имеющих очень малую вероятность появления. Действительные данные о скорости ветра в Северной Атлантике, полученные на судах «Хушнер стейт», «Волверик стейт», приведены на рис. 37. Распределение времени плавания по «группам

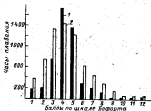


Рис. 37. Распределение времени плавания между различными интервалами скорости.  
1 — для «Хушнер стейт»; 2 — для «Волверик стейт».

погоды, полученное статистической обработкой данных рис. 37, приведено в табл. 23.

Таблица 23

Распределение времени плавания по «группам погоды» на данных испытаний в море американского судна «Волверик стейт»

Обозначение	Распределение времени плавания		
	Скорость ветра по шкале Бофорда	Действительные по условиям «Волверик стейт»	Среднее для Северной Атлантики
I	0—5	35,3	42,0
II	6—8	43,6	35,0
III	6—7	14,4	18,5
IV	8—9	5,7	6,5
V	10—12	1,0	0,98
VI	—	—	2·10 <sup>-2</sup>
VII	—	—	1·10 <sup>-4</sup>

Было известно по данным других испытаний, в частности, рассмотренных выше натуральных испытаний шведских судов, что долгосрочное распределение параметра  $\sqrt{E}$  для каждой отдельной интенсивности волнения и для каждой «группы погоды» соответствует нормальному закону. Это подтверждается также данными рис. 35.

Поскольку краткосрочное распределение размахов изгибных напряжений (следовательно, и изгибающих моментов) подчиняется закону Релея, а параметр  $\sqrt{E}$  внутри каждой «группы погоды» распределен по нормальному закону, то, пользуясь вы-

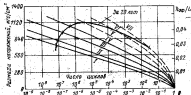


Рис. 38. Долгосрочное распределение размахов изгибных напряжений в корпус американских судов, соответствующее различным «группам погоды» (I—VII).

ражением (1.98), можно получить долгосрочную обеспеченность размахов  $x$  для каждой  $i$ -й «группы погоды»:

$$Q(x) = \int_0^x \exp\left[-\left(\frac{x}{\sqrt{E}}\right)^2\right] g(\sqrt{E}) d\sqrt{E}, \quad (1.141)$$

Здесь плотность вероятности параметра  $\sqrt{E}$  должна приниматься по формуле (1.115), где  $\sigma$  — стандарт параметра  $\sqrt{E}$ , для оценки которого и служит формула (1.140). Верный предел интегрирования в (1.141) принимается равным 5 $\sigma$ , что обеспечивает достаточную практическую точность конечного расчета [69]. Интеграл (1.141) может быть найден численным интегрированием на ЭВМ.

Д. Хофман [92] для судов «Волверик стейт» и «Хушнер стейт» получил функции долгосрочной обеспеченности размахов напряжений внутри каждой «группы погоды», представленные на рис. 38. Долгосрочная обеспеченность размахов напряжений для всего срока службы судна может быть получена как сумма обеспеченностей для всех «групп погоды», взятых

с учетом частоты  $P_i^*$  встречи с волнением, соответствующим каждой группе, т. е.

$$Q(x) = \sum_{i=1}^{VII} P_i^* Q_i(x). \quad (1.142)$$

Поскольку каждому значению размаха напряжений с обеспеченностью  $Q$  однозначно соответствуют значения размаха изгибающего момента и относительной эффективной высоты волны  $\lambda_{эф}/L$  [см. формулу (1.139)] той же обеспеченности, то на рис. 38 шкалу размахов напряжений можно заместить соответствующей шкалой  $\lambda_{эф}/L$ , показанной на правой стороне рис. 38. Относи-

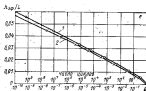


Рис. 38. Длительное распределение относительных эффективных высот волн для судов типа «Волверия стейт».

1 — натурные замеры; 2 — расчет.

тельно эффективная высота волны является безразмерным измерителем волнового вертикального изгибающего момента на нерегулярном волнении. Она гораздо более показательна, чем значение напряжения, которое зависит от индивидуальной характеристической конструкции данного судна и от места измерений, или значение изгибающего момента, которое для данного типа судна при данных условиях его эксплуатации зависит от геометрических размеров судна. Поскольку волновой изгибающий момент для судна данного типа при данных условиях его эксплуатации связан жестко с абсолютными величинами  $L$  и  $B$ , то и с отношением  $L/B$  и  $B/T$ , то и относительная эффективная высота зависит от этих отношений.

Функция обеспеченности относительной эффективной высоты волн для судов типа «Волверия стейт» (или типа «Маринер») может быть получена по формуле (1.142) с использованием диаграмм рис. 38 и вероятностей встречи с волнением различной интенсивности, приведенных в табл. 23. Результат такого расчета представлен кривой 2 на рис. 38.

На рис. 38 функции обеспеченности для «групп погоды» V—VII показаны штриховыми линиями, так как они построены по данным экстраполяции замеровых для «групп погоды» I—IV средних значений  $m$  параметра  $\gamma E$  и отношений стандарта  $s/m$  этого параметра к  $m$  (коэффициентов изменчивости параметра  $\gamma E$ ). Экстраполяция средних значений в область «групп погоды» с малым числом замеровых точек производилась линейно (по прямой линии), а коэффициент изменчивости принимался постоянным:  $s/m = 0,149$ . Вообще эта величина зависит и от интенсивности волнения, и от длины судна. Графики этой зависимости для судов 60-й серии с коэффициентом общей полноты  $C_D = 0,80$  и относительной скорости  $F_T = 0,10$  представлены на

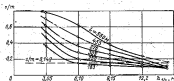


Рис. 40. Зависимость коэффициента изменчивости параметра  $\gamma E$  от длины судна и интенсивности волнения.

рис. 40 [148]. Видно, что значение  $s/m = 0,149$  оказывается несколько завышенным для судов типа «Маринер» длиной 161 м. К тому же у испытанных судов коэффициент общей полноты равен не 0,80, а 0,66. Все же можно считать, что значение  $s/m = 0,149$ , принятое для экстраполяции при статистической обработке данных натурных замеров для судов «Волверия стейт» и «Хушнер стейт», достаточно реалистично.

Необходимо обратить внимание на существование двух различных методов определения долговременной обеспеченности волновых нагрузок по данным натурных замеров напряжений на нормально эксплуатирующихся морских судах. Одна из них, впервые примененная [71] при статистическом анализе натурных замеров напряжений на шведских судах, в дальнейшем была развито [27, 111] и применялась также при анализе других испытаний [85]. В этой методике по общей формуле (1.98) находил долговременную обеспеченность волновой нагрузки для какого-то определенного участка моря с учетом всех интенсивностей волнения, которые могут встретиться на данном участке, задаваясь при этом некоторой функцией  $g(\gamma E)$ , соответствующей,

например, распределению Вейбулла (1.116) или нормальному распределению (1.115) (см. § 12).

Другая методика, применяемая в США институтом Уэбба, Американским бюро Судостроения и Комитетом допусков конструкций [101, 148] тоже использует выражение (1.98) для определения долговременной обеспеченности волновых нагрузок при длительном плавлении в пределах данного участка моря в условиях волнения, соответствующего только одной какой-либо «группе погоды». При этом функция плотности распределения параметра Релса  $g(\sqrt{UE})$  для каждой «группы погоды» соответствует нормальному распределению (1.115), параметры которого (среднее и стандарт величины  $\sqrt{UE}$ ) постоянны для данной «группы погоды», но различны для разных групп. Долговременная обеспеченность с учетом возможной встречи на данном участке моря всех «групп погоды» определяется суммой обеспеченностей волновых нагрузок для всех «групп погоды», учитывая частоту встречи каждой группы (см. формулы (1.141) и (1.142)). Преимуществом этой методики заключается в возможности получения наглядной зависимости долговременной обеспеченности от интенсивности волнения (от «группы погоды»), а также в большой обоснованности вида и параметров функции  $g(\sqrt{UE})$  для каждой «группы погоды» по сравнению со всей совокупностью интенсивностей на каждом участке. Применение указанной методики возможно при наличии достаточно надежных результатов натурных замеров (например) за длительное время эксплуатации судна данного типа на данном участке моря, которые, к сожалению, пока редки. Надо отметить, что данные замеров натурной на судах «Волеерли стейт» и «Хушер стейт» считаются наиболее надежными и волнами. Поэтому полученная по данным этих замеров функция долговременной обеспеченности (нижняя кривая рис. 39) может служить достаточно надежным эталоном для проверки правильности расчетных методов.

Расчет функций долговременной обеспеченности относительных эффективных высот волн  $\lambda_{ef}/L$  для судна «Волеерли стейт» был выполнен американскими исследователями [101]. В его основе лежит вторая из рассмотренных выше методик, с той лишь разницей, что среднее значение  $m$  и стандарт  $s$ , характеризующие нормальное распределение  $g(\sqrt{UE})$  для каждой интенсивности волнения, определяются не по данным замеров напряжений, а расчетным путем. Различные интенсивности волнения, заданные начальными высотами волн  $\lambda_{ef}$  и вероятности  $P^*$  встречи с ними в Северной Атлантике принимались следующими:

$\lambda_{ef}, м$	3,05	6,1	9,15	12,2	14,7
$P^*, \%$	84,34	13,30	2,01	0,14	0,01

Для каждой интенсивности волнения рассматривалось семейство из 10–12 измерительных спектров, которые различались между собой статистическими характеристиками периодов пиков [107] в соответствии с долговременной изменчивостью этих характеристик для волнения с постоянной интенсивностью  $\lambda_{ef}$ . Каждым из спектров семейства характеризуют стационарные волнение, для которого определение параметра  $\sqrt{UE}$  распределения волновых нагрузок (выраженных, например, в форме относительных эффективных высот волн  $\lambda_{ef}/L$ ) было подробно рассмотрено выше (см. § 7 п.10).

В данном случае угловое распределение энергии волнения в спектре учитывалось функцией (1.76); амплитудно-частотные характеристики относительно вертикального изгибающего момента были получены по данным вставленной модели судна «Марионер» на регулярном волнении в большом диапазоне длин волн (их круговой частоты) при различных курсовых углах и скорости судна 8 и 16 уз. Значения  $\sqrt{UE}$ , вычисленные для различных курсовых углов, были осреднены в предположении равновероятности движения судна с этими курсовыми углами. Таким образом, каждому из спектров семейства ставится в соответствие параметр  $\sqrt{UE}$ . Значения параметра в силу случайности приняты в расчете характеристик спектра являются случайными величинами, для которых могут быть найдены среднее значение  $m$  и стандарт  $s$ . Результаты таких вычислений приведены в табл. 24. Их использование в формуле (1.141) позволяет установить долговременную обеспеченность эффективных высот волн при плавлении на волнении определенной интенсивности. После этого по формуле (1.142) находится функция долговременной обеспеченности за весь срок службы судна, в которой от эффективных высот волн  $\lambda_{ef}$  можно перейти к их относительным значениям  $\lambda_{ef}/L$ .

Таблица 24

Расчетные значения средних  $m$  и стандарты  $s$  параметра закона Релса для судна «Волеерли стейт», соответствующие распределению эффективных высот волн на волнении постоянной интенсивности

$\lambda_{ef}, м$	Скорость судна 8 уз		Скорость судна 16 уз	
	$m, \%$	$s, \%$	$m, \%$	$s, \%$
3,05	2,81	0,87	2,94	0,95
6,10	4,42	0,96	4,33	1,23
9,15	5,89	1,34	6,59	1,65
12,20	6,76	1,40	7,45	1,65
14,70	6,94	1,40	7,65	1,69

Полученная таким образом долговременная обеспеченность относительной эффективной высоты волны  $H_{0.99}/L$  в своей основе имеет классификацию интенсивности волнения по высотам значительных волн и не может непосредственно сравниваться с функцией, вычисленной по натуральным данным (вспомогательная кривая рис. 39), которая базировалась на классификации интенсивности волнения по «группам погоды», связанной с баллами по шкале Бофорта для скоростей ветра. Необходимая трансформация расчетных результатов была выполнена с использованием зависимости между значительной высотой волны и скоростью ветра по кривой Московица, принятой в качестве предварительного стандарта на Международной конференции по опытам бассейнов в 1956 г., а также полученной Е. Беклом [63] зависимости между дисперсией скорости ветра, высотой волны и волнового изгибающего момента. Результат такого преобразования представлен верхней кривой на рис. 39. На этом рисунке видно, что расчетная кривая идет лишь немного выше кривой, полученной по натуральным замерам напряжений, отклоняясь при обеспеченности  $10^{-6}$  всего на 5%. При сравнении нужно иметь в виду, что натуральные замеры (см. рис. 35) имеют большое число нулевых точек. Если большинство этих точек относится не к открытому морю, то разность между функциями должна уменьшиться примерно на  $1/3$ . Кроме того, возможно, что кривая Московица для зависимость высоты волны от скорости ветра дает несколько преувеличенные высоты волн. Учетная практически несущественное различие между полученными кривыми, можно считать, что приведенный расчет функции долговременной обеспеченности показал возможность достаточно надежного определения этой функции без натуральных замеров волновых напряжений.

Н. Норденстром в дискуссии по докладу Третьего конгресса по конструкции судов (1967) обратил внимание на необходимость правильного выбора соотношений между визуальными наблюдаемыми размерами волн (высоты  $h_w$ , периоды  $T_w$ ) и статистическими характеристиками ( $h_{0.99}$ ,  $T_{0.99}$ ), определяющими спектры волнения различной интенсивности. От этого существенно зависит надежность вычисления обеспеченностей волновых нагрузок, при котором используются энергетические спектры волнения Второго конгресса и найденные по модельным испытаниям передаточные функции судна. Возможность получения при таком вычислении достаточно надежного результата иллюстрировалась результатами сопоставления с натуральными данными расчетной зависимости от скорости ветра (баллы по шкале Бофорта) среднего значения параметра Релея  $\sqrt{E}$  для диапазонов волновых напряжений в идеальном состоянии судов «Вольверн стейт» и «Хулиер стейт» (рис. 41). Необходимые для этого расчета передаточные функции определялись по данным испытаний моделей 60-й серии [143]. На рис. 41 видно, что

расчетная кривая в диапазоне от 1 до 8 баллов включительно очень хорошо согласуется с данными натуральных замеров. При скоростях ветра 9 баллов и более число натуральных замеров было очень малым и не обеспечило получение надежных результатов.

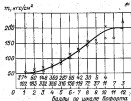


Рис. 41. Среднее значение параметра Релея для диапазонов напряжений в идеальном состоянии судов. — расчет и натуральные данные (N — «Вольверн стейт», O — «Хулиер стейт»); значения в нижней части рисунка обозначают высоту волны в м, вычисленную по средним значениям скорости ветра (баллы по шкале Бофорта).

## § 15. Практические оценки волновых нагрузок

Натуральные замеры на судах не только дали надежную информацию о долговременном распределении волновых нагрузок для тех судов, на которых эти замеры выполнялись, но и послужили совершенствованием расчетных методов получения характеристик волновых нагрузок. Последнее особенно важно, поскольку открывает возможность выполнения широкого расчетного анализа и получения практических оценок волновых нагрузок для судов различных размеров и в различных условиях их эксплуатации.

Используя описанную выше расчетную методику и данные испытаний [143] моделей 60-й серии ( $\delta=0,70$ ,  $L/B=7$  и  $L/T=17,5$  [50, рис. 118]), американские исследователи получили функции обеспеченности величин  $h_{0.99}$  для геометрически подобных танкеров разных длин с коэффициентом общей полноты  $\delta=0,80$  при ходе их вразрез зоном с относительной скоростью  $F_r=0,10$  (рис. 42).

Некоторые примеры расчетного определения волновых нагрузок японскими исследователями [85] приведены на рис. 43 для сухогрузных судов и на рис. 44 для танкеров. В этих расчетах использовались передаточные функции, определяемые теоретическим расчетом, спектр конгресса и статистика волнения Северный Атлантики по Валдеку. По-видимому, в использованных данных несколько преувеличена повторяемость волнения с относительно небольшими средними периодами, что привело к заниженным значениям эффективных высот волн для судов длиной менее 200 м (т.е. для танкера длиной  $L=183$  м эффективная

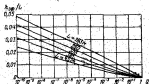


Рис. 42. Долговременные распределения относительных эффективных высот волн для геометрически подобных тавровых рынков разных длин.

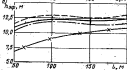
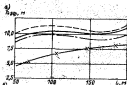


Рис. 43. Эффективные высоты волн с обеспеченностью  $10^{-4}$  для геометрически подобных судов (L/B=7,5; L/T=18,75); а — при  $\delta=0,60$ ; б — при  $\delta=0,70$ .

---  $F=0$ ; —  $F=0,10$   
 - - -  $F=0,20$ ; —  $\times$  — по данным Правил.

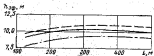


Рис. 44. Эффективные высоты волн с обеспеченностью  $10^{-4}$  для геометрически подобных тавров (B=0,90; L/T=17,5).

---  $F=0$ ; —  $F=0,10$ ; - - -  $F=0,20$ .

высота с обеспеченностью  $10^{-4}$  при  $F=0,10$  равна  $h_{эф}=9,75$  м согласно данным рис. 44, в то время как из рис. 42 легко получить  $h_{эф}=0,039 \cdot 189=7,15$  м). Влияние скорости судна на эффективные высоты волн, иллюстрируемое этими рисунками, может быть и другим, как количественно, так и качественно. Это следует из данных, относящихся как к регулярному волнению [50, с. 317—321], так и к стационарному нерегулярному (рис. 45) [101], а также к долговременным распределениям (см. рис. 48).

В настоящее время все еще многие волновые нагрузки не могут быть определены с достаточной степенью точности. Однако ситуация в этом вопросе быстро меняется, поскольку за последние годы значительно улучшаются как методы теоретических прогнозов волновых нагрузок, так и относящиеся к ним

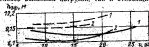


Рис. 45. Зависимость эффективной высоты волны с обеспеченностью  $10^{-4}$  от скорости судна на стационарном волнении малой амплитуды (длинами прореза волнов).

1 — при  $L=25$  м; 2 — при  $L=100$  м; —  $B=0,60$ ; - - -  $B=0,90$ .

экспериментальные данные, включая натурные замеры напряжений на плавучих судах. Практика проектирования корпусных конструкций требует всевозможного использования выводов от имеющихся современных достижений. Реальная эффективность такого использования в практическом судостроении может быть обеспечена скорейшим отражением этих достижений в Правилах постройки судов классификационных учреждений. Во всех ведущих судостроительных странах классификационные учреждения проводят в этом направлении большую и интенсивную исследовательскую работу, результаты которой все больше находят отражение в издаваемых ими Правилах. Здесь мы приведем только результаты работы Норвежского Веретва, главным образом потому, что они наиболее полно опубликованы [62, 63, 110] и являются отражением многих, и не только норвежских, зарубежных исследований в области волновых нагрузок, действующих на морские суда на нерегулярном трехмерном волнении.

Норвежский Веретва при прогнозировании волновых нагрузок с той или иной обеспеченностью пользуется методом Нордстрёма [110] (см. формулы (1.98), (1.116), (1.119)). При этом волновые усилия, прикладываемые к корпусу судна на стационарном волнении, определяются по энергетическим спектрам нерегулярного волнения (1.61), предложенным Вторым конгрессом

по конструкции судов, с использованием зависимостей (1.42) и (1.45) между визуальными и статистическими периодами и высотами волн. Кроме того, используется установленное Н. Норденстромом [111] долговременное распределение визуально оцениваемых высот волн  $\lambda$ , следующее в пределах малых изменений видных периодов закону Вейбулла:

$$P(\lambda_n) = 1 - \exp \left[ - \left( \frac{\lambda_n - \lambda_0}{\lambda_1 - \lambda_0} \right)^\gamma \right], \quad (1.43)$$

где  $\lambda_0$ ,  $(\lambda_1 - \lambda_0)$  и  $\gamma$  — параметры распределения (табл. 25).

Таблица 25

Параметры долговременного распределения [формулы (1.43)] визуально оцениваемых высот и периодов волн в Северной Атлантике

Интервал периодов $T_{\text{вп}}, \text{с}$	Параметры распределения		
	$\lambda_0, \text{м}$	$\lambda_1 - \lambda_0, \text{м}$	$\gamma$
Меньше 5	0,50	1,35	1,14
5—7	0,75	2,50	1,49
7—9	0,60	3,30	1,60
9—11	0,40	4,30	1,42
11—13	0,50	5,70	1,71
13—15	0,06	6,30	2,04
15—17	0,09	2,50	0,96
Больше 17	0—75	0,52	0,91

Через соотношения между визуальными величинами  $\lambda_n$  и  $T_n$  и соответствующими статистическими величинами  $\lambda_{0n}$  и  $T_{0n}$  устанавливается математическое описание долговременного совместного распределения  $\lambda_{0n}$  и  $T_{0n}$  в виде волновых спектров с этими параметрами и соответствующими передаточными функциями судна — значения параметра  $\gamma$  закона Релея. Полученным таким образом долговременное распределение подчинится закону Вейбулла (1.116).

Установленные по этому методу прогнозы ожидаемых величин волновых нагрузок проверялись Норвежским Веритасом по всем известным до настоящего времени данным натурных замеров напряжения на нормальном эксплуатируемых морских судах. Данные натурных замеров напряжений на шведских судах служили базой для первоначальной разработки этого метода. И хотя число сравнений расчетных прогнозов с натурными замерами все еще мало, в докладе Третьего комитета Четвертого Международного конгресса по конструкции судов говорится: «Кажется всем, что прогнозируемые величины являются приемлемыми и уже представляют практический интерес».

В практике Норвежского Веритаса определение передаточных функций (амплитудно-частотных характеристик) производится расчетом по методу В. В. Корнин-Круковского [99] в предположении плоского (двумерного) обтекания корпуса судна с использованием коэффициентов присоединенных масс и демпфирования по О. Гриму [88, 90, § 23, 24]. Так, передаточные функции сравнивались [60] с расчетными передаточными функциями, полученными японскими исследователями [86] по методу И. Ватабе [146] с использованием коэффициентов Ф. Тасан [135]. По заключению Е. Абрахамсена [60], «... оба метода дают практически одинаковые результаты, и ни один из них не кажется лучше другого». Результаты расчетного определения передаточных функций сопоставлялись также с данными модельных испытаний [134]. По поводу этих сравнений Е. Абрахамсен [60] замечает: «В общем соответствие между модельными испытаниями и результатами расчета является удовлетворительным. Это справедливо не только для учета влияния длины волны, скорости судна и формы сечений, но также для учета изменений таких переменных, как коэффициент общей полноты, отношений  $L/B$  и  $B/T$ , продольный радиус инерции массы судна, курсовой угол. Поэтому мы рассматриваем результаты нашей компьютерной программы как удовлетворительные для наших практических целей». В качестве примера удовлетворительного соответствия передаточных функций, полученных расчетом и по модельным испытаниям судов 60-й серии [134], приводятся [60] рис. 46 (см. также [50, рис. 122, 124]).

В шведской методике определения волновых нагрузок учет трехмерности нерегулярного волнового движения производится посредством функций распределения энергии волн по разным направлениям, определенной формулой (1.77).

Полученные Норвежским Веритасом [62] значения амплитуд волновых нагрузок с обеспеченностью  $10^{-4}$  (вертикального  $M_{\lambda}$  и горизонтального  $M_{\mu}$  изгибающих моментов, крутящего  $M_{\tau}$  момента и среднего сечения) показаны на рис. 47 в зависимости от длины судна. Расчеты выполнены для хода судна с относительной скоростью  $V_T = 0,15$  на трехмерном нерегулярном волнении в Северной Атлантике с учетом всех курсовых углов в предположении их равновероятности; амплитудно-частотные характеристики определены расчетом и по модельным испытаниям судов 60-й серии с коэффициентом общей полноты  $b = 0,80$ . Отложенные на ось ординат отношения для вертикального и горизонтального изгибающих моментов можно выразить через эффективную высоту волны, которая связана с максимум изгибающего момента соотношением (1.137); переход от размаха к амплитуде момента, будем иметь

$$\frac{M_{\lambda}}{\gamma \delta L^3} = \frac{k_{\lambda 0}}{\gamma \delta L^3} \frac{H_{\lambda 0}}{2} B C^2 = k_{\lambda} \frac{H_{\lambda 0}}{2}, \quad (1.144)$$

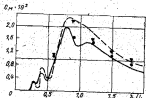


Рис. 46. Сравнение расчетов и усредненной по моделям модельным амплитудно-частотной характеристики вертикального изгибающего момента и модельном сечении судна 60-й серии ( $\delta=0,7$ ;  $L_0/B=7$ ;  $L/T=17,5$ ) при  $Rt=0,2$ .

— расчет; — модельные моменты.  
 ■ — моменты с U-образными волнами шпангоута; ▽ — моменты с V-образными волнами шпангоута.

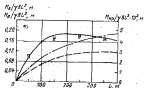


Рис. 47. Зависимость амплитуд вертикального и горизонтального изгибающих моментов, крутящего момента с обеспеченностью  $10^2$  от длины судна.

— вертикальный изгибающий момент (при расчете АЧХ  $T=20$  с;  $T_1=T=120$ ); — — — горизонтальный изгибающий момент; — — — крутящий момент.  
 1 — 0,1; 2 — 0,2; 3 — 0,3; 4 — 0,4; 5 — 0,5.

Следовательно, из приведенных на рисунке данных можно найти эффективные высоты волн, соответствующие вертикальному и горизонтальному изгибающим моментам. (Относительно крутящего момента см. ниже, § 21). Из этого рисунка видно, что значения эффективных высот волн для одного и того же судна различны для разных видов волновых нагрузок. Отметим, что горизонтальный изгибающий момент и крутящий момент при длине судна, превышающей 150—175 м, возрастают с увеличением длины судна более интенсивно, чем вертикальный изгибающий момент.

На рис. 48 приведены данные Норвежского Веритаса о значениях с обеспеченностью  $10^2$  вертикальных и горизонтальных перерезывающих сил в надельном сечении судна разных длин для тех же условий, в которых получены данные рис. 47.

Из рис. 47 и 48 видно, что использование амплитудно-частотных характеристик, полученных расчетом и в модельном эксперименте, приводит к хорошо согласующимся оценкам волновых нагрузок в долговременном распределении.

Данные рис. 47 и 48 использованы для установления соотношений перерезывающих сил и соответствующих изгибающих моментов (рис. 49), а также соотношений нагрузок при горизонтальном изгибе и кручении в нагрузках при вертикальном изгибе (рис. 50). Из последнего рисунка видно, что горизонтальные моменты и перерезывающие силы, а также крутящие моменты по мере увеличения длины судна растут быстрее, чем нагрузки при вертикальном изгибе. Следовательно, с ростом длины судна возрастает важность учета влияния на прочность корпуса горизонтальных сил и моментов, а также крутящего момента.

Данные двух приведенных на рис. 47—50 определяют дозовые нагрузки на судно с обеспеченностью  $10^2$  от вертикального и горизонтального изгиба корпуса судна и от его кручения при плавании в Северной Атлантике в реальных условиях эксплуатации. Эти данные могут быть использованы при проектировании конструкции корпуса морских судов неограниченного плавания для оценки прочности и надежности этих конструкций.

Результаты обширных расчетов, проведенных норвежскими исследователями [60, 62, 63], позволяют проанализировать влияние на дозовые нагрузки ряда важных факторов: коэффициента общей полноты судна, курсовых углов, положения расчетного сечения по длине судна (рис. 51, 52). На основе этих данных составлена табл. 26, в которой значения нагрузок при разных  $\delta$  отнесены к значениям при  $\delta=0,60$ . Видно, что при  $\delta=0,70$  изгибающие моменты уменьшаются на 15—25%, а перерезывающие силы — на 10—20%. При  $\delta=0,50$  это уменьшение еще более значительно; соответственно 30—40 и 30—45%. Большие значения относятся к относительно коротким судам, меньшие — к длинным.

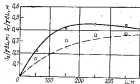


Рис. 43. Зависимость амплитуд вертикальной и горизонтальной периодических сил с обеспеченностью  $10^{-4}$  от длины судна.

— вертикальная периодическая сила (при расчете АМЗ)  
 --- горизонтальная периодическая сила  
 1 —  $\sigma=0$ ; 2 —  $\sigma=0,25$ ; 3 —  $\sigma=0,5$   
 ○ — I; ○ — II.

$\frac{S_0 L}{M_0}, \frac{S_1 L}{M_1}$

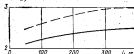


Рис. 44. Соотношение вертикальной и горизонтальной сил к весу судна.

— при вертикальном изгибе; --- при горизонтальном изгибе.

$\frac{N_{00}}{V_0} \cdot 10^7$

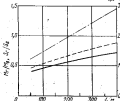


Рис. 45. Соотношение нормальной силы к весу судна при горизонтальном изгибе и кручении с нагрузкой при вертикальном изгибе.

—  $\frac{M_{00}}{V_0}$ ; ---  $\frac{M_{11}}{V_0}$   
 - - -  $\frac{M_{22}}{V_0}$

Важная курсового угла судна при преобладающем направлении трехмерного волнения видно на рис. 53. Здесь волновые нагрузки характеризуются безразмерными отношениями; в частности, для амплитуды вертикального изгибающего момента это

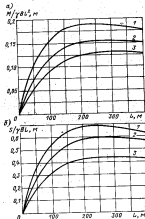


Рис. 51. Зависимость коэффициента эффективности обшивки полноты судна на волновой нагрузке при вертикальном изгибе на просторной волнении: а — изгибающий момент; б — перерывающая сила (в союзе на четверть длины судна).

1 — при  $\delta=0,5$ ; 2 — при  $\delta=0,75$ ; 3 — при  $\delta=0,90$ .

отношение можно связать с относительной эффективной высотой волны:

$$\frac{M_0}{\frac{1}{2} B L^3} = \frac{\frac{1}{2} \frac{A_{00}}{L} B L^3}{\frac{1}{2} B L^3} = \frac{1}{2} A_0 \frac{A_{00}}{L}$$

Результат осреднения по всем курсовым углам в предположении их равновероятности сравнивается с данными, относящимися к движению на встречном волнении (рис. 54). Видно, что прямые обшивки этих предположений приводит к близким результатам. На рис. 55 показано распределение по длине судна



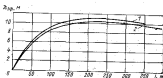


Рис. 54. Эффективные высоты волн с обтекаемостью  $10^{-4}$  для судов разных длин ( $B=1,80$ ) при разных предположенных о распределении курсовых углов.

1 — данные только ветров влияния; 2 — курсовым углом влияния.

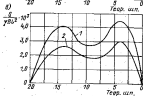
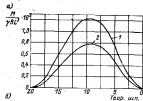


Рис. 55. Распределение по длине судна влияния волн (с обтекаемостью  $10^{-4}$ ) нагибаемых моментов и горизонтальных сил при вертикальном движении волн: а — нагибаемые моменты, б — горизонтальные силы.

1 — при  $L=150$  м; 2 — при  $L=200$  м.

Атлантике (средние данные метеорологических судов по Роалу) для судов с обводами 60-й серии ( $L/B=7$ ;  $L/T=17,5$ ) при разных коэффициентах общей полноты; учитывалось уменьшение скорости на волнении по сравнению со скоростью на тихой воде, соответствующей числу Фруда  $Fr_{2,2}=0,20$ ; курсовые углы принимались равновероятными. Экспериментальные данные относятся к шведским судам (см. табл. 16). Можно считать, что расчетные величины не находятся в противоречии с измеряемыми и действительности.

На рис. 57 приведены значения ожидаемых эффективных высот волн, полученные разными исследователями. Кривые

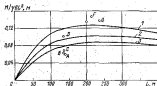


Рис. 56. Сравнение расчетных и экспериментальных данных о вертикальных нагибающих моментах с обтекаемостью  $10^{-4}$ .

— расчет; ○ — эксперимент.  
1 — при  $L=150$ ; 2 — при  $L=200$ .

были уже рассмотрены выше и приведены здесь для наглядного сопоставления. Из рисунка также видно, что, несмотря на разброс приведенных данных, общей для них является тенденция к увеличению эффективной высоты волн по мере роста длины судна до 250—300 м, затем, при дальнейшем увеличении длины судна, — к некоторому ее уменьшению.

Рассмотренные в этой главе результаты замеров волновых нагрузок в море относятся к судам длиной менее 200 м (только три судна имеют длину более 200 м — 214,9, 236 и 238,7 м). Следовательно, результаты этих замеров совсем не относятся к судам длиной более 250 м. Существенными дополнением экспериментальных данных служат материалы по замерам в море вертикальных нагибающих моментов на пяти американских судах (одно плавальное и четыре танкера) длиной от 74 000 до 325 000 тс и длиной от 230 до 330 м [104]. Эти замеры производились по программе Американского Бюро Судостроения в течение трехлетней эксплуатации этих судов (1967—1970) на линии Персидский залив—Европа—Северная Америка (вокруг

миса Добрая Надежда), Япония—Северная и Южная Америка, Персидский залив—Япония. Статистическая обработка этих замеров показала следующие значения эффективных высот волн с обеспеченностью  $10^{-4}$  для вертикального изгибающего момента в миделевом сечении судна:

$L, м$	229	244	305	318	326
$H, м$	0,82	0,84	0,83	0,86	0,83
$H_{\text{эф}}, м$	10,0	10,1	9,8	7,4	8,9

Сравнение этих высот волн (будем условно называть их замерными) с высотами по кривым 1, 4, 6 рис. 57 (с учетом

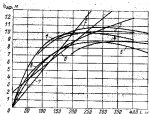


Рис. 57. Расчетные значения эффективных высот волн с обеспеченностью  $10^{-4}$  для танкера (3—0,80) при движении в Северной Атлантике.

1 — данные Ш. Абдулмана (2); 2 — данные В. В. Калашникова (3); 3 — данные Д. Фурлана (5); 4 — данные К. Ланге (3); 5 — данные Дж. Маррея (3); 6 —  $H = \frac{L}{30} - 2$  м; 7 —  $H = \frac{L}{30}$ ; 8 —  $H = 0,8$  м.

приведения их в соответствии с конкретными коэффициентами общей волноты судна) показывает, что для танкера длиной 229 м и для авалачного судна длиной 244 м замерная эффективная высота волн совпадает с высотой по кривой 1; больше на 1,7 м, чем по кривой 4, и больше на 1,15 м, чем по кривой 6. Для танкера длиной 305 м замерная высота больше на 0,4 м, чем по кривой 4; больше на 0,65 м, чем по кривой 6, и меньше на 0,5 м в сравнении с кривой 1. Для танкера длиной 318 м замерная высота меньше на 2,0, 1,7 и 2,6 м, чем по кривым 4, 6, 1 соответственно. Для танкера длиной 326 м замерная высота оказалась меньше на 1,3, 1,0 и 2,1 м, чем соответственно по кривым 4, 6 и 1.

Эти данные позволяют считать, что кривые 4 и 6 дают заниженную эффективную высоту волн для судов длиной 250 м и менее. Что же касается случаев, для которых замерные эффективные высоты волн оказались меньшими, чем по любой из кривых рис. 57 (суда длиной более 300 м), то, по-видимому, причина этого занижения заключается в том, что эти суда в сравнительно короткий срок эксплуатации (три года) не встречали наиболее сильного волнения. В частности, отмечается, что ни одно из рассматриваемых судов, проходя район мыса Добрая Надежда, ни разу не встретило знаменитых для него «валов мисса».

В целом сравнение замерных эффективных высот волн с расчетными высотами, соответствующими кривым рис. 57, а также существующие различия данных, полученных разными авторами, указывают на необходимость дальнейшего уточнения рассматриваемых зависимостей. В связи с этим следует отметить основные различия в закономерностях изменения эффективных высот волн, установленные разными авторами.

1. Обычно приводимый в основу статистического расчета энергетический спектр морского волнения, рекомендованный Вторым Международным конгрессом по конструкции корпуса судна, является лишь приближенным, как это отмечалось и самим конгрессом.

2. Спектр волнения определяется двумя взаимосвязанными параметрами: длиной волн  $\lambda_{\text{эл}}$  и средним периодом волнения  $T_{\text{ср}}$ , которым приписываются конкретные детерминированные значения при характеристике стационарного волнения определенной интенсивности. Однако не существует однозначной связи при данной интенсивности волнения между  $\lambda_{\text{эл}}$  и  $T_{\text{ср}}$ . Напомним, что в таблицах повторяемости волнения на разных участках океана каждой статистической характеристике высоты волн соответствуют шесть средних периодов. Наиболее правильно учитывать все средние периоды. Но из-за усложнения расчета часто ограничиваются выбором только одного или двух с наибольшей вероятностью повторения и наиболее близких к периоду собственным колебаний судна, т. е. средних периодов, которые могут оказывать наиболее существенное влияние на конечный результат расчета. Поскольку этот выбор может оказаться различным, разными будут и результаты расчета.

3. Для учета тректирности морского волнения используются разные формулы, что также может приводить к разным результатам. Отметим, что ни одна из формул, предложенных для учета тректирности волнения, не получила общего признания.

4. Амплитудно-частотная характеристика выходного процесса даже для нулевой скорости судна и при расположении его перпендикулярно к регулярной волне определяется с некоторой погрешностью, различной в разных расчетах или

модельных волнаний. Кроме того, амплитудно-частотная характеристика существенно зависит от скорости судна и от его курсового угла. Судно обычно вынуждено снижать свою скорость на волнении и тем больше, чем выше интенсивность волнения. Однако какой-либо определенной функциональной зависимости между интенсивностью волнения и скоростью судна в настоящее время не существует, и в расчетах является приближенно оценивать величину снижения скорости судна, что, конечно, может приводить к различиям в результатах.

б. При определении статистических характеристик выходного процесса — вертикального волнового изгибающего момента — обычно условно считают, что корпус судна является линейной системой. Однако нелинейность такой системы может заметно проявляться при особо интенсивных волновых воздействиях. В этом случае учет нелинейности может приводить к погрешности расчета.

в. Нет какой-либо определенной закономерности в долгосрочном распределении курсовых углов судна. Обычно условно считается, что наиболее вероятным является движение судна вразрез волнам.

Перечисленные обстоятельства заслуживают специального рассмотрения и изучения. Более подробно они рассмотрены в книге [4].

Необходимо отметить, что сказанное выше утрачивает свою актуальность в случаях, когда долгосрочное распределение волновой нагрузки, например волнового вертикального изгибающего момента, определяется по результатам длительных замеров соответствующих напряжений непосредственно на плавающем в море судне при различной интенсивности волнения. Примеры таких исследований были рассмотрены выше. Можно лишь пожелать, чтобы число их непрерывно увеличивалось.

## Глава 6. КРУЧЕНИЕ КОРПУСА СУДНА

### § 19. Кручение корпуса судна на тихой воде и на волнении

**Крутящие моменты на тихой воде.** Любое судно должно быть нагружено так, чтобы при выходе из порта находиться в прямом положении (не иметь крена). Это будет достигнуто, если равнодействующая всех сил тяжести судна находится в ДП и уравновешивается находящейся в той же плоскости равнодействующей всех вертикальных составляющих сил давления воды. Однако такое расположение равнодействующей сил тяжести для всего судна в целом не означает, что и в каждой сечении (или на каком-то протяжении по длине) она также лежит

в ДП. Предположим, что на судне имеются дилтанки (трюмы небольшой длины) в носовой и кормовой частях, нагруженные так, как показано на рис. 58, а. Пусть равнодействующая сил тяжести в каждом из дилтанков имеет одинаковые значения  $P$  и приложена на одинаковых расстояниях  $a$  от ДП. Тогда момент силы  $P$  относительно продольной оси  $M_{крп} = Pa$  для носо-

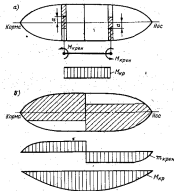


Рис. 58. Кручение корпуса судна на тихой воде: а — сосредоточенные кренящие моменты; б — распределенные кренящие моменты.

вой половине судна является кренящим на правый борт, а для кормовой половины — кренящим на левый борт. Так как эти моменты равны по модулю и противоположны по направлению, то судно крениться не будет, а будет испытывать только кручение на длине между сечениями, в которых эти сосредоточенные моменты приложены (эпюра крутящих моментов постоянна по длине участка, случай чистого кручения). В нашем рассмотрении мы пренебрегли длиной дилтанка и предположили, что момент  $M_{крп}$  является сосредоточенным и приложен в сечении. Более точным было бы рассмотрение некоторой интенсивности

момента  $M_{\text{кр}} = M_{\text{кр}}^0 / \Delta L$ , где  $\Delta L$  — длина участка, на котором создается крутящий момент. Для неравномерной загрузки носовой и кормовой половины судна значения интенсивности  $m_{\text{кр}}$  и крутящего момента  $M_{\text{кр}}$  показаны на рис. 58, б. При этом наибольшая по длине крутящий момент может быть оценен, если рассмотреть равнодействующую сил тяжести носовой и кормовой половины судна. Пусть каждая из них равна  $0,5B$  и приложена на расстоянии  $a$  от ДП. Тогда крутящий момент на миделе равен  $M_{\text{кр}} = 0,5Ba$ . Каким-либо норм или общепринятых рекомендаций для определения величины  $a$  при расчете крутящего момента на такой воде не имеется. Однако можно считать вероятным, что  $a$  может быть равным 2—3% ширины судна, особенно в случаях перевозки руды, частично заполняющей трюма. В некоторых расчетах [49, 128] крутящий момент на тиллой воде оказывается в 1,5—2 раза больше крутящего момента, определяемого при статическом расчете на регулярной воде при движении судна косым курсом.

**Крутящие моменты на регулярном волнении.** Так же, как и в случае изгиба судна на волнении, целесообразно рассмотреть кручение судна на регулярном волнении в условиях статического равновесия. Если судно на регулярном волнении расположено по отношению к бегу волн так, что ДП судна оказывается параллельной направлению скорости распространения профиля волн, т. е. если курсовой угол равен  $0$  или  $180^\circ$ , то обтекание судна водой симметрично относительно ДП, или, другими словами, одинаково по правому и на левому бортам. Если при этом судно находится в прямом положении (не имеет крена) и в статическом равновесии под влиянием сил тяжести и гидростатических сил поддержания, то в любом поперечном сечении по длине судна силы поддержания, приходящиеся на единицу длины судна, как для правого, так и для левого бортов, будут одинаковы по величине и направлению, и равнодействующая их находится в ДП. Следовательно, при расположении ДП параллельно бегу волн гидростатические силы поддержания не вызывают кручения корпуса судна. В случае же когда ДП судна размещена под косым углом к направлению бегу волн, обтекание корпуса волной оказывается несимметричным относительно ДП и, следовательно, неодинаково для бортов судна. При этом в поперечных сечениях носовой половины судна равнодействующая сила поддержания смещаются от ДП к одному борту, а в кормовой половине — к противоположному борту, вызывая статическое кручение судна на регулярной волне (аналогично силам тяжести при неравномерной загрузке, см. рис. 58, б).

Кораблестроителям необходимо знать наибольшее значение этого крутящего момента, который может действовать одновременно с большими волновыми вертикальными изгибающими моментами. В настоящее время принято считать, что такой случай

может иметь место, когда ДП судна расположена под углом  $60^\circ$  к бегу регулярной волны при ее длине, равной половине длины судна, и при следующих двух положениях судна относительно волн:

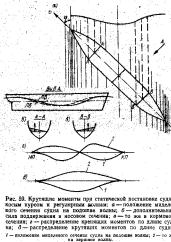


Рис. 58. Крутящие моменты при статическом возмущении судна косым курсом на регулярном волнении: а — положение мидельного сечения судна на поперечной волне; б — равнодействующая сила поддержания в носовом сечении; в — то же в кормовом сечении; г — распределение крутящих моментов по длине судна; д — распределение крутящих моментов по длине судна; е — положение мидельного сечения судна на поперечной волне; з — то же на продольной волне.

носовой и кормовой перпендикуляры расположены на двух смежных вершинах волн, а на мидельное сечение приходится половина волны;

носовой и кормовой перпендикуляры расположены на двух смежных подошвах волн, а мидельное сечение на вершине волны.

На рис. 59, а показано первое из перечисленных положений судна. Видно, что носовые поперечные сечения, например сечение А—А, так расположены по отношению к профилю волны,

что левый борт находится ближе к вершине волны, а правый — дальше от вершины (рис. 59, б). В связи с этим левый борт больше погружен в воду и равнодействующая дополнительных волновых сил поддержания в сечении А—А смещена от ДЦ к левому борту. Равнодействующая сил поддержания других сечений носовой половины также смещены к левому борту, но на разное расстояние; такое же смещение характерно для центра тяжести носовой половины. Для миделевого сечения равнодействующая сил поддержания остается в ДЦ. Равнодействующая сил поддержания всех корневых поперечных сечений смещена к правому борту (рис. 59, в).

В каждом поперечном сечении корпуса судна можно найти значение вращающего момента  $M_{\text{вращ}}$ , относимого к единице длины судна. Этот момент, очевидно, равен статическому моменту относительно ДЦ дополнительной силы поддержания, приходящей на единицу длины судна в районе данного сечения. Эта сила поддержания для каждого сечения численно равна заштрихованной на рис. 59, б и в площади, умноженной на удельный вес воды. Для определения суммарных крутящих моментов  $M_{\text{кр}}$ , действующих в различных сечениях корпуса судна, необходимо построить:

кривую вращающих моментов  $M_{\text{вращ}}$  на единицу длины в каждом сечении (рис. 59, в). Такая кривая имеет нулевые ординаты на конечных перекладках и в миделевом сечении и располагается для одной половины судна выше оси, а для другой — ниже оси; ограниченные ею и осью положительные и отрицательные площади равны по абсолютной величине;

кривую суммарных крутящих моментов  $M_{\text{кр}}$  как интегральную от предыдущей; она представляет собою плоскую линию с нулевыми ординатами на конечных перекладках с максимумом в миделевом сечении (рис. 59, д).

Практика такого определения крутящих моментов показывает, что их значения, получаемые для положения миделя на подходе или на вершине волны, разнятся лишь незначительно. Учитывая условный характер расчета, часто ограничиваются определением крутящего момента для случая, когда мидель находится на подходе волны. Исходя из крутящих моментов на регулярном волнении при косом курсовом угле судна, равном  $45^\circ$ , Г. Вейдемер [142] нашел, что их значения (в тс·м) могут определяться по формуле

$$M_{\text{кр}} = cLB^3 \cdot 10^{-7}, \quad (1.145)$$

где коэффициент  $c = 2,97 - 3,37$ .

При соответствующих 60-й серии соотношениях  $L/B = 7$  и  $B/T = 2,5$  выражение (1.145) приводится к виду (в тс·м)

$$M_{\text{кр}} = \frac{2,5c}{7^3} DB^3 \cdot 10^{-7}, \quad (1.146)$$

где  $\gamma$  — удельный вес воды, тс/м<sup>3</sup>;  $\delta$  — коэффициент общей полноты.

Если условно считать, что возмещение носовой и кормовой половины судна одинаково и равно  $0,5D$  и что равное  $\delta B$  смещение от ДЦ к разным бортам центров волнения носовой и кормовой половины одинаково, то максимум элеры крутящего момента на регулярном волнении при косом курсе судна можно оценить по формуле

$$M_{\text{кр}} = 0,5DaB. \quad (1.147)$$

Приравняв (1.146) и (1.147) и полагая, что при  $\delta = 0,6$  значение  $c = 2,97$ , а при  $\delta = 0,8$  значение  $c = 3,37$ , получаем, что  $c = 0,024$  при  $\delta = 0,6$  и  $c = 0,021$  при  $\delta = 0,68$ . Следовательно, формула (1.145) предполагает, что для симметричного относительно

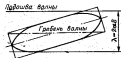


Рис. 60. Разлобание судна относительно волн, соответствующее максимальному крутящему моменту (по Е. Абрахамову).

момента по формуле (1.145) предполагается суммировать с другими наибольшими волновыми нагрузками, однако он не является наибольшим. Е. Абрахамов [62] нашел, что вообще наибольшее значение волнового статического крутящего момента достигается при следующих условиях (рис. 60):

вершина волны располагается по диагонали параллелепипеда, построенного на главных размерах судна;

длина волны равна  $L = 2\delta B$  ( $\alpha$  — коэффициент полноты ГВЛ), и, следовательно, линия впадины волн оказывается почти касательными к бортовым скулам судна;

высота волны равна  $0,1L$ .

Тогда крутящий момент на миделе (в тс·м) равен

$$M_{\text{кр}} = kLB^3 \cdot 10^{-7}, \quad (1.148)$$

где  $k$  в зависимости от  $\alpha$  имеет следующие значения:

$\alpha$	0,6	0,7	0,8	0,9	1,0
$k$	1,70	2,45	3,78	5,33	6,85

Формулы (1.145) и (1.148) отличаются только коэффициентами. Сравнение их показывает, что при  $\delta = 0,6$  и соответствующим

шим  $\alpha=0,7$  значение крутящего момента по формуле (1.145) даже несколько больше, чем по формуле (1.148); при  $\delta=0,8$  и  $\alpha=0,88$  крутящий момент по формуле (1.148) примерно в 1,5 раза больше, чем по формуле (1.145).

Показанное на рис. 60 положение судна относительно волны соответствует значительно большему чем  $45^\circ$  углу между ДЦ и направлением борта волны и значительно меньшим длине волны (например, при  $\alpha=0,7$  и  $L/B=7$  длина волны  $\lambda=0,2L$  и высота ее  $h=0,02L$ ). При таких размерах волн нагрузка от гребных моментов оказываются незначительными.

По исследованиям, проведенным В. В. Давыдовым [16], значение наибольшего статического волнового крутящего момента в мидельном сечении может определяться по формуле (в тс·м)

$$M_{\text{ст}} = k r L B^2 \cdot 10^{-3}, \quad (1.149)$$

где  $r$  — полувисота волны, м;  $k$  — коэффициент, зависящий от отношения  $L/B$ ,  $L/\lambda$  и от  $\alpha$  [17].

При использовании формулы (1.149) необходимо при заданной длине  $\lambda$  и высоте  $2r$  волны находить приближенно значение курсового угла  $\varphi$ , соответствующего наибольшему  $M_{\text{ст}}$ . Этот угол приблизительно равен  $\varphi = \arctg \frac{\lambda}{L}$ .

Для определения наибольшего момента, надо найти его значение для несколько меньшего и большего углов. Формула (1.149) для волны, принятой Е. Абрахамсеном, дает значение крутящего момента примерно на 30% больше, чем формула (1.148).

**Кручение при крене.** Выше предполагалось, что при статическом равновесии на регулярном волнении судно не имеет крена. При крене как общая для всего судна равнодействующая сил тяжести, так и равнодействующие этих сил в любом поперечном сечении не пересекают продольную ось вращения судна и, следовательно, создают кренящие моменты. Накрененное судно тоже находится в равновесии, так как равнодействующий кренящий момент для всего судна уравновешивается равнодействующим восстанавливающим моментом. Однако в каждом поперечном сечении единственный кренящий момент, т. е. приходящийся на единицу длины судна, в общем случае не уравновешивается единственным восстанавливающим моментом в том же сечении. Разность этих единичных моментов в каждом сечении образует распределенную нагрузку  $\Delta F$ , интегрированием которой от конского перпендикуляра до любого сечения (например, до миделя) определяют крутящий момент  $\Delta M$  в этом сечении. Наибольшее значение этого момента обычно приходится на район миделя, однако для большинства судов оно обычно мало и, как правило, не определяется. Этот момент может представлять практический интерес для порывных судов, на которых сосредоточенный кренящий момент передается корпусу через мачту, несущую паруса.

**Кручение силами инерции.** При бортовой качке судна все элементарные его массы вращаются вокруг продольной оси, проходящей через центр тяжести судна, с угловым ускорением

$$\omega = \frac{2\pi}{T} \sin \theta,$$

где  $\theta$  — угол крена;  $T$  — период качки, определенный формулой

$$T = 2\pi \sqrt{\frac{I + M}{Dk}}.$$

Здесь  $I$  — момент инерции массы судна относительно оси вращения;  $M$  — момент инерции пресоединенных масс воды относительно той же оси вращения судна;  $D$  — водоизмещение судна;  $k$  — поперечная начальная метастабильная высота.

Для элементарной массы судна  $\Delta m$ , приходящейся на единицу его длины и расположенной на расстоянии  $r$  от оси вращения, касательное ускорение равно

$$a_{\text{т}} = r\omega = \frac{4\pi^2 r \sin \varphi}{T^2}.$$

а соответствующая этому линейному ускорению сила инерции элементарной массы

$$\Delta F = a_{\text{т}} \Delta m = \frac{4\pi^2 r \sin \varphi}{T^2} \Delta m.$$

(Заметим, что в данном случае интерес представляют только касательные силы инерции, так как центробежные силы, всегда пересекающие ось вращения, не могут давать моментов относительно этой оси.)

Момент силы  $\Delta F$  относительно оси вращения

$$\Delta M = r \Delta F,$$

а момент всех сил инерции в любом поперечном сечении судна, приходящийся на единицу его длины, равен сумме всех элементарных моментов для этого сечения, т. е.

$$M_1 = \sum \Delta M.$$

Он является для судна единственным кренящим моментом, и ему противодействует в том же сечении единственный восстанавливающий момент.

В полете для судна равнодействующие всех кренящих моментов от сил инерции и сил тяжести при крене уравновешиваются равнодействующими моментами от всех сил поддержания, так как рассматривается динамическое равновесие судна в момент, когда при бортовой качке оно, вращаясь, надвигаясь по ходу часовой стрелки, достигает своего наибольшего отклонения на правый борт и только качается свое вращение против

ходе часовой стрелки. В этот момент скорость вращения судна равна нулю, ускорение наибольшее в сторону левого борта, а силы инерции имеют противоположное направление. Однако при общем для судна равновесии осей кренящих и восстанавливающих моментов такое равновесие и в каждом отдельном поперечном сечении, как правило, не имеет места, что и вызывает кручение корпуса.

Для определения крутящего момента надо, очевидно, поступать, как указано выше, т. е. построить кривые распределения по длине судна:

суммы единичных кренящих моментов от сил инерции и сил тяжести;

единичных восстанавливающих моментов; единичных неуравновешенных в данном сечении кренящих моментов, равных разности ординат двух предыдущих кривых; крутящих моментов (интегральную кривую для кривой единичных неуравновешенных кренящих моментов).

Ординаты последней кривой определяют значения крутящего момента в поперечных сечениях по длине судна. Обычно наибольший крутящий момент действует в районе миделевого сечения.

Как видно из предыдущего, полученные по этой схеме крутящие моменты являются суммарными от сил инерции и сил тяжести, так что для нахождения моментов только от сил инерции суммарные моменты должны быть уменьшены на подставаемый отдельно момент от сил тяжести при крене. Впрочем, последним часто пренебрегают, считая их малыми.

При длительной эксплуатации судна его водонизменение меняется от рейса к рейсу; оно изменяется и в течение одного рейса. Момент инерции масс  $I \cdot \Delta \lambda$ , начальная метасредстречная высота  $\bar{h}$  и, как следствие, период бортовой качки  $T$  и ее амплитуда изменяются в широких пределах. Они могут быть различными даже при одном и том же водонизменении судна, поскольку зависит от распределения поровненного груза по высоте и ширине корпуса судна. В связи с этим наибольшее значение крутящего момента для одного и того же судна может измениться в широких пределах. Это вносит значительную неопределенность в расчет динамических (от сил инерции при бортовой качке) крутящих моментов. Обычно условно считается достаточным определять наибольшее значение динамического крутящего момента для полного водонизменения судна при полной и равномерной загрузке всех трюмов, при наименьшем практически возможном периоде качки, считая наибольшую амплитуду качки равной 25—30°. При таких условиях наибольший динамический крутящий момент для обычных судов, перевозящих генеральный груз, составляет 25—30% волнового статического крутящего момента, вычисляемого по формуле (1.145). Однако надо иметь в виду, что для судов, перевозящих руду

и имеющих сравнительно низкое расположение ЦТ груза, большую начальную поперечную метасредстречную высоту  $\bar{h}$ , следовательно, резкую бортовую качку, наибольший динамический крутящий момент может быть значительно больше.

Другие факторы, вызывающие кручение корпуса судна. Как известно из курса сопротивления материалов, силы упругости действия которых не проходят через центры тяжести (или центры кручения, или центры жесткости) поперечных сечений балки, вызывают помимо изгиба еще и кручение балки. В общем случае центр кручения не совпадает с центром тяжести поперечного сечения балки (такое совпадение имеет место только в том частном случае, когда обе главные центральные оси инерции поперечного сечения балки являются осями симметрии сечения). Для поперечных сечений корпуса судна только одна главная ось, а именно ось, входящаяся в ДЦ, является осью симметрии сечения. В этом случае центр кручения находится на оси симметрии в районе киля или несколько ниже его в зависимости от размеров больших палубных вырезов.

Если судно находится в прямом положении (не имеет крена) и на него действуют только вертикальные силы, симметричные относительно ДЦ, то их равнодействующая лежит в ДЦ и пересекает продольную ось центров кручения, вызывая изгиб корпуса без его кручения. Равнодействующая тех же вертикальных сил в случае крена судна составляет с осью симметрии угол, равный углу крена, и не пересекает ось центров кручения, а потому вызывают не только изгиб корпуса, но и его кручение. Следовательно, в общем случае вертикальный изгиб судна сопровождается кручением, при котором возникают дополнительные касательные напряжения, суммирующиеся с касательными напряжениями от изгиба. При изгибе в горизонтальной плоскости горизонтальные поперечные силы дают, как правило, равнодействующую, не пересекающую ось центров кручения, и, следовательно, горизонтальный изгиб также сопровождается кручением. Таким образом, в общем случае все внешние силы, действующие на корпус судна, не пересекают ось центров кручения и вызывают кручение корпуса.

На волнении крутящие моменты возникают как от гидростатических, так и от гидродинамических сил, включая сдвиги, и от сил инерции, вызываемых движением судна. Кроме того, силы от ветра и руды могут создавать крутящие моменты, которые, правда, обычно незначительны.

До недавнего времени кораблестроители мало интересовались кручением судна, особенно дополнительным кручением, возникающим при изгибе корпуса судна. Это объясняется тем, что крутильная жесткость корпуса морских судов с умеренной шириной больших палубных вырезов, меньшей полонизной шириной судна, достаточно велика, так что касательные напряжения от кручения малы. Это подтверждается и данными

натурных замеров касательных напряжений от кручения. В качестве примера можно отметить, что при замере касательных напряжений в море на судне «Оушен Валден» среднее значение напряжений в листах верхней палубы оказалось разным примерно 30 кгс/см<sup>2</sup>, в 10 раз больше напряжения были записаны у углов люковых вырезов. Наибольшие напряжения в листах нижней обшивки достигали 50 кгс/см<sup>2</sup>. Подобные измерения охватывают судна. Мало имеется данных и по определению параметров кручения при испытании моделей судов. При модельных испытаниях танкера Т-2 на регулярном волнении [112] было найдено, что наибольший крутящий момент возникает при курсовом угле 45° и при резонансной скорости судна (скорости, при которой качующийся период волны близок к периоду собственных поперечных колебаний судна). Большие амплитуды бортовой качки вызывают и большие крутящие моменты. В общем случае на данном волнении крутящие моменты увеличиваются с ростом скорости модели. При длинах волн, равных  $\lambda = 1,05 \alpha$  и  $\lambda = 1,1 \alpha$  (где  $l$  — длина модели и  $\alpha$  — курсовой угол), и при отношении высот волн к длине модели от  $\frac{1}{10}$  до  $\frac{1}{4}$  изменение курсовых углов от 0 до 60° сопровождалось почти линейным изменением крутящих моментов от нуля до максимума, который не превосходил 10% от значений соответствующих изгибающих моментов.

## § 20. Стесненное кручение корпуса судна с большими палубными вырезами

Как уже отмечалось, сказанное выше о малых значениях крутящих моментов и соответствующих им касательных напряжений относится к обычным грузовым судам, у которых ширина палубных люковых вырезов не превышает половины ширины судна и длина этих вырезов равна приблизительно половине длины трюма. На таких судах большая часть объемов грузовых трюмов находится вне пролетов раскрытых люков, что вызывает значительные затраты труда и времени для горизонтального перемещения груза при его погрузке и выгрузке. Для уменьшения трудоемкости и сокращения времени простоя судов в портах в последнее время стремятся увеличивать ширину и длину грузовых люков, достигая возможно большего раскрытия палуб. Особенно это необходимо для судов, перевозящих грузы в контейнерах, навальные грузы, лес, а также для некоторых других специализированных судов. На некоторых судах для каждого трюма выполняется один широкий и длинный грузовой люк, ширина которого может достигать до 0,75—0,80 ширины судна, а длина люка делается настолько большой, насколько это возможно необходимой ширины палубного настила между смежными по длине люками для размещения грузового устройства и для обслуживания люка. В некоторых случаях по ширине

для каждого грузового трюма распалубаются два или три люка общей длиной почти во всю длину трюма и шириной, позволяющей оставлять только узкий проход между смежными продольными комингсами и достаточную для обслуживания ширину палубного настила у бортов судна.

Большие люковые вырезы в палубах могут значительно уменьшать крутящую жесткость корпуса судна, превращая его в тонкостенную балку открытого профиля, в сечении которой только одна центральная ось инерции является осью симметрии, а расположенная на этой оси пещер кручения находится значительно ниже III сечения и даже ниже киля. Кручение такой балки возникает не только от вращающего момента, но и от вертикальных и горизонтальных поперечных сил, действующих корпус судна соответственно в вертикальной и горизонтальной продольных плоскостях. Оно вызывает искривление (депланацию) поперечных сечений балки: после деформации они так искривляются, что точки контура выходят на плоскости сечения и перемещаются параллельно продольной оси балки; при этом обычно предполагают, что форма контура сечения при деформации балки не претерпевает изменений. Однако такая депланация поперечных сечений корпуса судна не может происходить свободно. Этому препятствует перемещимость крутящих моментов и искривлений поперечных сечений по длине судна. Еще больше свободной депланации поперечных сечений корпуса судна препятствуют поперечные и продольные обшивки судна, которые не испытывают существенного кручения и изгиба и обладают большой крутящей жесткостью, имея почти или совсем замкнутые поперечные сечения. Также обшивки судна можно считать достаточно жесткой заделькой концов той части длины судна, в которой имеются большие палубные вырезы.

При изгибе и кручении корпуса судна как открытой тонкостенной коробчатой балки нормальные напряжения с учетом стесненного кручения определяется выражением [53, 57]:

$$\sigma = \frac{P_y}{F} - \frac{M_x z}{I_x} - \frac{M_y y}{I_y} + \frac{B_x y z}{I_x}, \quad (1.150)$$

где  $P_y$ ,  $M_x$  и  $M_y$  — продольная сила и изгибающие моменты относительно осей  $Oy$  и  $Oz$ ;  $F$ ,  $I_x$ ,  $I_y$  — площадь поперечного сечения и моменты инерции площади поперечного сечения относительно осей  $Oy$  и  $Oz$ ;  $B_x$  — силовой фактор, кгс·см<sup>2</sup>, взаимный изгибно-крутящий биомоментом, или просто биомоментом, и определяемый выражением

$$B_x = -EI_y \frac{d^2 \theta}{dz^2}, \quad (1.151)$$

Здесь  $I_x$  — главный секторальный момент инерции поперечного сечения, см<sup>6</sup>, определяемый как контурный интеграл

$$I_x = \int_{\Gamma} \rho^2 dF; \quad (1.152)$$

$\rho$  — секторальная площадь, см<sup>2</sup> (характеристика той точки сечения профиля балки, для которой определяется нормальное

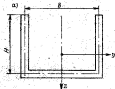
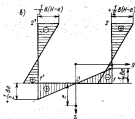


Рис. 61. К определению секторальных характеристик сечений:  $a$  — сечение открытого профиля;  $b$  — значения главных секторальных площадей.



напряжение);  $\theta$  — угол закручивания (угол поворота сечения вокруг центра кручения).

Остановимся на определении секторальных характеристик сечения. Рассмотрим условное поперечное сечение открытого профиля (палуба в районе грузового люка полностью вырезана), на средних линиях которого и определяются указанные характеристики (рис. 61). Точка  $z$  — центр кручения — принята в качестве нулевой; нулевой точкой является точка  $\theta$  пересечения оси симметрии сечения  $Oz$  с контуром сечения. Если на

полосе провести радиус-векторы в нулевую точку и в какую-либо точку на средней линии контура, то удвоенная площадь сектора, образованного этими радиусами и отрезком средней линии между начальной и выбранной точками, называется секторальной площадью (при выбранных нами полюсе и нулевой точке это будет главный секторальный момент). Если проведенный из полюса радиус при обходе контура от нулевой к рассматриваемой точке поворачивается против часовой стрелки, то соответствующая секторальная площадь считается положительной и откладывается от средней линии наружу от контура, и наоборот. Для плоских участков поперечного сечения балки зоны секторальной площади образованы прямыми линиями, а значения секторальной площади  $\omega_i$  для  $i$ -й точки на средней линии контура численно равно площади прямоугольника, одной стороной которого является длина  $z_i$  средней линии контура, отсчитываемая от нулевой точки до данной точки, а другой стороной прямоугольника служат длина перпендикуляра, опущенного из полюса на данный участок средней линии контура. Для профиля, симметричного относительно оси  $Oz$ , секторальные площади в симметричных точках равны по абсолютной величине, но имеют разные знаки.

Главный секторальный момент инерции сечения балки, определяемый формулой (1.152), может быть получен контурным интегрированием квадрата секторальной площади по всей средней линии контура. Полученные при этом интегралы для разных участков средней линии должны умножаться на толщину  $\delta$  профиля на данном участке.

Для определения положения на оси  $Oz$  центра кручения с приходится строить первоначально эскизу вспомогательной секторальной площади  $\omega_x$  на произвольно выбранного полюса  $B$  с координатой  $z_B$ . Тогда  $\omega_x = z_B + \frac{1}{z} \int_{\Gamma} \rho \delta dF$ , где контурный интеграл называется секторальным линейным моментом площади относительно оси  $Oz$ . В частности, для корытного профиля, изображенного на рис. 61,

$$\omega_x = \frac{3h}{b + F_2/F_0} \quad (1.153)$$

где  $F_2$  и  $F_0$  — площади днища и борта. Если толщина днища и борта одинаковы, то

$$\omega_x = \frac{3h}{b + 6h} \quad (1.153a)$$

Из формулы (1.150) видно, что при изгибе и кручении корпуса судна с открытым поперечным сечением нормальные напряжения, определяемые первыми тремя членами этой формулы, тождественны напряжениям, вычисленным без учета кручения или в предположении, что кручение не вызывает

дополнительных нормальных напряжений. Последний член этой формулы определяет дополнительные нормальные напряжения от кручения. Для корпусов морских судов с умеренной шириной локонных вырезов (меньше 0,5B) эти дополнительные напряжения оказываются пренебрежимо малыми, но по мере увеличения ширины вырезов эти напряжения быстро растут и, как показывают некоторые приближенные расчеты, при ширине люковых вырезов, равной (0,8—0,9)B, они могут быть одного порядка с наибольшими нормальными напряжениями от вертикального изгиба на нерегулярном волнении.

Для каждого поперечного сечения корпуса судна в данных условиях его нагружения значения бимомента и главного секторального момента инерции площади сечения постоянны, а значения секторальной площади изменяются вдоль контура сечения. Следовательно, дополнительные нормальные напряжения от кручения изменяются по высоте поперечного сечения по закону изменения секторальной площади. На рис. 6) видно, что эти напряжения на киле равны нулю, и по мере удаления по длине от киля к бортам они увеличиваются до некоторого максимума на скулах. При этом если на одном борту растяжение, то на противоположном — сжатие. По борту от скулы к палубе напряжения изменяются по линейному закону, переходя через нуль и меняя знак на палубе по сравнению со скулой. Здесь они опять на разных бортах имеют различные знаки: если на одном борту — растяжение, то на другом — сжатие. Заметим, что если к верхней кромке борта примыкает участок палубы, то на этом участке секторальная площадь еще будет продолжаться увеличиваться до кромки палубного выреза и, следовательно, наибольшее дополнительное нормальное напряжение от кручения имеет место на бортовой кромке люкового палубного выреза.

Касательные напряжения при изгибе и стесненном кручении корпуса судна определяются суммой следующих четырех компонентов:

$$\tau = \tau_{\text{изг}} + \tau_0 + \tau_r + \tau_{\text{стес}} \quad (1.154)$$

Где  $\tau_{\text{изг}}$  — касательные напряжения при чистом (свободном) кручении;  $\tau_0$  — касательные напряжения при изгибе в вертикальной плоскости;  $\tau_r$  — касательные напряжения при изгибе в горизонтальной плоскости;  $\tau_{\text{стес}}$  — касательные напряжения при стесненном кручении.

Первые три слагаемых этой формулы дают основную, главную часть касательных напряжений, а последний член является обычно небольшой добавкой к ним и определяется формулой

$$\tau_{\text{стес}} = \frac{E}{k} \frac{d\theta}{dx} \int_{c_{\text{стес}}} \text{ad}F = -\frac{E}{k} \int_{c_{\text{стес}}} S_{\text{стес}} \quad (1.155)$$

где  $E$  — первая производная бимомента;  $S_{\text{стес}}$  — секторальный статический момент отсеченной части сечения.

Величина бимомента  $B$ , как видно из формулы (1.151), зависит от угла закручивания и может быть определена, если известно изменение этого угла по длине балки, для чего может быть использовано решение следующего уравнения стесненного кручения балки:

$$\theta^{IV} - k^2 \theta^{II} = -\frac{1}{EI} \frac{dM_{\text{изг}}}{dx} \quad (1.156)$$

где  $\theta^{IV}$  и  $\theta^{II}$  — четвертая и вторая производные угла закручивания по продольной координате балки  $x$ ;

$$k^2 = \frac{GI_T}{EI^2}$$

здесь  $G$  — модуль сдвига;  $I_T$  — полярный момент инерции площади сечения балки.

Решение уравнения (1.156) имеет вид

$$\theta(x) = c_1 + c_2 x + c_3 \text{sh} \frac{kx}{l} + c_4 \text{ch} \frac{kx}{l} + \theta_{\text{изг}}(x) \quad (1.157)$$

где постоянные интегрирования  $c_1, c_2, c_3$  и  $c_4$  находятся по соответствующим граничным условиям;  $\theta_{\text{изг}}$  — частное решение.

При решении уравнения (1.157) применительно к корпусу судна обычно считают, что часть корпуса с широкими палубными вырезами представляет собой открытую призматическую балку, присоединенную своими концами к кормовой и носовой оконечностям судна. Кормовая оконечность довольно значительной длины исключает машинное отделение, надстройки и рубки и потому имеет большую по сравнению с открытой частью крутильную жесткость. С достаточным основанием можно полагать, что в плоскости соединения открытой части балки с кормовой оконечностью деформация балки для равня нулю, т. е.  $\theta' = 0$ . Можно также приближенно определить и действующий в этом сечении внешний крутящий момент. Так могут быть получены два граничных условия для определения постоянных интегрирования. Что же касается граничных условий для носовой оконечности, то, по-видимому, здесь можно принимать их аналогично граничным условиям для кормовой оконечности. Рекомендация по определению граничных условий и по выполнению всего расчета стесненного кручения корпуса можно найти в справочной литературе. Методика такого расчета издана также Ретвистром СССР. Однако несомненно необходимость в совершенствовании таких расчетов с использованием данных модельных и натурных испытаний, число которых пока невелико.

На предыдущем видео, что оценка влияния размеров больших палубных вырезов на крутильную жесткость корпуса судна и на нормальные и касательные напряжения от стесненного

кручения является довольно сложной проблемой, решению которой посвящена ряд работ [120, 130, 131]. Для целей скорей предварительной и приближенной оценки влияния размеров больших палубных вырезов на увеличение нормальных напряжений в настеле верхней палубы в районе углов вырезов, где влияние это наибольшее, можно пользоваться формулой Г. Шеда [120]:

$$\sigma_x = \frac{N}{F_n} \frac{3\beta}{(1-\beta)^2} (n+1). \quad (1.158)$$

Здесь  $\sigma_x$  — добавочное продольное нормальное напряжение, вызываемое одним из вырезов в зависимости от размеров люковых вырезов в палубе;  $N$  — погонное сдвигающее усилие в бортовой кромке настела верхней палубы, подсчитанное с предположением полного отсутствия люковых вырезов в палубах, имеющих такую же толщину настела, что и при наличии вырезов;  $F_n$  — толщина палубного стрингера. В случае нескольких рядов люков по ширине судна предполагается, что толщина листов палубы между внутренними продольными концами люков равна толщине палубного стрингера;  $B$  — ширина судна;  $b$  — общая ширина вырезов люков в данном поперечном сечении палубы;  $\lambda$  — длина люка;  $\mu$  — число рядов люков в данном поперечном сечении палубы.

При  $n=1$  коэффициент 3 в (1.158) должен быть заменен на  $2 + (b/B)$ .

Если выразить общую ширину люковых вырезов  $b$  в долях ширины судна

$$b = \beta B,$$

формула (1.158) примет вид

$$\sigma_x = \frac{N}{F_n} \frac{k}{\beta} \frac{1}{(1-\beta)^2}. \quad (1.159)$$

где  $k=9$  при парных люках ( $n=2$ ) и  $k=12$  при тройных люках ( $n=3$ ). При одиночных люках ( $n=1$ ) коэффициент  $k$  зависит от  $\beta$  и равен  $k=2(2+\beta)$ .

Таблица 27

Значения множителя  $k/(1-\beta)^2$  в формуле (1.159)

$\beta$	0,4	0,5	0,6	0,7	0,8	0,9	0,95	0,98
$n=1$	13,3	20,0	32,4	60	140	254	370	560
$n=2$	25,2	36,9	55,2	100	225	430	578	900
$n=3$	32,5	48,9	78,0	133	300	534	770	1200

В табл. 27 приведены значения множителя  $k/(1-\beta)^2$  для одиночных, парных и тройных люковых вырезов в палубе.

Видно, что при увеличении  $\beta$  эта величина и пропорциональное ей добавочные нормальные напряжения в палубе от кручения растут сначала довольно медленно (до  $\beta=0,6$  почти линейно), а затем все более резко. Так, при одинарных люках значения  $\beta$ , равным 0,7 и 0,9, соответствует увеличение напряжений в 4,5 и в 44 раза по сравнению с  $\beta=0,4$ . Это особенно наглядно видно на рис. 62. При одной и той же общей ширине вырезов количество их рядов по ширине тоже существенно влияет на добавочные нормальные напряжения. Так, при переходе от одиночных люков к парным ( $n=2$ ), напряжения увеличиваются в 1,9—1,55 раза при  $\beta=0,4$ — $0,9$ . При переходе от парных люков к тройным ( $n=3$ ) напряжения при всех значениях  $\beta$  увеличивается в 1,33 раза, как это можно видеть непосредственно из формулы (1.158).

Автор формулы (1.158) указывает, что она имеет большую ценность для сравнительных оценок рассматриваемых напряжений, а не для накопления их абсолютных величин.

Для оценки влияния больших палубных вырезов на жесткость корпуса судна при кручении Г. Шеда [120] для сравнительных расчетов предлагает пользоваться следующей формулой:

$$\Delta \delta_1 = \frac{N^2 L B}{M_{кр} G_n} \left\{ \frac{3}{1-\beta} + \frac{G}{E} \left[ \frac{3(3n-1)\beta^2 + 2\beta(1+\beta)}{B(1-\beta)^2} \frac{n+1}{3} + \frac{3L\beta^2}{L-\lambda} \frac{2}{n(n+1)} \right] \right\}. \quad (1.160)$$

которая определяет величину  $\Delta \delta_1$  — дополнительное увеличение угла закручивания, найденного при условии отсутствия люковых вырезов в палубах при кручении корпуса судна крутящим моментом  $M_{кр}$ . На многопалубных судах каждая палуба с люковыми вырезами уменьшает крутильную жесткость корпуса судна. Поэтому общее увеличение угла закручивания должно определяться как сумма дополнительных углов, найденных по формуле (1.160) для каждой палубы. Однако влияние люковых палуб мало, так как продольные силы в средней части высоты корпуса оказывают малое сопротивление кручению. Формула (1.160) соответствует случаю расположения люковых палубных вырезов по длине судна с повторяющимися размерами.



Рис. 62. Зависимость добавочных нормальных напряжений от относительной ширины вырезов (для одиночных люков).

Передаваемые коэффициенты  $C_{sp}$  по формуле (1.161)

$\alpha$	0,50	0,65	0,70	0,75	0,80	0,85	0,90
$\lambda$	0,40	0,475	0,55	0,625	0,70	0,775	0,85
$C_{sp}$	2,30	2,55	3,00	3,60	4,30	4,80	5,90

По данным норвежских модельных испытаний [60], угол закручивания при ширине выреза 0,80В в 1,25 раза, а при вырезе 0,9В — в 2,3 раза больше, чем при ширине выреза 0,7В.

В результате испытаний моделей судов Норвежским Веритасом были сделаны следующие выводы относительно жесткости корпуса при кручении [60]:

крутильная жесткость корпуса судна значительно уменьшается, когда ширина дока более 80% ширины судна;

значительное уменьшение жесткости рамных палубных бимсов мало сказывается на крутильной жесткости, но приводит к резко выраженному уменьшению максимальных напряжений у углов люковых вырезов;

концентрация напряжений в углах люков оказывается существенной. Эллиптические закругление углов люков обычных проворов не дает видимых преимуществ;

простые поперечные переборки не влияют существенно на жесткость при кручении, но служат в основном для сохранения формы поперечного сечения.

### § 21. Приближенные формулы для определения крутильных моментов на нерегулярном волнении

В последнее время вопросы обеспечения прочности при кручении корпусов судов с большими люковыми вырезами изучаются все более обстоятельно. Уже опубликовано несколько формул для практического приближенного определения расчетных значений крутильных моментов на нерегулярном волнении применительно к корпусам судов с большими палубными вырезами. Выполненные проверки этих формул данными модельных испытаний показали удовлетворительно согласованность формул с экспериментом. И хотя число таких проверок далеко еще недостаточно для общего признания этих формул, они могут быть полезны при практическом проектировании судов, как отмечено в докладе Третьего комитета Четвертого Международного конгресса по конструированию судов.

**Формулы Норвежского Веритаса.** Начатое еще в 1924 г. изучение кручения судна на регулярном волнении привело сначала к формуле Г. Веделера (1.145), затем к формуле Е. Абрахамсена (1.148), и, наконец, в последнее время к формуле [60] для значений крутильного момента с обеспеченностью  $10^{-3}$  в миделевом сечении судна (в тс·м):

$$M_{sp} = C_{sp} L B^3 \cdot 10^{-3}, \quad (1.161)$$

где  $C_{sp}$  — безразмерный коэффициент, зависящий от коэффициента полноты площади грузовой ватерлинии  $\alpha$  (табл. 28);  $L$  — длина судна между перпендикулярами;  $B$  — ширина наибольшей теоретической.

Е. Абрахамсен [60] считает, что разное значение максимального волнового крутильного момента на нерегулярном волнении с обеспеченностью  $10^{-3}$  может быть получено по формуле (1.161) применительно к открытым судам, т. е. к таким, у которых центр кручения расположен ниже дна.

Формула (1.161) по своей структуре идентична формулам (1.145) и (1.148), но значения коэффициентов заметно увеличены. Хотя прямо не указано, к какому именно нерегулярному волнению и к какой скорости судна относится формула (1.161), однако, сопоставляя другие данные, можно считать, что она относится к трезмерному нерегулярному волнению в Северной Атлантике и к скорости судна, соответствующей  $Fr=0,1$ .

Волновой крутильный момент с обеспеченностью  $10^{-3}$  изменяется по длине судна согласно следующему соотношению:

$$M_{sp}(x) = 0,62 M_{sp} [\sin \alpha - \sin \mu - 1,02 (\cos \mu - \cos \alpha)]. \quad (1.162)$$

где  $M_{sp}$  — крутильный момент в миделевом сечении;  $x$  — поперечная координата вдоль продольной оси судна, отсчитываемая от миделя;  $\alpha = 4,73x/L$ .

Может оказаться полезной аппроксимация результатов расчета крутильных моментов с обеспеченностью  $10^{-3}$ , выполненного Норвежским Веритасом применительно к судам с обводами 60-й серии (коэффициент общей полноты  $\delta=0,80$ ). Если обозначить отношение

$$c = \frac{M_{sp}}{\gamma BC} \cdot 10^{-3},$$

значения которого в зависимости от длины судна были приведены ранее на рис. 47, и аппроксимировать эту зависимость выражением

$$c = 0,24 \sqrt{L}, \quad (1.163)$$

то формула крутильного момента для судна с  $\delta=0,80$  может быть записана в виде

$$M_{sp} = 0,24 \gamma B L^{1,5} \cdot 10^{-3}.$$

При изменении коэффициента общей полноты крутильный момент меняется пропорционально коэффициенту  $C_{sp}$ , зависимость

которого от  $\delta$ , показанный в табл. 28, близка к левой. Учитывая эти обстоятельства и принимая значение  $C_{D0} = 5,0$  при  $\delta = 0,80$ , можно получить следующую формулу для крутящего момента с обеспеченностью  $10^{-3}$ :

$$M_{K3} = 0,0465 C_{D0} B L^{2,5} \cdot 10^{-3} \quad (1.164)$$

Определенные этой формулой значения крутящего момента, как и положенные в ее основу данные рис. 47, соответствуют предположению о равновероятности всех курсовых углов. Между тем, как показывают кривые на рис. 53 (см. выше), наибольшие значения крутящего момента соответствуют курсовым углам  $\sim 45^\circ$  (данные вразрез с тем, что соответствует курсовому углу  $0^\circ$ ). Отношения крутящего момента при этих курсовых углах к крутящему моменту в предположении равной вероятности курсовых углов приведены в табл. 29.

Таблица 29

Отношения значений крутящих моментов, соответствующих различным курсовым углам, к значениям момента в предположении равновероятности всех курсовых углов

$L, м$		$0^\circ$	$30^\circ$	$45^\circ$	$60^\circ$
Курсовые углы, $^\circ$	45	1,22	1,20	1,12	1,12
	0	1,10	1,05	1,03	1,03

**Формула Рада.** Для судов, у которых центр вращения находится на киле или вблизи киле, О. Рад [123] предложил следующую формулу для определения волнового крутящего момента с обеспеченностью  $10^{-3}$  в идеальном сечении судна с большими палубными вырезами:

$$M_{K0} = 0,86 (0,133z - 0,062) B^3 \sqrt{L} \quad (1.165)$$

**Формула де Вальде.** Используя полученные Е. Нуматой [112] передаточные функции крутящего момента для судов разных длин, Г. де Вальде [79] вычислил значения крутящего момента с обеспеченностью  $10^{-3}$  при плавании в условиях Северной Атлантики применительно к танкерам Т-2, для которых центр вращения находится на нейтральной оси  $y$  и для которых имеются также данные модельного эксперимента по определению крутящих моментов. Кроме того, была установлена зависимость волнового крутящего момента от отношения  $\delta/H$ , где  $H$  — высота борта и  $\delta$  — вертикальное расстояние от киле до центра вращения (отрицательное вниз от киле). На основе этих данных была предложена следующая формула для определения наи-

большого значения (с обеспеченностью  $10^{-3}$ ) волнового крутящего момента в идеальном сечении судна (в тс·м):

$$M_{K0} = c (1,75 - 1,5\delta/H) L B^3 \exp(-0,00295L) \cdot 10^{-4} \quad (1.166)$$

где коэффициент  $c$  зависит от коэффициента полноты грузовой ватерлинии  $\alpha$ :

$$c = 13,2 - 43,4\alpha + 78,9\alpha^2$$

Формула (1.166) определяет крутящий момент для курсового угла  $\varphi = 30^\circ$ . При ее выводе принималась зависимость между длиной волны  $\lambda$  и ее высотой  $k$ :

$$k = 0,116\alpha^{-1/100}$$

а также между длиной волны и длиной судна:

$$\lambda = L \cos \varphi$$

С учетом этих зависимостей формула (1.166) принимает более общий вид (в тс·м):

$$M_{K0} = \frac{0,86}{\cos \varphi} c (1,75 - 1,5\delta/H) B^3 \lambda \cdot 10^{-4}$$

**Формула Регистра СССР.** В проекте «Методика расчета прочности корпуса судна с широко раскрытыми полубатни при кручении» рекомендуется значение расчетного волнового крутящего момента с обеспеченностью  $10^{-3}$  при курсовом угле  $60^\circ$  (в тс·м) определять по следующей формуле (аналогичной формуле де Вальде):

$$M_{K0} = 14,7c (1,75 - 1,5\delta/H) B^3 \lambda_p \cdot 10^{-4} \quad (1.167)$$

где  $\lambda_p$  — расчетная высота волны, зависящая от длины судна:

$L, м$	100	150	200	250	300	350
$\lambda_p, м$	5,1	6,6	7,7	8,9	9,5	10,1

Японские исследователи [105] предлагали формулу для определения волнового крутящего момента с обеспеченностью  $10^{-3}$ . Здесь она не приводится из-за ее сложности, но в табл. 30 сохранились значения крутящих моментов, полученные по этой формуле, для сопоставления их с моментами, полученными по другим зависимостям.

Сравнение значений крутящих моментов по разным формулам. Ограниченность экспериментальных данных о волновых крутящих моментах, замеренных на эксплуатирующихся судах и полученных в модельных экспериментах, затрудняет проверку правильности приведенных выше формул путем сопоставления

полученных по ним значений с действительными. В связи с этим представляется практический интерес сравнение между собой значений волновых крутящих моментов, полученных по разным формулам. Такое сравнение было сделано в докладе Третьего комитета Четвертого Международного конгресса по конструкции судов [137] применительно к выбранным для этой цели семи судам длиной от 175 до 270 м; результаты приведены в табл. 30. В этой таблице нами добавлены две возможные строки: значения крутящих моментов, вычисленные по формуле (1.161), — предпоследняя строка, и значения коэффициентов  $\alpha$  в формуле (1.147) — последняя строка. Сравнение крутящих моментов по разным формулам производится при различных положениях центра кручения: теоретическом, вычисленном для рассматриваемого судна в соответствии с действительной конструкцией вырезов в палубе; на киле; промежуточном — средстве между теоретическими и на киле.

Для положения центра кручения на киле формула Рола дает значения на 5—10% меньше, чем формула де Вальде; формула японских авторов дает значения моментов значительно меньше (на 20—40%), чем формула Рола. Можно считать, что для положения центра кручения на киле зависимости де Вальде и Рола имеют практически хорошую согласованность.

Значения моментов по Ведделеру указаны для двух случаев: с наименьшим коэффициентом в формуле (1.145) — верхняя строка и с наибольшим коэффициентом этой формулы — нижняя строка.

Для теоретического положения центра кручения значения крутящих моментов больше, чем для положения его на киле: по формуле де Вальде — в 1,25—1,5 раза, по формуле японских авторов — примерно в 2—2,5 раза. При этом по всем формулам значения крутящих моментов практически удовлетворительно согласуются между собой.

Следует отметить, что формула Ведделера (1.145), имеющая 45-летнюю давность и рассчитанная на регулярное волнение, дает значения крутящих моментов в идеальном сечении судна, практически удовлетворительно согласующиеся с современными расчетными значениями этих моментов с обеспеченностью  $10^*$  при давлении на трехмерном нерегулярном волнении в Северной Атлантике.

Условно предполагая, что наибольший волновой крутящий момент на мизеле создается смещением от ДП центра величины поперечного судна к одному борту на величину  $\Delta B$  и такой же его смещением к противоположному борту для другой половины судна, и считая, что водонамещение каждой половины судна одинаково, т. е. равно  $0,5D$ , получаем  $M_{\Delta B} = 0,5D\Delta B$  или  $\alpha = M_{\Delta B}/0,5D\Delta B$ . С использованием крутящих моментов, вычисленных по формуле Абрахамсека, найдем значения коэффициентов  $\alpha$ , приведенные в последней строке табл. 30. Для указанных

Таблица 30

Сравнение крутящих моментов, полученных по разным формулам

Характеристики	Судно							Положение центра кручения
	A	B	C	D	E	F	G	
Японские суда:	213,6	205,7	200	173	167,4	185,1	177,1	—
	30,5	28,35	28,7	27,5	26,76	27,77	27,5	—
	16,45	15,81	15,5	15,5	15,4	14,33	15,5	—
	0,15	0,148	0,147	0,15	0,15	0,15	0,15	—
	0,15	0,148	0,147	0,15	0,15	0,15	0,15	—
20,20	40-900	20,200	23,830	44,500	28,300	37,200	—	
Крутящие моменты:	16,700	16,700	17,600	10,300	20,800	12,300	17,400	Теоретическое
	14,500	14,500	14,900	8,600	18,400	10,500	15,200	Промежуточное
	12,300	12,300	12,300	7,000	14,900	8,200	13,000	На киле
	16,700	16,700	17,600	11,200	22,400	10,600	17,700	Теоретическое
	13,100	13,100	13,100	6,900	21,600	7,800	13,700	Промежуточное
9,400	9,400	8,700	5,500	12,700	5,600	9,600	На киле	
14,800	14,800	16,000	9,100	20,400	7,400	11,000	Теоретическое	
20,400	20,400	18,200	10,800	23,000	8,400	13,100	Промежуточное	
31,500	31,500	11,100	6,200	13,500	7,700	12,300	На киле	
18,100	18,100	17,200	9,800	22,800	11,400	17,800	Теоретическое	
0,0005	0,0008	0,0006	0,0006	0,0006	0,0004	0,0013	0,001	

в таблице судов значения  $\alpha$  назначаются примерно от 0,031 до 0,036 при среднем значении 0,034. Приняв его, имеем формулу для крутящего момента:

$$M_{\text{кр}} \approx 0,017 D B^2 = 0,017 \cdot 36^2 L T. \quad (1.167a)$$

Эта формула дает такие же значения крутящих моментов, как и формула Абрахамсена (1.161), с погрешностью меньше  $\pm 10\%$ .

В дополнение к сказанному выше отметим, что интересные данные о крутящих моментах имеются в работах Л. Б. Винокура (см.: Исследование скручивающих моментов естественных мотейеровосов с использованием ЭВМ. — «Труды ДВПИ», вып. 93, 1973 и автореферат диссертации «Исследование внешних сил, действующих на корпус судна при скручивании», Дальневосточный ордена Трудового Красного Знамени политехнический институт им. В. В. Куйбышева, 1974).

## Глава 7. СЛЕМИНГ

## § 22. Общая характеристика динцевого и бортового слеминга

**Виды слеминга.** При килевой и вертикальной качке судна на изолированной поверхности моря погружение в воду отдельных участков корпуса судна все время меняется. Значительная килевая качка может привести к тому, что некоторая часть носовой оконечности корпуса будет оголена. При обратном движении вниз нос судна будет входить в движущуюся на встречу ему волну. Если при этом относительная скорость встречи окажется достаточно большой и если днище судна имеет значительный плоский участок, то может произойти гидравлический удар, сопровождающийся резким увеличением давления воды на днище (за время около 0,1 с). Такое явление называют *дымряем слемингом*, или просто *слемингом*. При слеминге часто раздается громкий звук, напоминающий оружейный выстрел. Предварительный выход из воды части носовой оконечности корпуса является необходимым условием появления динцевого слеминга. Одновременно с импульсным нарастанием давления на плоских участках днища носовой оконечности весь корпус судна содрогается и начинает вибрировать по форме изгибных двухузловых колебаний. Возникающие при этом высокочастотные (вибрационные, слеминговые) напряжения, часто называемые *импульсными напряжениями*, складываются на низкочастотные волновые напряжения. Они могут быть измерены в корпусе судна и, следовательно, служат признаком появления слеминга. Импульсные напряжения могут быть значительными, но они быстро затухают (примерно за время двух—трех циклов волновых напряжений).

Интенсивность динцевого slamming оказывается наибольшей при ходе судна поперечу волне, и она тем больше, чем сильнее волнение, чем ближе кажущийся период волнения к собственному периоду килевой качки судна и чем меньше осадка судна на такой воде у носового перпендикуляра. Если эта осадка больше 0,040—0,050 длины судна, то интенсивность slamming обычно оказывается небольшой. Она зависит также от формы обводов шпангоутов носовой оконечности судна и от продольного радиуса кривизны носовой части судна. На транспортных судах при малых осадках на тихой воде, особенно при балластном плавании, интенсивность slamming может быть настолько большой, что возникают повреждающая конструкция плоских или малокривизных участков дна в районе больших ударных давлений. Для избежания этих повреждений приходится или уменьшать скорость судна, или изменять его курс, или делать то и другое одновременно.

При сравнительно больших осадках, особенно при плавании с полным грузом, судно может угрожать чрезмерное заливание забортовой водой носовой части верхней палубы, опасное для надежности действия и даже для целостности калубовых устройств и, в частности, для закрытых грузовых люков. Интенсивность этого заливания, т. е. количество втекающей на палубу воды, толщина ее слоя на палубе тем больше, чем больше интенсивность волнения, скорость судна и погружение в воду носовой оконечности судна при килевой качке. Чрезмерность заливания палубы тоже может привести к необходимости уменьшения скорости судна и изменения его курса.

Погружение кормовой оконечности судна, плавającego на морском волнении, также оказывается переменным во времени. Однако в наиболее неблагоприятных случаях плавания с малыми осадками погружение в воду кормовой оконечности всегда значительно больше, чем носовой, из-за наличия дифферента на корму, необходимого для обеспечения удовлетворительной работы винта. Поэтому выход из воды кормовой оконечности меньше, чем носовой, и обычно ограничен той частью ее длины от кормового перпендикуляра, на которой нет сколько-нибудь значительных плоских участков дна. В связи с этим наличие динцевого slamming кормовой оконечности почти совсем не происходит для интенсивность его настолько мала, что не привлекает внимания кораблестроителей. Однако при вертикальной и килевой качке судна на волнении уязвимы в отношении slamming оказываются гребной винт, особенно в условиях балластного плавания. При значительном и внезапном обложении винта крутящий момент гребного вала быстро падает, двигатель резко увеличивает частоту вращения, винтовая работает «вырывается», и механика вынуждена уменьшать частоту вращения, т. е. уменьшить скорость судна. Иногда такое уменьшение скорости судна и цолах обеспечения исправности двигателя механик произво-

дит раньше, чем найдет необходимым такое уменьшение вращения, но избежание повреждений корпуса от slamming.

Вышеказанное относится к грузовым судам, имеющим небольшую скорость и сравнительно полные обводы корпуса. Быстроходные пассажирские суда и военные корабли обычно имеют гораздо более острые обводы корпуса, значительно большую килеватость обводов цангитов носовой оконечности, и осадки их сравнительно мало отличаются от проектных. Отделение их носовых оконечностей сравнительно меньше, чем на грузовых судах при балластном плавании, и чаще всего ограничивается районами дна, на которых обычно нет значительных горизонтально-плоских участков. Поэтому у этих судов сравнительно реже наблюдается значительное повышение гидродинамического давления на динце, т. е. интенсивность динцевого slamming у них оказывается в среднем меньшей. Тем не менее и на этих судах имеются повреждения от ударов о волны.

На быстроходных судах, имеющих значительный развал бортов носовой оконечности, возможно бортовое slamming, часто называемый в английской и американской судостроительной литературе *slowdown*. Он происходит тогда, когда носовая оконечность с развалом бортов на волнении погружается в воду при относительно большой поступательной скорости судна. В этих случаях гидродинамическое давление на носовую оконечность в районе развала шпангоутов бортов может значительно превысить гидростатическое давление, причем скорость нарастающего давления на борт может быть высокой, что придает этому воздействию ударный характер. Интенсивность этого ударного давления, как правило, значительно меньше, чем при динцевом slamming на грузовых судах, но оно, действуя на большую поверхность бортов, может создавать значительную ударную силу, вызывающую общую вибрацию корпуса и большие изгибающие напряжения.

Характерной особенностью бортового slamming (*slowdown*) является то, что его появление не связано с предварительным выходом из воды носовой оконечности.

Характеристика бортового slamming быстроходных судов. В качестве примера приведем некоторые данные о бортовом slamming, полученные при испытании в море голландских миноносцев S (103×10,9×6,2×3,9 м), A (108×11,3×6,4×3,9 м) и B (112×11,8×6,6×4,0 м) [73, 99]. Наиболее тяжелое нерегулярное волнение при испытании характеризовалось максимальной длиной волны, равной 180 м, и наибольшей высотой волны 3,65 м (средняя  $1/10$  наиболее высокой волны). При ходе миноносцев разрез волнам со скоростью 17 уз на этом волнении средняя из  $1/10$  наибольших амплитуд килевой качки была равна 3,5—4°. Заметим попутно, что при модельных испытаниях этих же судов [99, 102] на нерегулярном волнении со средней

высотой, равной  $L/32$ , даже при нулевой скорости средняя амплитуда килевой качки была равна  $2,6^\circ$ . Этому соответствует максимальная амплитуда  $9^\circ$  и максимальная амплитуда вертикальных колебаний носового перпендикуляра почти 9 м, тогда как высота надводного борта у носового перпендикуляра равна всего лишь 4,5 м. Следовательно, для этих манювсов волнение при испытании с высотой волны, равной  $1/32$  их длины, является очень тяжелым.

Наибольшие бортовые давления в 50% всех замеров были меньше  $0,7 \text{ кгс/см}^2$  и в 80% всех замеров — меньше  $1,75 \text{ кгс/см}^2$ . Только в 10% замеров они были больше  $2,8 \text{ кгс/см}^2$  и в 5% — больше  $3,5 \text{ кгс/см}^2$ . Максимальные давления были: для судна S —  $2,1 \text{ кгс/см}^2$ , для судна A —  $3,5 \text{ кгс/см}^2$  и для судна B —  $7 \text{ кгс/см}^2$ . Наиболее тяжелый удар судно B получило только 1 раз при скорости 25 уз, когда оно встретило последовательные большие волны, подходящие к борту с носа под углом  $10^\circ$ . Ударные давления  $7 \text{ кгс/см}^2$  были зарегистрированы только в сечении судна, отстоящем от носового перпендикуляра на расстоянии  $0,26L$ . Все остальные наибольшие значения давлений записались в сечениях, находящихся на расстояниях от носового перпендикуляра, равных  $0,05L$ ,  $0,054L$ , и  $0,096L$  соответственно для судов A, B и S. Средняя продолжительность удара (время нарастания до максимума и затем спада) была равна  $0,02 \text{ с}$ .

В работе [73] приводится сопоставление замеренных ударных давлений на судне B с теоретическими расчетами по методу, приведенному в работе [113]. В расчете определялись значения ударных давлений при плавании на регулярных волнах длиной, равной  $\lambda=1,5L$  и  $\lambda=L$ , и разной крутизне  $h/\lambda$  при скорости судна 25 уз, для семени, отстоящего от носового перпендикуляра на расстоянии  $0,192L$ . Для этого сечения при той же скорости на судне B были замерены наибольшие давления  $3,1 \text{ кгс/см}^2$ ; расчетные же значения оказались следующими:

при $\lambda=1,5L$					
крутизна волны	1/30	1/26,7	1/20	1/17,5	1/15
давление, $\text{кгс/см}^2$	0,82	1,04	1,64	1,27	2,07
при $\lambda=L$					
крутизна волны	1/30	1/20	1/15		
давление, $\text{кгс/см}^2$	1,08	2,25	3,39		

Видно, что наилучшее согласование расчетных и замеренных давлений соответствует длине волны, равной длине судна, и крутизне  $1/16$ .

На рис. 63 показаны кривые отношений числа оголений носовой оконечности и числа ударов к числу циклов килевой качки. Видно, что наибольшее количество оголений для всех судов, кроме судна B при скорости 17 уз, происходило при носовых курсовых углах, а наибольшее число ударов во всех случаях имело место при встречном волнении. Это означает, что

для бортовых ударов нет прямой зависимости между оголениями носовой оконечности и ударами. Если длинной слеминг происходит, как правило, только в тех циклах килевой качки, в которых оголяется носовая часть динца, то для бортового слеминга это условие не является обязательным.

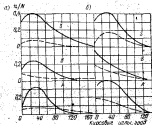


Рис. 63. Отношения числа оголений носовой оконечности к числу ударов к числу циклов  $q/M$  килевой качки при испытании голландских манювсов: а — при скорости 12 уз; б — при скорости 17 уз. — — — — — удары; — — — — — оголения.

Как видно из табл. 31 [99, 145], бортовой слеминг часто происходит без оголения динца, причем сила удара тоже не зависит от того, было ли оголение. Табл. 31 относится к более ранним (1957) испытаниям голландских манювсов P и Q. Видно, что при значительных ударах в условиях сильного волнения наибольшие значения амплитудных напряжений могут не

Таблица 31

Максимальные напряжения в корпусах манювсов

Судно	Величина амплитуды волнения $h/\lambda$ , %	Величина напряжения $\sigma_{\text{max}}$ , $\text{кгс/см}^2$	$\sigma_{\text{max}}/q$ , %	Был ли оголен динца
P	300	675	0,30	Да
	180	750	0,25	Нет
	550	665	0,35	Да
	585	685	0,42	Нет
	700	745	1,06	*
	285	890	0,22	*
	300	1030	0,29	*
Q	220	705	0,28	*
	335	920	0,30	Да
	620	675	0,95	Нет
	360	635	0,57	Да

только оказаться близкими к значению волновых напряжений, но даже несколько их превышать.

При испытанных отношениях А, В и S на тяжелом волнении отношения средних значений винтовых напряжений к волновым составным (в процентах):

Скорость судна, уз	15	17
Судно А	30—35	40—45
Судно В	25—30	—
Судно С	30—40	50—60

**Характеристики днищевое слеминга.** Хотя нельзя забывать о винтовых напряжениях, возникающих при слеминге грузовых судов, но все же при практическом инженерном расчете прочности судовых конструкций кораблестроители в первую очередь интересуются теми местами наибольшей усиления, которые могут возникнуть при слеминге и которые, как показывает опыт эксплуатации судов, могут повредить и даже разрушить конструкции днища в носовой оконечности судна.

Первое упоминание о необходимости подкрепления днища носовой оконечности в Правилах Регистратора Судоходства Ллойд относится к 1899 г. Однако термин «слеминг» появился значительно позже. Сначала днищевое слеминг, в отличие от бортового леминга («дышащая» бортов, или их попеременное колебательное прогибание то внутрь, то наружу под влиянием переменных давлений воды), назывался «другим родом леминга». Так, А. Холмс в своей хорошо известной кораблестроительной того времени книге «Практическое судостроение» (1914) дал описание повреждений корпуса от ударов волн и перечен требований в Правилах Регистратора Судоходства Ллойд к подкреплению корпусных конструкций в носовой оконечности. Это описание очень напоминает картину повреждений от слеминга на современных судах. По-видимому, проблема днищевое слеминга так же стара, как и история стального судостроения. Уже в начале нашего века достаточно правильно были поняты физические основы возникновения слеминга, установлена качественная связь между силой слеминга, носовой осадкой судна и формой обводов носовой оконечности. В отличие от современных представлений, тогда и еще много позже ударные нагрузки от слеминга не связывались с влиянием их на обшивку игуб судна. Почти до 60-х гг. не было каких-нибудь количественных оценок связи интенсивности слеминга с осадкой, формой обводов носовой оконечности, с интенсивностью волнения и скоростью судна. Это нашло отражение в требованиях Правил классификационных обществ к слеминговым подкреплениям корпуса. Конструкция этих подкреплений уже неоднократно обсуждалась [53, 100, 119, 149] и изменялась, причем все время в сторону ее усиления. История изменения требований Правил постройки к подкреплению носовой оконечности является характерным отражением того эволюционного подхода к проектированию конструкций морских

транспортных судов, который до последнего времени был главным в методике этого проектирования и который еще и в настоящее время в значительной мере сохраняется.

С развитием судостроения требования к подкреплению конструкций днища в носовой оконечности становятся все более жесткими. При этом кораблестроители не имеют определенных количественных зависимостей между интенсивностью слеминга и прочностью, от которых он зависит, вынужденными были идти эмпирическим путем, начиная требуемые подкрепления сначала интуитивно, «на глаз», исходя из опыта повреждений конструкций в прошлом, и затем проверяя эффективность этих требований последующим анализом поведения подкреплённых конструкций. Опыт показывает, что, как правило, каждый раз подкрепления оказывались недостаточными и требовались их дальнейшее усиление. Это происходило не потому, что подвода интуиции, а из-за увеличения интенсивности самого слеминга вследствие уменьшения балластных осадок судна, роста их скорости на сильном волнении.

Иллюстрацией сказанного можно служить краткий перечень повреждений днищевых конструкций носовой оконечности отечественных и зарубежных судов.

1. Теплоход «Глеб Успенский» ( $L \times B \times H \times T = 89,6 \times 13,6 \times 18,2 \times 5,7$  м; год постройки 1951) при плавании в Балтийском море в 1959 по 1960 г. получил тяжелые повреждения от слеминга. В пределах осеми шпангоут 1-го трюма настила внутреннего для юмте с флорам, вертикальным килем и днищевыми стрингерами выгнулись внутрь корпуса с наибольшей стрелкой прогиба около 140 мм и с пьюзо разрывами длиной 75—100 мм каждый в листах настила в местах приварки их к флорам. Вертикальный киль в двух местах был разорван. Наружная обшивка и несущий внутренний для на большой площади в районе повреждений был оторван от флор, которые изогнулись в нос и корму на 60—100 мм. Наружная обшивка, кроме общего прогиба внутрь со стрелкой до 140 мм, имела также местные выпучины до 75 мм.

2. Теплоход «Орехов» ( $L \times B \times H \times T = 143,1 \times 21 \times 12,5 \times 8,5$  м; год постройки 1960) при плавании в Балтийском море в январе 1965 г. получил тяжелые повреждения днищевых конструкций от слеминга в районе 1-го и 2-го грузовых трюмов вплоть до сечения, отстоящего на расстоянии 0,33L от носового перпендикуляра.

3. Теплоход «Кашара» ( $L \times B \times H \times T = 96,8 \times 14,4 \times 7,9 \times 6,7$  м; год постройки 1962) при переходе Висмар—Баренбург с Балтийского при шторме 9 баллов получил значительные повреждения днища носовой оконечности, заключавшиеся в многочисленных трещинах в сварных швах и в гофрировании листов днища. При этом трюм № 1 был затоплен.

4. На теплоходе «Севзвезд» ( $L \times B \times H \times T = 106 \times 15,8 \times$

Х8,9х6,7 м; год постройки 1939) при очередном доковом осмотре корпуса судна были обнаружены следующие повреждения днища носовой оконечности в районе 1-го грузового трюма: трещина длиной 120 мм в лаге днищевой обшивки на заклепочному шву, соединяющему флор с обшивкой, ослабление заклепок, ослабление заклепочных швов и их течь в разных местах общей протяженностью 8 м.

5. Дикстер «Десятый» (регистрация восточности 977 рег. т. год постройки 1956) в феврале 1962 г. в рейсе из Полтавы в Одессу при неполной нагрузке в штормовую погоду получила повреждения от слеминга в предлах 1-го трюма в виде трещины и гофры днища, остаточные деформации переборок и палубы.

6. Х. Таунсенд, выступая в прениях по докладу М. Оси [114], сообщает, что с августа 1963 г. по июль 1964 г. и за 7 месяцев 1968 г. 100 судов получали повреждения днища носовой оконечности, главным образом при плавании в Северной Атлантике. Общая стоимость ремонта этих судов составила 1,93 млн. дол., или приблизительно по 19 300 дол. на каждое повреждение. Большинство этих судов получало повреждения при рейсах с грузом, в условиях сильной килевой качки. Повреждения подвергались преимущественно килевой зоне и поясью днищевой обшивки с обеих сторон от килля. Эти зоны имели заметные между флорами, растянувшиеся в поперечном сечении на несколько листов. В одном случае повреждение было настолько большим, что захватывало несколько листов килевого пояса и листы 3—4 прилегающих поясов правого и левого бортов. Отмечается, что особенно страдают суда с очень полными U-образными обводами носовой оконечности. Некоторые типы судов, например «Либберти», «Маршпер», сравнительно редко получают слеминговые повреждения. Суда с бульбонным носом мало повреждаются от слеминга.

7. Из другого сообщения Х. Таунсенда [139] выстает, что за 26 месяцев получала повреждения конструкций днища носовой оконечности 140 американских судов, стоимость их ремонта составила 3,08 млн. дол. Кроме того, были исследованы повреждения от слеминга днища носовой оконечности еще на 100 судах действом от 7000 до 14 000 т. Для 22 на их стоимость ремонта составляла в среднем по 22 000 дол. на каждое судно при среднем простое в ремонте по 4 сут.

8. Выступая в прениях по докладу [103], Х. Таунсенд сообщает, что при сильном волнении в 1970 г. одно из судов типа «Маршпер» ( $L \times B \times H \times T = 162 \times 23,2 \times 14 \times 8,2$  м) получило тяжелые повреждения от слеминга обшивки днища носовой оконечности; некоторые заметные имели глубину 100 мм. Стоимость ремонта повреждений равнялась 80 000 дол. При этом надо принять во внимание, что, как отмечалось выше, суда этого типа считаются хорошо переносящими слеминг.

Сосем недавно было обнаружено, что одно новое быстро-

ходное американское судно всего за несколько месяцев плавания в Северной Атлантике получало повреждения днища носовой оконечности, стоимость ремонта которых равна 160 000 дол.

9. Т. Левинсон [103] сообщает, что за 1967 г. 114 судов, имеющих класс Английского Lloyd's, получали повреждения от слеминга днищевых конструкций носовой оконечности, причем ремонт повреждений только 32 судов стоил 250 000 фунт. стерлингов.

Приведенные данные о повреждениях от слеминга днища носовой оконечности морских судов свидетельствуют о достаточной массовости таких повреждений. Существующие в настоящее время эмпирические требования к подкреплениям конструкций в районе действия днищевых слемингов в различных классификационных Правилах постройки судов, во-первых, не идентичны, во-вторых, не гарантируют от повреждений конструкций при условиях провалах особо тяжелого слеминга. Они учитывают возможность избежать таких условий правильной балластировки судна при ходе без груза и предельным изменением скорости судна и курсового угла при управлении судном в море. Однако не всегда такая балластировка и такое управление судном в море в практике эксплуатации судов возможны, поэтому повреждения конструкций от слеминга продолжают беспокоить кораблестроителей. Выказывается также мнение, что прочность конструкций корпуса должна быть достаточной, чтобы не ограничивать возможно полное использование энергетических ресурсов судна при форсировании им морского волнения.

Отмечая массовость местных повреждений днищевых конструкций, следует обратить внимание на отсутствие зачет-либо конкретных данных о повреждениях основных связей в средней части морских транспортных судов, вызванных общим нагибом под действием ударного изгибающего момента, возникающего одновременно с импульсным ударом (слемингом) в днище носовой оконечности судна. Ударные (или вибрирующие) напряжения, по имеющимся данным, могут достигать на морских транспортных судах значений, равных и даже несколько больших 0,35—0,40 наибольших напряжений от волнового вертикального изгибающего момента, т. е. значений, которых нельзя не учитывать при суждениях об общей прочности и надежности корпуса транспортных судов. Отсутствие же сведений о повреждениях конструкций этих судов от вибрирующих напряжений может объясняться либо тем, что запасы общей прочности достаточны для восприятия этих напряжений, в явной форме не учитываемых в обычных расчетах общей прочности, либо тем, что действительные максимальные вибрирующие напряжения не совпадают во времени с действиями наибольших напряжений, учитываемых в расчете и порождаемых изгибом на тихой воде и волновыми вертикальными изгибающим моментом.

Экспериментальные исследования слеминга на моделях является практически самым важным средством изучения этого сложного явления. Число таких исследований более широко, чем число модельных испытаний с целью изучения волновых нагрузок. Из них наиболее полными и обстоятельными являются исследования М. Оси, выполненные как на регулярном [114], так и на нерегулярном волнении [113].

На регулярном волнении были испытаны две латунные модели грузового однопалубного судна действом 10 500 т ( $L \times B \times H \times T = 132 \times 19,2 \times 11,7 \times 7,8$  м), масштаб моделей 1/22. Модели отличались только, тем, что у одной из них шпангоуты носовой оконечности имели U-образные обводы, а у другой — V-образные.

При экспериментальном исследовании реакции судна на динамические нагрузки, конечно, желательно, чтобы конструкция модели была динамически подобна конструкции действительного судна. В соответствии с этим предпочтительно, чтобы и осадки конструктивные связи модели (палуба, наружная обшивка, вертикальный киль, дашевые стрингеры, продольные уголки, флоры, шпангоуты, бимсы) также были подобны соответствующим связям реального судна. Шпангоуты и бимсы модели были несколько больше по своим размерам и имели несколько большую шпанку, чем это требовалось в соответствии с масштабом модели. Большинство соединений в модели были клепаными, но некоторые паяными. Латунные листы имели модуль нормальной упругости  $E = 10740$  кгс/см<sup>2</sup>, временное сопротивление, равное 38,2 кгс/см<sup>2</sup>, а в пределах экспериментальных нагрузок следовало закону Гука. Важным фактором динамического подобия является частота свободных колебаний 1-го тона, значения которой (число циклов в секунду) были следующими:

Осадка в покое      Осадка с балластом

Модель (замеренная) . . . . .	10,7	15,1
Судно (расчетная) . . . . .	1,0	2,8
Судно (приведенная к масштабу модели) . . . . .	9,0	13,2

Видно, что частота моделирована достаточно корректно, следовательно, модель приближенно динамически подобна корпусу судна.

Модели были самоходными и свободно могли совершать килевую, вертикальную и продольно-горизонтальную качку. При экспериментах измерялись ускорения, давления на днище, напряжения от общего изгиба. Акселерометр для измерения ускорений был установлен на палубе вблизи от носового перпендикуляра. Датчики давления были размещены на горизонтальном киле в девяти сечениях, отстоящих от носового перпендикуляра

на расстояниях  $(0,053—0,82)L$ . В первых четырех сечениях датчики давления располагались еще в нескольких точках по обводу сечения. По 13 датчиков напряжений было установлено по палубному стрингеру и по горизонтальному киле для получения правильной картины распределения этих напряжений по длине судна.

Производились три серии исследований, включающие: исследование влияния длины волны при отношениях  $\lambda/L$ , равных 0,75; 1,0; 1,17 и 1,33 (при постоянной высоте волны, равной  $L/30$ ; постоянной средней осадке, равной  $L/30$ , и осадке носом, равной  $0,02L$ ; при скоростях судна, соответствующих числам Фруда от 0 до 0,32);

исследование влияния высоты волны при отношениях  $h/L$ , равных  $1/2$ ;  $1/3$ ;  $1/4$ ;  $1/5$ ;  $1/6$  и  $1/8$ . В этом случае испытания производились при характерных для слеминга скоростях, при постоянной длине волны, равной длине модели ( $\lambda = L$ ), при постоянной средней осадке, равной  $L/30$ , и осадке носом, равной  $0,02L$ ;

исследовании влияния осадки. В этой серии постоянными оставались  $\lambda = L$ ,  $h = L/30$ , относительные скорости модели менялись от  $Fr = 0$  до  $Fr = 0,38$ ; осадки же были следующими: средняя 20 см ( $L/30$ ), носом 12 см ( $0,02L$ ); средняя 25 см ( $L/24$ ), носом 21 см ( $0,035L$ ); средняя 30 см ( $L/20$ ), носом 29 см ( $0,048L$ ); средняя 35,5 см ( $L/16,9$ ), соответствующая максимальной дифферент равен нулю.

Результаты этих испытаний представляли интерес главным образом в качестве иллюстрации влияния основных факторов, определяющих явление слеминга. Они относятся к ударным давлениям и ударным (винтовыми) напряжениям и будут рассмотрены ниже.

На нерегулярном волнении была испытана самоходная модель (в масштабе 1:41,6) грузового судна «Маринер» ( $L = 162$  м,  $B = 23$  м,  $H = 10,8$  м,  $T = 9,1$  м,  $\delta = 0,524$ ,  $\alpha = 0,745$ ).

Испытание проводилось при следующих нагрузках: легкой (с балластом), соответствующей 40% водоизмещения судна;

умеренной, при 70% водоизмещения судна;

полной, соответствующей 100% водоизмещения.

Условия дуэмерного (длинногребневого) нерегулярного волнения были следующие: волнение 6, соответствующие скорости ветра 27 уз; «ликое 7» при скорости ветра 35 уз; «умеренное 7» при скорости ветра 39 уз; «слабое 7» при скорости ветра 41 уз; волнение 8 при скорости ветра 46 уз.

Приведенная здесь терминология определения условий нагрузке и состава волнения применяется дальше при рассмотрении работы [113].

Результаты испытаний килки модели анализировались на базе спектральной теории волнения и выходных процессов.

Поскольку такой метод анализа принципиально применим только к линейным системам, то требовалась специальная проверка, в какой мере динамическая система — корпус судна может считаться линейной в условиях ослепления днища и заливания палубы при сильной качке судна на вторичном нерегулярном волнении, когда днище судна подвергается избыточным ударам. Такая проверка подтвердила полную возможность применения указанного метода анализа движения судна при слеминге и, в частности, показала, что распределение дюбных амплитуд (размахов) качки подчиняется закону Релея при всех состояниях волнения и условиях нагружения судна.

Из анализа результатов модельных испытаний в работе [113] сделаны следующие выводы.

1. Амплитуды килевой качки максимальны при движении судна навстречу волнам (курсовой угол равен нулю) и уменьшаются с увеличением курсового угла. Например, при курсовом угле  $45^\circ$  амплитуда килевой качки равна 80% ее величины при ходе навстречу волне и затем быстро уменьшается при курсовых углах, больших  $45^\circ$ . Напротив, вертикальная качка увеличивается с ростом курсового угла: при курсовых углах  $45^\circ$  и  $90^\circ$  вертикальная качка соответственно больше на 15 и 40%, чем при ходе судна взрез волнам.

2. Ускорения носовой оконечности, вертикальная и килевая качка на нерегулярном волнении мало зависят от загрузки судна (от его осадки), однако несколько увеличиваются с ростом осадки.

Если при большой осадке судна как частота, так и средняя интенсивность слеминга много меньше, чем при легкой осадке, то это объясняется преобладающим влиянием на амплитуду килевой и вертикальной качки, а уменьшении частоты выхода из воды носовой части днища при большой осадке.

3. Слеминг без выхода из воды носовой части днища ни разу не наблюдался за время испытаний, хотя было зарегистрировано 10 000 циклов колебаний судна в различных сочетаниях состояний волнения, загрузки судна, скоростей судна и курсовых углов. С другой стороны, во многих случаях не было отмечено заметного слеминга, несмотря на то, что носовая часть днища выходила из воды. Поэтому был сделан вывод, что выход из воды носовой оконечности является необходимым, но не достаточным условием слеминга.

4. Протяженность зоны удара, характеризуемая показаниями датчиков давления в различных сечениях, зависит от ряда факторов. Если давление регистрируется только в районе нижней части форштевня, то замедления движения, ни создавая всего корпуса не происходит, так как ширина плоского днища вблизи форштевня слишком мала, чтобы создалась достаточно большая сила удара. Однако всякий раз, когда зона действия ударных давлений простирается до сечения, расположенного на 0,1L от

носового перпендикуляра, обязательно фиксируется уменьшение ускорения вертикального движения носа судна. В связи с этим регистрация ударного давления на днище в сечении, отстоящем на 0,1L от носового перпендикуляра, считалась признаком наличия слеминга.

5. Вероятность слеминга характеризуется отношением числа появлений слеминга к числу встречных за достаточно большой период времени волн (число волн должно быть равно примерно 200, чему соответствует 30-минутное наблюдение слеминга).

На рис. 64 показаны графики влияния на вероятность слеминга скорости судна и состояния нерегулярного волнения (в условиях появления наибольшей интенсивности слеминга — при легкой осадке судна и при ходе его навстречу преобладающему направлению волнения). Видно, например, что судно «Маринер» при волнении 5 вовсе не испытывает слеминга даже при балластной осадке и скорости 20 уз и испытывает лишь редкий слеминг при волнении 6. При волнении 7 это судно при балластной осадке довольно часто подвергается слемингу, и эта частота увеличивается с ростом скорости судна. При состоянии волнения «умеренное 7» это судно даже при отсутствии хода испытывает 1 удар на каждые 10—12 встречных волн. Если на таком волнении это судно, при легкой осадке будет идти со скоростью 15 уз, то будут происходить удары на каждой второй волне.

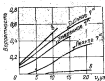


Рис. 64. Вероятность появления слеминга при ходе судна в балластной осадке навстречу волнам (отношение  $V/V_w$ ).

6. Вероятность слеминга различна для разных сечений судна; как видно из рис. 65, она уменьшается по мере удаления сечения от носового перпендикуляра. Ударные давления могут действовать при состоянии моря «слабое 7» даже при малой скорости хода в сечении, отстоящем от носового перпендикуляра на расстоянии 0,25L.

Надо отметить, что хотя более часто ударное давление приходится на сечение, отстоящее от носового перпендикуляра на расстоянии 0,1L, чем на другие сечения, расположенные дальше и корму, однако это не значит, что само давление обязательно больше, чем в других местах. Предельное относилось только к появлению ударов, а не к их интенсивности.

7. Вероятность слеминга уменьшается при увеличении курсового угла (рис. 66). При курсовом угле  $35^\circ$  вероятность слеминга уменьшается на 30% по сравнению с движением судна навстречу волнению. Интересно отметить, что при

положении судна лавгом к волнению (курсовой угол  $90^\circ$ ) вовсе не наблюдалось сдвига даже при более сильном волнении, чем «умеренное  $T_0$ », и при скорости судна больше 10 уз.

А интенсивность сдвига растет с увеличением силы волнения, с уменьшением осадки судна и с увеличением до некоторого предела скорости судна. Было найдено, что перемещения и скорости относительного движения волном к носу судна являются наиболее важными факторами, определяющими характерные особенности сдвига. В частности, было установлено, что сдвиг не происходит, пока относительная скорость не превышает некоторого «порогового» значения. Эта «пороговая ско-

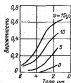


Рис. 65. Вероятность появления сдвига в результате относительного движения судна [при волне «умеренное  $T_0$ », волнение «обычное  $T_0$ »].

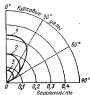


Рис. 66. Вероятность появления сдвига при различных курсовых углах (волнение «умеренное  $T_0$ », скорость судна 10 уз).

1 — лавга; 2 — средина; 3 — корма.

рость» для судна «Маринер» оказалась равной 3,65 м/с, а для других судов вычисляется по формуле

$$v_{\text{пор}} = 0,093 \sqrt{g L}, \quad (2.1)$$

где  $g$  — ускорение силы тяжести.

9. Вероятность выхода из воды днища носовой части судна определяется выражением

$$P_{\text{вых}} = \exp\left(-\frac{T_0^2}{R^2}\right), \quad (2.2)$$

где  $T_0$  — осадка носом;  $R$  — удвоенная дисперсия перемещений в вертикальном движении носа судна относительно воды. Эта дисперсия может быть определена по площади спектра процесса относительного движения или непосредственно при модельном испытании на регулярном волнении. Очевидно, что  $R = 2\sigma^2$ , где  $\sigma$  — стандарт относительного перемещения рассматриваемого сечения.

Было также установлено, что вероятность превышения «пороговой скорости» может определяться по формуле:

$$P(v > v_{\text{пор}}) = \exp\left(-\frac{v_{\text{пор}}^2}{R_0}\right), \quad (2.3)$$

где  $R_0$  — удвоенная дисперсия относительной скорости. Она может быть определена аналогично  $R$ . Очевидно, что  $R_0 = 2\sigma_v^2$ , где  $\sigma_v$  — стандарт относительной скорости сечения.

Так как возможность появления сдвига обусловлена одновременным появлением двух статистически независимых случайных событий: оголения днища носовой оконечности и превышения «пороговой скорости», то вероятность сдвига определяется произведением вероятностей этих событий:

$$P_{\text{сдв}} = \exp\left[-\left(\frac{T_0^2}{2\sigma^2} + \frac{v_{\text{пор}}^2}{2\sigma_v^2}\right)\right]. \quad (2.4)$$

Число ударов в секунду

$$N_s = \frac{1}{2\pi} \frac{v_{\text{пор}}}{v_r} \exp\left[-\left(\frac{T_0^2}{2\sigma^2} + \frac{v_{\text{пор}}^2}{2\sigma_v^2}\right)\right]. \quad (2.5)$$

Плотность вероятности интервалов времени  $\tau$  между последовательными ударами

$$f(\tau) = N_s e^{-N_s \tau} \quad \text{при } \tau \geq \tau^*, \quad (2.6)$$

где  $\tau^*$  — минимальный интервал времени между двумя последовательными ударами, равный периоду свободных колебаний при килевой качке судна.

10. Из анализа данных о зарегистрированных ударах за 30-минутное балластное плавание судна «Маринер» на волнении «сильное  $T_0$ » со скоростью 10 уз при курсовом угле  $0^\circ$  было установлено:

— составляющие данное волнение волны длиной менее 0,7L и более 2,5L практически не вызывают сдвига;

— почти все волны длиной от 0,75L до 2,25L и высотой, равной и большей  $1/10 L$ , вызывают сдвиг. Интересно отметить, что волны высотой, больше  $1/10$  их длины, всегда вызывают сдвиг, независимо от их длины, и что в этом случае зона действия сдвига распространяется до сечения 0,25L от носовой перпендикуляра (такой сдвиг считается сильным) или еще дальше в корму (такой сдвиг считается очень сильным);

— минимальная высота волны, вызывающей сдвиг, равна  $1/10$  длины волны. Это полностью согласуется с полученным результатом исследования сдвига на регулярном волнении;

— из 84 ударов, зарегистрированных для данных условий плавания, приблизительно 10% приходится на волны, высота которых

была равна или меньше  $1/10$  их длины, и во всех этих случаях слеминг был умеренным, т. е. зона его действия по длине судна не распространялась дальше сечения 0,15L от НП. На волны высотой от  $1/10$  до  $1/5$  их длины приходилось 22 удара (~25% от их общего числа), причем 13 из них были сильными и 9 умеренными. На волны высотой от  $1/5$  до  $1/3$  их длины приходилось 44 удара (~50% их общего числа), из которых 9 было очень сильных, 28 — сильных и 7 — умеренных. На волн высотой, равной и большей  $1/3$  их длины, приходилось около 16% всех ударов, причем все они были сильными.

11. Все рассмотренные выше результаты относятся к двумерному нерегулярному волнению. Хотя оценка значений трехмерности волнения на характеристиках слеминга является весьма актуальной, однако по техническим условиям при рассмотриваемом испытании оказалось невозможным создание в опытовом бассейне достаточного представительного трехмерного волнения. Пришлось ограничиться волнением, образованным системами волн только двух взаимно перпендикулярных направлений, одна из которых была волнением «умеренное 7», другая — волнением 6. При этом преобладающее направление волн составляло 30—35° с направлением волнения «умеренное 7». Курсовой угол модели составлял 25° с направлением волнения «умеренное 7». Следовательно, курсовой угол составлял 5—10° с преобладающим направлением. Скорость судна при испытании была равна 10 уз. Результаты испытания при этом двунаправленном волнении сравнивались с соответствующими результатами испытания при однонаправленном волнении «умеренное 7», и были сделаны следующие выводы:

основные статистические закономерности слеминга, полученные для двумерного волнения, сохраняются и для двунаправленного волнения. Например, формы гистограмм ударных давлений в обоих случаях являются совершенно подобными, а интервалы времени между последовательными ударами имеют тот же закон распределения вероятности;

при двунаправленном волнении интенсивность слеминга много меньше, чем в случае длиннорегневого волнения; частота появления слеминга при двунаправленном волнении (0,402) больше, чем при однонаправленном (0,333).

12. Вероятность задвигания палубы является функцией высоты борта судна и относительного движения волны и носовой оконечности судна:

$$P_{\text{зад}} = \sigma \frac{F}{R}, \quad (2.7)$$

где  $F$  — высота надводного борта у носового перпендикуляра. Вероятность задвигания значительно увеличивается при уменьшении надводного борта, т. е. с увеличением осадки судна. Например, при плавании судна «Маринер» кавитацию волнению

«умеренное 7» со скоростью 10 уз при полной осадке вероятности задвигания палубы оказалась равной 0,20, при осадке 0,7 от полной эта вероятность оказалась равной только 0,06, а при наибольшей осадке задвигания не было совсем. При увеличении курсового угла вероятность задвигания уменьшается, особенно при курсовых углах, больших 30°.

При плавании со скоростью 10 уз на волнении «умеренное 7» наибольшее давление на палубу от кавитирующей воды было равно 0,7 кгс/см<sup>2</sup> при полной осадке и 0,55 кгс/см<sup>2</sup> при осадке 0,7 от полной.

13. Другой интересной особенностью является волновой слеминг (slarpling — шлеплинг) в носовую часть борта судна, когда оно идет под некоторым углом к набегающим волнам. В этих условиях иногда возникают давления ударного типа. В этих условиях модели судна «Маринер» вероятность появления волнового слеминга была очень малой при скорости судна 10 уз на курсовых углах от 0 до 45° на волнении «умеренное 7». За 30 млн наблюдений лишь несколько ударов. Наибольшее ударное давление было зарегистрировано на грузовой якорной цепи в бортах 0,2L от носового перпендикуляра; оно оказалось равным 1,4 кгс/см<sup>2</sup> независимо от условий загрузки судна. Несколько выше у развала борта (на высоте 16 м над осевой линией), наибольшее ударное давление оказалось равным 0,5 кгс/см<sup>2</sup> в тех же условиях плавания.

Кроме волнового слеминга, некоторая сила, вызванная или вертикальным ударом воды, или внесенными быстрым изменением пластичности, иногда воздействовала на носовой развал борта и производила сотрясение корпуса, подобное сотрясению от слеминга. Различие между волновым слемингом и этим явлением заключается в том, что первый не связан с вертикальным движением судна, тогда как второй является результатом движения якоря носа судна. Этот вид удара может быть серьезным только для судов, имеющих очень большой развал бортов (например, такой, как у авианосцев).

## § 24. Определение статистических характеристик двидевого слеминга

Для практического использования формул (2.4) и (2.5) необходимо знать стандарт  $\sigma$  процесса относительных вертикальных перемещений волны и носа судна и стандарт  $\sigma_v$  процесса относительной скорости их действия на судно определенного аэродинамического волеения, заданного его энергетическим спектром. Значения этих стандартов могут быть определены экспериментально или расчетом.

Если при модельных испытаниях в опытовом бассейне на стационарном нерегулярном волнении сделано достаточно

большое (порядка 200) количество  $N$  замеров случайной величины  $x$  (относительных перемещений, относительных скоростей); то может быть определено среднее значение случайной величины:

$$\bar{x} = \frac{1}{N} \sum_{i=1}^N x_i$$

и ее дисперсия

$$D_x = \sigma_x^2 = \frac{1}{N} \sum_{i=1}^N (x_i - \bar{x})^2.$$

Считая корпус судна на нерегулярном волнении в условиях сложения линейной системой (это подтверждено данными работы [113]), на которую в качестве внешнего процесса действует нерегулярное волнение с заданным энергетическим спектром, и рассматривая в качестве внешнего процесса или относительные вертикальные перемещения волн и носа судна, или относительную скорость этого движения, можно, зная соответствующие амплитудно-частотные характеристики, построить расчетные спектры обоих рассматриваемых процессов. Как известно, площади спектров внешних процессов определяют их дисперсии. Отсюда была получена формула для стандарта любого выходного процесса:

$$\sigma_x = A_{23} a_x^{max} U_x(\epsilon_x),$$

где  $A_{23}$  — высота волны с обеспеченностью 3%, характеризующая заданное нерегулярное волнение;  $a_x^{max}$  — максимальная ордината амплитудно-частотной характеристики судна относительно данного процесса (в рассматриваемом случае это или  $a_x^{max}$  — для относительного вертикального перемещения, или  $a_x^{max}$  — для относительной скорости этого движения);  $U(x)$  — функция, зависящая только от формы амплитудно-частотной характеристики и коэффициента настройки

$$\epsilon_x = \frac{T_x^{max}}{T_{cp}}$$

где  $T_x^{max}$  — период, соответствующий максимальной ординате амплитудно-частотной характеристики процесса  $a_x^{max}$ , а  $T_{cp}$  — средний период волнения.

Исходя имеющихся данных о формах амплитудно-частотной характеристики относительного перемещения и относительной скорости, В. В. Коляжко нашел, что этим формам достаточно удовлетворительно соответствуют функции  $U(\epsilon_x)$ , графики которых изображены на рис. 67 (для курсового угла  $0^\circ$  и без учета трехмерности волнения).

Наибольшему значению функции  $U(\epsilon_x)$  соответствует наибольшее значение стандарта выходного процесса. Из рисунка видно, что максимум функции  $U(\epsilon_x)$  равен 0,125 и соответствует

коэффициенту настройки  $\frac{T_x^{max}}{T_{cp}} = 1,18$  как для относительного перемещения, так и для относительной скорости. Если средний период волнения, соответствующий максимуму функции  $U(\epsilon_x)$ , считать критическим и обозначать через  $T_{cp,кр}$ , то  $T_{cp,кр} = \frac{T_x^{max}}{1,18} = 0,857 T_x^{max}$ . Следовательно, наиболее опасным в отно-

шении длиннотного сегмента является нерегулярное волнение, средний период которого равен примерно 0,85 периода, соответствующего максимуму амплитудно-частотной характеристики.

Анализ имеющихся данных о максимальных значениях амплитудно-частотных характеристик относительных вертикальных перемещений волн и носа судна  $a_x^{max}$  и относительной скорости  $a_x^{max}$  показал, что эти максимумы

зависит главным образом от длины судна и его скорости, от отношений  $L/B$  и  $L/T$ ,  $\delta$ , форм обводов носовых шпангоутов, а также от продольного радиуса инерции масс судна. В первом приближении стандарты относительных перемещений и скорости можно определить по графикам рис. 68 и 69 в зависимости только от длины судна, его скорости и интенсивности волнения (при расчете этих графиков принималось, что  $L/B = 7$ ,  $\delta = 0,7$  и продольный радиус инерции масс судна равен  $0,24L$ ).

Для получения более точных значений максимальных ординат амплитудно-частотных характеристик относительных перемещений и скорости носовой оконечности, а также формы этих характеристик необходимо рассмотреть относительное движение корпуса судна и волнового профиля регулярных волн. При этом вертикальные, горизонтальные и вращательные движения корпуса судна необходимо определять в системе неподвижных координат  $(\xi, \zeta)$ , а геометрические характеристики положений точек корпуса — в системе подвижных, жестко связанных с корпусом координат  $x, z$  (рис. 70). Будем считать, что начало подвижной системы координат  $O$  расположено в центре тяжести судна и находится в плоскости миделя. В некоторый начальный момент

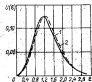


Рис. 67. График функции  $U(\epsilon)$  для относительных вертикальных перемещений и скорости.

1 — перемещение; 2 — скорость.

времени, когда судно находится на тихой воде без хода, начало неподвижной системы координат  $O_0$  совпадает с центром  $O$ , совпадают также и координатные оси. На волнении без хода судно совершает вертикальную и килевую качку, при которой центр тяжести судна и, следовательно, начало координат  $O$  совершает вертикальные колебания, то поднимаясь над точкой  $O_0$ , то опускаясь вниз от нее, а это время оси  $Ox$  и  $Oz$  совершают колеба-

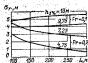


Рис. 68. Стандартные относительных вертикальных перемещений.

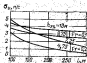


Рис. 69. Стандартные относительных скоростей.

ния вокруг горизонтальной поперечной оси, приблизительно проходящей через центр тяжести судна (в действительности эта ось проходит через центр тяжести площади действующей обшивки). Если судно движется по волнам с постоянной поступательной скоростью  $u$ , направленной вдоль оси  $Ox$ , то приблизительно (пренебрегая влиянием корпуса судна на структуру волны) можно считать, что вертикальные и вращательные перемещения

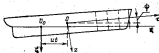


Рис. 70. Системы координат.

отдельных точек корпуса судна при вертикальной килевой качке остаются такими же, как и при отсутствии хода, но только с тем различием, что период этих колебаний не будет уже равным истинному периоду волн  $\tau$ , а станет равным периоду встречи с волнами, который называется кажущимся периодом

$$\tau_{\text{каж}} = \frac{\tau}{1 \pm u/c}$$

где  $c$  — скорость перемещения профиля волны. Знак плюс в знаменателе относится к ходу судна навстречу волнам, знак минус — к движению судна на попутных волнах.

Соответственно для кажущейся круговой частоты можно написать

$$\omega_{\text{каж}} = \omega \left( 1 \pm \frac{u}{c} \right).$$

При поступательном движении судна начало подвижной системы координат  $O$  перемещается в неподвижной системе координат со скоростью  $u$ . Поэтому, если при отсутствии хода, учитывая малую величину угла килевой качки  $\phi$ , можно считать  $\xi = x$ , то при наличии хода

$$\xi = u\tau + x,$$

где  $t$  — время движения точки  $O$  от точки  $O_0$ .

Однако горизонтальные перемещения корпуса судна не оказывают влияния на вертикальные перемещения шпангоутных сечений, которые только и необходимо здесь рассматривать, причем лишь для условий, соответствующих максимальным значениям вертикальных перемещений. Упомянув сказанное, примем, что в начальный момент времени  $t=0$  судно находится на положении волны, длина которой равна длине судна  $\lambda = L$ , и неподвижная система координат раскладывается так, что ось  $O_0\xi$  совпадает с уровнем тихой воды, а ось  $O_0\eta$  лежит в плоскости миделя и пересекает подошву волны. Вертикальные перемещения, направленные вниз, будем считать положительными, а волны косинусоидальными. Обозначим:

- $T_{\text{ос}}$  — осадка на тихой воде шпангоута, расположенного на расстоянии  $x$  в нос от миделя;
- $T_{\text{каж}}$  — осадка того же шпангоута на волне в момент времени  $t$ ;
- $\zeta_{\text{каж}}$  — вертикальное перемещение того же шпангоута относительно поверхности воды в момент времени  $t$ ;
- $\zeta_{\text{ос}}$  — ордината волновой поверхности;
- $\zeta$  — вертикальное перемещение центра тяжести судна (мидельного шпангоута) при вертикальной качке судна;
- $\phi$  — угол килевой качки судна.

Так как вертикальные перемещения какого-либо носового сечения (шпангоута), отстоящего на расстоянии  $x$  от миделя, относительно поверхности воды определяется разностью осадок этого сечения на волне и на тихой воде, то уравнения относительных вертикальных перемещений  $\zeta_{\text{каж}}$  и относительных скоростей  $\dot{\zeta}_{\text{каж}}$  имеют вид

$$\zeta_{\text{каж}} = T_{\text{каж}} - T_{\text{ос}} - \zeta + x\phi = \zeta_{\text{ос}} \quad (2.8)$$

$$\dot{\zeta}_{\text{каж}} = \dot{\zeta} + x\dot{\phi} - \dot{\zeta}_{\text{ос}} \quad (2.9)$$

где точками обозначены производные по времени  $t$ .

Уравнение (2.8) показывает, что в любой момент времени разность осадок сечения судна на волне и на тихой воде равна разности между вертикальным перемещением этого сечения от

вертикальной и килевой качки  $\zeta + x\theta$  и ординатой волновой поверхности  $\zeta_0$ .

В момент выхода из воды сечения  $T_{z0} = 0$ , и согласно (2.8) имеем

$$-T_{z0} = \zeta + x\theta - \zeta_0 \quad (2.10)$$

Уравнение (2.10) показывает, что сечение выходит из воды, когда разность между вертикальным (направленным вверх) перемещением сечения от килки и ординатой волны в том же сечении оказывается равной осадке этого сечения на такой воде.

В уравнениях (2.8) — (2.10) ордината волны длиной  $\lambda$  и высотой  $h$  равна

$$\zeta_0 = \frac{h}{2} \cos \left( \omega t + \frac{2\pi x}{\lambda} \right), \quad (2.11)$$

вертикальное перемещение центра тяжести судна (мидельового сечения) при вертикальной качке

$$\zeta = c_1 \cos(\omega_0 t + \epsilon_1), \quad (2.12)$$

угловое перемещение судна при килевой качке

$$\theta = c_2 \cos(\omega_0 t + \epsilon_2), \quad (2.13)$$

где  $c_1$  и  $c_2$  — амплитуды вертикальной и килевой качки;  $\epsilon_1$  и  $\epsilon_2$  — фазы вертикальной и килевой качки;  $\omega$  и  $\omega_0$  — истинная и кажущаяся частоты волны.

Е. А. Павлинов [41], используя полученные из уравнений качки аналитические выражения для определения амплитуд и фазовых углов, входящих в (2.12) и (2.13), и подставляя (2.11) — (2.13) в (2.8) и (2.9), получала при  $\lambda = L$  следующие приближенные формулы для относительных вертикальных перемещений и относительных скоростей:

$$\zeta_{rel} = T_{z1} - T_{z0} = \frac{h}{2} c_1 \cos(\omega_0 t + \epsilon), \quad (2.14)$$

$$v_{rel} = -\frac{h}{2} c_1 \omega \sin(\omega_0 t + \epsilon). \quad (2.15)$$

В работе [41] показано, что в формулах (2.14) и (2.15) значения коэффициентов  $c_1$  и углов сдвига  $\epsilon$  между волной и перемещением и скоростями сечений можно с достаточной точностью считать одинаковыми. Здесь же приведена таблица коэффициентов  $c_1$  для теоретических шпангоутов с 0-го по 5-й при их осадках на ровной киле, равных 0,047L, 0,035L и 0,028L, и при числах Фруда, равных 0, 0,1 и 0,2, в зависимости от коэффициентов полноты грузовой ватерлинии, равных 0,6; 0,7; 0,8 и 0,9. Эти коэффициенты вычислены приблизительно к так называемым «средним» судам, у которых коэффициенты общей полноты и полноты ватерлинии связаны известной эллиптической

зависимостью  $\delta = 1,54\alpha + 0,524$ , а продольный момент инерции масс судна можно определять по известной эллиптической формуле  $I_{x0} = 0,07 \frac{\alpha}{\delta} DL^3$ , что вполне допустимо для большинства транспортных судов (соответственно продольный радиус инерции  $r_{x0} = 0,023 \div 0,25L$ ).

Наложив отметить недостаточную обоснованность сделанного в работе [41] предположения о возможности при оценке сдвига момента ориентироваться на среднее значение продольного радиуса инерции масс, равное  $\sim 0,24L$ . Такое значение действительно часто считается средним для грузовых судов при полной их нагрузке, т. е. при их осадке по проекту грузовой ватерлинии. Условно же интенсивное движение селмита возникает для грузовых судов при плавании их с балластом с малыми средними осадками и с еще меньшими осадками носом, т. е. тогда, когда распределение масс по длине судна может быть существенно иным, чем при полном водоизмещении данного судна. Сколько-нибудь обстоятельных статистических данных о значениях продольного радиуса инерции для судов в балластном состоянии нагрузки не имеется. Но даже если бы и оказалось, что и в условиях балластного плавания среднее значение радиуса инерции близко к  $0,24L$ , то это никак не исключает возможность в ряде случаев значительного отклонения действительных его значений от среднего.

При вводе формул (2.14) и (2.15) корпус судна принимался произвольным, а ватерлиния параболическими; килка считалась линейной даже при оглобли корпуса судна.

В работе [41] выполняемо сопоставление вычисленных по приближенным формулам (2.14) и (2.15) значений с данными измерений этих же величин при модельных испытаниях танкеров «София», «Рихард Зорге» и сухогрузного судна «Левинский комсомолец», которое показало вполне удовлетворительную согласованность результатов расчета с данными эксперимента.

Хотя эти приближенные формулы подлежат дальнейшей проверке, их использование целесообразно для простого, хотя и приближенного определения относительных вертикальных перемещений и относительных скоростей носовых шпангоутов и условиях регулярного волнения. В табл. 32 приведены некоторые значения коэффициентов  $c_1$  в формулах (2.14) и (2.15), взятые из работы [41] и подвергнутые незначительному сглаживанию в соответствии с выводами, полученными в [41], о распределении по длине корпуса амплитуд относительных перемещений и скоростей шпангоутовых сечений по закону, близкому к линейному.

Рассмотрение этой таблицы показывает, что величина коэффициента полноты площади грузовой ватерлинии и ее коэффициент  $c_1$  величина и характер этого влияния неодинаковы для

Значения  $c_n$  в формулах (2.14) и (2.15)

Fr	Относительная глубина от 100 в длине $L$	в при $T=0,035L$			в при $T=0,05L$		
		0,7	0,8	0,9	0,7	0,8	0,9
0,10	0,00	2,87	2,79	2,75	2,87	2,89	2,53
	0,05	2,47	2,44	2,41	2,32	2,27	2,23
	0,10	2,11	2,00	2,04	1,87	1,86	1,82
	0,15	1,75	1,75	1,75	1,62	1,61	1,60
	0,20	1,38	1,41	1,43	1,28	1,29	1,30
0,25	1,03	1,07	1,10	0,95	0,97	0,99	
0,20	0,00	3,48	3,33	3,39	3,56	3,58	3,60
	0,05	3,45	3,30	3,34	3,12	3,20	3,24
	0,10	3,01	3,02	3,18	2,75	2,68	2,92
	0,15	2,57	2,66	2,75	2,35	2,45	2,55
	0,20	2,13	2,24	2,35	1,94	2,03	2,14
0,25	1,69	1,82	1,94	1,54	1,66	1,84	

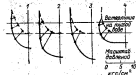
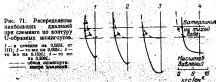
разных носовых сечений по длине судна: для носового перпендикуляра увеличению  $\alpha$  соответствует уменьшение  $c_n$ , а для осадки, отстоящего на расстоянии  $0,25L$  от носового перпендикуляра, увеличению  $\alpha$  соответствует увеличение  $c_n$ . Изменение средней осадки судна оказывает лишь небольшое влияние на величину  $c_n$ : при уменьшении этой осадки на 20% (от  $0,035L$  до  $0,028L$ ) коэффициенты  $c_n$  (следовательно, амплитуды относительных перемещений и относительных скоростей носовой) уменьшаются в пределах 5—10%. Если при увеличении осадки перемещения и скорости сечений уменьшаются, а интенсивность slamming, как известно из предыдущего, существенно увеличивается, то это может происходить только за счет значительного увеличения продолжности оголенной носовой части днища, или, другими словами, длины зоны удара. Увеличение длины этой зоны при уменьшении осадки всегда имеет место, оно сопровождается также ростом ширины плоской части днища, подвергшейся удару. Корневая граница зоны удара определяется тем шпангоутом сечения, для которого амплитуда вертикального перемещения относительно поверхности волны равна осадке этого сечения на такой воде, т. е. определяется равенством:

$$\frac{h}{2} c_n = T_{ос} \quad (2.16)$$

Следовательно, абсцисса точки пересечения графиков (прямых)  $\frac{h}{2} c_n = f(x)$  и  $T_{ос} = \varphi(x)$  определяет корневую границу зоны удара.

## § 25. Ударные давления

Ударные гидродинамические давления при slamming не только являются непосредственной нагрузкой на конструкции носовой оконечности, но их воздействие на корпус служит также причиной его общего динамического изгиба. Поэтому знание адекватного распределения по поверхности корпуса этих давлений необходимо для всесторонней характеристики slamming.



Результаты модельных испытаний. Описанные выше модельные испытания М. Очи выявили основные закономерности, которыми подчинены ударные давления при slamming.

Наибольшие давления при slamming не в регулярных волнах. На рис. 71 и 72 показаны распределения наибольших давлений, измеренных в высотах водного столба, соответствующих для моделей с U-образными и V-образными носовыми шпангоутами. Эти данные относятся к наиболее тяжелым при испытании условиям slamming, когда длина волны равна длине судна, наибольшая высота волны равна  $\frac{1}{2}L$  длины, осадка наименьшая (средняя  $0,035L$ , носовая  $0,0135L$ ) при наиболее опасных с точки зрения slamming относительных скоростях судна, составляющих  $Fr=0,285$  для U-образных и  $Fr=0,522$  для V-образных обводов носовых шпангоутов. Следует обратить

внимание на то, что кривые на рис. 71 и 72 являются огрубленными наибольшими давлениями в каждой точке сечения. Максимальное давление при ударе первоначально возникает у края в момент контакта его с поверхностью воды, а затем быстро перемещается к скуле. Так же быстро пик давления перемещается и во днище судна. Например, для перемещения давления от носа до сечения, отстоящего на расстоянии  $0,3L$  от носового перпендикуляра, на натурном судне требуется только  $0,14$  с.

На рис. 73 показаны нанесенные на растяжку наружной обшивки контуры зоны действия максимальных давлений при срезании днища

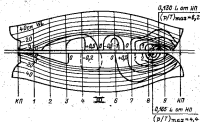


Рис. 73. Контуры зоны максимальных давлений при срезании днища судна.

в тех же условиях, что и для рис. 71 и 72. Так как давление распределяется относительно ДП симметрично, то изображены растяжки обшивки только для одного борта (каждой модели: верхняя часть рисунка относится к модели с U-образными обводами носовых шпангоутов, нижняя — к модели с V-образными обводами). Числа на контурных линиях показывают отношение давления  $p$  к осадке в данном месте  $T$ .

На рис. 73 видно, как существенно влияет форма обводов носовых шпангоутов на интенсивность давлений при срезании и площадь дна, подвергнутого этим давлениям. Отношение наибольшего импульсного давления к осадке при U-образных носовых шпангоутах, равное 6,2, на 40% больше, чем при V-образных шпангоутах, когда это отношение равно 4,4. Различия и отстояния от носового перпендикуляра сечений, в которых действуют наибольшие давления. Если это отстояние при U-образных шпангоутах равно  $0,130L$ , то при V-образных шпангоутах, оно равно  $0,165L$ . Следовательно, тем полнее носовые шпан-

гоуты, тем больше интенсивность давлений при срезании и тем ближе к носовому перпендикуляру находится максимум этих давлений. При V-образных шпангоутах интенсивность давлений меньше, а площадь дна, подвергнутого срезанию, больше, чем при U-образных шпангоутах (при U-образных шпангоутах распространяется от носового перпендикуляра в корму до сечения  $0,4L$ , тогда как при V-образных шпангоутах до сечения  $0,4L$ ). Поэтому суммарная сила удара как при V-образных шпангоутах, так и при U-образных оказывается практически одинаковой.

Влияние относительной вертикальной скорости корпуса. Теоретически считается, что ударные давления в каждом сечении пропорциональны квадрату относительной вертикальной скорости сечения при движении корпуса вниз, вперекру волне. В эксперименте было установлено, что такая зависимость приближенно выполняется, причем срезание не возникает, если эта скорость в сечении меньше некоторой «критической» относительной скорости, оказавшейся равной  $3,5$  м/с в пересчете на натурное судно.

Влияние скорости судна. На рис. 74 показаны отношения давлений при срезании к осадке в ряде носовых сечений судна с V-образными носовыми шпангоутами в зависимости от скорости судна (при  $\lambda = L$ ,  $\beta = 0,033L$ ,  $T_{ср} = 0,053L$  и  $T_n = 0,0133L$ ). Видно, что до некоторого значения скорости, соответствующего примерно  $Fg = 0,1$ , ударные давления не возникают, при увеличении скорости судна давления быстро растут и достигают своих наибольших значений в различных сечениях при разных скоростях, после чего уменьшаются. Чем ближе сечение расположено к носовому перпендикуляру, тем при меньшей скорости достигается в нем наибольшее давление при срезании. Следовательно, чем больше скорость, тем дальше в корму смещается сечение с наибольшим давлением. На рис. 75 крайние U и V показывают отстояния от нулевого перпендикуляра сечений с наибольшими давлениями в зависимости от скорости судна с U-образными и V-образными носовыми шпангоутами. Эти кривые получены расчетом по теории И. Ваталаге [147].

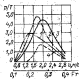


Рис. 74. Зависимость относительных максимальных ударных давлений от скорости судна.

$V_0$  — критическая скорость  $0,086L$  от НВ;  $p$  — давление на  $0,120L$  от НВ;  $1$  — на  $0,165L$  от НВ;  $2$  — на  $0,130L$  от НВ.

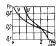


Рис. 75. Влияние скорости судна на отстояние от нулевого перпендикуляра сечений с наибольшими давлениями в зависимости от скорости судна с U-образными и V-образными носовыми шпангоутами.

Относительно этих кривых М. Оге замечает, что результаты его модельных экспериментов и данные исследований повреждений днища от слеминга хорошо согласуются с ними. Видно, что на судне с U-образными носовыми шпангоутами при увеличении скорости наибольшее давление при слеминге смещается в корму от сечения 0,075L до сечения 0,175L от носового перпендикуляра, а при V-образных шпангоутах это смещение происходит от 0,05L до 0,20L.

Влияние высоты волны. В общем случае давления при слеминге увеличиваются с ростом высоты волны. Однако

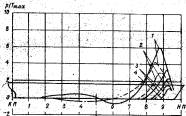


Рис. 76. Распределение давлений от слеминга по длине судна при различных осадках.

— U-образные шпангоуты; — V-образные шпангоуты.  
1 — при  $T_N=0,300L$ ; 2 — при  $T_N=0,367L$ ; 3 — при  $T_N=0,56L$ ; 4 — при  $T_N=0,80L$ .

волны, высота которых меньше  $\frac{1}{3}$  длины судна, не вызывают слеминга. Степень возрастания давления при увеличении высоты волны зависит не только от формы обводов носовых шпангоутов, но также и от отстояния рассматриваемого сечения от носового перпендикуляра. Например, в сечении отстоящем от НП на расстоянии 0,147L при U-образных и на расстоянии 0,174L при V-образных шпангоутах, увеличение давления было большим при одном и том же увеличении высоты, чем в сечениях, соответственно отстоящих от НП на расстояниях 0,053L и 0,093L. Кроме того, давления растут быстрее, если высота волны становится больше  $\frac{1}{3}$  длины судна.

Влияние осадки судна. Как видно из рис. 76, на котором показано распределение наибольших давлений при слеминге (в долях от осадки при полной нагрузке) по длине судна при разных его средних осадках, увеличение осадки, как пра-

вило, приводит к уменьшению давлений и к смещению в нос сечения, в котором действуют максимальные по длине давления.

На рис. 77, построенном по данным рис. 76, показано изменение нормовых границ зон давлений при слеминге в зависимости от осадки для судов с U-образными и V-образными носовыми шпангоутами. Эти диаграммы показывают, как значительно уменьшается площадь днища, подвергающаяся слемингу, при увеличении осадки. Например, при «легкой» осадке, соответствующей  $\frac{1}{3}$  полной нагрузки, давления распространяются от носового перпендикуляра до сечения 0,30L или 0,37L соответственно при U-образных или V-образных носовых шпангоутах; при осадке, соответствующей половинной нагрузке судна, они рас-

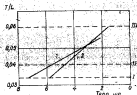


Рис. 77. Границы зон давлений от слеминга при различных осадках:  
1 — при  $\frac{1}{3}$  полной нагрузки;  
2 — при  $\frac{1}{2}$  полной нагрузки;  
3 — V-образные шпангоуты;  
4 — U-образные шпангоуты.

пространяются только до сечений 0,23L и 0,28L соответственно; при осадке, соответствующей полной нагрузке судна, — только до сечения 0,1L. Следовательно, увеличение осадки благоприятно не только для уменьшения наибольших давлений при слеминге, но и для смещения площади днища, подвергающейся слемингу, т. е. для уменьшения повреждений днища.

На основании модельных испытаний в работе [114] составлена табл. 33 наибольших значений давлений при слеминге, выраженных в долях осадки с полной грузом при различных условиях нагрузки, скоростях судна и высоте волны. Из этой таблицы видно:

давления тем больше, чем больше скорость судна и высота волны;

во всех случаях давление при U-образных шпангоутах существенно больше, чем при V-образных шпангоутах;

при U-образных шпангоутах и воде судна со скоростью 20 уз на регулярных волнах высотой L/20 слеминговые давления в 6 раз больше, чем гидростатическое давление на тихой воде при наибольшей проектной осадке без хода. В тех же условиях для V-образных шпангоутов превышение составляет 4,8 раза.

Таблица 28

Наибольшее сжимающее давление, возникающее в донной осадке судна с полным грузом, при различных условиях нагружения, скорости судна и высоте волны

Условия нагружения	Скорость судна, уз	У-образная волна		Углубленная волна	
		$k=1,00$	$k=1,20$	$k=1,00$	$k=1,20$
Осадка (легкая), соответствующая $\frac{1}{3}$ полной нагрузки	10	1,33	1,58	0,85	1,18
	15	2,84	4,36	2,30	4,38
	20	3,38	6,05	2,40	4,93
Осадка, соответствующая $\frac{1}{3}$ полной нагрузки	10	0,50	0,65	0,30	0,41
	15	1,17	1,80	0,80	1,47
	20	1,39	2,30	0,84	1,68

Протяженность зоны повреждений. Высота ударных напряжений в конструкциях днища носовой оконечности, которые могут стать причиной повреждений корпуса в этом районе, были замерены между сечениями, отстоящими от носового перпендикуляра на расстояниях 0,1L и 0,2L. Протяженность

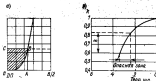


Рис. 78. К определению протяженности зон поврежденной носовой оконечности:  $L$  — нахождение в сечении 0,1L от НП-коэффициента  $k=0,6$ ;  $OABC$  — максимальная длина зон повреждения от коэффициента  $k$ .

зоны, в которой возможны повреждения,  $M$ . Они предложено определять в зависимости от коэффициента  $k$ , который представляет собой коэффициент полноты площади шпангоута, отстоящего на расстоянии 0,1L от носового перпендикуляра и погруженного по осадке, равную половине осадки судна с грузом (рис. 78). Поскольку для типичных морских грузовых судов  $k=0,60-0,83$ , то зона повреждений, как видно на рисунке, находится в пределах 0,12—0,18L от носового перпендикуляра.

Закон распределения ударных давлений. Сила гидродинамического удара при движении сменяется является случайной величиной. Она зависит от волнения, скорости судна, кривого угла и т. д. Статистические характеристики максимальных ударных давлений определяются распределением вероятностей в виде гистограмм (рис. 79 и 80). Гистограммы рис. 79 относятся к ударным давлениям, наблюдаемым в сечении 0,1L

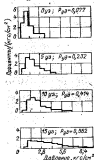


Рис. 79. Гистограммы ударных давлений при различных скоростях судна.

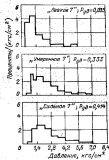


Рис. 80. Гистограммы ударных давлений при волнении различной высоты, скорости судна 10 уз, безымянной осадки и вале настречу волнению.

от носового перпендикуляра при различных скоростях судна по волнению «слыное 7». Из этих гистограмм может быть установлена вероятность того, что ударное давление превысит определенное значение. Например, вероятность превышения (обеспеченность) ударного давления 5,6 кг/см<sup>2</sup> при скорости судна 10 уз равна 0,04. Это условная вероятность, т. е. вероятность данного ударного давления при условии, что сменяет произойдет. Вероятность возникновения сменята при этой скорости судна равна 0,414 (на рис. 79 вероятности  $P_{уд}$  указаны). Поэтому обеспеченность данного ударного давления равна произведению двух указанных вероятностей, т. е. 0,0166. Таким образом, за 30-минутное плавание (соответствующее острым размерам

300 циклов волн) давление, большее 5,6 кгс/см<sup>2</sup>, при данной скорости повзятся 3 раза. При скорости 15 уз такое же ударное давление повзятся 17 раз.

На рис. 79 видно, что при небольших скоростях судна гистограммы концентрируются в районе малых значений ударных давлений, а при высокой скорости судна распределение охватывает широкий диапазон давлений. Следовательно, с ростом скорости судна увеличивается среднее значение и дисперсия давлений.

На рис. 80 показаны гистограммы для различных состояний волнения при скорости судна 10 уз, балластной осадке и ходе шквотречу волнения.

Результаты испытаний показали, что дисперсия ударных давлений увеличивается с увеличением силы волнения и уменьшается с ростом курсовых углов и при увеличении осадки.

Плотность вероятности ударных давлений при движении слайинга описывается усеченным экспоненциальным законом:

$$f(p) = \frac{1}{2cR_0} \exp\left(-\frac{p-p^*}{2cR_0}\right), \quad (2.17)$$

где  $R_0$  — удвоенная дисперсия относительной скорости волны и лосовой оконечности судна;  $c$  — постоянная, зависящая от формы обводов рассматриваемого сечения;  $p^* = 2cR_0$  — пороговое давление ( $v_{кр}$  — пороговая относительная скорость).

Обеспеченность некоторого ударного давления  $p_0$  определяется уравнением

$$Q(p_0) = \exp\left(-\frac{p_0-p^*}{2cR_0}\right). \quad (2.18)$$

Важно отметить, что (2.18) определяет условную вероятность превышения некоторого давления. Поэтому полная вероятность превышения этого давления при заданном волнении и при данной скорости судна равна произведению двух вероятностей, определенных уравнениями (2.4) и (2.18). Для того чтобы установить, сколько раз ударное давление превысит некоторое значение в течение определенного времени плаванья, надо умножить время плаванья в секундах на произведение величин, полученных по уравнениям (2.5) и (2.18). Например, число превышений давления  $p$  за один час (3600 с) равно

$$N_p = \frac{1800}{\pi} \frac{v_0}{c} \exp\left[-\left(\frac{T_0^2}{2c^2} + \frac{\sigma_{v_0}^2}{2c^2} + \frac{p-p^*}{4cR_0}\right)\right]. \quad (2.19)$$

В работе [117] приведены следующие формулы для характерных значений ударных давлений

$$p_{1/10} = 2c(\sigma_{v_0}^2 + 2,10R_0); \quad (2.20)$$

$$p_{1/100} = 2c(\sigma_{v_0}^2 + 3,30R_0). \quad (2.21)$$

Хотя по данным рис. 79 и 80 большие дисперсии ударных давлений и связаны с высокой вероятностью слайинга, тем не менее эти давления не являются функцией вероятности слайинга. Значения давлений зависят от относительной скорости носа судна и волны и от формы обводов рассматриваемого сечения, тогда как вероятность слайинга определяется и относительным перемещением, и относительной скоростью. Поэтому высокая вероятность слайинга не обязательно соответствует большой дисперсии ударных давлений.

Наибольшие давления на переднем ударном волнении. Следует отметить, что максимальное для данного сечения судна и для данных условий плавания ударное давление не всегда повышается одновременно с максимальными давлениями в других сечениях. Иногда такое давление возникает вблизи сечения, отстоящего на 0,25L от носового передекакувера, а затем перемещается в нос. Иногда оно возникает вблизи сечения 0,1L от носового передекакувера и перемещается в корму. Время перемещения от сечения 0,1L до сечения 0,25L (или обратно) приблизительно равно от 0,15 до 0,30 с. Довольно часто максимальные ударные давления действуют по всему днищу судна почти одновременно.

Эти три случая встречаются беспорядочно от цикла к циклу и полностью зависят от фазового сдвига между волной и движением носа судна в момент удара.

Характер распределения давлений по длине судна также меняется от цикла к циклу, поэтому целесообразно для каждой скорости судна измерить отгибание кривых распределения давлений, которые показывают места приложения максимальных ударных давлений, наблюдаемых за 30 мин плавания судна. Такие отгибания показаны на рис. 81 для судна с балластной осадкой при плавании на волнении разной интенсивности и с разной скоростью. Видно, что с ростом интенсивности волнения или скорости судна место приложения наибольшего давления смещается к корме, а также значительно расширяется район действия ударных давлений.

Влияние скорости судна и интенсивности волнения на ударные давления в различных сечениях судна иллюстрирует также рис. 82 (судно с балластом, движение вразрез волнам). При определенных сочетаниях этих факторов давление могут измениться уровни, соответствующий наибольшей несущей способности листов днища натурального судна.

На рис. 83 показаны максимальные ударные давления в различных сечениях при разных условиях нагружения судна и курсовых углах. Интересно отметить, что при волной и поперечной нагрузках ударные давления остаются почти неизменными вплоть до курсового угла 45°. Они значительно меньше, чем при балластной нагрузке. При поперечной нагрузке в сечении 0,20L слайинг не наблюдался.



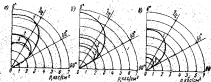


Рис. 83. Зависимость ударных давлений от курсового угла в состоянии катания судна (волнение суммарное 7а, скорость 10 уз): а — в обтекае на 0,1L от НП; б — то же на 0,15L; в — то же на 0,30L.

1 — парадное судно; 2 — судно нагружено полностью; 3 — судно в волном трюме.

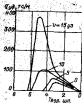


Рис. 84. Распределение погонной силы удара по длине судна.

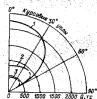


Рис. 85. Зависимость суммарной силы удара от курсового угла в состоянии нагруженности судна (волнение суммарное 7а, скорость 10 уз).

1 — судно парадное; 2 — судно нагружено полностью; 3 — судно в волном трюме.

**Расчетное определение давлений.** Для реальной жесткости конструкций носовой оконечности и значимой относительной скорости сечений можно принимать, что давление при диневом сьемке в момент удара в сечении приблизительно пропорционально квадрату вертикальной скорости относительного движения волны и входящего в воду сечения судна. Следовательно,

$$p = kv^2 \quad (2.22)$$

где  $p$  — давление, кг/см<sup>2</sup>;  $v$  — относительная скорость сечения и волны, м/с;  $k$  — постоянная, зависящая от формы входящего

Суммарная сила удара для судна «Маринер»

Волнение	Скорость, узлов, V	Суммарная сила удара, кг	Волнение	Скорость, узлов, V	Суммарная сила удара, кг
Волнение 6 ( $H_{0,9} = 5,25$ м)	10	125	«Сильное 7а» ( $H_{0,9} = 13,9$ м)	0	810
	15	560		5	1240
	10	1380		10	2325
	15	1890		15	3815
«Сильное 7а» ( $H_{0,9} = 10$ м)	10	1000	Волнение 8 ( $H_{0,9} = 16,5$ м)	0	905
	20	4640		5	1410

в воду сечения, кг/см<sup>2</sup>.  $v^2$ /м<sup>2</sup> [выше в формулах (2.17) — (2.21) величина  $k = 2v$ ].

Надо отметить, что экспериментально замеренные давлений не всегда пропорциональны квадрату скорости  $v$ . Этот показатель степени зависит от ряда факторов, в первую очередь — от жесткости конструкции и от относительной скорости соударения.

Выяснено, что величина  $k$  не зависит от скорости судна и от интенсивности нерегулярного волнения. Следовательно, она может быть получена при модельном эксперименте на регулярном волнении.

Современные попытки теоретического определения величины  $k$  с учетом сжимаемости воды и деформирующего влияния заданного ход динев судна воздуха не дают положительных результатов, несмотря на то что теоретические расчеты достаточно хорошо подтверждаются экспериментами при свободном падении на воду диверсных моделей. Эти расчеты и эксперименты дают значения коэффициента  $k$  существенно больше, чем определяются на плавательных моделях в условиях вертикальной и килевой качки. Например, при свободном падении на воду модели судна «Маринер» были зарегистрированы существенно большие значения  $k$ , чем во замерам на той же модели при плавании на волнении. Следовательно, давления, получаемые в модельных экспериментах на волнении, существенно меньше, чем при опытах бросания той же модели, при одинаковой скорости входа сечений в воду.

В отношении зависимости ударного давления при сьемке от формы обводов носовых шпангоутов также грузовой ватерлинии в ряде опытов было установлено, что при U-образных обводах давления ниже больше, чем при V-образных, при одинаковых условиях соударения. Также было установлено [115], что судно с V-образными носовыми шпангоутами может иметь скорость на волнении значительно большую, чем судно с U-образными шпангоутами на том же волнении, прежде чем начнет испытывать

слеминг той же интенсивности. Следовательно, можно считать, что при прочих равных условиях судно, вмещающее более острые сечения носовых шпангоутов, меньше подвержено действию слеминга.

В работе [117] рассмотрена зависимость характеристик динцевого слеминга от формы носовых шпангоутов. По экспериментальным данным было установлено, что в любом носовом сечении удар при слеминге закатывается, когда сечение погружено в волну на глубину, равную 0,08 проектной грузовой осадки судна  $T$  (для удобства предлагается считать эту глубину осадки 0,17). В связи с этим сделан вывод, что на ударное давление  $k$ , следовательно, на коэффициент  $k$  может оказывать влияние форма лишь той части динцевых шпангоутов, которая находится ниже уровня, отстоящего от килля на высоту 0,17. Этот вывод был проверен и подтвержден в экспериментах на моделях судна «Маринер». В одной серии этих моделей при постоянной форме нижней части носовых шпангоутов изменялись в широких пределах обводы их верхних частей, при этом давления оказались одинаковыми. У другой серии моделей менялась только форма нижней части шпангоутов на высоте 0,17 от килля; при этом ударные давления соответствовали изменению форм нижней части шпангоутов.

На основании изучения ударных давлений при движении слеминга предложено [117] определить величину  $k$  (в кг/см<sup>2</sup>·с<sup>2</sup>/м<sup>3</sup>) в формуле (2.22) по уравнению

$$k = 0,07 \exp[-3,599 + 2,419a_1 - 0,873a_2 + 9,624a_3], \quad (2.23)$$

где  $a_1$ ,  $a_2$  и  $a_3$  — коэффициенты конформного отображения форм динцевых сечений судна на высоте 0,17 от килля, для определения которых разработана машинная программа. М. Очевидно, можно назвать величину  $k$  коэффициентом формы динцевых частей носовых сечений судна.

Практический метод расчета характеристик динцевого слеминга. Этот метод, опирающийся на современные данные экспериментально-теоретических исследований, служит для определения характеристик слеминга при проектировании судна, когда известны его обводы и условия плавания [117]. Расчет выполняется в следующем порядке.

1. Определяют путем расчета или модельных испытаний амплитудно-частотные характеристики для относительных вертикальных перемещений и скоростей каждого шпангоутного сечения, в котором будут подсчитываться ударные давления при слеминге. По заданному волновому спектру и амплитудно-частотным характеристикам строят спектры выходных процессов для нахождения удвоенных дисперсий  $R$  и  $R_v$ , исходящих в формулу (2.4) для вероятности появления слеминга, в формулу (2.5) для числа ударов в единицу времени и в выражение (2.17) для плотности вероятности ударных давлений.

2. Находят коэффициент формы  $k$  в формуле (2.22), пользуясь расчетными зависимостями или соответствующими модельными испытаниями.

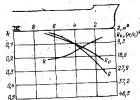


Рис. 86. Расчетные значения ударного давления для судна «Маринер».

3. Подсчитывают экстремальное давление с разными вероятностями превышения за определенное время плавания и число ударов в час при различных состояниях волнения и строят диаграммы.

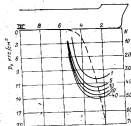


Рис. 87. Расчетные значения числа ударов в час и экстремального давления для судна «Маринер».

Пример прогнозирования характеристик динцевого слеминга для грузового судна «Маринер» ( $L = 162$  м) при плавании его в Северной Атлантике иллюстрирует основные этапы расчета [117]. В качестве наиболее тяжелого волнения, которое может реально встретиться в районе эксплуатации судна, принято

«волнение 7» (значительная высота волны  $H_{10} = 9,2$  м), определенное волновым спектром Парсона—Москвина при скорости ветра 40,5 уз. Предполагается, что судно клянет при балластной осадке, соответствующей 40% полного водоизмещения судна (осадка носом 5,0 и кормой 7,2 м). Скорость судна, поддерживаемая в условиях рассматриваемого шторма, принята равной 10 уз.

Результаты расчета величины  $R$ ,  $R_2$  и  $k$  приведены на рис. 86. Расчетные значения числа ударов за 1 ч (с вероятностью превышения 0,01) и наибольших ударных давлений при разной продолжительности плавания представлены на рис. 87. Выполнены также расчеты числа ударов и экстремальных давлений с разной вероятностью превышения при плавании судна на волнении различной интенсивности (рис. 88). На рис. 89 приведены диаграммы, показывающие, какую наибольшую скорость может развивать судно «Маринер» на различном волнении при условии, что за 20 ч плавания максимальное ударное давление с обеспеченностью 0,01 будет равно  $7 \text{ кгс/см}^2$ , а число ударов в час не будет больше шести.

Длительное распределение ударных давлений при slamming, учитываемое в Правилах Норвежского Веритаса. В Правилах постройки морских судов всех классификационных обществ содержится конкретные требования к подкреплениям конструкции днища носовой оконечности судна для безаварийного восприятия ударных давлений при slamming в условиях возможного наиболее интенсивного нерегулярного волнения, при этом учитываются правильность балластировки судна и надлежащее уменьшение скорости судна и изменение курсового угла, необходимые для избежания чрезмерных ударных нагрузок. Эти требования Правил до недавнего времени базировались только на эмпирических данных обследований повреждений от slamming на плавющих судах.

За последние 10—15 лет интенсивно проводилось изучение slamming при искусственных и натуральных испытаниях судов. Из зарубежных работ, кроме рассмотренных выше, отметим исследования, проведенные В. Фердинандом, В. Маклинном и Е. Любом, Е. Нумейтой, П. Шендле, большой группой японских ученых. У нас в стране также испытания проводились в ЦНИИ им. акад. А. Н. Крылова (Г. О. Тудбин, Е. А. Павлицова), в Ленинградском кораблестроительном институте (В. В. Козлов, Д. М. Ростовцев, В. А. Чижик), в Дальневосточном политехническом институте (Н. В. Барабанов, Н. А. Иванов), в Ленинградском институте водного транспорта (М. А. Бельская, Ф. Г. Кандель, А. Э. Фридлянский). Надо отметить, что впервые в практике судостроения методика определения ударных давлений была приведена в «Нормах прочности морских стальных судов» Регистра СССР [39, 51]. Однако впоследствии оказалось, что результаты расчета по методике, основанной на ранних

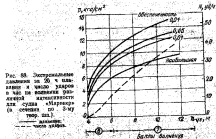


Рис. 86. Эксплуатационные давления за 20 ч плавания и число ударов за 1 ч на волнении различной интенсивности для судна «Маринер» (в сечении по 3-му теор. шт.).

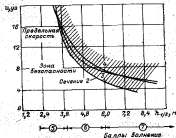


Рис. 88. Допустимая наибольшая скорость судна «Маринер» при балластном плавании.

теоретических и экспериментальных исследований сдвига на регулярном волнении, не всегда согласуются с данными измерений ударных давлений при сдвиге. В настоящее время она пересматривается и уточняется.

Представляет интерес практическая методика прогнозирования ударных давлений при движении сдвига, примененная Норвежским Верфасом и заложенная Е. Абрахамсеном [50].

Если зависимость между ударным давлением в данном поперечном сечении корпуса  $p$  ( $\text{м вод. ст.}$ ) и относительной скоростью  $\frac{v}{c}$  ( $v$  в  $\text{м/с}$ ) этого сечения написать в виде [см. формулу (2.22)]

$$p = 2\sigma v^2, \quad (2.24)$$

$$\frac{p}{c} = 2\sigma' v, \quad (2.25)$$

то

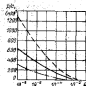


Рис. 90. Долговременное распределение ударных давлений. — — — волновая скорость ( $v/c = 0,20$ ); — — — уменьшенная скорость на волнении; — — — судно без волн.

Следовательно, отношение  $p/c$  является для нерегулярного волнения случайной величиной, распределение вероятностей которой на стационарном волнении совпадает с распределением случайной величины  $2\sigma'$ . Как известно, закон распределения величины  $v$  описывается законом Релея, параметр которого  $E$  определяется площадью спектра возмущающего процесса. Далее с помощью описанной выше процедуры строится долговременное распределение ударных давлений. На рис. 90 показаны полученные таким образом диаграммы долговременной обеспеченности ударных давлений при сдвиге на встречном волнении в Северной Атлантике в сечении, отстоящем на  $0,05L$  от носового перпендикуляра [для судна  $L = 150$  м,  $\delta = 0,7$  (серия 60) и осадке  $0,04L$ ]. Поскольку относительные вертикальные скоро-

сти сечения  $v$  зависят от поступательной скорости судна, на этом рисунке приведены три кривые, две из которых соответствуют нулевой и волной скорости, а третья — уменьшенной скорости судна, которую, по данным Норвежского Верфаса, оно может развивать на волнении в условиях сдвига. Очевидно, что такие долговременные распределения ударных давлений могут быть построены для судов разных длин, с различными коэффициентами общей волноты и для различных шагнугонных сочетаний носовой оконечности судна. На рис. 91 приведены значения параметра ударных давлений  $p/c$ , соответствующие обеспеченности  $10^{-4}$ , для судов длиной  $50-250$  м при встречном курсе

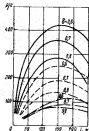


Рис. 91. Значения параметра ударных давлений  $p/c$ . — — — осадка на  $0,05L$  от НП; — — — то же на  $0,15L$ ; — — — то же на  $0,25L$ .

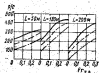


Рис. 92. Влияние скорости судна и коэффициента общей волноты на параметр сдвига  $p/c$  (в сечении на  $0,05L$  от НП).

сти  $v/c = 0,20$ . Комментарий эти данные. Е. Абрахамсен [60] отмечает: «Эти кривые в сочетании с увеличенной толщиной листов днища в носовой оконечности судна, обычно применяемой на больших судах, ясно показывают, почему суда длиной около 200 м редко имеют повреждения днища носовой оконечности. Это может быть также объяснено относительно большей балластной осадкой у больших судов, а также и меньшим относительным радиусом инерции их носов. Суда длиной, меньшей 150 м, имеют ударные давления при сдвиге меньше тех, которые соответствовали бы обеспеченности  $10^{-4}$  при плавании их в Северной Атлантике. Обычно такие суда при штормовой погоде могут укрываться в закрытых водах. Капитаны таких судов более склонны выбирать оптимальное снижение скорости и изменение курсового угла. В связи с этим имеет смысл снижать расчетные значения ударных давлений для малых судов».

Влияние скорости судна на отношение  $p/c$  показано на рис. 92. Кривые рисунка построены с учетом снижения скорости при тяжелых погодных условиях по сравнению со скоростью на тихой воде, соответствующей  $Fv_{c,в}$ . Для учета влияния скорости на ударные давления при сдвиге предлагается коэффициент

$$c_1 = 1 + 5(Fv_{c,в} - 0,2) \left( \frac{L}{1000} + 2\delta - 1,1 + \frac{L}{L} \right), \quad (2.26)$$

где  $x$  — отстояние сечения от носового перпендикуляра.

При  $F_{г,в} = 0,20$  коэффициент  $c_1 = 1$ . Следовательно, если эксплуатационная скорость судна с полным грузом на тихой воде соответствует  $F_{г,в} = 0,20$ , то в этом случае разный единице коэффициент  $c_1$  не влияет на значения параметра  $\rho/c$  на рис. 91 и 92, учитывающих то уменьшение скорости судов на волнении, которое и соответствует  $F_{г,в} = 0,20$ . Для судов, имеющих другую эксплуатационную скорость на тихой воде, уменьшение скорости на волнении это, и для его учета служат коэффициенты  $c_1$ , определяемые формулой (2.26).

Влияние продольного распределения масс судна на ударные давления при slamming сравнительно невелико, если принимается во внимание снижение скорости судна на растущем волнении. При длине судна 150 м изменение радиуса инерции масс от 0,23L до 0,28L может увеличить отношение  $\rho/c$  на 10—15%.

В норвежской методике влияние осадки на тихой воде  $T$  рассматриваемого сечения судна на ударные давления в этом сечении учитывается безразмерным коэффициентом:

$$c_2 = \frac{6}{1000(T/L)^{1/4}} \quad (2.27)$$

В отличие от М. Очи, который считает коэффициент  $k$  в формуле (2.22) зависящим только от геометрической формы обвода рассматриваемого апластного сечения, автор норвежской методики представляет коэффициент  $c$  в формуле (2.24) произведением двух коэффициентов:

$$c = k_1 f, \quad (2.28)$$

где  $k_1$  — константа, учитывающая гидроупругий характер ударных давлений при slamming;  $f$  — коэффициент формы сечения. Коэффициент формы принимается равным

$$f = \frac{1}{\beta^3}; \quad (2.29)$$

здесь  $\beta$  — угол наклона дна в рассматриваемом сечении, измеренный от киле до точки на борту сечения, расположенной на расстоянии 0,15 наибольшей осадки судна с полным грузом від осевой линии ( $\beta$  — внешний угол калеватости сечения).

Коэффициент  $k_1$  определяется на условиях, что для сечения судна «Маринер», расположенного на 0,1L от носового перпендикуляра, в опытах М. Очи [115] было найдено

$$k_1 f = 0,0325 \frac{\pi \tau c}{\sigma \beta} \cdot \left(\frac{c}{m}\right)^2 \quad (2.30)$$

Так как для того же сечения судна «Маринер» по формуле (2.29) коэффициент  $f = 1,55$ , то

$$k_1 = \frac{0,0325}{1,55} = 0,021 \frac{\pi \tau c}{\sigma \beta} \cdot \left(\frac{c}{m}\right)^2 \quad (2.31)$$

Окончательно формула для определения давления при движении слемаке с обеспеченностью  $10^{-4}$  по норвежской методике имеет вид

$$p = \frac{2}{3} k_1 f c_1 c_2 \left(\frac{\rho}{c}\right) = \frac{6,014}{\beta^3} c_1 c_2 \left(\frac{\rho}{c}\right) \quad (2.32)$$

где коэффициенты  $c_1, c_2, f$  и  $k_1$  определяются соответственно по формулам (2.26), (2.27), (2.29) и (2.31), а отношение  $\rho/c$  — по кривым рис. 91 и 92. Поскольку эти кривые относятся к случаю движения встречным курсом к волнам, для учета равной вероятности всех курсовых углов в формуле (2.32) введен коэффициент  $1/2$ .

Учитывая экспериментальные и теоретические исследования, а также и практический опыт эксплуатации судов, Е. Абрахамсен [86] пишет: «Реакции конструкций в упругой и пластической области при приложении к дну импульсных нагрузок при slamming еще полностью не выяснены. Представляется, что повреждение дна при slamming развивается постепенно как результат серии ударов; один удар редко является причиной повреждения дна. Повреждение начинается с образования пластических шарниров в обшивке дна и ребрах, и может иметь место потеря устойчивости во флорах и стрингерах. Предельная нагрузка до повреждения плоских панелей с ребрами жесткости может в 3—3,5 раза превышать ту, которая вызывает появление пластических шарниров в ребрах. При условии, что ребра и их опоры не разрушаются, в обшивке после образования шарниров будут развиваться такие большие изгибные усилия, что отношение между предельной нагрузкой и давлением, вызвавшим появление пластических шарниров, будет в 3—3,5 раза больше, чем найденно для ребер. При уровне обеспеченности  $Q(\rho/c) = 10^{-4}$  допустимо принять достаточно высокие номинальные изгибные напряжения в обшивке. ... Испытывая и опыт эксплуатации позволили установить следующие требования к толщине днащевой обшивки:

$$t = k_2 \sigma \sqrt{\rho \frac{2400}{a}} \quad (2.33)$$

где  $a$  — предел текучести материала.

Постоянная  $k_2$  зависит от допустимых напряжений в пластине и соотношения сторон софртого контура  $a/b$ , приведенные ниже:

$a/b$	1,0	0,9	0,8	0,7	0,6	0,5	0,4
$k_2$	2,57	2,33	3,01	3,14	3,20	3,22	3,26

Нужно заметить, что предел текучести и удлинение — наиболее важные качества материала в связи с повреждением дна в носовой оконечности. И, безусловно, выгодно использовать материал с высоким пределом текучести в районе поврежденной обшивки, как для пластины, так и для набора.

С середины 50-х гг. устойчиво рекомендовалось применение промежуточных шпангоутов в носовой части днища носовой оконечности. Опыт использования таких конструкций был положительным, но при этом промежуточные ребра должны непрерывно проходить через флоры и джакинговые стрингеры.

Размеры этих шпангоутов определяются при уровне вероятности  $Q(p/c) = 10^{-4}$ , степени заданной на сворках 0,7 и уровне напряжений соответственно  $\sigma = \sigma_0/1,5$  при растяжении. Тогда момент сопротивления сечения шпангоута

$$W = 10000 \frac{R_0 b^3}{\sigma_0} \quad (2.34)$$

Это соответствует давлению, вызывающему полностью разбитые пластические шаршеры в ребрах. Оно примерно в 4 раза больше, чем расчетное давление, но в 12 раз меньше разрушающего давления. Нагрузка, вызывающая появление волн пластических шаршеров в шпангоутах, может встретиться однажды за 5000 суд.-лет. Остаточная стрелка прогиба будет в этом случае составлять примерно  $1/250$  пролета шпангоута.

Конечно, также существенно обеспечить необходимую прочность всего набора двойного дна в носовой оконечности судна. В связи с этим нужно заметить, что указываемые значения относятся к распределенным по значительной поверхности давлениям, а не к локальным давлениям при отдельном ударе.

Несколько более высокое давление, чем указанное выше, может быть принято для определения размеров конструктивных элементов набора второго дна в носовой оконечности. Обычно нужно обеспечить дополнительную прочность носовой части судна и добиться, чтобы местные нагрузки надежно передавались на основные связи корпуса.

### § 29. Ударные изгибающие моменты

Ударные давления, возникающие при погружении носовой оконечности судна в волну, вызывают общие упругие изгибные колебания корпуса, которые, как отмечалось выше, служат одним из характерных признаков сдвига. При этих колебаниях в связях корпуса появляются напряжения, которые, как и при общем изгибе корпуса, можно связать с изгибающим моментом. Этот момент называется ударным изгибающим моментом, в отличие от волнового изгибающего момента, соответствующего напряжению при изгибе корпуса на волнах.

При погружении в волну днища судна (длинной срезки) лей в носовой оконечности с развалом бортов (бортовой срезки) действие ударных давлений распространяется по всей зоне удара либо почти мгновенно, либо за время 0,10—0,15 с. Продолжительность ударного импульса, равная 0,1 с, составляет 0,015—

0,020 периода килевой чанки, или около 0,15 периода колебаний корпуса 1-го тона. Отметим, что если продолжительность ударного импульса при длинном срезе составляет сотни доли периода килевой чанки, то при бортовом срезе она составляет десятки доли того же периода.

Малая продолжительность отдельных ударных импульсов и сравнительно большие, измеренные минутами, случайные интервалы между сменными последовательными импульсами обуславливают возможность свободных колебаний корпуса судна во время тонов. Высокотона эти колебания очень быстро затухают и почти не прослеживаются на осциллограммах напряжений. Практическое же значение могут иметь лишь колебания корпуса 1-го тона (двухузловые колебания), которые тоже до-

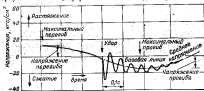


Рис. 93. Напряжения при ударе.

вольно быстро затухают в течение двух-трех периодов килевой чанки (около 20 с), но за это время соответствующие ингибиторные напряжения могут накладываться на волновые напряжения (рис. 93) и напряжения на тихой воде от общего продольного изгиба судна.

Поскольку ударные напряжения в продольных связях пропорциональны ударным давлениям, которые максимальны при балластом плавании судна, то этим условием плавания соответствуют и наибольшие ударные напряжения. Поэтому ударные изгибающие моменты в случае плавания с балластом значительно больше, чем для судна с полным грузом, когда сдвиг практически отсутствует. Результат их суммирования с изгибающими моментами на тихой воде и с волновым моментом зависит, естественно, от значимости последних. В ряде случаев ударные напряжения могут играть заметную роль в формировании суммарного напряженного состояния корпуса судна.

В настоящее время в Правилах постройки судов Регистра СССР и в иностранных Правилах ударные напряжения в яном виде не учитываются; но, безусловно, в какой-то мере принимаются во внимание в общих коэффициентах запаса прочности,

предусмотренных во всех Правилах. Правильность такого положения не может считаться общепризнанной. В «Нормах прочности» Регистра СССР [39] требовалась обязательная проверка общей прочности морских судов с учетом наиболее неблагоприятных ударных нагружающих моментов от движущего слеминга. Практика применения этих «Норм», модельные и натурные измерения величин ударных напряжений показала, что предусматриваемые «Нормами» расчетные значения ударных нагружающих моментов являются завышенными и требуют существенного пересмотра. В новой редакции проекта «Норм прочности» приведены новые формулы для определения расчетных значений ударных нагружающих моментов (см. § 27).

Как правило, раньше в практике морского судостроения при назначении размеров продольных связей эквивалентного бруса ударными напряжениями от движущего слеминга в яном виде не учитывались, тем не менее каких-нибудь объективных данных о несостоятельности прочности этих связей по этой причине практически эксплуатация судов не выявляла. Следует заметить, что на судах южной и расселенной постройки имели место крупные разрушения конструкций, обусловленные действием ударных напряжений. В настоящее время в связи с возросшим применением достаточного количества стальных крупнее разрушения корпусных конструкций прекратились, хотя каких-либо изменений требуемых размеров этих конструкций специально для учета слеминга не производилось.

Сказанное справедливо для транспортных судов средних длин (100—150 м), скорость которых на волнении сравнительно невелика (соответствующее число Фруда  $Fr = 0,10 \div 0,15$ ). У судов, имеющих для улучшения мореходности значительный развал бортов в носовой оконечности, на первый план выходит другой вид удара о волны — бортовой слеминг. Это явление, в отличие от движущего слеминга, не сопровождается резким изменением ускорений и звуковым сигналом, поэтому оно может быть не замечено. В результате на скоростных транспортных судах могут иметь место повреждение корпусов, связанные с общим изгибом при бортовом слеминге [68]. На рис. 94 показаны районы повреждения, а в табл. 35 дана их характеристика. Наиболее типичным повреждением является потеря устойчивости палубного настила и бортовой обшивки, реже встречаются значительные пластические деформации связей. Эти повреждения связаны с исчерпанием несущей способности конструкций. С учетом подобных явлений в Правилах Регистра Судостроения Ллойдя 1975 г. сделано указание о необходимости дополнительных подкреплений корпусов судов длиной 120—170 м, имеющих скорость более 17,5 уз (см. § 43).

Результаты натурных испытаний. В настоящее время из-за ограниченного количества данных натурных испытаний трудно сделать достаточно обоснованные обобщения, но тем не менее

даже данные замеров ударных напряжений на единичных судах в условиях их реального плавания дают ценную информацию для прогнозирования возможных неблагоприятных ударных моментов и на других судах в сходных условиях плавания.

Значения неблагоприятных ударных нагружающих моментов, измеренных при испытаниях ряда судов, приведены в табл. 36. Поскольку размеры судов различны, более показательным относит-

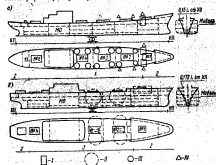


Рис. 94. Районы повреждений корпусов скоростных транспортных судов: а — судно с коротким надбавком; б — судно с удлиненным надбавком. 1 — повреждение системы набора палубы; 2 — повреждение системы набора на палубе, выходящее за борт; 3 — повреждение системы набора на палубе, выходящее за борт; 4 — повреждение системы набора на палубе, выходящее за борт.

тельные значения ударного момента, выраженные в долях от изгибающего момента при статической постановке на стандартную волну (длина волны  $\lambda$  равна длине судна  $L$ , высота  $H = L/20$ ). Поскольку ударный нагружающий момент существенно зависит от осадки, скорости судна и интенсивности волнения, рассмотрим более подробно на условиях проведения испытаний.

Для судов «Сай-Франциско» и «Оушен Вэллен» (см. § 13, 14) известно лишь, что замеренные неблагоприятные значения соответствуют условиям балластного плавания.

В 1951—1962 гг. исследовательской группой ЦНИИ им. акад. А. Н. Крылова были проведены обширные испытания (главным образом, в Атлантическом океане в рейсах на Кубу, в Аргентину

Темы авторских курсов скоростных гидротехнических судов

Пояснения	Ты курсовые			
	I	II	III	IV
Всплывающие (включая в том числе Фруда)	7—9	8—9	5—6	8—9
Система набора в районе привода	ВП, трюм № 1 — люверсовый, в остальном — аркадный	Покрывается (рефрижераторные трюмы)	Прозрачные	ВП, трюм № 1 — люверсовый, в остальном — аркадный
Характер загрузки и ее локализация	ПУ в районе трюма № 1; восток ВП, юго-западная часть и часть балласта в восточном трюме	ПУ восток ВП и боковой отсека в районе отсека № 2, 3	ПУ восток ВП	ПУ восток ВП в аркадном трюме, широтрап и продольные отсеки в восточном трюме, восток ВП, ПУ в восточном трюме и восток ВП в восточном трюме № 2

Сокращения: ВП — восточная палуба; ПУ — южная установка.

Таблица 36  
Соотношение наибольших ударных изгибающих и вращающих моментов при статической постановке на стандартную волну

Наименование судна	W, м	$M_{изг}^{max}$ , кг·см	$M_{вр}^{max}$ , тс·м	$M_{изг}^{max} / M_{вр}^{max}$
«Сиб. Франшиза»	4,20	250	9 200	0,26
«Орлен Вильям»	4,65	240	11 150	0,34
«Куббинск»	9,60	470	12 450	0,37
«Лукуга»				
с топливным грузом	5,6	40	2 240	0,06
с балластом	12,6	180	8 460	0,23
«Бордан»	7,63	180	13 550	0,27
«Мазарел скоростной»				
с топливным грузом	25,84	500	77 500	0,29
с балластом	25,84	140	37 500	0,14

и Бразилию) дизель-электрического судозорного судна «Куббинск» ( $L = 118$  м,  $B = 16,8$  м,  $T_{в} = 7,5$  м,  $\delta = 0,675$ , с кормовым расположением машинного отделения) [54, 136]. Одной из задач этих испытаний было исследование ударных моментов при смене в различных условиях плавания на перегуларном волнении при разных состояниях загрузки (осадках) судна в различных курсах углах к скоростям судна. Записи ударных напряжений от slamming производились специальной аппаратурой.

Результаты испытаний полностью не опубликованы. В отношении напряжений при смене в работе [136] приведены лишь данные, относящиеся к доловой загрузке судна (водоизмещение 6200 т, близкое к водоизмещению с балластом, осадка носом 3,43 м, осадка кормой 6,42 м) и к движению на встречном перегуларном волнении, интенсивность которого соответствовала высоте волны  $\hat{h}_{1/3} = 6,6$  м (значительная высота воды ~ 5 м) и высоте волны  $\hat{h}_{1/10} = 4,5$  м. Данные табл. 36 и 37 относятся к  $\hat{h}_{1/10} = 6,6$  м, на волнении с  $\hat{h}_{1/10} = 4,5$  м значения ударных моментов были почти вдвое меньшими. В этих испытаниях специально ставилась задача проанализировать влияние скорости судна на ударный изгибающий момент, поэтому относительные значения скорости (число Фруда) при испытаниях (см. табл. 37) значительно превосходили обычные для транспортных судов значения ( $Fr < 0,15$ ). Дизель-электрический «Куббинск» имел проектную скорость на тихой воде 10 уз; обычная для условий испытаний скорость может быть определена по формуле (1.112) и составляет 8,6 уз. При этой скорости судна значение ударного изгибающего момента  $M_{изг}^{max} = 3300$  тс·м составляло 24% изгибающего момента при статической постановке на стандартную

Таблица 37

Напряжения судна на ударный изгибающий момент  
(на данных натурных и модельных испытаний дюраль-алюминиевого  
«Кубицевиуса»)

Показатели	Натурные модели, $L=136$ м				
	6	8	10	12	13
Скорость судна, уз	0,09	0,12	0,15	0,18	0,20
Число Футов					
Наибольший ударный изгибающий момент, тс·м					
на теоретическом шпангоуте № 10	8000	4800	6000	9100	11 400
на теоретическом шпангоуте № 8	—	—	—	—	—
на теоретическом шпангоуте № 5	—	—	—	—	—
Показатели	Регуляционные модели, $L=136$ м, $A=1/20$ — 0,5 м				
	6	8	10	12	14
Скорость судна, уз	0,09	0,12	0,15	0,18	0,20
Число Футов					
Наибольший ударный изгибающий момент, тс·м					
на теоретическом шпангоуте № 10	5750	10 000	14 000	19 250	17 150
на теоретическом шпангоуте № 8	4350	11 900	17 250	19 250	20 000
на теоретическом шпангоуте № 5	3900	9 400	15 300	18 600	20 000

волну, что соответствует порядку величин, полученных в других испытаниях (см. табл. 36). Увеличение скорости судна приводило к быстрому росту ударных изгибающих моментов. При уменьшении курсового угла от 0 до 90° уменьшались как значения ударных изгибающих моментов, так и их повторяемость. Времени загрузки винтовых напряжений составляло 20—25 с, что соответствовало 3—3,5 среднего кажущегося периода изменения волновых напряжений. При полной нагрузке судна (возмещение 9200 тс, средняя осадка 7,0 м) слеминг наблюдался лишь на интенсивном волнении ( $H_{\text{в}} > 7$  м), при этом ударные изгибающие моменты порождались, по-видимому, бортовым слемингом.

Бельгийским центром корабельных исследований производились обширные испытания в море сухогрузных судов «Дукуга»,

«Жордан» и рудовоза «Манера» (средня), в частности производились замеры в модельном секторе винтовых напряжений от слеминга. Результаты испытаний опубликованы Г. Аэртоном [65, 66 и 67].

На судне «Дукуга» ( $L=136$  м,  $B=18,7$  м,  $H=12$  м,  $\delta=0,70$ ) наибольшие напряжения были замерены при следующих состояниях нагрузки судна и условиях проведения испытаний:

1) судно с полным грузом, возмещение 16 000 тс, осадка носом 8,6 м, кормой 8,9 м. Рейс Антверпен—Нью-Йорк, волнение встречное, 6 баллов по шкале Бофорта ( $H_{\text{в}}=5,5$  м), скорость судна 12,9 уз;

2) судно с балластом, возмещение 9900 тс, осадка носом 5,0 м, кормой 6,6 м. Рейс Антверпен—Нью-Йорк, волнение встречное, 7 баллов ( $H_{\text{в}}=8-8,5$  м), скорость судна 12,2 уз.

В этих условиях плавания были замерены винтовые напряжения, вызываемые ударными гидродинамическими давлениями при слеминге. При плавании с полным грузом или с нагрузкой, близкой к полной, команда судна не замечала ударов. В этих случаях слеминг не вызывал каких-либо существенных напряжений; наибольшие значения размахов вибрационных напряжений от слеминга не превосходили 80 кгс/см<sup>2</sup> для судна с полным грузом на встречном волнении и 50 кгс/см<sup>2</sup> — для судна с неполной нагрузкой при попутном волнении. Эти значения имели продолжительность от 10 до 30 с. Они повторялись примерно через 5 мин у судна с полным грузом при встречном волнении и через каждые полчаса — при попутном волнении. Для судна с полным грузом или при нагрузке, близкой к полной, вибрации при встречном шестибальном волнении сравнительно более сильны, чем при попутном семибальном волнении, хотя высота волны в последнем случае почти вдвое больше, чем в первом. При плавании с балластом на встречном семибальном волнении большие вибрационные напряжения от слеминга (около 50 кгс/см<sup>2</sup>) накладывались на волновые напряжения. Более или менее регулярно, с интервалами приблизительно в 7 мин, возникали значительные вибрационные напряжения (130—320 кгс/см<sup>2</sup>). После возмещения они в течение 6—6,5 с уменьшались почти вдвое, а примерно через 25 с затухали совсем. При сотрясенных корпусах судоводители часто снижали скорость судна, реагируя на это так же, как на непрерывные перебои в работе вала. Судно с полным грузом не испытывало слеминга при ходе со скоростью 13 уз на встречное волнение с  $H_{\text{в}}=5,5$  м. Однако при плавании с балластом даже в случае волнения, имеющего  $H_{\text{в}}=3,3$  м, возникал значительный слеминг и скорость судна уменьшалась. При типичных алемных балластных рейсах через Атлантику слеминг имел место в течение четырех дней из десяти, когда судно находилось в открытом море.

На рис. 95 показаны 40-секундные записи напряжений, соответствующие наибольшему амплитудному напряжению как в наиболее тяжелых условиях плавания с балластом, так и при плавании с полным грузом. Надо отметить, что при отсутствии регулярности в появлении сляминга отношение числа этих ударов к числу циклов волновых (низкочастотных) напряжений было почти постоянно и составляло 0,020—0,025. Во всех случаях амб-

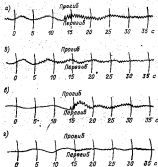


Рис. 95. Ударные напряжения в корпусе судна «Лукулус»: а — судно с балластом,  $v=12,5$  уз,  $\phi=40^\circ$ ,  $k^2_{1/2}=-8,5$ ; б — судно с балластом,  $v=11,7$  уз,  $\phi=25^\circ$ ,  $k^2_{1/2}=-7,0$ ; в — судно с балластом,  $v=8,8$  уз,  $\phi=25^\circ$ ,  $k^2_{1/2}=-8,0$ ; г — судно с полным грузом.

рационные колебания имели частоту корпуса 1-го тона. Отмечено, что наиболее тяжелые удары происходили в тот момент, когда мидельное сечение судна располагалось впереди вершины волны на расстоянии, соответствующем примерно  $1/3$  периода волны (т. е. почти непосредственно после спада миделя с вершины волны), а судно находилось в горизонтальном положении. Менее тяжелые удары возникали тогда, когда мидельное сечение находилось на вершине волны или несколько раньше, при этом размах наибольших амплитудных напряжений был не больше половины размаха волновых напряжений. Следствием сляминга являлось увеличение напряжений в мидельном сечении

на подошве волны, но напряжения на вершине волны, наиболее важные для данного типа судна, не изменялись.

При десятидневном испытании в море сухогрузного судна «Жордан» ( $L=146,2$  м,  $B=20,1$  м,  $T=12,4$  м,  $\Gamma=8,8$  м,  $\delta=-0,692$ ,  $D=19,057$  тс) в случае балластной осадки не было встречено достаточно сильного волнения для возникновения сляминга [66]. Однако в условиях плавания с полной нагрузкой при неблагоприятной погоде наблюдались некоторые интересные особенности. Замечено, что до тех пор пока значения размахов волновых напряжений в мидельном сечении верхней палубы не превосходили 60 кгс/см<sup>2</sup>, команда судна не замечала сляминга. Это пороговое значение напряжений при сляминге для данного судна соответствовало ударному изгибающему моменту, равному 2260 тс·м. Наибольшее амплитудное напряжение (160 кгс/см<sup>2</sup>) в 6 раз превосходило это пороговое значение и составляло 48% наибольших волновых напряжений (в условиях кручения  $k^2_{1/2}=-7,8$  м, при скорости  $v=9,3$  уз). Число ударов составляло 7,9 удара в час. На более интенсивном волнении ( $k^2_{1/2}=-13,4$  м) скорость упала до 3,3 уз, а курсовой угол составил  $\phi=30^\circ$ . Наибольшее значение размаха амплитудных напряжений оказалось равным всего 70 кгс/см<sup>2</sup>, т. е. лишь немного больше порогового значения.

В 1966 г. в течение более десяти месяцев производились мореходные испытания в Северной Атлантике большого бельгийского рудовоза «Минерал серинг» [67]. Характеристики судна следующие:  $L=218$  м,  $B=32$  м,  $H=16,4$  м,  $\Gamma=11,8$  м,  $\delta=-0,62000$  тс, эксплуатационная скорость 16 уз ( $F_r=0,178$ ). Судно плавало в очень суровых погодных условиях как при полной нагрузке, так и с балластом.

Если на судне «Жордан» команда не реагировала на сляминг до тех пор, пока размах амплитудных напряжений не достигал 60 кгс/см<sup>2</sup>, то для рудовоза пороговое значение размаха напряжений составило 200 кгс/см<sup>2</sup>. Это повышение порога чувствительности по амплитудным напряжениям пропорционально увеличению момента сопротивления эквивалентного бруса рудовоза по сравнению с моментом сопротивления судна «Жордан»

$$\left(60 \frac{25,5}{7,25} = 200 \text{ кгс/см}^2\right).$$

Когда рудовоз попадал на волнение, характеризующее 7 баллами по Бофарту, регистрировалось замедление вертикальных перемещений носа, равное около  $1g$  ( $g=9,81$  м/с<sup>2</sup>) при плавании как с полным грузом, так и с балластом. При балластном плавании на встречном 7-балльном волнении такое же замедление регистрировалось даже в корме.

Замеренные на рудовозе волновые и амплитудные напряжения оказались наибольшими из когда-либо измеренных Бельгийским

центр веревочных исследований. Максимальные кингговым напряжения (600 кгс/см<sup>2</sup>), равные 55,5% наибольшего размаха волновых напряжений, были отмечены при плавании рудовоза с балластом ( $D = 41\ 960$  тс, осадка носом 6,9 м, осадка кормой 8,1 м,  $\delta = 0,78$ ) на астречном волнении с  $\lambda = 6,2$  м при скорости 7,3 уз ( $Fr = 0,060$ ); при курсовом угле 18°. При плавании рудовоза с полным грузом ( $D = 67\ 900$  тс, осадка носом 11,6 м, осадка кормой 11,9 м,  $\delta = 0,80$ ) на астречном 9-баллонном волнении с  $\lambda = 6,7$  м при скорости 4,6 уз ( $Fr = 0,063$ ) и курсовом угле 10° одновременно с наибольшими волновыми напряжениями (размах 1440 кгс/см<sup>2</sup>) были замерены кингговые напряжения с наибольшей амплитудой 145 кгс/см<sup>2</sup>, которая составляла 18% наибольших приближенных волновых напряжений, равных 800 кгс/см<sup>2</sup>.

Важно следующие замечание Г. Аэрстена [67]: «Вид записей напряжений дает основание считать, что замеренные при испытании кингговые напряжения не должны складываться с высокочастотными волновыми напряжениями».

По результатам натурных испытаний судов можно сделать следующие выводы.

1. Наибольшие ударные изгибающие моменты, действующие на судно в процессе эксплуатации, имеют место при загрузке балластом и составляют примерно 25—30% изгибающего момента при статической постановке судна на стандартную волну. При плавании с полным грузом эти значения не превосходят 5—15%.

2. Слеминг вызывает упругие колебания корпуса с частотой 1-го тона.

3. Наиболее существенное влияние на ударные изгибающие моменты оказывают интенсивность волнения, скорость судна и курсовой угол.

Результаты модельных испытаний. Модельные испытания, имеющие целью исследование ударных изгибающих моментов, проводятся, как правило, на регулярном волнении в опытных бассейнах. Полученные при этом значения моментов не отражают, естественно, количественных закономерностей влияния слеминга, имеющего сложную физическую и статистическую природу в условиях реального нерегулярного волнения. Ценность результатов модельных испытаний заключается в другом. Они позволяют изучить механизм явления в главных чертах, проанализировать влияние основных факторов, наконец, проверить достоверность расчетных формул для определения ударного изгибающего момента в условиях регулярного волнения. Для этих целей используются легко осуществимые при модельных испытаниях широкие вариации обводов и скоростей судна, размеров волн, курсовых углов; при этом регистрируется целый ряд параметров, характеризующих явление (рис. 95).

Нужно отметить, что в иностранной судостроительной литературе, посвященной слемингу, основное внимание уделено ударным давлениям в носовой части судна, а изгибающие напряжения и соответствующие им ударные изгибающие моменты либо изучаются попутно, либо не рассматриваются вообще. Примером могут служить описанные выше испытания, проведенные М. Оги на регулярном волнении ударные моменты и кингговые напряжения не измерялись, на регулярном — изучались в более скромном объеме, чем ударные давления. Однако и при этом автором были сделаны следующие важные выводы.

1. Наибольшие кингговые напряжения возникают при движении на волнах, длина которых равна примерно длине судна ( $\lambda = 1,03L$  при U-образных носовых шпангоутах и  $\lambda = 1,1L$  при V-образных носовых шпангоутах). При волнах меньшей или большей длины кингговые напряжения существенно уменьшаются, а волны длиной менее 0,7L или более 1,5L вообще не вызывают опасных напряжений независимо от скорости судна.

2. Чем больше высота волн, тем более интенсивным становится слеминг и тем больше кингговые напряжения. Зависимость кингговых напряжений от высоты волны может быть выражена следующей приближенной формулой:

$$\sigma_{\text{киг}} = \alpha (\lambda - \lambda_{\text{ниж}})^2,$$

где  $\lambda$  — высота волны, а  $\lambda_{\text{ниж}}$  — минимальная (пороговая) высота волны, составляющая примерно  $L/50$  при  $\lambda = L$ .

3. Наибольшие кингговые напряжения в продольных свях возникают при тех же скоростях судна, при которых действуют и наибольшие давления на носовую часть дельты. Минимальная скорость судна, при которой появляется слеминг, составляет  $Fr = 0,115$  при U-образных и  $Fr = 0,130$  при V-образных носовых шпангоутах.

4. Зависимость между осадкой и кингговыми напряжениями та же, что и для давлений при слеминге. Уменьшение

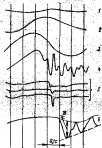


Рис. 96. Осциллограммы процесса и момент удара [67].

1 — вертикаль; 2 — вертикаль; 3 — вертикаль; 4 — вертикаль; 5 — вертикаль.

осадки приводит к росту напряжений, увеличение осадки — к их уменьшению. Наибольшие винтовые напряжения имеют место при балластной осадке; при переходе к осадке, соответствующей полной нагрузке, напряжения уменьшаются на 1/4; дальнейшее увеличение осадки до 1/2 полной нагрузки судна уменьшает напряжения до 1/10 их значений при балластной осадке. При осадке, соответствующей полной нагрузке судна, винтовые напряжения не возникают на волках, высота которых меньше 1/10 длины судна. Существует также предельная осадка, при которой сдвиг не возникает вообще.

Для избежания интенсивного сдвига желательно, чтобы осадка судна была не менее 0,045L.

5. Форма обводов носовой оконечности практически не влияет на винтовые напряжения.

6. Наибольшие винтовые напряжения в палубе (для условий плавания с балластом при средней осадке 0,033L и осадке носом 0,013L) имеют место не на миделе, а в бетоне, смещенном на 0,075L в нос от миделя. Напряжения в этом сечении приблизительно в 1,3 раза больше, чем на миделе.

При испытаниях на регулярном волнении модели судна «Марсера», проведенном М. Опи, ударные моменты не измерялись. Однако, используя приведенные выше в табл. 34 значения равнодействующей ударных давлений (ударной силы) и данные о сечениях, в которых приложена эта равнодействующая, можно вычислить наибольшие ударные моменты в миделевом сечении этого судна при плавании его с балластом и с различными скоростями на встречу волнению переменной интенсивности.

Ударный изгибающий момент, возникающий в упругом корпусе судна от действия ударной силы, определяется следующей приближенной формулой:

$$M_{y2} \approx P_{max} f_1(x_2) k(x) L^2 (\tau_{y2}), \quad (2.35)$$

где  $P_{max}$  — равнодействующая ударных давлений;  $x_2$  — координата точки ее приложения;  $f_1(x_2)$  — форма колебаний 1-го тона, соответствующая собственной частоте колебаний  $\omega$ ;  $\nu$  — коэффициент динамичности, зависящий от отношения продолжительности удара  $\tau_{y2}$  к периоду упругих колебаний 1-го тона:

$$\tau_{y2} = \frac{\tau_{y2} \omega}{\pi}; \quad (2.36)$$

$k(x)$  — коэффициент изменения ударного момента по длине судна:

$$k(x) = \frac{\int_0^L m(x) f_1^2(x) dx dx}{L \int_0^L m(x) f_1^2(x) dx}$$

$m(x)$  — суммарная погонная масса судна и присоединенной воды в сечении  $x$ .

Значения коэффициента  $k(x)$  для миделевого сечения транспортных судов находятся обычно в пределах 0,16—0,18.

Вычисления В. В. Кожельковым по данным табл. 34 отношения наибольших ударных моментов  $M_{y2}$  к волновому моменту при статической постановке на стандартную волну  $M_0$  приведены в табл. 36. Эти моменты при реально возможных сочетаниях скорости судна и интенсивности волнения, определенных формулой (1.112), соответствуют данным натурных испытаний (см. табл. 36). Сопоставление с табл. 34 показывает, что тяжелый сдвиг, сопровождаемый ударным моментом, составляющим 25% статического момента при постановке на стандартную волну, вызывается суммарной ударной силой, равной 25% водоизмещения судна с балластом.

Таблица 36

Отношение наибольших ударных моментов к волновому моменту при статической постановке на стандартную волну судна «Марсера»

Показатели	Интенсивность волнения $H_{y2}$ , м		
	10		
Скорость судна, уз Число Фруда $M_{y2}/M_0$	10 0,128 0,09	15 0,193 0,11	20 0,256 0,18
Показатели	Интенсивность волнения $H_{y2}$ , м		
	10,5		
Скорость судна, уз Число Фруда $M_{y2}/M_0$	0 0,07	5 0,094 0,10	10 0,128 0,21
15 0,193 0,17			
Показатели	Интенсивность волнения $H_{y2}$ , м		
	10,5		
Скорость судна, уз Число Фруда $M_{y2}/M_0$	0 0,07	5 0,094 0,12	7,5 0,096 0,21

При модельных испытаниях, на которых измерялись ударные изгибающие моменты, выполнен в носовой стреле. Все сны, как уже отмечалось, проводились на регулярном волнении.

В опытовом бассейне ЛКИ была испытана модель дизель-электростанции «Куйбышев» [30] с натурных испытаний которой шла речь выше. Результаты измерений ударного момента при осадках судна, соответствующих балластному водонамещению ( $D=6070$  т,  $T_0=3,5$  м,  $T_0=6,1$  м), на регулярных волнах длиной, равной длине судна, и высотой  $H=C/20$ , приведены в табл. 37. Из этих данных видно, что наибольший ударный момент действует в миделевом сечении только при скорости судна до 6 уз. При больших скоростях судна наибольший ударный момент смещен на 0,1L в нос от миделя, причем здесь он на 10—20% больше ударного момента на миделе. Уменьшение высоты волны в полтора раза привело к снижению ударных изгибающих моментов почти вдвое.

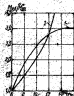


Рис. 37. Зависимость относительной величины ударного изгибающего момента от скорости судна.

I — на регулярных волнах; II — на нерегулярных волнах.

Сопоставление результатов испытаний одного и того же судна в условиях регулярного и нерегулярного волнения (табл. 37) показывает, что ударные изгибающие моменты на регулярном волнении получаются значительно большими. В то же время относительная равномерность изменения ударных изгибающих моментов в зависимости от осадки определяющих факторов оказывается близкими. В качестве примера на рис. 97 показана зависимость от скорости судна на нерегулярном и регулярном волнении ударного изгибающего момента  $M_{\text{из}}$  на миделе, отнесенного к его значению  $M_{\text{из}}^{\text{н}}$  при скорости судна 6 уз (по данным табл. 37). Видно, что для реальной скорости судна ( $v < 10$  уз) обе кривые удовлетворительно согласуются.

В опытовом бассейне ЦНИИ им. А. Н. Крылова была проведена испытания [42] четырех вариантов моделей танкеров и сухогрузных судов при разных скоростях, отношениях длин моделей и волн, различных крутизне волн и состояниях весовой нагрузки. Варианты моделей отличались общей полнотой корпуса и формой носовой оконечности. Некоторые результаты этих испытаний представлены на рис. 98. На основе расчетного анализа результатов испытаний авторами работы, выполнявшейся под руководством Г. О. Таубина, были сделаны следующие основные выводы.

1. Максимальные значения ударного изгибающего момента имеют место при относительных длинах волн  $\lambda/L = 1,0-1,2$ .

2. Влияние скорости судна на ударный изгибающий момент определяется близостью ее к резонансному значению по килевой

качке. При малых относительных значениях скорости (до  $Fr = 0,1$ ) это влияние невелико; в случае приближения к резонансному значению скорости ударный момент быстро возрастает, достигая максимального значения при скорости судна, несколько меньшей ее резонансного значения; в зарезонансной зоне ударный момент уменьшается.

3. Изменение распределения весовой нагрузки по длине судна влияет на резонансную скорость и через нее на ударный изгибающий момент. При этом изменяется как максимальная вели-

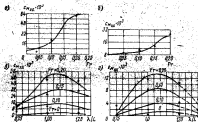


Рис. 98. Результаты испытаний моделей танкеров и сухогрузных судов (крутизна волн  $k/L = 1/10$ ): а — танкер с U-образной формой носовой оконечности ( $\psi_0 = 1^{\circ}25'$ ;  $L/L = 1$ ); б — танкер с V-образной формой носовой оконечности ( $\psi_0 = 1^{\circ}15'$ ;  $L/L = 1$ ); в — танкер «Рихард Зорге» ( $\psi_0 = 0$ ); г — танкер «Ленинский комсомолец» ( $\psi_0 = 0$ ); ■  $Fr = 0,15$ ; ▲  $Fr = 0,11$ ; ■  $Fr = 0,25$  — соответственно; — расчет по [42].

же момента, так и распределение момента по длине судна. При обычно встречающемся на практике балластных нагрузках и скоростях судов изменения ударного момента лежат в пределах 15—25%, однако для судов с нестандартной нагрузкой влияние ее распределения может быть более существенным.

4. На значение ударного момента влияет не столько форма обводов носовой оконечности, сколько общая форма корпуса судна, характеризующая его полнотой, прежде всего — коэффициентом вертикальной килевой  $\chi = \delta/\lambda$ .

Отметим также проведенные в ЛИВТ испытания крупномасштабных моделей транспортных судов с кормовым расположением надстройки и машинного отделения в балластном состоянии нагрузки [47]. Измерение ударных изгибающих моментов при движении косыми курсовыми углами к волнам различной

относительной длины показали, что их значения зависят от параметра  $\tilde{\lambda} = \lambda/L \cos \varphi$ , причем различные комбинации относительной длины волны  $\lambda/L$  и курсового угла  $\varphi$ , соответствующие одному и тому же значению параметра  $\tilde{\lambda}$ , дают близкие значения

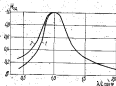


Рис. 99. Относительный ударный возмущающий момент при взде носовой оконечности судна в на волнах с длиной, отличной от длины судна.  
1 — судно с носовой оконечностью; 2 — судно с полным обшивкой.

ударного момента  $M_{\text{уд}}$ . На рис. 99 показана зависимость от  $\tilde{\lambda}$  относительной величины ударного момента  $M_{\text{уд}}^* = M_{\text{уд}}/M_{\text{уд}}^0$ , где  $M_{\text{уд}}^0$  — момент, соответствующий движению вразрез волнам длиной, равной длине судна ( $\varphi = 0^\circ$ ,  $\lambda = L$ ).

## § 27. Расчетные оценки ударных возмущающих моментов

Результаты натурных и модельных испытаний и теоретические их обобщения позволили разработать ряд методов расчета оценки ударных возмущающих моментов, действующих на корпус судов при плавании на волнении [51, 42, 47, 3]. Каждый из них имеет свои особенности и свою область применения. Рассмотрим расчетную формулу, предложенную в работе [3] и включенную в новую редакцию проекта «Норм прочности» для широкого практического использования. Эта формула использует зависимость между ударным возмущающим моментом, возникающим на регулярных волнах, и приведенным импульсом гидродинамических сил, действующих на корпус при ударе носовой оконечности о волну:

$$M_{\text{уд}} = I_{\text{уд}} \rho k(x) L v \left( \frac{v}{2g} \right). \quad (2.37)$$

Она аналогична формуле (2.35) и содержит те же обозначения, с той лишь разницей, что вместо приведенной силы  $P_{\text{уд}}/f_1(x)$

в нее входит приведенный импульс  $I_{\text{уд}}$  и частота собственных упругих колебаний 1-го тона  $\sigma_1$ .

Приведенный импульс определяется формулой

$$I_{\text{уд}} = \int_{-\frac{0,4x}{L}}^{0,4x} f_1(x) dx, \quad (2.38)$$

где  $f_1(x)$  — волновой импульс гидродинамических сил в сечении с координатой  $x$  (начало координат на миделе), определяемый зависимостью, вытекающей из закона сохранения количества движения при ударе<sup>1</sup>:

$$f_1(x) = \Delta m(x) \sigma(x), \quad (2.39)$$

где  $\Delta m(x)$  — присоединенная масса, характеризующая гидродинамическую силу в данном сечении и соответствующая определенному уровню погружения сечения, при котором ударное воздействие в сечении заканчивается;  $\sigma(x)$  — вертикальная скорость пересечения шпангоутом волновой поверхности.

Вычисление приведенного импульса основывается на следующей закономерности, установленной экспериментально-теоретическими исследованиями:

1) быстрое нарастание гидродинамических сил в носовой оконечности, воспринимаемое корпусом судна как удар, сопровождается два отдельных друг от друга физических явления:

погружение в волну носовой оконечности, не имеющей значительного развала шпангоутов, после оголения днища (днщевой слеминг);

погружение в волну носовой оконечности, имеющей значительный развал шпангоутов, без предварительного оголения днища (бортовой слеминг);

2) наибольший приведенный импульс при днщевом слеминге связан с максимальным оголением днища носовой оконечности, при бортовом слеминге — с максимальным погружением бортов носовой оконечности в волну;

3) как наибольшее оголение днища, так и наибольшее погружение бортов носовой оконечности имеют место при движении судна вразрез регулярным волнам, длина которых соответствует максимальным относительным (по отношению к поверхности волн) вертикальным перемещениям носовой оконечности; обычно это соответствие имеет место при относительной длине волны  $\lambda/L \approx 1$ ;

4) зависимость ударного возмущающего момента от высоты волны  $h$  может быть аппроксимирована формулой

$$M_{\text{уд}}(h) = \frac{h(\lambda - h_0^2)}{h^2(h^2 - h_0^2)} M_{\text{уд}}(h^*), \quad (2.40)$$

<sup>1</sup> Помимо другой точки и определенного ударной нагрузки на носовую оконечность (см., например, [55]).

Здесь  $A^*$  — некоторая характерная высота волны длиной  $\lambda = L$ , на которой длиневому элементу соответствует оголение в последующее погружение участка от носового перпендикуляра до сечения, совпадающего с углом 1-го тона упругих колебаний корпуса (обычно это сечение находится в районе 5—5½ теоретического шпангоута). Коэффициент указанного сечения  $\alpha_2$  служит нижним пределом интеграла в (2.38). При бортовом элементе этой высоте волны  $A^*$  соответствует погружение носовой оконечности по верхней кромке борта.

Величина  $A^*$  — некоторая «критическая» высота волны: при меньших высотах волн ударные моменты практически отсутствуют. При плавании судна на волнах высотой  $A^*$  происходит оголение носовой оконечности до некоторого характерного шпангоута, положение которого зависит от формы обводов носовой оконечности: для судов с полными обводами носовой оконечности (танкеров) характерным является 2-й теоретический шпангоут; для сухогрузных судов со сравнительно острыми обводами характерным шпангоут смещается в район 2½ теоретического шпангоута;

3) при длиневом элементе воздействие ударных гидродинамических сил в сечении происходит в процессе его погружения до осадки  $T_{\text{уд}}$  от 0,1В;

б) относительная вертикальная скорость сечения и волновой поверхности изменяется по длине зоны удара по линейному закону.

Для характеристики обводов носовой оконечности рассматриваются 2-й и 5-й теоретические шпангоуты, погруженные следующим образом (рис. 100): при расчете дашшевого элемента — по уровню  $T_{\text{уд}}$ , при расчете бортового элемента — по кромке борта и по действующую ватерлинию. Затем определяются их коэффициенты полноты  $\beta_1, \beta_2$  и шарнира ватерлинии  $b_1, b_2$ , после чего вычисляется величина  $\bar{S}_2$ , равная для дашшевого элемента

$$\left. \begin{aligned} \bar{S}_1 &= \frac{b_1}{b_2} \left( \frac{\beta_1}{\beta_2} \right)^{1/2}, \\ \bar{S}_2 &= \frac{b_2}{b_1} \left( \frac{\beta_2}{\beta_1} \right)^{1/2}, \end{aligned} \right\} \quad (2.41)$$

для бортового элемента

в зависимости от которой по графикам рис. 100 находят коэффициенты  $c(\bar{S}_2)$  или  $c'(\bar{S}_2)$ . Для судов со сравнительно острыми обводами, при которых  $\bar{S}_2 \ll 0,4$ , рекомендуется при определении коэффициента  $c$  рассматривать 2½ теоретический шпангоут и определять  $\bar{S}_2$  так же, как по формулам (2.41), но значениями  $\beta_{2,3}$  и  $b_{2,3}$ . При расчете бортового элемента, кроме  $c'(\bar{S}_2)$ , в ка-

честве геометрической характеристики носовой оконечности используется угол килеватности контура 2-го теоретического шпангоута, измеренный на уровне верхней кромки борта ( $\theta_2$ ) и действующей ватерлинии ( $\theta_3$ ) (см. рис. 100); в зависимости от этой величины определяется коэффициент

$$A(\theta) = 1 - 0,5 \left( \frac{\theta}{100^\circ} \right)^{1,5}. \quad (2.42)$$

Значение  $v_0$  вертикальной скорости входа в волну 0-го теоретического шпангоута характеризует относительную кинематику

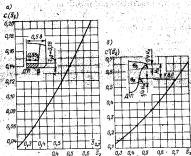


Рис. 100. Геометрические характеристики носовой оконечности: а — для расчета дашшевого элемента; б — то же для бортового.

судна и волны во время удара. Оно может быть получено из формулы (2.15) для момента времени, соответствующего касанию носовым перпендикуляром поверхности волны (при длиневом элементе) или погружению носового перпендикуляра по кромке борта (при бортовом элементе). Этим случаем соответствуют также следующие приближенные формулы, полученные дифференцированием по времени выражения (2.14) для относительных перемещений:

$$v_0 = \frac{g}{2} \dot{\alpha}_0 (1 + 2,5Fz) \sqrt{\frac{2\pi g}{L}} \sqrt{1 - \left( \frac{2Fz}{h\alpha_0} \right)^2}, \quad (2.43)$$

$$v_0 = \frac{g}{2} \dot{\alpha}_0 (1 + 2,5Fz) \sqrt{\frac{2\pi g}{L}} \sqrt{1 - \left( \frac{2Fz}{h\alpha_0} \right)^2}, \quad (2.44)$$

где  $\lambda$  — расчетная высота волны;  $a_0$  — максимум амплитудно-частотной характеристики относительных (по отношению к волновой поверхности) перемещений носового перпендикуляра;  $F_T$  — число Фруда, соответствующее скорости судна на волнах;  $T_h$  — осадка и высота надводного борта судна на тихой воде по нулевому теоретическому шпангоуту.

Для определения величины  $a_0$  рекомендуется следующее расчетное выражение, полученное аппроксимацией результатов расчетов, выполненных описанным в [4]:

$$a_0 = 1.2(1.3 + 6.5F_T)(2.4 - 1.75\alpha) \left(0.65 + 10 \frac{T}{\lambda}\right) \left(0.25 + 3 \frac{T}{\lambda}\right), \quad (2.45)$$

где  $T$  и  $\alpha$  — осадка судна на миделе по действующую патуернию и коэффициент волноты этой патуернии;  $\rho$  — радиус инерции масс судна.

Как отмечалось выше, при дельтовом срезе условием выбора характерной высоты волны  $\lambda^*$  являются осадки 5-го теоретического шпангоута. Поскольку такое явление имеет место при равенстве осадки по этому шпангоуту  $T_5$  амплитуде относительных перемещений в этом сечении, равной  $\frac{1}{2} a_0 \lambda^*$  ( $a_0$  — максимум амплитудно-частотной характеристики относительных перемещений для 5-го теоретического шпангоута), то

$$\lambda^* = \frac{2T_5}{a_0}. \quad (2.46)$$

С учетом (2.46) сомножитель в выражении (2.43) может быть приближенно представлен в виде

$$\sqrt{1 - \left(\frac{2T_5}{\lambda^* a_0}\right)^2} = \sqrt{1 - \left(\frac{T_5 a_0}{T_5 a_0}\right)^2} \approx 0.85 \left(1 + \frac{1}{3} \frac{T}{\lambda}\right), \quad (2.47)$$

где  $\psi$  — дифферент, рад (положительный на корму).

Величина  $\lambda^*$  может быть определена соотношением, аналогичным (2.46):

$$\lambda^* = \frac{2T_5}{a_0}, \quad (2.48)$$

в котором  $T_5$  и  $a_0$  — параметры характерного сечения.

Продолжительность действия ударной нагрузки  $T_{23}$ , от которой зависит коэффициент динамичности  $\psi$ , определяется приближенно как время погружения характерного сечения. Отношение этой величины к полупериоду колебаний 1-го тона равно:

$$\bar{T}_{23} = \frac{0.06(1.15 - \beta_2) \bar{\delta}_1}{1 + 2.5F_T}; \quad (2.49)$$

при бортовом срезе

$$\bar{T}_{23} = \frac{0.36N_2^2}{(1 + 2.5F_T) a_0 \beta_2}. \quad (2.50)$$

Здесь:  $\beta_2$ ,  $N_2$ ,  $a_0$  — коэффициент волноты, надводный борт и максимальная ордината амплитудно-частотной характеристики относительных перемещений характерного сечения;  $\bar{\delta}_1$  — относительная частота колебаний корпуса 1-го тона:

$$\bar{\delta}_1 = \alpha \sqrt{\frac{T}{\rho}}. \quad (2.51)$$

С учетом сказанного; опуская некоторые преобразования, формулу (2.37) можно представить в следующем окончательном виде:

при дельтовом срезе

$$M_{T_{23}} = 0.015 \frac{\lambda}{L} \left(\frac{\lambda}{L} - \frac{2T}{a_0 L}\right) a_0^2 K_{\phi, \psi}(\bar{T}_{23}) (1 + 2.5F_T) \times \\ \times \left(1 + \frac{1}{3} \frac{T}{\lambda}\right) \frac{L}{107} B^2 L^2; \quad (2.52)$$

при бортовом срезе

$$M_{T_{23}} = 0.006 \frac{\lambda}{L} a_0 K_{\phi, \psi} \left[ \frac{K_{\phi, \psi}}{K_{\phi, \psi}} \sqrt{1 - \left(\frac{1.7N_2}{a_0 \beta_2}\right)^2} - 1 \right] \times \\ \times \bar{\delta}_1(\bar{T}_{23}) (1 + 2.5F_T) B^2 L^2. \quad (2.53)$$

Здесь  $\lambda$  — расчетная высота волны, длина которой равна длине судна;  $L$ ,  $B$ ,  $T$  — длина, ширина, осадка судна на миделе;  $T_h$ ,  $N_2$  — осадка и надводный борт в характерном сечении;  $a_0$  — максимум амплитудно-частотной характеристики относительных перемещений характерного сечения:

$$a_0 = \frac{\rho_0}{1.2}; \quad (2.54)$$

$a_0$  вычисляется по формуле (2.44);  $K_{\phi}$  — коэффициент формы носовой оконечности:

$$K_{\phi} = c(\bar{S}_1) \delta_1^2 \delta_2^2; \quad (2.55)$$

$c(\bar{S}_1)$  находится по рис. 100 в функции от величины  $\bar{S}_1$  [см. формулу (2.41)];

$$\delta_2 = \frac{\rho_0}{B}; \quad (2.56)$$

$K_{\phi, \psi}$ ,  $K_{\phi, \psi}$  — коэффициенты формы носовой оконечности, определяемые по 2-му теоретическому шпангоуту при погружении его

по кромку борта и по действующую интерацию соответственно:

$$\left. \begin{aligned} K_{k, s} &= k(\beta_0) \epsilon' (\bar{S}_{30}) \bar{V}_s; \\ K_{k, s} &= k(\beta_0) \epsilon' (\bar{S}_{30}) \bar{V}_s. \end{aligned} \right\} (2.57)$$

$k(\beta_0)$  вычисляется по формуле (2.42),  $\epsilon' (\bar{S}_{30})$  — по рис. 100;  $\beta_0$  — относительная частота колебаний корпуса 1-го тона (см. формулу (2.51));  $F_F$  — число Фруда, соответствующее скорости судна на волнении;  $\psi$  — дифферент судна (положительный на корму);  $\gamma$  — коэффициент декарности, определяемый по рис. 101 и функция от относительной величины  $T_{30}$ , которая вычисляется по формулам (2.49) или (2.50).

Результаты расчетов по формулам (2.52) и (2.53) удовлетворительно согласуются с экспериментальными данными. Для примера на рис. 102 приведены расчетные и экспериментальные значения коэффициента ударного момента  $C_{M, \text{тн}} = \frac{M_{\text{тн}}}{\frac{1}{2} \rho V B L^3}$  для

двух судов, модельные испытания которых были описаны выше [42]. Опытные данные соответствуют половине первоначального размаха колебаний ударного момента (см. рис. 96), в котором,

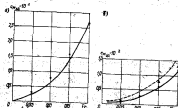


Рис. 100. Сравнение результатов расчета с экспериментальными данными: а — для танкера «Софокс»; б — для танкера «Тенерифе».

Для  $k(\beta_0)$ ,  $\psi = 0$ ;  $\gamma$  — экспериментально; — расчет; для  $k(\beta_0)$ ,  $\psi = 0$ ;  $\gamma$  — экспериментально; — — — расчет.

как известно, продвигается дополнительное воздействие колебаний высших тонов (увеличение примерно на 15—20%). Эти объясняются некоторым превышением данных эксперимента над расчетными (за те же 15—20%), особенно заметное в случае дифферента, когда увеличение доли тона охлаждения и смешение максимума ударных нагрузок к углу формы 1-го тона приводит к относительно большому влиянию высших тонов.

Результаты расчетов по формуле (2.52) согласуются также с расчетными данными, полученными по другим методам (такие данные из работы [42] приведены на рис. 98). Следует отметить, что число таких сопоставлений пока невелико, и в первую очередь, из-за малого числа экспериментов. Поэтому проверку надежности формул (2.52) и (2.53) нельзя считать законченной, как и процесс совершенствования самих формул.

Напомним, что рассмотренные формулы определяют ударный изгибающий момент для судна, движущегося через регулярные волны, длина которых равна длине судна. Применительно к регулярному волнению использование этих формул для определения ударных нагрузок на корпус судна и для последующей оценки прочности корпуса является условным. Отмеченная условность пропадает прежде всего в выборе исходных данных для расчета, который, как известно, тесно связан со способом последующего использования полученного результата в общей схеме оценки прочности. Поэтому в проекте «Норм прочности» имеются специальные указания о выборе расчетной высоты волны и расчетной скорости судна при определении ударного изгибающего момента. Для получения статистических характеристик ударных изгибающих моментов (например, их долговременных распределений, подобных долговременным распределениям волновых нагрузок) необходимо разработать специальный аппарат, в рамках которого указанные формулы займут свое место. Попытки создания такого аппарата предпринимаются (например, [4, 47]).

## Глава 8. ВОЛНОВАЯ ВИБРАЦИЯ

### § 28. Явление волновой вибрации

При эксплуатации больших полностью сварных судов (причем здесь, танкеров и судов для перевозки массовых грузов) в их корпусах появляется сильная вибрация в случае плавания на сравнительно слабом волнении. При этом колебания напряжений в продольных слагах корпуса имеют частоту собственных упругих колебаний корпуса 1-го тона, как и винтовые напряжения; однако, в отличие от последних, эти колебания возникают вне

связи с сезоном косовой омоничности и имеют незагасающий характер. Такое явление получило название «спрингга», или «волновой вибрации». Проведенные натурные и модельные испытания [70, 124, 104, 92] позволили установить основные черты этого явления и факторы, его определяющие.

В 1967—1970 гг. Американским Бюро Судостроения [104] были проведены обширные испытания в море пяти судов (одного на-

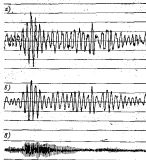


Рис. 103. Записи вибраций, вызванных изгибом на волнении (7 баллов по шкале Бофорта) и волновой вибрацией (судно «Фотини Л»): а — суммарные напряжения; б — напряжения от изгиба на волнении (частота  $\sim 0,1$  Гц); в — напряжения волновой вибрации (частота  $\sim 0,7$  Гц).

калочного судна «Фотини Л» дедвейтом 74 200 тс, длиной 264 м, и четырех танкеров длиной от 238 до 327 м). Судя совершали рейсы по широкому распространяемому торговому пути (Персидский залив—Европа—США вокруг мыса Доброй Надежды, Персидский залив—Япония—США и т. п.); запись напряжений облоного изгиба на миделе выполнялась автоматически на протяжении трех лет через каждые 4 ч и в течение 30 мин (рис. 103). Методом фильтрации напряжения были разделены на две составляющие: на волновые напряжения, имеющие кажущуюся частоту волны, и напряжения волновой вибрации с частотой собственных изогнутых колебаний корпуса 1-го тона. Это позволило оце-

нить значение каждой составляющей и исследовать закономерности их суммирования. Установлено, что для судна «Фотини Л» максимальные значения каждой составляющей напряжений примерно одинаковы, однако реализуются они в разные моменты времени и потому не суммируются. Изучение нескольких копированных записей показало, что напряжения «спрингга» возникали 12 раз за 50 мин и поддерживались довольно длительное время. Сравнительно высокий уровень напряжений, сопоставимый с уровнем волновых, имел место 4 раза, причем напряжения со-

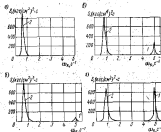


Рис. 104. Энергетические спектры нормальных напряжений в корпусе танкера дедвейтом 47 000 тс: а — при скорости судна 2,5 уз; б — при 7 уз; в — при 11,5 уз; г — при 15,5 уз. 1 — область напряжений «спрингга»; 2 — область волновых напряжений.

нжались около 2—2,5 мин; следовательно, в течение 20% времени в корпусе существовали повышенные напряжения, включающие напряжения волновой вибрации. Нужно отметить, что «спрингга» наблюдался на всех пяти судах, однако соответствующие напряжения на танкерах были значительно меньше.

Как в этих испытаниях, так и в других наибольшие размахи напряжений «спрингга» значительно различались для разных судов, состояний загрузки, интенсивности волнения, скорости, курса и угла (по данным [124] эти значения достигали 415 кгс/см<sup>2</sup>). Наиболее существенно зависимость от скорости, о чем свидетельствуют спектры на рис. 104. Ожидаются обратные зависимости суммарных напряжений (волновых и «спрингга») в корпусе танкера дедвейтом 47 000 тс ( $L = 215$  м) при движении его с разными скоростями на волнении интенсивностью

$A_{2\lambda} = 3,7$  м [70]. Установлено, что напряжения волновой вибрации увеличиваются приблизительно пропорционально квадрату скорости судна. Ближние курсовые углы показаны на рис. 105 (для того же судна на волнении интенсивностью  $A_{2\lambda} = 2,1$  м).

Видно, что напряжения волновой вибрации достигают максимума на встречном волнении и малы на попутном.

Загруженное судно гораздо менее подвержено «спрингнгу», чем судно с балластом. Об этом свидетельствуют гистограммы напряжений (рис. 106), зафиксированных за три месяца плавания норвежского танкера водоизмещением 200 000 тс длиной 311 м [124]. В балластных условиях вероятность «спрингнга» не зависит от интенсивности волнения и курсового угла; для судна с грузом эта вероятность увеличивается с ростом интенсивности волнения и по мере приближения к встречным курсовым углам.

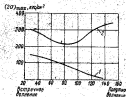


Рис. 105. Плавание курсового угла на максимальном размере напряжений волновой вибрации  $\sigma_1$  и волновых напряжений  $\sigma_2$ .

Естественно, что напряжения волновой вибрации могут быть не только нормальными, но и касательными. На рис. 107 представлены спектры напряжений в различных конструкциях корпуса французских танкеров водоизмещением 250 000 тс, длиной 320 м (см. § 10).

Натурные испытания не могут со всех сторон осветить такое сложное явление, как «спрингнгу». Поэтому способность волнения возбуждать волновую вибрацию судна исследовалась также и в модельных экспериментах, в которых варьировались высота и длина (частота) волн, скорость судна [92]. Явление «спрингнга» наблюдалось при кажущихся частотах волн, близких к собственной частоте упругих колебаний 1-го тона модели. В процессе испытаний с большим трудом удавалось воспроизвести явление резонанса, поскольку даже незначительное отклонение в скорости модели (на 5%) или в периоде волны (на 2,5%) от резонансных соотношений практически полностью исключало проявление волновой вибрации. Испытаниями установлено, что при малых значениях  $L/\lambda$  резонансный пик очень острый, а амплитуды «вибрационного» возбуждающего момента значительны.

С ростом  $L/\lambda$  амплитуды становятся меньше, а резонансная область расширяется (рис. 108).

При других модельных испытаниях [2] было обнаружено, что «вибрационные» лаггающие моменты могут также возникнуть.

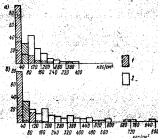


Рис. 106. Гистограммы размеров напряжений в корпусе танкера водоизмещением 200 000 тс: а — с балластом; б — с грузом.

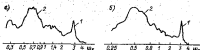


Рис. 107. Спектры напряжений в корпусах танкерах (в двойных декартовых координатах): а — нормальные напряжения в палубе танкера «Эмералд»; б — касательные напряжения в продольной переборке танкера «Жад».

1 — область напряжений «спрингнга»; 2 — область волновых колебаний.

если собственная частота колебаний корпуса в целое число раз больше кажущейся частоты волн. В тщательно поставленных японскими исследователями экспериментах [97, 98] были получены явления «вибрационных» лаггающих моментов на моделях, собственная частота колебаний 1-го тона которых  $\omega_1$  либо

равнялась кажущейся частоте  $\omega_0$  (так называемый резонанс 1-го порядка), либо адное превосходила ее (резонанс 2-го порядка). На рис. 109 [98] приведены результаты измерений «вибрационных» и волновых изгибающих моментов в модели сечении модели, представленные в виде обычных коэффициентов момента

$$C_M = M/Y \frac{h}{2} BL^2$$
 При значениях  $\omega_0 = 14 \text{ с}^{-2}$  для модели, имеющей  $L = 4,5 \text{ м}$ , необходимые кажущиеся частоты реализовались на регулярных волнах длиной  $\lambda = 0,356L = 1,6$  и при различ-

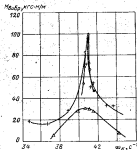


Рис. 108. Изменение изгибающего момента волновой вибрации в зависимости от частоты волн.

+ —  $L_0=4,5$ ,  $C=0,5$  —  $L_0=4,5$   
 $\Delta$  —  $L_0=11,2$

ных скоростях движения модели ( $Fr = 0,30$  и  $0,32$  при резонансе 1-го порядка и  $Fr = 0,045$  при резонансе 2-го порядка). На рис. 110 эти же данные представлены отношениями амплитуд «вибрационных» и волновых изгибающих моментов. Из рассмотрения результатов испытаний можно сделать следующие выводы.

1. На волнах длиной около  $1/2$  длины судна «вибрационные» моменты могли бы иметь значения, на 30% превосходящие значения волновых моментов на этих волнах и составляющие более 50% максимальных волновых моментов на волнах длиной  $\lambda = L$ , которым, как известно, соответствует коэффициент момента  $C_M = 0,025$ . Однако условием реализации резонанса 1-го порядка является движение судна на волнении со скоростью, соответствующей  $Fr = 0,30$ , что, конечно, недостижимо для современных транспортных судов (тем более для очень длинных судов,

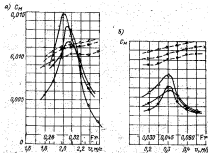


Рис. 109. «Вибрационные» и волновые изгибающие моменты, измеренные на модели модели: а — резонанс 1-го порядка, б — резонанс 2-го порядка.

— — — «вибрационные» моменты; — — — волновые моменты;  $\Delta$  — прогибы мачт  $1/2L$ ;  $\circ$  — то же  $1/3L$ ;  $\square$  — то же  $1/4L$ .

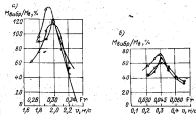


Рис. 110. Отношение амплитуд «вибрационных» и волновых изгибающих моментов.

Обозначения см. рис. 109.

относительно меньшей жесткости и собственной частота  $\omega_0$ , которых могли бы обусловить резонанс в рассмотренных условиях).

2. Вполне реально на судах показание резонанса 2-го порядка, при котором «выбросившие» изгибательные моменты на коротких волнах составляют 10—15% максимальных волновых моментов на волнах длиной, равной длине судна.

Более обширные испытания на регулярном и нерегулярном волнении были проведены с 7-метровой моделью, обводы корпуса и жесткость которой соответствовали танкеру водоизмещением 180 000 тс [97]. Кроме изгибательных моментов измерялись волновые давления на днище во многих точках по длине и по контурам сечений, а также ускорения точек корпуса. Замеры на нерегулярном волнении, соответствующем четным спектрам при различной интенсивности, показали следующее.

1. Реакции волновой вибрации (напряжения, ускорения) распределяются по закону Релея.

2. В общем случае волновой изгиб и волновая вибрация существуют и справедливо соотношены

$$\sigma_{\text{из}}^2 = \sigma_{\text{изгиб}}^2 + \sigma_{\text{вибр}}^2.$$

где  $\sigma_{\text{изгиб}}$ ,  $\sigma_{\text{из}}$ ,  $\sigma_{\text{вибр}}$  — стандарты напряжений суммарный, волновых и волновой вибрации соответственно.

3. В условиях слабого и умеренного волнения напряжения волновой вибрации преобладают. На сильном волнении увеличивается доля волновых напряжений, а волновая вибрация замещается удвоенными напряжениями при сдвиге.

При анализе данных натурных и модельных испытаний выдвигаются разные гипотезы о происхождении волновой вибрации. Один из возможных механизмов ее возникновения связывается с выходом носа судна из воды, что сопровождается резким уменьшением плавучести и большими динамическими нагрузками на корпус [70]. Наиболее распространено «резонансное» истолкование явления [2, 70, 97, 98], о котором уже шла речь выше. Существуют и другие подходы к созданию правдоподобной модели явления [5]. В целом можно отметить, что природа этого явления до сих пор не выяснена. Тем не менее уже сейчас уместно изучать его возможные последствия с точки зрения проектирования и эксплуатации судна. На больших судах с полными обводами волновые изгибательные напряжения в ряде случаев сравнимы с волновыми напряжениями от изгиба на волнении умеренной интенсивности, поэтому их учет необходим при проектировании корпусных конструкций, прочность которых определяется требованиями усталостной долговечности. Для крупнотоннажных судов возможно значительное повышение роли напряжений волновой вибрации при обеспечении прочности и надежности их корпусов. Кроме того, волновая вибрация оказывает отрицательное воздействие на личный состав судна, осо-

бенно при современном размещении жилых помещений в корме, в месте наибольшей амплитуды вибрации. Эти обстоятельства делают актуальной разработку методов расчетной оценки волновой вибрации и в первую очередь вызывающей ее нагрузки.

## § 28. Оценка нагрузки, вызываемой волновой вибрацией

Неоднозначность и недостаточная определенность представлений о природе волновой вибрации, отмеченная выше, порождает различия в подходах к теоретическому определению нагрузок, которые ее вызывают. Наиболее естественным и исторически более развитым было рассмотрение резонансных явлений, порождаемых волновыми давлениями на днище призматического судна при их гармоническом изменении с кажущейся частотой, равной частоте собственных упругих колебаний корпуса 1-го тона. Прямительно к гибким судам с относительно малой осадкой резонансные условия реализуются при длине  $\lambda$  на волнах, длина которых  $\lambda$  и меньше длины судна ( $\lambda/L = 0,2 \div 0,4$ ), но все же значительно превосходит осадку судна ( $\lambda/T \gg 1$ ). При этом на днище судна действуют волновые давления, равные

$$p = \rho g \frac{h \lambda}{L} \quad (2.58)$$

где  $h$  — дальность на поверхности волны.

Такой подход применим к судам внутреннего и отчасти к судам смешанного плавания, для которых он и был предложен [2]. В дальнейшем он с некоторыми усовершенствованиями был распространен и на морские транспортные суда [87]. Здесь необходимо отметить два важных обстоятельства.

Во-первых, на морских судах традиционных типов и размеров указанные условия резонанса не могут иметь места из-за их малой гибкости; как отмечается в работе [6], для таких судов резонанс возможен на волнах, длина которых удовлетворяет соотношению

$$\lambda/L \approx \frac{1}{12} + \frac{1}{10}. \quad (2.59)$$

Такие длины волн сравнимы с осадкой судна ( $\lambda/T \approx 1$ ). Согласно формуле (2.58) порождаемые этими волнами давления на днище пренебрежимо малы и не могут служить нагрузкой, вызывающей волновую вибрацию. Более вероятна реализация указанных выше резонансных условий на судах новых архитектурно-конструктивных типов (бесфермерные суда типа «ро-ро», контейнеровозы с большим раскрытием палуб) или большой длины (субтанкеры, суда для навалочных грузов), жесткость которых относительно меньше, чем у обычных морских судов.

Во-вторых, измерения давлений на моделях, в которых возбуждалась волновая вибрация, показали, что амплитуды давлений распределены по поверхности судна неравномерно: давления максимальны в носовой оконечности и уменьшаются к корму, принимая на миделе минимальные значения; распределение по контуру имеет минимум на киле [97]. Здесь, по-видимому, проявляется влияние непрямоугольности корпуса в носовой оконечности, а также деформация волнового профиля по длине судна.

Большую физическую обоснованность и универсальность имеет расчетная схема, в которой волновая нагрузка, вызывающая волновую вибрацию, определяется с учетом непрямоугольности судна и переменной очертки ватерлинии в носовой оконечности [98]. Ее составляющие в каждом сечении представлены следующими выражениями:

интенсивность изменения сил поддопорожения

$$q_1(x) = \gamma \int_0^{L(x)} b(x, z) dz; \quad (2.60)$$

интенсивность сил, связанных с изменением присоединенных масс,

$$q_2(x) = m' \zeta(x) - \rho' \zeta(x) \frac{dm}{dx}; \quad (2.61)$$

интенсивность сил сопротивления

$$q_3(x) = \rho N \zeta^2(x). \quad (2.62)$$

Здесь  $\zeta(x)$  — ордината волнового профиля в сечении, отстоящем на расстоянии  $x$  от миделя,

$$\zeta(x) = \frac{a}{2} e^{-\frac{\pi x}{L}} \cos\left(\omega_0 t + \frac{2\pi x}{L}\right); \quad (2.63)$$

$m$  — присоединенная масса в сечении, пропорциональная квадрату ширины волновой ватерлинии  $b(x, z)$ , измеренной в сечении с абсциссой  $x$  на расстоянии  $z$  от ватерлинии тихой воды;  $N$  — коэффициент сопротивления.

Волновая нагрузка является суммой составляющих (2.60) — (2.62):

$$q(x) = q_1(x) + q_2(x) + q_3(x). \quad (2.64)$$

На рис. 111 результаты вычислений по формуле (2.64) сопоставлены с данными измерений на модели [98] при  $\lambda/L = 0,356$ ,  $Fr = 0,29$ ,  $T/\lambda = 0,13$ . Удовлетворительное их согласование свидетельствует о плодотворности такого подхода к определению нагрузки, вызывающей волновую вибрацию.

Расчетом динамического изгиба корпуса под действием этой нагрузки определяются изгибающие моменты при волновой вибрации. На рис. 112 расчетные значения «вибрационных»

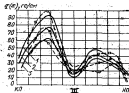


Рис. 111. Сопоставление расчетных и экспериментальных данных о динамических давлениях, вызываемой волновой нагрузкой, в различных сечениях 1-го порядка.

Легенда: 1 — расчетные данные для 1-го сечения; 2 — расчетные данные для 2-го сечения; 3 — расчетные данные для 3-го сечения; 4 — расчетные данные для 4-го сечения; 5 — расчетные данные для 5-го сечения; 6 — расчетные данные для 6-го сечения; 7 — расчетные данные для 7-го сечения; 8 — расчетные данные для 8-го сечения; 9 — расчетные данные для 9-го сечения; 10 — расчетные данные для 10-го сечения; 11 — расчетные данные для 11-го сечения; 12 — расчетные данные для 12-го сечения; 13 — расчетные данные для 13-го сечения; 14 — расчетные данные для 14-го сечения; 15 — расчетные данные для 15-го сечения; 16 — расчетные данные для 16-го сечения; 17 — расчетные данные для 17-го сечения; 18 — расчетные данные для 18-го сечения; 19 — расчетные данные для 19-го сечения; 20 — расчетные данные для 20-го сечения.

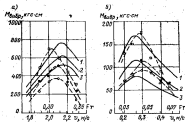


Рис. 112. Сопоставление расчетных и экспериментальных данных об изгибающих моментах при волновой вибрации: 1 — расчетные данные 1-го порядка; 2 — расчетные данные 2-го порядка.

Обозначения по рис. 111.

моментов на миделе сопоставлены с измерениями на модели [98]. Согласование также удовлетворительно.

На основе расчетов, выполненных для большого танкера, получена формула для определения напряжений волновой вибрации (соответствующих максимуму резонансу 1-го порядка) для балластных условий [97]

$$\frac{\sigma_{\text{вол}}}{\lambda} = 8,91 \cdot 10^8 \left(\frac{B}{T}\right)^{1/4} \left(\frac{H}{L}\right) \left(\frac{R}{L}\right)^2 \frac{1}{D^2} \left(\frac{1 + 0,00725V_s}{N_1}\right)^3 \quad (2.65)$$

где  $\sigma_{\text{вол}}$  — напряжения волновой вибрации на миделе, кгс/мм<sup>2</sup>;  $\lambda$  — высота волн, м;  $D$  — поддожмещение судна, тт;  $N_1$  — собст-

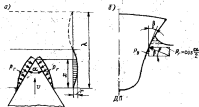


Рис. 113. Взаимодействие носовой оконечности судна с волной, вызывающей волновую вибрацию;  $\lambda$  — высота волновой волны носовой оконечности;  $\beta$  — смена действия волновых давлений.

венная частота корпуса 1-го тона, кол/мин;  $V$  — скорость судна, м/с.

Несколько иной подход к определению нагрузок, вызывающих волновую вибрацию, использован в работе [5]. Он опирается на те же физические закономерности, которые рассматривались выше, и использует приближенные зависимости для получения оценок волновых давлений. Поскольку результаты этого исследования использованы в новой редакции «Норм прочности», остановимся на них подробнее.

Рассмотрим взаимодействие носовой оконечности судна с гармонической волной, длина которой, в частности, может соответствовать условию (2.59) (рис. 113). Переменные гидродинамические давления  $p$ , приложенные к непрямоугольной носовой окон-

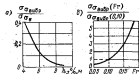
ечности, можно разложить на горизонтальную  $p_x$  и вертикальную  $p_y$  составляющие, которые связаны соотношением

$$p_x = p_y \cos \frac{\alpha}{2} \operatorname{tg} \beta, \quad (2.66)$$

где  $\alpha/2$  — угол между ДП и действующей внешней силой в районе носовой оконечности (с учетом подъема воды при движении судна);  $\beta$  — угол между ДП и контуром поперечного сечения в области действия волнового давления.

Составляющая  $p_x$ , проинтегрированная по высоте контура, и дает ту вертикальную нагрузку, которая может вызвать волновую вибрацию.

Рис. 114. Нормированные значения напряжений волновой вибрации в корпусе танкера типа «София»:  $\sigma$  — зависимость от интенсивности волнения;  $\beta$  — зависимость от скорости судна при  $\lambda_{\text{вол}} = 4$  м.  $\sigma_{\text{н}}$  — стандарт волновых напряжений.



Для получения приближенных количественных оценок горизонтальную составляющую волновых давлений можно представить в виде

$$p_x = p_{x1} + p_{x2} \quad (2.67)$$

здесь  $p_{x1}$  определяется из рассмотрения взаимодействия волн с неподвижной вертикальной стеной,  $p_{x2}$  — из рассмотрения изменения количества движения воды при пересечении волны носовой оконечностью. Уравновесив вертикальную нагрузку соответствующими силами инерции и сопротивления, можно вычислить изгибающий момент в корпусе. Он, очевидно, будет иметь гармонический характер элементов с кажущейся частотой волны и с амплитудой  $M_{\text{вол}}$ . Отнеси эту амплитуду к амплитуде волны, получим, как известно, ординату амплитудно-частотной характеристики. Выполнив спектральное преобразование аналогично тому, как это делалось выше для волнового момента, и перейдя от изгибающего момента к напряжениям, находим стандарт напряжений волновой вибрации, который, как показал расчетный анализ, пропорционален произведению

$$\sigma_{\text{вол}} \approx \sin^2 \frac{\alpha}{2} \operatorname{tg} \beta \frac{p_1^2 + p_2^2}{\gamma} \left(\frac{L}{H}\right)^{1/2} L^{1/2 + 1,5} \frac{K_1}{V_{\text{ном}}} \quad (2.68)$$

Здесь  $\eta$  — относительное уменьшение момента сопротивления корпуса по сравнению с требованиями Правилами классификационных обществ;  $K_{\text{вол}}$  — коэффициент динамичности для 1-го тона

упругих колебаний корпуса  $\omega_0$  при резонансе ( $\omega_k = \omega_0$ );  $H$  — высота борта судна.

Некоторые результаты расчетного анализа представлены на рис. 114. Они соответствуют условиям движения судна врезом ламинарному нерегулярному волнению со средней длиной волны, превышающей резонансную (3,59) более чем в 2—3 раза. Поскольку асимптотическая область спектра ветрового волнения, определяющая явление волновой вибрации, не зависит от интенсивности волнения, то для всех этой интенсивности на стандартных вибрационных напряжениях проявляется косвенно, из-за уменьшения скорости судна на волнении.

Использование аналогичного подхода для условий нерегулярного трехмерного волнения показало, что в отличие от волновых напряжений стандарт напряжений волновой вибрации достигает максимальных значений при косых курсовых углах к основной системе волн. Эти и другие расчетные результаты удовлетворительно согласуются с данными экспериментальных исследований волновой вибрации. Разумеется, подобные расчетные оценки служат лишь первым приближением, и необходимы дальнейшие теоретические и экспериментальные исследования в этой области.

**ТЕПЛОВОЕ ВОЗДЕЙСТВИЕ  
ОКРУЖАЮЩЕЙ СРЕДЫ НА НАПРЯЖЕННОЕ  
СОСТОЯНИЕ КОРПУСА СУДНА**

**Глава 5. ТЕМПЕРАТУРНЫЕ НАПРЯЖЕНИЯ**

**§ 30. Общие характеристики температурных условий**

Температура стальной корпуса судна почти непрерывно меняется в течение всего срока службы вследствие суточных и сезонных колебаний температуры воды, омывающей наружную обшивку днища и нижнюю часть бортов, и воздуха, окружающего верхнюю часть бортов, открытую часть верхней палубы и наружные поверхности надстроек и рубок. Зависит она также и от степени нагрева или охлаждения перевозимого груза.

Судно весь срок своей службы проводит в очень сложном температурном режиме. В настоящее время нет статистических данных, характеризующих параметры этого режима. Нет и данных о влиянии изменчивости температуры на характеристики прочности корпусов. Однако известно, что в ряде случаев в связях судового корпуса, и в том числе в основных продольных связях, возникают значительные температурные напряжения из-за неравномерности нагрева отдельных частей корпуса. Эти напряжения, накладываясь на напряжения от внешних силовых воздействий, могут существенно влиять на прочность конструкций. Известен случай появления трещин и разрывов нижних палуб рефрижераторных судов от температурных напряжений. Возникновение большого числа хрупких трещин в верхней палубе судов, построенных во время второй мировой войны, приписывается растяжению этих палуб в зимних условиях плавания. При этом число хрупких трещин, как правило, увеличилось при понижении температуры воздуха.

Известно, что при однородном нагревании конструкции из однородного изотропного материала температурные деформации происходят свободно, без возникновения напряжений. Напряжения не возникают также при равномерном по длине балки

нагрев, когда температура по высоте баки одинакова или изменяется по линейному закону. В последнем случае баки подвергаются не только общему продольному растяжению (сжатию), но и общему изгибу. Если эти условия не выполняются, то температурное расширение конструкции не может происходить свободно и в ее связях возникают продольные температурные напряжения. Поскольку корпус судна может рассматриваться как составная корабельная балка (см. ниже), сжатие относится и к условиям возникновения температурных напряжений в его продольных связях.

### § 31. Аналитическое определение температурных напряжений в продольных связях корпуса судна

При определении температурных напряжений в продольных связях корпуса судна обычно считают, что при продольном температурном изгибе корпуса в вертикальной и в горизонтальной плоскостях соответствующая сечение, плоское до изгиба, остаются плоскими и после него. Предполагается также, что во всех случаях в продольных связях корпуса поперечные температурные деформации могут совершаться свободно. Если и тому же для всех продольных связей корпуса судна можно считать постоянными модуль нормальной упругости  $E$  и коэффициент линейного расширения  $\alpha$ , то значение продольных температурных напряжений в практических расчетах можно определять по формуле [51]:

$$\sigma_{11} = E\alpha \left[ \frac{1}{F} \sum_{01} f \delta t_n + \frac{\gamma_1}{I_y} \sum_{10} x_a f \delta t_n + \frac{\gamma_2}{I_x} \sum_{10} y_a f \delta t_n - t_1 \right], \quad (3.1)$$

где  $\sigma_{11}$  — продольное температурное напряжение в  $i$ -й продольной связи;  $F$  — площадь поперечного сечения всех продольных связей эквивалентного бруса;  $f_n$  — площадь поперечного сечения  $n$ -й продольной связи;  $t_n$  — изменение температуры  $n$ -й продольной связи;  $I_y$  и  $I_x$  — центральные моменты инерции эквивалентного бруса относительно нейтральной горизонтальной оси  $y$  и вертикальной оси  $z$ .

Среднее значение коэффициента линейного расширения в практических расчетах обычно принимается равным для стали  $1,2 \cdot 10^{-5}$ , для алюминиевых сплавов  $2,5 \cdot 10^{-5}$ , среднее значение модуля нормальной упругости для стали составляет  $2,1 \times 10^6$  кгс/см<sup>2</sup>, для алюминия —  $0,7 \cdot 10^6$  кгс/см<sup>2</sup>. Отметим, что температурные напряжения зависят не от абсолютной температуры данной связи, а от изменения этой температуры по сравнению с некоторым условно выбранным температурным состоянием конструкции, относительно которого определяется значение напряжений. Часто таким эталонным состоянием считается тем-

пературное поле корпуса судна в середине ночи (в 2—4 ч). Ночью в умеренно теплую погоду разность температур морской воды и наружного воздуха обычно бывает наименьшей, и продольные связи судна находятся в некотором температурном равновесии, при котором температурные напряжения пренебрежимо малы. Также ночью температурное поле удобно принимать в качестве эталонного для учета изменений температуры.

Поскольку температурные напряжения продольных связей корпуса судна в данный момент времени зависят только от разности температур этих связей, то в качестве эталонной часто также выбирают температуру какой-то одной из этих связей, обычно динши, которую всегда можно считать равной температуре морской воды. В этом случае в формуле (3.1) все температуры  $t_n$  должны считаться равными разности между действительной температурой  $n$ -й связи и температурой воды; очевидно, эта разность для динши и для бортов ниже грузовой ватерлинии будет равна нулю.

Температура наружных частей корпуса судна зависит не только от температуры окружающего воздуха, но также и от интенсивности солнечной радиации, которая определяется географическим положением судна, сезоном и такими параметрами погоды, как ветер, облачность, осадки, влажность. Кроме того, интенсивность солнечной радиации изменяется в течение дня. Наибольший интерес представляют максимальные изменения температуры наружных частей корпуса в зависимости от изменения интенсивности солнечной радиации в ясную погоду. Степень нагрева стальных конструкций солнечной радиацией зависит также от цвета окрашенной поверхности, как видно из рис. 115 [123, 138].

Когда солнце находится прямо над ДП судна, оно нагревает (выше грузовой ватерлинии) наружные части корпуса по его ширине равномерно. Следовательно, температурный изгиб корпуса происходит только в вертикальной плоскости из-за нелинейного изменения температуры по высоте корпуса (третьей член в правой части формулы (3.1) равен нулю). При этом лучах борта судна нагреваются по-разному, а температура верхней палубы может существенно измениться по ее ширине. В этом случае при палубе также и нелинейного градиента температур по высоте корпус судна испытывает температурный изгиб в вертикальной и горизонтальной плоскостях.

Учитывая, что жесткость при изгибе в горизонтальной плоскости корпусов суднообразных судов обычно значительно больше, чем при изгибе в вертикальной плоскости, а также то, что наибольшая разность температур надводных наружных связей корпуса по противоположным бортам в общем случае обычно меньше, чем наибольшее вертикальное градиентное температур, иногда для суднообразных судов температурное поле считают симметричным относительно диаметральной плоскости. В этом

случае учитывают только вертикальный температурный режим корпуса. Когда известны действительные температуры всех продольных связей корпуса судна, то определить температурные напряжения по формуле (3.1) несложно. Трудности возникают при выборе такого реального температурного поля, при котором возможны заданные температурные напряжения. В основном это может быть в следующих случаях.

Летом в ясный солнечный день наружные надводные части корпуса судна могут нагреваться до температуры  $+ (65-70)^{\circ}\text{C}$ , а морская вода до  $+ (25-30)^{\circ}\text{C}$  (в этих же условиях на рефрижераторных судах пенопластовая нижняя палуба может иметь

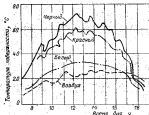


Рис. 115. Влияние цвета на температуру первоначальной поверхности, подверженной солнечному излучению.

температуру  $- (15-20)^{\circ}\text{C}$ ). Разогретые надводные части корпуса не могут свободно расширяться, так как этому препятствуют более холодные части корпуса, погруженные в воду. В результате надводные части, особенно верхняя палуба и верхние части бортов, оказываются сжатыми, а днище растянута (на рефрижераторных судах нижняя палуба окажется растянутой).

В зимних условиях наоборот: верхние надводные части корпуса оказываются растянутыми, а погруженные в воду — сжатыми.

На судах, перевозящих самонагревающиеся грузы, температура в трюмах может доходить и зимой до  $+ (30-40)^{\circ}\text{C}$ , а в отдельных случаях до  $+ (80-100)^{\circ}\text{C}$ . Свободному расширению продольных переборок в этом случае препятствуют более холодные продольные связи. В результате переборки оказываются сжатыми, а продольные связи — растянутыми. Опыт эксплуатации американских танкеров Т-2 военной постройки показал, что

хрупкие трещины, появившиеся в конструкциях днищ этих судов, были вызваны напряжениями, обусловленными разностью температур между бортовыми и средними частями в результате нагрева нефтепродуктов в средних цистернах перед выгрузкой.

### § 32. Данные замеров и расчетов температурных напряжений

На некоторых плавучих судах в разное время производились замеры стрелок прогиба, вызванного изменениями температуры надводной и подводной частей корпуса. Данные табл. 39 [141] дают некоторые приблизительные представления о порядке величин температурных просибов судов. Например, для судна «Боулдер сити» зимой при температуре воздуха  $-40^{\circ}\text{C}$  и воды  $+4^{\circ}\text{C}$  можно ожидать появления температурной стрелки прогиба около 16 см, что составляет примерно  $\frac{1}{1000}$  длины судна. Однако данные табл. 39 для пяти судов оказались существенно разными, что обусловлено в небольшой степени различием в размерах и типах этих судов и, по-видимому, является результатом различных изменений температуры по высоте корпуса.

Таблица 39

Температурные вертикальные прогибы, измеренные на некоторых судах

Наименование судна	Тип судна	Длина судна, м	Высота борта, м	Прогиб по $T^{\circ}\text{C}$ , см	Число градусов по 1 см прогиба, $^{\circ}\text{C}$
«Абура»	Малькоца	108,5	6,7	0,343*	2,90
«Нисорета»	Танкер	140	10,4	0,192*	5,25
«Форт Мейфилд»	«	140	10,4	0,220**	4,55
«Филип Шуйлер»	«	153,5	12,0	0,265*	3,78
«Боулдер сити»	Субмаринное судно	327	11,4	0,380*	2,64
«	То же	125,5	11,6	0,353**	2,84
«	«	126,5	11,6	0,115**	8,70

\* По разности температур воздуха и воды.

\*\* По разности температур верхней палубы и днища.

По замерам только стрелок прогиба нельзя определить значений температурных напряжений. На некоторых из указанных в табл. 39 судов делались и непосредственные замеры этих величин. На судне «Филип Шуйлер» было измерено температурное напряжение в листе верхней палубы, когда палуба очень охлаждалась от  $+45,4$  до  $+24,4^{\circ}\text{C}$ . Температурное напряжение в этом

случае оказалось равным  $70,5 \text{ кгс/см}^2$ , а стрелка прогиба составила  $3,8 \text{ см}$ . На тензере «Неврата» измеренное среднее температурное напряжение при разности температур палубы и дна  $+16,5^\circ\text{C}$  оказалось равным  $320 \text{ кгс/см}^2$ , а на судне типа «Либерти» при дневном изменении температуры палубы на  $27,5^\circ\text{C}$  и при постоянной температуре дна —  $420 \text{ кгс/см}^2$ .

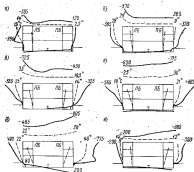


Рис. 116. Суточные изменения температурных напряжений на судне LST-1075: а — от 6.00 до 8.30 ч; б — от 6.00 до 10.00 ч; в — от 6.00 до 12.00 ч; г — от 6.00 до 13.30 ч; д — от 6.00 до 17.30 ч; е — от 6.00 до 20.00 ч.  
 - - - - - вершина элеронитов; ————— температурные напряжения.

Поскольку температура воздуха и интенсивность солнечной радиации в течение суток могут значительно меняться при почти постоянной температуре морской воды, то большой интерес представляет изучение суточного изменения температурных напряжений в продольных связях корпуса судна в условиях, когда эти напряжения могут быть наибольшими.

На рис. 116 представлены диаграммы изменения температур и температурных напряжений в продольных связях корпуса американского рудовоза-танкера LST-1075 [90, 91, 123, 138]. На рисунке показаны шесть различных температурных полей и эпюр

напряжений, измеренных в разное время суток. В 6 ч утра судно находилось в штатном температурном состоянии, температура морской воды в воздухе была практически одинаковой. Позже, во время всех остальных замеров, температура морской воды (и, следовательно, погруженных нижних частей корпуса) практически также оставалась постоянной.

Диаграммы показывают изменение температуры и напряжений за 14 ч всего солнечного дня с разномасштабными высокими облаками при скорости ветра  $10-12 \text{ уз}$ .

По диаграммам видно, что сжимающие температурные напряжения уменьшались от  $120$  до  $865 \text{ кгс/см}^2$ . Они неравномерно распределены по ширине палубы. Даже при симметричном относительно ДП температурном поле судна (рис. 116, а) напряжения меняются по ширине от  $-600 \text{ кгс/см}^2$  у левого борта до  $-705 \text{ кгс/см}^2$  у правого. Температурные напряжения в наружной обшивке бортов судна оказываются наименьшими или в местах ширестрека, или в продольных зонах настил, находящихся на уровне действующей ватерлинии, или непосредственно над ней (рис. 116, в, д, е). Наибольшие температурные напряжения могут достигать значений  $700-775 \text{ кгс/см}^2$ .

Температурные напряжения в днище оказываются сравнительно небольшими.

Обратим внимание на то, что наибольший перепад температур между палубой и днищем при дневных испытаниях был равен  $30^\circ$ . Эта величина, по-видимому, близка к максимальной для теплого времени года. Зимой же перепад температур может достигать  $45^\circ$ , что в 1,5 раза больше, чем для температурного поля на рис. 116, а. Это позволяет предполагать, что температурные напряжения зимой могут оказаться существенно больше приведенных на рис. 116.

Измерения температурных полей и температурных напряжений выполнялись также на сухогрузном судне «Бойлдер синг» при плавании его с балластом с осадкой  $4,0 \text{ м}$  (рис. 117) [123, 138, 141]. Наружная обшивка бортов судна ниже ватерлинии растаюта, а выше ватерлинии смята. Напряжения непосредственно у ватерлинии ( $560 \text{ кгс/см}^2$ ) — наименьшие, у палубы они уменьшаются почти вдвое. Пик сжимающих напряжений вызван появлением в этом месте потери устойчивости в виде бугорки со стрелой  $12,5 \text{ мм}$  и длиной  $1,8 \text{ м}$ . Температурные напряжения в палубе близ сжимающих, но на части ширины палубы, примыкающей к комингсу ложа левого борта, напряжения изменяют знак (эта часть палубы затенена фальшбортом правого борта и продольным комингсом грузового ложа левого борта и имеет температуру меньшую, чем остальные части палубы).

На рис. 117, б показаны температурные напряжения для симметричного относительно ДП температурного поля. Напряжения в надводной части судна сжимающие, а подводной части корпуса — растягивающие. Перепад температур между палубой и

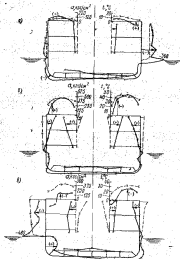


Рис. 117. Замеренные температурные напряжения на судне «Бориса Сухомлинского»: а — обшивка с правого борта, б — обшивка над ДП, в — обшивка с левого борта.

----- среда температур, ————— температурные напряжения.

длиной здесь увеличивается по сравнению с предыдущим случаем почти на 30%, а напряжения возросли с 80 до 580 кг/см<sup>2</sup>.

На рис. 117, в заливный правый борт, а солнечная радиация действует с левого борта. Характер и распределение температурных напряжений на рис. 117, в и 117, а аналогичны. Некоторые различия напряжений объясняются разным перепадом температур.

Сравнивая результаты замеров температурных напряжений на рудовозе-танкере (см. рис. 116) и на сухогрузном судне (см. рис. 117), можно видеть, что они сходны. Замеренные на рудо-

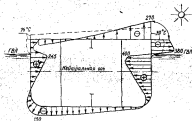


Рис. 118. Расчетные температурные напряжения в корпусе танкера. ----- среда температур, °С, ————— температурные напряжения, кг/см<sup>2</sup>.

возе-танкере максимальные напряжения оказались больше аналогичных напряжений на сухогрузном судне, что соответствует большему перепаду температур в первом случае. Замеры на сухогрузном судне были сравнены с результатами расчетов по формуле (3.1) и оказались хорошо согласующимися с ними.

На рис. 118 приведены результаты расчета температурных напряжений для танкера при произвольно заданном перепаде температур между надводными и подводными частями корпуса в случае плавания с полным грузом [132].

Б. В. Козыков [29] произвел расчет температурных напряжений для сухогрузного судна типа «Днепровец» ( $L=118$  м,  $B=16,8$  м,  $H=9,5$  м,  $T=7,63$  м) в предположении, что температурное поле симметрично относительно ДП и что температура конструкций ниже ватерлинии и заборной воды одинакова (она принята в расчете за условный нуль). Рассмотрены следующие расчетные случаи (табл. 40):

Расчетные температуры напряжений в продольных швах судна «Дюггрос»

Условие рейса	Внешняя температура, °С	Температуры напряжений, кгс/см <sup>2</sup>				
		Верхняя палуба	Борт надводной палубы	Вторая палуба	Внутреннего дна	Днище
Генеральный груз Зима	-34	+219	+455	-418	—	+96
	+40	-257	-535	+490	—	-113
Рефрижераторный груз Лето	+30	-82	-334	+1720	—	-302
	-34	+8,1	+490	+83	-1070	+1070
Груз угля Зима	-34	+400	+685	-1120	-625	+465

а) в трюмах генеральный груз. Зимний рейс: температура воздуха  $-30^{\circ}\text{C}$ , забортной воды  $+4^{\circ}\text{C}$ . Летний рейс: температура надводных частей корпуса  $+50^{\circ}\text{C}$ , воды  $+10^{\circ}\text{C}$ ;

б) судно с рефрижераторными трюмами. Летний рейс: температура верхней палубы и надводного борта  $+50^{\circ}\text{C}$ , воды  $+30^{\circ}\text{C}$ , неизолированной второй палубы  $-30^{\circ}\text{C}$ , внутреннего дна и днища  $+30^{\circ}\text{C}$ ;

в) в трюмах генеральный груз. Зимний рейс: температура верхней палубы и надводного борта  $-30^{\circ}\text{C}$ , воды  $+4^{\circ}\text{C}$ ; второй палубы  $-10^{\circ}\text{C}$ , внутреннего дна  $+100^{\circ}\text{C}$  (при разогреве топлива);

г) в трюмах уголь. Зимний рейс: температура воды  $+4^{\circ}\text{C}$ , температура верхней палубы надводного борта  $-30^{\circ}\text{C}$ , температура второй палубы и внутреннего дна  $+40^{\circ}\text{C}$ .

Анализируя данные табл. 40, В. В. Козляков отмечает: «При наличии рефрижераторных трюмов напряжение во второй палубе достигает  $+1720$  кгс/см<sup>2</sup>. Дефекты в сварных швах и недостаточная вязкость материала при таких напряжениях могут стать причиной крупных трещин даже без волновых нагрузок. Действительно, при испытании в порту промысловой базы «Спаск», построенной в Японии, большая крупная трещина во второй палубе возникла при аналогичных расчетным температурных воздействиях [10]. В случае разогрева топлива во внутреннем дне возникают высокие растягивающие и сжимающие напряжения соответственно в днищевой обшивке и в настеле внутреннего дна. В аналогичной ситуации при температуре наружного воздуха  $+2^{\circ}\text{C}$  и небольшом волнении (2—3 балла) об-

разодалась крупная трещина длиной несколько метров в днище парохода «Баку» (типа «Дюггрос»). В случае пережоки угля возникают значительные растягивающие напряжения в палубе и днище и сжимающие — во второй палубе и настеле внутреннего дна. В такой температурной ситуации возникла крупная трещина длиной более 2 м в палубе парохода «Войков» (типа «Дюггрос») при стоянке в порту Ванно.

Непрерывные трехлетние определения температурных напряжений на пяти американских судах [104] показали, что эти напряжения могут быть значительными. Например, на одном из судов размах напряжений за сутки достигал 450 кгс/см<sup>2</sup>.

Накладываясь на напряжения от шквля корпуса судна на тихой воде и из морского волнения, такие напряжения могут оказывать существенное влияние на прочность и надежность корпуса.

## ПРАКТИЧЕСКОЕ ОБЕСПЕЧЕНИЕ ОБЩЕЙ ПРОЧНОСТИ И НАДЕЖНОСТИ КОРПУСА СУДНА

### Глава 10. КОРПУС СУДНА КАК ИЗГИБАЕМАЯ БАЛКА

#### § 83. Общая характеристика конструкции корпуса

Корпус судна состоит из днища, бортов и верхней палубы, образующих его внешнюю водонепроницаемую оболочку. Внутри корпус разделен на отдельные водонепроницаемые отсеки: по высоте — палубами, по длине — основными поперечными переборками, а по ширине — продольными переборками. Наружное и внутреннее дно, борта, палубы и переборки представляют собой плоскo-плоские (горизонтальные или вертикальные) перекрытия, состоящие из листового металла, или настилов, укрепленных продольными и поперечными, горизонтальными и вертикальными балками набора. Перечисленные основные перекрытия в совокупности образуют водонепроницаемую полую балку, которая имеет двухстороннее по длине поперечное осижение. В средней части поперечное сечение корпуса морских транспортных судов имеет прямоугольно-коробчатую форму, образованную почти плоским днищем, прямоугольными вертикальными бортами и почти плоской верхней палубой. На быстроходных судах днище обычно имеет килеватость.

Геометрическая форма корпуса судна определяется теоретическим черчением, который разрабатывается с учетом, главным образом, требований, предъявляемых к корпусу как твердому телу для обеспечения необходимой плавуности, устойчивости, ходкости и других мореходных качеств судна, а также с учетом возможности рациональной постройки судна.

Выбор числа и расстановку главных поперечных переборок производят при разработке чертежей общего расположения судна исходя из условия рационального и безопасного использования отдельных отсеков, предназначенных для размещения грузов, машинно-котельных помещений, балластных цистерм,

жилых помещений и для других судовых надобностей, а также с учетом непотопляемости, необходимых нормальных условий для дифферентовки судна, противопожарной безопасности.

При разработке чертежей общего расположения судна устанавливаются высота и протяженность двойного дна, число и расположение палуб и их расположение по высоте корпуса, а также число и расположение на верхней палубе надстроек и рубок; определяются размеры и расположение грузовых люков и люков для доступа во все помещения судна, назначаются тип и места установки различных судовых устройств.

При проектировании конструкции корпуса судна руководствуются уже разработанным теоретическим чертежом и чертежами общего расположения судна. Следовательно, оказываются заданными: форма корпуса, габариты и форма отдельных судовых переборок, расположение переборок, надстроек, рубок и судового оборудования.

Рентабельность, надежность и безопасность эксплуатации судна определенным образом зависят от прочности и надежности конструкции корпуса. Обеспечение прочности конструкции требует определенных затрат материала, необходимого для ее изготовления. Поскольку малейший нес конструкцией уменьшает возможность неслучайного груза и, следовательно, рентабельность эксплуатации судна, то весьма важным является обеспечение предельной прочности конструкции судна без лишней затраты материала. Это требует достаточно полного и правильного учета всех силовых, конструктивных и технологических факторов, влияющих на характеристики прочности конструкции корпуса, что невозможно без оценки возникающего при этом напряженного состояния, необходимого уровня прочности и надежности конструкции, правильного выбора материалов. На сегодняшний день нет еще достаточно четкой и последовательной методики решения таких вопросов.

В настоящее время считают, что для судов обычных типов, размеров и условий эксплуатации общая прочность корпуса обеспечивается, если максимальные горизонтальные расстание напряжения в нем только от нагиба расчетным вертикальным изгибающим моментом не превышают некоторой допустимой величины, установленной в результате успешной эксплуатации ранее построенных судов. Следовательно, установленные таким образом допустимые напряжения учитывают и необходимые запасы для восприятия корпусом различных нагрузок, а также концентрации напряжений, остаточные технологические напряжения и иные конструкции, т. е. всю совокупность факторов, влияющих на прочность корпуса. Такой подход применительно к судам новых типов, опыт эксплуатации которых не накоплен, может потребовать специальных уточнений и изменений, касающихся оценки напряженности конструкций корпуса, и определенной напряженности и работоспособности этих конструкций.

Под общей прочностью корпуса судна понимают прочность корпуса при изгибе его в вертикальной продольной плоскости, являющейся плоскостью симметрии корпуса, т. е. в ДП. Для определения напряжений, возникающих в продольных сечениях корпуса при общем изгибе, в отечественной и зарубежной практике судостроения пользуются формулой теории изгиба балок:

$$\sigma_{\text{общ}} = \frac{M_{\text{верт}}}{I_x} \cdot y_{\text{общ}} + \frac{M_{\text{гор}}}{W_{\text{гор}}} \quad (4.1)$$

где  $\sigma_{\text{общ}}$  — наибольшее нормальное напряжение в продольной фибре;  $M_{\text{верт}}$  — наибольший вертикальный изгибающий момент, действующий в расчетном сечении балки;  $I_x$  — центральный момент инерции расчетного поперечного сечения балки относительно горизонтальной оси  $x$ ;  $y_{\text{общ}}$  — вертикальное расстояние от нейтральной оси до наибольшей удаленной от нее фибры;  $W_{\text{гор}} = = I_x / y_{\text{гор}}$  — наименьший момент сопротивления расчетного сечения балки.

Формула (4.1) является практически точной для случая чистого изгиба парама-эла (поперечные силы отсутствуют) однородной призматической балки в вертикальной продольной плоскости ее симметрии, если все элементы поперечного сечения балки могут воспринимать (без потери устойчивости) приложенные к ним продольные усилия. При этом предполагается: материал балки при действующих напряжениях следует закону Гука и однороден (для всех элементов поперечного сечения балки модуль нормальной упругости одинаков при растяжении и при сжатии);

поперечные сечения балки остаются плоскими и при изгибе, поворачиваясь вокруг своих нейтральных осей и располагаясь по нормали к изогнутой оси балки;

продольные линейные относительные деформации и соответствующие им нормальные напряжения продольных связей зависят только от расстояний их до нейтральной оси и, следовательно, по ширине поперечных сечений не меняются.

Корпус судна является вертикальными поверхностями силами тяжести и давления воды, равнодействующая которых при прямом положении судна приложена в его ДП. Известно, что в этом случае формула (4.1) дает достаточно точные результаты, причем не только для призматических балок, но и для балок с изменяющимися по длине поперечными сечениями. Хотя при плоском поперечном изгибе в поперечных сечениях балки действуют порезывающие силы, искривляющие первоначально плоские поперечные сечения, однако эти искривления обычно оказывают лишь малое влияние на изгибные нормальные напряжения.

В корпусе судна как в тонкостенной коробчатой балке борта и непрерывные продольные переборки служат стенками, а палубы, днище и внутреннее дно — поперечками. Незначительная кривизна поперечных сечений обеспечивает галевые поперечные переборки и балки поперечного и продольного набора листовых перекрытий. Предполагается, что при общем изгибе корпуса судна листовые перекрытия сохраняют первоначальную форму срединной поверхности без гофрировки, выкрутки и т. п. Наличие неровностей в листовых корпусных перекрытиях, подвергавшихся продольному растяжению и особенно продольному сжатию, может вызывать существенные дополнительные изгибные напряжения листов, не учитываемые формулой (4.1).

В сварных судовых листовых перекрытиях всегда имеет место некоторая гофрировка листов от преварки и или балок набора. Преварка продольных балок набора вызывает поперечную гофрировку листов, которая не оказывает существенного влияния на напряжения от действующих на перекрытия продольных усилий и даже способствует некоторому повышению устойчивости листов при их продольном сжатии. Следовательно, при продольной системе набора формула (4.1) не может давать каких-либо существенных погрешностей.

Преварка к листам поперечных балок набора вызывает продольную гофрировку листов перекрытия, которая совпадает по направлению с усилиями, действующими на судовые перекрытия при общем продольном изгибе корпуса. В гофрированных листах эти усилия выноут, кроме простого сжатия или растяжения, изгиб гофров, не учитываемый формулой (4.1), причем дополнительные изгибные напряжения гофров могут оказаться значительными. Следовательно, при поперечной системе набора осевых судовых перекрытий, особенно днища и верхней палубы, можно ожидать существенных погрешностей при определении по формуле (4.1) наибольших напряжений при общем продольном изгибе корпуса.

При поперечной системе набора сварных перекрытий днища или палубы надо учитывать, что эти перекрытия, кроме балок главного направления (фиоры на днище и бимсов на палубе), имеют жесткие продольные балки: вертикальный киль, динные стрингеры, подпалубные балки (жардингсы). Эти продольные балки при восприятии продольных усилий от общего изгиба корпуса оказываются значительно более жесткими, чем листы днища и палубного настила, имеющие продольную гофрировку от сварки. Поэтому общее продольное усилие, действующее в поперечном сечении днища или палубы, распределяется неравномерно по ширине сечения, большая часть его воспринимается участками листов в районе продольных балок. Возможность неравномерного распределения продольных нормальных напряжений от общего изгиба корпуса судна не согласуется с предположением, сделанным при выводе формулы (4.1), о том, что эти

напряжения пропорциональны вертикальным расстояниям от связей до нейтральной оси.

При выводе формулы (4.1) предполагалось, что при продольных деформациях листов судовых перекрытий могут свободно совершаться в поперечной их деформации. При этих условиях модуль нормальной упругости конструкции и материала можно считать одинаковыми. Однако в случае общего продольного изгиба корпуса судна в таких наиболее ответственных продольных связях корпуса, как верхняя палуба и днище, имеющих поперечную систему набора и подвергающихся действию наибольших продольных усилий, поперечные деформации не могут происходить свободно, так как этому препятствуют многочисленные поперечные балки набора, которые сами непосредственно не участвуют в восприятии продольных усилий. Препятствием свободному поперечному деформированию, поперечные балки набора обуславливают возникновение в листах перекрытия поперечных нормальных напряжений того же знака, что и продольные нормальные напряжения. В результате этого палуба и днище оказываются при общем продольном изгибе корпуса в плоском напряженном состоянии, которое увеличивает модуль нормальной упругости конструкции перекрытия по сравнению с его значением для материала этой конструкции. Правда, это увеличение невелико и находится в пределах 1—3%. Плоское напряженное состояние судовых перекрытий при общем изгибе корпуса создается также и доперевозной нагрузкой, действующей на эти перекрытия от давления воды и грузов. В целом учет плоского напряженного состояния, хотя и приводит к некоторому увеличению модуля нормальной упругости, но практически оказывает малое влияние на результаты расчета нормальных напряжений при общем изгибе корпуса судна. Более существенно учет напряженного состояния может сказаться на расчетной оценке стрелки прогиба корпуса при изгибе, приводя к ее уменьшению.

Как уже отмечалось, погрешность применения формулы (4.1) к общему изгибу корпуса судна может быть обусловлена сравнительно большой продольной гофрировкой листов днища, палубы внутреннего дна и верхней палубы судов с поперечной системой набора этих перекрытий. Впервые появление гофрировки днища и палубы внутреннего дна было отмечено в 1942 г. на судах типа «Либерти». При приварке непрерывными ударами швами к флорам листы днищевой обшивки между флорами выгибались вверх со стрелкой 2,5—3,0 мм (в некоторых случаях до 8 мм) в средней части судна, причём эта гофрировка имела более или менее регулярный характер. Во время эксплуатации судна стрелка прогиба увеличивалась неодинаково и гофрировка была нерегулярной. Отдельные гофры увеличивались до опасных размеров и требовали ремонта и подкрепления конструкции. Наибольшие гофры, как правило, располагались в одной и той же шахме по обе стороны от вертикального жёзда. Гофри-

ровка листов днища обычно сопутствует примерно сложной гофрировке палубы внутреннего дна.

Опытные исследования большого числа стронжих судов показали, что начальную погрешку можно считать одинаковой при непрерывных и прерывистых ударных швах приварки флоров к листам, независимо от типа листов и толщины листов. Гофрирование же связано с каким-то определённым типом судна или с его размерами.

Когда прогибы листов имеют возможность увеличиваться (при сжатии днища), они обычно распространяются поперек судна, хотя и необязательно в той же шахме; иногда наблюдается их шахматное расположение. При этом форма гофрировки остается более или менее постоянной, хотя и имеет в принципе неустойчивость. Редко глубокие гофры возникают в соседних шахмах; обычно они отстоят один от другого на расстоянии нескольких шахмат, а между ними располагаются меньшие гофры. Глубокие гофры часто встречаются в шахмах, прилегающих к штеф- или водонепроницаемому флору. Скорость образования гофров нестационарна, они могут расти быстро до значительных размеров и затем оставаться неизменными в течение года.

В начальный период развития гофры являются из-за прочность корпуса пренебрежимо малой, однако впоследствии, при увеличении до некоторого предела, эффективность работы гофрированного днища уменьшается, а с нею — и прочность корпуса.

Естественно ожидать значительного увеличения гофров в средней части судна, где действует наибольший вертикальный изгибающий момент.

Сказанное относится не только к полностью сварной конструкции, но и к конструкции с клепаными пазами листов днищевой обшивки, приваренной к флорам ударными швами. Хотя наличие клепаных пазов увеличивает жесткость листов и их устойчивость при сжатии, однако на судах с клепаными пазами листов днища, приваренных к флорам, наблюдается почти такая же гофрировка, как и в случае полностью сварной конструкции; это обусловлено тем, что клепаные пазы располагаются сравнительно близко к днищевым стрингерам.

Результаты теоретического и экспериментального исследования поведения при сжатии клепаных и сварных конструкций днища в случае поперечной системы набора приведены в работе Д. Мэриера [108]. Было испытано четыре одинаковых по габаритам образца участка двойного дна по ширине от вертикального жёзда до длиннеего стрингера (3,05 м) на судне длиной 122 м. Каждый образец по длине имел три листовых флора на расстоянии 762 мм; высота двойного дна 915 мм. Толщина листовых флоров на всех образцах была одинаковой и равной 10 мм. Каждый образец имел одинаковую толщину листов обшивки днища и палубы внутреннего дна, но эта толщина была разной

на отдельных образцах. Два образца (а и в) были полностью сварными и имели толщину листов днаца 13,1 и 15,6 мм, а два (с и д) — полностью клепаными и имели толщину листов днаца 12,7 и 18 мм. Перед испытанием сжимающей нагрузкой сварного образца а были замерены первоначальные наибольшие прогибы листов днаца посередине между вертикальными шпангоутами и динцевым стрингером в каждой из трех шпангоутов, которые оказались равными  $-2,08$ ,  $-4,06$  и  $-1,72$  мм (знак «+» соответствует прогибу вверх, знак «-» — прогибу вниз). Когда сжимающие напряжения в средней части листов были доведены до  $785 \text{ кгс/см}^2$ , были обнаружены остаточные прогибы листов, которые при сжимающих напряжениях, равных  $1100 \text{ кгс/см}^2$ , оказались в шпангоутах равными  $+1,54$ ,  $-14,0$  и  $+0,5$  мм. Следовательно, наибольшая стрелка прогиба листов в средней шпангоуте увеличилась в 3,5 раза, а в крайних шпангоутах она изменила знак. Соответствующие данные для сварного образца в были следующими. Начальные прогибы, равные  $-7,82$ ,  $+1,27$ ,  $-7,82$  мм, при напряжениях сжатия, равных  $1100 \text{ кгс/см}^2$ , взаимноисходящих разрушающее стабильности гофрировок, перешли в остаточные прогибы, равные  $-12,7$ ,  $+1,78$  и  $-11,45$  мм. Клепаные образцы с и д не имели сколько-нибудь значительной начальной прогиба листов. Потери устойчивости внезапно наступила в образце с при среднем сжимающем напряжении  $865 \text{ кгс/см}^2$ , в образце д — при напряжении  $1415 \text{ кгс/см}^2$ . Эти напряжения оказались равными соответственно  $1,57\sigma_c$  и  $1,27\sigma_c$ , где  $\sigma_c$  — явлерное напряжение для листов со свободной опертой кромками.

Общий вывод при анализе результатов этих испытаний следующий: сварные панели при их сжатии изгибаются постепенно и начинают терять свою эффективность («славеть»), когда суммарные напряжения от сжатия и изгиба достигают предела текучести материала. В клепаных конструкциях панели листов при сжатии вплоть до потери устойчивости не испытывают изгиба и теряют свою эффективность в момент потери устойчивости. Конечно, в обоих случаях несущая способность листов теряется еще не полностью.

Надо отметить, что испытанные образцы не вполне соответствовали реальной конструкции, у которой толщина листов днаца внутреннего дна обычно меньше толщины листов днацевого обшивки, а днаца днаца, даже в странном районе действия максимальных напряжений от общего изгиба, значительно больше, чем днаца образцов. Кроме того, образцы не испытывали поперечной нагрузки, обычно действующей на днаце судна. В работе [108] сделаны также следующие общие заключения.

1. Полностью сварные суда с поперечной системой набора склонны к гофрированию днацевого обшивки, которое обычно возникает и застил внутреннего дна. Это явление наблюдалось в частности сварных судах.

2. На клепаных судах гофрирование не происходит, если значения сжимающих напряжений в днаце не превосходят уровня допускаемых.

3. Единственной конструктивной мерой, позволяющей избежать повреждений этого типа на сварных судах, является применение продольной системы набора днаца.

4. Теоретическое приближенное решение дает результаты, удовлетворительно согласующиеся с данными эксперимента. Однако ясно, что конструкция днаца судна слишком сложна, чтобы в настоящее время можно было получить достаточно точное теоретическое решение.

### § 35. Экспериментальная проверка распределения напряжений в корпусе судна при его изгибе

Покажем, в какой мере все рассмотренные выше обстоятельства могут влиять на эффективность работы продольных стоек корпуса судна при его общем изгибе, как количественно и качественно они могут отражаться на общей прочности судна. Чтобы ответить на эти вопросы, сравним нормальные напряжения, замеряемые на судне, с расчетными значениями этих напряжений, полученными по формуле (4.1), при одном и том же известном изгибающем моменте. Это позволит судить о практической целесообразности применения формулы (4.1) при расчете общей прочности корпусов морских судов, несмотря на то, что некоторые предположения, положенные в ее основу, в той или иной мере не выполняются.

Выше (см. § 13), при рассмотрении испытаний иконосцев, отмечалось, что замеряемые и расчетные нормальные напряжения как для этих иконосцев, так и для транспортных судов достаточно удовлетворительно согласуются. Приведем некоторые дополнительные данные.

С 1943 по 1948 г. были проведены [141] статические испытания корпусов судов разных типов и размеров как сварных, так и клепаных, имеющих продольную или поперечную систему набора.

Особый интерес представляют испытания двух однотипных штильских танкеров ( $140 \times 18,0 \times 10,4 \times 8,4$  м;  $D=17$  150 тс): сварного «Неварита» и клепаного «Цыкомбин», имеющих продольную систему набора палубы и днаца и поперечную систему набора бортов и продольных переборок. Были получены следующие результаты:

на сварном танкере при перегибе замеряемые средние нормальные напряжения растяжения в палубе, равные  $930 \text{ кгс/см}^2$ , оказались на 5% меньше вычисленных по формуле (4.1); сжимающие напряжения в днаце, равные  $900 \text{ кгс/см}^2$ , оказались одинаковыми и в эксперименте и по расчету;

на клепаном танкере при перегибе замеренные напряжения, равные  $\pm 945 \text{ кгс/см}^2$ , оказались почти на 2% больше, чем полученные по расчету;

на сварном танкере при прогибе замеренные средние сжимающие напряжения в палубе и растягивающие в днище были соответственно  $-510 \text{ кгс/см}^2$  и  $+475 \text{ кгс/см}^2$  и оказались на 2 и 2,5% меньше расчетных, полученных по формуле (4.1);

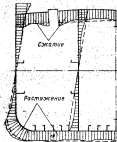


Рис. 118. Распределение нормальных напряжений от общего изгиба в мидельном сечении сварного корпуса танкера «Неверта».

— — — — — замер; — — — — — расчет.

На клепаном танкере при прогибе замеренные в палубе и днище напряжения были соответственно  $-365 \text{ кгс/см}^2$  и  $+425 \text{ кгс/см}^2$ , что в палубе почти на 12% меньше расчетных, а в днище почти на 4% больше расчетных.

На рис. 119 показано распределение замеренных и расчетных [по формуле (4.1)] нормальных напряжений в мидельном сечении сварного танкера «Неверта» при прогибе. Видно, что значения и характер распределения замеренных и расчетных нормальных напряжений достаточно хорошо согласуются. В то же время степень участия в общем изгибе корпуса продольной переборки, имеющей попереч-

ную систему набора, несколько меньше, чем это предполагается при расчете по формуле (4.1). Можно также отметить, что круговой палубный вырез для входного люка создает концентрацию напряжений у своей кромки.

На рис. 120 сопоставлены замеренные и расчетные напряжения в мидельном сечении американского танкера T-2 ( $153 \times 20,8 \times 12 \times 9,2 \text{ м}$ ;  $D=22\ 200 \text{ тс}$ ) при перегибе. Средние замеренные нормальные напряжения в палубе достигали  $+615 \text{ кгс/см}^2$ , в днище  $-685 \text{ кгс/см}^2$ , тогда как расчетные были соответственно  $+620 \text{ кгс/см}^2$  и  $-640 \text{ кгс/см}^2$ .

Эти примеры показывают хорошее соответствие замеренных и расчетных напряжений в случае применения продольной системы набора днища и палубы. В качестве примера, показывающего такое же хорошее соответствие замеренных и расчетных напряжений для сварных транспортных судов, имеющих попереч-

ную систему набора (без значительной гофрировки листов), приведен рис. 121 [123; 132]. Однако в случае гофрирования листов днища при поперечной системе набора может наблюдаться значительно большая несогласованность между замеренными и расчетными напряжениями, особенно на сварных судах. Это можно видеть по рис. 122—124, на которых приведены данные о двух одинаковых по размерениям и водозаменяемости судах: клепаном «Клен Алпин» и сварном «Оушен Валкен».

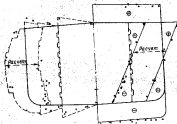


Рис. 120. Распределение нормальных и касательных напряжений от общего изгиба в мидельном сечении корпуса танкера T-2.

Измерения: ○ — замер напряжений на двух соседних углах; расчет: — — — — — нормальные напряжения; — — — — — касательные напряжения.

На рис. 125 показано распределение нормальных напряжений на сварном судне «Финли Шуллер» (тип «Либерти»), имеющем особенно большое начальное гофрирование днища. Видно, что при удовлетворительном в среднем согласовании распределения замеренных напряжений с расчетными [по формуле (4.1)] обнаружались и некоторые расхождения.

Главное несоответствие данных заключается в том, что в районе продольных жестких связей (вертикальный киль, днищевые стрингеры) действительные (замеренные) напряжения оказываются существенно больше расчетных. Вдали же от продольных жестких связей нормальные напряжения в средней плоскости листов (особенно сжимающие) снижаются меньше теоретических и тем меньше, чем дальше от жестких связей.

Так как крилообразный скелетовой лист наружной обшивки более жесткой для восприятия продольных усилий, чем плоские

листы днища, имеющие шероховатости, то действительные продольные напряжения, особенно сжимающие, в скуловом листе оказываются больше расчетных. Эти отступления значительно более заметны в сварных судах, чем на клепаных.

Важно отметить, что, несмотря на большую неравномерность распределения по ширине сжатого днища напряжений от общего изгиба в корпусе сварного судна с поперечной системой набора, все же среднее значение этих напряжений в срединной плоскости листов достаточно хорошо аппроксимируется расчетом по формуле (4.1).

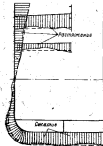


Рис. 121. Распределение нормальных напряжений от общего изгиба в изломе сечения судостроительного судна.  
— факт; — расчет.

мируется расчетом по формуле (4.1). Однако надо иметь в виду, что на сварных судах с поперечной системой набора днища пика

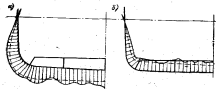


Рис. 122. Распределение нормальных напряжений от общего изгиба в изломе сечения клепаного судна «Клея Алтан»:  
а — сварной; б — клепаный.

сжимающих напряжений у вертикального килля и днищевых стрингеров могут достигать значений, превосходящих почти вдвое расчетное [по формуле (4.1)]. Кроме того, листы днища

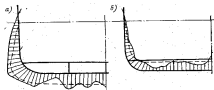


Рис. 123. Распределение нормальных напряжений от общего изгиба в изломе сечения клепаного сечения корпуса сварного судна «Оулик Балкан»:  
а — сварной; б — клепаный.

— факт; — расчет.

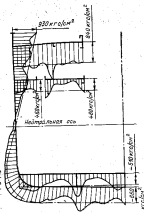


Рис. 124. Распределение нормальных напряжений от общего изгиба в изломе сечения сварного судна «Оулик Балкан».  
— факт; — расчет.

в местах наибольшего их гофрирования при внешнем сжатии вследствие продольных усилий и местного давления воды подвергнутся действию больших местных изгибающих моментов, при которых фибровые напряжения на поверхности листов могут достигать предела текучести материала. Вследствие этого

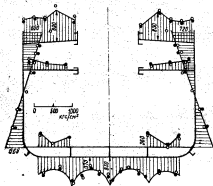


Рис. 125. Распределение нормальных напряжений от общего изгиба в сечении по трем пролетам донца на сварном судне «Фликс Шубер».

Замеч.: □ — при первичной нагрузке; ● — при вторичной нагрузке.  
Цифры показывают величину напряжений в кг/см<sup>2</sup>.

листы могут пластически выпучиваться при действии обычного расчетного вертикального изгибающего момента.

Наблюдения показывают, что действительная прочность листов, нагруженных сжимающими усилиями в своей плоскости и несущих поперечную нагрузку, оказывается несколько меньше, чем при действии лишь одной из этих нагрузок. На сварных судах (рис. 124 и 125) первоначальное гофрирование листов донца было достаточно большим, чтобы при перегоне корпуса возникли местные изгибающие напряжения, равные пределу текучести материала и вызывавшие остаточные деформации. Это следует из того, что погибы листов после испытаний увеличи-

лись. Естественно, возникает вопрос: как поведет себя конструкция донца при повторном нагружении, после того как она уже претерпела остаточную деформацию. Повторное нагружение при испытании судна типа «Либерти» (рис. 125) показало следующее. Длинная панель, получившая остаточную деформацию при первом нагружении, ведет себя уруго при увеличении общего изгибающего момента до его значения, равного наибольшему моменту предыдущего нагружения. Важно, что при этом происходит некоторое перераспределение напряжений в сжатой полке балки (среднее напряжение сжатия при повторном нагружении стало равным 730 кг/см<sup>2</sup> вместо 940 кг/см<sup>2</sup> при первом нагружении).

Можно лишь предполагать, как поведет себя эта конструкция, если бы изгибающий момент превысил значения изгибающего момента, действовавшего при первом нагружении. Теоретически можно ожидать, что остаточный прогиб увеличился бы. Хотя это и не было определено экспериментально, но подтверждается опытом эксплуатации судов. Например, систематические последовательные освидетельствования судна «Супер Валкер» показали, что остаточный прогиб, равный 3 мм и увеличившийся при испытании до 11,5 мм, затем за трехлетний период возрос более чем на 25 мм от последующих волновых нагрузок. Это означает также, что волновые изгибающие моменты в процессе эксплуатации были больше, чем при испытании.

Таким образом, можно сделать уверенный вывод, что применение поперечной системы набора донца и палубного перекрытия из сварных судов незначительно. В связи с этим Правила постройки морских судов всех классификационных обществ содержат обязательное требование применить только продольную систему набора донца и верхней палубы на морских судах длиной более 100 м.

Составление поведения сварных и клепаных однопалубных (отличие состоит только в методе соединения) корпусов судов при общем продольном изгибе под действием одинаковых статических изгибающих моментов приводит к заключению, что сварные корпуса темного более гибки, чем клепаные. Это кажется несколько неожиданным: принято считать, что сварные швы обеспечивают монолитность соединяемых ими элементов конструкции. Обусловление может заключаться в следующем:

в сварных конструкциях напряжения от внешней нагрузки накладываются на остаточные напряжения, которые вызваны технологией изготовления конструкции. В отдельных местах конструкции напряжения могут достигать предела текучести материала и вызывать местные пластические деформации даже при небольших внешних нагрузках;

листы палуб клепаных судовых корпусов оказываются более жесткими, чем панели сварных судов, что приводит

к большому местному изгибу листовых панелей на сварных швах:

поски угольников, соединяющие листы с балками набора, поперечные и стыковые перерезы листов на клепаемых судах не только делают панели листов более жесткими, но и уменьшают эффективные пролеты этих панелей.

При продольной системе набора судовых переборок влияние всех этих обстоятельств велико и уменьшается до пренебрежимо малого после первой нагрузки сварной конструкции. В общем можно считать, что при продольной системе набора все существенное различия в поведении сварных и клепаемых судовых корпусов, т. е. в их напряженном состоянии и в стрелках прогиба, вызываемых внешней нагрузкой в пределах ее обычных расчетных значений. Если некоторые различия и существуют, то они имеют второстепенный характер и относятся к деталям проектирования конструкций.

### § 26. Продольные связи корпуса. Эквивалентный брус

Все связи корпуса судна принято разделять на продольные и поперечные. Главными продольными связями корпуса судна являются наружная обшивка днища и бортов и внутренняя палуба, идущие по всей длине судна. Продольной связью являются также жесткая внутренняя диа, идущая почти по всей длине судна, и продольные переборки, идущие на длину, по крайней мере большей 0,5L, в средней части судна. Главными поперечными связями служат главные водонепроницаемые поперечные переборки. Все связи состоят из тонких листовых обшивок, панелей или полозьев, подкрепленных продольными и поперечными балками набора.

К продольным связям судна могут относиться борта и палубы средней надстройки, длина которой  $l$  превышает величину  $3(B/2+A)$ , где  $B$  — ширина судна;  $A$  — высота надстройки. Площади поперечного сечения бортов и палубы таких надстроек включаются в эквивалентный брус (см. ниже) с редуцированными коэффициентами, меньшими единицы, зависящими от длины надстройки. При длине надстройки, равной или большей величины  $3(B/2+A)$ , этот коэффициент принимается равным единице. Такие средние надстройки условно принято называть длинными. Продольные усилия, возникающие в корпусе судна при его общем (вертикальном и горизонтальном) изгибе, достаточно эффективно могут восприниматься только продольными связями, идущими непрерывно, по крайней мере, на длину того района судна, где расчетные напряжения от общего изгиба могут быть значительными. Обычно таким районом считается средняя часть судна длиной  $L/2$ .

Сравнительно короткие связи, идущие вдоль судна, или достаточно длинные, но не обеспечивающие непрерывной передачи

продольных усилий (по крайней мере, в средней части судна), принимают лишь некоторые частные участие в восприятии усилий от общего изгиба корпуса судна. К таким связям относятся, например, продольные переборки местами жесткости; палубные карлингсы, разорванные на поперечных переборках, если конструкция крепления их концов у этих переборок достаточно надежно обеспечивает полную передачу продольных усилий; разрезные днищевые и бортовые стрингеры; продольные комингсы люков, не идущие непрерывно по длине судна.

Листовые непрерывные продольные связи, имеющие вырезы шириной более 0,2 ширины листа, в котором они сделаны, достаточно эффективно включаются в общий изгиб только по своей ширине за вычетом вырезов, если нет специальных подкреплений, компенсирующих вырез. В непрерывных продольных балках, имеющих вырезы для непрерывно проходящих через них поперечных балок, эффективной условно считается площадь их сечения за вычетом ширины выреза, и то лишь при условии, что высота выреза не превосходит 0,6 высоты стенки балки.

Следовательно, в определении стелек участие продольных связей в общем изгибе есть некоторая условность, приемлемость которой подтверждается практическим опытом ее применения.

Совокупность эффективных (т. е. участвующих в общем изгибе корпуса) продольных связей составляет так называемую корпус-балку, или, иначе, эквивалентный брус. При этом предполагается, что все продольные связи сделаны из однородного материала, имеющего, в частности, одинаковый модуль нормальной упругости.

Следовательно, эквивалентным бруском называется такая однородная монолитная балка, высота которой равна высоте борта корпуса судна (измеряемой в наиболее жесткой ее части от основной линии до верхней кромки стрингерного листа верхней непрерывной палубы у борта). Площади носков и стенок этой балки равны площадям всех отдельных групп эффективных продольных связей (подсвязи являются палубы, внутреннее дно, днище, стальной служит борта судна, продольные переборки, вертикальный киль).

Площади сечений носков и стенок эквивалентного бруса равны соответственно площадям сечений всех продольных связей, входящих в данную группу, а центры тяжести носков и стенок должны находиться на той же высоте корпуса судна, на которой находится и общий центр тяжести всех связей, входящих в соответствующую группу.

Площадь сечения эквивалентного бруса, следовательно, равна общей площади сечения всех эффективных продольных связей корпуса судна в его наиболее жестком сечении. Центр тяжести площади сечения эквивалентного бруса по его высоте, совпадает с центром тяжести совокупности всех этих связей. Поэтому центральными моментами инерции площади сечения

эквивалентного бруса относительно его главных центральных осей равен центральным моментам инерции всех эффективных продольных связей корпуса судна в совокупности относительно главных осей верхней части корпуса. Также же соответственно, очевидно, существует и между моментами сопротивления сечения эквивалентного бруса и моментами сопротивления сечения всех продольных связей корпуса судна в совокупности, воспринимающей общий его изгиб, если эти моменты сопротивления определяются для фибр, одинаково отстоящих от соответствующей нейтральной оси.

Однако надо иметь в виду, что тождество эквивалентного бруса и корпуса судна в восприятии общего продольного изгиба условно. Оно выполняется лишь в том ограниченном геометрическом смысле, который указан выше. В действительности равнина эквивалентного бруса и корпуса судна на общий изгиб одинакова лишь постольку, поскольку корпус судна можно считать однородной монолитной балкой и определять напряжения и деформации изгиба корпуса без учета местных неровностей листовых продольных связей и остаточных технологических напряжений. Следовательно, выводы и формулы, полученные в известных предположениях для монолитных балок, применимы лишь с определенными допущениями к изгибу корпуса судна. В предыдущем параграфе вопрос о применимости к корпусу судна формул изгиба монолитной балки был достаточно подробно рассмотрен. Применение термина «эквивалентный брус» вместо совокупности всех продольных связей корпуса судна, принимающих участие в его общем изгибе, не только упрощает изложение, но и подчеркивает ряд условий, которые надо при этом иметь в виду.

Для определения моментов инерции и моментов сопротивления сечений эквивалентного бруса и составных балок пользуются одинаковыми вычислительными схемами.

### § 37. Момент сопротивления сечения балки составного профиля

Рассмотрим схему вычисления на простом примере изгибаемой балки, например днищевой водонепроницаемой флоры клепаной конструкции (рис. 126). Флор состоит из верхнего и нижнего поясков и стенки; пояска со стенкой соединены различными угольниками заклепочным швом. При рассмотрении изгиба такой балки обычно и первую очередь интересуются напряжениями в наиболее удаленных от нейтральной оси продольных фибрах.

Продольный вертикальный изгиб флоры, симметричного относительно вертикальной оси профиля, происходит в плоскости стенки, нейтральная ось горизонтальна и проходит через центр

тяжести балки. Для определения нормальных напряжений при изгибе балки надо знать моменты сопротивления сечения относительно тех продольных фибр, для которых ищут эти напряжения. Момент сопротивления, как известно, определяется делением момента инерции всего сечения балки (всех ее элементов) относительно нейтральной оси на расстояния от оси рассматриваемой продольной фибры.

Следовательно, для определения момента сопротивления относительно любой продольной фибры балки прежде всего необходимо найти положение центра тяжести расчетного сечения балки по ее высоте. Через найденный центр тяжести надо про-

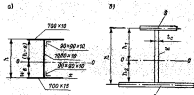


Рис. 126. Сечение флоры: а — клепаной, б — сварной.

вести нейтральную ось, которая при изгибе в вертикальной плоскости балки горизонтальна (для рассматриваемого флора перпендикулярна к его вертикальной стенке).

После этого надо определить момент инерции расчетного сечения балки относительно найденной нейтральной оси, а затем и искомого момента сопротивления. Для определения положения центра тяжести площади расчетного сечения по высоте балки сначала проводят так называемую переполюсовую ось  $x-x$  (рис. 126), параллельную нейтральной оси, но произвольно расположенную по высоте сечения. Относительно этой оси определяют статический момент  $S_{xi}$  площади сечения как алгебраическую сумму произведений площади каждого элемента  $f_i$  на расстояние  $z_i$  центра тяжести площади этого элемента до переполюсовой оси (отстоянная  $z_i$  над этой осью и под нее принимаются разные знаки):

$$S_{xi} = \sum f_i z_i.$$

Парафразируя эту сумму выражению статического момента площади сечения как произведению полной площади сечения

балки  $F = \sum_{i=1}^n f_i$  на известное расстояние центра тяжести всей площади до переносной оси  $e$ , т. е.  $S_x = eF$ , получим уравнение для определения искомого расстояния:

$$e = \frac{\sum_{i=1}^n f_i x_i}{\sum_{i=1}^n f_i} \quad (4.2)$$

Для определения момента инерции  $I_x$  всей площади сечения балки относительно нейтральной оси сначала определяют момент инерции  $I_i$  относительно переносной оси как сумму моментов инерции  $f_i x_i^2$  всех элементов профиля относительно этой оси и собственных моментов инерции  $i_i$  каждого элемента относительно оси, проходящей через центр тяжести площади этого элемента, т. е.

$$I_x = \sum_{i=1}^n (f_i x_i^2 + i_i) \quad (4.3)$$

Так как момент инерции площади сечения относительно каждой переносной оси, параллельной нейтральной оси, равен моменту инерции относительно нейтральной оси плюс произведение площади сечения на квадрат расстояния между этими осями, т. е.

$$I_x = I_x + e^2 F,$$

то

$$I_x = I_x + e^2 F. \quad (4.4)$$

Все эти вычисления удобно вести в табличной форме (табл. 41). Произвольное положение переносной оси по высоте профиля выбирают исходя из условия упрощения арифметических действий. В рассмотренном примере (см. рис. 125) эта ось совпадает с верхней кромкой нижнего пояса балки. Минимальный момент сопротивления  $W_{min} = 10720 \text{ см}^3$  соответствует верхней кромке верхнего пояса, отстояние которого от нейтральной оси наибольшее и равно  $i_{max} = h - e$ .

Пользуясь расчетом табл. 41 для непрофилированного клепаного флора (рис. 126), можно легко получить необходимые расчетные величины для сварного флора при тех же размерах поясков и стенок, если исключить на таблицы строки, относящиеся к соединительным уголкам, которых, естественно, в сварной конструкции нет.

Результаты такого расчета приведены в табл. 42. Сравняя данные расчета сварного флора с соответствующими данными расчета клепаного флора, можно видеть, что площадь сечения сварного флора на 11% меньше, чем клепаного. Центральная мо-

Определение минимального момента сопротивления сечению балки составного профиля

Элементы профиля	Площадь сечения $f_i, \text{см}^2$	Отстояние центра тяжести элемента от оси $x-x$ $x_i, \text{см}$	Собственный момент инерции элемента относительно оси $x-x$ $i_i, \text{см}^4$	Моменты инерции, $\text{см}^4$	
				относительно оси $x-x$ $f_i x_i^2$	собственный $i_i$
Верхний пояс:					
700×10	70	100,5	70,3	718	—
90×90×10	17,1	97,4	16,7	168	0,127
Нижний уголок					
90×90×10	17,1	2,6	-0,45	0,117	0,127
Сетка 1600×10	100	50	50	250	83,5
Нижний пояс:					
700×15	105	-0,75	-0,79	0,059	—
$\Sigma$	309,2		+136,7	1181,2	83,75

$F = 309,2 \text{ см}^2$ ;  $S_x = +136,7 \cdot 10^3 \text{ см}^3$ ;  $I_x = 1215 \cdot 10^6 \text{ см}^4$ ;  
 $e = \frac{S_x}{F} = \frac{136,7 \cdot 10^3}{309,2} = 44,2 \text{ см}$ ;  $I_x - I_x - e^2 F = 1215 \cdot 10^6 - 309,2(44,2)^2 = 610 \times 10^6 \text{ см}^4$ ;  $i_{max} = h - e = 101 - 44,2 = 56,8 \text{ см}$ ;  $W_{min} = \frac{610 \cdot 10^6}{56,8} = 10720 \text{ см}^3$ .

Таблица 42

Сравнение моментов сопротивления сварного и клепаного флора

Конструкция флора	Площадь сечения, $\text{см}^2$	Отстояние центра тяжести от переносной оси, $\text{см}$	Собственный момент инерции, $\text{см}^4$	Моменты сопротивления, $\text{см}^3$	
				верхней кромки	нижней кромки
Непрофилированный клепаный сварной	309	44,2	610·10 <sup>6</sup>	1,07·10 <sup>4</sup>	1,33·10 <sup>4</sup>
Профилированный сварной	275	43,5	538·10 <sup>6</sup>	0,92·10 <sup>4</sup>	1,17·10 <sup>4</sup>
Профилированный сварной	225	42,0	528·10 <sup>6</sup>	0,88·10 <sup>4</sup>	1,20·10 <sup>4</sup>

мент инерции площади сечения сварного флора на 13% меньше, а минимальный момент сопротивления его пояска на 14% меньше, чем для клепаного флора, если отсутствие соединительных уголков в сварной конструкции не компенсируется соответствующими утолщениями поясков.

Если флор проанцаемый, то в его стенке делают вырез высотой 40—50% высоты стенки, причем центр выреза практически обычно совпадает с серединой высоты стенки. Вырез при умеренной его длине (вдоль флора) лишь немного уменьшает прочность флора, рассчитанную по ослабленному вырезом сечению.

В последней строке табл. 42 приведены данные расчета сварного флора по ослабленному вырезом сечению, выполненные в предположении, что высота выреза равна половине высоты стенки флора. Хотя площадь ослабленного сечения значительно уменьшается (на 18%) и на 3% снижается нейтральная ось, но значение центрального момента инерции ослабленного сечения уменьшается лишь незначительно (меньше чем на 2%). Минимальный момент сопротивления (для верхней кромки верхнего пояса) уменьшается на 4%, тогда как момент сопротивления нижнего пояса даже несколько увеличивается по сравнению с соответствующими данными для сварного непронцаемого флора.

В практических случаях часто нет надобности применять табличную форму для определения моментов сопротивления сечения простой двутавровой балки, состоящей из двух поясков, соединенных стенкой, поскольку для этого удобно пользоваться следующими аналитическими зависимостями [7], соответствующими обозначениям, приведенным на рис. 126, б:

$$A_1 = b \frac{S_2 + 0,5a}{S_2 + S_1 + a};$$

$$A_2 = A \frac{S_1 + 0,5a}{S_2 + S_1 + a};$$

$$B = \frac{A_2}{A_1} = \frac{S_1 + 0,5a}{S_2 + 0,5a};$$

$$I_2 = A_1^2 \frac{S_2 S_2 + \frac{a}{3} (S_2 + S_1 + 0,25a)}{S_2 + S_1 + a};$$

$$W_{L_1} = b \left( S + \frac{a}{6} \frac{4S_1 - 2S_1 + a}{2S_1 + a} \right) = b \left[ S_1 + \frac{a}{6} (2 - B) \right] = AS_1 + \frac{ab}{6} \left( 1 + \frac{S_1 - S_2}{S_2 + 0,5a} \right);$$

$$W_{L_2} = A \left( S_2 + \frac{a}{6} \frac{4S_1 - 2S_1 + a}{2S_1 + a} \right) = A \left[ S_2 + \frac{a}{6} (2 - B) \right] = AS_2 + \frac{aA}{6} \left( 1 - \frac{S_1 - S_2}{S_2 + 0,5a} \right).$$

В этих формулах обозначено:  $S_1$  и  $S_2$  — площади сечений меньшего и большего поясков соответственно;  $a$  — площадь се-

чения стенки;  $h$  — высота балки, камерная между средними плоскостями поясков. С достаточной точностью можно считать  $h$  равным высоте стенки;  $A_1$  и  $A_2$  — расстояния от нейтральной оси меньшего и большего поясков соответственно;  $W_{L_1}$  и  $W_{L_2}$  — моменты сопротивления относительно меньшего и большего поясков соответственно.

### § 28. Момент сопротивления сечения эквивалентного бруса

Первое приближение. Геометрические характеристики эквивалентного бруса: положение нейтральной оси по высоте корпуса, центральный момент инерции площади сечения совокупности продольных связей корпуса и моменты сопротивления относительно различных осей эффективных продольных связей корпуса, — определяются по вычислительной схеме, рассмотренной в предыдущем параграфе, если модуль нормальной упругости для всех продольных связей одинаков, т. е. если все продольные связи изготовлены, например, из стали.

Если некоторые связи сделаны из материала, для которого модуль нормальной упругости  $E$  не равен модулю стали  $E_s$ , а все остальные связи сделаны из стали, то площадь продольных связей такого материала должна быть умножена на коэффициент, равный  $E_s/E_2 = 0,33$ .

На рис. 127 показаны эффективные продольные связи для мидельного сечения двухпалубного сухогрузного судна ( $L \times B \times H \times \Delta = 140 \times 20,5 \times 12 \times 9,7$  м). Система набора этого судна по верхней палубе, внутреннему дну и днищу продольная, а по бортам и нижней палубе — поперечная. Так как поперечное сечение корпуса судна симметрично относительно диаметральной плоскости, то на рис. 127 изображена половина сечения, для которой и выполнялся расчет. Конечные результаты расчета для полусечения затем удваивают, получая данные о полном сечении эквивалентного бруса.

На схеме сечения эквивалентного бруса должны быть указаны профили сечения продольных балок и заданы листы в миллиметрах. Все линейные размеры должны быть показаны в определенном масштабе. Это необходимо для того, чтобы по схеме можно было определить площади сечений связей и положение центров тяжести этих площадей по высоте корпуса судна.

Надо иметь в виду, что связи палубы включают в эквивалентный брус на полной ширине от борта до борта, а только ширину, замеренной от бортов до линии больших вырезов для грузовых люков или шахт машинно-котельного отделения. Следовательно, условно считается, что средняя часть ширины палубы,

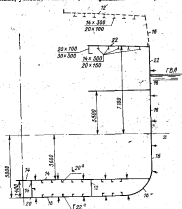


Рис. 127. Продольные связи, составляющие эквивалентный брус, в средней части структурного судна (район выреза грузового люка).

Цифрами показаны размеры отдельных связей и толщина листов в миллиметрах.

обеспечивая большими вырезами, не участвует в обеспечении общей прочности корпуса при нагрузке.

Горизонтальную переносную ось часто выбирают так, чтобы она совпадала с основной линией, проходящей по верхней кромке горизонтального кила (киля, что то же, но нижней кромке вертикального кила). В этом случае все продольные связи, за исключением горизонтального кила, лежат выше пере-

носной оси, и все отстояния их центров тяжести имеют один знак (положительный). Отрицательное же отстояние горизонтального кила в этом случае пренебрежимо мало и его можно считать равным нулю. В этом случае, однако, значения отстояний центров тяжести площадей сечений связей от переносной оси оказываются сравнительно большими, также большими получаются статические моменты в моменты инерции сечений связей относительно переносной оси.

В расчете удобно оперировать меньшими числами. Этого можно достичь, расположив переносную ось проанализировано на середине высоты борта судна. Тогда все продольные связи разделяются на две части, одна из которых расположена выше, а другая — ниже переносной оси. Отстояния центров тяжести сечений от переносной оси для одной части связей положительны, для другой — отрицательны.

Площади сечения отдельных связей (элементов эквивалентного бруса) удобно измерять в квадратных сантиметрах ( $\text{см}^2$ ), а отстояния центров тяжести площадей элементов — в метрах. При этом статические моменты площадей будут иметь размерность  $\text{см}^2 \cdot \text{м}$ , а моменты инерции этих площадей — размерность  $\text{см}^2 \cdot \text{м}^2$ . Отстояние нейтральной оси от переносной, определяемое делением статического момента на площадь, будет выражено в метрах, а моменты сопротивления относительно продольных фибр эквивалентного бруса, равные частному от деления нейтрального момента инерции площади сечения эквивалентного бруса на расстояние соответствующей фибры от нейтральной оси, будут иметь размерность  $\text{см}^2 \cdot \text{м}$ .

Поскольку обычно расчетные изгибающие моменты измеряют в  $\text{тс} \cdot \text{м}$ , то при размерности моментов сопротивления  $\text{см}^2 \cdot \text{м}$  нормальные изгибные напряжения будут иметь размерность  $\text{тс}/\text{см}^2$ .

Вычисления геометрических характеристик эквивалентного бруса, показанного на рис. 127, приведены в табл. 43 (расстояние верховной оси  $x-x$  от основной линии равно 5 м). Видно, что сумма собственных моментов инерции площадей сечения всех продольных связей составляет только 1,2% от всего момента инерции эквивалентного бруса относительно переносной оси, т. е. она лежит в пределах погрешности расчета. Поэтому нет практической необходимости учитывать собственные моменты инерции при определении геометрических характеристик эквивалентного бруса.

Табл. 43 приведена не только для иллюстрации схемы расчета на конкретном примере, она позволяет показать некоторые общие положения.

1) Схема расчета в табл. 43 несколько упрощена тем, что в ней учитывается поперечная погиб верхней палубы и разница в положении по высоте судна центров тяжести палубного настила и продольных балок верхней палубы. В таблице для группы связей верхней палубы введены четыре строки.

Определение геометрических характеристик массивного бруса для ступенчатого ступа (см. рис. 127)

Группа ступей	Значения индивидуальных брус	Размеры ступеней, мм	Площадь сечения, см <sup>2</sup>	Отношение площадей сечений ступей $\frac{F_{i+1}}{F_i}$ , %	Средняя длина ступени для расчета $L_{ср}$ , см	Момент инерции, см <sup>4</sup>	
						относительно оси $Z-Z$	относительно оси $X-X$
Вместе с осью $Z-Z$							
Палуба: веревка	Лесенка	4800×52	1656	7,10	7 500	63 200	—
	Покрывные балки (5 балок)	$\frac{14 \times 200}{20 \times 130}$	360	6,90	2 480	17 100	—
	Корданы	$\frac{20 \times 100}{30 \times 300}$	230	6,75	1 530	10 470	14,0
веревка	Прокладной фланец	200×22	44	7,10	312	2 220	—
	Настав	4800×14	672	5,30	2 330	8 250	—
Борт	Шпундук	2300×22	484	6,18	2 030	16 050	102
	Обшивки борта	5600×18	800	5,60	2 000	9 000	1000
	Всего вместе с осью $Z-Z$		3940		19 120	114 200	1865
						196 100	

Нижняя ось  $X-X$ 

Борт	Обшивки борта	3000×16	480	-1,50	-720	1 080	300
	Средний пояс	$\frac{3000 \times 180}{4}$	-480	-1,50	-2 160	9 720	540
Внутреннее дно	Настав	10 100×14	1414	-3,60	-5 080	18 300	—
	Продольные балки (8 балок)	Полосчатый 20*	201,2	-3,78	-815	3 040	—
	Лист вертикального каян	1400×14	196	-4,30	-843	3 040	8,0
	Ребра каян	Полосчатый 20*	21,4	-4,30	-918	308	—
Деканг	Деканг створки (8,5 мостов при угле наклона)	700×12	84	-4,30	-361	1 500	—
	Обшивки донца	8000×16	1280	-4,95	-6 370	22 000	—
	Продольные балки (8 балок)	Полосчатый 22*	202	-4,95	-1 070	6 980	—
	Всего вместе с осью $X-X$		4403		-17 940	70 410	510
	Для вычисления				$\frac{S_{i+1}}{F} = \frac{1}{1,60} \text{ см}^2$	77 120	
						$J_x = 193 300 \text{ см}^4 \cdot \text{м}^2$	

Относительно нейтральной оси от  $Z-Z$ :  $e = S_{i+1} / F = 0,145 \text{ м}$ .Центральный момент инерции для всего ступа  $J_{x0} = J_x - e^2 F = 2(193 300 - 0,145^2 \cdot 8130) = 385,2 \cdot 10^6 \text{ см}^4 \cdot \text{м}$ .Момент сопротивления относительно донцевого створки:  $W_x = \frac{J_{x0}}{L_0} = \frac{385,2}{9,36} = 41,16 \cdot 10^6 \text{ см}^3 \cdot \text{м}$ .Момент сопротивления относительно вертикального каян:  $W_y = \frac{J_y}{L_0} = \frac{16}{9,15} = 1,75,2 \cdot 10^6 \text{ см}^3 \cdot \text{м}$ .

5.1.1.106

Расчет, естественно, упрощается, если объединить все связи этой группы в одной строке с суммарной площадью всех связей и считать, что их общий центр тяжести по высоте отстоит от основной линии на расстоянии, равном высоте борта. При этом мы пренебрегаем поперечной погонной площадью и небольшими различиями в положении центров тяжести этих связей по высоте.

Для продольных связей внутреннего дна, учитывая различные положения их центров тяжести по высоте, в таблице отведено пять строк. Можно было бы объединить в одну строку настил и продольные балки внутреннего дна, а также половину площади сечения вертикального кила и днищевой стрингера. Центр тяжести всей этой объединенной группы можно считать расположенным на уровне настила внутреннего дна.

При этом вторую половину площади сечения вертикального кила и днищевой стрингера в упрощенной схеме расчета рационально объединить с **длинной группой продольных связей**, для которой тоже достаточно отвести только одну строку, исключившую днищевую обшивку, продольные днищевые балки и половину вертикального кила и днищевой стрингера. Центр тяжести всей этой длинной группы связей можно считать расположенным на основной линии, проходящей через верхнюю кромку горизонтального кила, пренебрегая, следовательно, и подъемом линии днища, который в большинстве случаев на транспортных судах мизерен.

Наконец, с целью упрощения можно отказаться от отсчета учета скулового шорта и скрутки скулы, включая скуловую полку частично в бортовую обшивку и частично в обшивку дна и полагая, что борт доходит до основной линии и соединяется под прямым углом с днищем, излучающим горизонтально по всей ширине судна.

Результаты расчета упрощенного эквивалентного бруса для того же судна (см. рис. 127 и табл. 43) приведены во 2-й строке табл. 44. В 1-й строке этой таблицы приведены для сопоставления результаты расчета по табл. 43. Видно, что принятые упрощения, значительно облегчающие расчет, не приводят к какому-либо существенному догрешностям в определении геометрических характеристик эквивалентного бруса.

2) Продольные связи внутреннего дна расположены ближе к нейтральной оси эквивалентного бруса, чем связи днища, поэтому нормальные напряжения от общего изгиба корпуса в связях внутреннего дна соответственно меньше. Естественно, что материал продольных связей внутреннего дна при общем изгибе корпуса используется менее эффективно, чем материал днища.

Однако участие в обеспечении общей прочности корпуса судна — лишь второстепенная функция внутреннего дна, основное назначение его состоит в обеспечении незадвигаемости трюмов судна при поврежденных днищевой обшивкой и в создании

Таблица 44

Геометрические характеристики стержня эквивалентного бруса в различных расчетных вариантах

№ строки	Название расчета	Площадь сечения $F, \text{см}^2$		Отношение $\frac{F_1}{F_2}$ к $F_2$ (в %)	Расстояние от основной линии $x, \text{см}$		Момент инерции $J, \text{см}^4$		Момент сопротивления $W, \text{см}^3$	
		$\text{см}^2$	%		$\text{см}^4$	%	$\text{см}^4$	%	$\text{см}^3$	%
1	Данные, полученные в табл. 43	16,26	100	5,15	386,2	100	56,0	100	75,2	100
2	Упрощенный эквивалентный брус	16,26	100	5,05	392,0	101,5	56,5	100	77,4	103
3	без внутреннего дна	13,0	80	6,00	328,8	85	55,5	98	54,0	72
4	без килевой (отроч) палубы	14,9	92	4,85	369,7	95	51,3	91	75,7	100
5	без верхней палубы	12,9	79	3,83	344,9	48	21,3	37,5	36,6	74
6	без продольных балок верхней палубы	15,54	96	4,83	352,0	91	40,3	68	70,0	92,5
7	без вертикального кила	15,81	97,5	5,27	377,1	98	56,4	100	71,5	96
8	с учетом дна и верхней палубы	17,18	106	5,95	518,0	134	69,3	105	88,7	118
9	После внесения в расчеты всех палубных связей	13,86	85	5,27	307,1	80	45,3	81,5	58,3	81

длинных цистерн двойного дна, необходимых для размещения жидкого топлива и балластного вода.

На некоторых судах нет внутреннего дна. В связи с этим интересно оценить, как повлияет на геометрические характеристики эквивалентного бруса снятие внутреннего дна при неизменных размерах всех остальных продольных связей. Результаты расчета для того же судна при отсутствии внутреннего дна приведены в 3-й строке табл. 44. Снятие настила внутреннего дна (площадь сечения настила и продольных балок внутреннего дна составляет около 20% всей площади сечения эквивалентного бруса) приводит к значительному допущению (почти на 18%) нейтральной оси и к снижению общей жесткости корпуса (центральный момент инерции корпуса уменьшается на ~15%). При этом, однако, момент сопротивления относительно верхней палубы остается практически инвариантным (он уменьшился только на 2%), но сильно падает (приблизительно на 28%) момент сопротивления относительно дна.

Если при внутреннем дне момент сопротивления относительно дна ( $W_d$ ) на 35% больше момента сопротивления относительно палубы ( $W_a$ ), то при отсутствии внутреннего дна он становится даже несколько (на 4%) меньше, чем  $W_d$  при наличии внутреннего дна.

Следовательно, на этом судне после снятия внутреннего дна наименьшие нормальные напряжения от общего изгиба переходят с верхней палубы на донце, даже несколько увеличивая свое значение. Это объясняет, что при отказе от внутреннего дна может потребоваться увеличение толщины донца дна, так как листы дна, кроме общего изгиба, испытывают местный изгиб между балками набора, вызывающий значительные напряжения. Поэтому некоторые Правила постройки морских транспортных судов включают следующие требования: на судах без внутреннего дна толщина листов дна должна быть на 1—3 мм больше, чем на судах того же размера с двойным дном.

3) Материал продольных связей нижней палубы, как и внутреннего дна, при общем изгибе корпуса судна тоже используется значительно менее эффективно, чем материал связей верхней расчетной палубы. Однако главное назначение нижней палубы — не участие в обеспечении общей прочности судна, а разделение трюмов судна по высоте корпуса, дающее возможность целесообразно использовать внутренние объемы судна при перевозке грузов, обеспечить сохранность грузов и удобство их погрузки и выгрузки. О доле участия нижней (второй) палубы в обеспечении общей прочности корпуса можно судить по сопоставлению результатов расчета элементов эквивалентного бруса при наличии нижней (второй) палубы и без нижней (второй) палубы (4-я строка табл. 44), если все остальные продольные связи в обоих случаях остаются одинаковыми.

Видно, что при снятии нижней (второй) палубы, площадь сечения которой в данном случае составляет около 8% площади сечения всего эквивалентного бруса, несколько покажется нейтральная ось (на ~4%), уменьшается величина центрального момента инерции (на ~7%) и почти на 10% уменьшается момент сопротивления относительно верхней палубы, а момент сопротивления относительно дна практически не изменится.

Это означает, что при отсутствии нижней палубы для сохранения того же значения  $W_a$  площадь сечения верхней палубы должна быть увеличена. Этим объясняется общепринятая практика всех классификационных обществ называть эффективную площадь сечения верхней палубы в зависимости от числа палуб судна. При этом учитывают только вторую и третью палубы в основном корпусе судна, расположенные ниже самой верхней непрерывной палубы, поскольку остальные палубы, лежащие ниже трюмов, обычно уже настолько близко располагаются к нейтральной оси, что их роль в обеспечении общей прочности корпуса оказывается практически пренебрежимо малой. Естественно, что площадь сечения верхней палубы на однопалубном судне должна быть больше, чем на двухпалубном, и тем более больше, чем на трехпалубном судне тех же размерений.

4) В 5-й строке табл. 44 приведены геометрические характеристики эквивалентного бруса того же судна при исключении из участия в общем изгибе корпуса всех продольных связей верхней палубы, например в случае аварийного разрыва этой палубы. Как видно, при этом значительно понижается (на 36%) нейтральная ось, центральный момент инерции уменьшается на 52%, моменты сопротивления относительно палубы и дна уменьшаются соответственно на 62,5 и 26%.

5) В 6-й строке табл. 44 приведены результаты определения элементов эквивалентного бруса того же судна в случае снятия продольных балок верхней палубы общей площадью сечения в 360 см<sup>2</sup> (4,3% площади сечения всего эквивалентного бруса и 21,3% от площади сечения всех продольных связей верхней палубы). В этом случае несколько повышается (на 6%) нейтральная ось, центральный момент инерции уменьшается на 9%, момент сопротивления  $W_a$  уменьшается на 12%, а момент сопротивления  $W_d$  — только на 2,5% по сравнению с соответствующими величинами, приведенными в 1-й строке таблицы. Эти данные показывают, как влияет изменение площади сечения верхней палубы на геометрические характеристики эквивалентного бруса.

6) В 7-й строке табл. 44 оценивают роль вертикального клада в обеспечении общей прочности корпуса судна. Строка показывает, что в случае разрыва этой связи момент сопротивления эквивалентного бруса относительно дна уменьшается примерно на 2%, а момент сопротивления относительно верхней

палубы не уменьшается. Можно отметить, что роль днищевой стрингера еще меньше.

7) Все данные, рассмотренные выше, относятся к сечению вне района длиной средней надстройки или к мидельовому сечению судна, в котором вообще отсутствует такая надстройка. Наличие длиной средней надстройки значительно изменяет геометрические характеристики эквивалентного бруса в сечении по этой надстройке.

В 8-й строке табл. 44 приведены результаты расчета в предположении, что палуба средней надстройки (на рис. 127 эта надстройка показана пунктиром, ее высота 2,5 м) является верхней полкой эквивалентного бруса. Размеры продольных связей этой палубы (толщина листового настила и продольные балки) соответствуют требованиям Правил постройки. Размеры продольных связей непрерывной верхней палубы в районе надстройки соответствуют требованиям Правил постройки, установленным для верхней палубы трехпалубного судна. Все остальные связи корпуса судна сохраняем такими же.

Из таблицы видно, что в сечении по надстройке площадь сечения эквивалентного бруса увеличивается по сравнению с его площадью сечений вне надстройки на 6%, нейтральная ось поднялась на 0,7 м (приблизительно на 14%), центральный момент инерции увеличился почти на 35%. Момент сопротивления относительно палубы надстройки оказался на 5% больше момента сопротивления относительно верхней палубы вне надстройки (и это несмотря на то, что отстояние палубы надстройки от нейтральной оси в 1,26 раза больше отстояния верхней непрерывной палубы), еще больше увеличился (на 18%) момент сопротивления относительно днища.

8) Естественно, что при износе корпуса судна элементы эквивалентного бруса уменьшаются в прочность корпуса уменьшаются. В 9-й строке табл. 44 приведены результаты определения геометрических характеристик сечения эквивалентного бруса того же судна без длиной средней надстройки после износа его продольных связей.

Условно предпологается, что в результате коррозии и механического истирания может произойти ослабление продольных связей корпуса судна, эквивалентное условному общему уменьшению толщин листов наружной обшивки на 3 мм, листов настила верхней палубы и внутреннего дна — на 2 мм, листов настила нижней палубы — на 1 мм и уменьшению на 10% площади сечения всех продольных балок. При таком износе общая площадь сечения эквивалентного бруса сокращается на 15%, и примерно на 20% уменьшаются моменты сопротивления  $W_x$  и  $W_y$ .

Отметим, что уменьшение толщин листов наружной обшивки на 3 мм при строительной ее толщине 10 мм на сравнительно небольших судах вызывает уменьшение на 30% перво-

начальной толщины, тогда как на осях больших судов, где строительная толщина наружной обшивки 30 мм, оно означает уменьшение лишь на 10% первоначальной толщины. Следовательно, относительное уменьшение момента сопротивления сечения эквивалентного бруса при одинаковом абсолютном износе продольных связей зависит от их первоначальных размеров (до износа), т. е. и от длины судна.

В табл. 44 приведены данные о судне длиной 140 м. Для судов меньшей длины относительное уменьшение момента сопротивления эквивалентного бруса составляет более 20%, и чем меньше длина судна, тем оно больше. Для более длинных судов относительное уменьшение моментов сопротивления эквивалентного бруса составляет менее 20%, и чем больше длина судна, тем оно меньше.

Обобщенных норм износа корпусов морских судов при определении их расчетных характеристик прочности нет. Для данных об износе корпусов судов, приведенных в судостроительной литературе, характерен заброс относительных значений, принятых при расчете в табл. 44.

В Правилах постройки судов Регистра СССР 1966 г. предусматривался запас на коррозию при назначении толщин листов наружной обшивки на сухогрузных судах — 3 мм, на танкерах — 4 мм, при назначении толщин листов остальных продольных связей: на сухогрузных судах — 1 мм, на танкерах — 2 мм.

В американских Правилах постройки предусматривается в качестве запаса на коррозию увеличение на сухогрузных судах толщин листов наружной обшивки и открытой шпангоубой верхней палубы на 2,8 мм, листов внутреннего дна — на 3,3 мм, остальных листов продольных связей — на 1,8 мм; на танкерах требуется увеличение толщин листов наружной обшивки и палубы на 4,3 мм и остальных продольных связей — на 3 мм.

В японских Правилах постройки судов требуется при расчете моментов сопротивления относительно верхней палубы и днища уменьшать строительную толщину листов продольных связей на 3 мм — для танкеров и на 2 мм — для сухогрузных судов. При этом, как видно из доклада Двустороннего комитета Третьего Международного конгресса по конструкции судов, среднее уменьшение момента сопротивления сечения эквивалентного бруса для танкеров в зависимости от их длины оказывается следующим:

L, м	100	150	200	250	300
Уменьшение, %	28,6	17,1	11,5	10,25	9,75

Уточним, что эти цифры относятся к строительным толщинам продольных связей из обычной судостроительной малоуглеродистой стали. Толщины листов продольных связей корпуса из стали повышенной прочности могут оказаться меньшими, а при их износе на те же 3 мм относительное уменьшение моментов сопротивления эквивалентного бруса будет больше.

9) Отметим, что в целом результаты анализа, приведенные в табл. 44, можно считать достаточно общими, мало зависящими от размеров судов. Только связи, относящиеся к длине средней наплавки, могут более существенно зависеть от размеров судов.

10) Можно считать, что изменение размеров продольных связей эквивалентного бруса, расположенных выше нейтральной оси, существенно сказывается на значении момента сопротивления относительно верхней расчетной палубы и мало влияет на момент сопротивления относительно дна. Аналогично и изменение размеров продольных связей, находящихся выше нейтральной оси, мало влияет (или совсем не влияет) на момент сопротивления эквивалентного бруса относительно верхней расчетной палубы.

**Второе приближение.** Выше при определении геометрических характеристик эквивалентного бруса предполагалось, что все продольные связи корпуса судна, воспринимающие общий его изгиб, полностью эффективны, т. е. способны полностью воспринимать как сжимающие, так и растягивающие напряжения без появления остаточных деформаций или потери устойчивости.

Однако, как уже отмечалось, возможны начальные остаточные изгибы листов продольных связей, например от приварки их к балкам набора. При сжатии таких листов в их плоскости возникают не только общие сжимающие напряжения, но и дополнительные изгибные напряжения. Суммарные напряжения в этих листах могут достигнуть предела текучести даже при небольших или умеренных общих сжимающих напряжениях.

При дальнейшем возрастании продольных усилий от общего изгиба корпуса судна общие сжимающие напряжения распределяются уже неравномерно по ширине связи, т. е. возрастает часть пропорциональных отстоянию их от нейтральной оси (см. рис. 123—125). Примерно то же происходит и в случае потери устойчивости листов при их сжатии в средней плоскости. Влияние потери устойчивости продольных связей на распределение нормальных напряжений в эквивалентном брус при его общем изгибе можно учесть после проверки устойчивости продольных связей под действием расчетных нормальных напряжений. Расчетные нормальные напряжения вычисляются по моментам сопротивления, которые получены в предположении полной эффективности всех продольных связей эквивалентного бруса (моменты сопротивления и напряжения в первом приближении).

Если на такую-либо связь действует сжимающее напряжение, которое в первом приближении оказывается больше ее эйлерова напряжения  $\sigma_E$ , то эта связь теряет устойчивость и не может считаться полностью эффективной. В этом случае надо выполнять расчет эквивалентного бруса во втором приближении

по той же схеме табл. 43, но площадь сечения связи, потерявшей устойчивость, включать не полностью, а с редуцированным коэффициентом  $\varphi$ , выраженным единицами.

Листы судовых переборок, представляющих собой продольные связи корпуса судна, разделяются продольными и поперечными балками набора на отдельные прямоугольные панели, для которых эти балки служат жесткими опорами контура. В контуре различают длинную и короткую его стороны.

При поперечной системе набора длинная сторона расплагируется поперек судна, а короткая — вдоль судна, т. е. продольные

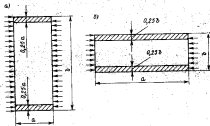


Рис. 128. Редуцирование листовых панелей при их сжатии: а — поперечная система набора; б — продольная система набора. Неразделанные участки контура жестки.

усилия от общего изгиба корпуса приложены к длинной стороне листовых панелей и направлены вдоль короткой стороны (рис. 128, а).

При продольной системе набора длинная сторона расплагируется вдоль, а короткая сторона — поперек судна, продольные усилия приложены к короткой стороне и направлены вдоль длинной стороны (рис. 128, б). Считается, что при продольном сжатии листовых панелей ее часть, прилегающая к продольным жестким балкам контура, не теряет устойчивость, тогда же теряет устойчивость и не поддается редуцированию. Ширина этой нередуцируемой части панелей равна  $0,25$  длины короткой стороны (см. рис. 128). Остальная часть панелей редуцируется с коэффициентом  $\varphi$ . Следовательно, связи, потерявшие устойчивость при действии напряжений, определяемых в первом

приближении, должны во втором приближении включаться в эквивалентный брус с их эффективной шириной  $b_e$ , равной: при поперечной системе набора

$$b_e = (b - 0,5a) \varphi + 0,5a, \quad (4.5)$$

при продольной системе набора

$$b_e = \frac{b}{2} \varphi + \frac{b}{2} = \frac{b}{2} (\varphi + 1). \quad (4.6)$$

Редукционный коэффициент  $\varphi$  в формулах (4.5) и (4.6) зависит от системы набора корпуса [30; 51]. При продольной системе набора значения  $\varphi$  различны:

для пластин, не участвующих в изгибе перекрытий под действием поперечной нагрузки от давления воды или груза (к таким пластинкам обычно условно относят палубы и борты выше грузовой ватерлинии),

$$\varphi = \frac{\sigma_{m,ca}}{\sigma_{m,ca}}; \quad (4.7)$$

для пластин, воспринимающих напряжения от общего изгиба и от изгиба перекрытия (днище и ватик внутреннего дна),

$$\varphi = \frac{\sigma_2 + \sigma_m}{\sigma_{m,ca}}. \quad (4.8)$$

При поперечной системе набора редукционный коэффициент определяют без учета местных напряжений по формуле

$$\varphi = \frac{\sigma_2}{\sigma_{m,ca}}. \quad (4.9)$$

В формулах (4.7)–(4.9) приняты следующие обозначения:  $\sigma_2$  — эйлерово напряжение пластинки;  $\sigma_{m,ca}$  — сжимающее напряжение от общего изгиба в так называемых жестких связях, т. е. в связях, не терпящих устойчивости. В данном случае это напряжение сжатия, вычисленное для рассматриваемого листа в первом приближении;  $\beta$  — коэффициент, равный  $2 - \frac{\beta}{70a}$ , где  $l$  — толщина пластины. Коэффициент  $\beta$  нельзя принимать больше единицы, если отношение  $b/l < 75$ . Практически для транспортных судов почти всегда  $\beta = 1$ ;  $\sigma_m$  — местное продольное напряжение в рассматриваемом листе от изгиба перекрытия поперечной нагрузкой, принимаемое со знаком «+» при растяжении и со знаком «-» при сжатии.

Определение редукционных коэффициентов с учетом местных напряжений по формуле (4.8) выполняется только для средней пролета перекрытия (днища или внутреннего дна). Если сжимающее напряжение окажется  $\sigma_m > \sigma_2$ , то надо считать  $\varphi = 0$ .

Эйлерово напряжение, входящее в формулы (4.7)–(4.9), определяют для пластины, свободно опертой на жесткий контур: при поперечной системе набора, кгс/см<sup>2</sup>

$$\sigma_2 = \frac{E\sigma^2}{12(1-\mu^2)} \left( \frac{l}{a} \right)^2 \left( 1 + \frac{a^2}{3l^2} \right) \approx 2 \cdot 10^6 \left( \frac{l}{a} \right)^2 \left( 1 + \frac{a^2}{3l^2} \right), \quad (4.10)$$

где  $\mu$  — коэффициент Пуассона (для стали  $\mu \approx 0,3$ ); при продольной системе набора

$$\sigma_2 = 8 \cdot 10^6 \left( \frac{l}{a} \right)^2. \quad (4.11)$$

Ниже приведены значения  $\sigma_2$ , вычисленные по формуле (4.11) при наибольшем отношении  $b/l_{max}$ , которое определено по минимально допустимой толщине листов днища ( $l_{max}$ ) судовых и нефтяных судов согласно Правилам Регистра СССР 1974 г. при продольной системе набора:

$l$ , м	100	150	200	250	300
$b/l_{max}$	62	50	47	43	40
$\sigma_2$ , кгс/см <sup>2</sup>	2026	292	3850	4750	5690

По этим данным видно, что даже при минимально допустимых толщинах наружной обшивки (эти толщины зависят от длины судна  $L$  и при данной длине должны быть одинаковыми независимо от предела текучести применяемой стали) эйлерово напряжение оказывается близким к пределу текучести обычно применяемых сталей или превосходит его.

Суммарные расчетные напряжения в днище от общего изгиба и от изгиба перекрытия, как правило, не бывают больше  $0,75\sigma_2$ . Обычно строящиеся толщины больше минимально допустимых, а в тех случаях, когда они равны минимально допустимым, для восприятия расчетных напряжений требуются толщины, меньшие минимально допустимых. Поэтому при тех отношениях  $b/l$ , которые практически характерны для морских транспортных судов, листы днищевых перекрытий этих судов при продольной системе набора не теряют устойчивости, а, следовательно, нет необходимости в их редукции.

Для верхних расчетных палуб судовых и нефтяных судов с продольной системой набора значения  $\sigma_2$ , вычисленные по формуле (4.11) при отношениях  $b/l_{max}$ , определенных согласно Правилам Регистра СССР 1974 г., приведены ниже:

$l$ , м	100	150	200	250
$b/l_{max}$	72	69	65,8	63
$\sigma_2$ , кгс/см <sup>2</sup>	1500	1680	1850	2000

Эти данные показывают, что эйлерово напряжение в палубе даже при минимальных толщинах листов больше растягивающих напряжений, допускаемых при перегибе корпуса судна.

Сжимающие же напряжения при прогибе на этих судах обычно меньше допустимых.

Действительные толщины листов палубного перекрытия на современных грузовых судах, имеющих широким вырезом для грузовых люков, значительно больше минимальных и, как правило, обеспечивают устойчивость листов до напряжений, равных пределу текучести. Следовательно, можно считать, что листы неслили верхней палубы судовозных судов при продольной системе набора не терзает устойчивости под действием наибольших расчетных напряжений и, как правило, нет необходимости в их редуцировании.

Такой же вывод можно сделать, рассматривая устойчивость листов настила палуб нефтеналивных судов, минимальные толщины которых согласно Правилам Регистра СССР существенно больше, чем на судовозных судах.

Требования Правил иностранных классификационных обществ к минимальным толщинам мало отличаются от требований Правил Регистра СССР, а потому сделанный выше вывод можно считать общим для оценки прочностных характеристик всех судов.

При поперечной системе набора верхней расчетной палубы в дилта Правила Регистра СССР требуют назначения таким же минимальным трещин при одинаковых длинах коротких сторон опорного контура листовых панелей, как и в случае продольной системы набора. В то же время эйлеровы напряжения, определяемые по формуле (4.10), почти в четыре раза меньше, чем при продольной системе набора. Поэтому в ряде случаев при поперечной системе набора листы палубы или дилта могут терять устойчивость, так что теоретически может потребоваться их редуцирование и определение элементов эквивалентного бруса во втором приближении.

Однако в Правилах постройки морских судов Регистра СССР и в Правилах иностранных классификационных обществ нет требований определять моменты сопротивления эквивалентного бруса во втором приближении.

Объясняется это, во-первых, тем, что на современных судах, например продольных стальной корпуса которых соответствует Правилам, не наблюдается потеря устойчивости листов палубного неслила в дилтаевой обшивки при обычных условиях их эксплуатации в море (исключая случаи аварий, не предусмотренных в обычных расчетах, например столкновения, посадки на мель и др.).

Во-вторых, редуциционные коэффициенты определяются достаточно условно. Как видно из формул (4.7) и (4.8), редуцированный коэффициент зависит от эйлеровых напряжений (равных реально действующим сжимающим напряжениям, которые могут вызвать потерю устойчивости) и от условных номинальных напряжений в жестких связях. Условные номинальные на-

пряжения в жестких связях получены расчетом при большом числе различных предположений, связанных с определением как расчетных значений внешних воздействий, так и реакции конструкции на эти воздействия, к тому же без учета напряженного состояния, обусловленного не утечками в расчете нагрудками.

Хотя в эйлеровы и расчетные напряжения в жестких связях имеют одинаковую размерность, численная их сутьность различна. Поэтому редуциционные коэффициенты, определяемые по формулам (4.7) и (4.8), — лишь некоторые условные измерители. В какой мере они соответствуют действительности, пока остается неизвестным: Во всяком случае, нет объективных доказательств того, что если расчетные сжимающие напряжения в жесткой связи больше эйлеровых напряжений, то лист обязательно потеряет устойчивость. Часто значения расчетных напряжений могут быть занижены по сравнению с реально действующими, и если даже они оказываются больше эйлеровых напряжений, то, очевидно, в действительности потери устойчивости не произойдет.

Значительную условность несет в себе и определение эйлеровых напряжений при поперечной системе набора по формуле (4.10), при выводе которой предполагается, что листовая панель, скрепленная вдоль короткой стороны опорного контура, может при потере устойчивости свободно поворачиваться относительно длинной стороны своего опорного контура (предполагается, что панель на этой кромке шарнирно соединена с бимсами на палубе или с флюром на дилте).

В действительности панель листа по этой кромке жестко соединена с балкой набора в с соседней панелью, сопротивлению кручению которых препятствует свободному повороту листа, создавая упругую заделку для его кромки. Расчеты значения этой заделки на эйлеровы напряжения показывают [5], что при жесткости кручения обычно применяемых профилей палубных бимсов илиние заделки в значительной степени зависит от отношения расстояния  $a$  между бимсами к толщине  $t$  палубного неслила: чем больше отношение  $a/t$ , тем больше эйлеровы напряжения. Для коэффициента увеличения  $K$  эйлерова напряжения по сравнению со случаем свободного опорания панели в зависимости от  $a/t$  получены следующие значения [5].

$a/t$	30	35	40	45	50	55	60	65	70	75
$K$	1,0	1,04	1,08	1,13	1,17	1,23	1,27	1,32	1,37	1,43

Если из-за учета жесткости бимсов или флюров при их кручении эйлеровы напряжения при сравнительно большом отношении  $a/t$  окажутся заниженными, например, на 30%, а расчетные сжимающие напряжения — завышенными на 20%, то редуциционный коэффициент по формуле (4.9) будет завышен больше чем на 60%.

В практике английской и американской судостроения критические напряжения для валаста верхней палубы при поперечной системе набора принято определять по формуле Монгомера [80] ( $\text{кгс/см}^2$ ):

$$\sigma_{\text{кр}} = \frac{2840}{1 + \frac{1}{260} \left( \frac{l}{t} \right)^{1,33}} \quad (4.12)$$

или по ее аппроксимации

$$\sigma_{\text{кр}} = 70 \cdot 10^3 \frac{t}{l} \quad (4.13)$$

Эта формула дает значительно большие (в 1,5—2 раза) значения критических сжимающих напряжений, чем получаемые по формуле (4.10) для свободно открытой палубы.

Формула (4.12) была получена на основе анализа результатов опытов на палубах со свободными кромками, параллельными сжимающей силе; кромки, перпендикулярные сжимающей силе, имели упругую заделку, жесткость которой в опытах не определялась. Пригодность этой формулы для расчетов листов палубного валаста была проверена сопоставлением значений, получаемых из этой формулы, с расчетными значениями действующих напряжений для палуб судов, на которых наблюдалась потеря устойчивости листов палуб в море при штормовой погоде.

Наибольшие напряжения при статической постановке на стандартную волну высотой, равной  $1/20$  длины судна, подечтаные для 30 судов, имеющих потерю устойчивости листов верхней палубы, оказавшихся равными значениям, полученным по формуле (4.12), или были больше их. Становится, что эта формула дает значения критических напряжений для листов палубы той же степени условности, с какой определяются и номинальные напряжения в обычном расчете общей прочности судна при статической постановке на стандартную волну.

В отечественном судостроении формула (4.12) не находит практического применения из-за отсутствия фундаментальных исследований надежности ее результатов.

В настоящее время на морских транспортных судах длиной более 100 м валисты рассчитаны палубы и днище, как правило, должны иметь продольную систему набора, а для таких судов определение элементов эквивалентного бруса по второму приближению при обычном расчете их общей прочности не является необходимым.

На прочные размеры связей корпусов судов длиной меньше 100 м преимущественное влияние оказывают требования обеспечения не столько их общей прочности, сколько местной прочности и жесткости. Поэтому на таких судах расчетные напря-

жения от общего изгиба обычно оказываются существенно меньшими, чем на больших. В результате, как показывает эксплуатация, на этих судах не наблюдается потери устойчивости листовых листов и при поперечной системе набора.

### § 39. Влияние деревянного палубного валаста на общую прочность корпуса

Деревянный палубный валаст поперек стального применяют главным образом в качестве тепловой изоляции палуб, расположенных непосредственно над жилыми помещениями. На грузовых судах деревянным валастом могут быть покрыты палубы средних валастров. Если эти надстройки достаточно длинные и, следовательно, палубы таких надстроек может быть расчетным верхним пояском эквивалентного бруса, то деревянный валаст такой палубы может принимать участие в общем изгибе судна.

На пассажирских судах деревянный валаст может находить широкое применение: им покрывают все жилые и прогулочные



Рис. 129. Влияние деревянного палубного валаста на устойчивость стального валаста палубного валаста: а — формы связи устойчивости стального валаста; б — заделка деревянного валаста эквивалентным валастическим ребром.

палубы, следовательно, и палубы, участвующие в обеспечении общей прочности судна. Деревянным валастом могут покрывать верхнюю расчетную палубу рефрижераторных судов.

Бруски деревянного валаста одним или двумя болтами в каждой шпации (рис. 129) соединяются со стальными листами палубы так, что обеспечивается их совместная продольная деформация при общем изгибе судна. Однако при одинаковой относительной линейной деформации деревянный и стальной валасты палуб при одинаковых их поперечных сечениях воспринимают разные усилия из-за различия их модулей нормальной упругости. Если для стали модуль нормальной упругости равен  $E_s = (2,1 + 2,2) \cdot 10^6 \text{ кгс/см}^2$ , то для дерева  $E_d = 0,14 \cdot 10^6 \text{ кгс/см}^2$ , т. е. в 15—16 раз меньше. Поэтому при одинаковой относительной деформации и для усилий, воспринимаемых стальным и деревянным валастами палубы при площадях их сечения

соответственно  $F_0$  и  $F_{\text{д}}$ , можно написать в соответствии с законом Гука следующие уравнения:

$$F_0 = \alpha_0 F_0 = \alpha_0 E_0 F_0$$

$$F_{\text{д}} = \alpha_{\text{д}} F_{\text{д}} = \alpha_{\text{д}} E_{\text{д}} F_{\text{д}}$$

Для равенства этих усилий, очевидно, необходимо

$$E_0 F_0 = E_{\text{д}} F_{\text{д}}$$

или

$$\frac{F_{\text{д}}}{F_0} = \frac{E_0}{E_{\text{д}}} \approx 16,$$

т. е. площадь сечения деревянной палубы должна быть примерно в 16 раз больше площади сечения стальной палубы. Это одновременно означает, что при совместном общем растяжении (сжатии) деревянного и стального настилов палубы площадь деревянного настила может засчитываться в число продольных связей лишь с коэффициентом  $1/16$ . С этим коэффициентом обычно считается возможным включать деревянную палубу в эквивалентный брус в тех случаях, когда она сжата (на подшее волю), так как предполагается, что при сжатии жесткой кромчатке стыков деревянных брусьев сжимающие усилия через торцы брусьев могут достаточно надежно передаваться от одного бруса к другому. При растяжении палубы нельзя рассчитывать на передачу растягивающих усилий торцами деревянных брусьев. Правда, продольные растягивающие усилия могут передаваться брусьями деревянного настила вследствие трения в хорошо проконопаченных пазах между брусьями, однако передача растягивающих усилий только в результате трения в пазах менее эффективна, чем передача сжимающих усилий. Поэтому при растяжении палубы принято включать площадь деревянного настила с коэффициентом, равным  $1/16$ , т. е. предполагается, что эффективность деревянного настила при растяжении примерно в 1,5 раза меньше, чем при сжатии.

Поскольку толщина брусьев деревянного палубного настила в практике судостроения принимается одинаковой на всех судах независимо от их длины (толщина сосновых брусьев 65 мм), то относительно влияние деревянного настила на общую прочность больше на малых судах, чем на больших. Например, для судна длиной 100 м учет деревянного настила при растяжении палубы приводит к уменьшению расчетных нормальных напряжений в палубе от общего изгиба примерно на 10%, а для судна длиной 130 м — примерно на 6%. Вообще же влияние деревянного настила на общую прочность корпуса невелико и находится в пределах точности расчета. Поэтому в настоящее время деревянный настил не включают в эквивалентный брус.

Однако надо отметить влияние деревянного палубного настила на устойчивость стальных листов палубы, имеющей поперечную систему набора. Если при потере устойчивости лист выгибается вверх в одной изгибе, то в смежных шпанцах он выгибается вниз, причем на бимсах поперечные сечения листа могут поворачиваться. Поэтому эйлеровы напряжения палубных листов обычно определяют в предположении, что они свободно опираются на бимсы, не учитывая сопротивления бимсов кручению. При наличии деревянного настила возможны две формы потери устойчивости стальных листов во время их сжатия (см. рис. 129, а) в зависимости от мест установки бимсов, соединяющих деревянный настил со стальным. Обеим этим формам потери устойчивости соответствует длина волны, равная расстоянию между бимсами, т. е. вдвое меньшая, чем при отсутствии деревянного настила. Поскольку сечения листов на бимсах не поворачиваются, пластичность надо считать жестко заданными на своих опорах (бимсах), что вчетверо повышает эйлеровы напряжения. И. Г. Вульфов писал [7]:

«... Прикрепление палубных настилов к деревянным доскам, достаточно прочно скрепленным с ними, поднимает их жесткость, причем приближенно эйлеровы напряжения в них можно рассчитать, найдя момент инерции сложного сечения из листа и досок при помощи обычных приемов, но площадь сечения дерева нужно ввести с множителем, равным отношению модуля упругости дерева и стали 0,04—0,05». Там же П. Ф. Палкин с своим замечанием к словам И. Г. Вульфов добавляет: «Разумеется, здесь следует уменьшать в 20—25 раз ее толщину, а ширину слоя дерева, вводя в расчет вместо фактической имеемого слоя дерева эквивалентной ему слой металла» (см. рис. 129, б).

При постройке детского судна «Орегон» в 1939 г. была определена устойчивость стальных палубных листов с деревянным настилом. Листы шириной 1000 мм и толщиной 10 и 14 мм при расстоянии между бимсами, равно 814 мм, сжимались по кромкам, параллельным бимсам. Как видно из табл. 45, при

Таблица 45

Влияние деревянного палубного настила на критическую сжимающую нагрузку стальной палубы

номер	Толщина, мм		Критическая нагрузка, кгс	Отношение критической нагрузки палубы с деревянным настилом к критической нагрузке стальной палубы
	лист	настил		
10		Покровный вет	2 770	1,0
10		38 (сосна)	14 100	5,2
10		51 (сосна)	17 200	6,2
14		Покровный вет	7 630	1,0
14		51 (сосна)	27 300	3,6

сравнительно небольшой толщине металлических листов деревянный настил в пять раз и более увеличивает критическое усилие сжатия (тем больше, чем толще деревянные настил). При толщине листов 14 мм это увеличение было равно 3,6.

#### § 40. Вертикальный изгиб корпуса наклоненного судна

Когда судно находится в прямом положении (не имеет крена) и испытывает общий вертикальный изгиб, то плоскость изгиба совпадает с диаметральной плоскостью, которая является продольной плоскостью симметрии и, следовательно, одной из главных плоскостей изгиба корпуса судна. Когда же судно наклонено на угол  $\theta$  (рис. 130), то плоскость вертикального изгиба

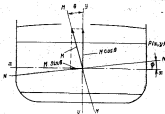


Рис. 130. Вертикальный изгиб корпуса судна при крене.

$N-N$  не совпадает ни с одной из главных плоскостей изгиба корпуса судна. В этом случае происходит так называемый косой изгиб корпуса-балки. Для определения нормального напряжения в любой точке балки  $P(x, y)$  с координатами  $x$  и  $y$  при косом изгибе под действием момента  $M$ , надо, как известно, разделить момент  $M$  на его составляющие, действующие в плоскостях  $y-z$  и  $x-z$ . Эти составляющие, очевидно, равны  $M \cos \theta$  и  $M \sin \theta$  (см. рис. 130). Нормальное напряжение от каждого составляющего момента, действующего в соответствующих главных плоскостях изгиба балки, определяется по формуле (4.1). Суммарное напряжение в точке  $P(x, y)$  равно, очевидно, сумме напряжений от каждого составляющего момента:

$$\sigma_p = \frac{yM \cos \theta}{I_x} + \frac{xM \sin \theta}{I_y}$$

Если расчетная точка лежит на нейтральной оси при косом изгибе корпуса, то для нее должно быть  $\sigma_p = 0$ . Это дает возможность написать следующее уравнение для нейтральной оси корпуса при крене:

$$\frac{y}{I_x} M \cos \theta + \frac{x}{I_y} M \sin \theta = 0$$

или

$$\frac{y}{x} = \operatorname{tg} \phi = - \frac{I_x}{I_y} \operatorname{tg} \theta, \quad (4.14)$$

где  $\phi$  — угол между нейтральной осью  $N-N$  при крене и нейтральной осью  $x-x$  при прямом положении судна;  $I_x$  и  $I_y$  — центральные моменты инерции поперечного сечения эквивалентного бруса относительно осей  $x-x$  и  $y-y$  соответственно.

Из формулы (4.14) видно, что если судно наклонилось на угол по направлению вращения часовой стрелки, то нейтральная ось поворачивается против направления часовой стрелки. Угол поворота пропорционален углу крена, но меньше его (для обычных судов  $I_x < I_y$ ).

Вертикальный изгибающий момент при крене изменится незначительно. Однако при этом же уменьшающемся моменте напряжения в точке сечения эквивалентного бруса могут существенно измениться, так как меняется ее расстояние от нейтральной оси (см. рис. 130). Например, расстояние точки пересечения стрингера верхней палубы со шпигерком правого борта при крене может быть существенно меньше, чем при прямом положении судна. Следовательно, в этой точке при крене на правый борт напряжения от общего изгиба будут уменьшаться  $x$  тем более, чем больше угол крена. Для такой же симметричной точки левого борта картина будет обратной: при крене на правый борт расстояние точки левого борта от нейтральной оси увеличится, а вместе с ним увеличится также напряжение в этой точке от общего изгиба. Поскольку при бортовой качке судна волокна рассмотренных точек корпуса периодически изменяются, наибольшие напряжения в них оказываются увеличенными по сравнению с их значениями, подсчитанными для судна без крена.

И. Г. Бубнов [7] считал, что так как наибольшие изгибающие моменты получаются при курсовых углах, близких к направлению бега волн, когда рыжками боковой качки изгибаются, то для подобных расчетов нужно брать умеренные углы крена, не более 10—12 градусов, могущих получиться от действия ветра, несимметричной нагрузки и случайных перебоев в приливном чередовании волн. По современным представлениям о поведении судна на нерегулярном морском волнении, конечно, не существует «правильного чередования волн», а значения вертикального изгибающего момента почти не изменяются в пределах изменения курсовых углов на  $\pm 25^\circ$  от курса, близкого

к господствующему направлению бега волн. Поэтому не исключена возможность значительной бортовой качки в моменты действия на судно наибольших волновых нагрузок.

В настоящее время специалистами высказывается мнение о избыточности учета бортовой качки при оценках общей прочности корпуса судна. Однако общепринятой методики такого учета пока нет.

Ф. Джанкис еще в 1890 г. нашел, что при крене 30° наибольшие напряжения, подсчитанные для волнения судна без крена, могут увеличиться примерно на 20%.

В работе [123] приведен расчет напряжений для судна (160××23,1×13,52×9,55 м) на стандартной волне с эффективной высотой, равной 0,506V/L, для волнения судна без крена и при крене 15°. В результате этого расчета был получен вывод, что наибольшие напряжения от общего габита при крене 15° увеличиваются для рассматриваемого судна примерно на 15% по сравнению со значением этих напряжений при положении судна без крена.

## Глава II. ОБЕСПЕЧЕНИЕ ОБЩЕЙ ПРОЧНОСТИ КОРПУСА СУДНА

### § 41. Общие вопросы проектирования корпусных конструкций

Корпус судна представляет собой сложное инженерное сооружение, обеспечение надежности которого определяется целым рядом разнообразных факторов. К их числу принадлежат:

- сложность и многогранная статическая неопределенность конструкций корпуса, включающих листовые и профильные элементы, их пересечения и узлы, которые могут находиться в линейном, плоском и объемном напряженном состоянии;
- воздействие в течение срока службы совокупности **различных нагрузок** с весьма различной периодичностью изменения: сравнительно медленно меняющиеся нагрузки на тихой воде; волновые нагрузки, изменяющиеся с кажущимися периодами волн; динамические нагрузки (слеминг, волновых вибрация, заливание палубы), имеющие частоту собственных упругих колебаний корпуса;
- разнообразие конструктивных материалов и разброс их характеристик;
- сложность технологии постройки сварного корпуса;
- разнообразие условий эксплуатации судна;
- высокая степень ответственности конструкций корпуса судна, определяемая безопасностью людей и стоимостью судна и груза.

Естественно, при проектировании корпуса судна его надежность должна быть обеспечена с учетом этих факторов, и тем лучше они выявлены и изучены, чем полнее охвачены в конструкции результаты такого изучения, тем совершеннее конструкция. В судостроении изучение этих факторов — теоретическое и экспериментальное исследование, анализ опыта эксплуатации — составляет предмет судостроительной науки. Наука вооружает практику судостроения средствами для совершенствования проектирования, постройки и эксплуатации судов. Этот процесс непрерывен и бесконечен, поскольку он представляет собой составную часть познания природы человеком. На каждом его этапе возникают новые проблемы, порожденные как прогрессом в глубину знаний, так и новыми потребностями практики.

Сегодня кораблестроители знают и могут гораздо больше, чем 100, 50 и даже 20 лет назад. Об этом свидетельствует бурное развитие судостроения.

Современное состояние наших знаний о нагрузках, действующих на судно в процессе его эксплуатации, достаточно подробно характеризуется в предыдущих разделах этой книги, а также в [50]. Другие факторы были названы и обсуждены во введении. Здесь мы подробно рассмотрим важнейшие из них, отметив современный уровень их изученности и те неопределенности, которые объективно еще существуют сегодня, ограничивая выведение полученных результатов в практику.

**Напряженное состояние продольных связей корпуса.** Действие внешних нагрузок вызывает в конструкциях корпуса напряжения, которые на каждой площадке, образованной мысленным сечением саян, могут быть ориентированы по нормали к площадке — нормальные напряжения — или по касательной к ней — касательные напряжения. Нормальные напряжения, направленные вдоль корпуса судна, называются продольными. Связи корпуса, в сечениях которых продольные нормальные напряжения являются единственными (при одностороннем, или линейном, напряженном состоянии) или преобладающими (при плоском напряженном состоянии), называются продольными. Прочность продольных связей, имеющих значительную протяженность по длине корпуса судна, определяет общую прочность корпуса.

Нормальные напряжения в продольных связях создают нагрузки, вызывающие общие и местные деформации корпуса. К числу нагрузок, вызывающих общие деформации, относятся прежде всего изгибающий момент в вертикальной плоскости, а также изгибающий момент в горизонтальной плоскости и крутящий момент. Корпус судна, испытывающий эти общие деформации (вертикальный и горизонтальный изгиб, кручение), рассматривается как монолитная балка. Определение

геометрических характеристик сечения корпуса-балки и нормальных напряжений в этих сечениях при вертикальном изгибе было рассмотрено выше (см. гл. 10). При горизонтальном изгибе нормальные напряжения определяются аналогично, изменяется лишь плоскость, в которой приложен изгибающий момент. О нормальных напряжениях при кручении корпуса шла речь выше (см. гл. 8). Продольные нормальные напряжения возникают в связи корпуса-балки и при общем сжатии корпуса под действием продольных горизонтальных составляющих давления воды, а также вследствие неравномерного нагрева корпуса (температурные напряжения, см. гл. 9).

Местные деформации корпуса вызываются поперечной нагрузкой: давлением воды, приложенным к боковой поверхности судна или к палубе при ее заливаемости; весом груза и оборудования; собственным весом конструкции. Под действием этой поперечной нагрузки изгибаются перекрытия корпуса, продольные ребра жесткости, подкрепляющие обшивку, настилы обшивки.

Например, перекрытия верхней открытой палубы, ограниченное жесткими опорами по длине (главными поперечными переборками) и по ширине (бортами или продольными переборками в бортах) судна, изгибается от поперечной нагрузки, состоящей из веса палубного груза и оборудования, веса вкатывающейся на палубу забортной воды и собственного веса конструкции. При заливке палубного перекрытия в нем возникают продольные нормальные напряжения, которые алгебраически складываются с продольными нормальными напряжениями от общего изгиба и кручения корпуса. Кроме того, возникают нормальные напряжения в поперечных связях перекрытия.

Действующая на судовые перекрытия поперечная нагрузка от давления воды, жидкого, насыпного или твердого тарного груза непосредственно воспринимается листами палубных переборок. Листы, изгибаясь, передают эту нагрузку на поперечные и продольные балки набора перекрытия, которые являются жестким опорным контуром для отдельных листовых панелей. В листовых панелях при их местном изгибе возникают поперечные и продольные нормальные напряжения. Продольные напряжения от местного изгиба панелей алгебраически суммируются с продольными нормальными напряжениями от общего изгиба и кручения судна и от изгиба отдельных судовых перекрытий.

В зависимости от прояснения продольных нормальных напряжений, которые суммируются в поперечном сечении связи, продольные связи принято разделять на четыре категории.

К первой категории относится связь, в которой действуют нормальные напряжения только от общих деформаций корпуса-балки, например связи палубы, защищенной от заливаемости водой

и свободной от палубных устройств и грузов (собственным весом конструкции пренебрегают).

В связи второй категории суммируются напряжения от общих деформаций корпуса-балки и от изгиба перекрытия. Примером могут служить стенки и свободные пояски килей и дилейных стрингеров, карнизового грузового палуб.

Связи третьей категории воспринимает нормальные напряжения от общих деформаций корпуса-балки, от изгиба перекрытия и от изгиба между поперечными связями при действии поперечной нагрузки. Это продольные ребра жесткости (и их приподнятые пояски) бортов, дилей, грузовых палуб.

Связи четвертой категории является обшивка, в которой в перечисленным выше нормальными напряжениями добавляются напряжения от изгиба листовых панелей перекрытия. При отсутствии продольных ребер обшивка является связью третьей категории. По толщине листа обшивки напряжения первых трех названных видов распределены равномерно, последние — по линейному закону (от наибольшего растягивающего напряжения на одной поверхности листа до наибольшего сжимающего напряжения на противоположной поверхности).

Если перечисленные нормальные напряжения действуют еще зон концентрации напряжений (зоны концентрации напряжений возникают в местах резких изменений геометрической формы поперечных сечений, резкого изменения непрерывности связей, дефектов сварных швов и т. п.), они называются локальными и определяются расчетом, основанным на некоторых предположениях о способе деформирования продольных связей (корпус-балка — для связей первой категории, листовая панель перекрытия — для связей четвертой категории) и о нагрузках, вызывающих соответствующие деформации.

Как видно из предыдущих глав, расчетные значения воинных и ударных вертикальных моментов, горизонтальных и крутящих моментов в настоящее время могут определяться только приближенно, а в некоторых случаях и совсем грубо. Неопределенности возникают при оценке совместного действия отдельных силовых факторов с учетом фазовых соотношений между ними. Нет достаточной определенности и в отношении температурных напряжений.

В местах концентрации напряжений номинальные напряжения могут быть превышены в два-три раза, причем степень этого превышения — она называется коэффициентом концентрации — может быть оценена лишь очень приближенно.

Нужно также учитывать, что суммарные нормальные напряжения складываются не по простую и сложную картину действия остаточных (первичных) напряжений, которые возникают в связях корпуса при их технологической обработке и особенно при сварке. Значения остаточных напряжений, распределение их по корпусу мало изучены.

За время эксплуатации судна связи его корпуса подвергаются износу, коррозии и старению, учет влияния которых на прочностные характеристики носит условный характер.

Обычно вовсе не учитывается влияние на прочность корпуса неравномерных напряжений от общей ходовой вибрации судна и местной вибрации отдельных судовых переборок и улонов.

**Опасное состояние корпуса.** Любая конструкция, в том числе корпусная, считается пригодной до тех пор, пока в ней не обнаруживаются признаки недостаточности. В докладе Десятого комитета Третьего Международного конгресса по конструкции судов [80] было признано целесообразным различать два следующих вида «неадекватности»:

— повреждение, при котором первоначальная форма конструкции изменялась в ущерб ее дальнейшей работе, даже если при этом и не наступила потеря ее способности выполнять свои функции. Примерами повреждений являются большие остаточные деформации из-за местной текучести материала (выпучивание), усталостные или хрупкие трещины. Поврежденная конструкция еще в состоянии воспринимать расчетные нагрузки, но уверенность в ее надежности уже быть не может. Следовательно, ремонт поврежденной конструкции должен производиться при первой возможности;

— разрушение, при котором конструкция настолько сильно повреждена, что теряет способность выполнять свою функцию. Потеря работоспособности подготавливается постепенно (удлинение усталостной трещины или исчерпание пластичности) или может быть внезапной (потери устойчивости или распространение крупной трещины). Во всех случаях разрушающая нагрузка должна классифицироваться как минимальная нагрузка, обуславливающая потерю несущей способности конструкции.

Повреждению или, тем более, разрушению конструкций предшествует переход ее в некоторое опасное состояние. Характеристикой его зависит от того физического явления, в результате которого было подготовлено и произошло повреждение.

Анализ опыта эксплуатации судов, их технического обслуживания и надзора за ними, а также результаты экспериментально-теоретического изучения работоспособности корпусных конструкций привели к выводу, что возможны следующие виды повреждений и соответствующих им опасных состояний конструкций корпуса: усталостные; хрупкие; пластические.

Остановимся подробнее на характеристике каждого вида повреждений.

1) **Усталостные повреждения.** Многочисленными экспериментами установлено, что в металлических конструкциях максимальное значение повторяющейся нагрузки при которой появляются усталостные трещины, часто оказывается много меньше значения нагрузки, соответствующего разрыву при статическом

нагружении. Считается, что возникновение и раскрытие усталостных трещин обусловлены растягивающими напряжениями. Чем больше число циклов нагружения конструкции, тем меньше значение амплитуд растягивающей нагрузки, при котором возникает усталостные повреждения.

Известно, что усталостные трещины, как правило, возникают в местах концентрации (конструктивной или технологической) напряжений, где местные напряжения существенно увеличиваются, а вязкость материала снижается из-за создаваемого здесь объемного напряженного состояния, хотя этот же материал прилетит вполне достаточную ductility при статическом разрыве.

**Усталостная прочность** существенно зависит от типа циклического нагружения. Если в каждом цикле нагружения амплитуды растягивающих и сжимающих напряжений одинаковы, то такой цикл называется **симметричным**. Если в каждом цикле нагружения растягивающие напряжения отличаются от нуля до некоторого наибольшего значения, то цикл называется **отделенным**, или **предварждающим**. Усталостная прочность сталей при пульсирующем цикле нагружения приблизительно вдвое больше, чем при симметричном.

Усталостная прочность сталей при изгибе несколько больше (на 10—15%), чем при симметричном цикле растяжения—сжатия. Она зависит и от размеров конструкций (масштабный эффект).

Если циклические напряжения накладываются в конструкции на совместно действующие растягивающие напряжения, например возникающие на тихой воде, то усталостная прочность соответственно уменьшается. Эти постоянно действующие напряжения называются **средними напряжениями цикла**.

Значительное неблагоприятное влияние на усталостную прочность сталей может оказывать коррозия.

Многочисленность факторов, влияющих на усталостную прочность, создает большие трудности при оценке усталостной прочности сложных судовых сварных конструкций. Эти трудности обусловлены в том, что до настоящего времени недостаточно исследованы процессы, происходящие в металле при его «уставлении» от циклических нагрузок. Непонятно, например, подвергается ли металл в местах концентрации напряжений упрочнению или разупрочнению (т. е. повышается или понижается сопротивляемость материала разрушению) или же имеет место упрочнение в начальной стадии усталостного процесса с последующим разупрочнением.

В настоящее время не существует аналитических методов определения зависимости между амплитудой растягивающего напряжения и количеством циклов, вызывающих усталостное разрушение конкретной конструкции при заданном типе циклического нагружения; такую зависимость можно найти только

экспериментальным путем. Для этого всю конструкцию, ее наиболее слабый узел или элемент подвергают циклическому нагружению при нескольких различных значениях максимальных растягивающих напряжений, и для каждого из них определяют число циклов, соответствующее разрушению образца.<sup>1</sup> По экспериментальным данным строят так называемую усталостную кривую  $\sigma-N$  (напряжение—число циклов). Эта зависимость, построенная в логарифмических координатах, оказывается прямой наклонной линией, спадающей по мере увеличения числа циклов. При  $N=2 \cdot 10^6$  усталостная кривая для сталей обычно переходит в прямую линию, параллельную оси абсцисс (число циклов). Наибольшее растягивающее напряжение, соответствующее числу циклов  $2 \cdot 10^6$ , не вызывает усталостных повреждений при любом числе циклов большим числе циклов нагружения; такое напряжение называется пределом выносливости, или усталости. Его иногда называют, неограниченным в отличие от ограниченного предела усталости, который определяется на усталостной кривой ordinатой, соответствующей тому же иному числу циклов. Для ограниченных пределов усталости всегда необходимо указывать, к какому числу циклов они относятся.

Отметим, что неограниченный предел усталости для стальных сварных судовых конструкций существует лишь в тех условиях, когда они не находятся под воздействием такой коррозионной среды, как морская вода (болты и брызги).

По экспериментальной кривой усталости, построенной для конкретной конструкции, можно найти ее усталостную долговечность при нагружении напряжениями различной амплитуды (пользуясь гипотезой линейного накопления усталостных повреждений). Допустим, например, что в условиях эксплуатации конструкция  $k$  раз подвергается циклическому нагружению напряжениями  $i$ -й амплитуды, а по кривой усталости этой интенсивности ей соответствует  $N_i$  циклов, приводящих к усталостному разрушению. Тогда отношение  $k_i/N_i$  определяет ту часть общего резерва усталостной прочности, которая оказывается израсходованной в этом  $i$ -м нагружении. По гипотезе линейного накопления усталостных повреждений, полное использование усталостной прочности имеет место при  $\sum \frac{k_i}{N_i} = 1$ .

Экспериментальные данные показывают, что эту гипотезу можно использовать лишь как приближенную, поскольку при полном исчерпании усталостного ресурса во многих экспериментах величина  $\sum \frac{k_i}{N_i}$  оказывалась существенно отличной от един-

<sup>1</sup> Обычно испытывается несколько одинаковых образцов для получения более достоверных средних результатов. Поскольку идентичность образцов, как правило, не бывает полной, то экспериментальные характеристики большого разбросом относительно их среднего значения.

ицы, причем в обе стороны. Поэтому такой путь определения усталостной долговечности не может считаться надежным для судовых конструкций, которые подвергаются очень сложному нерегулярному циклическому нагружению на волнении.

Хотя для некоторых волновых нагрузок, например для вертикального нагибающего момента, и можно с достаточной надежностью установить число циклов напряжений различной интенсивности, действующих на корпус судна за срок его эксплуатации, остается неизменной последовательность их действия, которая может оказывать значительное влияние на усталостную прочность конструкций. Известны единичные экспериментальные данные нагружения конструкции идентичными повторяющимися блоками циклических нагружений, состоящих из нескольких циклов разной амплитуды, однако они не могут считаться достаточно убедительными.

Для определения усталостной прочности конструктивных узлов и элементов желательно проводить их усталостные испытания, но в условиях начального проектирования это обычно невозможно, и усталостные характеристики могут находиться лишь для лабораторных образцов. При использовании этих экспериментальных данных для оценки усталостной прочности сварных конструкций необходимо учитывать различие между напряженным состоянием при испытаниях и в реальных условиях эксплуатации, влияние постоянных средних напряжений, масштабы эффект, особенности концентрации напряжений, влияние коррозии и температурных напряжений. Надо также учитывать, что обычно усталостные испытания производятся непрерывно с частотой нагружения  $\sim 100$  циклов в минуту, что примерно в 20 раз больше средней частоты волновых нагрузок. Известно, что при наличии концентрации напряжений и коррозионной среды уменьшение частоты нагружения приводит к зончению усталостной прочности, а перемены в нагружении могут оказывать некоторое благоприятное влияние на усталость. Правильный учет каждого из перечисленных факторов труден, а тем более трудно с достаточной надежностью оценить их совокупное влияние.

При рассмотрении усталостной прочности конструктивных сталей различной статической прочности надо иметь в виду следующее:

только для гладких образцов существует прямая пропорциональность между пределом усталости и временным сопротивлением;

для образцов с концентрацией напряжений (с надрезами) при числе циклов менее 100 можно приближенно считать, что предел усталости равен временному сопротивлению, деленному на теоретический коэффициент концентрации напряжений; усталостная прочность в общем случае может зависеть гораздо больше от переменности деформаций, чем от переменности напряжений;

для числа циклов от 100 до 10 000 сопротивление деформации почти одинаково для широкого класса судостроительных сталей; для такого небольшого числа циклов сопротивление усталости конструкций с надрезами может лишь незначительно увеличиваться вследствие повышения статической прочности материала; при числе циклов более 10 000 практически можно считать усталостную прочность ее зависящей от статической прочности материала.

Обычно отмечается, что только лишь малая часть усталостных повреждений корпуса вызвана дефектами материала, в основном же эти повреждения являются следствием ошибок проектирования, изготовления или эксплуатационного обслуживания конструкции.

Усталостная прочность для судостроения так же актуальна, как и для других областей техники. Усталостные повреждения на морских судах являются наиболее распространенным видом «недостаточности». По данным Регистра Ллойда 25% сухогрузных судов и 30% танкеров построенных 1945—1956 гг. имели в листах верхней палубы и днища в средней части судна усталостные трещины, которые могут непосредственно влиять на общую прочность корпуса; на судах построенных 1957—1968 гг. эти цифры уменьшились до 10 и 4%, соответственно. Конечно, могут возникать усталостные трещины и в других местах корпуса.

Усталостная трещина всегда возникает в местах концентрации напряжений, чаще всего — в надрезах сварных швов. Возникнув в сварном шве, трещина обычно выходит из него и распространяется дальше уже в основном материале конструкции. Экспериментально установлено, что это движение трещины происходит медленно, а иногда и вообще прекращается навсегда. Такая трещина обнаруживается и ремонтируется еще до того, как станет опасным повреждением судна.

И. Нибберг считает, что в судовой конструкции из малоуглеродистой стали трещина длиной 1 м безопасна, если уровень общих напряжений не превышает 0,8 предела текучести стали; для сталей повышенной прочности при той же длине трещины уровень напряжений не должен превышать 0,6 предела текучести. Дж. Мэррей утверждал в своем выступлении на Третьем Международном конгрессе по конструкции судов (1967 г.): по данным Регистра Ллойда нет доказательств того, что разрушение корпуса судна как балки происходит из-за усталости, а также нет доказательства возможности полного разрушения из-за усталости судовых переборок. Конечно, нельзя забывать, что определение необходимости предотвращать усталостные трещины в наиболее слабых участках или в элементах конструкции основных продольных связей корпуса, обеспечивающих его общую прочность.

В Правилах классификационных обществ, в том числе и в Регистре Ллойда, введены с целью обеспечения необходимой

усталостной прочности ограничения значений допустимых напряжений, соответствующих волновым вертикальным изгибающим моментам. По этим Правилам наименьший момент сопротивления корпуса морского судна как в каких случаях не должен быть меньше величин, определенной по значению условного вертикального волнового изгибающего момента и по допустимым напряжениям, содержащим некоторый запас для обеспечения усталостной прочности. Так как в разных Правилах значения расчетного волнового момента и допустимых напряжений различны, а свободными значениями минимального момента сопротивления практически одинаковы, то эти значения момента сопротивления корпуса, устанавливаемые Правилами, можно считать практически обеспечивающими усталостную прочность морских судов.

В конструкции корпуса морского судна наиболее аварийными и опасными местами возникновения усталостных трещин являются:

углы больших вырезов в листах настила верхней расчетной палубы;

паружная обшивка и стрингерный лист у концов средней надстройки;

палубные и днищевые продольные балки (при продольной системе набора) в местах пересечения их с водонепроницаемыми переборками и водонепроницаемыми флорами.

Выполнение требований современных Правил классификационных обществ к проектированию палубных вырезов и концов средней надстроек обеспечивает значительно большую усталостную прочность этих конструкций, чем узлов пересечения продольных и поперечных связей. К тому же конструкции палубы и надстроек доступны для контроля, появляющиеся здесь трещины могут быть обнаружены на ранней стадии их развития и потому менее опасны.

Форма продольных балок в местах пересечения их с поперечными водонепроницаемыми конструкциями назначается из-за усталости здесь книц, в стенках этих балок делают вырезы для пропуска кеперыванных угловых швов поперечных конструкций. В случаях, когда продольные балки разрезают на поперечных связях (на судах длиной менее 180 м это делается часто), стенки и полки балки соединяют с поперечными связями угловыми сварными швами; катаные продольные балки угловыми сварными швами соединяются с листами палубы и днища, а если балка составная, то имеются еще и сварные угловые швы, соединяющие свободную полку балки с ее стенкой. Кницы, вырезы и возможная разнотекучесть создают местные изменения геометрической формы продольных балок и обуславливают наличие в них концентрации напряжений. Эта конструктивная концентрация считается с технологической концентрацией напряжений и различными дефектами угловых сварных швов, которые и без

того характеризуется более вязкой, по сравнению со стыковыми швами, усталостной прочностью. Следовательно позволяет считать, что в конструкциях палубы и днища, где могут действовать наибольшие волновые напряжения, самым опасным в отношении усталостной прочности являются узлы пересечений продольных балок с поперечными связями. Для этих узлов, по обобщенным данным Г. Гернем аксиериментальным данным, предел выносливости при  $2 \cdot 10^6$  симметричных циклах можно считать равным  $430 \text{ кг/см}^2$  с разбросом  $\pm 60 \text{ кг/см}^2$ , а при пульсирующих циклах —  $660 \text{ кг/см}^2$  с разбросом  $\pm 90 \text{ кг/см}^2$ .

Число циклов, соответствующее тому или иному пределу выносливости, приводит к усталостному разрушению конструкции. Для предотвращения этого разрушения необходимо, чтобы действительное число циклов напряжений, равных этому пределу выносливости, было меньше предельного числа циклов, соответствующая ему до крайней усталости, т. е. необходим какой-то запас по числу циклов. В принципе это условие могло бы служить критерием усталостной прочности конструкции. Однако его реализация применительно к корпусным конструкциям представляется до крайней мере три обстоятельства.

Во-первых, усталостная кривая в том виде, как она строится в настоящее время, определяет число циклов до разрушения при действиях напряжений, изменяющихся по определенному закону во времени (симметричный или пульсирующий цикл) с постоянной амплитудой. Она не содержит никакой информации об усталостном разрыве конструкции при действиях на нее напряжений с разной амплитудой, поэтому приходится вводить гипотезу о способе накопления повреждений (например, упоминающую выше гипотезу линейного суммирования повреждений).

Во-вторых, на усталостная кривая, не дополняющая ее гипотеза о накоплении повреждений не учитывают вероятностей действия напряжений разного уровня. Поэтому необходимо использовать некоторую статистическую модель накопления повреждений.

Наконец, в-третьих, определенное значение расчетной действительных напряжений является условным (пожизненным) и должно быть увеличено из-за концентрации напряжений. Вычисленные таким образом напряжения не тождественны действительным, для которых получена усталостная кривая.

С учетом перечисленных обстоятельств и формулируется в настоящее время критерий усталостной прочности конструкции; мы позначимся с ним в дальнейшем (см. § 44).

2) Хрупкие повреждения. Проблема хрупкой прочности в морском судостроении остро возникла в связи с массовыми аварийными хрупкими разрывами конструкций сварных судов, построенных во время или непосредственно после второй мировой войны. Только за 5 месяцев (с ноября 1941 г. по апрель 1943 г.) 28 новых судов или переделанных на две части, или

имели большие хрупкие разрушения корпуса. Несмотря на ограниченные меры, принятые для предотвращения опасных хрупких трещин, дополнительно около 200 судов получили колоссальные большие повреждения и на более чем 1000 судов были отмечены меньшие повреждения, прежде чем были выпущены в рейсы эти ялочки и найдены способы борьбы с ними.

В результате анализа большого числа случаев хрупких разрывов было сделано заключение, что при некоторых авариях в море в корпусных конструкциях возникали большие напряжения, которые и приводили к хрупким разрушениям. Следовательно, напряжения, возникающие в корпусных конструкциях морских сварных судов при эксплуатационных нагрузках, не должны быть чрезмерными. Снижение расчетных напряжений на сварных судах ниже уровня, принятого на клеевых судах, на которых почти не было хрупких разрушений, было бы неоправданным, поэтому расчетные напряжения, приемлемые для клеевых судов, должны быть приняты и для сварных судов.

Опыт эксплуатации показывает также, что надо уделять внимание таким особенностям приложения нагрузок на сварных судах, как удары волн и включение действия напряжений. Совпадение исключительных ударов волн с хрупкими разрывами в море часто отмечалось в вахтенных журналах аварийных судов. Следовательно, удары волн являются важным фактором, повышающим риск появления трещин.

Вид поверхности металла в случае хрупких трещин отличается от характерной картины усталостного износа: кристаллическая текстура трещины ничем не напоминает по виду гладкую темную поверхность металла усталостной трещины. Поэтому нельзя считать, что усталостные явления входят в число определяющих факторов хрупкого разрушения. Однако ясно, что циклическое нагружение может привести к появлению вытнутых скрытых надзоров, усталостных трещин на сварных швах и т. д., которые при соответствующих условиях (значительные напряжения, низкая температура, удары) могут развиться в большую хрупкую трещину.

Эксплуатационные хрупкие трещины возникают из больших дефектов сварных швов (трещины, непровары, каверны, включения, надзоры). Однако они могут начинаться и во внешне непорочном шве, из осей незначительных дефектов, которые не обнаруживаются или неизбежны в судостроительной практике. Около 40% аварий связано с такими случаями, когда острота надзоров, от которых начинаются трещины, не находилась под контролем конструктора, а дефект сварки может быть замечен инспектором не иначе как методом внутреннего контроля.

Остаточные напряжения следует учитывать, когда в основном металле есть условия для появления хрупких повреждений. Исследования показали, что сварные хрупкие трещины

определенно связаны с низкой температурой, и это обусловлено тем, что та же сталь становится более хрупкой при низких температурах. Это свойство стали известно уже давно, но не учитывалось, что температура, при которой происходит хрупкость, изменится в широких пределах для сталей, которые в инженерном представлении являются одинаковыми. Так, температура, при которой произошла авария, колеблется в широких пределах: от  $-40$  до  $+40^{\circ}\text{C}$ , а подводящее большинство их лежит между  $0$  и  $+10^{\circ}\text{C}$ . Некоторые серьезные трещины возникли при средних эксплуатационных температурах.

При определении минимальной эксплуатационной температуры, при которой должна быть обеспечена безопасность, надо иметь в виду, что в зимние сезоны температура воздуха может быть значительно ниже температуры морской воды. Это важно учитывать в тех случаях, когда наибольшие растягивающие напряжения возникают в палубе. С другой стороны, сильный штурм, при котором действуют большие напряжения, вряд ли сочетается с температурой значительно ниже  $0^{\circ}\text{C}$ . Представляется разумным считать  $0^{\circ}\text{C}$  в качестве подходящего минимума температур, на котором должна основываться оценка безопасности для обычных эксплуатационных условий, исключая, конечно, холерные районы.

В большинстве случаев невозможно определить значение действительных продольных напряжений, возникших во время аварии. Обычно можно только подсчитать номинальные напряжения, получая известной несвоей нагрузкой судна и обшивки при проектировании размеров волн. В некоторых случаях при образовании больших трещин значения номинальных напряжений были на уровне допускаемых, тогда как в других случаях они имели умеренные и даже малые значения. Известен случай, когда в днище танкера образовалась хрупкая трещина длиной  $3,5$  м при спокойном море, температуре воздуха  $-3^{\circ}\text{C}$  и расчетном напряжении  $\sim 150$  кг/см<sup>2</sup>. В 1951 г. танкер T-2 разломился на стоянке у береговой при температуре воды и воздуха  $6^{\circ}\text{C}$  и расчетном напряжении, равном  $700$  кг/см<sup>2</sup>. В 1966 г. на танкере, находившемся еще на стапеле, сразу по окончании постройки возникла трещина, разорванная широтек и палубный стрингер, при ничтожно малых напряжениях. Трещина возникла из небольшого дефекта в детали, не имевшей существенного конструктивного значения (в сварном шве, соединяющем полукруглую обделочную полосу со верхней верхней кромке шпренгеля). Авария произошла ночью, когда температура упала от  $+12$  до  $-2^{\circ}\text{C}$ .

Полное и всестороннее исследование аварий морских сварных судов показывает, что большинство хрупких разрывов происходило в конструкциях, изготовленных обычным способом, при нормальных эксплуатационных условиях, т. е. без заметных внешних ударов, без серьезного снижения качества материала,

когда не было очень низких температур. Поэтому нет оснований считать, что хрупкие трещины вызываются только одной какой-либо внешней причиной. Обычно они возникают в результате совместного действия многих перечисленных выше неблагоприятных факторов. Однако основная причина появления хрупких разрывов — низкое качество прокатки и изготовления конструкций и низкое качество материала, главным образом недостаточная вязкость конструкционной стали.

Конструкционные стали, в том числе и обычная малоуглеродистая «мягкая», судостроительная сталь, разрываются вязко (пластично) при всех эксплуатационных температурах только в случаях, когда они не повреждены надрезами (концентраторами напряжений), особенно острыми трещинами. При вязком (сдвиговом) разрыве ширина и толщина разрываемого элемента и поперечном сечении должны свободно уменьшаться. В том случае, когда разрыв возникает в надрезе, деформации по ширине и по толщине листа не могут совершаться свободно: этому препятствует окружающий надрез несомкнутый материал. Таким образом, в разрезе, кроме продольного растягивающего напряжения от внешней нагрузки, возникает еще и растягивающее поперечные напряжения, действующие по ширине и толщине элемента. Следовательно, надрез является не только концентратором напряжений, который в несколько раз повышает осевое растягивающее напряжение от внешней нагрузки, он создает также и местное объемное напряженное состояние.

Иногда считают, что создаваемая надрезами концентрация напряжений — это основная причина образования хрупких трещин. Однако это не так, поскольку, как показывают испытания геометрически подобных образцов, толстые листы с острыми надрезами оказываются вязкими (пластичными) при всех обычных температурах, тогда как более тонкие листы с такими же надрезами оказываются хрупкими. Поперечные растягивающие напряжения обуславливают хрупкое поведение материала. Значение этих напряжений тем больше, чем толще лист и чем острее и глубже надрез. Эксперименты показали, что влияние толщины листа становится заметным, когда она превосходит  $7$  мм.

Пластические деформации (следовательно, и вязкость) зависят только от касательных напряжений, а максимальное касательное напряжение, как известно, равно половине максимального и минимального главных напряжений. При объемном напряженном состоянии отношение максимального касательного напряжения к максимальному растягивающему напряжению может превышать единицу. Значение этого отношения определит, в какой степени вязко или хрупко ведет себя данная сталь. Однако неизвестно с достаточной практической точностью, какое отношение между касательными и нормальными напряжениями может быть допущено без опасности возникновения хрупкого разрыва. Оно зависит не только от характера надреза и тол-

шины материала, но также и от химического состава стали, от металлургических особенностей ее производства, от условий холодной и тепловой обработки в процессе изготовления конструкции и, что особенно важно, от эксплуатационных температурных условий. Нет простых и простых средств контроля этого отношения, так что невозможно получить количественные данные об изменении склонности стали к хрупкости в зависимости от главных напряжений.

Все острые и глубокие надрезы в толстых листах конструкционной стали являются потенциальными очагами крупного разрыва. Какими должны быть острота и глубина надреза при данной толщине листа, для того чтобы вызвать хрупкий разрыв? Чтобы ответить на этот вопрос, надо учесть много факторов. Из них температурные условия работы конструкции имеют наиболее важное значение.

Существует так называемая критическая температура хрупкости  $T_1$ , выше которой сталь в надрезе становится опасно хрупкой и разрушается оспынно без пластического деформирования при приложении напряжений, существенно меньших предела текучести материала. Для той же стали в надрезе существует также критическая температура вязкости  $T_2$ , выше которой сталь находится почти полностью в вязком состоянии и имеет сдвоенный разрыв с большой эластической деформацией при напряжениях, близких к временному сопротивлению материала независимо от наличия остаточных напряжений. Для сталей существует еще и температура остановки трещины  $T_3$ , выше которой возникшие при более вязкой температуре трещины, пройдя некоторое небольшое расстояние, останавливаются.

Динамик перепадами температур от  $T_1$  до  $T_2$  характерно тем, что состояние стали в нем постепенно изменяется от хрупкого к вязкому. Для большого числа конструкционных сталей существуют следующие практические постоянные соотношения:  $T_2$  примерно на  $35^\circ\text{C}$  выше  $T_1$ ,  $T_3$  примерно на  $10$ — $15^\circ\text{C}$  ниже  $T_1$ . Следовательно, если известно значение одной из этих температур, то можно считать известными и значения двух других.

В зависимости от соотношений между эксплуатационной температурой  $T_0$  и критическими температурами возможны следующие характерные случаи разрыва:

- если  $T_0 > T_2$ , то разрыв возник при напряжениях от внешней нагрузки, близких ко временному сопротивлению стали, независимо от наличия остаточных напряжений;
- если  $T_0 < T_2$ , то  $T_0 > T_1$ , но в тех случаях, когда присутствуют остаточные напряжения, возникает короткий хрупкий трещина при напряжениях, меньших предела текучести стали. Трещина распространяется на короткое расстояние, затем останавливается. Чтобы ее движение возобновилось, необходимо наложение от внешней нагрузки, равное пределу текучести, при котором происходит полный хрупкий разрыв;

в) при  $T_0 < T_0$ , в тех случаях, когда присутствуют остаточные напряжения, разрыв хрупкий и вязкий (но все же семенню), если напряжения от внешней нагрузки равны некоторой критической величине или превосходят ее. Критическая величина различна для разных сталей (для мягкой судостроительной стали она равна приблизительно  $400$ — $600$  кгс/см<sup>2</sup>). Если рабочие напряжения меньше критического, то может возникнуть лишь короткий хрупкий трещина.

Из сказанного выше следует, что во избежание крупного разрушения судовых конструкций их надо делать из сталей, критические температуры  $T_1$  и  $T_2$  которых были бы ниже возможных низких эксплуатационных температур. При этом, конечно, необходимо, чтобы выбранным критическим температурам соответствовали какая-то величина минимальной вязкости стали. В настоящее время общепринято вязкость при разрыве определять значением ударной энергии, текущей до разрыва стандартного образца Шарпа с V-образным острым надрезом. Эта энергия называется ударной вязкостью материала. Необходимое минимальное значение ударной вязкости, соответствующее той или иной температуре, может быть найдено по данным испытаний образцов, вырезанных из листов корпуса судна, в которых в эксплуатационных условиях возникли, распространились или останавливались хрупкие трещины.

Исследование большого количества таких образцов позволило сделать следующие заключения:

в листах толщиной менее  $10$  мм хрупкие трещины вообще не возникли;

листы, в которых при определенной температуре возникли трещины, имели при той же температуре ударную вязкость, равную или меньшую  $2,0$  кгс·м;

листы, в которых хрупкие трещины останавливались, имели ударную вязкость  $4,0$  кгс·м или большую;

многие хрупкие разрывы происходили в конструкциях, качество проектирования и изготовления которых было явно низким; в таких конструкциях трещины возникли даже при температуре  $+15^\circ\text{C}$  и выше;

для предотвращения от хрупкости судовых сварных конструкций, качество проектирования и изготовления которых было удовлетворительным, необходимо, чтобы ударная вязкость стали при температуре  $0^\circ\text{C}$  была не менее  $4,85$  кгс·м.

Рекомендация последнего пункта в виде обязательного требования была включена в 1958 г. в Правила постройки морских стальных судов классификационных обществ. Одновременно в эти Правила были включены требования к химическому составу сталей, к ее раскислению, термической обработке, а также были повышены требования к качеству проектирования и изготовления конструкций, особенно к их сварке. В дальнейшем все эти требования изменялись и уточнялись, и в настоящее

время судостроительные стали при одних и тех же значительных пределах текучести и временного сопротивления делятся на категории в зависимости от толщины материала и от степени ответственности конструкции.

При этом для каждой категории стали установлены различные требования к минимальной ударной вязкости. Категории стали различают и по химическому составу. Например, для обычной малоуглеродистой стали с пределом текучести 24 кгс/мм<sup>2</sup> и временным сопротивлением 41—50 кгс/мм<sup>2</sup> установлены следующие категории.

Категория А—сталь полуспокойная, а при толщине листов менее 12,5 мм допускается применение кипящей стали; термическая обработка не требуется, ударная вязкость не нормируется.

Категория В—сталь полуспокойная для спокойная, термическая обработка не требуется, минимальная ударная вязкость 2,8 кгс·м при температуре 0°С.

Категория Д—сталь спокойная, мелкозернистая, нормализованная, ударная вязкость не менее 2,8 кгс·м при температуре —20°С.

Категория Е—сталь спокойная, мелкозернистая, нормализованная, ударная вязкость не менее 2,8 кгс·м при температуре —40°С; должен испытываться каждый лист, тогда как для предыдущих категорий испытания выборочные.

Аналогичные требования приводятся и для сталей повышенной прочности, причем в разных Правилах требования и условия и химическому составу почти идентичны. В Правилах приведены подробные указания о том, какие именно категории сталей необходимо применять для изготовления различных продольных связей в зависимости от их назначения, расположения по длине и высоте корпуса судна и от толщины листов.

Важно отметить, что если критическая температура хрупкости сталей, применявшихся в судостроении во время второй мировой войны и в первое время после нее, находилась в пределах изменения эксплуатационных температур и даже была близка к средней эксплуатационной температуре, то критическая температура современной судостроительной стали категории Д лежит существенно ниже наименьшей возможной эксплуатационной температуры, а для стали категории Е этот «температурный запас» еще больше.

Следовательно, «температурные запасы», удовлетворительное качество проектирования и изготовления корпусных конструкций при условии, что металл сварных швов обладает вязкостью не меньшей, чем основной материал конструкции,— это важнейшие меры защиты корпусных конструкций морских судов от хрупких трещин. К металлу сварных швов в Правилах предъявляются те же требования вязкости, что и к материалу корпуса. Из практики известно, что возникающие в шве трещины, как

правило, в них не распространяются, а переходят в основной металл.

Как указывается в судостроительной литературе, за последние более чем 15 лет в корпусных конструкциях морских судов, построенных в соответствии с требованиями Правил, не было сколько-нибудь серьезных хрупких трещин. Следовательно, можно считать, что проблема хрупкой прочности в морском судостроении практически удовлетворительно разрешена эмпирически в результате применения перечисленных мер защиты. И число этих мер надо исключить и значения тех допускаемых напряжений, которые в Правилах считаются гарантирующими необходимую общую прочность корпуса морского судна. Следовательно, минимальный момент сопротивления корпуса морского транспортного судна, требуемый Правилами в зависимости от напряжений при действии суммарного изгибающего момента на такой воде и на волнении, можно считать практически обеспечивающими хрупкую прочность корпуса. Одновременно необходимо выполнить всех требований Правил относительно качества стали, проектирования и изготовления конструкций.

Что же касается минимальных значений ударной вязкости, то она сама по себе не могут считаться количественными показателями работоспособности конструкции, а служат только для определения опасной критической температуры каждой данной стали с ее химическим составом и металлургическими особенностями.

Метод установления минимальных значений ударной вязкости на основании испытаний образцов, взятых из листов, полученных хрупкие трещины в условиях эксплуатации судов, не может дать точных результатов. Трудно предположить, что при механическом испытании можно хотя бы приблизительно воспроизвести условия, в которых находится материал конструкции во время аварии.

Все факторы, вызывающие хрупкое разрушение на плавающем судне, обычно не могут быть точно установлены и тем более не могут быть воспроизведены при простом механическом испытании. Поэтому случаи аварий невозможно достаточно полно проанализировать и предотвратить. Однако, конечно, можно установить некоторые общие существенные признаки разрушения на основании анализа большого числа случаев и использовать их в сочетании с результатами широких исследований в качестве руководства при разработке методики испытаний.

Эмпирическое практически удовлетворительное решение проблемы хрупкой прочности сварных судовых конструкций не является свидетельством достаточно полного понимания ее сущности, которая в настоящее время все еще остается важной и требует дальнейшего изучения.

3) *Пластические повреждения.* К числу пластических относятся повреждения, связанные либо с исчерпанием пластиче-

сного сопротивления материала конструкции при растяжении продольных связей, либо с потерей устойчивости перекрытой судовой корпуса при их сжатии. Установлено, что эти повреждения возникают при эксплуатации судов. Анализ этого опыта, а также результаты специально поставленных экспериментов на натурных и полунаатурных судовых конструкциях позволяют дать приближенную оценку несущей способности конструктивной корпуса до появления опасного состояния.

Дж. Колдуэлл предложил [75] определять предельную несущую способность эквивалентного бруса таким вертикальным изгибающим моментом, при котором в судовом корпусе-балке образуется пластический шарнир; в выделенном сочлене судна во всех продольных связях, расположенных выше (ниже) нейтральной оси, действуют растягивающие напряжения, равные пределу текучести материала, а во всех продольных связях ниже (выше) нейтральной оси действуют сжимающие напряжения, вызывающие потерю пластической устойчивости связей. Также гипотетическое напряженное состояние корпуса судна, по-видимому, далеко от действительного.

Для развития пластического шарнира в корпусе-балке необходима относительная деформация верхней палубы и днища, достигающая нескольких процентов, за значительное длине судна (~10 м). Однако известно, что в судовых перекрытках, подкрепленных продольными балками главного направления, при местной деформации, равной 1%, образуются трещины.

Как показывают испытания, продольные днищевые балки натуральных размеров (Нибберген, 1969 г.) разрушались при напряженных растяжениях, равных 0,75 предела текучести, для при напряжениях сжатия, равных 0,79 предела текучести. Общая относительная деформация этих балок при их разрушении составляла только 0,2%. Корпус английской миноносца «Альба» был разрушен в дозе статической нагрузкой при наибольших нормальных напряжениях, равных 0,7 предела текучести. Следовательно, нагрузка корпуса судна, соответствующая развитию пластического шарнира, не может считаться характеристикой реальной несущей способности судового корпуса-балки.

В практике отечественного морского судостроения предельной нагрузкой принято считать такой вертикальный изгибающий момент, который вызывает нормальные напряжения в верхней палубе и днища, равные при растяжении пределу текучести, а при сжатии — напряжениям потери устойчивости. Вычисляются следующие сомножители к тому, что достигните такого напряженного состояния в корпусе судна возможно.

Во-первых, на современных морских транспортных судах длиной более 120 м, имеющих продольную систему набора верхней расчетной палубы и днища, обеспечена устойчивость основных продольных связей корпуса до напряжений, близких к пределу

текучести их материала. Это подтверждается испытаниями, проведенными В. П. Великим, Н. Ф. Ершовым, Г. О. Таубиним и др. Однако в условиях эксплуатации судно более вероятно разрушение основных продольных связей при напряжениях сжатия, меньших предела текучести, из-за большой концентрации напряжений и дополнительных напряжений, вызываемых местными нагрузками, температурными условиями, неравномерными изгибами и другими неравномерностями формы конструктивных узлов. Снижение значений разрывных нагрузок может быть вызвано и коррозионными повреждениями, общим износом и старением конструкции. Известно, что при лабораторных испытаниях натурных образцов судовых конструктивных узлов, например продольных балок палубы и днища, они обычно разрушаются при напряжениях, равных 0,75—0,80 предела текучести.

Во-вторых, прежде чем при сильном морском волнении волновая нагрузка достигнет предельного для корпуса уровня, очевидно, будут действовать меньшие повторные нагрузки, которые должны вызывать достаточно большие циклоперемещаемые напряжения. Эти напряжения могут привести к усталостному разрушению конструкции еще до того, как возникнут предельные напряжения. Аварийные случаи показывают, что полное разрушение корпуса судов происходило при обихих наибольших напряжениях, существующих меньших предела текучести материала.

**Коэффициент запаса.** Неоднозначность и неопределенность опасного состояния корпусных конструкций, а также сложность и недостаточная определенность их напряженного состояния под действием совокупности эксплуатационных нагрузок делают весьма трудной задачу обеспечения надежности конструкции.

Решая эту задачу, инженер-проектировщик должен исходить из определенных представлений о предельных условиях, а которых может оказаться конструкция корпуса при эксплуатации (опасные состояние корпуса), и прогнозировать с помощью расчетов возможные рабочие параметры конструкции (напряженное состояние, возможность развития усталостных или хрупких трещин, пластических повреждений).

Соответствие рабочих параметров конструкции предельным условиям и обеспечивает надежность конструкции. Поскольку, однако, ни те, ни другие нельзя определить точно, соответствия достигается введением коэффициента запаса к рабочим параметрам, который должен учитывать неопределенность наших знаний как о предельных условиях, так и о рабочих параметрах.

Например, при проектировании палубного бруса в качестве предельного условия может быть выбрано возникание в нем напряжений, равных пределу текучести. За срок жизни судна возможно действие за этот брус максимальной нагрузки, равной 2 тс. Напряжения в бресе при действии этой нагрузки могут быть определены расчетом, который описывает деформирование

конструкции в уругрой стадии вплоть до появления текучести.

При полной уверенности в адекватности выбранного предельного состояния, максимальной нагрузки и метода расчета обеспечить надежность бимса было бы просто: следовало лишь выбрать такие его размеры, при которых расчетные напряжения под действием нагрузки и 2 тс будут равны пределу текучести. Поскольку, однако, такой уверенности нет, приходится вводить коэффициент запаса, равный, предположим, 1,5, и выбирать размеры бимса такими, чтобы расчетные напряжения были равны пределу текучести при действии нагрузки 2 тс  $\times 1,5 = 3$  тс.

Ясно, что при проектировании коэффициент запаса оказывает большое влияние на характеристики конструкции. Выбор этого коэффициента может основываться на учете предыдущего опыта. При отсутствии такого опыта важно, чтобы коэффициент запаса отражал тщательную оценку неопределенности наших знаний, которая делает необходимым этот запас, а также позволяла бы учесть последствия недостаточной надежности конструкции.

В докладе Десятого комитета Третьего Международного конгресса по конструкции судов [50] вся неопределенность наших знаний о напряженном состоянии корпуса, подлежащая учету при назначении коэффициента запаса, отражена следующим образом.

1) Внешние условия. Коэффициент запаса должен зависеть от того, насколько точно при выборе расчетной рабочей нагрузки можно учесть реальные условия: динамику, влияние плавучести и вибрации, случайные нагрузки, влияние температуры и остаточные напряжения. Если расчетная нагрузка обдуманно выбрана так, что она представляет физической крайний предел, то может быть введены меньший коэффициент запаса, чем в том случае, когда при выборе рабочей нагрузки наши знания о напряженном состоянии корпуса недостаточны.

Другим важным условием является учет коррозии. Если коррозия обдуманно сведена к минимуму и обеспечена защита конструкции от коррозии и уход за ней, то можно допустить уменьшение коэффициента запаса по сравнению с тем случаем, когда защиту от коррозии нельзя считать высокой.

2) Реакция конструкции на внешние условия.

а) Качество материала. Действительно ли специфические характеристики материала, полученные на лабораторных образцах при одностороннем нагружении, могут считаться в характеристиками конструкции? Необходимо уместить здесь характеристики должны включать не только значения предела текучести, временного сопротивления, усталостной прочности и модуль упругости, которые непосредственно используют в расчетах, но также те характеристики, которые необходимо учитывать для предупреждения повреждений или разрушений: пластичность, вязкость, чувствительность к надрезам,—хотя они и не входят непосредственно в расчеты.

Здесь действует основной принцип: конструкция, сделанная из хорошо испытанного, проверенного материала, свойства которого мало изменяются, может оправданно иметь меньший коэффициент запаса. Если же материал конструкции не проверен на практике и имеет менее постоянные характеристики, то коэффициент запаса должен быть значительно выше.

б) Качество технологии изготовления. Будет ли конструкция иметь те свойства, которые приспосабливает ей при ее расчете? Условия обработки, квалификации работников и норм инспекции значительно колеблется. Когда проектировщик требует выполнения сварки в контролируемых условиях высококвалифицированными рабочими и 100%-ную проверку швов, то должно быть больше уверенности в качестве конструкции, чем в тех случаях, когда конструкция изготовлялась в произвольных условиях. Такие же различия стандартов качества могут иметь место и при последующей эксплуатации конструкции. Высокий стандарт качества позволяет иметь меньший коэффициент запаса.

Подобное же влияние оказывают допуски в толщине листов и профилей.

в) Качество проектирования. Проектирование конструкции связано с расчетом ее реакции на внешние условия (нагрузки). При этом значительная неопределенность может заключаться в том, насколько математическая (или иногда экспериментальная) модель конструкции, положенная в основу расчета, действительно представляет реальную конструкцию. Насколько реально выбраны граничные условия? Правильно ли расчетная схема учитывает все определяющие факторы?

Разработка и применение лучших расчетных схем, подтвержденных экспериментально, будут вознаграждены тем, что коэффициенты запаса станут ниже. Применение приближенных аналитических методов при проектировании должно своим следствием выбор более высокого коэффициента запаса.

г) Последствия недостаточной надежности. Совершенно обоснованным, но имеющим большое значение при выборе коэффициента запаса надо считать вопрос о том, что произойдет, если конструкция окажется недостаточно надежной. Возможны случаи, когда слабость одного какого-либо звена многократно статически неопределимой конструкции может быть совсем незначительной. В других же случаях недостаточная надежность части конструкции может привести к экономическому урою и даже потере человеческой жизни.

Выбор коэффициента запаса должен обязательно отражать степень ответственности конструкции.

Для анализа запасов прочности судов и для назначения коэффициента запаса проектируемых конструкций было бы весьма желательным определить предельную несущую способность различных конструктивных деталей при помощи натурных

испытаний в условиях нагружения, возможно близким к эксплуатационным. В этом случае может быть определена нагрузка, выходящая из строя конструктивно из-за потери устойчивости, явлений текучести материала, трещин, разрывов или комбинации этих повреждений. Повреждение или разрушение большой конструкции можно было бы определять как следствие недостаточной надежности ее элементов. Разделив найденное таким образом значение предельной нагрузки на максимальное прогнозируемое значение расчетной (рабочей) нагрузки, можно было бы найти коэффициент запаса. Однако в настоящее время данных такого рода очень мало.

В настоящее время из всех рассмотренных выше опаснейших состояний корпусных конструкций наиболее опас физический смысл предельного состояния, возникающего тогда, когда исчерпана пластическое сопротивление материала при растяжении или потеряна устойчивость конструкции при сжатии. Поэтому представляется наиболее полезной возможность теоретического или экспериментального моделирования предельного состояния корпусных конструкций.

Если бы можно было определить ту предельную нагрузку, которая приводит корпус судна в предельное состояние, то отношение этой нагрузки к максимальной расчетной нагрузке и было бы коэффициентом запаса. Во многих областях техники используется определение коэффициента запаса по предельной нагрузке при расчете надежности конструкций, которые подвергаются действию статической нагрузки постоянного направления. Применение такого способа расчета при обеспечении надежности корпуса судна в настоящее время не находит общего признания, так как, во-первых, разрушающая нагрузка корпуса судна является знакопеременной и имеет динамический характер, а во-вторых, еще нет достаточно разработанной методики прогнозирования, которая позволяла бы с необходимой точностью определить статическую разрушающую нагрузку для такой комплексной ластовой конструкции, какой является корпус судна. В частности, нет достаточно достоверных данных для определения несущей способности потерявших устойчивость сжатых судовых переборок.

**Предельной (разрушающей) нагрузкой** для корпуса судна при его изгибе на волнении принято считать такую однократно приложенную статическую нагрузку, которая вызывает в наиболее удаленном от нейтральной оси пояске (в верхней расчетной палубе) общие нормальные напряжения (растягивающие при перегибе и сжимающие при прогибе), равные пределу текучести материала (при этом учитывают потерю устойчивости сжатых связей). Такой предельной нагрузкой является изгибающий момент, называемый предельным и определяемый по формуле

$$M_{пр} = \sigma_{пр} W_{пр} \quad (4.15)$$

где  $W_{пр}$  — минимальный момент сопротивления эквивалентного бруса, вычисленный в предположении, что в его крайних связях возникают напряжения, равные пределу текучести материала.

Величину  $W_{пр}$ , а следовательно, и  $M_{пр}$  вычисляют отдельно для прогиба и для перегиба судна.

В случае прогиба  $M_{пр}$  вычисляют в предположении, что в верхней расчетной палубе корпуса действуют сжимающие напряжения, равные пределу текучести материала.

В случае перегиба  $M_{пр}$  вычисляют в предположении, что в верхней расчетной палубе действуют растягивающие напряжения, равные пределу текучести.

Считается, что при действии предельного изгибающего момента распределение напряжений в жестких связях корпуса по его высоте соответствует линейному закону, т. е. предполагается справедливой и в этом случае гипотеза плоских сечений. В соответствии с этим напряжения в любой точке корпуса при действии предельного момента определяются зависимостью

$$\sigma_i = \frac{\sigma_1}{z_{max}} z_i \quad (4.16)$$

где  $\sigma_i$  — напряжение в  $i$ -й связи;  $z_i$  — расстояние  $i$ -й связи от нейтральной оси;  $z_{max}$  — расстояние верхней расчетной палубы от нейтральной оси.

В качестве начального положения нейтральной оси принимается ее положение при расчете эквивалентного бруса в первом приближении (см. § 38).

Сравняя факторы напряжения для сжатых связей с величинами, определенными по формуле (4.16), находят значения соответствующих редуцированных коэффициентов:

$$\gamma_i = \frac{\sigma_i}{\sigma_1} \quad (4.17)$$

Используя редуцированные коэффициенты, производят расчет эквивалентного бруса во втором приближении. Подробно методика этого расчета рассматривается в [51].

Если величина  $W_{пр}$ , полученная в результате этого расчета, оказывается меньше 0,75 $W$  (минимального момента сопротивления эквивалентного бруса в первом приближении), то устойчивость связей корпуса принято считать недостаточно обеспеченной и необходимо ее увеличить, изменяя соответственно конструкцию.

Поскольку в настоящее время проблема определения полной несущей способности продольных сжатых связей корпуса судна после потери их устойчивости еще не решена достаточно достоверно, то уже по этой причине предельные изгибающие моменты следует считать лишь условными. Их условность определяется и рядом других обстоятельств, о которых шла речь выше. К этому можно добавить следующее.

Лежащая в основе определения предельного изгибающего момента величина — предел текучести материала — может измениться в довольно широких пределах для одной и той же марки стали. При определении предельного изгибающего момента предел текучести условно считают равным его наименьшему спецификационному значению для данной марки стали, которое определено при линейном напряженном состоянии.

Одним из путей при обработке стальных конструкций повышается начальное значение предела текучести. Кроме того, предел текучести в конструкции повышается при ее плоском и объемном напряженном состоянии. По этим признакам предельный изгибающий момент, вычисленный по минимальному значению предела текучести, оказывается заниженным.

С другой стороны, предельная несущая способность конструкции оказывается завышенной, так как при определении предельного изгибающего момента, вызывающего обшивку изгиб судна, не учитывается влияние местной поперечной нагрузки, начальной погиба листов, остаточных напряжений, концентрации напряжений и динамического характера волновых нагрузок.

Конечно, существует такое предельное напряженное состояние корпуса судна, при достижении которого корпус теряет свою несущую способность, перестает быть надежным. Выказанные выше критические замечания по поводу предельных изгибающих моментов не относятся к самой концепции предельной прочности, а указывают на необходимость дальнейшего уточнения формулировок этого критерия.

Трудности определения коэффициентов запаса по тем или иным физическим критериям обеспечения надежности корпуса, отмеченные выше, приводят к необходимости использовать более условный, но зато проверенный на практике критерий соотношения между расчетными максимальными напряжениями и пределом текучести материала. При этом коэффициент запаса определяется отношением предела текучести материала конструкции к наибольшей нормальным напряжениям от расчетной нагрузки. Следовательно, коэффициент запаса по напряжениям в явном виде — это запас надежности против таких случаев опасного состояния, при которых напряжения, равные пределу текучести, появляются в тех местах поперечного сечения эквивалентного бруса, где были определены действующие расчетные напряжения. Если же надежность конструкций оказывается недостаточной по другим причинам, например вследствие упругого или пластической неустойчивости, либо усталости, либо крупного разрушения при низких обшивке напряжениях, то коэффициент запаса по напряжениям оказывается в лучшем случае только грубым (приближенным) показателем действительного запаса надежности. Правда, во многих случаях коэффициент запаса по напряжениям может обеспечить запас надежности против того опасного состояния, которое считается повышенное

остаточного прогиба или усталостной трещины, развивающейся вследствие воздействия прилагаемых напряжений, равных пределу текучести материала. Этот коэффициент запаса может даже определять запас надежности против разрушения, если оно будет происходить от крупного разрыва, когда напряжение в рассматриваемой точке достигает предела текучести. Во всех других случаях повреждений или разрушений коэффициент запаса по напряжениям не является достоянием конструктивных критериев, и при расчете необходимо использовать дополнительные критерии.

Ограниченная возможность использования коэффициента запаса по напряжениям связана с условностью расчета конструкции в стадии упругого деформирования, при котором предельно является линейная зависимость между нагрузкой и реакцией на нее конструкции вплоть до момента появления текучести. Кроме того, хорошо известно, что очень трудно точно подсчитать действительные напряжения в любой точке сложной конструкции, включающие остаточные и температурные компоненты напряжений, и поэтому расчетное рабочее напряжение оказывается лишь условным показателем напряженного состояния конструкции.

Тем не менее коэффициент запаса по напряжениям широко применяется для оценки запаса надежности конструкций как в судостроении, так и в других областях техники. Допустимость такой оценки надежности конструкций подтверждена многолетним опытом.

Разданы предел текучести на коэффициент запаса, определяют так называемые допускаемые напряжения, которые не должны быть больше максимальных расчетных напряжений, введенных при расчете изгиба (в упругой стадии) корпуса балки под действием расчетного вертикального изгибающего момента. При этом уровень действующих напряжений оценивают, сопоставляя их значения не с пределом текучести, а с допускаемыми напряжениями.

Расчеты прочности по критерию допускаемых напряжений обеспечивали в прошлом приемлемый риск повреждений, поэтому критерий допускаемых напряжений, используемый в Правилах постройки всех классификационных обществ, является практическим условным критерием надежности конструкции. Однако его условность не позволяет оценить ни действительный запас надежности, ни вероятность риска повреждения или разрушения конструкции.

Главным же недостатком критерия допускаемых напряжений является то, что могут возникать сомнения в адекватности выбора допускаемых напряжений в ситуациях, отличных от тех, при которых они были рассчитаны и апробированы опытом.

Поэтому в современных Правилах традиционная практика определения момента сопряжения эквивалентного бруса по

приведенным в Правилах формулам и зависимостям рекомендована для расчетов прочности только тех судов, которые существенно отличаются по условиям эксплуатации, скорости, соотношениям размеров корпуса и его конструкций от судов, широко применявшихся ранее об успешной эксплуатации которых есть надежные данные.

При расчете прочности судов новых типов, существенно отличных от судов, считавшихся уже традиционными по размерениям, конструктивным формам или условиям эксплуатации, для определения минимальных моментов сопротивления необходимо либо уточнить действующие максимальные нагрузки и откорректировать значения допускаемых напряжений, либо использовать другие критерии прочности и надежности конструкции.

#### § 42. Роль Правил постройки судов в обеспечении надежности судовых корпусов

При проектировании корпуса обычного морского судна учитывают в явном виде только суммарный вертикальный изгибающий момент на тихой воде и на волне, а допускаемые напряжения назначают с учетом необходимого запаса для восприятия корпусом всех не учитываемых в явном виде силовых воздействий и прочих факторов, о которых наши знания еще неопределенны. Еще нет теоретически обоснованной методики определения этого запаса, что, конечно, объясняется неполнотой наших знаний о напряженном и опасном состоянии корпуса. В связи с этим судостроительные расчеты прочности конструкции должны пока еще носить эмпирический характер.

Теория должна быть основана на исследованиях, решенных вопросах, на познании необходимости. Однако люди вообще, и кораблестроители в частности, достаточно успешно решают и вопросы, не имеющие пока теоретического решения. Так, а морское судостроение накоплен большой практический опыт эмпирического определения необходимого запаса общей прочности в условной методике ее расчета.

Иногда приходится встречаться с высказываниями о том, что выработанный практической коэффициент запаса является величиной чисто эмпирической, имеющей лишь косвенное отношение к действительной необходимости запаса. По-видимому, здесь уместно напомнить мысли В. И. Ленина о роли практики в человеческом познании. В. И. Ленин цитирует Ф. Энгельса (из его статьи «Об историческом материализме»): «... Прежде чем люди стали аргументировать, они действовали». «В начале было дело». И человеческая деятельность разрешала это затруднение за-

долго до того, как человеческое мудрствование выдумало его. The proof of the pudding is in the eating» (...проверка пудинга состоит в том, что его съедают)». И далее: «В тот момент, когда, сообразно воспринимаемым нами свойствам какой-либо вещи, мы употребляем ее для себя,— мы... подвергаем безопытному испытанию истинность или ложность наших чувственных восприятий... Если мы найдем... что она дает тот результат, какого мы ожидали от ее употребления,— тогда мы несем положительное доказательство, что в этих границах наши восприятия о вещи и ее свойствах совпадают с существующей же нас действительностью...». «Итак... вне нас существуют вещи,— заключает В. И. Ленин.— Наши восприятия и представления — образы их. Проверка этих образов, отделение истинных от ложных дается практикой.»

Далее В. И. Ленин приводит рассуждение Ф. Энгельса в «Литтл-Дорландге» о свободе и необходимости<sup>1</sup>, которое начинается словами Гегеля: «Свобода — необходимость, лишь постольку она не думает», и завершает философские послания, на которых основано это рассуждение:

«Во-первых, Энгельс признает с самого начала своих рассуждений законы природы... необходимость природы...»

Во-вторых, Энгельс... просто говорит, что необходимость природы есть первичное, а воля и сознание человека — вторичное...

В-третьих, Энгельс... признает существование необходимости, не должной человеку...

... У Энгельса вся живая человеческая практика привязана к самой теории познания, давая обязательный критерий истины: пока мы не знаем закона природы, он, существуя и действуя помимо, вне нашего познания, действует как рабами «слепой необходимости». Раз мы узнали этот закон, действующий (как тысячи раз повторил Маркс) независимо от нашей воли и от нашего сознания,— мы господствуем над природой. Господство над природой, проявившее себя в практике человечества, есть результат объективно-верного отражения в голове человека вещей и процессов природы, есть доказательство того, что это отражение (в пределах того, что показывает нам практика) есть объективная, абсолютная, вечная истина.

Здесь же В. И. Ленин дает исчерпывающую характеристику критерия практики в человеческом познании<sup>2</sup>: «Точка зрения жизни, практика должна быть первой и основной точкой зрения теории сознания... Конечно, при этом не мало забывать, что критерий практики никогда не может по самой сути дела подтверждать или опровергать полностью какого бы то ни было человеческого представления. Этот критерий тоже настолько «неопре-

<sup>1</sup> Ленин В. И. Материализм и эмпириокритицизм. М., Политиздат, 1989, с. 105—106.

<sup>1</sup> Ленин В. И. Материализм и эмпириокритицизм. М., Политиздат, 1969, с. 184—185.

<sup>2</sup> Там же, с. 130—132.

делены, чтобы не допустить знания человека превратиться в «исходата», и в то же время настолько определенно, чтобы вести беспощадную борьбу со всеми разновидностями идеализма и агностицизма. Если то, что подтверждает наша практика, истинно, объективно, бесспорно, — то отсюда вытекает признание единственным путем к этой истине пути науки, стоящей на материалистической точке зрения.

Подход с материалистических позиций к оценке запасов надежности судового корпуса, определяемых на основе учета многолетней практики судостроения и эксплуатации судов, необходимо принять следующее. Условные критерии, применяемые при расчетах общей прочности судна, являются весьма ценным объективным достижением практики, следовательно, их можно использовать для суммарного учета совокупного действия всех еще не познанных силых и прочих физических факторов. В то же время очевидна ограниченность этих знаний, на преодолении которой направлены усилия судостроительной науки и практики.

Опыт обеспечения надежности корпусов судов отражается в Правилах постройки и классификации морских судов классификационных учреждений и общества: Регистра Союза ССР, английского Регистра Ллойд, французского Бюро Веритас, Норвежского Веритас, Итальянского Веритас, Американского Бюро Судостроения, Германского Ллойд, японского Ниппон Кайдоке Киокай. Хотя в правилах разных стран и отражены особенности национальной практики судостроения, однако общие закономерности обеспечения прочности и надежности конструкций не зависят от национальных границ. Поэтому во всех Правилах стандарты прочности оказываются почти одинаковыми. В последние время унификация этих стандартов в значительной степени способствуют Международные конгрессы по судовым конструкциям, собирающиеся каждые три года начиная с 1961 г., на которых широко обсуждаются различные вопросы исследования внешних сил, действующих на корпус судна, и методов проектирования корпусных конструкций.

Правила постройки судов все время пересматриваются, изменяются и дополняются в соответствии с постоянно поступающими новыми данными об эксплуатации судов, о поврежденных и авариях конструкций корпусов, их ремонтах и модернизации. Одни Правила передаются ежегодно, другие — через каждые два-три года, в последнем случае в период между пересмотром ежегодно выпускаются дополнения и изменения. Некоторые иностранные Правила существуют уже более 100 лет. Первые «Правила постройки морских судов» Русского Регистра вышли в 1913 г. Все это показывает, какую обширную и интенсивную работу ведут классификационные учреждения разных стран, исследуя и обобщая опыт морского судостроения.

Как известно, все морские суда строят под наблюдением классификационного общества, а нередко даже под одновременным наблюдением двух обществ. Все планируемые суда в течение всего срока службы находятся под наблюдением высококвалифицированных технических инспекторов классификационного учреждения, которое приспосабливает свой класс постройки судну. Все повреждения и аварии конструкций регистрируют и тщательно анализируют. Все исправления поврежденных и все ремонты корпусных конструкций выполняются под наблюдением инспекторов классификационных учреждений. По возможности, нет ни одного элемента корпусной конструкции, надежность которого не подвергалась бы многократной оценке, при этом учитывается частота и степень его повреждаемости на суда разных типов и размеров в различных условиях его эксплуатации и обслуживания.

Все сказанное с несомненным свидетельствует о том, что Правила постройки судов наиболее полно отражают результаты долговременной успешной практики мирового судостроения и судостроения. Содержащиеся в Правилах требования к прочности, надежности и безопасности судовых конструкций являются отражением объективных закономерностей как познанных, так и еще не познанных.

В Правилах постройки судов содержится подробные описания конструктивных форм, выработанных практикой, и минимальные размеры связей, которые могут обеспечивать надежную и успешную службу конструкции судового корпуса. Разные необходимые размеры связей обычно приводились в многократных подробных таблицах в зависимости от типа и размерности судна, от пролетов балок набора и от расстояния между этими балками. Прямо не указывались значения расчетных нагрузок, на допускаемых напряжениях, и в то же время данные можно было найти из соответствующего анализа таблиц.

Отметим, что в Правилах Британской корпорации (английское классификационное общество, самостоятельное существовавшее с начала нашего века и до 40-х годов, когда оно слилось с Регистром Ллойд), в Правилах Американского Бюро Судостроения и в Правилах Итальянского Регистра уже с начала века включено требование определять размеры балок набора по аналитическим зависимостям, включающим расчетную нагрузку, пролеты, заделку концов и допускаемые напряжения.

С середины 60-х годов во всех Правилах почти все таблицы необходимых размеров связей заменяют аналитическими зависимостями, содержащими в явном виде все расчетные нагрузки, граничные условия, пролеты и допускаемые напряжения. Для элементов конструкций, работающих на изгиб, указывают минимальные моменты сопротивления, для элементов, испытывающих продольные усилия, — минимальные площади поперечного

сечения и в необходимых случаях толщину листов и моменты инерции площадей сечений балок.

То обстоятельство, что в ранних изданиях Правил не указывался в явном виде значения расчетных нагрузок и допускаемых напряжений, отсюда не означает, что эти величины вообще не учитывались. В начале нашего века еще только закладывались основы науки о прочности и морозостойкости судна (напомню лишь труды А. Н. Крылова по теории корабля, И. Г. Вульбова в области строительной механики и простоярания судового корпуса). Поэтому возможности научного анализа того эмпирического опыта, который с самого начала составлял основу Правил постройки, были весьма ограниченными. Об этом писал в 1909 г. И. Г. Вульбов [7]:

«В несравненно более тяжелых условиях находились мы при проектировании судового корпуса: как главные размеры судна, так и обводы его почти всегда являются заданными; наимыгоднейшему распределению материала препятствует условие непроницаемости, заставляющее разнородный материал всюду в виде поверхностей, составленных из плотно соединяемых листов; наконец, определение сил, действующих на судно, вообще значительно сложнее, причем важнейшие из них — продольные моменты при килевой качке — до последнего времени учитывались условно (поставкой судна на волну), что не давало достаточной уверенности в правильности полученных результатов.

Все эти обстоятельства привели к чрезвычайно сложным и запутанным конструкциям, всегда многократно неопределенным, при которых часто не только невозможно расчет прочности отдельных частей, но даже трудно разобраться в вопросе — для чего сделана данная связь и какие именно функции несет она при действии на судовую корпусе различных сил. Отсюда же берут начало и различные регламенты вроде «Правил Ллойда», определяющие рентгеновым методом размеры частей корпуса независимо от величины действующих на него сил. Все подобные «Правила» узаконивают и искусственно поддерживают существование конструкций, создававшихся исторически из ряда разнородных наслоений, во часто совершенно неоптимальных с точки зрения строительной механики».

Существование объективных, но еще не познанных закономерностей проектирования судовых корпусных конструкций делало невозможным полный расчет прочности этих конструкций методами строительной механики корабля, не позволяло даже разобраться во взаимосвязях отдельных элементов конструкции. Несмотря на это, в мировом судостроении уже тогда на практике удовлетворительно решалась задача создания надежных корпусов судов, и эти решения получали отражение в Правилах классификационных обществ. Большой вклад в практику судостроения внес и сам И. Г. Вульбов, и можно утверждать, что им были использованы не только достижения строительной ме-

ханики того времени, но и опыт судостроения, отраженный в Правилах.

В 1913 г. в связи с заменением пересмотрен Международной конвенции по грузовой марке для подготовки материала соответствующей конференции в Англии был организован Комитет по грузовой марке. В Комитете изучался вопрос обеспечения прочности корпуса при назначении высоты надводного борта судна. В связи с этим были проанализированы требования всех Правил 1913 г. к общей и местной прочности морских грузовых транспортных судов в зависимости от их главных размеров и осадки. Было найдено, что требование по этим Правилам значительного минимального момента сопротивления корпуса для судов всех предусмотренных Правилами размеров практически можно считать одинаковыми и с являющейся достаточной для адекватности точно определить по формуле [48]

$$W_{min} = TBf(L) = 0,0797BL^2, \quad (4.18)$$

где  $L$ ,  $B$ ,  $T$  — соответственно длина, ширина и осадка судна, м. Было также установлено следующее. Если условно считать суммарный вертикальный изгибающий момент при статической постановке судногрузового судна за стандартную волну ( $\lambda = L$  и  $\lambda = L/20$ ) равным

$$M_{стм} = \frac{DL}{35}, \quad (4.19)$$

(где  $D$  — водоизмещение судна с полным грузом, тс), то наибольшее значение условных допускаемых нормальных напряжений от общего вертикального изгиба ( $\sigma_{\text{вк}}/\sigma_{\text{вк}}^0$ ) не должно быть больше, чем это определяется по следующим формулам:

формула Абеля

$$\sigma_{\text{вк}} = 790 \left( 1 + \frac{L}{300} \right), \quad (4.20)$$

формула Тобина

$$\sigma_{\text{вк}} = 234L^{1/4}, \quad (4.21)$$

Формулы (4.20) и (4.21) дают практически почти одинаковые значения допускаемых напряжений, разнятся не более чем на 5%.

Заметим, что еще издавно судостроители всех стран для приближенного определения расчетного суммарного вертикального изгибающего момента в мидельном сечении судна широко пользовались формулой

$$M_{стм} = \frac{DL}{A}, \quad (4.22)$$

в которой принимались различные значения коэффициента  $A$  в зависимости от типов судов, получаемые на основании оцен-

большого числа расчетов постановки судов на стандартную волну (они приведены в [51]). Для однотипных судов разных размеров значение  $k$  находится в узких пределах: для сухогрузных судов с машинным отделением в их средней части при положении судна на вершине волны  $k$  изменяется от 33 до 37. Это соответствует с точностью до 5% значению  $k=35$ , принятому для сухогрузных судов по формуле (4.19).

Поскольку было установлено значение минимального момента сопротивления (4.18), требуемое Правилами, и были известны условные допускаемые напряжения (4.20) и (4.21), то, следовательно, можно считать известным и значение условного расчетного изгибающего момента:

$$M_y = W_{min} \sigma_y \quad (4.23)$$

Таким образом, уже в ранних редакциях Правил постройки судов содержалось вполне определенное представление об условных нагрузках, которые следует включать в расчет вместе с допускаемыми напряжениями, чтобы размеры корпусных конструкций обеспечивали достаточную их надежность. Это и не удивительно: практика судостроения, а значит, и Правила постройки судов должны отражать объективные закономерности как известные, так и неизвестные. Но, отражая известные закономерности (известную необходимость), Правила пока их не раскрывают, не формулируют, не аргументируют. В сущности за это Правила обвиняют в недостаточной обоснованности. Процесс раскрытия известных закономерностей продолжается, и его результаты отражаются в Правилах постройки судов, всемерно уменьшая содержащиеся в них неопределенности и связанные с ними условия.

Как сказал Гете в «Фаусте»:

„Gau, mein Freund, sind alle Theorien,  
Und grün des Lebens goldner Baum“<sup>1</sup>

Интересно, что эти слова И. Г. Бубнов выбрал в качестве эпиграфа к своему курсу «Строительная механика корабля» [9].

Как же отражаются закономерности природы в практике судостроения (в Правилах постройки)? В Правилах применены зависимости для расчета элементов корпусных конструкций, в частности для определения минимального момента сопротивления корпуса судна (4.18). Доказательством удовлетворительности расчетов по этим зависимостям является то, что при эксплуатации морских судов, построенных по Правилам, не была обнаружена недостаточность общей или местной прочности корпуса, а возникавшие повреждения конструкций корпуса, хотя и требовали исправлений и ремонта, но не угрожали безопасности дальнейшей эксплуатации судна. Как правило, эти по-

вреждения происходят не из-за недостаточной прочности конструкции, а из-за несоответствующего качества материала или дефектов технологии изготовления конструкции, из-за неправильной эксплуатации и обслуживания судна.

Конечно, известны и обломаны и не исключены в будущем случаи, когда общая или местная прочность корпуса судна, построенного в соответствии с Правилами, оказывается недостаточной, что может привести даже к гибели судна. Однако это может происходить лишь в некоторых случаях эксплуатации судов, которые не могли быть учтены при проектировании конструкций. К таким случаям относятся: столкновения судов; удары корпуса о кавержиные и волны; удары бортами при швартовке судов в море во время шторма; посадка судов на подводные рифы и скалы; столкновения судов с айсбергами; сильные ледяные суды, не имеющих ледовых усилений конструкций; повреждения минами, торпедами, бомбами или снарядами; влияние какой-либо исключительной интенсивности, вызванное, например, тайфуном необычной силы.

При случайном характере сил, действующих на корпус судна, надежность конструкций корпуса, даже и очень высокая, все же не исключает некоторого, хотя и очень малого, риска разрушения конструкции. В последнее время считается, что размеры конструкций, требуемые современными Правилами постройки судов, соответствуют тому уровню риска, который в современных условиях принято считать приемлемым.

Если можно считать, что размеры ниже, требуемые Правилами, являются объективным отражением закономерностей, то этого никак нельзя сказать относительно сил и напряжений, которые мы условно и часто умозрительно можем связывать с указанными размерами. Если, несомненно, формула (4.18) для расчета минимального момента сопротивления корпуса судна является объективным отражением закономерностей (известной и неизвестной необходимости), так как она получена на основании изучения опыта, непосредственно из практики, то формулы (4.19), (4.20) и (4.21) являются отражением некоторых наших умозрительных представлений. В данном случае умозрительно наше предположение о том, что вертикальный изгибающий момент правильно определяется расчетом при статической постановке судна на стандартную волну. В предыдущих главах было показано, что в общем случае такое предположение нельзя считать правильным. Умозрительными являются и предположение, что значения нормальных напряжений по формулам (4.20) и (4.21) соответствуют действительным напряжениям от реального изгиба корпуса судна в продольной вертикальной плоскости. Хотя формулу (4.23) и можно переписать в виде

$$W_{min} = \frac{M_y}{\sigma_y} \quad (4.24)$$

<sup>1</sup> «Дорогой друг, серы все теории,  
И зеленой жизнью дерево живет».

где в левой части равенства стоит величина, отражающая реальную действительность, но отношение  $M_0/\sigma_0$  не изменится при любом одновременном изменении числителя и знаменателя в  $n$  раз. А это значит, что при постоянном значении  $W_{\text{дв}}$  значения карабачщих моментов и соответствующих им напряжений остаются неизменными (исчисляемыми, условными).

Эти вещи представляются, конечно, не являются бесспорными, не за чем не основанными. Они либо основаны на каких-то других ранее познанных закономерностях, относящихся к условиям проектирования других конструкций, не идентичных морским судовым конструкциям, но все же в той или иной степени с ними сходных, либо основываются на теоретических исследованиях, учитывающих в той или иной мере приближенно реальные условия работы судовой конструкции, либо возникли из результатов эксперимента, проведенного в условиях достаточного правильного моделирования конструкции и условий ее работы. Все же наши логические построения приводят лишь к приближенному расширению отдельных неопределенностей и для своего уточнения требуют непосредственной проверки практикой.

Проектирование конструкции основано на синтезе всех закономерностей. Этот синтез мы находим в Правилах постройки, но в них нет анализа отдельных закономерностей. Одной из важнейших форм такого анализа являются поперечные расчеты прочности корпусных конструкций, спроектированных на основе требований Правил постройки. В нашей стране и, по-видимому, не только в нашей стране во всех случаях при проектировании конструкций корпуса производят соответствующие расчеты прочности и особенно тщательно — расчеты общей прочности корпуса судна.

Важно отметить, что более чем 40-летняя практика этих расчетов не обнаруживала каких-либо существенных несоответствий в Правилах. Более того, все эти расчеты не давали поводов ни для сомнений в достаточной надежности требуемых в Правилах размеров связей, ни для утверждений о наличии в них неоправданно больших запасов прочности, т. е. не давали решительно никаких оснований для негативного к ним отношения.

Конечно, все это не означает, что существующие сейчас Правила классификационных обществ не требуют дальнейших улучшений и изменений. Нет, эти Правила так же несовершенны, как несовершенны наши знания, как несовершенна практика судостроения. Они нуждаются в дальнейших улучшениях и изменениях, и такие изменения ежегодно вносятся в них во мере поступления новых данных эксплуатации судов, накопления новых теоретических и экспериментальных данных. Однако в общем случае практика судостроения, зафиксированная в Правилах, лучше отражает объективные закономерности, чем приближенные теоретические методики, разработанные на определенном этапе познания. Конечно, нельзя слепо копировать Правила,

как нельзя пренебрегать в существующих приближенных расчетных методах обеспечения прочности судовых конструкций. Об этом говорил академик А. Н. Крылов, выступая в дискуссии о необходимой степени использования Правил английского Регистра Ллойд при проектировании советских серийных морских транспортных судов<sup>1</sup>.

«При проектировании стандартных судов, предназначенных для массовой постройки, безусловно, представляется необходимым конструирование корпусов производить, не слепо копируя классификационные Правила, а на основании расчетов прочности, руководствуясь Правилами лишь как практическим материалом, оправданным богатым опытом прежних построек.

При конструировании корпусов стандартных судов следует, и общем случае, задаваться степенью крепости, не меньшей крепости идентичного корпуса, забракованного по классификационным Правилам, и степенью стойкости против плавления, не меньшей, чем для судна, одноклассного по назначению его и роду плавления.

Никакими Правилами не воспрещается строить расчетным методом, не только по теперешним Правилам, но и по Правилам, которые были 30 лет тому назад».

Требования Правил надо критически анализировать, учитывая современные достижения науки и техники не только кораблестроительной, но и смежных с ней, прежде всего путем сопоставлений с результатами поперечных расчетов. Последние способствуют достаточно правильной оценке влияния отдельных сложных факторов на общую и местную прочность конструкции корпуса. Поперечный расчет позволяет лучше познать влияние хаотических закономерностей, отраженных в Правилах. Сопоставление результатов расчета с требованиями Правил не только способствует адекватному и творческому решению конструктивных вопросов, но, и это очень важно, создает у проектирующего внутреннюю убежденность в достаточной надежности конструкции, за что инженер несет личную ответственность.

Как теория и практика едины и неразрывны, так едины и неразрывны Правила постройки и расчеты прочности конструкций. Они должны отражать один и те же объективные закономерности. Правила — это синтез этих закономерностей, а расчеты — их анализ. В действительности они всегда существуют вместе. Разделение их имеет искусственный характер, а противопоставление недопустимо. Если выше говорилось, что Правила лучше отражают объективные закономерности, чем расчеты, то при этом имелась в виду только вторичность практики и вторичность теории.

<sup>1</sup> «Судостроение в судостроении», 1928, № 4—5.

При составлении Правил приходится анализировать при помощи расчетов большое количество данных об эксплуатационных и аварийных повреждениях множества различных элементов конструкций судосого корпуса. Результаты многочисленных отдельных расчетов сходных повреждений необходимо тоже тщательно анализировать и обобщать, пользуясь всеми самыми последними достижениями теории и практики, правильно и полно устанавливая как условия, при которых происходят та или иная авария, так и степень точности и надежности выбранной для расчетов методики. Такой анализ при составлении и корректировке Правил должен производиться высококвалифицированными кораблестроителями при помощи самых современных средств расчетного анализа.

Требования к размерам связей корпуса в Правилах не являются простым конгломератом случайных исторически накопившихся данных. Если бы это было хоть отчасти так, то разве могли бы суда, построенные по таким Правилам, длительно и успешно эксплуатироваться, обноруживая достаточную прочность, надежность и безопасность? Сперва же очевидно, что это невозможно. Требования Правил возникают и разрабатываются на основе расчетного анализа надежности конструкций судов, результаты эксплуатации которых удовлетворительны. Вместе с тем развивается и совершенствуется и сам расчетный анализ. Прежде чем какие-либо требования к прочности могут быть записаны в Правила, их правильность и целесообразность должны быть проверены теоретическими расчетами и на основании опыта эксплуатации.

Следовательно, Правила содержат также требования к размерам конструкций, которые проверены и расчетами, и опытом эксплуатации. Таким образом, Правила отражают единство практики и расчетов.

Академик А. Н. Крылов [36] писал: «Молодые инженеры часто склонны относиться со своего рода пренебрежением к разному рода Правилам Ллойдов и Регистров, считая, что эти Правила составлены по принципу «назначь размер, скажем толщину, на глаз, да четверть дюйма прибавь». На самом деле это далеко не так. Возьмем для примера Английский Ллойд. Он существует как классификационное общество, т. е. наблюдение за надежностью прочностью корабля и его снабжение как во время постройки, так и во время службы, сто лет. Все случаи повреждений судов рассматриваются его инспекторами, рассуждения по портам всего мира, и доводятся до сведения Главной Лондонской котормы Общества, в которой работают опытные инженеры с обширной практикой и широким научным образованием.

Сейчас в списках Английского Ллойда находится около 35 тысяч пароходов всех видов; отсюда можно заключать, какой

огромный материал и какое богатство опытных данных и «случаев» накапливается в его Главной которме.

Правила Ллойда не являются неизменными, они постоянно совершенствуются на основе действительного опыта плавания судов и анализа аварий или повреждений, ими понесенных. Более того, возможно отступать от буквы этих Правил, подтверждая отступление расчетом, представленным на просмотр и одобрение Главной котормы, в которой таким образом группируется и этот опыт, ведущий к постоянной совершенствованию Правил. Ввиду этого Правила периодически пересматриваются, причем в них вносятся существенные изменения, польза которых оправдалась практикой, поэтому Правила эти заслуживают внимательного и взвешанного изучения».

К сказанному выше А. Н. Крыловым необходимо добавить, что почти все классификационные учреждения и общества сами ведут большую научную работу: теоретические и экспериментальные исследования вопросов прочности и надежности судов — и тщательно следят за результатами таких работ, выполняемых во всех странах соответствующими научными коллективами и отдельными специалистами. Это обеспечивает высокий научный уровень Правил.

Нужно отметить, что непонимание действительной роли и места Правил классификационных обществ в проектировании корпусных конструкций иногда проявлялось не только в начале нашего века, но и позднее (см., например, материалы упоминавшейся выше дискуссии в 1932 г.); встречается это заблуждение и в наши дни.

#### § 45. Стандарты общей прочности судна

Общие замечания. Безопасность плавания морского судна и рентабельность его эксплуатации зависят в первую очередь от надежной прочности и надежности конструкций корпуса судна.

Аварийные повреждения и гибель судов в море не только наносят большой материальный ущерб народному хозяйству страны, но часто сплавом, и это особенно важно, с гибелью людей. Это заставляет правительства стран, в которых морское судостроение и судосудоуправление являются важными отраслями народного хозяйства, устанавливать нормы, правила и стандарты, регламентирующие прочность и надежность корпусов морских судов с целью свести до возможного минимума случаи аварий судов в море.

В истории морского судостроения известны многочисленные случаи гибели морских судов. Например, известно, что за один только 1882 г. утонуло 548 английских судов и погибло 3118 моряков. Поэтому в 80-х годах прошлого века в Англии,

тогдашней «ладичине морей», были созданы первые Правила о грузовой марке, регламентирующие высоту надводного бортика судна, и допускаящую осадку судов, с целью обеспечения правильной и безопасной их загрузки. Этому примеру Англия воследовала и другие страны с развитием судоходства.

Во всех случаях условием назначения грузовой марки являлось обеспечение надлежащей прочности корпуса судна. При этом, однако, в конце прошлого века не могли быть достаточно четко сформулированы конкретные технические требования, обеспечивающие ему надлежащую прочность, кроме как выполнения требований Правил постройки судов классификационных обществ.

Страховые общества при страховании морских судов и перевозимых на них грузов нуждались в технической оценке прочности и надежности конструктивных корпусов судов. Поэтому каждое крупное страховое общество создавало технический отдел, укомплектованный штатными инженерами-кораблестроителями, экспертами по вопросам прочности судов. В дальнейшем технические отделы страховых обществ выделились из них в крупные самостоятельные частные технические учреждения, именуемые теперь классификационными обществами. Классификационные общества составляют Правила постройки и классификации судов, т. е. устанавливают стандарты их прочности и надежности. Они ведут наблюдение за постройкой судов, за качеством основных судостроительных материалов и за техническим состоянием судов во время их эксплуатации, за текущим и аварийным ремонтом судов.

Судам, которые удовлетворяют требованиям классификационного общества, присваивается класс этого общества. Наличие класса дает страхователю достаточную уверенность в прочности и надежности судна, гарантирует судовладельцу страховые его судна, а грузоотправителю — сохранность его груза. Хотя стандарты прочности и надежности не являются юридически обязательными (не имеют характера закона), однако практически они выполняются на всех морских транспортных судах, так как судовладельцы, заказывая судно, обязательно считают необходимым его застраховать и обязывают судостроителя выполнять требования Правил того или иного классификационного общества.

Следовательно, техническая деятельность классификационных обществ самым тесным образом связана с судостроением и судоходством и оказывает на них большое влияние. Ведущие классификационные общества своей успешной и плодотворной деятельностью заслужили всеобщее признание у судовладельцев и судостроителей и завоевали высочайший технический авторитет. Правительства многих стран широко используют консультации классификационных обществ при разработке и установлении законодательных актов, связанных с обеспечением

безопасности морского судоходства, и поручают этим обществам свои функции наблюдения за выполнением таких актов и даже функций проведения их в жизнь.

Давно признано, что вопросы безопасности морского судоходства выходят за рамки отвлеченных национальных интересов и имеют международный характер. По вопросам охраны человеческой жизни на море, грузовой марки и обмера судов уже неоднократно создавались международные конференции, на которых принимались соответствующие Конвенции. Подготовку технических материалов к таким конференциям правительства стран — участниц конференций почти всегда поручают ведущим работникам классификационного общества. Представители этих обществ на конференциях являются ведущими участниками выработки технических постановлений, закрепляемых в соответствующих конвенциях.

По вопросам проектирования конструкций корпусов через каждые три года, начиная с 1961 г., собираются международные конгрессы, участниками которых являются все ведущие инженеры классификационных обществ. До 50-х годов классификационные общества вели свою работу изолированно друг от друга. В настоящее время ведущие классификационные общества признали необходимость координировать свою техническую политику по ряду вопросов, представляющих общий для них интерес. Создав координационный комитет этих обществ, уже выработаны общие требования классификационных обществ к судостроительным сталью. Можно отметить, что при существовании в настоящее время различных в Правилах постройки морских судов разных классификационных обществ в целом они все же приводят к близким стандартам прочности и надежности судовых корпусов. Различия связаны с существованием тех неопределенностей, о которых шла речь выше и которые обуславливают необходимость установления некоторого запаса прочности. Величина этого запаса в разных Правилах все еще не одинакова.

Когда в 1890 г. в Англию были объявлены обязательными первые Правила о грузовой марке (перед этим они в течение пяти лет применялись в качестве необязательных), то нормы надводного бортика этих Правил были основаны на соответствующих данных английского Регистра Ллойда, и предполагалось, что выполнение требований Правил постройки судов этого классификационного общества обеспечивает необходимую прочность судов. Однако тогда не могло быть уверенности в правильности выбора нормы для надводного бортика. Поэтому по истечении 30-летнего срока применения этих норм в Англии, естественно, возник вопрос об анализе результатов их применения, тем более что к тому времени они, после их пересмотра в 1908 г. и некоторого уменьшения, получили уже достаточно широкое применение и в других странах. Кроме того, было необходимо

более определенно формулировать требования прочности, обеспечивающие надлежащую безопасность плавания судов. В связи с этим было принято решение, согласованное с правительствами стран с развитым морским судоходством, созвать в 1915 г. первую международную конференцию по грузовой марке и ее организовать в Англии. Комитет по грузовой марке для подготовки докладов на конференцию.

Комитет по грузовой марке установил [48], что за период в 20 лет, кончая 30 июня 1913 г., средний ежегодный процент аварий судов уменьшился; за первое пятилетие этого периода он был равен 2,01, а за последнее пятилетие уже только 1,2. Затем комитет изучил все случаи гибели судов за этот период и пришел к выводу, что нет оснований считать причину гибели судов недостаточным надводным бортом. Комитет пришел к выводу, что осадка, до которой можно безопасно нагружать суда, определяется двумя не зависящими друг от друга показателями: геометрическими размерами, формой судна и прочностью судна.

Геометрические размеры и форма корпуса судна должны быть приняты во внимание при определении наименьшей допустимой высоты надводного борта для того, чтобы обеспечить возможность надводного обслуживания судна в условиях штормовой погоды и достаточный запас плавучести и остойчивости судна.

Прочность корпуса судна принималась во внимание при определении наибольшей осадки судна, поскольку тогда считалось, что действующая на судно сила (в том числе и волновая) зависит от осадки.

Комитет при разработке стандарта общей прочности судов считал целесообразным положить в основу требований существующих в то время (1913—1915 гг.) Правил постройки судов четырех ведущих классификационных обществ [48]. Так как эти Правила были выработаны и проверены на основании данных успешного плавания морских судов, то в них было отражено все отмеченное при эксплуатации судов разнообразие нагрузок как на тихой воде, так и на морской волнении. Поскольку при установлении стандарта прочности были необходимы именно такие обобщенные опытные данные, то размеры конструкций судов, указанные Правилами постройки судов классификационных обществ, во внимание Комитета, и могли являться основой базой стандарта. С этим: согласилась и международная конференция по грузовой марке в 1930 г.<sup>1</sup> приняв разработанные на этой основе стандарты прочности.

В качестве стандарта общей прочности Комитет по грузовой марке принял Эйлеров момент сопротивления относительно

<sup>1</sup> На 6-й мировой морской волнии Конференция по грузовой марке не могла быть созвана в 1915 г. и состоялось только в 1930 г., когда и была принята первая Конференция по грузовой марке.

верхней расчетной палубы эквивалентного бруса морских судов. Были определены по различным Правилам постройки судов значения моментов сопротивления для судов следующих длин: 30,5; 42; 91,5; 122; 152,5; 183 м. Ширина каждого из этих судов принималась равной  $(0,1L + 1,52)$  м;  $(0,1L + 3,05)$  м;  $(0,1L + 6,1)$  м. Для каждого из этих судов момент сопротивления определялся при четырех значениях высоты борта, соответствующих отношениям  $L/H$ , равным 10; 11; 12 и 13,5, моменты сопротивления определялись: при осадке, соответствующей минимальному надводному борту, и при осадке для судна с избыточным надводным бортом и со сплошной надстройкой.

Следовательно, для судна каждой длины было найдено 24 значения момента сопротивления, соответствующих разным значениям ширины, высоты борта и осадки. Для судов шести длин было определено 144 таких величин по каждому из четырех Правил, а всего было подсчитано 576 величин. Анализировав их, Комитет установил, что значения моментов сопротивления, определенные по разным Правилам для каждого из рассмотренных типов, практически близки и различие между ними не имеет систематического характера. Поэтому было признано возможным и целесообразным наименьшее значение момента сопротивления на числа найденных по различным Правилам считать наименьшим, допускаемым практикой эксплуатации судов.

Таким образом было отобрано 144 наименьших значения момента сопротивления, которые подверглись дальнейшему анализу на более широкой основе с целью найти их функциональную зависимость от основных размеров судна и его осадки. Возможность такой связи вытекала из следующих соображений. Минимальный момент сопротивления корпуса судна как балки, нагруженной моментом  $M$ , определяется по обобщенной формуле

$$W = \frac{M}{[\sigma]}, \quad (4.25)$$

где  $[\sigma]$  — наибольшее допустимое напряжение, которое в соответствии с практикой было принято в расчетах общей прочности корпуса судна, считая зависящим только от длины судна: как линейно — по формуле (4.20), или пропорционально  $L^2$  — по формуле (4.21). Поэтому в общем виде можно написать:

$$[\sigma] = f_1(L). \quad (4.26)$$

Значение расчетногогибающего момента для морских транспортных судов с достаточной практической точностью, как тогда считалось, определяется формулой (4.19):

$$M = \frac{DL}{\lambda} = \frac{3,87L^2}{\lambda}. \quad (4.27)$$

где коэффициент  $k$  для данного типа судна является постоянной величиной; постоянную можно считать и коэффициент общей полноты  $\delta$ .

Следовательно, в общем виде можно написать:

$$M = f_{\Sigma}(L, B, T), \quad (4.25)$$

Подставляя (4.25) в (4.28) и (4.29), получаем:

$$W = \frac{f_{\Sigma}(L, B, T)}{f_{\Sigma}(L)}, \quad (4.29)$$

или

$$W = f_{\Psi}(L, B, T).$$

Таким образом, минимальный момент сопротивления эквивалентного бруса может быть действительно выражен некоторой функцией от длины, ширины и осадки судна.

Пользуясь найденными частными значениями этой функции, Комитет по грузовой марке установил:

при неизменной длине и ширине судна момент сопротивления изменяется пропорционально изменению осадки;

при постоянной длине и осадке судна  $W$  изменяется пропорционально изменению ширины судна в пределах от  $(0,1L + 1,52)$  и до  $(0,1L + 6,1)$  м.

Это позволяет придать выражению (4.29) следующий вид:

$$W = TBf(L), \quad (4.30)$$

Попытки Комитета найти аналитическое выражение функции  $f(L)$  были безуспешными, и он ограничился составлением таблицы значений этой функции для минимальных моментов сопротивления, которые требовались Правилами постройки судов 20-х годов нашего века применительно к корпусу судна из мягкой углеродистой судостроительной стали с переменным сопротивлением  $41-50 \text{ кгс/см}^2$  и с относительным удлинением не менее 16% на длине 203 мм.

Формула (4.30) и соответствующая таблица значений были приняты международной конференцией по грузовой марке 1930 г. в качестве стандарта общей прочности морских транспортных судов, строящихся из указанной стали и имеющих длину, равную или меньшую 180 м, ширину от  $(0,1L + 1,52)$  и до  $(0,1L + 6,1)$  м и высоту борта, лежащую в пределах от  $L/10$  до  $L/13,5$ . В Конвенции по грузовой марке 1930 г. этот стандарт общей прочности был приведен с указанием, что грузовой марка может наноситься на судне при условии, если минимальный момент сопротивления эквивалентного бруса не менее требуемого по формуле (4.30), причем в таблице числовые значения  $f(L)$  даны при  $L, B$  и  $T$ , выраженных в метрах, а размерность  $W$  — в  $\text{мг}^2 \cdot \text{м}$ .

Так как морским транспортными судами длиной более 24 м определяется выход в море без извещения на борт грузовой марки, то выполнение требований стандарта общей прочности является необходимым условием разрешения на плавание судна в море.

Стандарт минимально допустимой общей прочности судов, уже существовавший до 1914 г. в Правилах постройки, был узаконен Конвенцией по грузовой марке 1930 г. и сделан обязательным международными стандартом. Он существовал до 1956 г., когда была заключена новая международная Конвенция по грузовой марке, в которую стандарт 1930 г. не был включен.

Это произошло не потому, что была выявлена какая-то недостаточность продольной прочности судов тех типов и размеров, которые предусматривались стандартом. За это время существенно изменились типы морских транспортных судов, их размеры и соотношения размерений. Размеры многих современных судов вышли далеко за рамки, в пределах которых мог применяться стандарт 1930 г.

К тому же выяснилась необходимость при установлении стандарта общей прочности учитывать отдельно влияние на общую прочность нагрузок из таковой воды и волновых нагрузок. Выяснилось, что для современных морских судов пропорциональной осадке можно считать только ту часть стандарта, которая учитывает нагрузки на таковой воде, тогда как та часть стандарта общей прочности, которая связана с волновыми нагрузками, незначительно аванс или совсем не зависит от осадки судна.

Выяснилось, что значения наибольших изгибающих моментов на таковой воде для одного и того же типа судна данных размерений и при постоянной осадке могут измениться в значительно больших пределах, чем это имело место для судов, построенных до второй мировой войны.

Высказывались также мнения, что вообще целесообразно технические нормы облекать в форму обязательных законов, да еще действующих в международном масштабе, так как это придает таким нормам необходимой гибкости и может задерживать прогресс в данной области техники.

Все это в совокупности привело к тому, что стандарт прочности не был включен в Конвенцию по грузовой марке 1956 г. Однако это не значит, что в Конвенции не нашла отражения сама необходимость обеспечения общей прочности судов как основное условие назначения им грузовой марки. В связи с этим приведем следующие требования Конвенции 1956 г.:

1) «Судно, к которому применяется настоящая Конвенция, не может выйти в море в международный рейс после отступления в силу настоящей Конвенции, если оно не было освидетельствовано, ему не была занесена грузовой марки и не выдано Международное свидетельство о грузовой марке 1956 г.а.

2) «Администрация (выдающая свидетельство о грузовой марке.— Н. П.) должна удостовериться, что общая конструктив-

ная прочность судна достаточна для осадки, соответствующей назначенному надводному борту. Судна, построенные и поддерживаемые в состоянии, соответствующем требованиям классификационного общества, признающего Администрацией, могут рассматриваться как обладающие достаточной прочностью (разрядка штаб.—Н. П.)».

Таким образом, если стандарт Конвенции 1930 г. представлял собой обобщение требований всех Правил, то стандарт Конвенции 1966 г. является стандартом каждого классификационного общества и может последние заменяться по мере надобности, отражая новые данные практики судостроения и судоходства и результаты экспериментальных и теоретических исследований.

Современные стандарты общей прочности Правил постройки морских судов. Рассмотрим современные требования некоторых классификационных обществ к стандарту общей прочности.

1) Правила Регистра Союза ССР 1974 г. [46]. Для морских сухогрузных и нефтяных судов, корпуса которых изготовляют из низкоуглеродистой стали с временным сопротивлением 41—52 кгс/мм<sup>2</sup> и с пределом текучести не менее 24 кгс/мм<sup>2</sup>, момент сопротивления относительно верхней кромки палубного стрелера у борта должен быть не менее вычисленного по формуле<sup>1</sup> (см<sup>6</sup>)

$$W_d = k_1 (k_2 + k_3 c_s) B L^{2,5}, \quad (4.31)$$

где  $k_1 = 65$  и  $71$  соответственно для сухогрузных судов и танкеров;

$$\left. \begin{aligned} k_2 &= \frac{1 |M_{\text{из}}|}{\rho L^{2,5}}, \text{ если } \frac{|M_{\text{из}}|}{\rho L^{2,5}} > k_0; \\ k_2 &= 0,9 k_0 + \frac{1 |M_{\text{из}}|}{10 \rho L^{2,5}}, \text{ если } \frac{|M_{\text{из}}|}{\rho L^{2,5}} < k_0; \end{aligned} \right\} \quad (4.32)$$

$k_0 = 0,0325$  — при перегибе;  $k_0 = 0,0360$  — при прогибе;  $k_3 = 0,0205$  и  $0,0182$  соответственно при перегибе и прогибе для сухогрузных судов;  $k_3 = 0,0199$  и  $0,0173$  соответственно при перегибе и прогибе для танкеров;  $M_{\text{из}}$  — изгибающий момент на тухой воде, тс·м;  $c_s$  — коэффициент общей полноты судна при осадке по летнюю грузую воду;  $B$  — ширина судна;  $L$  — длина судна;  $\rho$  — плотность воды, тс/м<sup>3</sup>.

Следовательно, для случаев, когда наибольший изгибающий момент на тухой воде  $|M_{\text{из}}| > k_0 \rho L^{2,5}$ , формула (4.31) приводится к виду (см<sup>6</sup>)

$$W_d = k_1 (|M_{\text{из}}| + k_3 c_s B L^{2,5}), \quad (4.33)$$

где второй член в скобках представляет собой волновой изгибающий момент  $|M_{\text{из}}|$  в тс·м, который в сумме с изгибающим моментом на тухой воде  $|M_{\text{из}}|$  должен учитываться при определении минимального значения  $W_d$ .

Имея это в виду и учитывая (4.25), можно написать (см<sup>6</sup>):

$$W_d = k_1 (|M_{\text{из}}| + |M_{\text{из}}|) = \frac{|M_{\text{из}}| + |M_{\text{из}}|}{\rho} 10^6, \quad (4.34)$$

где выделен множитель  $10^6$  для приведения значений моментов к размерности кгс·см. Из (4.34) следует, что

$$k_1 = \frac{10^6}{\rho}, \quad (4.35)$$

и значения  $k_1 = 65$  — для сухогрузных судов и  $k_1 = 71$  — для танкеров условно соответствуют допускаемому напряжению, равному 1540 кгс/см<sup>2</sup> — для сухогрузных судов и 1410 кгс/см<sup>2</sup> — для танкеров. (Условно, так как по формуле (4.33) определяемое  $W_d$  производится по сумме значений изгибающих моментов на тухой воде и на волнении, что имеет физический смысл только тогда, когда эти моменты одного знака.)

Сравним принятый в формуле (4.33) расчетный волновой изгибающий момент с выражением этого момента через эффективную высоту волн  $k_{\text{эф}}$  и коэффициент момента  $k_{\text{эф}}^2$  при статической постановке на волну длиной, равной длине судна (см. § 7), получим:

$$k_{\text{эф}} B L^{2,5} = \gamma k_{\text{эф}}^2 k_{\text{эф}} B L^2, \quad (4.36)$$

где  $\gamma$  — удельный вес морской воды.

Для эффективной высоты волн (в метрах)

$$k_{\text{эф}} = a L^{0,2}, \quad (4.37)$$

то

$$k_{\text{эф}} B L^{2,5} = \gamma k_{\text{эф}}^2 a B L^{2,5}, \quad (4.38)$$

откуда

$$a = \frac{k_{\text{эф}}}{\gamma k_{\text{эф}}^2}. \quad (4.39)$$

Подставляя в (4.39) приведенные выше значения  $k_2$  и значения безразмерного коэффициента волнового изгибающего момента по данным Дж. Маррел (см. [50], табл. 71) и считая  $\gamma = 1,025$  тс/м<sup>3</sup>, получаем следующие значения коэффициента  $a$  в формуле (4.37):

$c_s$	0,60	0,70	0,80
Перегиб	1,49	1,45	1,41
Прогиб	1,45	1,43	1,41

<sup>1</sup> Здесь и ниже приведенные обозначения, применяя в рассматриваемых документах, в них могут отличаться от применяемых в этой книге.

Приближенно, с погрешностью, не превышающей  $\pm 2\%$ , можно считать, что эффективная высота волны, принятая в Правилах Регистра СССР для определения наибольшего вертикального изгибающего момента и равная  $h_{\text{эф}} = 1,46L^{0,3}$  — для сухогрузных судов и  $h_{\text{эф}} = 1,41L^{0,3}$  — для танкеров, одинакова при перегибе и прогибе судна.

В Правилах Регистра СССР, как видно из (4.31) и (4.32), предусмотрено два случая определения  $W_d$  в зависимости от некоторой условной величины изгибающего момента на тихой воде (4.32), равной (тс·м)

$$|M_{\text{изб}}| = k_2 B L^{2,5} \quad (4.40)$$

Сама форма этой зависимости показывает определенную связь этого условного изгибающего момента с тихой водой с расчетным полным моментом, входящим в стандарт общей прочности (4.31). Эту связь удобно выразить через ту условную эффективную высоту волны  $h_{\text{эф}}$ , при статической постановке на которую изгибающий момент равен  $|M_{\text{изб}}|$ . По аналогии с (4.37) и (4.38):

$$\left. \begin{aligned} h_{\text{эф}} &= a_0 L^{0,3} \\ k_2 B L^{2,5} &= \gamma k_2^2 a_0 B L^{2,5} \end{aligned} \right\} \quad (4.41)$$

откуда

$$a_0 = \frac{k_2}{\gamma k_2^2} \quad (4.42)$$

Подставляя в (4.42) значения  $k_2$ ,  $k_2^2$  и  $\gamma = 1,025$  тс/м<sup>3</sup>, получим следующие значения отношения  $a_0/g$ :

$a_0$	0,6	0,7	0,8
Сухогрузные суда:			
при перегибе	1,07	0,85	—
при прогибе	1,00	0,75	—
Танкеры:			
при перегибе	—	—	0,77
при прогибе	—	—	0,81

Приведенные значения показывают, что условный изгибающий момент на тихой воде составляет тем большую часть расчетного волнового момента, чем меньше коэффициент общей полноты судна. При перегибе он больше, чем при прогибе. Значения условных моментов на тихой воде лежат в пределах от 1,07 до 0,61 расчетного волнового момента.

Если расчетный изгибающий момент на тихой воде меньше условного момента на тихой воде  $M_{\text{изб}}$ , то, учитывая (4.32), стандарт общей прочности (4.31) можно представить в виде (см<sup>2</sup>)

$$W_d = k_1 [0,9 |M_{\text{изб}}| + 0,1 |M_{\text{изб}}| + k_2 a_0 B L^{2,5}] \quad (4.43)$$

Сравнение (4.43) с (4.33) показывает, что во Правилах Регистра СССР стандарт общей прочности в тех случаях, когда расчетный изгибающий момент на тихой воде  $|M_{\text{изб}}|$  больше условного момента  $|M_{\text{изб}}|$ , следует определять с учетом полного значения расчетного момента  $|M_{\text{изб}}|$ , а в случаях, когда  $|M_{\text{изб}}| < |M_{\text{изб}}|$  — с учетом  $0,1 |M_{\text{изб}}|$  и  $0,9 |M_{\text{изб}}|$ .

Минимальный момент сопротивления эквивалентного бруса относительно верхней палубы, очевидно, соответствует случаю, когда в формуле (4.43)  $|M_{\text{изб}}| = 0$ , и определяется следующей формулой (см<sup>2</sup>):

$$W_{d \text{ min}} = k_1 [0,9 |M_{\text{изб}}| + k_2 a_0 B L^{2,5}] \quad (4.44)$$

Во всех случаях требуется, чтобы момент сопротивления по длине  $W_d$  был не менее  $1,1 W_d$  — для сухогрузных судов и  $1,04 W_d$  — для танкеров.

2) Правила Регистра Ллойд 1975 г. В Правилах этого классификационного общества за последние 20 лет имели место следующие основные изменения в определении стандарта общей прочности транспортных судов.

С 1960 г., в отличие от стандарта в Конвенции по грузовой марке 1930 г., считается необходимым разделять учитывать волновой вертикальный изгибающий момент и момент на тихой воде при определении необходимого момента сопротивления эквивалентного бруса танкеров. При этом волновой вертикальный момент считается равным  $k_1 L^{2,5} B \delta$ , тс·м.

С 1966 г. вводится раздельный учет моментов волнового и на тихой воде не только для танкеров, но и для сухогрузных судов. Волновой вертикальный момент при этом считается пропорциональным  $L^{2,5} B (\delta + 0,7)$ .

С 1975 г. введен учет, в ряде случаев, гнбга корпуса судна не только в вертикальной плоскости, но и в горизонтальной плоскости, а также и кручения корпуса. Введено требование проверки прочности продольных связей корпуса по перерезывающим силам. Приводятся значения наибольших допускаемых напряжений в продольных связях корпуса в зависимости от типа судна и условий его эксплуатации. Особо выделяются быстрходные суда открытого типа и контейнерные суда. В целом Правила 1975 г. характеризуются большим учетом данных о волновых нагрузках на перегруженном волнении и учетом повреждений, наносящих в последнее время на сравнительно быстрходных судах открытого типа (с большими палубными вырезками). Рассмотрим основные положения этих Правил.

1. Приведенные в Правилах 1975 г. общие требования к прочности продольных связей относятся к транспортным судам обычного типа, горизонтальной формы, нормальных пропорций и нормальной скорости и включают обычное распределение веса корпуса.

К числу «нормальных» относятся суда обычного типа, у которых

длина судна  $L$  не превышает 400 м;  
 отношение  $L/B \leq 17$ ;  $L/B \geq 5$ ;  $B/D \leq 2,5$ , где  $B$  и  $D$  — ширина и высота борта судна соответственно;  
 скорость судна  $v$  не больше, чем указано в следующей таблице:

Длина судна $L$	Коэффициент общей нагрузки $\beta$	Скорость, уз
200 м и менее	$> 0,80$	17
	$0,65$	20
	$< 0,50$	25
Больше 200 м	$> 0,80$	18
	$0,65$	23
	$< 0,50$	28

не делаются вырезы в ширестреке и в палубном стрингере для бортовой нагрузки;

для любого палубного выреза отношения  $b/B_1 \leq 0,50$  и  $l_{из}/l_{пал}$  0,70, где  $B_1$  — ширина палубы по средней линии соответствующего



Рис. 131. Определение параметров вырезов палубных лонгов (Правила Регистра Ллойдс).

щего выреза;  $b$  — ширина выреза;  $l_{из}$  — длина выреза;  $l_{пал}$  — расстояние между центрами полей палубы у концов выреза (рис. 131).

Для таких обычных судов, корпуса которых спроектированы на обычной малоуглеродистой судостроительной стали, расчетный момент сопротивления мидельной секции не должен быть меньше, чем большая из следующих величин ( $см^3$ )

$$W_{mid} = c_1 L^2 B (\beta + 0,7); \quad (4.45)$$

$$W = \frac{M_1 + M_2}{c_2} 10^3, \quad (4.46)$$

где  $M_1$ ,  $M_2$  — изгибающие моменты на тихой воде и волновой, тс·м;  $c_1$  — коэффициент, определяемый таблицей:

$L$ , м	50	100	125	150	180—300
$c_1$	7,840	8,061	8,473	8,913	$10,75 - \left(\frac{300-L}{100}\right)^{1,4}$
$L$ , м	300—350		375	400	
$c_1$	10,75		10,69	10,63	

Для промежуточных значений длины коэффициент  $c_1$  определяется линейной интерполяцией;

$\sigma_0$  — допускаемое суммарное напряжение, кгс/мм<sup>2</sup>, указанные в табл. 46.

Таблица 46

Допускаемые нормальные напряжения для малоуглеродистой судостроительной стали при общей нагрузке корпуса судна на тихой воде и на волнении, кгс/мм<sup>2</sup> (английский Регистр Ллойдс)

Тип судна	Среднее или минимальное $\sigma_0$	$\sigma_0$	$\sigma_0$	$\sigma_0$	$\sigma_0$	$\sigma_0$	$\sigma_0$
		Открытое море	Защищенные воды	Короткие рейсы			
I	16,4	6,4	10,0	11,4	5,0	8,4	8,0
II	18,15	8,15	10,0	13,15	5,0	10,15	8,0

Допускаемые напряжения различны для судов двух типов:

тип I — суда, перевозящие палубным способом жидкие грузы (т. е. танкеры, танкеры-рудовозы, комбинированные навалочные суда, но исключая суда для перевозки сжиженных газов), а также суда для перевозки навалом (хотя бы только в одном трюме или трюме) таких сухих грузов, удельная поручочная кубатура которых равна или меньше 1 м<sup>3</sup>/тс. Использование одного трюма в качестве балластного трюма не является основанием для отнесения судна к этому типу;

тип II — суда для генерального и смешанного груза, суда для навалочных сухих грузов, удельная поручочная кубатура которых больше 1 м<sup>3</sup>/тс, и суда для перевозки сжиженных газов.

Вертикальный волновой изгибающий момент в мидельном сечении в формуле (4.46) определяется соотношением (тс·м)

$$M_w = \sigma_0 c_1 L^2 B (\beta + 0,7) 10^{-3}, \quad (4.47)$$

где  $\sigma_0$  — допускаемые волновые напряжения, кгс/мм<sup>2</sup>, указанные в табл. 46. Они зависят не только от типа судна, но и от условий плавания. В табл. 46 графа «Открытое море» относится к судам неограниченного района плавания; графа «Защищенные воды» — к судам, плавающим в акваториях, где разгон ветра не превышает 11 км/ч; графа «Короткие рейсы» — к судам, совершающим рейсы продолжительностью не более 24 ч и при умеренной погоде (не более 6 баллов по шкале Бофорта).

Выражая  $M_{\text{в}}$  в кгс·см, т. е. вводя множитель  $10^5$ , формулу (4.47) можно представить в виде (см<sup>2</sup>)

$$\frac{M_{\text{в}}}{10000} = \sigma_0 D^2 B (3 + 0,7),$$

откуда видно, что значение  $W_{\text{в}}$  по формуле (4.45) определяется волновым изгибающим моментом и волновыми допускаемыми напряжениями для судов неограниченного района плавания ( $\sigma_0 = 10$  кгс/мм<sup>2</sup> для «открытого моря»).

Если волновой изгибающий момент требуется определить для других сечений по длине судна, то момент в модельном сечении надо умножить на коэффициенты (табл. 47), зависящие от числа Фруда.

Таблица 47

Распределение волнового вертикального изгибающего момента вдоль судна  
(английский Регистр Ларда)

Точечная нагрузка	При скорости хода, соответствующей	
	$F_n < 0,26$	$F_n = 0,26$
0 (возвратная перекачка)	0,00	0,00
2	0,14	0,14
4	0,30	0,30
6	0,58	0,58
8	0,87	0,87
10 (якорь)	1,00	1,00
12	0,99	0,95
14	0,98	0,90
16	0,91	0,82
18	0,80	0,73
20 (водная перекачка)	0,00	0,00

Изгибающий момент из тихой воды в модельном сечении в формуле (4.46) принимается (при прогибе и перегибе) максимальным для вычисления для следующих условий загрузки: для танкеров:

загрузка однородным (гомогенным) грузом (исключая танки чистого балласта и сухие); балластные или частично балластные условия как при отходе, так и при прибытии;

любое спецификационное неравномерное распределение груза; среднерейсовая загрузка, связанная с очисткой танков и других операциями, если они значительно отличаются от балластных условий;

для других судов:

равномерная загрузка; если предполагается, что неравномерная загрузка и условия частичной загрузки, включающие загрузку верхней палубы, балластирование, загрузку при отходе и при прибытии;

спецификационная загрузка, если желательна отметка класса, допускающая оставлять пустыми некоторые отсеки;

загрузка для коротких рейсов и для плавания в защищенных водах, когда может быть допущено большее значение изгибающего момента на тихой воде;

условие балластирования и других изменений загрузки во время рейса.

Любое условие, когда максимальный расчетный изгибающий момент на тихой воде  $M$ , превосходит значение  $0,8M_{\text{в}}$  — для судов типа I или  $1,0M_{\text{в}}$  — для судов типа II, должно подвергаться специальному рассмотрению. В общем случае таких условий загрузки следует избегать.

От соотношения значений моментов на тихой воде и волнового зависит, какие из формул (4.45) и (4.46) определяет требуемое значение момента сопротивления. Прямая часть этих формул и учитывая отмеченную выше структуру формулы (4.45), нетрудно получить соотношение

$$\frac{M_{\text{в}}}{M_{\text{ср}}} = \frac{\sigma_0 - \sigma_{\text{д}}}{\sigma_{\text{д}}} = \frac{\sigma_0}{\sigma_{\text{д}}},$$

где  $\sigma_{\text{д}}$  — допускаемые напряжения на тихой воде, кгс/мм<sup>2</sup>, указанные в табл. 46.

При таком соотношении изгибающих моментов обе формулы дают одинаковые значения момента сопротивления, равные  $W_{\text{в}}^{\text{изг}}$ . Как видно из табл. 46, для судов неограниченного плавания это будет иметь место при  $M_{\text{ср}} = 0,64M_{\text{в}}$  (суда типа I) или при  $M_{\text{ср}} = 0,815M_{\text{в}}$  (суда типа II). При больших значениях  $M$ , определяющей станет формула (4.46), при меньших — формула (4.45).

Для судов, эксплуатируемых в ограниченных условиях плавания, указанное соотношение существенно изменяется, однако требуемое минимальное значение момента сопротивления  $W_{\text{в}}^{\text{изг}}$  остается таким же, как и для судов неограниченного плавания. Поскольку волновой момент для таких судов меньше, есть возможность допустить для них больший момент на тихой воде.

При расчете момента сопротивления модельного сечения корпуса все непрерывные связи включаются в эквивалентный брус, и момент сопротивления вычисляется относительно палубной линии у борта как верхней кромки яла.

Вырезы для облегчения в стенках листовых балок не требуются вычитать, если высота их не более 20% высоты стенок балки. Изолированные сварные вырезы, отверстия для водопроводов и профялы продольных балок не требуются вычитать, если высота этих вырезов не превосходит 10% высоты стенки или 75 мм в зависимости от того, что больше. Такие вырезы как отверстия вычитаются изолированными, если расстояние между ними не меньше чем 1,0—1,5 м. Вообще изолированные палубные вырезы не требуются вычитать, но может быть необходима их комбинация.

Если делаются непрерывные продольные люковые комингсы, то 80% их площади сечения можно включать в подсчет момента сопротивления сечения корпуса относительно теоретической линии палубы у борта или верхней точки комингса. Требуемый момент сопротивления в первом случае должен быть увеличен на 5%, во втором — на 10%.

При наличии в одной поперечной сечении палубы двух люковых вырезов или более участие в общем изгибе палубы между люками подлежит специальному рассмотрению.

Индивидуальному рассмотрению подлежат также и другие специальные или необычные конструкции.

Суммарная площадь поперечного сечения верхнего пояса корабчатой балки или эквивалентной конструкции, включая продольные балки, но исключая продольные люковые комингсы, в пределах люков не должна быть меньше, чем  $0,155 (cm^2)$ , где  $\Delta$  — водоизмещение (тс) при полной нагрузке судна.

Сказанное выше относится к определению размеров связей в мидельном сечении корпуса. Эти размеры должны сохраняться на протяжении 40% длины судна и его средней части и могут постепенно уменьшаться до значений, требуемых в оконечностях, если в Правилах не указаны другие требования. В средней части корпуса при наличии балки, чем для обычных судов, палубных вырезов (исключая контейнерные суда, требования к которым рассматриваются ниже) могут потребоваться местные подкрепления.

При применении стали более высокой прочности, чем обычная малоуглеродистая судостроительная сталь, в конструкциях основного корпуса судна момент сопротивления его мидельного сечения, определенный так, как указано выше, должен умножаться на коэффициент прочности стали, равный  $0,050 (L/D)$  или

$$K = \frac{70,9}{\gamma + U}$$

смотря по тому, что больше. Здесь  $U$  — полу сумма нижнего и верхнего спецификационных пределов временного сопротивления материала, кгс/мм<sup>2</sup>;  $\gamma$  — спецификационный минимальный предел текучести стали, или 0,5 временного сопротивления, или  $0,7U$ , кгс/мм<sup>2</sup>, смотря по тому, что меньше.

Сталь повышенной прочности должна применяться для всех продольных непрерывных связей, удаленных от нейтральной оси, по крайней мере, на расстояние  $(1-K)y$  или  $[1 - 0,050 (L/D)]y$ , смотря по тому, что меньше (здесь  $y$  — вертикальное расстояние в метрах от нейтральной оси до теоретической палубной линии у борта или до верхней кромки горизонтального яля).

Если сталь повышенной прочности применяется только для верхних связей, то момент сопротивления относительно палубы должен умножаться на коэффициент  $K$  или на величину

$\frac{0,050 (L/D)}{1 - 0,050 (L/D)}$ , смотря по тому, что больше. Более прочная сталь должна применяться для всех продольных напряженных связей на расстоянии от палубы до фибр, отстоящих от нейтральной оси на  $(1-K)y$  или  $[1 - \frac{0,050 (L/D)}{1 - 0,050 (L/D)}]y$ , в зависимости от того, что меньше.

2. Для судов, которые не могут быть отнесены к обычным, поскольку не удовлетворяют одному или нескольким приведенным выше условиям, значения требуемых моментов сопротивления должны определяться по расчету, включающему полное определение волновых нагрузок на нерегулярном волнении по одобренной Регистром Ллойда методике. Расчет должен представляться Регистру Ллойда на апробирование и для установления наименьших значений моментов сопротивления поперечных сечений корпуса судна.

Для двух случаев отклонения от условий, которым соответствуют обычные суда, в Правилах Регистра Ллойда содержатся специальные требования к прочности: для скоростных судов и для контейнерных судов.

3. Скоростные суда длиной 120—170 м, имеющие эксплуатационную скорость более 17,5 уз и коэффициент форм носовой оконечности, больший 0,15, подлежат специальному рассмотрению.

Коэффициент форм носовой оконечности определяется формулой

$$+ \frac{100 \sum A_n}{L^2 B} ; \sum A_n = \frac{A_0}{2} + 0,1L (a_1 + a_2)$$

где  $b$  — длина выступа верхней палубы за носовую перпендикуляр (НП), м;  $a_1$  — ширина выступа верхней палубы за вертикаль в сечении на НП, м;  $a_2$  — ширина выступа верхней палубы за вертикаль в сечении, отстоящем на 0,1L от НП, м;  $a_3$  — ширина выступа верхней палубы за вертикаль в сечении, отстоящем на 0,2L от НП, м (рис. 132).

В общем случае для этих судов должны быть выполнены следующие требования:

момент сопротивления мидельного сечения в вертикальной плоскости (нейтральная ось горизонтальная) должен быть не меньше, чем  $331L^2A_n$ , см<sup>2</sup>, но и не меньше, чем требуется для обычных судов;

момент сопротивления мидельного сечения в горизонтальной плоскости относительно вертикальной (нейтральная ось вертикальная) должен быть не меньше, чем  $32,5L^2D$ , см<sup>2</sup>;

в сечениях носовой оконечности судна моменты сопротивления не должны быть меньше указанных ниже (в процентах от моментов сопротивления на мидель-плантуэте).

Семейя по длине судна, теор.	10 (милель)	17	14	16	18	
Вертикальный момент сопротивления		100	90	85	81	44
Горизонтальный момент сопротивления		100	87	62	38	17

Значения для промежуточных семейств определяются линейной интерполяцией (напомним, что в английских Правилах отсчет теоретических шпангоутов начинается с нормового перпендикуляра);

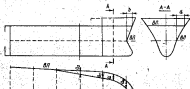


Рис. 133. К определению коэффициента формы носовой оконечности корпуса судна (Правила Регистра Ллойда).

любые условия нагрузки или балластования, вызывающиегибающий момент на тухой воде и перегибающий момент, меньшей 80% значения, предусматриваемого Правилами для момента на тухой воде, должны специально рассматриваться с целью уменьшения сжимающих напряжений в палубе на волнении.

4. Контейнерные суда, имеющие двойные или одинарные борта в сочетании с коробчатыми балками, воспринимающие кручение, подлежат специальному рассмотрению, если выполняются хотя бы одно из следующих условий (см. рис. 131):

$$\frac{b}{D_1} \geq 0,7; \quad \frac{t}{t_m} \geq 0,89; \quad \frac{t}{D_1} > 0,6 \text{ и } \frac{t}{t_m} > 0,7.$$

Проверочная прочность таких судов должна быть проверена по суммарным напряжениям отгиба и стесненного кручения. При этой нагрузке на корпус определяются следующим образом.

Наибольшая расчетная амплитуда водного вертикального изгибающего момента в мидельовой сечении судна при ходе вразре волне определяется формулой (тс·м)

$$M_w = c_0 L^2 B (1 + 0,7) 10^{-3}, \quad (4.48)$$

где

$$c_0 = 0,6 + 0,942 \left( \frac{L}{100} - 1 \right).$$

Распределение  $M_w$  вдоль судна дано в табл. 48.

Таблица 48

Распределение вдоль судна волновых изгибающих и крутящих моментов для контейнерных судов (английский Регистр Ллойда)

Теоретические шпангоуты	$M_w$ для сейфовых конструкций		$M_w$ и $M_w^*$
	$F_1 \leq 0,30$	$F_1 = 0,30$	
0 (кормовой перпендикуляру)	0,00	0,00	0,0
2	0,14	0,14	0,2
4	0,30	0,30	0,4
6	0,58	0,58	0,6
8	0,87	0,87	0,8
10 (мидель)	1,00	1,00	1,0
12	0,90	0,95	0,8
14	0,58	0,80	0,6
16	0,41	0,62	0,4
18	0,20	0,33	0,2
20 (носовой перпендикуляру)	0,00	0,00	0,0

Амплитуда расчетного волнового горизонтального изгибающего момента в мидельовом сечении определяется формулой (тс·м)

$$M_w = 4,4 L^2 B 10^{-3}, \quad (4.49)$$

Распределение момента  $M_w$  по длине судна также дано в табл. 48.

Волновой расчетный крутящий момент определяется формулой (тс·м)

$$M_w = \exp(-0,00295L) LB^2 c_2 10^{-4} (1,75 + 1,5e/D), \quad (4.50)$$

где  $c_2 = 13,2 - 43,4e + 78,9e^2$ ,  $\alpha$  — коэффициент шлювки площади грузовой ватерлинии;  $e$  — отстояние от нейтральной оси центра кручения, расположенного ниже основной линии, м.

Распределение волнового крутящего момента вдоль судна — по кривой  $1 - \cos \alpha$ , где  $\alpha = \pi/2$  — для мидельового сечения,  $\alpha = \pi/4$  — для семеек, отстоящих от миделя на расстояниях  $\pm L/4$ ;  $\alpha = 0$  — для концевых перпендикуляров.

Должен учитываться также и крутящий момент на тухой воде от неравномерного поперечного распределения перевозимого груза, расходуемых грузов и балласта. Если не указана большая величина этого момента, то он может приниматься разным (тс·м)

$$M_w^* = 56 n_1 n_2, \quad (4.51)$$

где  $n_1$  — число рядов контейнеров по ширине судна;  $n_2$  — число рядов контейнеров по высоте грузовых трюмов (без контейнеров на палубе и на крышках люков).

Крутящий момент от груза не требуется принимать большим 2500 тс·м для середины судна. Распределение этого момента по длине такое же, как и для горизонтального изгибающего момента (см. табл. 48).

Напряжения должны быть подсчитаны для различных сечений по длине судна в днище и в палубе на уровне верхней вранки продольной переборки.

Напряжения, соответствующие вертикальным изгибающим моментам на тихой воде и на волне, должны быть определены по значениям этих моментов и моментов сопротивления рассматриваемых сечений.

Напряжения, соответствующие волновому горизонтальному изгибающему моменту, должны находиться по формуле

$$\sigma = \frac{0,3b}{I_x} M_x$$

где  $b$  — ширина люкового выреза, м (см. рис. 131);  $I_x$  — момент инерции сечения корпуса относительно вертикальной оси, см<sup>4</sup>·м.

Нормальные напряжения от деформации поперечных сечений, соответствующие крутящим моментам (волновому и на тихой воде), должны определяться по одобренной Обществом методике.

Суммарные напряжения во всех сечениях по длине судна определяются для двух расчетных случаев: при ходе судна вразрез волне и при косом курсе, — для чего вычерчиваются диаграммы распределения по длине судна составляющих моментов и напряжений и суммарных напряжений.

При косом курсе суммируются нормальные напряжения, возникающие от одновременного действия изгибающего момента на тихой воде, 0,6 вертикального волнового момента, волнового горизонтального момента, волнового крутящего момента; крутящего момента от неравномерного поперечного распределения груза (рис. 133).

На диаграмме эти напряжения наращиваются, как показано на рис. 133. Сумма этих напряжений не должна быть больше величины (кгс/мм<sup>2</sup>)

$$\sigma = \frac{16,9}{K}$$

где  $K$  — коэффициент прочности стали (см. выше).

При ходе судна вразрез волне суммируются напряжения от изгиба на тихой воде и от изгиба вертикальным волновым моментом. При этом напряжение в любой точке по длине судна не должно быть больше следующих величин:

напряжения от изгиба на тихой воде на палубе (кгс/мм<sup>2</sup>)

$$\sigma = \frac{9,0}{K} \text{ при } \lambda < 0,6;$$

$$\sigma = \frac{9,0}{K} \frac{0,8}{\lambda + 0,2} \text{ при } \lambda \geq 0,6;$$

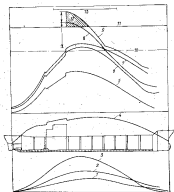


Рис. 133. Иллюстративный образец диаграммы суммированных напряжений в корпусе килеварного судна при косом курсе.

1 — волновой горизонтальный изгибающий момент; 2 — волновой вертикальный изгибающий момент; 3 — изгибающий момент на тихой воде; 4 — тремь максимальных момента сопротивления вранки-балки; 5 — нормальные напряжения от изгиба на тихой воде и от вертикального волнового момента; 6 — суммарные напряжения от изгиба на тихой воде, от вертикального и горизонтального волнового момента на волне, от статического кручения на волне; 7 — суммарные напряжения от изгиба на тихой воде, от вертикального и горизонтального волнового момента на волне, от кручения на тихой воде; 8 — суммарные напряжения от изгиба на тихой воде, от вертикального и горизонтального волнового момента на волне, от кручения на тихой воде; 9 — суммарные напряжения для обшивки цилиндрической части; 10 — суммарные напряжения для обшивки стальной ватерлинии; 11 — район, в котором требуется усиление конструкции для снижения вероятности до уровня допустимых; 12 — район, в котором целесообразно применение стали повышенной прочности.

суммарные напряжения от вертикального изгиба на тихой воде и на волне ( $\text{кгс/см}^2$ ) в палубе

$$\sigma = \frac{160}{K};$$

в днище

$$\sigma = \frac{140}{K}.$$

Когда предлагаются другие устройства основного корпуса судна или конструктивные характеристики новы и необычны, то необходим экспериментальный расчет по одобренной Регистром Ллойда методике.

Требуются специальное рассмотрение судов, имеющих ширину люковых вырезов, большую 0,85B, если средняя деформация кручения превосходит 0,006 град на 1 м длины или удаление диагонали люкового выреза при стандартном крутящем моменте больше 35 мм.

5. Перерезывающие силы, возникающие в корпусе судна, должны определяться для всех судов с двумя продольными переборками, а для других судов — в тех случаях, когда предусматривается неоднородное нагружение.

Значение волновой перерезывающей силы, соответствующее Правилам, для любого сечения судна определяется формулой (тс)

$$F_w = \exp(-0,0035L) A_2 A_3 B L^2 (3 + 0,7) 10^{-3}, \quad (4.52)$$

где  $A_2$  — коэффициент, определяемый табличкой:

Теоретическое значение $A_2$	0 (всплывающий корпус)	0,5-1	1-11	15-17	20 (исповодный корпус)
	0	226	111	226	0

Для промежуточных сечений  $A_2$  находится линейной интерполяцией;  $A_3$  — коэффициент, равный 1,0 — для плавания в открытом море; 0,5 — для плавания в защищенных водах; 0,8 — для коротких рейсов.

Значения величины  $\exp(-0,0035L) L^2 \cdot 10^{-3}$  приведены в табл. 49.

Значения перерезывающей силы на тихой воде в каждом поперечном сечении корпуса судна определяются расчетом для каждого условия нагружения, указанного выше. Наибольшее из этих значений не должно превышать допустимого расчетного значения перерезывающей силы, вычисленного при допустимых касательных напряжениях, равных 12  $\text{кгс/см}^2$ . Для выполнения этого условия, если необходимо, толщина связей должна быть увеличена.

Таблица 49

Значения  $N = \exp(-0,0035L) L^2 \cdot 10^{-3}$

L, м	N	L, м	N
90	0,009 11	280	0,272 11
100	0,010 47	290	0,294 34
120	0,014 61	300	0,314 34
140	0,020 07	320	0,334 11
160	0,026 23	340	0,351 08
180	0,032 56	360	0,367 62
200	0,039 63	380	0,381 91
220	0,046 10	400	0,394 06
240	0,052 67		

Если нет продольных переборок, то расчетная перерезывающая сила в сечении, допускаемая на тихой воде, определяется по формуле (тс)

$$F_w = \frac{12 I_1}{100 A_y} \quad (4.53)$$

где  $I_1$  — момент инерции сечения корпуса относительно горизонтальной нейтральной оси,  $\text{см}^4$ ;  $I_2$  — суммарная толщина наружной обшивки обоих бортов у нейтральной оси, мм. Специальному рассмотрению подлежат исключение эффективной толщиной любой частичной продольной переборки в зависимости от ее конструкции;  $A_y$  — статический момент площади сечения выше нейтральной оси,  $\text{см}^3$ .

При рассмотрении судов нормальной формы и обычной конструкции значения  $A_y$  и  $I_1$ , вычисленные для идеального сечения, могут применяться для расчета перерезывающих сил в любом сечении по длине судна.

Если судно имеет двойные борта, то может потребоваться расчет потока сдвинутых условий.

Если установлены продольные переборки, то расчетная перерезывающая сила в сечении, допускаемая на тихой воде при равномерном поперечном распределении груза, определяется по следующим формулам (тс):

в обшивке борта

$$F_w = \frac{12 t_2 D}{616 + 0,75 A_2 A_3} - F_w, \quad (4.54)$$

а продольной переборке

$$F_w = \frac{12 t_2 D}{631 + 0,75 A_2 A_3} - F_w. \quad (4.55)$$

где  $t_2$  — толщина борта на нейтральной оси, мм;  $t_3$  — минимальная толщина листов продольной переборки в пределах

половина средней высоты борта, мм;  $A_1$  — площадь сечения бортовой обшивки по всей высоте борта, см<sup>2</sup>;  $A_2$  — площадь сечения листов продольной переборки от донца до палубы, см<sup>2</sup>.

В случае неравномерного распределения грузов по ширине судна и при наличии продольных переборок распределение перегибающей силы на тихой воде между бортами и продольными переборками должно определяться специальным расчетом.

Расчет перегибающей силы сразу за носом продольных переборок должен выполняться с учетом устройства конструкции в этом районе.

3) Правила Норвежского Веритаса 1975 г. [127]. По этим Правилам требуется, чтобы для всех морских судов длиной 90 м и более момент сопротивления мидельского сечения эквивалентного бруса (определяемый с учетом расчетного волнового вертикального изгибающего момента и наибольшего возможного изгибающего момента на тихой воде) был не менее получаемого по формуле (см<sup>2</sup>)

$$W = \frac{L}{7} [A_1 A_{21} L^2 B (\beta + 0,7) + A_2 M_{21}], \quad (4.56)$$

Кроме того, момент сопротивления в мидельском сечении корпуса судна, соответствующий изгибу в продольной вертикальной плоскости, должен быть не меньше так называемого минимального момента сопротивления, определяемого формулой (см<sup>2</sup>)

$$W_{min} = \frac{L}{7} A_2 c_1 L^2 B (\beta + 0,7). \quad (4.57)$$

В формулах (4.56) и (4.57) обозначено:  $L$  — длина судна между перпендикулярами, м; ее не следует принимать более 0,97 длины по ватерлинии, соответствующей легкой грузовой марке;  $B$  — теоретическая ширина судна, м;  $\beta$  — коэффициент общей наклейки судна, который не должен приниматься меньше, чем 0,50;  $M_{21}$  — наибольший возможный изгибающий момент на тихой воде, тс·м, определенный в соответствии с указаниями Правил;  $f$  — коэффициент прочности стали корпуса, зависящий от ее предела текучести и определяемый табличкой:

Предел текучести, кгс/см <sup>2</sup>	24	27	32	36	40
$f$	1,0	1,08	1,28	1,39	1,43

(Приведенные значения  $f$  примерно на 5% меньше указанных в Правилах 1970 г.);  $c^2 = 1,0$  — для палубы и донца сухогрузных судов и для донца танкеров с двойным дном и  $c_1 = 1,03$  — для палубы всех танкеров и для донца танкеров с одинарным дном;  $c_2 = 10,75 - \left(\frac{300-L}{300}\right)^{1/2}$  — для судов длиной  $L \leq 300$  м и  $c_2 = 10,75$  — для судов с  $L \geq 300$  м.

В Правилах приведена также таблица значений  $c_2$ , представляющих собой расчетную эффективную высоту волны с обеспеченностью  $10^{-4}$  (м).

$L$ , м	90	100	120	140	160	180
$c_2$ , м	7,71	7,92	8,34	8,73	9,09	9,44
$L$ , м	200	230	240	260	280	300 и более
$c_2$ , м	9,75	10,08	10,29	10,50	10,66	10,75

Для удобства сопоставления требований Норвежского Веритаса с соответствующими требованиями Регистра СССР отметим, что  $c_2$  по  $2L^{0,2}$  с погрешностью завышения не более 0,5%;  $A_1$  и  $A_2$  — коэффициенты, зависящие от авлаки момента на тихой воде; их значения приведены в табл. 50;  $A_2$  — коэффициент, ко-

Таблица 50

Коэффициенты  $A_1$  и  $A_2$  (Норвежский Веритас)

Тип авлаки на тихой воде	Сеть авлаки	$A_1$	$A_2$
Передний	Палуба	0,476	75
	Донце	0,452	79
Прочий	Палуба	0,476	70
	Донце	0,500	75

торый учитывает авлаки на требуемый момент сопротивления корпуса судна  $W$  при изгибе относительно горизонтальной нейтральной оси действительного значения момента сопротивления мидельского сечения  $W_2$  при изгибе относительно вертикальной нейтральной оси. При  $W_2 \geq 1,05W$  коэффициент  $k_2 = 1$ ; если же  $W_2 < 1,05W$ , то  $k_2$  определяется по следующей формуле:

$$k_2 = \frac{1}{\sqrt{1 - \left(0,4 + \frac{L}{100}\right)^2 \left[\left(\frac{W}{W_2}\right)^2 - 0,91\right]}}. \quad (4.58)$$

Для морских сухогрузных судов, корпуса которых делаются из обычной судостроительной стали с пределом текучести 24 кгс/см<sup>2</sup>, значения коэффициентов  $f = 1,0$  и  $c_2 = 1,0$ , и для танкеров формула (4.56) может быть записана в виде (см<sup>2</sup>)

$$W = A_2 (M_2 + M_{21}), \quad (4.59)$$

где  $M_2$  — расчетный волновой изгибающий момент (тс·м):

$$M_2 = \frac{h_2}{k_2} c_1 L^2 B (\beta + 0,7). \quad (4.60)$$

Поскольку между моментом сопротивления балки ( $\text{см}^4$ ), расчетным изгибающим моментом ( $\text{тс}\cdot\text{м}$ ) и допускаемыми напряжениями ( $\text{кгс}/\text{см}^2$ ) существует зависимость

$$W = \frac{M \cdot 10^6}{\sigma_{\text{доп}}}$$

то из формулы (4.59) видно, что в Правилах Норвежского Верфаса при расчете момента сопротивления сеченая эквивалентного бруса по суммарному изгибающему моменту допускаемое напряжение для обычной судостроительной стали принимается ( $\text{кгс}/\text{см}^2$ )

$$\sigma_{\text{доп}} = \frac{10^6}{k_2}$$

т. е. равно 1330  $\text{кгс}/\text{см}^2$  при  $k_2 = 75$  и 1430  $\text{кгс}/\text{см}^2$  при  $k_2 = 70$ .

Из сравнения формулы (4.57) и (4.60) видно, что при определении минимального момента сопротивления учитывается только волновой изгибающий момент. В этом случае допускаемые напряжения, определяемые делением  $M_{\text{в}}^{\text{в}}$  на  $W_{\text{в}}$ , оказываются равными ( $\text{кгс}/\text{см}^2$ )

$$\sigma_{\text{доп}} = \frac{k_1 10^6}{k_2}$$

т. е. они в  $k_1$  раз меньше допускаемых напряжений, соответствующих расчету по суммарному изгибающему моменту; их значения находятся в пределах от 630 до 680  $\text{кгс}/\text{см}^2$ .

По Правилам Норвежского Верфаса необходимый момент сопротивления мидельного сечения корпуса судна должен быть не меньше большего значения, определяемого по формулам (4.56) и (4.57). Какая из этих формул дает большее значение, зависит от соотношения между значениями волнового вертикального изгибающего момента и момента на тихой воде. Приравняв правые части этих формул и учитывая формулу (4.60), получим условие, соответствующее одинаковым значениям момента сопротивления по обеим формулам:

$$M_{\text{в}} = \left( \frac{1}{k_2 k_1} - 1 \right) M_{\text{в}}$$

При  $k_2 = 1$  значения  $M_{\text{в}}$  равны  $1,0M_{\text{в}}$ ;  $1,1M_{\text{в}}$  или  $1,2M_{\text{в}}$  соответственно, при  $k_1 = 0,500$ ,  $0,676$  или  $0,652$ . Если  $M_{\text{в}} \geq \Sigma (1,0 - 1,2)M_{\text{в}}$ , то определяющей является формула (4.56), а в противном случае определяющей будет формула (4.57).

Учитывая поправки на корпусов сравнительно быстроходных морских судов от бортового элемента (см. § 26), Правила вводят временные дополнительные требования для судов, у кото-

рых коэффициент формы носовой оконечности  $c_A \geq 1,5$ . Этот коэффициент равен

$$c_A = 0,8 \frac{v}{V \Delta} + \frac{15A}{L \Delta} \quad (4.61)$$

где  $v$  — эксплуатационная скорость судна, уз;

$$A = A_0 - A_{\text{вн}}$$

$A_0$  — горизонтальная проекция площади верхней палубы (включая палубу бака),  $\text{м}^2$ ;  $A_{\text{вн}}$  — площадь затерянной в нос от сечения, отстоящего на 0,2 от НП (при осадке по летнюю грузовую марку),  $\text{м}^2$ .

Эти временные требования не предусматривают увеличения момента сопротивления мидельного сечения, соответствующего формулам (4.56) и (4.57), но считаются необходимыми, чтобы моменты сопротивления при изгибе относительно горизонтальной и вертикальной осей в различных сечениях по длине судна были не меньше указанных в следующей таблице (в % от значений в мидельном сечении):

Теоретическое сечение	18	16	14	12	10 (мидель)	8	6	4	2
$W/W_{\text{вн}}$	30	30	37	36	100	97	93	80	45
$W_y/W_{y \text{ вн}}$	20	30	75	93	100	95	85	60	20

(В норвежских Правилах, как и в английских, отсчет теоретического сечения ведется от кормового перпендикуляра.)

Нормирование значительных моментов сопротивления сечений корпуса судна необходимо во избежание повреждений продольных связей корпуса от общих пластических деформаций, вызванных продольными нормальными напряжениями. Однако это нормирование недостаточно для обеспечения надежности корпуса, так как его повреждения могут происходить и по ряду других причин (недостаточная изгибная жесткость корпуса; большие касательные напряжения; потеря устойчивости листов и балок судовых перекрытий при сжатии; большая местная концентрация напряжений, обусловленная недостатком выским качеством проектирования и изготовления конструктивных узлов).

Поэтому в Правилах кроме нормативов момента сопротивления эквивалентного бруса приводятся много других требований, выполнение которых необходимо во избежание повреждений корпуса по перечисленным выше причинам. Здесь мы не имеем возможности рассматривать все эти требования. Отметим лишь следующие наиболее оригинальные нормативы норвежских Правил, относящиеся непосредственно к общей прочности корпуса судна.

Момент инерции эквивалентного бруса относительно горизонтальной нейтральной оси, не должен быть менее определяемой формулой (см<sup>4</sup>)

$$I = 3WF_0L,$$

где  $W_0$  — момент сопротивления корпуса относительно палубы, см<sup>4</sup>.

Касательные напряжения от переизгибающей силы в листах борта и продольных переборках не должны быть более 1100 кгс/см<sup>2</sup>.

В Правилах указывается, как должны определяться значения критических напряжений для листов и балок набора судовых переборок, и приводятся нормы этих напряжений. В табл. 51 приведены временные нормы критических напряжений  $\sigma_{cr}/f$  ( $f$  — коэффициент прочности стали) в конструкциях быстроходных судов, для которых коэффициент  $c_d$  по формуле (4.61) равен 1,5 или больше этого значения.

Таблица 51

Критические напряжения  $\sigma_{cr}$  (кгс/см<sup>2</sup>) для конструкций скоростных судов (Норвежской Верфас)

Наименование конструкции	$c_d$	Работ корпуса	
		в пределах 0,1L в средней части судна	в остальной, отстоящей не более 0,1L от носовой переборки
Настел верхней палубы, вертикальный киль, обшивка донца	1,5	1300	900
	$\geq 2,0$	1800	1400
Обшивка борта на протяжении 0,15 высоты борта от верхней палубы, настел нулевого дна, днищевые стронеры	1,5	1100	700
	$\geq 2,0$	1600	1200
Продольные балки (ребра) верхней палубы, борта на протяжении 0,15 высоты борта от верхней палубы и от нижней леяны; продольные балки донца и нулевого дна	1,5	1400	1100
	$\geq 2,0$	1900	1500

Относительно принятого в норвежских Правилах расчетного волнового вертикального изгибающего момента целесообразно привести следующие общие пояснения, сделанные на Третьем Международном конгрессе по конструкции судов (1967 г.).

Волновые нагрузки (изгибающие моменты и переизгибающие силы) в Правилах основываются на эмпирической корреляции между размерами судна и волновыми нагрузками, полученными

на основании натуральных измерений, модельных испытаний и расчетов на компьютерах.

В последние годы были произведены обширные изучения волновых возмущений и движений, основанные на математической статистике и использовании техники линейной суперпозиции. По специальным компьютерным программам подсчитывались долговременные статистические распределения переизгибающих, ускорений, давлений, вертикальных переизгибающих сил и изгибающих моментов в различных сечениях по длине судна. Амплитудно-частотные характеристики подсчитывались по другим программам исходя из теории плоского обтекания. Кратковременные распределения волновых нагрузок определялись по соответствующим энергетическим спектрам морского волнения. Долговременные распределения волновых нагрузок определялись комбинацией краткосрочных распределений и семейств волновых спектров, характеризующих долговременное волнение. Изучалось влияние скорости судна с учетом уменьшения скорости на волнении. Изучалось влияние курсового угла с учетом углового рассеивания энергии волн. Принимались во внимание статистические характеристики волнения для различных морских зон и исследовались различные формы спектров волнения. Сравнение результатов этих расчетов с результатами модельных испытаний и натуральных измерений показало хорошую их согласованность. Были установлены следующие зависимости между волновыми нагрузками и размерами судна:

для волнового вертикального изгибающего момента

$$M_w = k_w B L^{2,2} (c_s + 0,7);$$

для волновой вертикальной переизгибающей силы

$$Q_w = k_w B L^{1,5} (c_s + 0,7),$$

где  $k_w$  — постоянный коэффициент, но его значения для верфей и ходовых волн различны;  $k_{wc}$  — коэффициент, изменяющийся по длине судна.

Выбор постоянного, не зависящего от длины судна уровня номинальных напряжений приводит в результате к некоторому небольшому уменьшению вероятности поврежденной судна с увеличением  $L$ . Такое уменьшение вероятности считается оправданным, поскольку стоимость судна и груза при увеличении размеров судов возрастает.

Изменение стандартов прочности судов (1855—1965 гг.). Первые стандарты прочности для железных судов были установлены в Правилах Регистра Lloyd в 1855 г. на основе отбора конструкций «удачно» и «неудачно» эксплуатировавшихся в то время судов. В дальнейшем по мере увеличения размеров морских судов стандарты их прочности экстраполировались, считаясь часто эмпирически, а затем и с некоторым теоретическим

обоснованием, которое в настоящее время достигло уже значительной степени совершенства.

Успех судостроения достигнуты в результате углубления практических и теоретических знаний о воздействии морского волнения на судно и о реакциях корпуса судна на эти воздействия. Еще и сейчас остается много неисследованного в вопросах

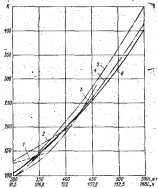


Рис. 134. Изменение стандартов общей прочности судогрузных судов.

1 — до 1880 г.; 2 — в 1880—1900 гг.; 3 — в 1880—1900 гг.; 4 — в 1900—1910 гг.; 5 — в 1910—1920 гг.; 6 — минимума 1920 г.

прочности и надежности корпусов морских судов. В прошлом их было значительно больше. В настоящее время более широкий практический опыт эксплуатации судов и более глубокие теоретические знания дают возможность с большой достоверностью устанавливать стандарты прочности, чем это было ранее.

Для кораблестроителя большой интерес представляет рассмотрение количественных изменений стандартов прочности судов за последние 100 лет. На рис. 134 и 135 приведены результаты исследования Дж. Мерри [109] в виде диаграмм изменения стандартов общей прочности для судогрузных судов и тринке-

ров. На этих рисунках показаны изменения относительной величины минимального момента сопротивления  $W_{min}$  (дюйм<sup>2</sup>·фт)

$$K = \frac{W_{min}}{L(C_s + 0,7)}$$

в зависимости от длины судна. Для судов постройки прежних лет определялись средние значения  $K$ , соответствующие типам и размерам судов.

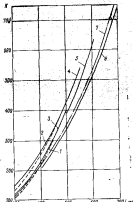


Рис. 135. Изменение стандартов общей прочности танкеров (осадка 2,062).

1 — 1884 г., 2 — 1884 г., система выбора минимума; 2 — 1904 г., 2 — 1904 г., легкая система определения; 3 — 1904 г., 1 — 1904 г., средняя система; 4 — 1904 г., 2 — 1904 г., система выбора минимума; 5 — 1904 г., 2 — 1904 г., средняя система; 6 — 1904 г., минимума.

Анализируя эти данные, Дж. Мерри сделал следующий общий вывод: «Можно видеть, что в течение долгого времени стандарты колебались, но все-таки не отклонялись радикальным образом от уровня, установленного много лет назад для малых судов. С увеличением размеров судов, заменив место все эти годы, изменялся лишь знак экстраполяции. До 1885 г. среднее значение  $W$  изменялось пропорционально  $L^{1,4}$ , с 1889—1909 гг. — пропорционально  $L^{1,6}$ . В 1909 г. была принята пропорциональность  $L^{1,5}$ , а в настоящее время  $W$  изменяется пропорционально  $L^{1,5}$ ».

До последнего времени увеличение размеров судов было постепенным... теперешнее быстрое увеличение размеров сделалось возможным благодаря более научным методам эксплуатации. Тем не менее надо отметить, что новые методы дают результаты, которые очень близки (разрядка наша.— Н. Ц.) к тем, что развивались эмпирически.

Стандарт общей прочности танкаров с продольной системой набора, уменьшенный с 1924 г., в настоящее время приблизился к стандарту для сухогрузных судов.

#### § 44. Обеспечение общей прочности корпуса по критериям прочности

Академик С. П. Королев любил повторить: «Данные должны быть либо правдивыми, либо официальными». За кажущейся парадоксальностью этого утверждения скрыт глубокий философский смысл. Процесс познания бесконечен, познаются все новые «правдивые данные» — результаты экспериментально-теоретических исследований, апробированные практикой. Однако на каждом этапе бесконечного процесса возникают новые закономерности (аксиомы истины) закрепляются в общей системе знаний, составляют фундамент для практической их реализации в науке и технике. Это и есть «официальные данные», формулируемые применительно к различным отраслям техники в нормативных документах.

Нормативные документы, предназначенные для использования без изменений лишь в течение определенного отрезка времени, сразу же после их создания начинают отставать от нового уровня знаний, так как накопление знаний непрерывно. Разумеется, степень этого отставания определяется темпом роста знаний и может быть различной на разных этапах существования официальных нормативных документов. Этим, в частности, определяется частота пересмотра нормативных документов и мера их совершенства.

В судостроении «официальные данные» сформулированы в Правилах постройки судов, которые, как об этом уже говорилось выше, отражают опыт проектирования и постройки большого числа судов, а также результаты теоретического осмысления закономерностей, действующих в сложной системе «судно—эксплуатация». Сравнительно медленное накопление знаний в этой области до середины 50-х годов и сохранение традиционных типов судов позволяло сохранять без существенных изменений структуру требований Правил к надежности корпусных конструкций, когда размеры связей определялись только по глав-

ным размерением. Изменение общего расположения, нагрузки и скорости судов, внедрение сварки, применение продольной системы набора корпуса стимулировали расширение исследований и отражение их результатов в Правилах постройки судов.

В 1954—1955 гг. английский Регистр Ллойдс и Норвежский Веритас ввели в свои Правила постройки к площадям расчетных палуб сухогрузных судов, учитывая особенности общего расположения, нагрузки и скорости судов. В 1958—1960 гг. эти классификационные общества узаконили определение моментов сопротивления эквивалентного бруса корпуса судов в зависимости от шагабашных моментов на тихой воде и от волнового изгибающего момента.

В 60-х годах в Правилах находят отражение результаты применения вероятностных методов анализа внешней сил, которые позволяли более обоснованно и решительно, чем это делалось ранее, экстраполировать требования Правил при проектировании судов большой длины.

Современные требования Правил к стандарту прочности судов были подробно рассмотрены выше (см. § 43). Как уже отмечалось, несмотря на отличия в разных Правилах, основные их требования в среднем хорошо согласуются между собой, а опыт успешной эксплуатации судов, построенных по этим Правилам, свидетельствует о жизнестойкости и обоснованности Правил.

Однако число факторов, учитываемых Правилами в требованиях к прочности судов, зачастую оказывается недостаточным для обеспечения надежности судов, отличающихся по типу, размерению, скорости и другим характеристикам от типовых судов, на которые ориентированы требования Правил. Более того, волеуниверсальный характер этих требований затрудняет их использование при проектировании нетиповых судов.

Все это делает необходимым раскрытие функциональной взаимосвязи закономерностей, определяющих прочность и надежность корпуса, с характеристиками корпуса судна и условиями его эксплуатации. Установление такой функциональной связи в явном виде позволит более дифференцированно и обоснованно решать вопросы обеспечения прочности судов, позволять учитывать особенности их корпуса и условия эксплуатации.

Эти новые зависимости — очередной шаг в научном закономерности природы. Они позволяют также совершенствовать требования к стандартным судам, уменьшая число отражаемых в Правилах неопределенностей. Наконец, использование выявленных закономерностей при проектировании судов новых типов и накопление опыта их эксплуатации создают основу для включения требований к проектированию новых судов в Правила, разумеется, при отражении особенностей новых судов.

Фактической основой для установления зависимостей между размерами связей корпуса и параметрами, характеризующими особенности судна и условия его эксплуатации, служат критерии

<sup>1</sup> Голованов Д. Яварский гном.— «Колхозовская правда», 1975, 12 января.

прочности. Так называется аналитическое условие, связывающее характеристики нагруженности корпуса с параметрами его опасного состояния. В соответствии с рассмотренными выше (см. § 41) основными состояниями корпуса в принципе можно сформулировать критерии усталостной, хрупкой и пластической прочности.

Дальнейшее обсуждение (оно не завершено и сейчас) вопроса о критериях прочности судового корпуса показало, что существуют различные точки зрения на необходимость и возможность формулирования критериев прочности, на их значимость при обосновании общей прочности корпуса, на конкретные формы их анализа.<sup>1</sup>

Эти различия вызваны сложностью явлений и условий, которые определяют требования к конструктивным размерам связей судового корпуса, и необходимостью включать в рассмотрение большой объем разнородной информации, полнота и достоверность которой не всегда удовлетворяет исследователей. Обстоятельные трудности проблемы приводят к тому, что «...формулируемые приближенные критерии не в состоянии гарантировать достоверность абсолютных оценок и могут рассматриваться лишь в качестве некоторых обобщенных условных измерителей. Их основное назначение — установить функциональные закономерности относительного изменения требований к прочности конструкций при изменении параметров эксплуатационного нагружения в связи с изменением размеров корпусов судов, их конструктивных особенностей, материала, условий эксплуатации и т. д.» [5, с. 115]. Отметим, что этот вывод — один из немногих, с которым согласованы все изучаемые вопросы о критериях прочности. Почти все разделяют и другой вывод: в настоящее время практическое значение могут иметь два критерия — предельной и усталостной прочности — при комплексном учете вероятности хрупких повреждений.

И, наконец, последнее. Различия в подходах к формулированию и использованию критериев прочности, вызванные сложностью изучаемой проблемы, не могут быть устранены чисто логически. Только детальной разработкой приближенных моделей, отражающих основные черты исследуемых явлений и согласующихся с результатами изучения опыта судостроения, широким применением этих моделей для обоснованного выбора размеров связей корпусов судов и практической проверкой надежности конструкций могут послужить оценкой истинности предлага-

емых критериев прочности. «The proof of the pudding is in the eating» (см. с. 343).

Поэтому ниже мы рассмотрим те формулировки критериев прочности корпуса, которые нашли практическое воплощение в новых «Нормах прочности морских судов», разработанных в основном в ЦНИИ им. акад. А. Н. Крылова<sup>2</sup> и принятых Регистром СССР для использования при проектировании корпусов судов с целью апробирования и последующего применения в качестве нормативного документа, наряду с Правилами постройки судов.

**Критерий усталостной прочности.** Усталостная прочность (долговечность) определяется переменными нагрузками, действующими на корпус судна в течение всего срока его службы, и работоспособностью узлов корпусных конструкций, напряженных в состоянии которых создается эти нагрузки.

Опасное состояние конструкции в этом случае — появление и распространение усталостной трещины. Аналитическое условие, определяющее появление опасного состояния конструкции, должно, очевидно, включать параметры нагрузок и длительность их действия, механические характеристики материала и геометрические размеры конструкции.

Формулировка этого аналитического условия может быть дана в двух видах, представляющих практический интерес: либо как зависимость времени, по истечению которого возникает усталостная трещина, от всех остальных параметров, либо как требование к геометрическим размерам конструкции, необходимым для предотвращения трещины. Поскольку выполнение второго условия обеспечивает прочность конструкции, его и естественно принять в качестве критерия усталостной прочности.

Формулировка этого критерия связана с большими трудностями, вызванными недостаточной определенностью как физических закономерностей процесса подготовки и развития усталостных повреждений, так и параметров, его определяющих. Переменные нагрузки на корпус судна и механические характеристики материала — случайные величины, поэтому и время до появления усталостной трещины (усталостная долговечность) представляет собою случайную величину, для которой существует распределение вероятностей. Однако практическая оценка распределенной вероятностей затруднительна, поэтому приходится ограничиваться рассмотрением детерминированных значений основных параметров, определяющих усталостную прочность, при практически возможном их неблагоприятном

<sup>1</sup> См. работы [4; 5; 19; 22; 38; 43; 38; 66; 124], а также Курдюмов А. А. Применение статистического метода в строительной механике корабля. Л., ЛКИ, 1962.

<sup>2</sup> Веделин В. П. О критериях предельной прочности судового корпуса. — Научно-технический сборник Регистра СССР, 1973, вып. 3, с. 221—225. Proceeding of the 5-th ISSC, Hamburg, 1973.

<sup>3</sup> Подробное обоснование использования при этом критерия прочности и название содержания «Норм прочности морских судов» приведено в работе [3]—[5].

<sup>4</sup> См. также Бойцов Г. В. О проекте новых «Норм прочности морских судов» — В сб. ОТ судостр. Проблемы прочности крупнотоннажных судов 1973, вып. 228, с. 4—14.

сочетании. Такой подход делает заведомо недостоверным абсолютные расчеты оценки устойчивости долговечности, позволяя использовать их лишь для сопоставительного анализа прочности конструкций, имеющих равные расчетные значения устойчивости долговечности. Получение таких значений основано на следующих предположениях (их обсуждение см. в § 41).

Предполагается, что усталостное разрушение элемента конструкции или узла при изменении напряжений в пределах каждого цикла по закону, близкому к гармоническому с переменной амплитудой, происходит при условии

$$\sum_{i=1}^n \frac{n(\sigma_i)}{N_k(\sigma_i)} \approx 1, \quad (4.62)$$

где  $n(\sigma_i)$  — фактическое число циклов нагружения элемента или узла при напряжениях с номинальной амплитудой  $\sigma_i$ ;  $N_k(\sigma_i)$  — предельное число циклов нагружения при этих же напряжениях, которое связано с появлением усталостного повреждения.

На основании аппроксимации результатов усталостных испытаний конструктивных узлов установлена возможность представления исходного участка усталостной кривой  $N_k(\sigma)$  в виде

$$N_k(\sigma) = N_0 \left( \frac{\sigma_0}{\sigma} \right)^m, \quad (4.63)$$

где  $N_0$  — число симметричных циклов нагружения, равное  $\sim 2 \cdot 10^6$ , соответствующее на усталостной кривой напряжением  $\sigma_0$  — эквивалентному пределу усталости материала или его сварного соединения при наличии в них локальных дефектов тела предельно острых концентраторов.

Для обычных углеродистых сталей конструктивных сталей с пределом текучести  $\sigma_{0.2} = 2400$  кгс/см<sup>2</sup> и с пределом прочности  $\sigma_{0.2} = 4100$  кгс/см<sup>2</sup> этот неограниченный предел усталости материала равен  $\sigma_{0.2}^* = 700$  кгс/см<sup>2</sup>; для низколегированных сталей номинальной прочности он увеличивается пропорционально  $\sqrt{\frac{\sigma_{0.2}}{4100}}$ .

Отношением  $\sigma_{0.2}^*/\sigma_{0.2}$  определяется также показатель степени в формуле (4.63), равный  $m = 3 \rightarrow 4$ .

Обобщенный предел усталости конструктивного узла  $\sigma_{-1}$  в отличие от  $\sigma_{0.2}^*$  определяется с учетом эффективного коэффициента концентрации напряжений  $\alpha$  и средних напряжений цикла  $\sigma_c$ :

$$\sigma_{-1} = \frac{\sigma_{0.2}^*}{\alpha} \varphi(\alpha), \quad (4.64)$$

Функция  $\varphi(\alpha)$ , учитывающая асимметрию циклов нагружения, на основе аппроксимации экспериментальных данных [35] может быть представлена в виде

$$\varphi(\alpha) = 1 - \alpha \frac{\sigma_c}{\sigma_{0.2}}, \quad (4.65)$$

где  $\alpha = 0.3 + 0.4$  — коэффициент чувствительности к средним напряжениям цикла. Его значение несколько увеличивается при повышенных средних напряжениях.

Эффективный коэффициент концентраций напряжений для конструктивного узла равен отношению

$$\alpha = \frac{\sigma_{-1}^*}{\sigma_{-1}}, \quad (4.66)$$

где  $\sigma_{-1}^*$  — предел усталости узла при числе симметричных циклов нагружения, равном  $N_0$ .

Как следует из расчетного анализа, значений  $\alpha$ , при которых принципиально возможны усталостные повреждения, должны быть не менее 2—2.5. По данным усталостных испытаний натурных узлов конструкций, изготовленных в соответствии с требованиями Правил постройки кораблей, установлено, что действительные эффективные коэффициенты концентрации не превосходят этих значений.

Составление (4.62) формулирует гипотезу линейного суммирования повреждений при нестационарном нагружении напряжениями, амплитуды  $\sigma$  и число циклов  $n(\sigma)$  которых являются случайными величинами. Амплитуды реальных напряжений, характеризующих нестационарное нагружение конструкции за время ее эксплуатации, являются непрерывными случайными величинами с долговременным распределением  $p(\sigma)$ . Тогда условие (4.62) преобразуется к интегральному виду:

$$\int_0^{\infty} \frac{N_0 p(\sigma) d\sigma}{N_k(\sigma)} = 1, \quad (4.67)$$

где  $N_0$  — предельное число циклов нестационарного нагружения до появления усталостного повреждения.

Средняя длительность циклов может быть принята равной

$$T_c = \frac{\sum_{i=1}^n p_i r_i^m}{\sum_{i=1}^n p_i r_i^{m-1}}, \quad (4.68)$$

где  $\sigma_{\sigma_i}$  — стандарт (среднеквадратичное отклонение) напряжений в рассматриваемой связи корпуса при плавании на  $i$ -м стационарном режиме волнения;  $T_{\sigma_i}$  — эффективный период этих напряжений (он близок к среднему периоду волнения);  $p_i$  — вероятность плавания на  $i$ -м режиме.

Очевидно, время до появления усталостного повреждения (усталостная долговечность  $T_y$ ) равно произведению среднего

периода цикла на число циклов, т. е. при учете (4.67) найдем:

$$T_r = T_s N_s = \frac{T_s}{\int_0^{\sigma} \frac{f(\sigma)}{N_s(\sigma)} d\sigma} \quad (4.69)$$

Если принять долговременное распределение напряжений в форме закона Вейбулла [см. формулы (1.17) — (1.19)] и учесть формулу (4.63), получим расчетную формулу усталостной долговечности:

$$T_r = N_0 T_s \theta \left( \frac{\sigma_r}{\sigma_a}, k \right), \quad (4.70)$$

где  $\theta$  — функция, зависящая от обобщенного предела усталости  $\sigma_r$  и от параметров  $a$  и  $k$  закона Вейбулла (ее графики приведены в [24]).

Абсолютное значение усталостной долговечности, определенное формулой (4.70), зависит от следующих показателей:

условий эксплуатации судна (она характеризуется долговременным распределением интенсивности волнения);

размеров судна (с ними связаны волновые нагрузки и геометрические характеристики корпуса при вычислении напряжений, соответствующих волновым нагрузкам напряжений; при учете только вертикального волнового изгибающего момента размерения судна определяют максимальный момент сопротивления сечения корпуса  $W_{\text{вн}}$ );

усталостных характеристик материала корпуса и конструктивных узлов, значения которых были приведены выше.

Уравнение (4.70) можно решить относительно  $W_{\text{вн}}$ . Задавая условия плавления, усталостными характеристиками, значениями долговечности и наружу размерения судов (например, длину судна  $L$  при сохранении соответствий главных размерений), можно вычислить значения моментов сопротивления  $W_{\text{вн}}(L)$ , обеспечивающие при принятых параметрах требуемую усталостную долговечность корпусных конструкций судов разной длины.

Однако результаты такого назначения требований к прочности корпуса при условии равенства запасов усталостной прочности могут быть использованы лишь для составления прочности судов разной длины. Абсолютные же показатели требований к усталостной прочности корпуса должны быть установлены на основании анализа опыта эксплуатации судов, который отражен в статистике поврежденной и учитывается Правилами классификационных обществ.

Как показывает анализ опыта эксплуатации, больше всего повреждений происходит на судах длиной 100—130 м, что свидетельствует о наименьших запасах усталостной прочности судов таких размеров. Расчеты, выполненные по формуле (4.70)

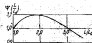
для судов разных длин, моменты сопротивления которых соответствуют Правилам, также показали, что наименьшие расчетные значения усталостной долговечности получены для судов длиной 100—130 м. Поэтому регламентируемые Правилами минимальные значения момента сопротивления  $W(L_0)$  корпусов таких судов могут быть приняты в качестве основы при составлении усталостной прочности судов разных длин.

Относительные значения минимальных моментов сопротивления

$$\frac{W_{\text{вн}}(L)}{W_{\text{вн}}(L_0)} = \Psi \left( \frac{L}{L_0} \right) \quad (4.71)$$

для судов разной длины, соответствующие условию равной усталостной долговечности их корпусов, показали на рис. 136 (здесь для определенности принято значение  $L_0 = 100$  м).

Рис. 136. Относительные значения минимального момента сопротивления корпуса судна разной длины при равной их усталостной долговечности.



«Базовое» значение  $W_{\text{вн}}(L_0)$  можно, как известно, представить в виде

$$W_{\text{вн}}(L_0) = \frac{M_s^0(L_0)}{\sigma_a}, \quad (4.72)$$

где  $M_s^0$  и  $\sigma_a$  — связанные между собой расчетные значения вертикального волнового изгибающего момента и допускаемых напряжений соответственно.

Изгибающий момент можно выразить через высоту  $h_{\text{эк}}$  эквивалентной волны (см. § 7):

$$M_s^0(L_0) = \gamma \frac{\lambda_{\text{эк}}^3}{2} \cdot c_{\text{вн}}^{\text{вн}} \theta L^2. \quad (4.73)$$

Тогда расчетная высота эквивалентной волны, определяющая «базовое» значение минимального момента сопротивления, будет равна

$$h_{\text{эк}}^0(L_0) = \sigma_a \frac{2W_{\text{вн}}(L_0)}{\gamma c_{\text{вн}}^{\text{вн}} \theta L^2}, \quad (4.74)$$

Поскольку изгибающий момент  $M_s^0(L_0)$  пропорционален допускаемым напряжениям  $\sigma_a$ , а момент сопротивления  $W_{\text{вн}}(L_0)$  обратно пропорционален  $\sigma_a$ , то напряжения  $\sigma_a$  могут быть

\* Такой вывод получен также А. Н. Мизонюкми [38].

произвольными по абсолютной величине. Для сохранения физического смысла используемых в критерии величин принимают значения допускаемых напряжений в несколько преобладающих предел усталости конструктивных сталей  $\sigma_{\sigma_1}$  и равным (с учетом асимметрии цикла)

$$\sigma_2 = \frac{\sigma_{\sigma_1} \gamma (\sigma_2)}{\gamma} \quad (4.75)$$

где

$$\gamma = \frac{W_{min}(L_2)}{W_{min}(L_1)} \quad (4.76)$$

коэффициент относительного уменьшения момента сопротивления корпуса при применении стали повышенной прочности по сравнению с величиной  $W_{min}^1(L_1)$ , установленной Правилами при применении обычной судостроительной стали.

Подставляя в формулу (4.74) допускаемые напряжения по (4.75) и (4.76) и численные значения  $\sigma_{\sigma_1} = \frac{W_{min}(L_1)}{BL^2}$  и  $\frac{\sigma_{\sigma_1}}{\sigma_2}$  можно получить значение расчетной эквивалентной высоты  $k_{\sigma_2}^*(L_2)$  от 5 и при  $L_2 = 100$  м.

Записывая аналогичное (4.72) соотношение

$$W_{min}(L) = \frac{M_{\sigma_2}^*(L)}{\sigma_2} \quad (4.77)$$

и подставляя в него формулы (4.71)–(4.73), найдем расчетную высоту эквивалентной волны для судна длиной  $L$ :

$$k_{\sigma_2}^*(L) = k_{\sigma_2}^*(L_2) \Psi \left( \frac{L}{L_2} \right) \quad (4.78)$$

которая определяетгибающий момент  $M_{\sigma_2}^*(L)$  в формуле (4.77).

Формулу для допускаемых напряжений (4.75) можно, учитывая (4.65), представить в виде

$$\sigma_2 = \sigma_1 \left( 1 - \gamma \frac{\sigma_2}{\sigma_1} \right) \quad (4.79)$$

где значения  $\sigma_1$  и  $\gamma$  конкретизируются исходя из условия согласования критерия усталостной прочности с требованиями Правил (см. выше).

Тогда (4.77) можно преобразовать к виду

$$W_{min}(L) = \frac{M_{\sigma_2}^*(L)}{\sigma_2} + \gamma \frac{M_{\sigma_2}^*(L)}{\sigma_1} \quad (4.80)$$

где  $M_{\sigma_2}^*(L) = \sigma_2 W_{min}(L)$  —гибающий момент на тихой воде, соответствующий средним напряжениям  $\sigma_2$ .

Условие (4.80) и служит критерием усталостной прочности корпуса.

При формулировании приведенных выше требований к усталостной прочности корпуса учитывается и наличие переменных нагрузок только вертикальной волновой нагибающий момент. Наличие других составляющих переменной нагрузки (низкочастотных — горизонтального изгибающего и крутящего моментов, высокочастотных — от slamming и волновой вибрации) может быть учтено введением поправочных коэффициентов к расчетной высоте волны (4.78) или к допускаемым напряжениям (4.79). В последнем случае формула для обобщенных допускаемых напряжений получит следующий вид:

$$\sigma_2^* = k_{\sigma_2}^* k_{\sigma_2}^* k_{\sigma_2}^* \sigma_2 \quad (4.81)$$

где  $k_{\sigma_2}^*$ ,  $k_{\sigma_2}^*$ ,  $k_{\sigma_2}^*$  — коэффициенты, учитывающие влияние низкочастотных нагрузок, slamming и волновой вибрации соответственно.

Все они имеют единичную структуру:

$$k = \frac{k_{корп}}{k_{Форм}} \leq 1,$$

где  $k_{Форм}$  — коэффициент, отражающий функциональную зависимость нагрузок от основных определяющих параметров;  $k_{корп}$  — некоторое нормативное значение коэффициента  $k_{Форм}$  при типовом конструктивном оформлении корпуса судна; оно равно 1,05–1,07, и для явных фактор учитывают лишь при  $k_{Форм} > k_{корп}$ .

Коэффициентом  $k_{\sigma_2}^*$  учитывается повышение напряженности конструкций палуб с большими люковыми вырезами в результате наложения дополнительных напряжений от горизонтального изгиба и кручения корпуса. Его функциональный множитель ( $k_{\sigma_2}^*$ )<sub>палуб</sub> пропорционален увеличению стандарта суммарных низкочастотных напряжений по сравнению со стандартом напряжений от вертикального волнового изгибающего момента (см. § 9).

Коэффициент  $k_{\sigma_2}^*$  учитывает влияние волновой вибрации — увеличение напряженности корпусов сравнительно гибких судов, имеющих к тому же повышенную скорость вагления (см. гл. 8). Его функциональный множитель определяется формулой

$$(k_{\sigma_2}^*)_{\text{вибрац}} = 1 + 0,02 \frac{(10^4 v)^2}{25} \left( \frac{L}{200} \right)^2 \left( \frac{L}{120V} \right)^2 \quad (4.82)$$

где  $\rho = 1,5$  — при бульбовой форме носа судна, а также для скоростных судов с повышенной мореходностью на волнении;  $\rho = 1$  — в остальных случаях;  $\psi$  — отношение момента сопротивления корпуса судна к его значению, полученному согласно

Правилам при применении стали обычной прочности;  $R_T$  — число Фруда, соответствующее скорости судна на встречном волнении интенсивностью

$$A_{3,4} = 6 + 2 \left( \frac{L}{100} - 1 \right)^{1/4},$$

при котором происходит наиболее интенсивное накопление усталостных повреждений;  $L, H$  — длина и высота борта судна соответственно.

Коэффициент  $k_{3,4}$ , учитывающий влияние напряжений от slamming, дает заметную поправку лишь при значительной скорости судна, астивающей для обычных транспортных судов.

**Критерий предельной прочности.** Предельная прочность корпуса определяется его способностью воспринять разовое воздействие экстремальных суммарных нагрузок. Критерий предельной прочности представляет собою аналитическое условие появления при этих нагрузках нормальных напряжений, равных предельной текучести материала корпуса, в крайних (наиболее удаленных от нейтральной оси корпуса) продольных сечениях. Поскольку такое опасное состояние корпуса принято характеризовать предельным моментом  $M_{\text{доп}}$  (см. § 41), критерий предельной прочности получает следующий вид:

$$M_{\text{доп}} \geq k_1 (k_3 M_x + c M_y) + k_2 M_{T,3}^{\text{max}}, \quad (4.83)$$

где  $M_x$  — вертикальный волновой изгибающий момент;  $M_y$  — вертикальный ударный изгибающий момент;  $M_{T,3}^{\text{max}}$  — возмозный в условиях эксплуатации изгибающий момент судна на тихой воде, соответствующий максимальному значению необходимого  $M_{\text{доп}}$ ;  $k_1$  — коэффициент, учитывающий повышение напряженности от действия горизонтального изгиба и кручения;  $c$  — коэффициент, учитывающий особенности суммирования волнового и ударного изгибающих моментов;  $R$  — нормативная обеспеченность (в долговременном распределении за весь срок службы судна) переменных волновых нагрузок;  $k_1, k_2$  — коэффициенты запаса, учитывающие неопределенность оценок как в выражении (4.83) в целом, так и в его составляющих.

Появим основные предположения, на основе которых был сформулирован критерий предельной прочности (4.83).

Совместное долговременное распределение переменных волновых нагрузок, экстремальные значения которых входят в критерий, в настоящее время научно недостаточно. Поэтому предполагается (с погрешностью в безопасную сторону) детерминированная связь между амплитудами волнового изгибающего момента  $M_x$  и первыми после удара амплитудными значениями ударного момента  $M_y$ , что подтверждается экспериментальными данными.

Такое предположение оправдано еще и по следующей причине: как будет показано ниже, в нагрузках, воспринимаемых корпусами крупнотоннажных судов, прочность которых при применении обычной стали регламентируется критерием предельной прочности, роль ударной составляющей сравнительно невелика. Поэтому можно ограничиться рассмотрением долговременного распределения волновых изгибающих моментов и на этой основе оценить экстремальные значения волновых нагрузок.

При такой оценке особого внимания требуют: выбор нормативной обеспеченности  $R$  расчетной волновой экстремальной нагрузки;

уточнение асимптотических свойств долговременного распределения волновых нагрузок (в интервале значений, соответствующих нормативной обеспеченности).

Выбор нормативной обеспеченности  $R$  волновой экстремальной нагрузки определяется тремя разнородными условиями. Рассмотрим их.

1) Вероятность опасного состояния конструкции, связанного с нарушением ее предельной прочности:

$$P_1 (Q^{\text{max}} \geq R) = k_1 P_2^{\text{max}}, \quad (4.84)$$

где  $Q^{\text{max}}$  — случайная величина наибольшей нагрузки, которая может поддействовать на конструкцию за срок ее службы;  $R$  — несущая способность конструкции;  $P_2^{\text{max}}$  — объективно существующая вероятность случайного события  $Q^{\text{max}} \geq R$  (ориентировочно она равна  $10^{-3} + 10^{-4}$ );  $k_1 > 1$  — коэффициент, учитывающий неточность использованных вероятностных методов и исходных данных при назначении нормативной вероятности  $P_2$ .

2) Наибольшая нагрузка  $Q^{\text{max}}$ , которая может вызвать нарушение предельной несущей способности конструкции, образована суммированием трех нагрузок: изгибающего момента на тихой воде, волнового и ударного изгибающих моментов, — каждый из которых является, вообще говоря, случайной величиной. Поэтому нормирование вероятности лишь одной из них — волнового изгибающего момента — вносит дополнительную условность. Эту дополнительную условность можно учитывать, предусматривая увеличение вероятности, определяемой (4.84):

$$P_1 (M_x \geq R - c M_y - M_y^{\text{max}}) = k_1 k_2 P_2^{\text{max}}, \quad (4.85)$$

где  $k_2 > 1$ .

3) Экстремальные значения волновых изгибающих моментов  $M_x^{\text{max}}$  являются случайными величинами, изменчивость которых зависит от долговременного распределения  $P_2$  всей совокупности амплитуд волновых изгибающих моментов и от представляющего практический интерес интервала наибольших значений  $M_x^{\text{max}}$  [89].

Если принять в качестве математического ожидания этого интервала значение  $M_{\text{max}}^*$ , имеющее вероятность  $P(M_{\text{max}}^*) = 1/N$ , где  $N$  — общее число амплитуд волнового изгибающего момента за срок жизни судна, то вероятность экстремальных значений этой нагрузки можно найти по формуле

$$P_1(M_{\text{max}}^* > R - cM_0 - M_{\text{max}}^*) = \frac{k_1 k_2}{N} P_N^{\text{max}}. \quad (4.85)$$

Подставляя в (4.86) ориентировочные значения  $k_1, k_2$  ок. 10 и  $N$  ок.  $(5+10) \cdot 10^7$ , получим оценку нормативной вероятности превышения (обеспечения) максимального значения волнового изгибающего момента, которое выходит в критерий предельной прочности:

$$P = \frac{10}{(5+10) \cdot 10^7} (10^{-5} + 10^{-4}) \approx 10^{-10} + 10^{-11}.$$

Важно подчеркнуть, что эта оценка относится к абсолютным значениям экстремальных нагрузок.

Как уже было отмечено выше, критерия прочности в настоящее время можно использовать только для сопоставительного анализа прочности судов. Одной из причин этого служит приближенность полученного значения  $P_1$  к также недостаточная определенность долговременных распределений волновых нагрузок в области столь малых обеспеченностей. Поэтому в критерии предельной прочности используется существенно большее значение  $P = 10^{-6} - 10^{-4}$ .

Анализ асимптотических свойств долговременного распределения волновых изгибающих моментов, представленных в виде высот эквивалентных волн, в области обеспеченности  $P = 10^{-6}$  позволил сделать следующие основные выводы.

1) Как абсолютные значения высот эквивалентных волн, так и закономерности их относительного изменения в зависимости от длины судна  $L$  в значительной степени определяются влиянием чрезвычайно редких, но в принципе возможных условий волнения [обеспеченности такого волнения имеет порядок  $P(h_{\text{pe}}) \approx 10^{-4}$ ]. Исключение такой возможности при расчетной оценке экстремальных нагрузок приводит к занижению расчетных высот волн для крупнотоннажных судов.

2. Зависимость высот эквивалентных волн от ряда других факторов (изменчивость средних периодов и фазовая структура стационарного волнения, форма амплитудно-высотной характеристики, отклонение асимптотической области распределения волновой нагрузки от закона Релея на стационарном волнении в связи с дальностью) в наибольшей степени проявляется для судов относительно небольшой длины  $L = 150-180$  м и в относительно меньшей степени — для судов большей длины  $L = 200-220$  м.

В критерии предельной прочности должно, очевидно, найти отражение различные нормативы прочности сжатых и растянутых связей корпуса, которое учитывается в Правилах классификационных обществ. Если при сжатии напряжения могут достичь предела текучести благодаря устойчивости продольных связей, то при растяжении возможны хрупкие разрушения уже при напряжениях, меньших предела текучести. Такая возможность предопределяется дефектами конструктивного оформления или несовершенства узлов, появлением и развитием трещин усталости, взаимодействием возникающих температур и т. д. (см. выше § 41).

Если вероятность хрупких разрушений достаточно мала, представляет интерес следующий вопрос: можно ли исключить вероятность хрупкого разрушения растянутых связей, если увеличить момент сопротивления корпуса.

Если же перечисленные выше факторы могут проявиться лишь с малой вероятностью, то дополнительной гарантией хрупкой прочности конструкций может служить некоторое изменение эквивалентности  $W$  от изгибающего момента на тихой воде.

Исследования этих вопросов показало, что для полного исключения хрупких разрушений момент сопротивления корпуса должен быть увеличен на 50—80% и более, что, естественно, не может быть признано рациональным. В то же время повышение [по сравнению с критерием усталостной прочности (4.80)] влияния изгибающего момента на тихой воде на значение момента сопротивления может в значительной мере снизить вероятность хрупких разрушений в растянутых связях при напряжениях, меньших предела текучести. Такое повышение роли изгибающего момента на тихой воде при значениях его, больших некоторого уровня  $M_{\text{т.в.}}^*$ , предусмотрено и в Правилах. Поэтому возможность хрупких повреждений утвита в критерии предельной прочности введением в (4.83) поправочных коэффициентов, несколько уменьшающих расчетное значение предельного изгибающего момента, вычисленного для растянутых связей корпуса, а также несколько повышающих относительную роль изгибающего момента на тихой воде:

$$k_{\text{т.в.}} W_{\text{т.в.}} > k_1 (k_{\text{т.в.}} M_{\text{т.в.}} + c M_0)_{\text{т.в.}} + k_2 \left[ M_{\text{т.в.}}^* + \left| (K_{M_{\text{т.в.}}} - 1) (M_{\text{т.в.}}^* - M_{\text{т.в.}}^*) \right| \right], \quad (4.87)$$

где  $k_{\text{т.в.}} < 1$  — коэффициент для растянутых связей эквивалентного бруса;  $K_{M_{\text{т.в.}}} > 1$  — коэффициент относительного увеличения влияния момента на тихой воде, удовлетворяющего условию  $M_{\text{т.в.}}^* > M_{\text{т.в.}}^*$ .

Расчеты по формуле (4.87), выполненные применительно к судам разной длины, показали, что наименьшие значения

пределной прочности имеют суда длиной  $L = 200-250$  м. Это позволяет определить расчетные значения параметров критерия (4.87), при которых он согласуется с требованиями к общей прочности таких судов в Правилах классификационных обществ.

Учет износа связей корпуса. Рассмотренные критерии прочности определяют требования к моменту сопротивления корпуса без учета износа его связей. Это равносильно предположению о том, что корпуса судов различных размеров и назначения, равнопрочные (по тому или другому критерию) при постройке, остаются равнопрочными и в течение всего срока их службы.

Между тем, различная скорость износа корпусов судов одинаковых размеров, но разного назначения (например, танкеров и сухогрузных судов) приводит с течением времени к раз-

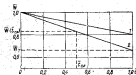


Рис. 137. Изменение момента сопротивления корпуса судна во времени. 1 — сухогрузные и танкерные суда; 2 — танкеры.

личному абсолютному и относительному уменьшению момента сопротивления корпуса, вследствие чего их первоначальная равнопрочность будет потеряна. При равенстве абсолютного износа корпусов судов одинакового назначения, но разных размеров и с течением времени окажется различным относительное уменьшение момента сопротивления, что также приведет к утрате равнопрочности их корпусов.

Для учета этого обстоятельства критерия прочности целесообразно относить не к значению момента сопротивления корпуса  $W(0)$  при постройке судна, а к его значению в некоторый момент времени эксплуатации  $t_{cp}$ , равную  $W(t_{cp})$ . Для этого необходимо знать закон изменения момента сопротивления корпуса во времени и определенным образом выбрать момент времени  $t_{cp}$ .

Осредненные данные об изменении относительной величины момента сопротивления корпуса  $\bar{W} = \frac{W(t)}{W(0)}$  в зависимости от

относительной величины времени эксплуатации  $\bar{t} = t/T$ , где  $T$  — срок службы судна, приведены на рис. 137 (эти данные, заимствованные из [36], использованы при разработке «Норм прочности»; они относятся к судам длиной  $L = 100$  м и с отношением  $L/H = 12$ , изготовленным из обычной стали).

Для определения значения  $t_{cp}$  в [38] рассмотрено применительно к стационарному волнению изменение во времени обеспеченности  $P(\sigma > \sigma_c; t)$  отличных напряжений фиксированного уровня  $\sigma_c$ , вызванное изменением момента сопротивления корпуса вследствие износа. Среднему значению обеспеченности

$$P_{cp}(\sigma > \sigma_c) = \frac{1}{T} \int_0^T P(\sigma > \sigma_c; t) dt \quad (4.88)$$

соответствует половина срока службы  $t_{cp} = T/2$ , когда момент сопротивления корпуса  $W(t_{cp})$  равен полусумме его значений в начале и в конце срока службы (см. рис. 137).

При использовании этого решения нормируемое значение момента сопротивления  $\bar{W}$ , соответствующее половине срока службы судна, связано с его значением  $W(0)$  при постройке судна соотношением

$$\bar{W} = (1 - \alpha) W(0), \quad (4.89)$$

где на основании данных рис. 137  $\alpha = 0,17$  — для танкеров, а  $\alpha = 0,10$  — для сухогрузных и промысловых судов.

Такая оценка влияния износа, полученная для стационарного волнения, не соответствует приложению в критериях прочности нормированно обеспеченности напряжений в долговременном распределении. Укажем простой прием, с помощью которого можно оценить влияние износа при нормировании обеспеченности напряжений в долговременном распределении.

Определим напряжением  $\sigma_c$  имеющим определенную обеспеченность в долговременном распределении, при каждом значении переменной во времени момента сопротивления корпуса  $W(t)$  соответствующий уровень, зависящий от времени, значения избыточного момента  $M_0(t) = \sigma_c W(t)$ . Каждому из них соответствует долговременная обеспеченность  $P(M > M_0; t)$  (см., например, приложение § 12). Среднее значение этой обеспеченности за срок службы судна, вычисленное аналогично (4.88), соответствует некоторому значению  $t_{cp}$ , которое, как показала расчеты, значительно зависит от нагруженности корпуса и определяется характеристикой его относительного износа  $\bar{W}_T = \frac{W(T)}{W(0)}$  (см. рис. 137):

$$\bar{t}_{cp} = 0,83 - 0,23 \bar{W}_T \quad (0,2 < \bar{W}_T < 0,9). \quad (4.90)$$

Значение нормируемого момента сопротивления, соответствующее этому моменту времени  $t_{cp}$ , можно найти по формуле (4.89), где величина  $\alpha$  определяется соотношением, вытекающим из данных рис. 137 и формулы (4.90):

$$\alpha = (1 - \bar{W}_T)(0,83 - 0,23 \bar{W}_T). \quad (4.91)$$

Значения  $\lambda$  представлены на рис. 138, здесь же показаны значения  $\lambda$ , соответствующие характеристикам относительного изгиба по рис. 137. Видно, что более корректная оценка влияния износа близка к приближенной, полученной в [38].

Заключая рассмотрение критериев прочности, необходимо отметить следующее. Формулировки критериев включают в себя различные параметры нагрузок, в первую очередь перемещений нагрузок, действующих на корпус судна при его эксплуатации. Наличие этих параметров требует задания обширной и возможно более достоверной информации о долговременном распределении вертикальных волновых изгибающих моментов, о суммировании вызванных этими нагрузкой напряжений с напряжениями от горизонтального изгиба; кручения, ударных нагрузок, о напряженности корпуса вследствие волновой вибрации. Именно при определении критериев прочности с наибольшей полнотой и эффективностью используются результаты исследований внешних сил в напряженности корпусных конструкций (описано в некоторых посвященных разд. 3 и 3 этой книги).

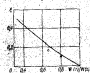


Рис. 138. Зависимость параметра относительного изгиба момента сопротивления  $\lambda$  от относительного изгиба  $W/L$  при волновой нагрузке. По «Норме прочности»:  $\circ$  — танкер;  $\bullet$  — грузовое судно.

о других характеристиках напряженности является делом будущего (например, о температурных, остаточных технологических напряжениях). Накопление знаний в этой области приведет к совершенствованию критериев прочности.

**Требования «Норм прочности» к общей прочности корпуса.** Рассмотренные выше формулировки критериев прочности, конкретизированные и согласованные с требованиями Правил классификационных обществ к обычным судам традиционных типов и размеров, легли в основу требований «Норм прочности морских судов» к общей прочности судов.

Эти требования предусматривают проверку прочности корпуса:

по предельному состоянию при действии максимального изгибающего момента на вершине и на волновете волны и соответствующей максимальной переизгибающей силы;

по допускаемым напряжениям при действии среднего волнового изгибающего момента, определяемых с учетом постоянной составляющей напряжений, вызванной средним изгибающим моментом на тихой воде, характерным для условий эксплуатации.

Первое условие представляет собой критерий предельной прочности, второе — критерий усталостной прочности.

1) Проверка по предельному состоянию. Эта проверка должна показать, что при прогибе и перегибе корпуса во время наванесения судна с полными грузом и с балластом отношение предельного момента к наибольшему расчетному суммарному изгибающему моменту удовлетворяет следующему условию:

$$\frac{M_{\text{ср}}^{\text{ср}}}{M_{\text{ср}}^{\text{ср}} + \lambda M_{\text{ср}}^{\text{ср}} + \lambda_1 M_{\text{ср}}^{\text{ср}}} \geq K_{\text{ста}} \quad (4.92)$$

Это условие — конкретизация критерия предельной прочности (4.87).

Предельный изгибающий момент определяется соотношением:

$$M_{\text{ср}}^{\text{ср}} = \lambda_2 \rho_s W_s^2 \quad (4.93)$$

где  $\rho_s$  — предел текучести материала крайних (верхних или нижних) продольных связей корпуса в проверяемом сечении, включаемых в эквивалентный брус, тс/см<sup>2</sup>;  $W_s^2$  — момент сопротивления, см<sup>4</sup>-м, проверяемого сечения корпуса относительно связи палубы, наиболее удаленной от нейтральной оси, вычисленный при условии появления в этой связи напряжений, равных  $\sigma_s$ . При наличии стальных надстроек значение  $W_s^2$  должно соответствовать условию появления в наиболее напряженных продольных связях напряжений, равных произведению  $\lambda_2 \sigma_s$ ;  $\lambda_2$  — коэффициент, учитывающий изменчивость механических характеристик материала, уменьшающегося при увеличении  $\sigma_s$  и, коррозионный унос;

$$\lambda_2 = 1 + 0,25(\eta - 0,5) - \eta \left( \frac{100}{\eta} - \frac{12D}{L} \right)^{0,2} \quad (4.94)$$

$$\eta = \frac{2400}{\sigma_s} \quad (4.95)$$

$D$  — высота борта судна, м;  $\eta = 0,17$  — для танкеров и  $\eta = 0,10$  — для грузозагруженных и промышленных судов. Эти значения относятся к судам длиной  $L = 100$  м с отношением  $L/D = 12$ , построенному из стали с пределом текучести  $\sigma_s = 2400$  тс/см<sup>2</sup>. Множитель при  $\eta$  учитывает отличие от приведенных цифр показателей износа для судов с другими значениями этих характеристик.

<sup>1</sup> Приведенные обозначения в некоторых случаях могут отличаться от стандартных имен.

Максимальный волновой изгибающий момент определяется соотношением (тс·м)

$$M_{\text{max}}^{\text{вол}} = \frac{h_1}{2} k_1(\alpha) \rho g B L^2 \varphi_M \left( \frac{2x}{L} \right), \quad (4.96)$$

где  $h_1$  — высота расчетной волны,  $M$  (рис. 139);  $k_1(\alpha)$  — множитель, зависящий от коэффициента полноты расчехленной ватерлинии на тихой воде  $\alpha$  и определяемый следующими зависимостями:

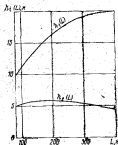


Рис. 139. Расчетные высоты волн.

при положении судна на вершине волны

$$k_1(\alpha) = k_2(\alpha) = -0,070\alpha - 0,026; \quad (4.97)$$

при положении судна на подошве волны

$$k_1(\alpha) = k_2(\alpha) = -0,054\alpha - 0,009; \quad (4.98)$$

$\alpha_0$  — гидродинамический коэффициент, равный

$$\alpha_0 = \left( 1,28 - 2,0 \frac{B}{L} \right) \times \left( 0,654 - 1,8 \frac{d_{\text{мид}}}{L} \right); \quad (4.99)$$

$d_{\text{мид}}$  — расчетная осадка на миделе, м;  $n_1$  — поправочный коэффициент, учитывающий влияние скорости судна на величину и изгибающий момента на тихой воде:

$$n_1 = 1,2 - 0,3n - (3 + 25Pr^2) \frac{M_{\text{т.в.}}}{\Delta L} + (5 - 4,8n) Pr^2; \quad (4.100)$$

$Pr^2$  — число Фруда, соответствующее реально возможной скорости судна на астремом стационарном волнении интенсивностью  $\lambda_{\text{в.в.}} = \lambda_1$ ;  $M_{\text{т.в.}}$  — максимальное в пределах средней части судна протяженностью  $0,3L$  значение  $M_{\text{т.в.}}$ , соответствующее рассматриваемому состоянию нагрузки судна;  $\Delta$  — расчетное водоизмещение судна, тс;  $\varphi_M \left( \frac{2x}{L} \right)$  — функция, учитывающая изменение изгибающего момента по длине судна в сечениях, отстоящие от миделя равно  $x$  (рис. 140).

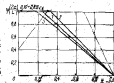
При проверке общей прочности судов с палубными вырезами, простирающимися 70% ширины палубы, значения  $M_{\text{т.в.}}^{\text{вол}}$  должны быть умножены на коэффициент

$$k_2 = 0,95 (k_1)_{\text{прим}} \geq 1.$$

Ориентировочные значения коэффициента  $k_2$  приведены на рис. 141.

Рис. 140. Значения функции  $\varphi_M \left( \frac{2x}{L} \right) = \varphi_M \left( \frac{2x}{L} \right)$ .

1 — для носовой оконечности корпуса при  $\frac{L_{\text{в.в.}}}{L} < 0,25$ ; 2 — то же для  $\frac{L_{\text{в.в.}}}{L} > 0,25$ ; 3 — для кормовой оконечности корпуса.  $\frac{2x}{L} = \frac{2x}{L}$  — относительное отстояние от миделя носовой оконечности корпуса рассматриваемого корабля, расположенного на тихой воде.



Формула (4.96) выражает вертикальный волновой изгибающий момент через высоту  $h_1$  эквивалентной волны с обеспеченностью  $P = 10^{-4} + 10^{-6}$  (см. § 7) и коэффициент момента  $M_{\text{т.в.}}^{\text{вол}} = h_1(\alpha) \rho g B L^2$ , определяемый значением максимума амплитудно-частотной характеристики корпуса относительно этой нагрузки.

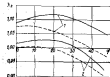


Рис. 141. Значения коэффициента  $k_2$ . 1 — при  $\frac{L_{\text{в.в.}}}{L} = 0,0$ ; 2 — при  $\frac{L_{\text{в.в.}}}{L} = 0,5$ .

Ударный изгибающий момент  $M_2^{\text{уд}}$  определяют при прогибах в ударных моментах на тихой воде применительно и в случаях ударов волн в днище  $M_2^{\text{уд}}$  [см. формулу (2.52)] и в развалах борта носовой оконечности  $M_2^{\text{уд}}$  [см. формулу (2.53)]. Для судов с расчетной скоростью на волнении, соответствующей  $Fr < 0,2(1 - 0,7\alpha)$ , величину  $M_2^{\text{уд}}$  рассчитывают только при осадках

носом  $d_0 < 0,05L$ , а величину  $M_{\gamma}^*$  — только при  $d_0 \geq 0,05L$ . Осадку носом определяют для 2-го теоретического шпангоута по формуле

$$d_2 = d_{\text{н}} - 0,44L, \quad (4.101)$$

где  $\varphi$  — угол дифферента, положительный на корму, рад. При большой скорости судна определяют обе величины  $M_{\gamma}^*$  для всех осадок. Коэффициент  $\kappa$  в формуле (4.92) принимается равным при ударе в днище  $\kappa = 0,8$ ,

$$(4.102)$$

при ударе в борта  $\kappa = 1,0$ .

Напомним, что этот коэффициент отражает особенности суммирования волнового и ударного изгибающих моментов.

В качестве расчетной величины в формуле (4.92) принимают большую из двух приведенных  $\kappa M_{\gamma}^*$ , но в любом случае не меньше

$$\kappa M_{\gamma}^* = 0,15M_{\gamma}^{\text{max}}, \quad (4.103)$$

Эту же расчетную величину (4.103) принимают при перегибании изгибающих моментов на тихой воде.

Максимальный изгибающий момент на тихой воде  $M_{\gamma, \text{т.в.}}^*$  принимают исходя из возможных состояний нагрузки судна для получения наибольшего по абсолютной величине знаменателя в левой части формулы (4.92) при постановке судна на подношу и вращалу расчетной волны.

Коэффициент  $k_{\gamma, \text{т.в.}}$  при  $M_{\gamma, \text{т.в.}}^* > 0$  (перегибанных) принимается равным

$$k_{\gamma, \text{т.в.}} = 1 \text{ при } M_{\gamma, \text{т.в.}}^* \leq M_{\gamma, \text{т.в.}}^*, \quad (4.104)$$

$$k_{\gamma, \text{т.в.}} = 1,4 - 0,4 \frac{M_{\gamma, \text{т.в.}}^*}{M_{\gamma, \text{т.в.}}^*} \text{ при } M_{\gamma, \text{т.в.}}^* > M_{\gamma, \text{т.в.}}^*,$$

где  $M_{\gamma, \text{т.в.}}^*$  — значение изгибающего момента на тихой воде, при превышении которого необходимо увеличение момента сопротивления корпуса. Этому значению  $M_{\gamma, \text{т.в.}}^*$  при  $W_{\text{ам}}$  удовлетворяющим Правилам, соответствуют статические растягивающие напряжения в верхней палубе корпуса, изготовленного из обычной стали, равные: 700–750 кгс/см<sup>2</sup> — для сухогрузных судов и 650–700 кгс/см<sup>2</sup> — для танкеров; сами значения  $M_{\gamma, \text{т.в.}}^*$  при этом равны, тс · м:

$$M_{\gamma, \text{т.в.}}^* = (0,0138 + 0,010)BL^{2,5} \text{ при } L \leq 240 \text{ м}, \quad (4.105)$$

$$M_{\gamma, \text{т.в.}}^* = (0,0788 + 0,052)BL^2 \text{ при } L > 240 \text{ м}.$$

Коэффициент  $k_{\gamma, \text{т.в.}}$  при  $M_{\gamma, \text{т.в.}}^* < 0$  (прогибающих) равен единице.

Такой вид коэффициента  $k_{\gamma, \text{т.в.}}$  позволяет учесть необходимость снижения напряженности растянутых связей для предотвращения хрупких повреждений. С этой же целью предусматривают некоторое различие коэффициентов запаса  $K_{\text{ам}}$  при прогибе и перегибе корпуса.

Коэффициенты запаса  $K_{\text{ам}}$  в правой части формулы (4.92) равны:

для танкеров и судов, перевозящих плавучими грузы,

$$K_{\text{ам}} = 1,20 \text{ — при прогибе корпуса}, \quad (4.106)$$

$$K_{\text{ам}} = 1,30 \text{ — при перегибе};$$

для сухогрузных и промышленных судов

$$K_{\text{ам}} = 1,15 \text{ — при прогибе корпуса}, \quad (4.107)$$

$$K_{\text{ам}} = 1,30 \text{ — при перегибе}.$$

Проверку прочности по предельному состоянию корпуса на срезах выполняют для тех же расчетных случаев, которые выбраны при проверке условия (4.89). Она должна показать выполнение условия

$$\frac{N_{\text{пр}}}{N_{\text{н}}(x) + N_{\gamma, \text{т.в.}}(x)} \geq 1,25, \quad (4.108)$$

где  $N_{\text{н}}(x)$  — перерезывающая сила от переменной нагрузки в рассматриваемом сечении, определяемая зависимостью (тс)

$$N_{\text{н}}(x) = \frac{3,5}{L} (M_{\gamma, \text{т.в.}}^* + M_{\gamma}) \varphi_N \left( \frac{2x}{L} \right) > \frac{4}{L} M_{\gamma, \text{т.в.}}^* \varphi_N \left( \frac{2x}{L} \right), \quad (4.109)$$

$\varphi_N \left( \frac{2x}{L} \right)$  — функция, определяемая по рис. 140;  $N_{\gamma, \text{т.в.}}(x)$  — перерезывающая сила на тихой воде;  $N_{\text{пр}}$  — определяемая перерезывающая сила, определяемая выражением

$$N_{\text{пр}} = 0,5k_{\text{пр}}Q, \quad (4.110)$$

$Q$  — суммарная площадь поперечного сечения обшивки бортов и продольных переборок корпуса в рассматриваемом сечении.

2) Проверка прочности по допустимым напряжениям.

Эта проверка должна показать, что значения момента сопротивления сечению корпуса относительно растущих  $W$  и сжатых  $W'$  связей эквивалентного бруса удовлетворяют условиям:

$$W \geq \frac{M_{z, \text{в}}^*}{\sigma_s} + \frac{M_{z, \text{с}}^*}{\sigma_{\text{ср}}} \quad (4.111)$$

$$W' \geq \frac{M_{z, \text{с}}^*}{\sigma_s} \quad (4.112)$$

Эти условия — конкретизация критерия усталостной долговечности (4.80). Второй член в формуле (4.111) соответствует средним растягивающим напряжениям в корпусе и отражает влияние этих напряжений на усталостные характеристики конструктивных узлов.

Величины  $W$  и  $W'$  определяются без учета редуцированных гибких связей.

Среднее значение изгибающего момента на тихой воде  $M_{z, \text{в}}^*$  для грузовых судов определяется при состоянии судна с полным грузом  $\lambda$  в балласте с 50% запасом.

Среднее значение волнового изгибающего момента  $M_{z, \text{с}}^*$  определяется формулой, аналогичной (4.96), в которой вместо  $h_1$  фигурирует высота расчетной волны  $h_0$ , приведенная на рас. 139. Поправочный коэффициент  $\kappa$  находят по формуле (4.100) при  $M_{z, \text{с}}^* = M_{z, \text{с}}^*$ , число Фруда  $Fr^*$  соответствует эксплуатационной скорости судна на встречном волнении цитенсивностью  $h_{\text{в}} = 0,5-0,8$  м.

Коэффициент  $\gamma$  принимают равным

$$\gamma = 0,8 \text{ при } M_{z, \text{с}}^* \leq M_{z, \text{в}}^* \quad (4.113)$$

$$\gamma = 0,8 \left( 2,5 - 1,5 \frac{M_{z, \text{с}}^*}{M_{z, \text{в}}^*} \right) \text{ при } M_{z, \text{с}}^* > M_{z, \text{в}}^*.$$

Значение этого коэффициента определяется значениями параметров  $\nu$  и  $\alpha$ , которые входят в критерий усталостной прочности.

Допускаемые расчетные напряжения находят по формуле

$$\sigma_s = k_2 \sigma_{\text{ср}} \quad (4.114)$$

где  $k_2$  — коэффициент, учитывающий влияние высокочастотных напряжений и равный

$$k_2 = \frac{1,05}{(k_2^*)_{\text{материал}}} < 1,$$

$(k_2^*)_{\text{материал}}$  вычисляются по формуле (4.82);  $\beta$  — коэффициент, учитывающий работоспособность материала конструкций

корпуса, качество их оформления и изготовления, уровень контроля этого качества. Для конструкций из обечайки стали, стирепированных и изготовленных в соответствии с требованиями Правил Регистра СССР, принимаем  $\beta = 1$ . Для конструкций из стали повышенной прочности ( $\sigma_s \geq 3000$  кгс/см<sup>2</sup>), удовлетворяющих тем же требованиям, значение  $\beta$  принимает меньшие из двух: 1,2 или  $\frac{k_2 \sigma_s}{2400}$ ;  $\sigma_s'$  — величина, принимаемая  $\sim 500$  кгс/см<sup>2</sup>.

Она несколько превышает значение предела усталости конструктивных узлов, изготовленных из обычной стали, при симметричном цикле нагружения.

При выполнении проверки прочности по предельному состоянию корпуса  $\lambda$  по допускаемым напряжениям «Нормы» регламентируют также все необходимые расчетные процедуры (выбор расчетных сечений, порядок исключения продольных связей в эквивалентный брус, оценку устойчивости набора и т. п.).

Для оценки согласованности требований «Нормы» и правил ряда классификационных обществ были выполнены расчеты прочности судов разной длины при разном уровне статической нагруженности корпуса изгибающим моментом на тихой воде, характеризуемым параметром

$$\mu = \frac{M_{z, \text{в}}^*}{M_{z, \text{с}}^*} \quad (4.115)$$

Расчитывалась прочность судов с типовыми соотношениями главных размеров и коэффициентами полноты (для танкеров  $d_{\text{ж}}/L = 0,055$ ;  $B/L = 0,15$ ;  $\delta = 0,80$ ;  $\alpha = 0,87$ ; для сухогрузных судов  $d_{\text{ж}}/L = 0,055$ ;  $B/L = 0,14$ ;  $\delta = 0,70$ ;  $\alpha = 0,80$ ). Результаты расчетов представлены на рис. 142—144 в форме отношений

$$\bar{W} = \frac{W}{W_{\text{норм}}}. \quad (4.116)$$

где  $W$  — момент сопротивления по «Нормам»;  $W_{\text{норм}}$  — минимальный момент сопротивления по Правилам постройки соответствующего классификационного общества при  $\sigma_s = 2400$  кгс/см<sup>2</sup>.

На основании их рассмотрения можно сделать следующие выводы.

1) Требования «Нормы» к общей прочности судов в среднем удовлетворительно согласуются с требованиями Правил основных классификационных обществ, при этом наилучшее согласование достигается при значениях  $\mu \approx 1$ . При больших и меньших значениях изгибающих моментов на тихой воде расхождение требований «Нормы» и Правил усиливается. Причиной этого является значительное различие требований разных Правил к общей прочности корпуса судна при  $\mu > 1$  и невозможность уменьшения значений  $W$  по Правилам при  $\mu < 1$

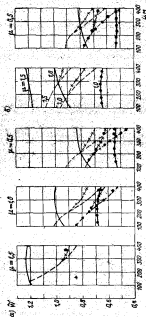


Рис. 142. Соотношение требуемой к общей прочности на единицу площади и Правил Нормального Веса. ского Веса;  $\mu$  — отношение объема к массе (для  $M_{1,2} < 0$ );  $\mu$  — отношение массы к массе (для  $M_{1,2} > 0$ ).

— — — по формуле для общей прочности; — — — по формуле для общей массы;  
 \* — \* — точки для значений  $M_{1,2} < 0$ ; \* — \* — точки для значений  $M_{1,2} > 0$ .

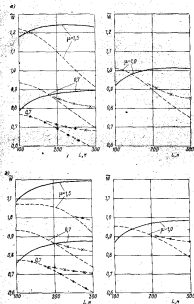


Рис. 143. Соотношение требуемой к общей прочности сжимающей силы по сечениям прочности и Правил Нормального Веса;  $\mu$  — отношение объема к массе (для  $M_{1,2} < 0$ );  $\mu$  — отношение массы к массе (для  $M_{1,2} > 0$ ).

Обозначения те же, что на рис. 142.

(исключением являются Правила Регистра СССР, допускающие некоторых снижение  $\bar{W}$ ).

2) При использовании обычной стали прочность сравнительно коротких судов лимитируется критерием усталостной прочности, а судов большой длины — критерием предельной прочности. Граница лимитирующего влияния критерия предельной прочности определяется значением изгибающего момента на тилей воде: чем больше момент, тем меньше длина судна, начиная с которой этот критерий становится определяющим.

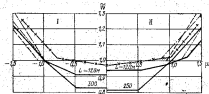


Рис. 144. Зависимость момента сопротивления корпуса от изгибающего момента на тилей воде.

$I$  — танкеры ( $M_{\text{в.д.}} < 0$ );  $II$  — сухогрузные суда ( $M_{\text{в.д.}} > 0$ );  
 — по «Нормам прочности»; — по Правилам Норвежского Ветства, 1973 г.;  
 — по Правилам Регистра Японии, 1973 г.; — по Правилам Регистра Общества  
 Кайюка Кюмаи, 1973 г.; — по Правилам Регистра СССР, 1973 г.

Критерии прочности учитывают ряд факторов, исключенных на рассмотрении Правил, например влияние осадки, ширины корпуса и скорости судна. Это влияние иллюстрирует рис. 145, на котором показано относительное изменение момента сопротивления  $\bar{W} = W/W_0$  при вариации относительных величин осадки, ширины корпуса и скорости судна.

$$\bar{A} = \frac{d/L}{(d/L)_0}; \quad \bar{B} = \frac{B/L}{(B/L)_0};$$

$$\bar{C} = \frac{V^3}{(V^3)_0},$$

где индексом 0 отмечены приняты выше значения параметров судов и необходимое для них значение момента сопротивления.

При применении сталей повышенной прочности границы интервала лимитирующего влияния критерия усталостной прочно-

сти оказываются сдвинутыми в сторону меньших размеров и моментов на тилей воде, что ограничивает пределы целесообразного использования этих сталей. Сочетания этих факторов, при которых целесообразно использовать стали повышенной прочности, показаны на рис. 146. В Правилах такое влияние не



Рис. 145. Относительное изменение требуемого «Нормами» момента сопротивления при изменении характеристик судна, по учитываемым Правилами: а — влияние осадки; б — влияние ширины корпуса; в — влияние скорости судна.

— по критерию предельной прочности; — по критерию усталостной прочности.  
 $I$  — при  $M_{\text{в.д.}} < 0$ ;  $II$  — при  $M_{\text{в.д.}} > 0$ .

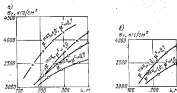


Рис. 146. Наибольшее значение предела текучести сталей повышенной прочности, эффективно используемых при обеспечении общей прочности: а — танкеры при  $M_{\text{в.д.}} < 0$ ; б — сухогрузные и промышленные суда при  $M_{\text{в.д.}} > 0$ .

—х— при  $L/D=2$ ; —о— при  $L/D=143$ .

учитывается. Видно заметное влияние относительной гибкости корпуса, характеризующей отношением  $L/D$ , на ограничение в применении сталей повышенной прочности. Однако в «Нормах прочности морских судов» оно проявляется значительно слабее, чем в Правилах, особенно для судов небольших размеров.

Подводя итог рассмотрению требований, предъявляемых Правилами постройки основных классификационных объектов и «Нормами прочности морских судов» к общей прочности

корпуса судна, следует еще раз подчеркнуть взаимосвязанность этих документов и в то же время особенности их предназначения. Правила постройки, отборки и закрояжа положительных оплет судостроения и эксплуатации судов, служат, если применить терминологию кибернетики, долготерминальной памятью системы «судно—эксплуатация». «Нормы» же, ориентированные на проектирование судов новых типов, размерений и т. д. в условиях, когда еще нет необходимого опыта, выступают в роли оперативной памяти этой системы. По мере накопления нового опыта взаимосвязи «Норм» и получаемые с их помощью результаты будут переходить в Правила, содействуя их совершенствованию.

1. Баском В. Волны и яхта. Домашняя морская энциклопедия. Пер. с англ. М., ИД, 1966.
2. Васильев М. А. Эмпирическое исследование оид действующих на корпус судна из коротких волн.—Труды ЦНИИМФ, 1973, вып. 150, с. 69—83.
3. Войнов Г. В. Динамические изгибные моменты, действующие на корпус судна в условиях волнения.—«Судостроение», 1976, № 11, с. 9—13.
4. Войнов Г. В., Клервин С. Д. Прочность и работоспособность корпусов конструкций. Л.—«Судостроение», 1972.
5. Войнов Г. В., Палай О. М. Комплексный подход к проблеме обеспечения прочности судов.—В сб. «Проблемы прочности судов. (Системный подход к расчету и проектированию корпусов конструкций)». Под ред. В. С. Чуваковского. Л.—«Судостроение», 1975, с. 71—153.
6. Воробей И. К., Недветаев Ю. А. Качка судов на морском волнении. Л.—«Судостроение», 1969.
7. Бубнов Н. Г. Довольствие к курсу «Строительная механика корабля». Л., Ин-т Научно-технического кружка кораблестроителей, 1930.
8. Бубнов Н. Г. О преподавании корабельной архитектуры в С.-Петербургском политехническом институте.—«Судостроение и судостроение», 1930, № 4—5, с. 230—252.
9. Бубнов Н. Г. Строительная механика корабля. Т. 1. СПб, 1912.
10. Вихов В. А., Плеханов Ю. В., Толмачев В. А. О круглом разрывном валу работоспособности судна «Список». Доклады к XIV научно-технической конференции по строительной механике корабля (прочность, устойчивость, колебания), всесоюзная яхта проф. П. Ф. Павлова, 1969, вып. 74, с. 242—245 (ИТО Судпрома).
11. Венцеля Е. С. Теория вероятностей. М., Физматлит, 1962.
12. Вероятностные характеристики волнения, методы их расчета и расчета.—Труды ГОИИ, 1971, вып. 57, с. 186. Авт.: И. Н. Давыдов, В. А. Рязанов, Б. М. Андриенко, Л. И. Лопатушкин, Ю. А. Третьяков.
13. Ветер и волны в океанах и морях. Справочные данные. Л.—«Транспорт». Издатель СССР, 1974.
14. Волосевский А. И., Недветаев Ю. А. Энергетический анализ морского волнения.—«Судостроение», 1966, № 7, с. 11—15.
15. Волосевский А. И., Овсепян Г. А. Методика расчета яхты корабля из нерегулярного волнения.—Труды ЦНИИМФ им. академика А. Н. Крылова, 1966, вып. 103, с. 5—36.
16. Давыдов В. В. Прочность судна при кручении. М.—«Речной транспорт», 1925.

17. Давыдов В. В., Моттес Н. В., Свиридов И. П. Учебный справочник по прочности судов внутреннего плавания. М., «Речной транспорт», 1968.

18. Дурнов В. П. Вопросы прочности бортов промысловых судов.— В сб.: «Теоретические и прикладные вопросы прочности в конструкции морских судов». Л., «Транспорт», 1969, с. 70—83. (Риверт СССР).

19. Екимов В. В. Вероятностные методы в строительной механике корабля. Л., «Судостроение», 1968.

20. Екимов В. В. Приближенные методы теории вероятностей в проблеме общей прочности корабля.— «Труды ЦНИИМФ», 1967, т. VII, вып. 2, с. 28—39.

21. Желазь Р., Кавале Г., Вассаль Ж. Проект волновой метод оценки статической прочности.— В сб.: «Вероятные волны». Пер. с англ. Под ред. Ю. М. Крылова. М., ИД, 1969, с. 286—316.

22. Ковалев В. В. Некоторые вопросы прочности в надводной части корпусной конструкции морских транспортных судов. Автореферат дис. за специальную учебную работу для техн. наук. Л., ЛОЛКИ, 1970.

23. Ковалев В. В. Об определении статистических характеристик волновых нагрузок.— «Труды ЛКИ», 1969, вып. 58, с. 13—35.

24. Ковалев В. В. Об оценке прочности и долговечности конструкции залаточенный шпангоут распределения напряжений в волновой среде. Оценка методом Вейбулла.— В сб.: «Прочность судовых конструкций», 1967, вып. 99, с. 96—119 (ИТО Судостроения).

25. Ковалев В. В. О разрывной структуре, форме для определения статистических характеристик волновой нагрузки.— «Судостроение», 1966, № 8, с. 10—16.

26. Ковалев В. В., Петин С. В., Пелеханов Ю. В., Цимляра В. И. Экспериментальный анализ параметров и форм акустических и фазовых передаточных функций волновой нагрузки.— В сб.: «Прочность судовых конструкций (материалы по обмену опытом)», 1968, вып. 88, с. 65—82. (ИТО Судостроения).

27. Ковалев В. В., Пелеханов Ю. В. К построению логарифмической спектров волновой нагрузки.— «Труды ЛКИ», 1968, вып. 88, с. 111—118.

28. Ковалев В. В., Пелеханов Ю. В. О суммировании волновых нагрузок на нерегулярной волнении.— В сб.: «Материалы по обмену опытом», 1967, вып. 93, с. 21—31. (ИТО Судостроения).

29. Ковалев В. В., Пелеханов Ю. В. Построение и анализ логарифмических спектров волновой нагрузки, данных от сигнала и мощности.— «Труды ЛКИ», 1968, вып. 92, с. 63—73.

30. Ковалев В. В., Ростовцев Д. М., Гарбуз В. С. Экспериментальное исследование влияния момента судна «Кубань» на регулярные волны.— «Труды ЛКИ», 1964, вып. 43, с. 63—65.

31. Ковалев В. В., Пелеханов Ю. В. Изучение прочности по продольному сечению для длительного нестационарного воздействия волнения.— «Труды ЦНИИМФ», 1966, вып. 99, с. 8—9.

32. Ковалев Г. Е. Динамика морских волн. М., Изд-во ИГиЛ, 1969.

33. Короткий Я. И. Вопросы прочности морских транспортных судов. Л., «Судостроение», 1968.

34. Короткий Я. И. Исследования основных моментов в надводной части корпуса судна при крене на регулярном и нерегулярном волнении.— «Труды VI научной школы молодых специалистов». Галляк, 1968, с. 1—14.

35. Короткий Я. И., Ростовцев Д. М., Свиридов И. П. Прочность корабля. Л., «Судостроение», 1974.

36. Кривола А. И. Мои воспоминания. Л., Изд-во Академии наук СССР, 1946.

37. Курдюмов А. А. Прочность корабля. Л., Судостроение, 1955.

38. Максимова А. Н. Прочность морских транспортных судов. Л., «Судостроение», 1976.

39. Нормы прочности морских стальных судов. Л., «Морской транспорт», 1962. (Риверт СССР).

40. Основы корабельной архитектуры. Т. 1. Под ред. Г. Росова и Л. Чепина. Пер. с англ. Л., Судостроение, 1968.

41. Павлова Е. А. Об определении комбинированных параметров морской опасности судна на регулярном волнении.— «Труды ЦНИИМФ», изд. А. И. Крылова, 1971, вып. 254, с. 23—34.

42. Павлова Е. А. Прикладные расчетные методы для вычисления динамических нагрузок волнения, действующих при крене на корпусах транспортных судов, имеющих плоские участки днища.— «Труды ЦНИИМФ», изд. А. И. Крылова, 1969, вып. 251, с. 91—108.

43. Павловский П. Ф. Труды по прочности корабля. Л., Судостроение, 1969.

44. Персов В. Вероятные волны.— В сб.: «Вероятные волны». Пер. с англ. Под ред. Ю. М. Крылова. М., ИД, 1962, с. 48—122.

45. Персов В., Нейман Г. Джемс Р. Развитие и временные пределы волны.— В сб.: «Вероятные волны». Пер. с англ. Под ред. Ю. М. Крылова. М., ИД, 1962, с. 268—288.

46. Правила классификации и постройки морских судов. Л., «Транспорт», 1974. (Риверт СССР).

47. Прочность судов стального плавания. Авт.: Ф. Г. Кондрат, И. И. Галлах, Ю. И. Рапов, А. З. Фридрихский. Л., «Судостроение», 1974.

48. Путов Н. Е. Конструкция корпуса судов. Л., ОНТИ, 1927.

49. Путов Н. Е. Паулиевы критерии морских транспортных судов. Л., «Судостроение», 1966.

50. Путов Н. Е. Проектирование конструкций корпуса морских судов. Ч. 1. Л., «Судостроение», 1976.

51. Справочник по прочности металлических кораблей. Под ред. изд. Ю. А. Шеманского. Т. 3. Л., Судостроение, 1960.

52. Столяков А. Г. Некоторые результаты статистического исследования волнения в крене на жестком волнении судне «Молдак Ломоносова».— В сб.: «Теория корабля и экспериментальная гидромеханика судов», 1961, вып. 30, с. 75—97. (ИТО Судостроения).

53. Строительная механика корабля и теория усталости. В 2-х т. Т. 2. Л., «Судостроение», 1968. Авт.: А. А. Курдюмов, А. З. Ломоносов, Р. А. Исифов, В. В. Ковалев.

54. Тугубаев Г. Ф. Результаты испытаний прочности дна «Кубань» на волнении.— В сб.: «Вопросы прочности судов и судовых конструкций», 1964, вып. 93, с. 68—79. (ИТО Судостроения).

55. Тимошенко С. П. Сопротивление материалов. Т. 2. М., Гостехиздат, 1932.

56. Тимошенко С. П., Лессельс Дж. Прикладная теория усталости. Л., Гостехиздат, 1959.

57. Федосеев В. И. Сопротивление материалов. М., «Наука», 1967.

58. Abkowitz M. A., Vassalopoulos L. A., Sellars E. H. Recent developments in Seakeeping research and its application to design.— «Trans. SNAME», 1966, vol. 74, p. 244—246.

59. Abrahamson E., Vedeler G. The strength of large tankers.— ES, 1957, N 6, p. 129—151; 1959, N 1, p. 2—23.

60. Abrahamson E. Recent developments in practical philosophy of ship structural design. Det Norske Veritas, 1967, N 85.

61. Abrahamson E. Structural safety of ships and risks to human life.— ES, 1962, vol. 11, N 6, p. 134—146.

62. Abrahamson E. Structural design analysis of large ships.— «Trans. SNAME», 1965, p. 189—219.

63. Abrahamson E. Construction and classification of the ships of tomorrow.— «Hansa», 1970, p. 107.

64. Admiralty Ship Welding Committee. «Ocean Vulcan» sea trials. Rep. 1963, N 8, 11; Rep. 1964, N 12.

65. Aertsema G. Service performance and seakeeping trials on r. v. «Ladaga».— «Trans. RINA», 1963, vol. 105, p. 293—308.

66. Arctesen G. Service performance and seakeeping trials on the v. Jordans'—*Trans. RINA*, 1968, vol. 108, p. 305—308.
67. Arctesen G. Service performance and seakeeping trials on a large ore carrier.—*Trans. RINA*, 1968, vol. 111, p. 217—230.
68. Avoiding structural damage in highspeed lift-form cargo lines.—*Motor Ship*, 1974, vol. 53, N 647, p. 408—411.
69. Band E. G. Long-term trends of hull bending moments. ABS, 1968.
70. Bell A. O., Taylor K. V. Wave-excited hull vibration. Measurements on a 47000 t. w.t. tanker.—*Ship. World and Shipbuilder*, 1968, vol. 161, N 8617, p. 412—415, 417—419, 426.
71. Bennet R., Ivarsson A., Nordenström N. Results from full-scale measurements and predictions of wave bending moments, acting on ships. The Swedish Shipbuilding Research Foundation, 1962.
72. Biles J. H. The design and construction of ships. Charles Griffin and Co. London, 1938.
73. Bledsoe M. D., Bussemaeker O., Committee W. E. Seakeeping trials on three Dutch freighters.—*Trans. SNAME*, 1966, vol. 88, p. 99—117.
74. Buchanan G. The application of higher tensile steel in merchant ship construction.—*Trans. RINA*, 1968, vol. 110, N 4, p. 117—124.
75. Caldwell J. B. Ultimate longitudinal strength.—*Trans. RINA*, 1965, vol. 107, p. 411—432.
76. Daiseil I. F. An investigation of shipboard bending moments, experienced in certain regular waves, by models of the Marine type ship. Ship structure committee, 1964, N. 165.
77. De-Doos G. Experimental determination of bending moments for three models of bilge-keel hulls in regular waves.—*ISF*, 1963, vol. 7, N 65, p. 161—184.
78. Denis M. St., Pierson W.-G. On the motions of ships in confused seas.—*Trans. SNAME*, 1952, vol. 51, p. 200.
79. De-Wilde G. Structural problems of ships with large hatch openings.—*ISF*, 1967, vol. 14, N. 150.
80. Design procedure. Rep. of committee 10. Proceeding of the 3th ISSC, Oslo, 1967, p. 168—169.
81. Dyer Th. R. Structural reliability in ship design. Tufts Massachusetts Institute of Technology, Department of naval architecture and marine engineering, 1964.
82. Environmental conditions. Rep. of committee 1. Proceeding of the 2nd ISSC, Oslo, 1964, p. 1—25.
83. Forster King J. Heavy-weather damage.—*Trans. NEECS*, 1964, vol. 51, p. 151.
84. Freundenthal A. M. Safety reliability and structural design.—*Trans. ASCE*, 1962, vol. 127, part II.
85. Fukuda J. and oth. Long-term prediction of wave bending moments on rigid tankers hulls.—*Journal of the Society of Naval Architects of West Japan*, 1967, vol. VII, N 34, p. 13.
86. Fukuda J. Computer program results for response operating of ship motions and vertical wave bending moments in regular waves. Memoirs of the Faculty of Engineering, Kyushu University, 1960, vol. 20, N 2, p. 35.
87. Goodman E. A. Wave-excited hull vibration in large tankers and bulk carriers.—*Trans. RINA*, 1970, vol. 5, p. 109—115.
88. Grün O. Die Schwingung von schwimmenden zweidimensionalen Körpern. Hamburgische Schiffbauversuchsanstalt Gesellschaft, Rep. 1959, N. 117.
89. Gumbel E. J. Statistic of extremes. Columbia university press, 1960 (see также в Гудман, Статистика экстремальных значений, М., Метгиз, 1965).
90. Hachimada R. Torsion stresses in ships. Ship structure committee, Rep. 1956, N 95.
91. Heller S. R. and oth. Twenty years of research under the ship structure committee.—*Trans. SNAME*, 1967, vol. 75, p. 332—384.
92. Hoffman D., Hoefler van. Feasibility study of springing model tests of a Great Lakes bulk carrier.—*ISF*, 1973, vol. 20, N 223, p. 72—86.
93. Hoefler van D., Lewis E. V. Analysis and interpretation of dry springing. Ship structure committee, Rep. 1969, N-136.
94. Iijima T. The properties of ocean waves on the Pacific coast and Japan sea coast. Transportation technical research institute Japan, 1967.
95. Jaeger N. H. Statistical distribution patterns of ocean waves and of wave-induced ship stresses and motions with engineering application.—*Trans. SNAME*, 1955, vol. 64, p. 375—432.
96. Johnson A., Larkin E., Simons in ships in service.—*Trans. RINA*, 1964, vol. 106, p. 1—35.
97. Kagawa K., Onose M. A study of wave-induced vibrations (1st report).—*Journal of the Society of Naval Architects of Japan*, 1970, vol. 137, P. 240—253.
98. Kawakami M., Kiso T. On the wave-induced ship hull vibration.—*Trans. of the West-Japan Society of Naval Architects*, 1970, N 6, p. 31—40.
99. Korvin-Kroukovsky B. V. Theory of seakeeping. Published by SNAME, New York, 1961.
100. Lehman G. Boden Schäden ins Vorschiff und die neuen Verordnungen der Klassifikationsgesellschaften.—*Schiffbau*, 1968, vol. 37.
101. Lewis E. V. Predicting long-term distributions of wave-induced bending moments on ship hulls. Paper N. 4, SNAME spring meeting, Montreal, 1967.
102. Lewis E. V., Daiseil I. F. Motion bending moment and clearing head measurements on a Gostoyer model in waves. Davidge laboratory Rep. 1968, N 656.
103. Lawson G. R. On the reduction of slamming pressures.—*Trans. RINA*, 1970, vol. 112, p. 285—306.
104. Little R. S., Lewis E. V. A statistical study of wave-induced bending moments on large oceangoing tankers and bulk carriers.—*Trans. SNAME*, 1971, vol. 79, p. 117—158.
105. Makagawa M. and oth. On the strength of container ships.—*Mitsubishi technical bulletin*, 1969, N 57, p. 35.
106. Moor D. I. Longitudinal bending moments on models in head seas.—*Trans. RINA*, 1967, vol. 109, p. 117—160.
107. Moskowitz L., Pierson W. J., Mohr E. Wave spectra estimated from wave records obtained by the OWS weather explorer and OWS weather reporter. New York university research division. Rep. 1962, Part I; 1963, Part 2; 1965, Part 3.
108. Murray J. M. Corrugation of bottom shell plating.—*Trans. INA*, 1964, vol. 96, p. 184.
109. Murray J. M. Development of basis of longitudinal strength standards for merchant ships.—*Trans. RINA*, 1965, vol. 108, p. 217—244.
110. Nordenström N. Further analysis of full-scale measurements of midship bending moments. Chalmers university of technology, 1955.
111. Nordenström N. Methods for predicting long-term distributions of wave loads and probability of failure for ships. Det Norske Veritas, Research department. Rep. 1969, N 69, p. 22.
112. Numata E. Longitudinal bending and torsional moments, acting on a ship model at oblique heading to waves.—*Journal of Ship Research*, 1980, N 1, p. 35; 1963, N 4, p. 25.
113. Ochi M. K. Extreme behaviour of a ship in rough seas: slamming and whipping of green water.—*Trans. SNAME*, 1964, vol. 72, p. 145—222.
114. Ochi M. K. Model experiments on ship strength and slamming in regular waves.—*Trans. SNAME*, 1958, vol. 66, p. 245—383.
115. Ochi M. K. Performance of two hull forms (U and V) in irregular waves.—Symposium on some effects of hull form on ship performance in seawater. SNAME, 1967.
116. Ochi M. K., Bledsoe M. A. A theoretical consideration on impact pressure at ship slamming. David Taylor Model Basin. Rep. 1960, N 1231.

117. Ochi M. K., Motter L. E. A method to estimate slamming characteristics for ship design.—"Marine Technology", 1971, vol. 8, N 2, p. 219—232.
118. Ochi M. K., Motter L. E. Prediction of slamming characteristics and hull responses for ship design.—"Trans. SNAME", 1973, vol. 81, p. 144—176.
119. Parga J. B. The strengthening of bottom forward.—"Trans. RINA", 1960, vol. 107, N 2, p. 167—188.
120. Pasion J. Torsion rigidity of box beams having multiple cut-outs.—"Journal of Ship Research", 1968, vol. 1, N 4, p. 15.
121. Pierson W. J., Moskowitz L. A proposed spectra form for fully developed wind seas based on the similarity theory of S. A. Kitaigorodskii.—Technical report for U.S. naval oceanographic office, New-York university college of engineering research division, 1962.
122. Pizaneis J. M. Wave load. A correlation between calculation and measurements at sea.—ISF, 1975, vol. 16, N 216, p. 240—279.
123. Principles of naval architecture. Written by a group of authorities. Editor Corstock J. P. Published by SNAME, New-York, 1967.
124. Proceedings of the 4th ISSC, Tokyo, 1970.
125. Rónai O. Structural problems of ships with large openings.—International marine and shipping conference, section 5, London, 1969.
126. Rules and regulations for the construction and classification of steel ships. Lloyd Register of Shipping, London, 1975.
127. Rules for the construction and classification of steel ships. Det Norske Veritas, Oslo, 1975.
128. Schade H. A. Notes on the primary strength calculation.—"Trans. SNAME", 1963, vol. 71, p. 154—171.
129. Schade H. A. The ship girder with multiple hatch openings under torsion.—"Journal of Ship Research", 1961, June, p. 9—12.
130. Schneider E. Angewandte Bemessung Schiffsfähiger Kastenträger ohne und mit Zwischendeck bei Drillbeanspruchung.—"Schiff und Hafen", 1960, N 4, S. 327—338.
131. Schulz H. G. Torsion von Schiffen mit grossen Deckausschnitten.—"Schiffstechnik", 1963, N 40, S. 1—24.
132. Ship design and construction. Written by a group of authorities. Editor D'Arcangelo A. M. Published by SNAME, New-York, 1969.
133. Swan W. A. Amidship bending moments for ships in waves.—ISF, 1969, vol. 6, p. 228.
134. Swan W. A., Vossers G. The effect of forebody section shape on ship behavior in waves.—"Trans. RINA", 1961, vol. 103, p. 297—312.
135. Tazai F. On the damping force and added mass of ships heaving and pitching.—"Journal of the West-Japan Society of Naval Architects", 1933, vol. 103, July.
136. Taubin G. O. Results of strength tests on the d/s "Kalinovogor" Rep. to 2 ISSC, committee 3. Proceedings of the 2nd ISSC, Delft, 1964.
137. Taylor K. V. Torsional loads on ships. The present knowledge. Rep. to 4th ISSC, committee 3. Proceedings of the 4th ISSC, Tokyo, 1970.
138. Thein V. A guide for the analysis of ship structures. U. S. Department of commerce. Office of technical service, Washington, 1960.
139. Townsend H. S. Some observations on the shape of ship forebodies with relation to heavy weather. SNAME, New-York Metropol section, 1960, April, 26(a).
140. Turnbull J. Longitudinal strength.—"Trans. INA", 1953, vol. 93, p. 163.
141. Vasta J. Lessons learned from full-scale ship structural tests.—"Trans. SNAME", 1968, vol. 86, p. 165—243.
142. Vedeler On the torsion of ships.—"Trans. INA", 1924.
143. Vossers G., Swan W., Rijken H. Vertical and lateral bending moments measurement on series 60 models.—ISF, 1961, vol. 8, p. 302—328.

144. Wachnik Z. G., Schwartz F. M. Experimental determination of bending moments and shear forces in multicomponent ship model moving in waves. David Taylor Model Basin Rep. 1953, N 1743.

145. Warnick W. H., St-Denis M. Dutch destroyer trials. Proceedings of the symposium on the behaviour of ship in seaway, vol. 1. Wageningen, 1957.

146. Watanabe Y. On the theory of heave and pitch of a ship. Memoirs of the Faculty of Engineering, Kyushu University, Technol. Reports, 1958, vol. 31.

147. Watanabe Y. On slamming.—"Trans. of the Society of Naval Architects of Japan", 1953.

148. Williamson J., Hoffman D. Discussion to the report of the committee 3 of 3rd ISSC. Proceedings of the 3rd ISSC, Oslo, 1967.

149. Yoshiki M., Yamamoto Y., Fujita Y. On slamming of wooden model.—"Trans. of the Society of Naval Architects of Japan", 1954.

#### Сопоставление японских и американских терминов

ABS—American Bureau of Shipping.

ES—European Shipbuilding.

INA—The Institution of the Naval Architects.

ISF—International Shipbuilding Progress.

ISSC—International Ship Structures Congress.

NECIES—North East Coast Institution of Engineers and Shipbuilders.

Rep.—Report.

RINA—The Royal Institution of Naval Architects.

SNAME—The Society of Naval Architects.

Trans.—Transactions.

Николай Григорьевич ПИТОВ

**ПРОЕКТИРОВАНИЕ  
КОНСТРУКЦИИ КОРПУСА  
МОРСКИХ СУДОВ**

Часть 2

**Нагрузки на корпус судна  
на верфи при прочности корпуса  
Обеспечение общей прочности корпуса**

Редакторы: Т. Г. Крива, В. М. Шапова  
Технический редактор Р. К. Чистюкова  
Художественная редакция:  
В. Т. Лоскутов, В. А. Пуринский  
Корректоры: И. П. Острогорова, А. В. Соколова  
Художник Ю. В. Селтяков

**№ 5 № 282**

Сдана в набор 25/11/1977 г. Подписано в печать 05/12/1977 г. 24 412 л. Бумага 80x100. Печать 1000 экз. № 2. Цена 1 экз. 25,1. Изд. № 5/3-75. Тираж 1000 экз. Заказ № 217. Цена 1 р. 20 к.

Издательство «Судостроение»  
19306, Ленинград, ул. Гривина, 8.

Дизайнерская типография № 6 Союза типографов  
при Государственном комитете Совета Министров  
СССР по делам культуры, спорта  
и физической культуры,  
19008, Ленинград, Пржевальский пер., 8.

**В 1978 ГОДУ  
ИЗДАТЕЛЬСТВО  
«СУДОСТРОЕНИЕ»  
ВЫПУСТИТ  
НОВЫЕ КНИГИ:**

**АМЕЛЬЯНОВИЧ К. К., ВЕРНИЦКИЯ В. Д., ПРОКОПОВИЧ И. Е. Прочность судовых железобетонных конструкций.**  
175 л. с. ил.

Рассмотрены результаты исследований физических свойств бетона и железобетона как судостроительного материала. Приведены экспериментальные данные о прочности, деформации и разрушении судостроительного бетона, в том числе при сложном напряженном состоянии, и рассмотрены особенности длительных процессов в бетоне (воздухность, усадка, влажность во времени уруго-прочностных характеристик). Представлены общие методы расчета железобетонных конструкций, основные положения расчета и нормы прочности судовых конструкций из железобетона, а также конкретные (сталил-железобетонные) судовые конструкции. Изданию иллюстрировано численными примерами и таблицами, представляющими интерес для судостроителей.

Книга предназначена для инженеров-проектировщиков, научно-технических работников, занимающихся железобетонным судостроением, а также может быть использована преподавателями и студентами кораблестроительных вузов и факультетов.

**БАГАНОВ А. М. Проектирование скоростных судов.** Учебник,  
18 л. с. ил.

Книга написана в соответствии с программой курса «Особенности проектирования скоростных судов» в рамках общей дисциплины «Проектирование судов». В ней приведены общие сведения о трансфертных скоростных судах (конструкция, их основные крылья и их воздушный поддув), изложены основы теории движков судов, особенности расчетов по теории и строительной механике корпуса, рассмотрены приемы выбора архитектурно-конструктивных схем, главных размер-

ий, сварочного оборудования, специальных устройств и других элементов проектируемого судна. Представлены также справочно-структурные данные.

Учебник рассчитан на студентов старших курсов кораблестроительных курсов и факультетов, может быть полезен также работникам проектно-конструкторских бюро, связанным с проектированием судовых устройств.

**БРОНСКИЙ А. И.** Корпусные конструкции судов промышленного флота. 14 д. с ил.

Рассмотрены особенности проектирования конструкций промышленных судов, обусловленные спецификой их эксплуатации, условий промышленного и перерабатывающего оборудования, специфическими требованиями к надежности и производительности конструкций. Даны обоснования выбора конструктивных решений и критериев выбора и выбору конструктивных решений и размеров связей, которые обеспечивают общую и местную прочность корпуса судна при плавании на волнении и швартовке в море, а также прочность конструкций, расположенных в районах проведения промышленной операции, переработки и хранения груза.

Книга предназначена для инженерно-технических работников конструкторских бюро и заводов, занимающихся строительством и ремонтом судов промышленного флота, и может быть полезна студентам кораблестроительных вузов и техникумов.

**ВАСИЛЬЕВ А. Л.** Стандартизация в судостроении. 12 д. с ил.

Книга посвящена одному из актуальных вопросов судостроения — стандартизации. В ней изложены основы стандартизации как действенного средства снижения стоимости и повышения качества корпусных конструкций.

Основное внимание уделено методам решения задач комплексной стандартизации в судостроении и практическому их применению при решении вопроса общего проектирования; описаны ограничения возможностей стандартизации, обусловленные особенностями судостроительного производства.

Рассмотрены вопросы комплексной эффективности комплексной стандартизации в судостроении, даны критерии оценки комплексной целесообразности унификации и стандартизации корпусов судов и их элементов.

Круг читателей: инженерно-техническими НИИ, КБ и заводам, а также студентам судостроительных вузов.

**ГУРОВИЧ А. Н., АСИНОВСКИЙ В. И.** Специализированные суда рыбного и портового флотов. 16 д. с ил.

Основными особенностями проектирования специализированных и вспомогательных специализированных судов, предъявляемых для работы в портах и на рейдах. Рассмотрены требования к компоновке и выбору типовых элементов судов, методы определения ходовых, маневренных и мореходных характеристик. Дано описание конструктивных особенностей корпуса, судовой и специализированной устройств, вспомогательных механизмов и энергетических установок.

Книга рассчитана на широкий круг судостроителей, проектировщиков и конструкторов. Она может быть также использована преподавателями курсов судов морского флота и студентами кораблестроительных вузов.

**Машинерное судно.** Под общ. ред. В. А. Дубровского. 20 д. с ил.

Первое и ответственнейшее и сложнейшее задание обобщает материал по технико-экономическому обоснованию многокорпусных судов с использованием параметрического метода. Основан метод прогнозирования оптимальности, надежности, ходкости, качества управления и прочности этих судов и их особенностей.

Книга предназначена для инженеров и научных работников предприятий и организаций судостроительной промышленности, а также студентов и сотрудников кораблестроительных вузов.

**РАКОВ А. И.** Оптимизация основных характеристик и элементов промышленных судов. 18 д. с ил.

В монографии рассматриваются методы оптимальной оценки характеристик и элементов основных судов рыбного промысла, траулера — яхты автономного промысла, дозиметрических и обрабатывающих судов портового флота и судов незащищенного плавания. Приведены численные примеры, иллюстрирующие особенности применения

предлагается метод для различных типов судов флота рыбной промышленности.

Книга предназначена для инженерно-технических работников проектных институтов, КБ, управлений рыбной промышленности и заводов, связанных с проектированием, постройкой и эксплуатацией промысловых судов.

ПОСПЕЛОВ В. И. Выбор на ЭВМ оптимальных элементов гребных судов внутреннего плавания. 5 д. с ил.

В брошюре рассмотрены постановка задачи выбора элементов судна, алгоритмы особенностей математической модели, методы поиска оптимума. Описаны компьютерные программы расчета гребных судов внутреннего и смешанного плавания, в том числе балластного толерантного состава. Даны оценки эффективности использования ЭВМ для оптимизации элементов судна.

Предназначена для инженерно-технических работников проектно-конструкторских и инженерно-технических организаций судостроительной промышленности и рыбного флота.